

PROGETTO AMPLIAMENTO – PER SOPRAELEVAZIONE - DELLA NUOVA DISCARICA CONSORTILE PER RIFIUTI NON PERICOLOSI (LOTTO 1 + LOTTO 2)

| | |
|--------------|----------------------------------|
| ENV05 | Suolo, sottosuolo e falda |
|--------------|----------------------------------|

Ing. Giovanni Maurelli – Progettista e Direttore tecnico

Ing. Marco Chessa – Gruppo di lavoro

Dott. Sandro Zizi - Gruppo di lavoro

Geom. Fabrizio Palitta - Gruppo di lavoro

| Rev. | Data | Descrizione | Redatto | Verificato e approvato |
|------|---------------|-----------------|------------------|---------------------------------|
| 0 | Dicembre 2025 | PRIMA EMISSIONE | Gruppo di lavoro | Progettista e Direttore tecnico |
| | | | | |
| | | | | |
| | | | | |
| | | | | |
| | | | | |
| | | | | |
| | | | | |

SOMMARIO

| | | |
|----------|---|-----------|
| 1 | QUADRO CONOSCITIVO ESSENZIALE DELLE MATRICI..... | 3 |
| 1.1 | SUOLO E SOTTOSUOLO | 3 |
| 1.2 | ACQUE SOTTERRANEE..... | 3 |
| 1.2.1 | <i>Sintesi descrittiva sito impiantistico nella sua globalità</i> | <i>3</i> |
| 1.2.2 | <i>Sintesi descrittiva zona discarica oggetto d'intervento</i> | <i>5</i> |
| 1.2.3 | <i>Stato ante-operam area della discarica oggetto intervento (rif. elaborato: integrazione SIA 03.04 – procedimento congiunto VIA/AIA che ha dato luogo ad AIA 3946/2019)</i> | <i>6</i> |
| 1.2.4 | <i>Caratterizzazione idrochimica dell'acquifero superficiale nelle fasi di esercizio (monitoraggi 2023–2025).</i> | <i>6</i> |
| 2 | STIMA DEI POTENZIALI IMPATTI DELL'INTERVENTO | 8 |
| 2.1 | SUOLO E SOTTOSUOLO – STIMA DEI POTENZIALI IMPATTI..... | 8 |
| 2.2 | ACQUE SOTTERRANEE – STIMA DEI POTENZIALI IMPATTI | 8 |
| 3 | MONITORAGGIO GEOELETTICO DELL'INTEGRITÀ DELLA BARRIERA DI FONDO | 10 |
| 4 | CONCLUSIONI | 11 |
| 5 | DOCUMENTAZIONE DI RIFERIMENTO | 12 |

1 QUADRO CONOSCITIVO ESSENZIALE DELLE MATRICI

1.1 Suolo e sottosuolo

L'area interessata dall'intervento ricade integralmente all'interno del sedime della discarica esistente (Lotti 1 e 2), autorizzata con Determinazione Provinciale n. 3946/2019 e successive modifiche. Trattandosi di un ampliamento per sopraelevazione, l'opera non interessa superfici esterne né porzioni di terreno naturale non già interessate dalla realizzazione dell'impianto.

Le indagini geologiche, geotecniche e ambientali condotte in fase di progettazione del corpo discarica hanno definito un quadro stratigrafico costituito da una coltre alterata superficiale poggianti su substrato granitico compatto, senza evidenza di elementi di discontinuità significativi.

Il Piano di Utilizzo delle Terre e Rocce da Scavo e la Relazione Geologica di progetto hanno documentato che:

- i terreni naturali oggetto di scavo non presentavano superamenti delle concentrazioni soglia di contaminazione;
- i materiali derivanti dagli scavi risultavano idonei al riutilizzo ai sensi della normativa vigente;
- non sono state riscontrate anomalie geochimiche né condizioni stratigrafiche atipiche;
- non sono stati individuati elementi che possano costituire vie preferenziali di migrazione per contaminanti.

La discarica è separata dal terreno naturale mediante una barriera di fondo realizzata in conformità al D. Lgs. 36/2003, costituita da strato minerale e sistemi geosintetici impermeabilizzanti. Il collaudo dell'opera ha attestato il rispetto dei requisiti prestazionali previsti dalla normativa.

L'intervento di sopraelevazione dei Lotti 1 e 2:

- non prevede scavi o movimentazioni di terreno naturale;
- non comporta modifiche alla barriera di fondo esistente;
- non determina nuove interazioni tra il corpo discarica e i terreni sottostanti.

Alla luce di tali elementi, la matrice suolo/sottosuolo non è soggetta a pressioni aggiuntive derivanti dalla sopraelevazione e il suo stato non risulta modificato dall'intervento.

1.2 Acque sotterranee

1.2.1 Sintesi descrittiva sito impiantistico nella sua globalità

L'area di Spirito Santu costituisce un unico sito impiantistico all'interno di un medesimo bacino idrogeologico, sul quale insistono:

- la discarica consortile nuova (Lotti 1 e 2), oggetto della presente sopraelevazione;

- la discarica consortile preesistente ("12 ha");
- la discarica comunale dismessa;
- gli impianti di trattamento rifiuti consortili.

I modelli idrogeologici elaborati per il sito descrivono un contesto caratterizzato da litologie granitiche con:

- coltre alterata di spessore variabile;
- presenza di circolazione idrica superficiale laddove la coltre alterata è sufficiente a ospitare un livello saturo (profondità generalmente non superiori a 10 m), con discontinuità nelle aree in cui affiora il granito;
- permeabilità e trasmissività generalmente basse, tipiche dei contesti granitici fratturati;
- presenza, al di sotto della coltre alterata, di granito compatto con buon grado di integrità (Rqd elevato), nel quale possono esistere fratture o discontinuità localizzate in grado di sostenere circolazioni idriche più profonde, non necessariamente collegate all'acquifero superficiale e, se presenti, verosimilmente meno vulnerabili rispetto alle pressioni antropiche derivanti dalle attività del sito.

In tale quadro, la circolazione idrica sotterranea di interesse ambientale è quella superficiale, che segue la morfologia generale del bacino.

La porzione di monte idrogeologico, nella quale ricade la discarica consortile nuova oggetto di intervento, si colloca in prossimità dello spartiacque idrografico, coincidente con quello idrogeologico per l'acquifero superficiale. Tale posizione configura per la discarica un settore idrogeologicamente caratterizzato da una potenzialità idrica della falda superficiale ulteriormente limitata, data la prossimità allo spartiacque.

L'intero sito impiantistico è sottoposto a procedimento ai sensi dell'art. 242 del D.Lgs. 152/2006 per la matrice acque sotterranee, avviato a seguito del riscontro di superamenti delle CSC nella falda superficiale. Gli atti istruttori del procedimento hanno individuato:

- la discarica comunale dismessa come sorgente principale;
- la discarica consortile preesistente come possibile contributore secondario storico, senza evidenze oggettive a supporto ma sulla base di valutazioni tecniche.

Il sito dispone inoltre di una rete di monitoraggio articolata, costituita da piezometri e pozzi controllati sia nell'ambito del Piano di Monitoraggio e Controllo AIA sia nell'ambito del Piano di Monitoraggio e Controllo del procedimento ex art. 242.

All'interno di tale sistema, la discarica consortile nuova si colloca a monte idrogeologico rispetto all'acquifero superficiale e dispone di una rete di monitoraggio dedicata, costituita dal sistema di controllo geoelettrico sottotelo e dai piezometri dedicati, specificamente finalizzata al controllo delle condizioni della matrice acque sotterranee in corrispondenza della discarica stessa.

1.2.2 Sintesi descrittiva zona discarica oggetto d'intervento

La discarica consortile nuova (Lotti 1 e 2) è ubicata nel settore di monte idrogeologico del sito impiantistico, in un'area caratterizzata da una limitata potenzialità idrica della falda superficiale, coerentemente con la prossimità allo spartiacque idrogeologico descritto nel modello di sito.

Le indagini geologiche e idrogeologiche condotte in fase di progettazione hanno evidenziato:

- spessori variabili della coltre alterata, con presenza del substrato granitico a profondità contenute;
- assenza, nell'area di impianto, di un livello piezometrico stabilmente intercettabile;
- condizioni idrogeologiche pienamente coerenti con la collocazione di monte già descritta al §1.2.1.

In tale quadro, la discarica consortile nuova è dotata di una rete di monitoraggio dedicata, prescritta nel Piano di Monitoraggio e Controllo AIA e finalizzata alla verifica delle condizioni della matrice acque sotterranee in corrispondenza dell'impianto. Tale rete è costituita da:

- S34, piezometro di monte idrogeologico, ubicato in corrispondenza dell'area con maggiore altimetria rispetto all'impianto;
- S7-1 e S18-1, piezometri posti a valle idrogeologico della discarica.

Il piezometro S34 risulta sistematicamente privo di acqua nelle diverse campagne di monitoraggio AIA, confermando l'assenza di un livello piezometrico sviluppato nell'area di impianto. La falda superficiale rilevante ai fini del controllo ambientale dell'opera, e del confronto con la situazione pre-opera, è pertanto quella intercettata dai piezometri S7-1 e S18-1.

Oltre ai piezometri, l'impianto è dotato di un sistema di monitoraggio geoelettrico sottotelo, installato tra la barriera di fondo e il terreno naturale e finalizzato alla verifica dell'integrità della barriera stessa. Il sistema consente, con periodicità stabilita, di individuare eventuali anomalie riconducibili a perdite dal corpo discarica, costituendo un presidio aggiuntivo operativo fin dalla fase di esercizio dell'opera.

La combinazione tra rete piezometrica dedicata e monitoraggio geoelettrico garantisce per la discarica consortile nuova un sistema di controllo ambientale autonomo e completo, in un contesto particolarmente idoneo a ospitare un impianto di smaltimento, considerato che il settore di monte è caratterizzato da una falda superficiale scarsamente sviluppata.

1.2.3 Stato ante-operam area della discarica oggetto intervento (rif. elaborato: integrazione SIA 03.04 – procedimento congiunto VIA/AIA che ha dato luogo ad AIA 3946/2019)

Lo stato ante-operam della matrice acque sotterranee è definito nell'elaborato "integrazione SIA 03.04", presentato nell'ambito del procedimento congiunto VIA/AIA che ha portato al rilascio dell'AIA vigente (Det. 3946/2019). Tale documento costituisce la baseline idrochimica di riferimento dell'acquifero superficiale nel settore di valle del sito.

Le campagne ante-operam riportate nell'Integrazione SIA 03.04 descrivono un acquifero superficiale caratterizzato da bassa produttività e forte variabilità naturale, con parametri chimici influenzati principalmente dalla natura litologica del substrato granitico e dalle condizioni redox tipiche dei sistemi idrici superficiali sviluppati nella coltre alterata.

In particolare, le concentrazioni di ferro (Fe) e manganese (Mn) risultano generalmente elevate e soggette a variazioni significative nel tempo, comportamento pienamente coerente con la geochemica dei graniti alterati e con l'assetto idrogeologico locale, dove condizioni redox riducenti si instaurano con facilità in relazione alla limitata circolazione idrica.

Il nichel (Ni) mostra valori oscillanti entro intervalli compatibili con la litologia dell'area, con un andamento riconducibile a processi naturali di rilascio da minerali contenuti nelle rocce granitiche alterate e alla discontinuità dell'acquifero superficiale.

Le concentrazioni di solfati ricadono negli intervalli tipici del contesto geochemico del sito e non mostrano anomalie rilevanti o incrementi non giustificabili.

I parametri organici analizzati risultano generalmente non significativi dal punto di vista idrochimico, con valori inferiori ai limiti di quantificazione in tutte le campagne riportate.

Nel complesso, l'Integrazione SIA 03.04 delinea un quadro idrochimico stabile e coerente con le condizioni geologiche e idrogeologiche dell'area di riferimento, privo di elementi indicativi di pressioni riconducibili ai comparti di monte e idoneo a rappresentare la baseline ufficiale per la valutazione dei monitoraggi in esercizio della discarica consortile nuova.

Tale baseline costituisce il riferimento tecnico per il confronto con i dati acquisiti presso i piezometri dedicati, in attuazione del Piano di Monitoraggio e Controllo in regime AIA.

1.2.4 Caratterizzazione idrochimica dell'acquifero superficiale nelle fasi di esercizio (monitoraggi 2023–2025)

La valutazione dello stato della matrice acque sotterranee in esercizio è stata condotta mediante le campagne di monitoraggio eseguite nel triennio 2023–2025 nell'ambito del Piano di Monitoraggio e Controllo AIA (ovvero il periodo immediatamente successivo all'avvio della discarica, fino ad oggi), presso i piezometri dedicati al modulo di discarica oggetto di sopraelevazione (S7-1 e S18-1). Il piezometro di monte S34 è risultato sistematicamente asciutto, confermando l'assenza di un livello piezometrico sviluppato nell'area di impianto.

Il quadro idrochimico emerso nel periodo di esercizio risulta pienamente coerente con la baseline ante-operam definita nell'Integrazione SIA 03.04. I principali parametri monitorati mostrano infatti andamenti compatibili con la variabilità naturale dell'acquifero superficiale sviluppato nella coltre alterata dei graniti, privo di segnali che possano essere ricondotti all'esercizio dell'impianto.

I parametri redox-sensibili, in particolare ferro (Fe) e manganese (Mn), presentano valori variabili nel tempo, in linea con quanto già osservato ante-operam. Tali oscillazioni costituiscono un comportamento tipico degli acquiferi superficiali a bassa trasmissività e sono attribuibili alle condizioni redox instabili e ai processi di alterazione del substrato. Non emergono incrementi sistematici né modificazioni dei trend che possano suggerire pressioni antropiche.

Il nichel (Ni) mantiene concentrazioni sovrapponibili a quelle della fase ante-operam, con oscillazioni riconducibili ai processi naturali di rilascio litologico e alla discontinuità dell'acquifero. Anche in questo caso non si rilevano anomalie o variazioni significative rispetto ai valori storici.

Le concentrazioni di solfati ricadono stabilmente entro gli intervalli caratteristici del sito e non evidenziano scostamenti rispetto alla baseline. Il parametro mantiene un comportamento regolare, senza indicazioni di apporti esogeni o modificazioni idrochimiche del sistema.

I parametri organici risultano generalmente inferiori ai limiti di quantificazione in tutte le campagne eseguite e non mostrano alcuna evoluzione di rilievo, confermando l'assenza di contributi anomali.

Nel complesso, il quadro idrochimico osservato nel triennio 2023–2025 conferma che la matrice acque sotterranee mantiene le stesse caratteristiche della fase ante-operam. Le variazioni rilevate nei parametri monitorati ricadono all'interno della fisiologica variabilità dell'acquifero superficiale su litologia granitica alterata e non indicano interazioni tra il corpo discarica e la falda. L'impianto opera pertanto in un contesto idrogeologico naturalmente stabile, senza determinare pressioni misurabili sulla matrice idrica sotterranea.

2 STIMA DEI POTENZIALI IMPATTI DELL'INTERVENTO

2.1 Suolo e sottosuolo – Stima dei potenziali impatti

L'intervento in esame consiste nella sopraelevazione dei Lotti 1 e 2 della discarica consortile nuova, da realizzarsi esclusivamente in sopraquota rispetto al corpo discarica esistente, già autorizzato con AIA vigente. Come descritto al §1.1, l'area interessata ricade interamente all'interno del sedime dell'impianto in esercizio e non comporta l'interessamento di nuovi terreni naturali.

La discarica è separata dal terreno naturale mediante una barriera di fondo conforme al D.Lgs. 36/2003, costituita da strato minerale e sistemi geosintetici impermeabilizzanti collaudati, che garantiscono la separazione fisica e funzionale tra il corpo rifiuti e la matrice suolo/sottosuolo.

L'intervento di sopraelevazione:

- non prevede nuovi scavi né movimentazioni di terreno naturale;
- non modifica la barriera di fondo esistente;
- non altera le condizioni geotecniche e idrauliche del terreno di fondazione e pertanto non introduce vie preferenziali di migrazione verso il sottosuolo.

In termini di pressione sulla matrice suolo/sottosuolo, la sopraelevazione determina un incremento volumetrico confinato all'interno del sistema di impermeabilizzazione esistente, ovvero un aumento dei carichi interni al corpo discarica che resta comunque separato dal terreno naturale sottostante dal sistema barriera. Non si configura pertanto alcuna nuova interazione diretta tra rifiuti e suolo naturale.

Alla luce di tali elementi, non si stimano potenziali impatti aggiuntivi sulla matrice suolo/sottosuolo rispetto alla situazione attuale, e lo stato della matrice può ritenersi non influenzato dall'intervento proposto.

2.2 Acque sotterranee – Stima dei potenziali impatti

Il potenziale impatto dell'intervento sulla matrice acque sotterranee deve essere valutato partendo da un elemento strutturale fondamentale: il corpo rifiuti della discarica consortile oggetto di intervento è completamente separato dal terreno naturale tramite la barriera di fondo realizzata ai sensi del D.Lgs. 36/2003, costituita da strato minerale e sistemi geosintetici impermeabilizzanti collaudati.

In tali condizioni non esiste alcun contatto diretto tra rifiuti e terreno e, di conseguenza, non si configura alcun pathway diretto tra il corpo discarica e la matrice acque sotterranee.

L'intervento di sopraelevazione non modifica né sostituisce né sollecita la barriera di fondo, che rimane invariata nelle sue funzioni di impermeabilizzazione e confinamento. L'unico effetto dell'intervento consiste in un incremento del carico litostatico interno al corpo rifiuti, che non determina variazioni delle condizioni idrauliche di interfaccia, poiché:

- non varia la superficie esposta all'infiltrazione meteorica e quindi non aumenta la produzione di percolato;
- non varia la geometria del sistema drenante né la capacità di estrazione, per cui il regime di depressione e raccolta rimane invariato;
- non si producono incrementi del carico idraulico sulla barriera, essendo la pressione neutra governata dalle medesime condizioni di drenaggio interno;
- non si generano nuove condizioni suscettibili di attivare vie preferenziali di migrazione verso il sottosuolo.

Il presidio ambientale è ulteriormente garantito dal sistema di monitoraggio geoelettrico sottotelo, dalla rete piezometrica con i relativi controlli in regime AIA e nell'ambito del procedimento ex art. 242, che assicurano un livello di sorveglianza superiore ai requisiti minimi.

Considerando:

- l'isolamento totale del corpo rifiuti rispetto al terreno naturale,
- l'invarianza delle condizioni idrauliche e delle modalità di formazione/gestione del percolato,
- l'assenza di modifiche alle opere di fondo,
- la stabilità del quadro idrochimico in esercizio,
- l'esistenza di un sistema di prevenzione e controllo consolidato,

si conclude che l'intervento di sopraelevazione non introduce alcun potenziale impatto sulla matrice acque sotterranee.

3 MONITORAGGIO GEOELETTICO DELL'INTEGRITÀ DELLA BARRIERA DI FONDO

La discarica consortile oggetto di intervento è dotata di un sistema di monitoraggio geoelettrico sottotelo, installato tra la barriera di fondo e il terreno naturale, finalizzato alla verifica continua dell'integrità del sistema di impermeabilizzazione. Il monitoraggio consente di individuare eventuali anomalie riconducibili a perdite o discontinuità, mediante l'analisi delle variazioni di resistività elettrica secondo protocolli approvati in sede autorizzativa.

Le campagne eseguite nelle annualità 2023–2025 evidenziano:

- assenza di segnali riconducibili a perdite o cedimenti localizzati della barriera di fondo;
- mappe di resistività stabili e coerenti con la risposta attesa dei materiali;
- variazioni locali interpretabili come fisiologiche variazioni di umidità, prive di significato idraulico;
- conferma, nelle verifiche supplementari e nei collaudi dei Lotti 1 e 2, della piena continuità del sistema sottotelo.

Nel complesso, il sistema geoelettrico conferma l'integrità del confinamento e costituisce un presidio preventivo essenziale, in quanto:

- garantisce l'assenza di contatto tra rifiuti e terreno naturale;
- consente l'individuazione precoce di eventuali anomalie;
- integra il monitoraggio piezometrico e il sistema di gestione del percolato.

4 CONCLUSIONI

Il progetto di sopraelevazione dei Lotti 1 e 2 della discarica consortile non introduce modifiche alle opere di fondo, alla geometria del sistema di impermeabilizzazione né alle modalità di interazione tra il corpo discarica e le matrici ambientali. L'intervento si sviluppa infatti interamente in sopraquota, senza scavi né movimentazione di terreno naturale e senza alterazioni del confinamento esistente conforme al D.Lgs. 36/2003.

I monitoraggi idrochimici in esercizio e i controlli geoelettrici sottotelo:

- confermano la piena tenuta dell'attuale sistema di confinamento;
- dimostrano che la discarica opera in condizioni stabili e sotto controllo;
- non evidenziano alcun segnale compatibile con possibili perdite o interazioni con le matrici ambientali.

Tali elementi costituiscono una validazione tecnica positiva dell'efficacia delle condizioni di esercizio attuali, condizione indispensabile per procedere con un ampliamento in sopraquota senza incremento del rischio ambientale.

Tenuto conto:

- dell'assenza di qualunque pathway diretto o potenziale;
- della totale invarianza delle opere di fondo;
- della confermata integrità del sistema di impermeabilizzazione;
- della stabilità del quadro idrogeochimico in esercizio;
- della presenza di un sistema di prevenzione e controllo robusto e già operativo;

si conclude che l'intervento di sopraelevazione non determina alcun impatto, né potenziale né atteso, sulle matrici suolo, sottosuolo e acque sotterranee.

La configurazione attuale dell'impianto, unita agli strumenti di controllo in essere, garantisce il mantenimento del quadro ambientale vigente senza necessità di ulteriori misure di mitigazione.

5 DOCUMENTAZIONE DI RIFERIMENTO

La presente relazione è redatta sulla base della documentazione tecnica e autorizzativa già disponibile per il sito impiantistico di Spiritu Santu e per la discarica consortile nuova (Lotti 1 e 2), nonché dei dati di monitoraggio acquisiti in regime autorizzativo.

In particolare, ai fini dell'inquadramento delle matrici **suolo, sottosuolo e acque sotterranee**, si è fatto riferimento ai seguenti elaborati e documenti ufficiali:

- **Integrazione SIA 03.04 – Suolo, sottosuolo e acque sotterranee**, presentata nell'ambito del procedimento congiunto VIA/AIA che ha condotto al rilascio dell'Autorizzazione Integrata Ambientale di cui alla Determinazione Provinciale n. 3946/2019. Tale elaborato è parte integrante della documentazione tecnica allegata all'elaborato ADM02.
- **Documentazione geologica, geotecnica e ambientale di progetto** predisposta per la realizzazione della discarica consortile nuova (Lotti 1 e 2). Per ulteriori approfondimenti si rimanda alla relazione REL05 e relativi allegati.
- **Rapporti di prova e risultati dei monitoraggi delle acque sotterranee** effettuati in regime AIA presso i piezometri dedicati alla discarica consortile nuova, relativi alle campagne 2023–2025, disponibili nel portale istituzionale del CIPNES al link:
http://sia.cines.it/ambiente/Impianto_trattamento_e_smaltimento_RSU_RS/?path=Monitoraggi%20Ambientali%20annuali
- **Report di monitoraggio geoelettrico sottotelo** eseguiti sulle opere di impermeabilizzazione dei Lotti 1 e 2, finalizzati alla verifica dell'integrità della barriera di fondo e allegati alla presente relazione (si allega alla presente l'ultimo monitoraggio)

La documentazione sopra richiamata costituisce il riferimento tecnico–conoscitivo utilizzato per la redazione del presente elaborato ENV05 e per la valutazione della coerenza dell'intervento di sopraelevazione con il quadro ambientale e autorizzativo vigente, senza introdurre nuovi elementi istruttori né modificare le condizioni già approvate.



CHIMILAB

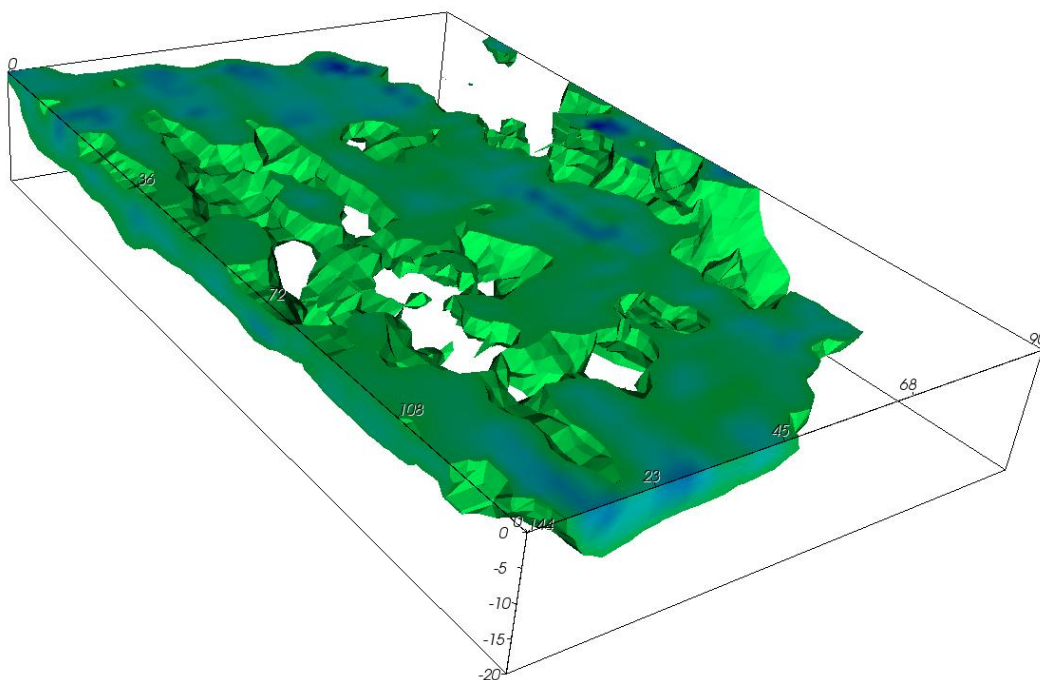
LABORATORIO DI ANALISI CHIMICHE

Laboratorio autorizzato dal Ministero della Salute ad eseguire analisi su materiali contenenti amianto con cod. N° 323 PUG 16

Azienda con
SISTEMA DI GESTIONE QUALITÀ
UNI EN ISO 9001
SISTEMA DI GESTIONE SALUTE E SICUREZZA
UNI ISO 45001
SISTEMA DI GESTIONE AMBIENTALE
UNI EN ISO 14001

COMUNE DI OLBIA

PROVINCIA DI SASSARI



INDAGINI GEOLOGICHE

| | | |
|-----------------------------------|--|--|
| COMMITTENTE: | Consorzio Industriale Provinciale Nord Est Sardegna - Gallura | |
| CANTIERE: | Lotto 1 – discarica consortile per RNP | |
| LOCALITA’ | Loc. Santu Spirito | |
| TIPOLOGIA DI INDAGINI: | IMPIANTO MONITORAGGIO GEOELETTTRICO PERMANENTE – FASE DI ESERCIZIO (MISURA 8) – NOVEMBRE 2025 | |
| Ruffano, DICEMBRE 2025 | IL DIRETTORE TECNICO CHIMILAB Dott.ssa Daniela Cossa IL TECNICO Dott. Geol. Marcello De Donatis | |

INDICE

| | |
|--|-----------|
| <i>PREMESSA.....</i> | <i>2</i> |
| <i>OBIETTIVO GENERALE DEL LAVORO E SISTEMA DI MONITORAGGIO DEL SISTEMA DI IMPERMEABILIZZAZIONE</i> | <i>4</i> |
| <i>INQUADRAMENTO TERRITORIALE.....</i> | <i>6</i> |
| <i>INDAGINI GEOELETTRICHE CON RICOSTRUZIONE TOMOGRAFICA</i> | <i>7</i> |
| <i>STRUMENTAZIONE UTILIZZATA</i> | <i>8</i> |
| <i>IL METODO DELLA RESISTIVITÀ.....</i> | <i>9</i> |
| <i>ESECUZIONE ED ELABORAZIONE DELLA MISURA 8</i> | <i>16</i> |
| <i>ELABORAZIONE E INTERPRETAZIONE DEI DATI.....</i> | <i>18</i> |



CHIMILAB
LABORATORIO DI ANALISI CHIMICHE

Analisi Chimico · Fisiche e Batteriologiche
Alimenti · Acqua · Aria · Suolo · Rifiuti · Emissioni
Amianto · Gas Free · Radon · Rumori

Laboratorio autorizzato dal Ministero della Salute ad eseguire
analisi su materiali contenenti amianto con cod. N° 323 PUG 16

Azienda con
SISTEMA DI GESTIONE QUALITÀ
UNI EN ISO 9001

SISTEMA DI GESTIONE SALUTE E SICUREZZA
UNI ISO 45001

SISTEMA DI GESTIONE AMBIENTALE
UNI EN ISO 14001

PREMESSA

La Società Chimilab s.r.l. di Ruffano (Le) è stata incaricata dal Consorzio Industriale Provinciale Nord Est Sardegna – Gallura, per eseguire un sistema di monitoraggio geoelettrico presso l'impianto trattamento dei rifiuti "Lotto 1 – discarica consortile per RNP" in località Santu Spirito, nel Comune di Olbia.

In questa fase si descrive la **Misura 8 (ottava misura in fase di esercizio della discarica)** effettuata nel giorno 27 Novembre del 2025, in particolare questa misura e quelle successive risultano necessarie soprattutto per determinare eventuali variazioni delle resistività elettriche del sottosuolo rispetto al modello ottenuto nella fase di Collaudo (Ottobre 2020) e soprattutto ai modelli sia delle quattro *Misure 0 (zero)* (Febbraio 2021, Giugno 2021, Dicembre 2021 e Aprile 2022) di partenza eseguite precedentemente la fase di esercizio della discarica che ai modelli della *Misura 1, Misura 2, Misura 3, Misura 4, Misura 5, Misura 6 e Misura 7* (Dicembre 2022, Giugno 2023, Dicembre 2023, Giugno 2024, Dicembre 2024, Febbraio 2025 e Giugno 2025) eseguite durante la fase di esercizio della discarica.

Il lavoro, in generale, prevede in modo indiretto, un monitoraggio permanente e continuo della qualità dell'impermeabilizzazione delle barriere, con individuazione precisa e veloce di eventuali perdite con conseguente infiltrazione di percolati inquinanti nell'ambiente circostante della discarica.

La discarica oggetto di controllo (lotto1), autorizzata con Det.. 3946/19 della Provincia di Sassari (Autorizzazione integrata ambientale), è stato recentemente approvato, con Det. 1872 del 05/06/2023 della Provincia di Sassari (modifica non sostanziale della succitata AIA), un

incremento volumetrico (per sopraelevazione), che porta lo spessore massimo dei rifiuti da 5 a 9 m.

Per realizzare il monitoraggio, sul fondo della vasca sono stati disposti 6 stendimenti geoelettrici distanziati tra di loro 15 metri, in modo da ottenere un modello tomografico geoelettrico in 3D.

In seguito verranno descritti i risultati dei modelli geoelettrici ottenuti.



CHIMILAB
LABORATORIO DI ANALISI CHIMICHE

Analisi Chimico · Fisiche e Batteriologiche
Alimenti · Acqua · Aria · Suolo · Rifiuti · Emissioni
Amianto · Gas Free · Radon · Rumori

Laboratorio autorizzato dal Ministero della Salute ad eseguire
analisi su materiali contenenti amianto con cod. N° 323 PUG 16

Azienda con
SISTEMA DI GESTIONE QUALITÀ
UNI EN ISO 9001

SISTEMA DI GESTIONE SALUTE E SICUREZZA
UNI ISO 45001

SISTEMA DI GESTIONE AMBIENTALE
UNI EN ISO 14001

OBIETTIVO GENERALE DEL LAVORO E SISTEMA DI MONITORAGGIO DEL SISTEMA DI IMPERMEABILIZZAZIONE

L'obiettivo del lavoro è quello di monitorare nel tempo il sottofondo della vasca della discarica attraverso una sua ricostruzione in 3D con metodi geoelettrici, in grado di individuare eventuali anomalie di resistività riconducibili alla presenza di percolato sotto il fondo della vasca.

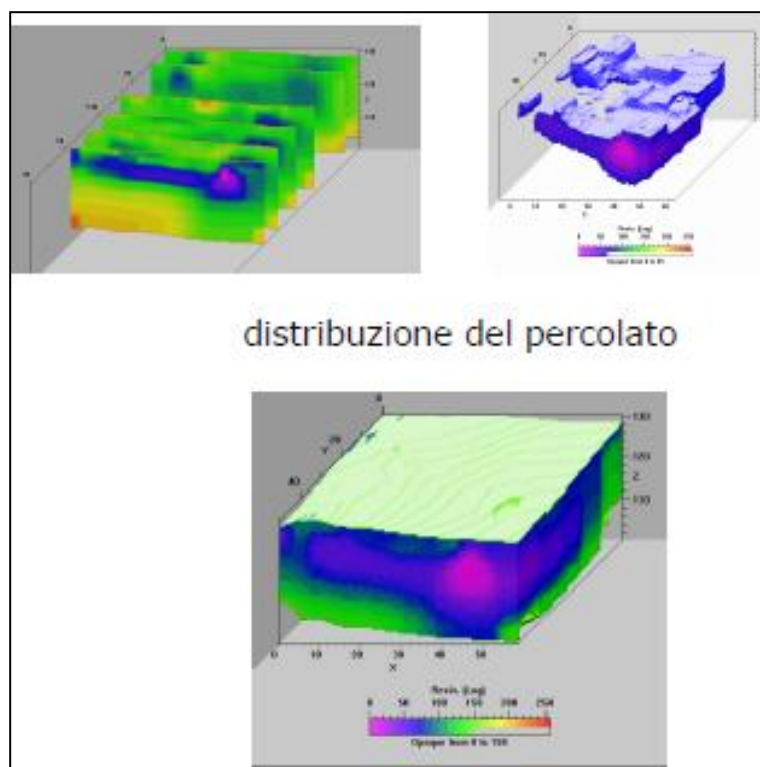
La ricostruzione in 3D viene eseguita attraverso la tecnica geofisica della Tomografia Elettrica ERT, che è un metodo di studio che la distingue per le sue le caratteristiche tecniche (di seguito descritte) e per la particolare capacità di individuare anche piccole variazioni di resistività nel terreno sia per profondità oltre 100 m p.c. sia per distanze longitudinali anche chilometriche. Per tali ragioni risulta la miglior tecnologia disponibile per riuscire ad individuare, nel sottofondo della vasca della discarica, la presenza di eventuali perdite di percolato.

Il monitoraggio si protrae nel tempo interessando la fase d'esercizio della discarica: eventuali perdite di percolato al di sotto del telo HDPE saranno identificate confrontando i modelli geoelettrici elaborati periodicamente durante la fase di esercizio della discarica con il modello della *Misura di Collaudo* e delle *Misure 0* eseguite prima della messa in attività della discarica.

In generale, il percolato prodotto dai rifiuti che potrebbe interessare il sottosuolo qualora si verificasse una rottura del telo HDPE si propagherebbe formando il cosiddetto *plume di contaminazione*: si tratta di una zona del sottosuolo contaminata generalmente a forma di goccia con la punta rivolta verso l'alto caratterizzata da valori di resistività elettrica di qualche $\Omega \cdot m$ (come si può notare nell'immagine che segue). Sfruttando tale caratteristica, nei modelli geoelettrici interpretati successivamente alla

Misura di Collaudo e alle Misure 0, eventuali perdite di percolati, saranno identificati con **importanti** diminuzioni di resistività elettrica rispetto alla di Misura di Collaudo e alle Misure 0.

Il tempo di propagazione di un eventuale percolato nel sottosuolo generato dai rifiuti, dipende molto dalla permeabilità dei terreni: in generale, prima che si crei un plume di contaminazione dovranno trascorrere alcuni mesi, pertanto alla luce di ciò, la Società Chimilab consiglia di eseguire una misura geoelettrica, attraverso il sistema installato sul fondo della vasca, con frequenza semestrale.



Esempio di distribuzione del percolato

Sebbene tale sistema non indicherebbe il punto preciso dell'eventuale rottura del telo HDPE, il plume di contaminazione a forma di goccia indicherebbe, in corrispondenza della parte appuntita, la porzione di area del sistema di impermeabilizzazione danneggiata.

INDAGINI GEOELETTRICHE CON RICOSTRUZIONE TOMOGRAFICA

L'indagine elettrica prevede sempre una fase preliminare al fine di comprendere al meglio le problematiche da affrontare e le peculiarità del sito. Il metodo scelto permette di stimare la resistività del sottosuolo in esame; tale parametro è fondamentale per l'individuazione dei passaggi stratigrafici, cavità, percolati ed eventuali sottoservizi presenti.

I valori di resistività vengono rilevati introducendo nel sottosuolo una corrente attraverso due elettrodi di corrente e misurando la differenza di potenziale attraverso altri due elettrodi, detti appunto di misura. L'invio della corrente nel sottosuolo, utilizzando delle sorgenti puntiformi in superficie, determina l'irraggiamento delle linee di corrente attraverso superfici di forma semisferica. In generale il terreno non è elettricamente omogeneo né isotropo, perciò quando viene immessa corrente in esso, una qualsiasi causa di variazione di conducibilità, ne altera il flusso, provocando un'anomala distribuzione del potenziale.

La misura di questo valore prende il nome di "resistività apparente", in quanto dipende dalla disposizione degli elettrodi nel terreno. La raccolta di queste informazioni avviene lungo tutto il tratto percorso dai filetti elettrici e, di conseguenza, da tutta la semisfera prodotta dall'immissione di corrente nel sottosuolo.

La tomografia elettrica di superficie (TES) si basa su un elevato numero di misure elettriche (metodologia multielettrodo) disposti sul terreno lungo i profili scelti. La restituzione dei risultati (ricostruzione tomografica) viene realizzata approssimando il terreno (sottosuolo) in maglie o celle ("elementi finiti") e riportando in un'apposita sezione gli elementi finiti con resistività omogenea.

STRUMENTAZIONE UTILIZZATA

La strumentazione utilizzata per le misure (Syscal Pro) contiene assemblati sia il sistema di energizzante che quello ricevente. Il sistema di ricezione è costituito da un millivoltmetro digitale, atto a misurare la tensione correlata al segnale di corrente inviato; mentre il trasmettitore, alimentato da batteria esterna, invia nel terreno un segnale di corrente regolare. L'apparecchiatura procede ad una rimozione immediata del fattore di disturbo stazionario (generato da fenomeni di polarizzazione spontanea) tramite l'inversione della polarità del flusso di corrente continua nel sottosuolo, cioè grazie all'uso dell'onda quadra di corrente.

La strumentazione utilizzata nelle indagini è quindi costituita da:

- Un georesistivimetro Syscal Pro della Iris Instruments;
- Piastrine in acciaio (lunghezza 10 cm) da collegare ai canali del georesistivimetro;
- cavi multicanale per collegare le piastrine al georesistivimetro;
- batterie da 12V per alimentare il georesistivimetro.

Per l'elaborazione dati è stato utilizzato il programma ERTLlab della Geostudi Astier S.r.l.

IL METODO DELLA RESISTIVITÀ

Lo scopo di un'indagine geoelettrica in una certa area è quello di determinare la distribuzione del parametro fisico *resistività elettrica* nel sottosuolo.

La resistività di un materiale è una misura di quanto esso si oppone al passaggio di corrente elettrica, ed è l'inverso della conducibilità (o conduttività). Essa dipende dai fattori chimico-fisici che hanno influenzato la struttura delle rocce e da quelli che ne determinano le modifiche nel tempo.

Le rocce possono essere considerate, nella maggioranza dei casi, degli elettroliti solidi. In essi la conduzione avviene per processi che interessano gli ioni legati a formare le strutture cristalline; in generale la forza esercitata sugli ioni da parte di un campo elettrico, è minore delle forze che legano tali ioni e pertanto gli elettroliti solidi possono considerarsi *isolanti*.

Le rocce naturali, però, sono in genere permeate da una certa quantità di acqua interstiziale ricca in sali e pertanto acquistano una conduttività ionica che dipende dalla quantità di spazi nella roccia (pori, microfessure, fratture) che sono saturati dall'acqua. In generale si ha dunque che quanto più porosa e fessurata è una roccia, tanto più è elevato il suo contenuto in acqua e tanto più, quindi, è alta la sua conduttività (e ovviamente bassa la sua resistività).

In generale, la *resistività* delle rocce porose, sottosature di acqua, si può ottenere dalla *relazione empirica di Archie*: $\rho = \rho_w a \Phi^{-m} S^{-n}$

dove ρ_w è la resistività dell'acqua di imbibizione; Φ è la porosità (rapporto tra il volume dei pori e quello della roccia); S è il grado di saturazione (o imbibizione - rapporto tra il volume dei pori riempiti d'acqua e quello complessivo dei pori) della roccia (variabile tra 0.1 e 1); a ,

m , n , sono fattori numerici ed in particolare: m è il fattore di cementazione (varia da 1.3 a 2.5) ed a è il coefficiente di tessitura. Per quanto riguarda n , tale parametro assume generalmente un valore pari a 2. La *tessitura* esprime la disposizione, forma e dimensione dei granuli che compongono la roccia, nonché la rete di canalicoli irregolari e tortuosi riempiti di elettrolita (Norinelli, 1982).

Un altro fattore che influenza la resistività è la *temperatura*: un aumento di quest'ultima, infatti, causa un incremento della mobilità degli ioni presenti nella soluzione elettrolitica e quindi della conduttività.

| Roccia/Materiale | Resistività ($\Omega \cdot m$) |
|-------------------------|----------------------------------|
| Argille, marne grasse | 3 - 30 |
| Argille, marne magre | 10 - 40 |
| Argille sabbiose, silt | 25 - 105 |
| Sabbie con argille | 50 - 300 |
| Sabbia, ghiaia in falda | 200 - 400 |
| Sabbia, ghiaia asciutta | 800 - 5000 |
| Calcare, gesso | 500 - 3500 |
| Arenaria | 300 - 3000 |
| Granito | 2000 - 10 000 |
| Gneiss | 400 - 6000 |

Valori di resistività dei terreni più comuni (Leucci, 2015; Leucci, 2019)

Dai valori noti di corrente erogata, dalla configurazione geometrica degli elettrodi e dalla differenza di potenziale misurata si calcola analiticamente la *resistività apparente* dei terreni indagati.

In particolare, la resistività di un terreno omogeneo e isotropo è data dalla seguente relazione:

$$\rho = (\Delta V/I) \cdot K$$

dove K è il coefficiente geometrico che dipende dalla disposizione degli elettrodi sulla superficie, ΔV è la differenza di potenziale misurata e I l'intensità di corrente.

Tuttavia, il sottosuolo non è elettricamente omogeneo e isotropo pertanto, quando in esso si immette corrente, una qualsiasi causa di variazione di conducibilità, ne altera il flusso provocando, di conseguenza, una anomala distribuzione del potenziale rispetto a quella che si avrebbe per un sottosuolo omogeneo.

In conclusione, il valore di resistività che si misura in realtà è una *resistività apparente* e va considerata come un'anomalia rispetto a quella misurabile per una distribuzione teorica del potenziale in un sottosuolo omogeneo ed isotropo di resistività pari a quella propria dell'elettrostatico più superficiale (Rapolla, Carrara, Roberti, 1992).

I profili geoelettrici acquisiti con il sistema multielettrodo permettono di effettuare un'elaborazione tomografica che restituisce la distribuzione bidimensionale o tridimensionale di resistività dei materiali indagati ottenuta da un apposito programma di inversione.

In particolare, si parla di **tomografia bidimensionale (2D)** se il sottosuolo è indagato lungo una sezione piana verticale e gli elettrodi, disposti sulla superficie del terreno, sono allineati ed equidistanti (Fig. 1a); invece, nella **tomografia tridimensionale (3D)** si analizza un intero volume di sottosuolo e gli elettrodi sono posti nei nodi di una griglia sulla superficie del terreno stesso (Fig.1b).

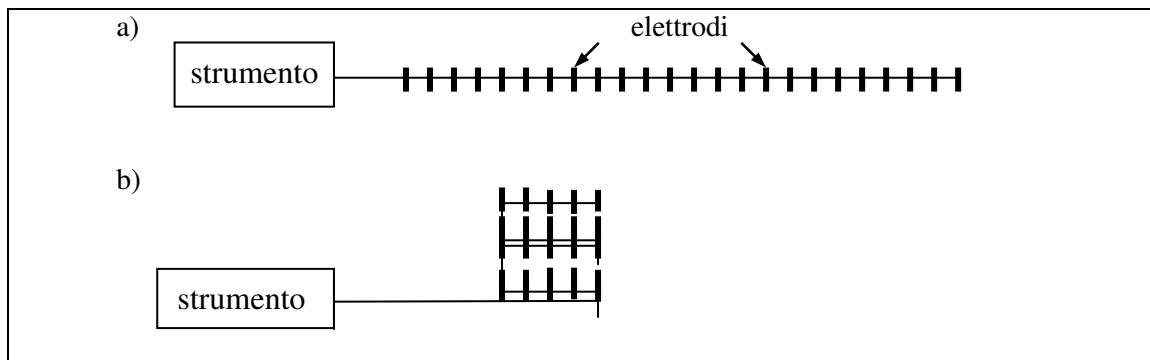


Fig. 1: Illustrazione di due disposizioni elettrode bidimensionale a) e tridimensionale b)

Nei profili tomografici, gli elettrodi, in genere picchetti di ferro o di rame sono distribuiti lungo un profilo a distanza fissa (dell'ordine del metro). La scelta della distanza dipende dalla risoluzione e dalla profondità d'indagine richiesta. Gli elettrodi vengono collegati mediante un cavo multicanale allo strumento di misura e ad un computer. Il software gestisce l'emissione di corrente e la misura della differenza di potenziale utilizzando i diversi elettrodi disponibili.

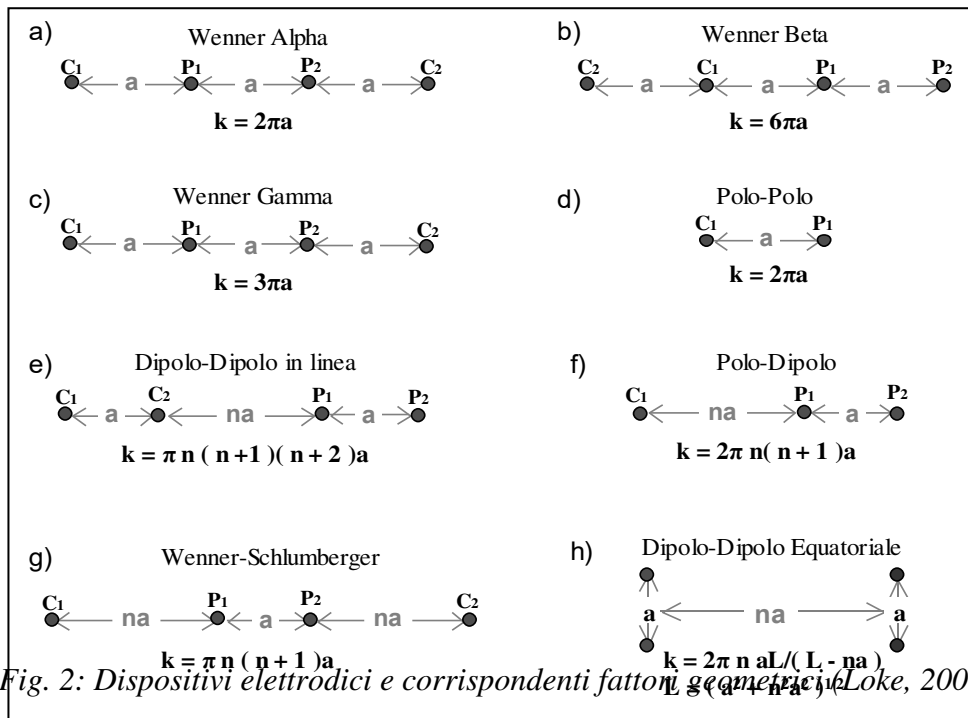
Per le prospezioni tomografiche vengono utilizzate diverse configurazioni di elettrodi di corrente e potenziale, quali ad esempio Schlumberger, Wenner, dipolo-dipolo, polo-dipolo, ecc. (Loke, 2001); la loro scelta dipende dagli scopi dell'indagine, dalle caratteristiche della regione interessata dalla misura, dal tempo a disposizione e dalla quantità di memoria disponibile sul computer.

Sono normalmente utilizzate correnti elettriche a bassa frequenza per minimizzare l'entità dei disturbi causati da servizi sotterranei e/o in superficie tipicamente presenti all'interno dei complessi industriali.

La tomografia elettrica multielettrodica aumenta di molto le prestazioni dell'indagine poiché consente di individuare le interfacce di resistività sia verticali sia orizzontali, che sono legate alla geologia stratigrafica, all'idrogeologia, alla geotecnica, ai problemi ambientali, ecc.;

la sezione di resistività completata con la sezione morfologica, restituisce una visione complessa e realistica del terreno in oggetto di studio.

In Fig. 2 sono rappresentati i vari tipi di dispositivi elettrodi. Indicheremo sempre con C1 e C2 i due elettrodi di corrente e con P1 e P2 i due elettrodi di potenziale.



Essendo, nella realtà, il sottosuolo da investigare disomogeneo, la tomografia elettrica multielettroda bidimensionale permette solo di ricostruire una sezione di resistività apparente, detta *pseudosezione* in funzione della lunghezza dello stendimento e della posizione degli elettrodi sullo stendimento stesso.

Il nome *pseudosezione* è giustificato dal fatto che la distanza interelettroda, usata come variabile indipendente, determina la profondità, ma non coincide con essa.

I risultati rappresentati sotto forma di pseudosezioni di resistività apparente possono essere presentati come linee iso-resistive o con colori

convenzionali, che permettono di distinguere aree a bassa resistività da aree a resistività relativamente maggiore. Inoltre la forma a trapezio del disegno dipende dalla graduale diminuzione del numero dei dati ottenuti aumentando la distanza degli elettrodi.

La pseudosezione dà dunque un'immagine molto approssimativa della reale distribuzione di resistività del mezzo analizzato che, dunque, appare con forme e contorni distorti rispetto a quelli reali.

A causa delle difficoltà riscontrate nell'interpretazione dei dati, bisogna trasformare mediante algoritmo d'inversione i valori di resistività apparente, graficati in forma di pseudosezione, in sezione di resistività reale; il risultato dell'indagine multielettrodica è dunque una mappatura in termini di resistività 2D o una distribuzione volumetrica di resistività 3D, dalle quali si deducono le caratteristiche litologiche del sottosuolo.

L'algoritmo di inversione, sulla base di un modello iniziale di distribuzione di resistività, calcola, tramite un procedimento agli elementi finiti, i valori di resistività apparente nei punti in cui la resistività stessa è stata misurata.

La tecnica è essenzialmente un'ottimizzazione del metodo dei minimi quadrati in cui un modello di partenza viene iterativamente modificato finché la differenza tra questo e la pseudosezione sperimentale risulta ridotta al minimo. L'assunto di base della tecnica per la costruzione del modello è che nel sottosuolo ci sono tanti strati quanti sono i valori di resistività sulla curva sperimentale di ρ_a .

La profondità media di ogni strato è uguale alla spaziatura elettrodica utilizzata per la misura di resistività moltiplicata per una costante il cui valore deve essere tale da ridurre al minimo la differenza tra la curva teorica (ricavata dal modello) e la curva sperimentale. Questa costante viene determinata utilizzando l'algoritmo del *trial and error*, ovvero

calcolando la percentuale di scarto *root mean squared* (*r.m.s.*, *radice quadrata media*) tra i valori di ρ_a osservati ed i valori ρ_a calcolati nei punti considerati.

E' da sottolineare, tuttavia, il fatto che non sempre, al più basso valore *r.m.s.* possibile, corrisponde il modello geologico di sottosuolo più vicino alla realtà, a volte, infatti, si possono ottenere variazioni poco realistiche nei valori di resistività del modello. Pertanto, l'approccio più corretto è quello di scegliere il modello di sottosuolo corrispondente all'iterazione dopo la quale l'errore *r.m.s.* non cambia significativamente. Generalmente ciò accade tra la terza e la quarta iterazione.

L'algoritmo associa, infine ad ogni maglia della griglia 2D o 3D, in cui viene suddiviso il corpo da ricostruire, un valore di resistività reale, imponendo a maglie vicine di non poter assumere valori di resistività reale arbitrariamente diversi. Questo tipo di limitazione deve infatti compensare il fatto che per ottenere un modello dettagliato e sufficientemente esteso da coprire l'intero volume del corpo investigato con tutte le misure, il numero di maglie è molto superiore al numero di dati sperimentali di resistività apparente.

ESECUZIONE ED ELABORAZIONE DELLA MISURA 8

Nel giorno 27-11-2025, è stata eseguita la **Misura 8** (discarica in esercizio) della fase di monitoraggio geoelettrico.

Attraverso i connettori disposti all'interno dei pozzetti sono stati collegati al georesistimetro due cavi per volta; in questo modo è stata realizzata un'acquisizione a 48 canali (24 per ogni cavo) per ogni misura. Il georesistivimetro utilizzato è il Syscal Pro della Iris Instruments.

Per quanto riguarda il metodo di acquisizione è stata utilizzata la configurazione Dipolo-dipolo, molto utile per determinare le variazioni latero-verticali delle resistività elettrica del sottosuolo; per ogni acquisizione a 48 canali sono stati ricavati 1195 punti di misura (fig. 4).

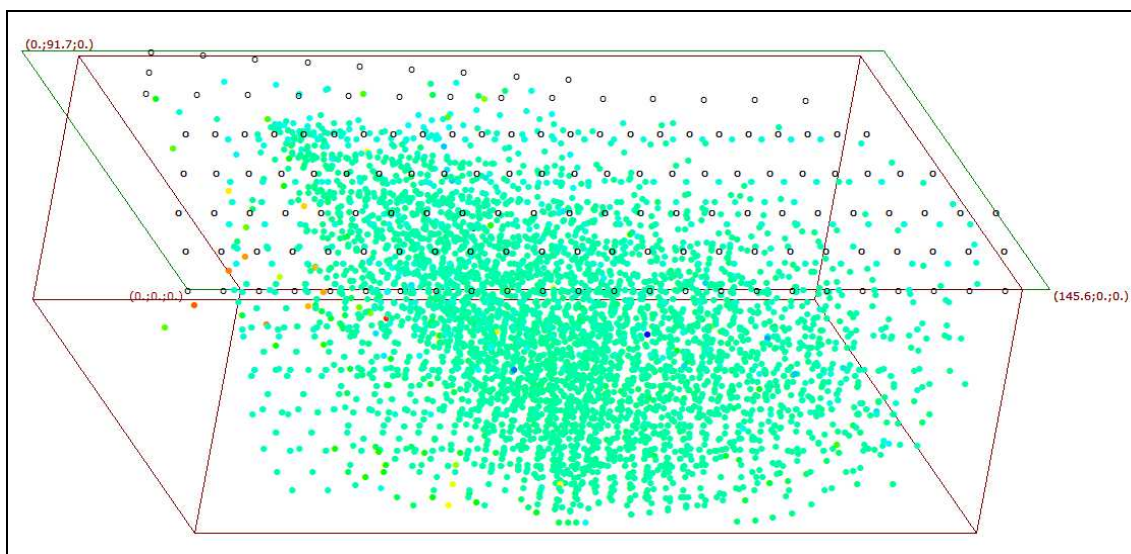


Fig. 4: Punti di acquisizione per il modello 3D del fondo vasca – Configurazione Dipolo-dipolo



Fase di acquisizione della Misura 8 (fase di esercizio della discarica)



CHIMILAB
LABORATORIO DI ANALISI CHIMICHE

Analisi Chimico - Fisiche e Batteriologiche
Alimenti - Acqua - Aria - Suolo - Rifiuti - Emissioni
Amianto - Gas Free - Radon - Rumori

Laboratorio autorizzato dal Ministero della Salute ad eseguire
analisi su materiali contenenti amianto con cod. N° 323 PUG 16

Azienda con
SISTEMA DI GESTIONE QUALITÀ
UNI EN ISO 9001

SISTEMA DI GESTIONE SALUTE E SICUREZZA
UNI ISO 45001

SISTEMA DI GESTIONE AMBIENTALE
UNI EN ISO 14001

ELABORAZIONE E INTERPRETAZIONE DEI DATI

Per l'elaborazione dei dati è stato utilizzato il programma ERTLlab della Geostudi Astier S.r.l..

Per il fondo vasca si ottenuto un unico modello 3D dato dall'elaborazione contemporanea di tutti i dati dei 6 stendimenti; il modello che ha raggiunto una profondità di 20 metri a partire dal piano del fondo vasca comprende l'intera superficie dello stesso (fig. 6).

In figura 5, oltre gli stendimenti geoelettrici, viene riportato anche il punto di visualizzazione dei modelli di seguito raffigurati.

Il modello ottenuto in questa fase è stato messo a confronto con i modelli delle misure precedenti e cioè con la *Misura di Collaudo* (Ottobre 2020), le quattro *Misure 0* (Febbraio 2021, Giugno 2021, Dicembre 2021 e Aprile 2022) eseguita prima della fase di esercizio della discarica e le *Misura 1, Misura 2 Misura 3, Misura 4, Misura 5, Misura 6 e Misura 7* (Dicembre 2022, Giugno 2023, Dicembre 2023, Giugno 2024, Dicembre 2024, Febbraio 2025 e Giugno 2025) eseguite durante la fase di esercizio della discarica; in questo modo si cerca di risaltare e interpretare eventuali variazioni delle resistività elettriche del sottosuolo che potrebbero essere responsabili di eventuali contaminazioni di perdite di percolati.

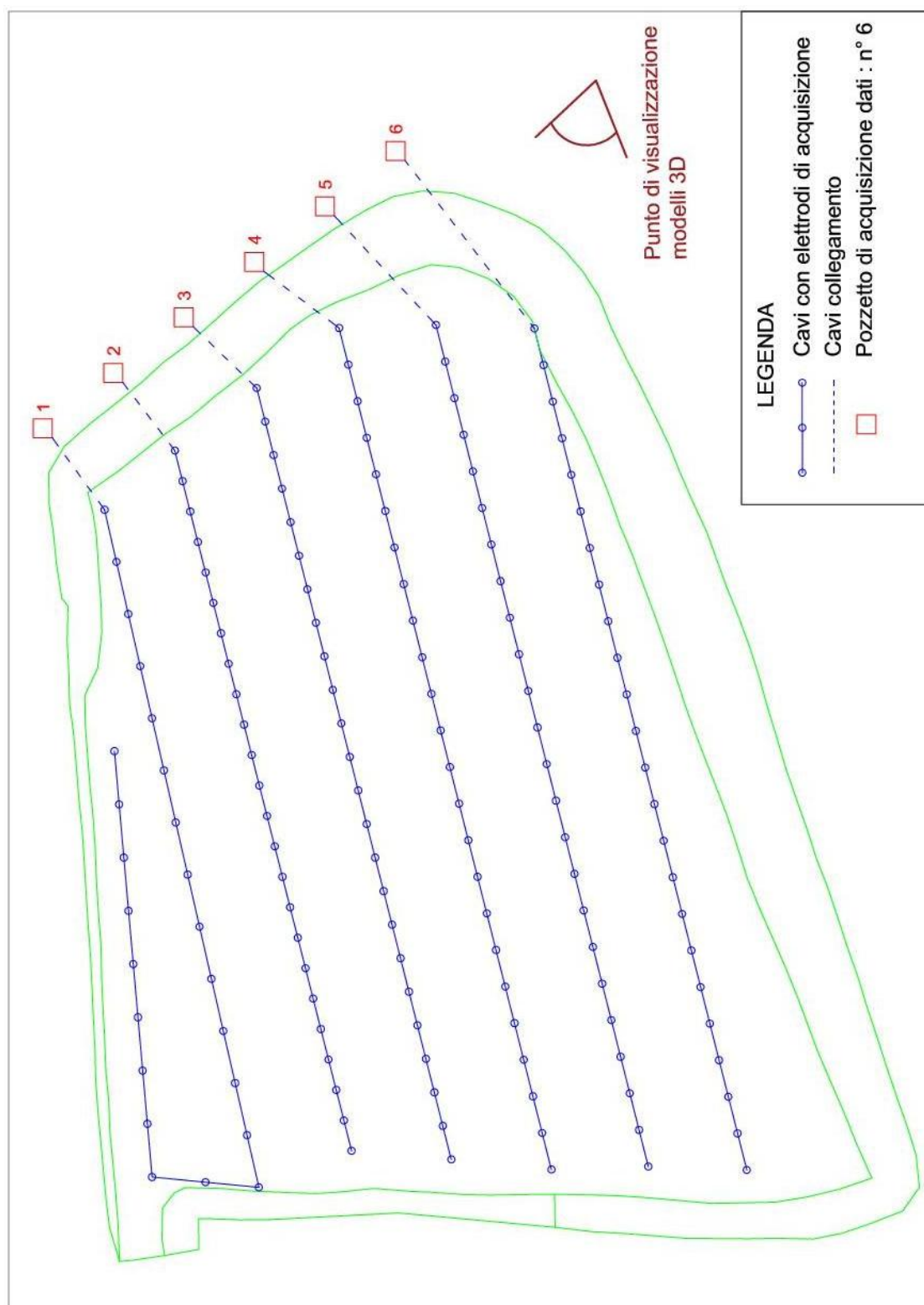


Fig. 5: Planimetria degli stendimenti geoelettrici del fondo vasca. Punto di visualizzazione dei modelli 3D (Scala 1:1000)



CHIMILAB
 LABORATORIO DI ANALISI CHIMICHE

Analisi Chimico - Fisiche e Batteriologiche
 Alimenti - Acqua - Aria - Suolo - Rifiuti - Emissioni
 Amianto - Gas Free - Radon - Rumori

Laboratorio autorizzato dal Ministero della Salute ad eseguire
 analisi su materiali contenenti amianto con cod. N° 323 PUG 16

Azienda con
 SISTEMA DI GESTIONE QUALITÀ
 UNI EN ISO 9001

SISTEMA DI GESTIONE SALUTE E SICUREZZA
 UNI ISO 45001

SISTEMA DI GESTIONE AMBIENTALE
 UNI EN ISO 14001

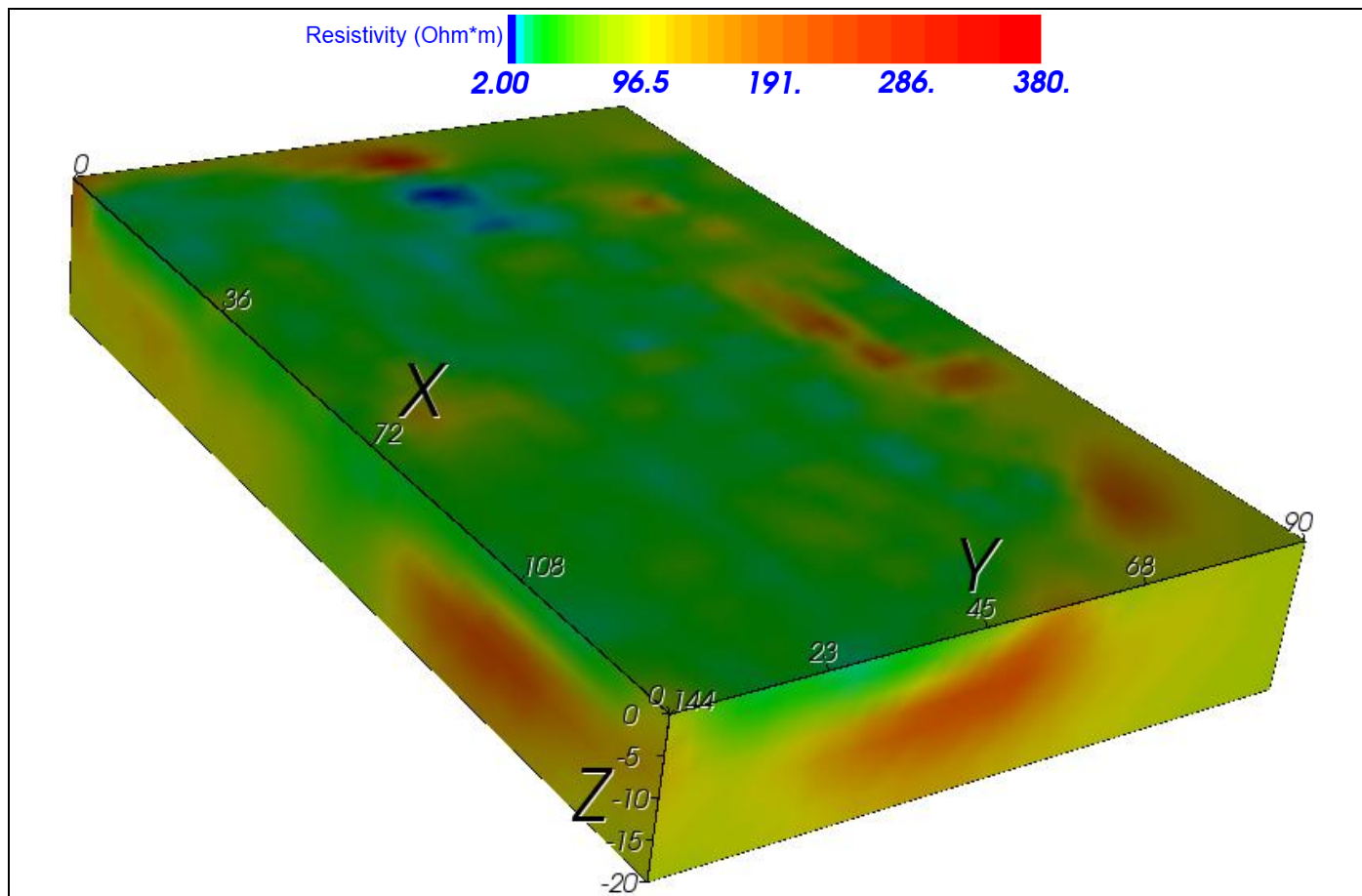


Fig. 6: Modello 3D del fondo vasca (Misura 8)

Dal modello 3D ottenuto riportato in figura 6, risulta che il sottosuolo presenta dei valori di resistività elettrica che variano da 2.00 a 380 $\Omega \cdot m$.

Nelle figure seguenti sono state messe a confronto i risultati scaturiti con una delle *Misure 0* (Aprile 2022) con quelli della attuale *Misura 8* (Novembre 2025), in particolare nella figura 8 sono state messe a confronto le sezioni verticali delle due misure le quali mostrano le differenze di resistività elettrica sia in superficie che in profondità, tali variazioni sono meglio evidenti nelle figure 8-9-10-11-12 le quali mettono a confronto le sezioni orizzontali delle due misure a varie profondità.

Come si può notare, nella *Misura 8*, i valori di resistività elettrica rispetto alla *Misura 0*, subiscono delle variazioni sia positive che negative, inoltre, sempre rispetto alla *Misura 0*, si ha una maggiore distribuzione dei

valori basso-resistivi soprattutto nella parte superficiale della vasca per uno spessore massimo di 2.0 metri.

Rispetto invece ai modelli della *Misura 1, 2, 3, 4, 5, 6 e 7* (Dicembre 2022, Giugno 2023, Dicembre 2023, Giugno 2024, Dicembre 2024, Febbraio 2025 e Giugno 2025) il modello della *Misura 8* risulta molto simile: si registrano solo delle variazioni negative nella maggior parte delle zone in cui i valori di resistività elettrica risultavano relativamente alti. Nella parte restante del modello, i valori di resistività presentano pressoché gli stessi valori delle suddette *Misure* e solo in alcune piccole zone si registra un importante aumento.

In buona sostanza, a partire dalla fase di esercizio della discarica si sta osservando nella parte superficiale della discarica una tendenza alla omogeneizzazione dei valori di resistività elettrica.

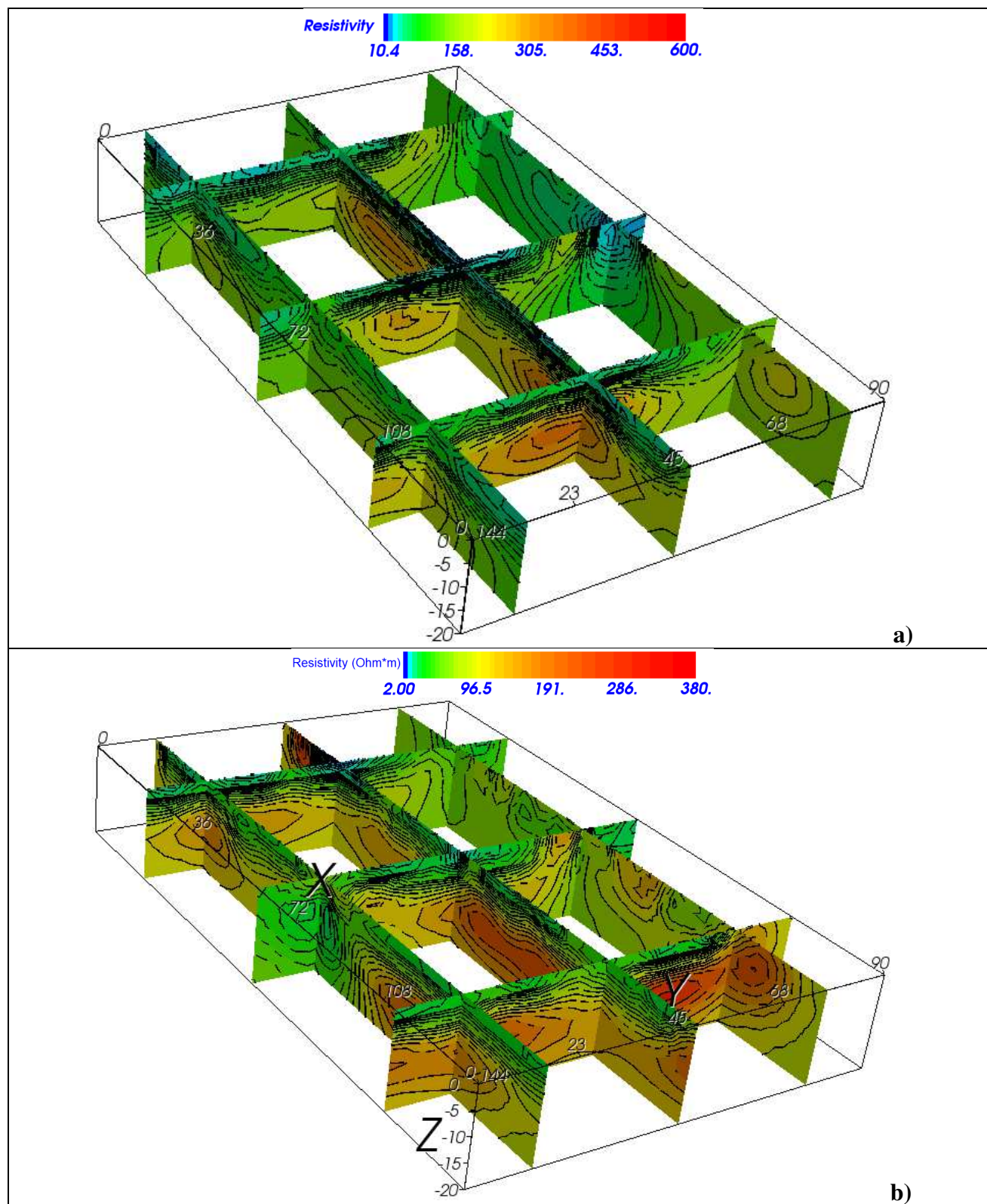


Fig. 7: Sezioni verticali: **a)** Misura 0 (Aprile 2022); **b)** Misura 8 (Novembre 2025)

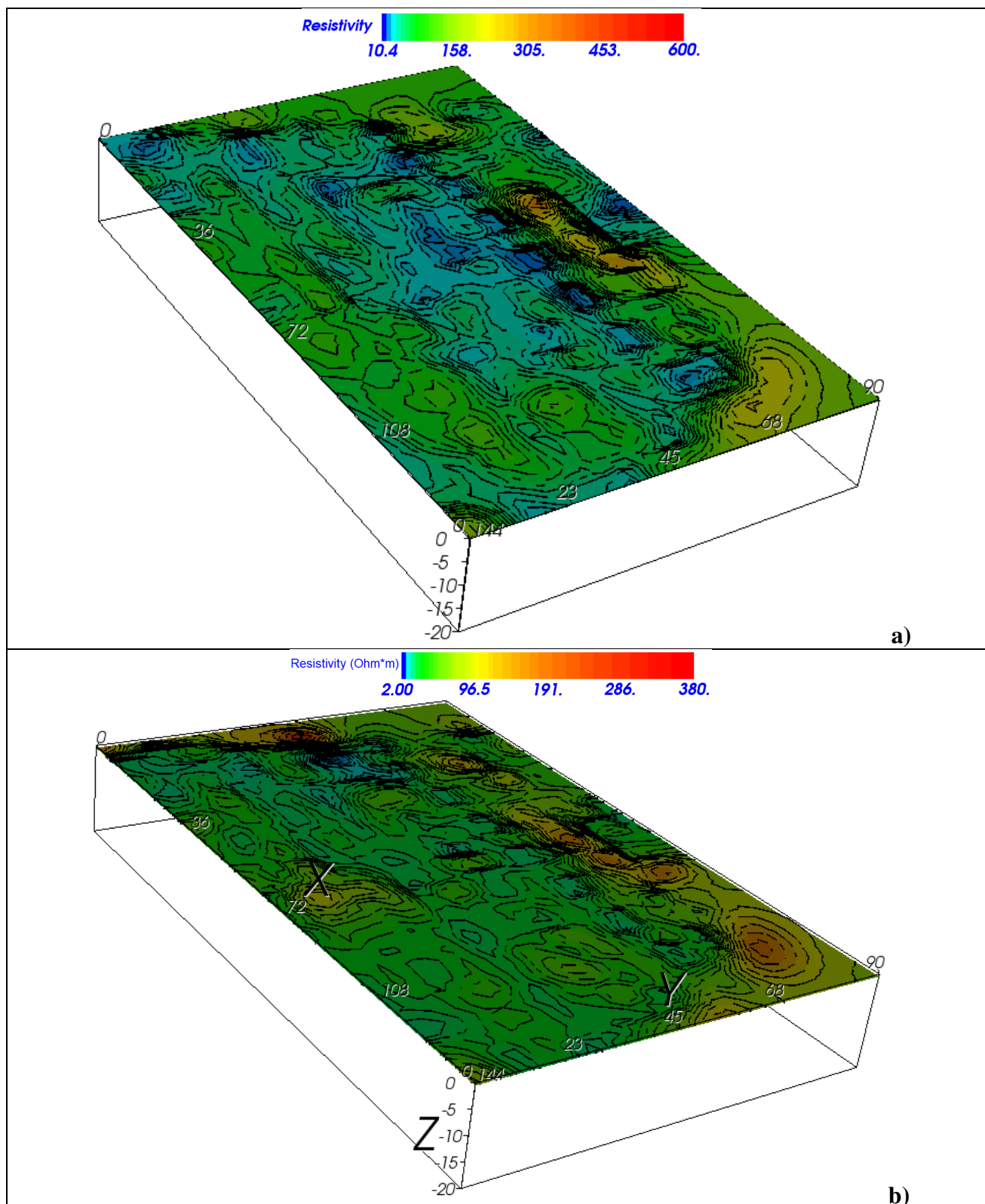


Fig. 8: Sezioni orizzontali a 0.0 metri dal p.c.: **a)** Misura 0 (Aprile 2022);
b) Misura 8 (Novembre 2025)

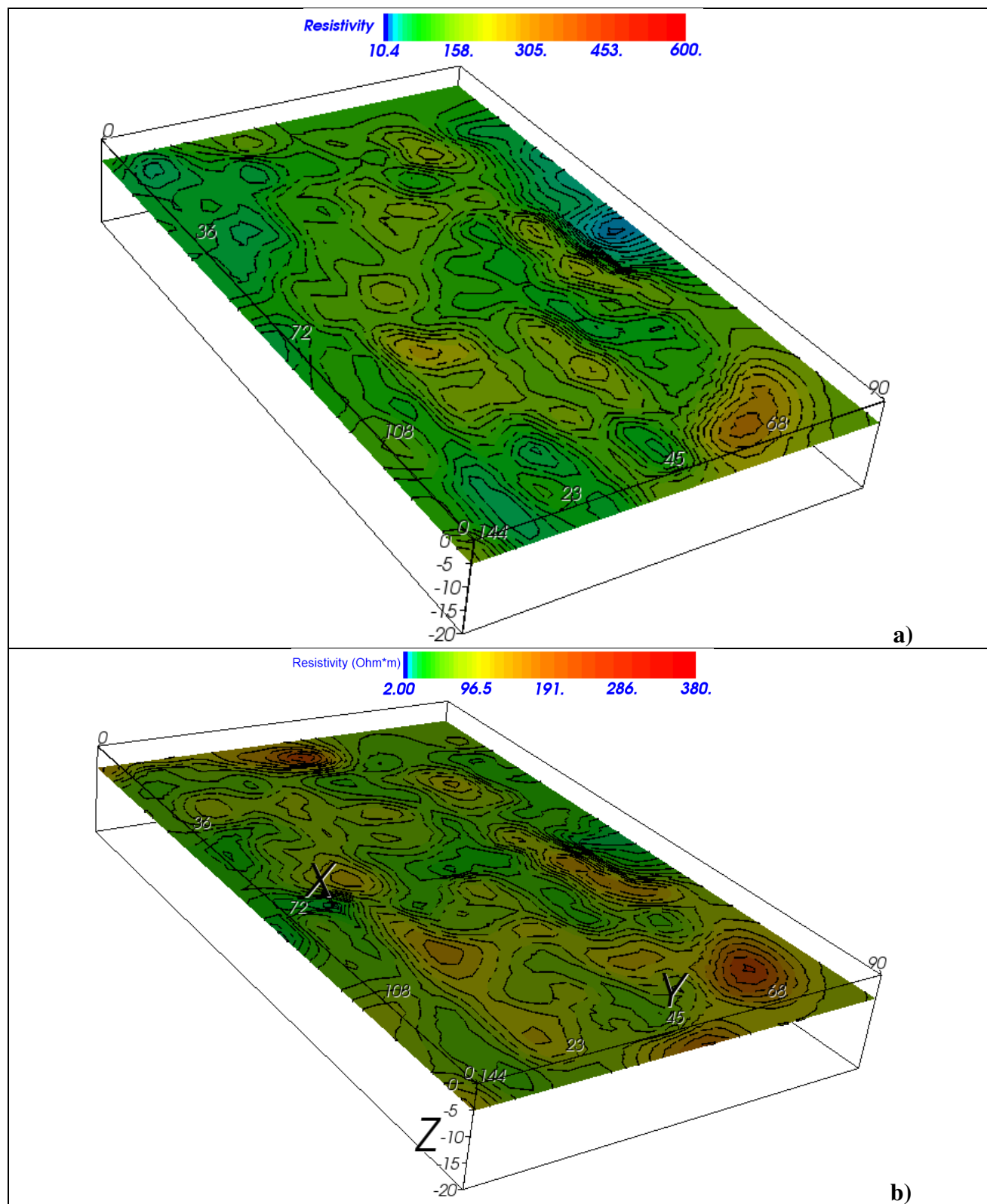


Fig. 9: Sezioni orizzontali a -5.0 metri dal p.c.: **a)** Misura 0 (Aprile 2022);
b) Misura 8 (Novembre 2025)

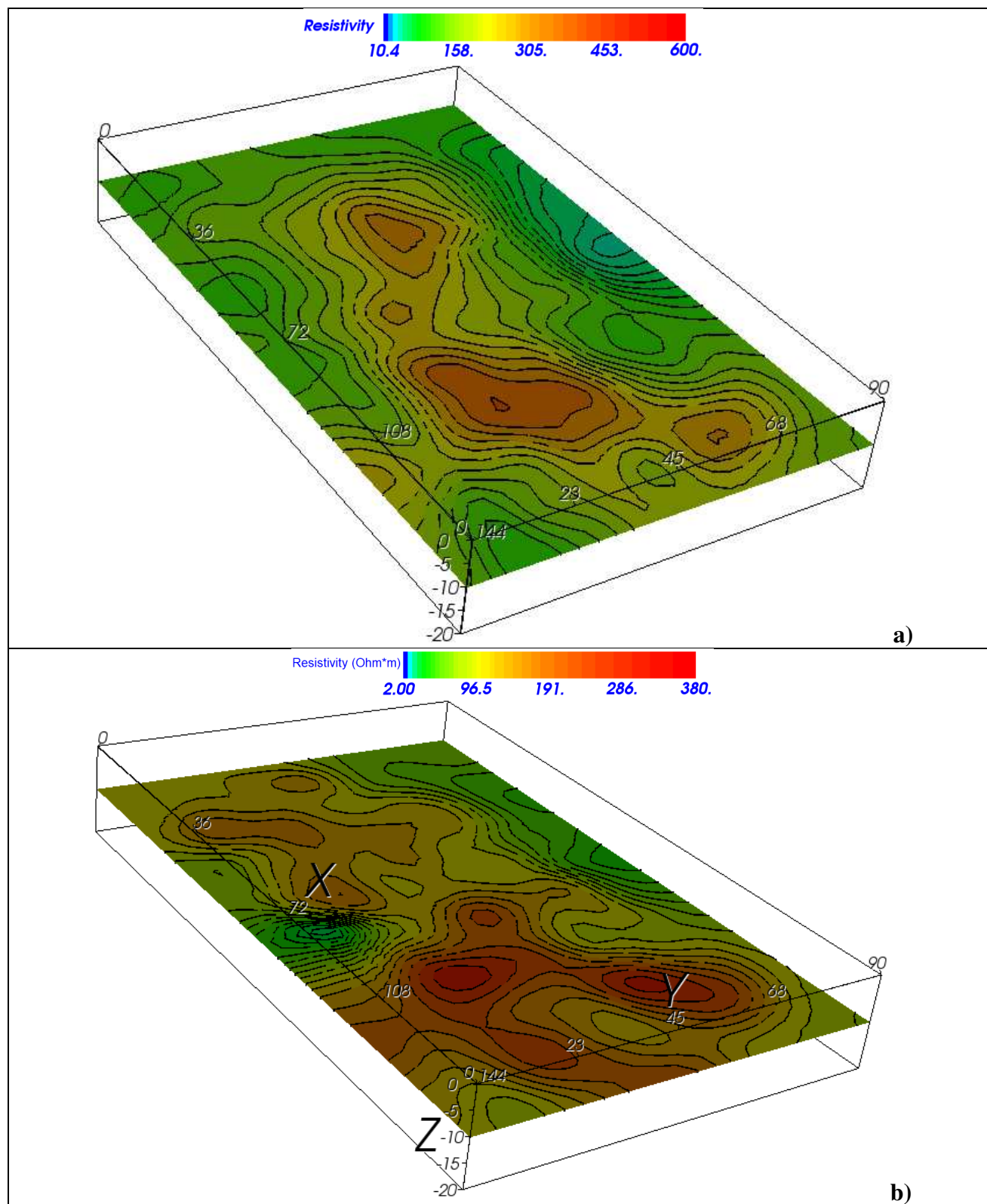


Fig. 10: Sezioni orizzontali a -10.0 metri dal p.c.: **a)** Misura 0 (Aprile 2022);
b) Misura 8 (Novembre 2025)

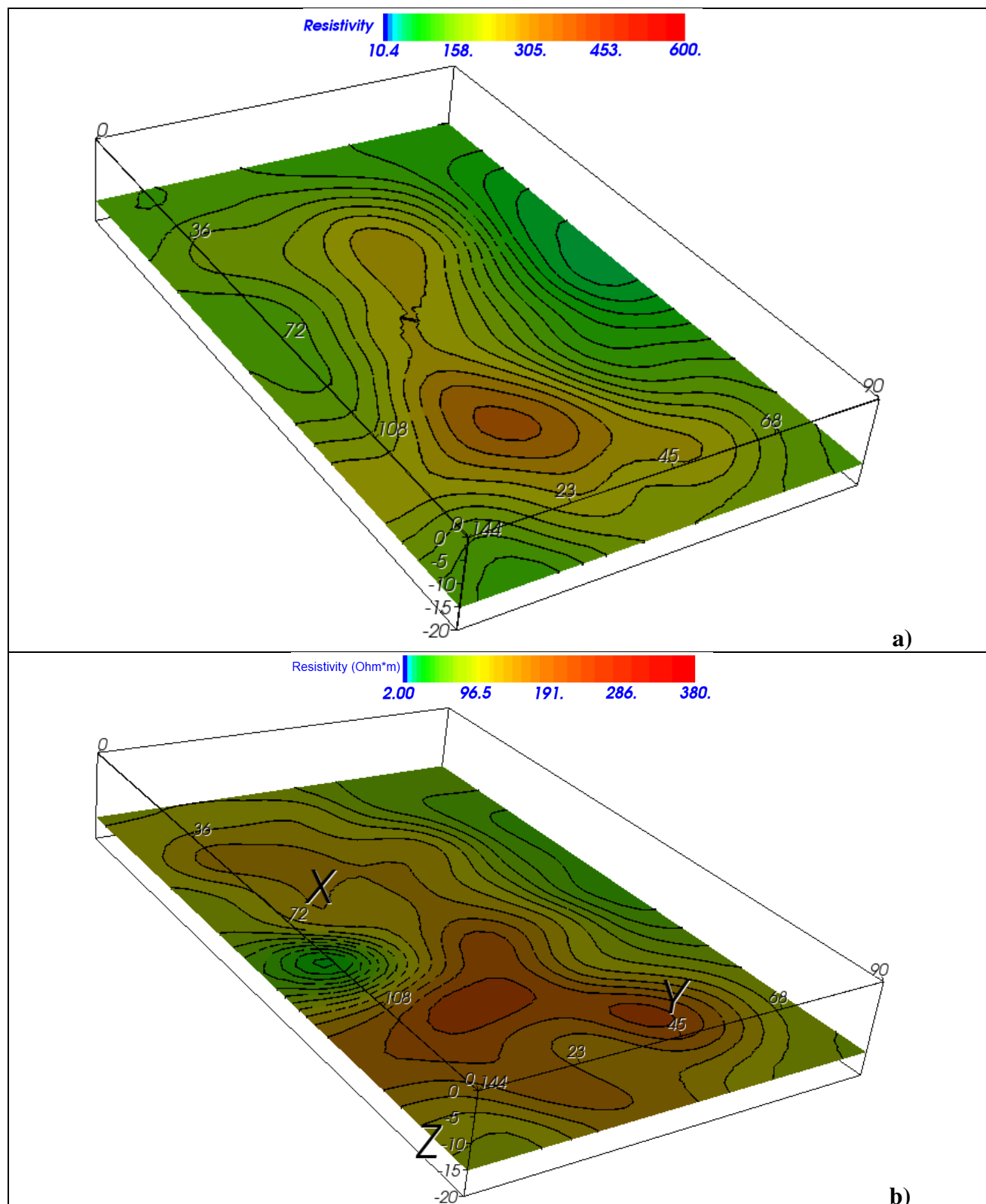


Fig. 11: Sezioni orizzontali a -15.0 metri dal p.c.: **a)** Misura 0 (Aprile 2022);
b) Misura 8 (Novembre 2025)



CHIMILAB
 LABORATORIO DI ANALISI CHIMICHE

Analisi Chimico - Fisiche e Batteriologiche
 Alimenti - Acqua - Aria - Suolo - Rifiuti - Emissioni
 Amianto - Gas Free - Radon - Rumori

Laboratorio autorizzato dal Ministero della Salute ad eseguire
 analisi su materiali contenenti amianto con cod. N° 323 PUG 16

Azienda con
 SISTEMA DI GESTIONE QUALITÀ
 UNI EN ISO 9001

SISTEMA DI GESTIONE SALUTE E SICUREZZA
 UNI ISO 45001

SISTEMA DI GESTIONE AMBIENTALE
 UNI EN ISO 14001

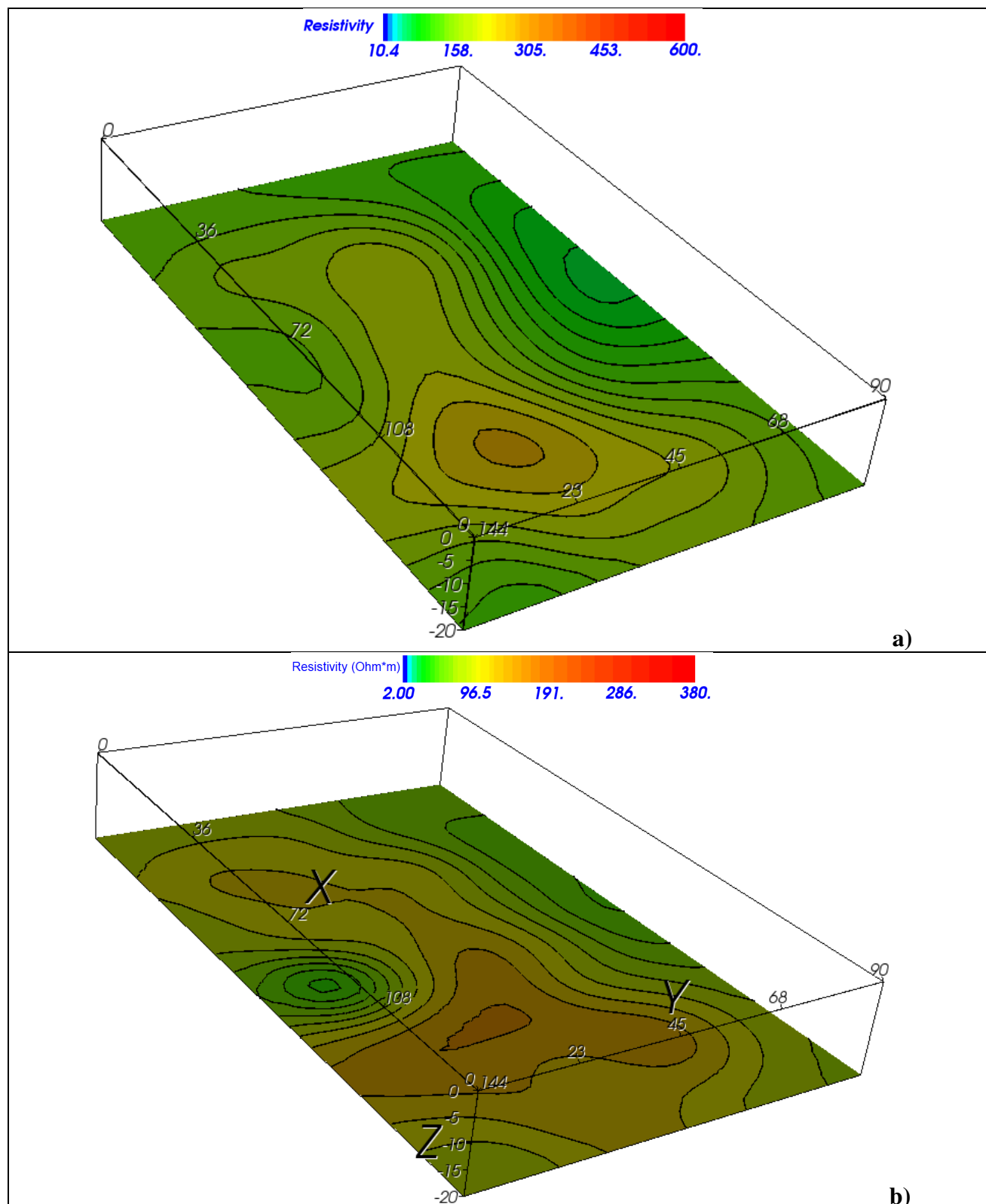


Fig. 12: Sezioni orizzontali a -20.0 metri dal p.c.: **a)** Misura 0 (Aprile 2022);
b) Misura 8 (Novembre 2025)

Per un confronto più immediato e per una diretta visualizzazione dell'evoluzione dei valori basso-resistivi ($<30 \Omega \cdot m$), nelle figure 13, 13a e 13b sono state rappresentate i time-lapse di tali valori di tutti i modelli (*Misura di Collaudo, Misure 0, 1, 2, 3, 4, 5, 6, 7 e 8*): si può notare come tali valori, nella Misura di Collaudo (prima della posa del telo HDPE) erano presenti in piccole porzioni in superficie, nelle *Misure 0* (prima dell'esercizio della discarica e dopo la posa del telo HDPE) tali zone basso-resistive tendono ad aumentare in modo molto modesto fino a stabilizzarsi, mentre durante la fase di esercizio della discarica gli stessi riprendono ad aumentare e ad uniformarsi soprattutto in superficie (*Misura 1 e 2*) e a stabilizzarsi (*Misura 3, 4, 5, 6, 7 e 8*).



CHIMILAB
LABORATORIO DI ANALISI CHIMICHE

Analisi Chimico · Fisiche e Batteriologiche
Alimenti · Acqua · Aria · Suolo · Rifiuti · Emissioni
Amianto · Gas Free · Radon · Rumori

Laboratorio autorizzato dal Ministero della Salute ad eseguire
analisi su materiali contenenti amianto con cod. N° 323 PUG 16

Azienda con
SISTEMA DI GESTIONE QUALITÀ
UNI EN ISO 9001

SISTEMA DI GESTIONE SALUTE E SICUREZZA
UNI ISO 45001

SISTEMA DI GESTIONE AMBIENTALE
UNI EN ISO 14001

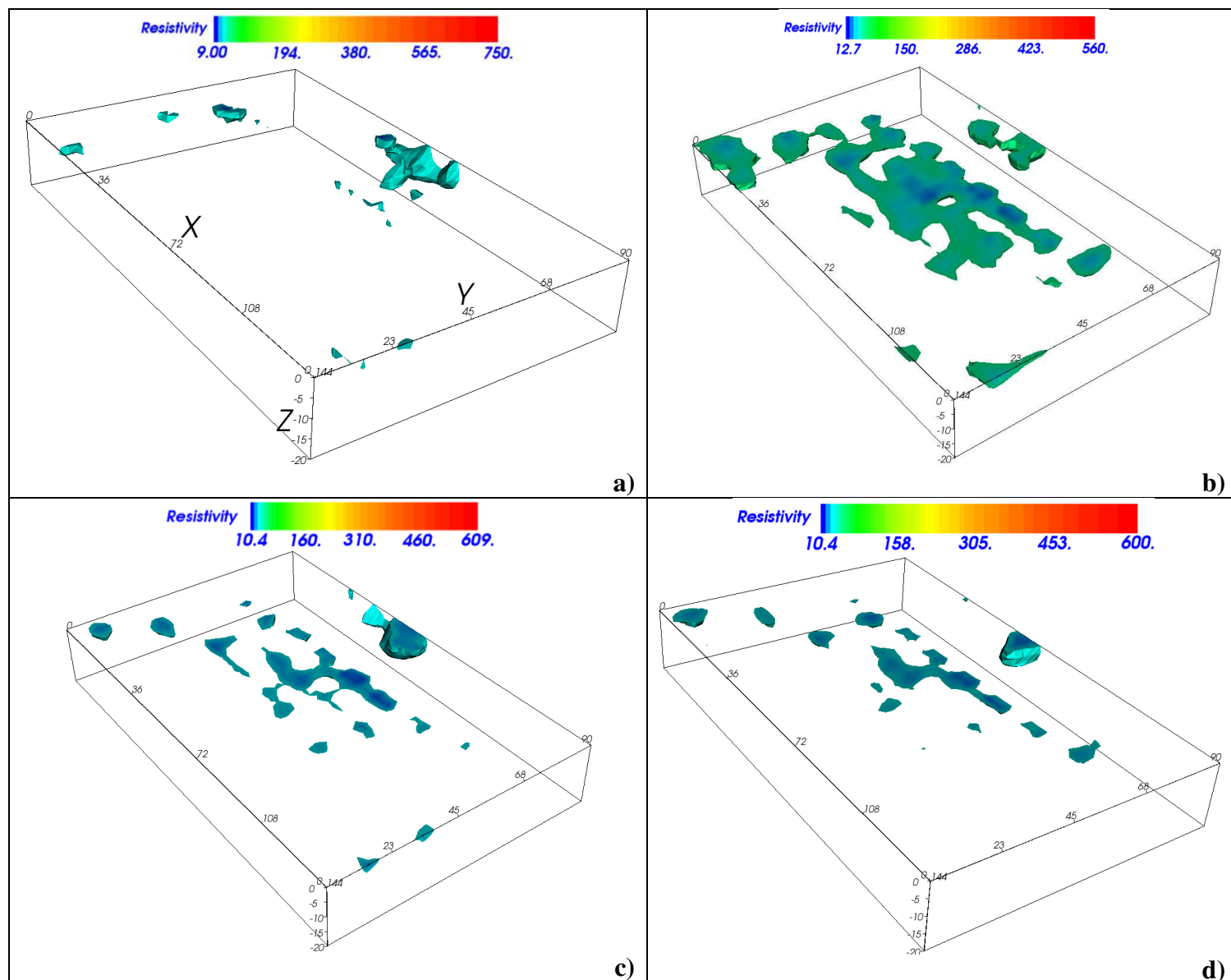


Fig. 13: Volumi di resistività elettrica ($<30 \Omega \cdot m$): **a)** Misura di Collaudo (Ottobre 2020); **b)** Misura 0 (Febbraio 2021); **c)** Misura 0 (Giugno 2021); **d)** Misura 0 (Dicembre 2021)

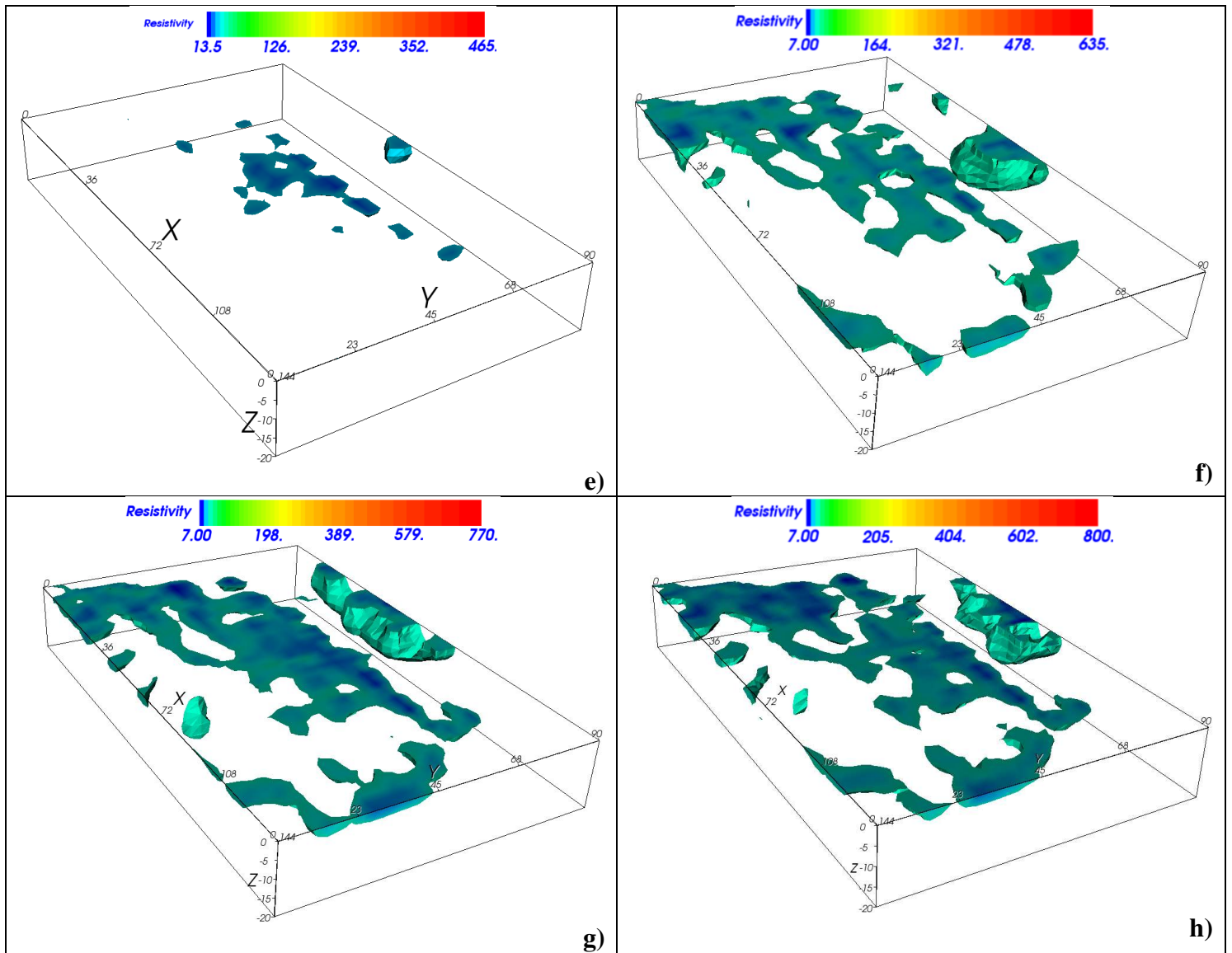


Fig. 13a: Volumi di resistività elettrica ($<30 \Omega \cdot m$): **e)** Misura 0 (Aprile 2022); **f)** Misura 1 (Dicembre 2022); **g)** Misura 2 (Giugno 2023); **h)** Misura 3 (Dicembre 2023)



CHIMILAB
 LABORATORIO DI ANALISI CHIMICHE

Analisi Chimico - Fisiche e Batteriologiche
 Alimenti - Acqua - Aria - Suolo - Rifiuti - Emissioni
 Amianto - Gas Free - Radon - Rumori

Laboratorio autorizzato dal Ministero della Salute ad eseguire
 analisi su materiali contenenti amianto con cod. N° 323 PUG 16

Azienda con
 SISTEMA DI GESTIONE QUALITÀ
 UNI EN ISO 9001

SISTEMA DI GESTIONE SALUTE E SICUREZZA
 UNI ISO 45001

SISTEMA DI GESTIONE AMBIENTALE
 UNI EN ISO 14001

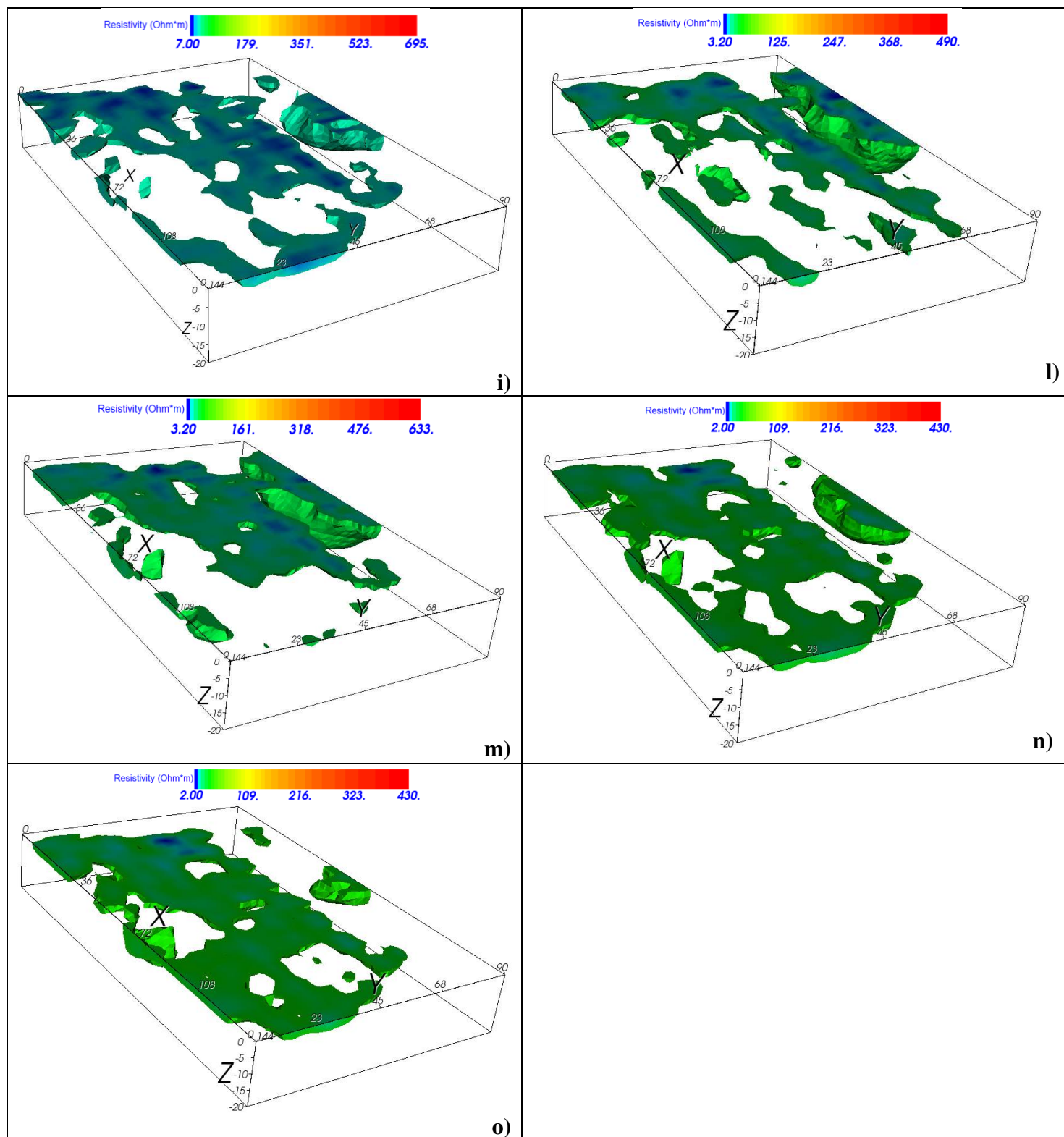


Fig. 13b: Volumi di resistività elettrica ($<30 \Omega \cdot m$): **i)** Misura 4 (Giugno 2024); **l)** Misura 5 (Dicembre 2024); **m)** Misura 6 (Febbraio 2025); **n)** Misura 7 (Giugno 2025); **o)** Misura 8 (Novembre 2025)

In conclusione, data la finalità del lavoro, in questa fase i dati più importanti da mettere in risalto sono i valori basso-resistivi responsabili di una eventuale perdita di percolato nel sottosuolo, sebbene si registrano delle diminuzioni di resistività, nella *Misura 8* non si notano valori particolarmente bassi che fanno preludere ad una contaminazione di percolato da parte dei rifiuti sovrastanti, inoltre il modello della *Misura 8* è molto simile ai modelli della *Misura 1, 2, 3, 4, 5, 6 e 7*. Una piccola zona che registra un valore di $2.0 \Omega \cdot m$ è presente nella parte retrostante del modello, si tratta di una zona molto limitata e che non assume nessuna forma a plume di contaminazione, infatti essa, anche seppur limitatamente, si distribuisce in modo areale.

I valori registrati in questa fase non scendono mai al di sotto dei $7.0 \Omega \cdot m$ (eccetto per la piccola zona prima citata) e probabilmente la maggiore distribuzione dei valori relativamente bassi ($7-30 \Omega \cdot m$) nei primi metri del sottosuolo è causata da una maggiore concentrazione dell'umidità naturale.

Ruffano, Dicembre 2025

IL DIRETTORE TECNICO CHIMILAB

Dott.ssa Daniela Cossa



IL TECNICO

Dott. Geol. Marcello De Donatis



CHIMILAB
LABORATORIO DI ANALISI CHIMICHE

Analisi Chimico · Fisiche e Batteriologiche
Alimenti · Acqua · Aria · Suolo · Rifiuti · Emissioni
Amianto · Gas Free · Radon · Rumori

Laboratorio autorizzato dal Ministero della Salute ad eseguire
analisi su materiali contenenti amianto con cod. N° 323 PUG 16

Azienda con
SISTEMA DI GESTIONE QUALITÀ
UNI EN ISO 9001

SISTEMA DI GESTIONE SALUTE E SICUREZZA
UNI ISO 45001

SISTEMA DI GESTIONE AMBIENTALE
UNI EN ISO 14001

| | |
|-----------------------------------|---|
| COMMITTENTE: | Consorzio Industriale Provinciale Nord Est Sardegna - Gallura |
| CANTIERE: | Lotto 1 – discarica consortile per RNP |
| LOCALITA' | Loc. Santu Spirito |
| TIPOLOGIA DI INDAGINI: | IMPIANTO MONITORAGGIO GEOELETTRICO PERMANENTE – FASE DI ESERCIZIO (MISURA 8) NOVEMBRE 2025 |

ALLEGATO:
DATI GEOELETTRICI FASE DI ESERCIZIO (MISURA 8)
27 NOVEMBRE 2025

| Dati Geolettrici_Misura 8 27 Novembre 2025 | | | | | | |
|--|--------|--------|--------|--------|-----------|----------|
| Misura n. | Elec_A | Elec_B | Elec_M | Elec_N | V/I(ohm) | I(mA) |
| 1 | 1 | 2 | 3 | 4 | -0.053398 | 2525.024 |
| 2 | 1 | 2 | 6 | 7 | -0.018894 | 2525.024 |
| 3 | 1 | 2 | 7 | 8 | -0.000159 | 2525.024 |
| 4 | 1 | 3 | 10 | 12 | 0.000025 | 2399.825 |
| 5 | 1 | 5 | 26 | 23 | -0.000159 | 2524.537 |
| 6 | 1 | 5 | 23 | 27 | 0.000155 | 2524.537 |
| 7 | 1 | 6 | 30 | 35 | -0.000011 | 2524.385 |
| 8 | 1 | 6 | 35 | 31 | 0.000008 | 2524.385 |
| 9 | 2 | 3 | 5 | 6 | -0.01274 | 1541.357 |
| 10 | 2 | 3 | 8 | 9 | -2.700687 | 1541.357 |
| 11 | 2 | 4 | 12 | 14 | 0.051938 | 646.974 |
| 12 | 2 | 4 | 14 | 16 | 0.05006 | 646.974 |
| 13 | 2 | 4 | 16 | 11 | -0.047411 | 646.974 |
| 14 | 2 | 4 | 11 | 13 | 0.034439 | 646.974 |
| 15 | 2 | 4 | 13 | 15 | 0.064022 | 646.974 |
| 16 | 2 | 4 | 15 | 17 | -0.106574 | 646.974 |
| 17 | 2 | 5 | 22 | 17 | 0.008634 | 2524.198 |
| 18 | 2 | 5 | 17 | 20 | -0.008521 | 2524.198 |
| 19 | 2 | 7 | 28 | 33 | -0.018423 | 969.723 |
| 20 | 2 | 7 | 33 | 29 | 0.017833 | 969.723 |
| 21 | 2 | 7 | 29 | 34 | -0.026151 | 969.723 |
| 22 | 2 | 7 | 34 | 30 | 0.024686 | 969.723 |
| 23 | 2 | 7 | 30 | 35 | -0.031153 | 969.723 |
| 24 | 2 | 7 | 35 | 31 | 0.027976 | 969.723 |
| 25 | 2 | 7 | 31 | 36 | -0.032715 | 969.723 |
| 26 | 2 | 7 | 36 | 32 | 0.027059 | 969.723 |
| 27 | 3 | 5 | 11 | 13 | 7.599406 | 156.162 |
| 28 | 3 | 5 | 14 | 16 | -0.890723 | 1226.839 |
| 29 | 3 | 6 | 20 | 23 | 0.193899 | 224.389 |
| 30 | 3 | 6 | 21 | 24 | 0.003976 | 2532.29 |
| 31 | 3 | 8 | 29 | 34 | -0.047803 | 1315.381 |
| 32 | 3 | 8 | 34 | 30 | 0.040867 | 1315.381 |
| 33 | 3 | 8 | 30 | 35 | -0.044833 | 1315.381 |
| 34 | 3 | 8 | 35 | 31 | 0.034612 | 1315.381 |
| 35 | 3 | 8 | 31 | 36 | -0.035513 | 1315.381 |
| 36 | 3 | 8 | 36 | 32 | 0.023815 | 1315.381 |
| 37 | 3 | 8 | 32 | 37 | -0.023717 | 1315.381 |
| 38 | 3 | 8 | 37 | 33 | 0.012939 | 1315.381 |
| 39 | 3 | 8 | 33 | 38 | -0.013555 | 1315.381 |
| 40 | 3 | 9 | 39 | 45 | 0.004348 | 1694.831 |
| 41 | 3 | 10 | 41 | 48 | 0.012656 | 441.635 |
| 42 | 4 | 5 | 6 | 7 | -5.862912 | 81.996 |
| 43 | 4 | 5 | 9 | 10 | -3.885459 | 81.996 |
| 44 | 4 | 5 | 11 | 12 | 5.064297 | 81.996 |
| 45 | 4 | 6 | 14 | 16 | -36.71294 | 79.63 |
| 46 | 4 | 6 | 13 | 15 | -0.057063 | 486.464 |
| 47 | 4 | 8 | 27 | 31 | -0.017025 | 1511.657 |
| 48 | 4 | 8 | 31 | 24 | 0.019874 | 1511.657 |
| 49 | 4 | 8 | 24 | 28 | -0.004905 | 1511.657 |
| 50 | 4 | 8 | 28 | 32 | -0.023396 | 1511.657 |
| 51 | 4 | 8 | 32 | 25 | 0.027319 | 1511.657 |
| 52 | 4 | 8 | 25 | 29 | -0.00714 | 1511.657 |
| 53 | 4 | 8 | 29 | 26 | 0.006498 | 1511.657 |
| 54 | 4 | 8 | 26 | 30 | -0.011176 | 1511.657 |
| 55 | 4 | 9 | 34 | 39 | -0.000028 | 2523.276 |
| 56 | 4 | 10 | 47 | 36 | -0.000132 | 2530.476 |

| Dati Geolettrici_Misura 8 27 Novembre 2025 | | | | | | |
|--|--------|--------|--------|--------|-----------|----------|
| Misura n. | Elec_A | Elec_B | Elec_M | Elec_N | V/I(ohm) | I(mA) |
| 57 | 5 | 6 | 11 | 12 | 0.017788 | 2522.714 |
| 58 | 5 | 7 | 19 | 14 | 1.605593 | 215.474 |
| 59 | 5 | 7 | 14 | 16 | -1.605388 | 215.474 |
| 60 | 5 | 7 | 18 | 20 | 1.644741 | 211.625 |
| 61 | 5 | 8 | 19 | 22 | 15.38771 | 45.808 |
| 62 | 5 | 8 | 25 | 20 | -0.35137 | 1522.839 |
| 63 | 5 | 8 | 20 | 23 | 0.354487 | 1522.839 |
| 64 | 5 | 9 | 28 | 32 | -0.000752 | 2523.934 |
| 65 | 5 | 9 | 32 | 25 | 0.000927 | 2523.934 |
| 66 | 5 | 9 | 25 | 29 | -0.000284 | 2523.934 |
| 67 | 5 | 9 | 29 | 33 | -0.000863 | 2523.934 |
| 68 | 5 | 9 | 33 | 26 | 0.001122 | 2523.934 |
| 69 | 5 | 9 | 26 | 30 | -0.000407 | 2523.934 |
| 70 | 5 | 9 | 30 | 27 | 0.000346 | 2523.934 |
| 71 | 5 | 9 | 27 | 31 | -0.000579 | 2523.934 |
| 72 | 6 | 7 | 8 | 9 | -8.201757 | 154.158 |
| 73 | 6 | 7 | 10 | 11 | -0.375669 | 154.158 |
| 74 | 6 | 7 | 12 | 13 | 10.35532 | 154.158 |
| 75 | 6 | 7 | 13 | 14 | -2.132314 | 154.158 |
| 76 | 6 | 8 | 14 | 16 | -10.36211 | 44.309 |
| 77 | 6 | 8 | 18 | 20 | 14.31036 | 47.213 |
| 78 | 6 | 8 | 20 | 15 | -14.31571 | 47.213 |
| 79 | 6 | 8 | 17 | 19 | 0.000471 | 1553.045 |
| 80 | 6 | 8 | 19 | 21 | 15.19116 | 47.897 |
| 81 | 6 | 10 | 29 | 33 | -0.000011 | 2523.823 |
| 82 | 6 | 10 | 33 | 26 | 0.000011 | 2523.823 |
| 83 | 6 | 10 | 30 | 34 | -0.000027 | 2523.823 |
| 84 | 6 | 10 | 34 | 27 | 0.000026 | 2523.823 |
| 85 | 6 | 11 | 36 | 41 | -0.000964 | 2524.994 |
| 86 | 7 | 8 | 9 | 10 | -1.470885 | 65.711 |
| 87 | 7 | 8 | 10 | 11 | -0.425925 | 65.711 |
| 88 | 7 | 8 | 11 | 12 | 1.896672 | 65.711 |
| 89 | 7 | 8 | 12 | 13 | -2.699257 | 65.711 |
| 90 | 8 | 9 | 14 | 15 | 8.698389 | 46.089 |
| 91 | 8 | 9 | 15 | 16 | 0.002427 | 1518.127 |
| 92 | 8 | 10 | 16 | 18 | 0.00267 | 1528.673 |
| 93 | 8 | 11 | 22 | 25 | 0.009264 | 1544.502 |
| 94 | 8 | 11 | 28 | 23 | -0.006984 | 1544.502 |
| 95 | 8 | 11 | 23 | 26 | 0.003737 | 1544.502 |
| 96 | 8 | 11 | 29 | 24 | -0.00796 | 1544.502 |
| 97 | 8 | 11 | 24 | 27 | 0.00279 | 1544.502 |
| 98 | 8 | 12 | 27 | 31 | 0.015464 | 1080.436 |
| 99 | 8 | 12 | 31 | 35 | 0.025192 | 1080.436 |
| 100 | 8 | 12 | 35 | 28 | -0.03882 | 1080.436 |
| 101 | 8 | 12 | 28 | 32 | 0.021385 | 1080.436 |
| 102 | 8 | 12 | 32 | 36 | 0.019285 | 1080.436 |
| 103 | 8 | 12 | 36 | 29 | -0.037742 | 1080.436 |
| 104 | 8 | 12 | 29 | 33 | 0.025988 | 1080.436 |
| 105 | 8 | 12 | 33 | 30 | -0.021725 | 1080.436 |
| 106 | 8 | 12 | 30 | 34 | 0.027996 | 1080.436 |
| 107 | 8 | 13 | 34 | 39 | 0.012684 | 1556.84 |
| 108 | 8 | 13 | 39 | 35 | -0.009046 | 1556.84 |
| 109 | 8 | 13 | 35 | 40 | 0.010532 | 1556.84 |
| 110 | 8 | 13 | 40 | 36 | -0.008661 | 1556.84 |
| 111 | 8 | 13 | 36 | 41 | 0.008914 | 1556.84 |
| 112 | 8 | 13 | 41 | 37 | -0.007181 | 1556.84 |

| Dati Geolettrici_Misura 8 27 Novembre 2025 | | | | | | |
|--|--------|--------|--------|--------|-----------|----------|
| Misura n. | Elec_A | Elec_B | Elec_M | Elec_N | V/I(ohm) | I(mA) |
| 113 | 8 | 13 | 37 | 42 | 0.00809 | 1556.84 |
| 114 | 8 | 13 | 42 | 38 | -0.005579 | 1556.84 |
| 115 | 8 | 13 | 38 | 43 | 0.008144 | 1556.84 |
| 116 | 8 | 14 | 39 | 45 | 0.177534 | 722.056 |
| 117 | 8 | 14 | 45 | 40 | -0.096335 | 722.056 |
| 118 | 8 | 14 | 46 | 41 | 0.065187 | 722.056 |
| 119 | 8 | 14 | 41 | 47 | -0.136686 | 722.056 |
| 120 | 8 | 14 | 47 | 42 | 0.214682 | 722.056 |
| 121 | 8 | 14 | 42 | 48 | -0.256167 | 722.056 |
| 122 | 9 | 10 | 11 | 12 | -0.028199 | 2522.194 |
| 123 | 9 | 11 | 17 | 19 | 0.001715 | 2523.267 |
| 124 | 9 | 11 | 19 | 21 | 0.294583 | 2523.267 |
| 125 | 9 | 11 | 23 | 18 | -0.467726 | 971.393 |
| 126 | 9 | 11 | 18 | 20 | 0.496853 | 971.393 |
| 127 | 9 | 12 | 25 | 28 | 0.000004 | 2521.805 |
| 128 | 9 | 13 | 28 | 32 | 0.00003 | 2521.69 |
| 129 | 9 | 13 | 32 | 36 | 0.00003 | 2521.69 |
| 130 | 9 | 13 | 36 | 29 | -0.000057 | 2521.69 |
| 131 | 9 | 13 | 29 | 33 | 0.000034 | 2521.69 |
| 132 | 9 | 13 | 33 | 37 | 0.000029 | 2521.69 |
| 133 | 9 | 13 | 30 | 34 | 0.00003 | 2521.69 |
| 134 | 9 | 13 | 34 | 31 | -0.00003 | 2521.69 |
| 135 | 9 | 13 | 31 | 35 | 0.000027 | 2521.69 |
| 136 | 9 | 14 | 35 | 40 | 0.251991 | 81.607 |
| 137 | 9 | 14 | 40 | 36 | -0.225586 | 81.607 |
| 138 | 9 | 14 | 36 | 41 | 0.31332 | 81.607 |
| 139 | 9 | 14 | 41 | 37 | -0.274779 | 81.607 |
| 140 | 9 | 14 | 37 | 42 | 0.351552 | 81.607 |
| 141 | 9 | 14 | 42 | 38 | -0.304367 | 81.607 |
| 142 | 9 | 14 | 38 | 43 | 0.333068 | 81.607 |
| 143 | 9 | 14 | 43 | 39 | -0.272456 | 81.607 |
| 144 | 9 | 14 | 39 | 44 | 0.232517 | 81.607 |
| 145 | 10 | 11 | 17 | 18 | 0.00286 | 2522.707 |
| 146 | 10 | 12 | 22 | 24 | -0.00004 | 2520.7 |
| 147 | 10 | 12 | 23 | 25 | -0.000021 | 2520.7 |
| 148 | 10 | 13 | 30 | 25 | -0.000011 | 2521.241 |
| 149 | 10 | 13 | 28 | 31 | 0.000008 | 2521.241 |
| 150 | 10 | 14 | 33 | 37 | 0.092794 | 1148.689 |
| 151 | 10 | 14 | 37 | 30 | -0.084242 | 1148.689 |
| 152 | 10 | 14 | 34 | 38 | 0.130981 | 1148.689 |
| 153 | 10 | 14 | 38 | 31 | -0.13854 | 1148.689 |
| 154 | 10 | 14 | 31 | 35 | 0.025028 | 1148.689 |
| 155 | 10 | 14 | 35 | 32 | -0.02855 | 1148.689 |
| 156 | 10 | 14 | 32 | 36 | 0.055282 | 1148.689 |
| 157 | 11 | 12 | 13 | 14 | -0.322132 | 2522.357 |
| 158 | 11 | 12 | 17 | 18 | -0.002846 | 2522.357 |
| 159 | 11 | 13 | 19 | 21 | -0.305321 | 2522.124 |
| 160 | 11 | 15 | 34 | 38 | 0.00005 | 2521.521 |
| 161 | 12 | 13 | 16 | 17 | -0.018474 | 2520.903 |
| 162 | 12 | 13 | 18 | 19 | -0.002835 | 2520.903 |
| 163 | 12 | 13 | 19 | 20 | -0.016835 | 2520.903 |
| 164 | 12 | 15 | 29 | 32 | 0.000024 | 2521.174 |
| 165 | 12 | 15 | 32 | 27 | -0.000027 | 2521.174 |
| 166 | 12 | 15 | 30 | 33 | 0.00003 | 2521.174 |
| 167 | 12 | 15 | 33 | 28 | -0.000032 | 2521.174 |
| 168 | 12 | 15 | 28 | 31 | 0.000015 | 2521.174 |

| Dati Geolettrici_Misura 8 27 Novembre 2025 | | | | | | |
|--|--------|--------|--------|--------|-----------|----------|
| Misura n. | Elec_A | Elec_B | Elec_M | Elec_N | V/I(ohm) | I(mA) |
| 169 | 13 | 14 | 15 | 16 | -0.002933 | 1174.116 |
| 170 | 13 | 14 | 17 | 18 | -0.003157 | 1174.116 |
| 171 | 13 | 15 | 23 | 25 | -0.000224 | 2520.847 |
| 172 | 14 | 15 | 16 | 17 | -0.020138 | 1169.097 |
| 173 | 14 | 15 | 18 | 19 | -0.002085 | 1169.097 |
| 174 | 14 | 15 | 19 | 20 | -11.22223 | 515.651 |
| 175 | 14 | 15 | 20 | 21 | -0.312884 | 515.651 |
| 176 | 14 | 15 | 21 | 22 | -0.031704 | 515.651 |
| 177 | 14 | 16 | 22 | 24 | -0.068509 | 1188.981 |
| 178 | 14 | 16 | 26 | 28 | 0.010819 | 1188.981 |
| 179 | 14 | 16 | 28 | 23 | 0.017897 | 1188.981 |
| 180 | 14 | 16 | 23 | 25 | -0.033779 | 1188.981 |
| 181 | 14 | 16 | 25 | 27 | 0.010115 | 1188.981 |
| 182 | 14 | 16 | 27 | 29 | 0.01089 | 1188.981 |
| 183 | 14 | 17 | 28 | 31 | 0.017187 | 1200.696 |
| 184 | 14 | 17 | 34 | 29 | -0.004639 | 1200.696 |
| 185 | 14 | 17 | 29 | 32 | 0.015681 | 1200.696 |
| 186 | 14 | 17 | 30 | 33 | 0.008548 | 1200.696 |
| 187 | 14 | 18 | 37 | 41 | -0.275928 | 183.588 |
| 188 | 14 | 18 | 41 | 34 | 0.359158 | 183.588 |
| 189 | 14 | 18 | 34 | 38 | -0.13086 | 183.588 |
| 190 | 14 | 18 | 38 | 42 | -0.30519 | 183.588 |
| 191 | 14 | 18 | 42 | 35 | 0.418536 | 183.588 |
| 192 | 14 | 18 | 35 | 39 | -0.174225 | 183.588 |
| 193 | 14 | 18 | 39 | 36 | 0.14754 | 183.588 |
| 194 | 14 | 18 | 36 | 40 | -0.227007 | 183.588 |
| 195 | 14 | 19 | 40 | 45 | -0.083512 | 1206.917 |
| 196 | 14 | 19 | 46 | 42 | -0.159125 | 1206.917 |
| 197 | 14 | 19 | 42 | 47 | 0.232623 | 1206.917 |
| 198 | 14 | 19 | 47 | 43 | -0.26205 | 1206.917 |
| 199 | 14 | 19 | 43 | 48 | 0.301892 | 1206.917 |
| 200 | 15 | 16 | 19 | 20 | -0.00246 | 2520.891 |
| 201 | 15 | 16 | 22 | 23 | -0.000235 | 2520.891 |
| 202 | 15 | 17 | 25 | 27 | 0.000003 | 2520.652 |
| 203 | 15 | 17 | 27 | 29 | 0.000008 | 2520.652 |
| 204 | 15 | 17 | 29 | 24 | -0.000381 | 2520.652 |
| 205 | 16 | 17 | 19 | 20 | -0.001974 | 2520.393 |
| 206 | 16 | 18 | 27 | 29 | 0.000019 | 2520.06 |
| 207 | 16 | 19 | 36 | 31 | -0.000019 | 2520.082 |
| 208 | 16 | 20 | 35 | 39 | -0.318921 | 145.112 |
| 209 | 16 | 20 | 43 | 36 | 0.370299 | 145.112 |
| 210 | 16 | 20 | 36 | 40 | -0.26843 | 145.112 |
| 211 | 16 | 20 | 44 | 37 | 0.303486 | 145.112 |
| 212 | 16 | 20 | 37 | 41 | -0.215596 | 145.112 |
| 213 | 16 | 20 | 41 | 38 | 0.144649 | 145.112 |
| 214 | 16 | 20 | 38 | 42 | -0.17823 | 145.112 |
| 215 | 17 | 18 | 20 | 21 | -0.000048 | 2520.156 |
| 216 | 17 | 18 | 23 | 24 | -0.000004 | 2520.156 |
| 217 | 17 | 18 | 24 | 25 | -0.000008 | 2520.156 |
| 218 | 17 | 20 | 31 | 34 | -0.056351 | 304.56 |
| 219 | 17 | 20 | 34 | 37 | -0.293853 | 304.56 |
| 220 | 17 | 20 | 37 | 32 | 0.39497 | 304.56 |
| 221 | 17 | 20 | 32 | 35 | -0.206026 | 304.56 |
| 222 | 17 | 20 | 35 | 38 | -0.259351 | 304.56 |
| 223 | 17 | 20 | 38 | 33 | 0.448894 | 304.56 |
| 224 | 17 | 20 | 33 | 36 | -0.287923 | 304.56 |

| Dati Geolettrici_Misura 8 27 Novembre 2025 | | | | | | |
|--|--------|--------|--------|--------|-----------|----------|
| Misura n. | Elec_A | Elec_B | Elec_M | Elec_N | V/I(ohm) | I(mA) |
| 225 | 17 | 21 | 36 | 40 | -0.223728 | 191.407 |
| 226 | 18 | 19 | 21 | 22 | -0.000049 | 2520.436 |
| 227 | 18 | 20 | 26 | 28 | 0.077506 | 582.91 |
| 228 | 18 | 20 | 28 | 30 | 0.107942 | 582.91 |
| 229 | 18 | 20 | 30 | 32 | 0.117953 | 582.91 |
| 230 | 18 | 20 | 32 | 27 | -0.269052 | 582.91 |
| 231 | 18 | 20 | 27 | 29 | 0.091147 | 582.91 |
| 232 | 18 | 20 | 29 | 31 | 0.133117 | 582.91 |
| 233 | 18 | 20 | 31 | 33 | 0.028577 | 582.91 |
| 234 | 18 | 21 | 32 | 35 | -0.394555 | 106.537 |
| 235 | 18 | 21 | 35 | 38 | -0.223053 | 106.537 |
| 236 | 18 | 21 | 38 | 33 | 0.481082 | 106.537 |
| 237 | 18 | 21 | 33 | 36 | -0.347287 | 106.537 |
| 238 | 18 | 21 | 39 | 34 | 0.387152 | 106.537 |
| 239 | 18 | 21 | 34 | 37 | -0.27995 | 106.537 |
| 240 | 19 | 20 | 21 | 22 | -0.264777 | 568.531 |
| 241 | 19 | 20 | 22 | 23 | -0.129914 | 568.531 |
| 242 | 19 | 20 | 23 | 24 | -0.067635 | 568.531 |
| 243 | 19 | 20 | 24 | 25 | -0.061026 | 568.531 |
| 244 | 19 | 20 | 25 | 26 | 0.029313 | 568.531 |
| 245 | 19 | 20 | 26 | 27 | 0.034422 | 568.531 |
| 246 | 19 | 21 | 27 | 29 | 0.137872 | 460.93 |
| 247 | 19 | 21 | 29 | 31 | 0.035661 | 460.93 |
| 248 | 19 | 21 | 31 | 33 | -0.23159 | 460.93 |
| 249 | 19 | 21 | 33 | 28 | 0.134082 | 460.93 |
| 250 | 19 | 21 | 28 | 30 | 0.105825 | 460.93 |
| 251 | 19 | 21 | 30 | 32 | -0.104262 | 460.93 |
| 252 | 19 | 21 | 32 | 34 | -0.278036 | 460.93 |
| 253 | 19 | 22 | 33 | 36 | -0.324591 | 137.591 |
| 254 | 19 | 22 | 34 | 37 | -0.248324 | 137.591 |
| 255 | 20 | 21 | 22 | 23 | -0.329163 | 504.401 |
| 256 | 20 | 21 | 23 | 24 | -0.128085 | 504.401 |
| 257 | 20 | 21 | 24 | 25 | -0.11887 | 504.401 |
| 258 | 20 | 21 | 25 | 26 | 0.033254 | 504.401 |
| 259 | 20 | 21 | 26 | 27 | 0.033829 | 504.401 |
| 260 | 20 | 21 | 27 | 28 | 0.032837 | 504.401 |
| 261 | 20 | 22 | 28 | 30 | -0.201135 | 283.961 |
| 262 | 20 | 22 | 30 | 32 | -0.531709 | 283.961 |
| 263 | 20 | 22 | 32 | 34 | -0.214321 | 283.961 |
| 264 | 20 | 22 | 34 | 29 | 0.902497 | 283.961 |
| 265 | 20 | 22 | 29 | 31 | -0.427488 | 283.961 |
| 266 | 20 | 22 | 31 | 33 | -0.417291 | 283.961 |
| 267 | 20 | 22 | 33 | 35 | -0.05743 | 283.961 |
| 268 | 20 | 23 | 34 | 37 | 0.080358 | 388.334 |
| 269 | 20 | 23 | 37 | 40 | 0.058653 | 388.334 |
| 270 | 20 | 23 | 40 | 35 | -0.124279 | 388.334 |
| 271 | 20 | 23 | 35 | 38 | 0.091752 | 388.334 |
| 272 | 20 | 23 | 38 | 41 | 0.043186 | 388.334 |
| 273 | 20 | 23 | 41 | 36 | -0.103533 | 388.334 |
| 274 | 20 | 23 | 36 | 39 | 0.077966 | 388.334 |
| 275 | 20 | 24 | 39 | 43 | 0.052033 | 710.144 |
| 276 | 20 | 24 | 43 | 47 | 0.029032 | 710.144 |
| 277 | 20 | 24 | 47 | 40 | -0.062916 | 710.144 |
| 278 | 20 | 24 | 40 | 44 | 0.043682 | 710.144 |
| 279 | 20 | 24 | 44 | 48 | 0.024144 | 710.144 |
| 280 | 20 | 24 | 48 | 41 | -0.054725 | 710.144 |

| Dati Geolettrici_Misura 8 27 Novembre 2025 | | | | | | |
|--|--------|--------|--------|--------|-----------|----------|
| Misura n. | Elec_A | Elec_B | Elec_M | Elec_N | V/I(ohm) | I(mA) |
| 281 | 20 | 24 | 41 | 45 | 0.037388 | 710.144 |
| 282 | 20 | 24 | 45 | 42 | -0.026596 | 710.144 |
| 283 | 20 | 24 | 42 | 46 | 0.032871 | 710.144 |
| 284 | 21 | 22 | 23 | 24 | -0.316443 | 1075.143 |
| 285 | 21 | 22 | 24 | 25 | -0.255483 | 1075.143 |
| 286 | 21 | 22 | 25 | 26 | 0.054131 | 1075.143 |
| 287 | 21 | 22 | 26 | 27 | 0.043169 | 1075.143 |
| 288 | 21 | 22 | 27 | 28 | 0.015042 | 1075.143 |
| 289 | 21 | 22 | 28 | 29 | -0.058267 | 1075.143 |
| 290 | 21 | 23 | 29 | 31 | -0.558497 | 1320.836 |
| 291 | 21 | 23 | 31 | 33 | -0.155928 | 1320.836 |
| 292 | 21 | 23 | 33 | 35 | 0.041359 | 1320.836 |
| 293 | 21 | 23 | 35 | 30 | 0.377664 | 1320.836 |
| 294 | 21 | 23 | 30 | 32 | -0.392578 | 1320.836 |
| 295 | 21 | 23 | 34 | 36 | 0.046635 | 1320.836 |
| 296 | 21 | 24 | 35 | 38 | 0.077375 | 646.516 |
| 297 | 21 | 24 | 38 | 41 | 0.032027 | 646.516 |
| 298 | 21 | 24 | 41 | 36 | -0.078202 | 646.516 |
| 299 | 21 | 24 | 36 | 39 | 0.059054 | 646.516 |
| 300 | 21 | 24 | 39 | 42 | 0.025881 | 646.516 |
| 301 | 21 | 24 | 42 | 37 | -0.057892 | 646.516 |
| 302 | 21 | 24 | 37 | 40 | 0.04307 | 646.516 |
| 303 | 21 | 25 | 40 | 44 | 0.034115 | 809.678 |
| 304 | 21 | 25 | 44 | 48 | 0.021868 | 809.678 |
| 305 | 21 | 25 | 48 | 41 | -0.046964 | 809.678 |
| 306 | 21 | 25 | 41 | 45 | 0.03072 | 809.678 |
| 307 | 21 | 25 | 45 | 42 | -0.019094 | 809.678 |
| 308 | 21 | 25 | 42 | 46 | 0.024818 | 809.678 |
| 309 | 21 | 25 | 46 | 43 | -0.020031 | 809.678 |
| 310 | 21 | 25 | 43 | 47 | 0.025433 | 809.678 |
| 311 | 22 | 23 | 24 | 25 | -0.634725 | 712.51 |
| 312 | 22 | 23 | 27 | 28 | -0.1396 | 712.51 |
| 313 | 22 | 23 | 28 | 29 | -0.2001 | 712.51 |
| 314 | 22 | 23 | 29 | 30 | -0.156482 | 712.51 |
| 315 | 22 | 24 | 32 | 34 | 0.062316 | 436.159 |
| 316 | 22 | 24 | 34 | 36 | 0.047476 | 436.159 |
| 317 | 22 | 24 | 36 | 31 | -0.122571 | 436.159 |
| 318 | 22 | 24 | 31 | 33 | 0.042324 | 436.159 |
| 319 | 22 | 24 | 33 | 35 | 0.059684 | 436.159 |
| 320 | 22 | 24 | 35 | 37 | 0.037681 | 436.159 |
| 321 | 22 | 25 | 36 | 39 | 0.052717 | 853.518 |
| 322 | 22 | 25 | 39 | 42 | 0.027789 | 853.518 |
| 323 | 22 | 25 | 42 | 37 | -0.056299 | 853.518 |
| 324 | 22 | 25 | 37 | 40 | 0.040594 | 853.518 |
| 325 | 22 | 25 | 40 | 43 | 0.018474 | 853.518 |
| 326 | 22 | 25 | 43 | 38 | -0.040497 | 853.518 |
| 327 | 22 | 25 | 38 | 41 | 0.028389 | 853.518 |
| 328 | 22 | 26 | 41 | 45 | 0.016475 | 1294.348 |
| 329 | 22 | 26 | 45 | 42 | -0.005348 | 1294.348 |
| 330 | 22 | 26 | 42 | 46 | 0.008633 | 1294.348 |
| 331 | 22 | 26 | 46 | 43 | -0.011128 | 1294.348 |
| 332 | 22 | 26 | 43 | 47 | 0.014161 | 1294.348 |
| 333 | 22 | 26 | 47 | 44 | -0.009122 | 1294.348 |
| 334 | 22 | 26 | 44 | 48 | 0.012624 | 1294.348 |
| 335 | 23 | 24 | 26 | 27 | -0.159606 | 1190.221 |
| 336 | 23 | 24 | 27 | 28 | -0.186481 | 1190.221 |

| Dati Geolettrici_Misura 8 27 Novembre 2025 | | | | | | |
|--|--------|--------|--------|--------|-----------|----------|
| Misura n. | Elec_A | Elec_B | Elec_M | Elec_N | V/I(ohm) | I(mA) |
| 337 | 23 | 24 | 28 | 29 | -0.094024 | 1190.221 |
| 338 | 23 | 24 | 30 | 31 | 0.0129 | 1190.221 |
| 339 | 23 | 25 | 31 | 33 | 0.090333 | 642.403 |
| 340 | 23 | 25 | 33 | 35 | 0.056576 | 642.403 |
| 341 | 23 | 25 | 35 | 37 | 0.032635 | 642.403 |
| 342 | 23 | 25 | 37 | 32 | -0.128645 | 642.403 |
| 343 | 23 | 25 | 32 | 34 | 0.072013 | 642.403 |
| 344 | 23 | 25 | 34 | 36 | 0.041889 | 642.403 |
| 345 | 23 | 25 | 36 | 38 | 0.026649 | 642.403 |
| 346 | 23 | 26 | 37 | 40 | 0.016014 | 1353.586 |
| 347 | 23 | 26 | 40 | 43 | 0.005739 | 1353.586 |
| 348 | 23 | 26 | 43 | 38 | -0.015707 | 1353.586 |
| 349 | 23 | 26 | 38 | 41 | 0.01175 | 1353.586 |
| 350 | 23 | 26 | 41 | 44 | 0.006676 | 1353.586 |
| 351 | 23 | 26 | 44 | 39 | -0.014251 | 1353.586 |
| 352 | 23 | 26 | 39 | 42 | 0.016843 | 1353.586 |
| 353 | 23 | 27 | 44 | 48 | 0.003025 | 898.319 |
| 354 | 24 | 25 | 26 | 27 | -0.586389 | 1179.503 |
| 355 | 24 | 25 | 27 | 28 | -0.197076 | 1179.503 |
| 356 | 24 | 25 | 28 | 29 | -0.034017 | 1179.503 |
| 357 | 24 | 25 | 30 | 31 | 0.02811 | 1179.503 |
| 358 | 24 | 25 | 31 | 32 | 0.027926 | 1179.503 |
| 359 | 24 | 27 | 38 | 41 | -0.007243 | 851.607 |
| 360 | 24 | 27 | 41 | 44 | -0.004124 | 851.607 |
| 361 | 24 | 27 | 44 | 39 | 0.007913 | 851.607 |
| 362 | 24 | 27 | 45 | 40 | 0.00902 | 851.607 |
| 363 | 24 | 27 | 40 | 43 | -0.006396 | 851.607 |
| 364 | 24 | 28 | 43 | 47 | -0.009649 | 980.759 |
| 365 | 24 | 28 | 47 | 44 | 0.00674 | 980.759 |
| 366 | 25 | 26 | 27 | 28 | -0.215053 | 1009.685 |
| 367 | 25 | 26 | 28 | 29 | -0.092723 | 1009.685 |
| 368 | 25 | 26 | 29 | 30 | -0.054013 | 1009.685 |
| 369 | 25 | 26 | 30 | 31 | -0.038159 | 1009.685 |
| 370 | 25 | 26 | 31 | 32 | -0.025764 | 1009.685 |
| 371 | 25 | 26 | 32 | 33 | -0.016108 | 1009.685 |
| 372 | 25 | 27 | 33 | 35 | -0.049423 | 908.924 |
| 373 | 25 | 27 | 35 | 37 | -0.027082 | 908.924 |
| 374 | 25 | 27 | 37 | 39 | -0.01576 | 908.924 |
| 375 | 25 | 27 | 39 | 34 | 0.063728 | 908.924 |
| 376 | 25 | 27 | 34 | 36 | -0.035652 | 908.924 |
| 377 | 25 | 27 | 36 | 38 | -0.022819 | 908.924 |
| 378 | 25 | 27 | 38 | 40 | -0.010769 | 908.924 |
| 379 | 25 | 28 | 39 | 42 | -0.019465 | 1054.497 |
| 380 | 25 | 28 | 42 | 45 | -0.017512 | 1054.497 |
| 381 | 25 | 28 | 45 | 40 | 0.026456 | 1054.497 |
| 382 | 25 | 28 | 40 | 43 | -0.017545 | 1054.497 |
| 383 | 25 | 28 | 43 | 46 | -0.012383 | 1054.497 |
| 384 | 25 | 28 | 46 | 41 | 0.023268 | 1054.497 |
| 385 | 25 | 28 | 41 | 44 | -0.015936 | 1054.497 |
| 386 | 25 | 29 | 44 | 48 | -0.017546 | 909.82 |
| 387 | 26 | 27 | 28 | 29 | -0.266716 | 907.767 |
| 388 | 26 | 27 | 29 | 30 | -0.111457 | 907.767 |
| 389 | 26 | 27 | 30 | 31 | -0.065037 | 907.767 |
| 390 | 26 | 27 | 31 | 32 | -0.039177 | 907.767 |
| 391 | 26 | 27 | 32 | 33 | -0.022694 | 907.767 |
| 392 | 26 | 27 | 33 | 34 | -0.016375 | 907.767 |

| Dati Geolettrici_Misura 8 27 Novembre 2025 | | | | | | |
|--|--------|--------|--------|--------|-----------|----------|
| Misura n. | Elec_A | Elec_B | Elec_M | Elec_N | V/I(ohm) | I(mA) |
| 393 | 26 | 28 | 34 | 36 | -0.046813 | 1069.69 |
| 394 | 26 | 28 | 36 | 38 | -0.026486 | 1069.69 |
| 395 | 26 | 28 | 38 | 40 | -0.017121 | 1069.69 |
| 396 | 26 | 28 | 40 | 35 | 0.063159 | 1069.69 |
| 397 | 26 | 28 | 35 | 37 | -0.035223 | 1069.69 |
| 398 | 26 | 28 | 37 | 39 | -0.019366 | 1069.69 |
| 399 | 26 | 28 | 39 | 41 | -0.013205 | 1069.69 |
| 400 | 26 | 29 | 40 | 43 | -0.020612 | 1246.33 |
| 401 | 26 | 29 | 43 | 46 | -0.01351 | 1246.33 |
| 402 | 26 | 29 | 46 | 41 | 0.026426 | 1246.33 |
| 403 | 26 | 29 | 41 | 44 | -0.018793 | 1246.33 |
| 404 | 26 | 29 | 44 | 47 | -0.011286 | 1246.33 |
| 405 | 26 | 29 | 47 | 42 | 0.017805 | 1246.33 |
| 406 | 26 | 29 | 42 | 45 | -0.010383 | 1246.33 |
| 407 | 27 | 28 | 29 | 30 | -0.305514 | 800.344 |
| 408 | 27 | 28 | 30 | 31 | -0.13088 | 800.344 |
| 409 | 27 | 28 | 31 | 32 | -0.065549 | 800.344 |
| 410 | 27 | 28 | 32 | 33 | -0.036815 | 800.344 |
| 411 | 27 | 28 | 33 | 34 | -0.023979 | 800.344 |
| 412 | 27 | 28 | 34 | 35 | -0.015503 | 800.344 |
| 413 | 27 | 29 | 35 | 37 | -0.046659 | 870.425 |
| 414 | 27 | 29 | 37 | 39 | -0.024607 | 870.425 |
| 415 | 27 | 29 | 39 | 41 | -0.015609 | 870.425 |
| 416 | 27 | 29 | 41 | 36 | 0.060742 | 870.425 |
| 417 | 27 | 29 | 36 | 38 | -0.032576 | 870.425 |
| 418 | 27 | 29 | 38 | 40 | -0.022205 | 870.425 |
| 419 | 27 | 29 | 40 | 42 | -0.019763 | 870.425 |
| 420 | 27 | 30 | 41 | 44 | -0.019594 | 787.456 |
| 421 | 27 | 30 | 44 | 47 | -0.016082 | 787.456 |
| 422 | 27 | 30 | 45 | 48 | -0.013523 | 787.456 |
| 423 | 27 | 30 | 48 | 43 | 0.025478 | 787.456 |
| 424 | 27 | 30 | 43 | 46 | -0.01921 | 787.456 |
| 425 | 28 | 29 | 30 | 31 | -0.312224 | 1001.662 |
| 426 | 28 | 29 | 31 | 32 | -0.118705 | 1001.662 |
| 427 | 28 | 29 | 32 | 33 | -0.056628 | 1001.662 |
| 428 | 28 | 29 | 33 | 34 | -0.034345 | 1001.662 |
| 429 | 28 | 29 | 34 | 35 | -0.021803 | 1001.662 |
| 430 | 28 | 29 | 35 | 36 | -0.014801 | 1001.662 |
| 431 | 28 | 30 | 36 | 38 | -0.030101 | 887.668 |
| 432 | 28 | 30 | 38 | 40 | -0.039632 | 887.668 |
| 433 | 28 | 30 | 40 | 42 | -0.014557 | 887.668 |
| 434 | 28 | 30 | 42 | 37 | 0.056842 | 887.668 |
| 435 | 28 | 30 | 37 | 39 | -0.032191 | 887.668 |
| 436 | 28 | 30 | 39 | 41 | -0.018627 | 887.668 |
| 437 | 28 | 30 | 41 | 43 | -0.009205 | 887.668 |
| 438 | 28 | 31 | 45 | 48 | -0.066647 | 805.855 |
| 439 | 28 | 31 | 48 | 43 | 0.042779 | 805.855 |
| 440 | 28 | 31 | 44 | 47 | -0.020777 | 805.855 |
| 441 | 29 | 30 | 31 | 32 | -0.296639 | 966.809 |
| 442 | 29 | 30 | 32 | 33 | -0.104927 | 966.809 |
| 443 | 29 | 30 | 33 | 34 | -0.04359 | 966.809 |
| 444 | 29 | 30 | 34 | 35 | -0.046295 | 966.809 |
| 445 | 29 | 30 | 35 | 36 | -0.021302 | 966.809 |
| 446 | 29 | 30 | 36 | 37 | -0.015888 | 966.809 |
| 447 | 29 | 31 | 37 | 39 | -0.045564 | 874.667 |
| 448 | 29 | 31 | 39 | 41 | -0.024517 | 874.667 |

| Dati Geolettrici_Misura 8 27 Novembre 2025 | | | | | | |
|--|--------|--------|--------|--------|-----------|----------|
| Misura n. | Elec_A | Elec_B | Elec_M | Elec_N | V/I(ohm) | I(mA) |
| 449 | 29 | 31 | 41 | 43 | -0.013394 | 874.667 |
| 450 | 29 | 31 | 43 | 38 | 0.054661 | 874.667 |
| 451 | 29 | 31 | 38 | 40 | -0.029148 | 874.667 |
| 452 | 29 | 31 | 40 | 42 | -0.014019 | 874.667 |
| 453 | 29 | 31 | 42 | 44 | -0.013231 | 874.667 |
| 454 | 29 | 32 | 43 | 46 | -0.028579 | 1192.03 |
| 455 | 29 | 32 | 46 | 44 | 0.01368 | 1192.03 |
| 456 | 29 | 32 | 44 | 47 | -0.018853 | 1192.03 |
| 457 | 29 | 32 | 47 | 45 | 0.011445 | 1192.03 |
| 458 | 30 | 31 | 32 | 33 | -0.279579 | 621.162 |
| 459 | 30 | 31 | 33 | 34 | -0.101535 | 621.162 |
| 460 | 30 | 31 | 34 | 35 | -0.071559 | 621.162 |
| 461 | 30 | 31 | 35 | 36 | -0.035183 | 621.162 |
| 462 | 30 | 31 | 36 | 37 | -0.024981 | 621.162 |
| 463 | 30 | 31 | 37 | 38 | -0.032463 | 621.162 |
| 464 | 30 | 32 | 38 | 40 | -0.023066 | 1023.32 |
| 465 | 30 | 32 | 40 | 42 | -0.033965 | 1023.32 |
| 466 | 30 | 32 | 42 | 44 | -0.012406 | 1023.32 |
| 467 | 30 | 32 | 44 | 39 | 0.059931 | 1023.32 |
| 468 | 30 | 32 | 39 | 41 | -0.032976 | 1023.32 |
| 469 | 30 | 32 | 41 | 43 | -0.014522 | 1023.32 |
| 470 | 30 | 32 | 43 | 45 | -0.018365 | 1023.32 |
| 471 | 30 | 33 | 44 | 47 | -0.022881 | 1031.035 |
| 472 | 30 | 33 | 47 | 45 | 0.011114 | 1031.035 |
| 473 | 30 | 33 | 45 | 48 | -0.011813 | 1031.035 |
| 474 | 31 | 32 | 33 | 34 | -0.297509 | 905.021 |
| 475 | 31 | 32 | 34 | 35 | -0.079401 | 905.021 |
| 476 | 31 | 32 | 35 | 36 | -0.056586 | 905.021 |
| 477 | 31 | 32 | 36 | 37 | -0.036972 | 905.021 |
| 478 | 31 | 32 | 37 | 38 | -0.022626 | 905.021 |
| 479 | 31 | 32 | 38 | 39 | -0.014825 | 905.021 |
| 480 | 31 | 33 | 39 | 41 | -0.042187 | 728.162 |
| 481 | 31 | 33 | 41 | 43 | -0.023207 | 728.162 |
| 482 | 31 | 33 | 43 | 45 | -0.040931 | 728.162 |
| 483 | 31 | 33 | 45 | 40 | 0.083371 | 728.162 |
| 484 | 31 | 33 | 40 | 42 | -0.026584 | 728.162 |
| 485 | 31 | 33 | 42 | 44 | -0.025272 | 728.162 |
| 486 | 31 | 33 | 44 | 46 | -0.033115 | 728.162 |
| 487 | 32 | 33 | 34 | 35 | -0.24516 | 975.818 |
| 488 | 32 | 33 | 35 | 36 | -0.097891 | 975.818 |
| 489 | 32 | 33 | 36 | 37 | -0.056807 | 975.818 |
| 490 | 32 | 33 | 37 | 38 | -0.034039 | 975.818 |
| 491 | 32 | 33 | 38 | 39 | -0.02029 | 975.818 |
| 492 | 32 | 33 | 39 | 40 | -0.017789 | 975.818 |
| 493 | 32 | 34 | 40 | 42 | -0.028081 | 1234.589 |
| 494 | 32 | 34 | 42 | 44 | -0.028854 | 1234.589 |
| 495 | 32 | 34 | 44 | 46 | -0.007845 | 1234.589 |
| 496 | 32 | 34 | 46 | 41 | 0.045848 | 1234.589 |
| 497 | 32 | 34 | 41 | 43 | -0.030361 | 1234.589 |
| 498 | 32 | 34 | 45 | 47 | -0.038444 | 1234.589 |
| 499 | 33 | 34 | 35 | 36 | -0.239773 | 1229.146 |
| 500 | 33 | 34 | 36 | 37 | -0.104627 | 1229.146 |
| 501 | 33 | 34 | 37 | 38 | -0.036552 | 1229.146 |
| 502 | 33 | 34 | 38 | 39 | -0.047565 | 1229.146 |
| 503 | 33 | 34 | 39 | 40 | -0.020757 | 1229.146 |
| 504 | 33 | 34 | 40 | 41 | -0.013258 | 1229.146 |

| Dati Geolettrici_Misura 8 27 Novembre 2025 | | | | | | |
|--|--------|--------|--------|--------|-----------|----------|
| Misura n. | Elec_A | Elec_B | Elec_M | Elec_N | V/I(ohm) | I(mA) |
| 505 | 33 | 35 | 41 | 43 | -0.039531 | 1256.362 |
| 506 | 33 | 35 | 43 | 45 | -0.021624 | 1256.362 |
| 507 | 33 | 35 | 45 | 47 | -0.013096 | 1256.362 |
| 508 | 33 | 35 | 47 | 42 | 0.05105 | 1256.362 |
| 509 | 33 | 35 | 42 | 44 | -0.029009 | 1256.362 |
| 510 | 33 | 35 | 44 | 46 | -0.015982 | 1256.362 |
| 511 | 33 | 35 | 46 | 48 | -0.009409 | 1256.362 |
| 512 | 34 | 35 | 36 | 37 | -0.247614 | 1024.433 |
| 513 | 34 | 35 | 37 | 38 | -0.112272 | 1024.433 |
| 514 | 34 | 35 | 38 | 39 | -0.028186 | 1024.433 |
| 515 | 34 | 35 | 39 | 40 | -0.031076 | 1024.433 |
| 516 | 34 | 35 | 40 | 41 | -0.016079 | 1024.433 |
| 517 | 34 | 35 | 41 | 42 | -0.017594 | 1024.433 |
| 518 | 34 | 36 | 42 | 44 | -0.037663 | 1177.974 |
| 519 | 34 | 36 | 44 | 46 | -0.027603 | 1177.974 |
| 520 | 34 | 36 | 46 | 48 | -0.004233 | 1177.974 |
| 521 | 34 | 36 | 48 | 43 | 0.044896 | 1177.974 |
| 522 | 34 | 36 | 43 | 45 | -0.034167 | 1177.974 |
| 523 | 35 | 36 | 37 | 38 | -0.258547 | 1193.643 |
| 524 | 35 | 36 | 38 | 39 | -0.093217 | 1193.643 |
| 525 | 35 | 36 | 39 | 40 | -0.049629 | 1193.643 |
| 526 | 35 | 36 | 40 | 41 | -0.027401 | 1193.643 |
| 527 | 35 | 36 | 41 | 42 | -0.018509 | 1193.643 |
| 528 | 35 | 36 | 42 | 43 | -0.012666 | 1193.643 |
| 529 | 35 | 37 | 43 | 45 | -0.040922 | 1195.716 |
| 530 | 35 | 37 | 45 | 47 | -0.020044 | 1195.716 |
| 531 | 35 | 37 | 47 | 44 | 0.03731 | 1195.716 |
| 532 | 35 | 37 | 44 | 46 | -0.02929 | 1195.716 |
| 533 | 36 | 37 | 38 | 39 | -0.251108 | 1094.487 |
| 534 | 36 | 37 | 39 | 40 | -0.107905 | 1094.487 |
| 535 | 36 | 37 | 40 | 41 | -0.046008 | 1094.487 |
| 536 | 36 | 37 | 41 | 42 | -0.036002 | 1094.487 |
| 537 | 36 | 37 | 42 | 43 | -0.020215 | 1094.487 |
| 538 | 36 | 37 | 43 | 44 | -0.01452 | 1094.487 |
| 539 | 36 | 38 | 44 | 46 | -0.031962 | 975.784 |
| 540 | 36 | 38 | 48 | 45 | 0.015078 | 975.784 |
| 541 | 36 | 38 | 45 | 47 | -0.024684 | 975.784 |
| 542 | 37 | 38 | 39 | 40 | -0.261821 | 1161.004 |
| 543 | 37 | 38 | 40 | 41 | -0.093312 | 1161.004 |
| 544 | 37 | 38 | 41 | 42 | -0.046171 | 1161.004 |
| 545 | 37 | 38 | 42 | 43 | -0.025418 | 1161.004 |
| 546 | 37 | 38 | 43 | 44 | -0.022662 | 1161.004 |
| 547 | 37 | 38 | 44 | 45 | -0.000047 | 1161.004 |
| 548 | 37 | 39 | 45 | 47 | -0.02155 | 1162.196 |
| 549 | 37 | 39 | 46 | 48 | -0.045021 | 1162.196 |
| 550 | 38 | 39 | 40 | 41 | -0.235708 | 1191.216 |
| 551 | 38 | 39 | 41 | 42 | -0.113122 | 1191.216 |
| 552 | 38 | 39 | 42 | 43 | -0.054243 | 1191.216 |
| 553 | 38 | 39 | 43 | 44 | -0.027358 | 1191.216 |
| 554 | 38 | 39 | 44 | 45 | -0.032531 | 1191.216 |
| 555 | 39 | 40 | 41 | 42 | -0.223127 | 739.318 |
| 556 | 39 | 40 | 42 | 43 | -0.099284 | 739.318 |
| 557 | 39 | 40 | 43 | 44 | -0.066944 | 739.318 |
| 558 | 39 | 40 | 44 | 45 | -0.03401 | 739.318 |
| 559 | 39 | 40 | 45 | 46 | -0.01946 | 739.318 |
| 560 | 39 | 40 | 46 | 47 | -0.032413 | 739.318 |

| Dati Geolettrici_Misura 8 27 Novembre 2025 | | | | | | |
|--|--------|--------|--------|--------|-----------|----------|
| Misura n. | Elec_A | Elec_B | Elec_M | Elec_N | V/I(ohm) | I(mA) |
| 561 | 40 | 41 | 42 | 43 | -0.272669 | 652.318 |
| 562 | 40 | 41 | 43 | 44 | -0.085811 | 652.318 |
| 563 | 40 | 41 | 44 | 45 | -0.052645 | 652.318 |
| 564 | 40 | 41 | 45 | 46 | -0.029123 | 652.318 |
| 565 | 40 | 41 | 46 | 47 | -0.025412 | 652.318 |
| 566 | 40 | 41 | 47 | 48 | -0.045525 | 652.318 |
| 567 | 41 | 42 | 43 | 44 | -0.248577 | 1264.563 |
| 568 | 41 | 42 | 44 | 45 | -0.103551 | 1264.563 |
| 569 | 41 | 42 | 45 | 46 | -0.046614 | 1264.563 |
| 570 | 41 | 42 | 46 | 47 | -0.040683 | 1264.563 |
| 571 | 41 | 42 | 47 | 48 | -0.006728 | 1264.563 |
| 572 | 42 | 43 | 44 | 45 | -0.214851 | 520.004 |
| 573 | 42 | 43 | 45 | 46 | -0.090026 | 520.004 |
| 574 | 42 | 43 | 46 | 47 | -0.02871 | 520.004 |
| 575 | 42 | 43 | 47 | 48 | -0.046842 | 520.004 |
| 576 | 43 | 44 | 45 | 46 | -0.214953 | 408.898 |
| 577 | 43 | 44 | 46 | 47 | -0.131456 | 408.898 |
| 578 | 43 | 44 | 47 | 48 | -0.028169 | 408.898 |
| 579 | 44 | 45 | 46 | 47 | -0.242914 | 202.898 |
| 580 | 44 | 45 | 47 | 48 | -0.08247 | 202.898 |
| 581 | 45 | 46 | 47 | 48 | -0.205666 | 86.353 |
| 582 | 1 | 2 | 3 | 4 | -0.206093 | 1059.581 |
| 583 | 1 | 2 | 4 | 5 | -0.080632 | 1059.581 |
| 584 | 1 | 2 | 5 | 6 | -0.036807 | 1059.581 |
| 585 | 1 | 2 | 6 | 7 | -0.031949 | 1059.581 |
| 586 | 1 | 2 | 7 | 8 | -0.01332 | 1059.581 |
| 587 | 1 | 3 | 9 | 11 | -0.027628 | 1024.292 |
| 588 | 1 | 3 | 11 | 13 | -0.019827 | 1024.292 |
| 589 | 1 | 3 | 13 | 15 | -0.008263 | 1024.292 |
| 590 | 1 | 3 | 15 | 10 | 0.042725 | 1024.292 |
| 591 | 1 | 3 | 10 | 12 | -0.033267 | 1024.292 |
| 592 | 1 | 3 | 12 | 14 | -0.007716 | 1024.292 |
| 593 | 1 | 3 | 14 | 16 | -0.00973 | 1024.292 |
| 594 | 1 | 4 | 18 | 21 | -0.041806 | 1030.374 |
| 595 | 1 | 4 | 21 | 16 | 0.030182 | 1030.374 |
| 596 | 1 | 4 | 16 | 19 | -0.014791 | 1030.374 |
| 597 | 1 | 4 | 19 | 22 | -0.012784 | 1030.374 |
| 598 | 1 | 4 | 22 | 17 | 0.016211 | 1030.374 |
| 599 | 1 | 4 | 17 | 20 | -0.009116 | 1030.374 |
| 600 | 1 | 5 | 20 | 24 | -0.017201 | 869.538 |
| 601 | 1 | 5 | 24 | 28 | 0.005229 | 869.538 |
| 602 | 1 | 5 | 21 | 25 | -0.007095 | 869.538 |
| 603 | 1 | 5 | 25 | 29 | 0.012111 | 869.538 |
| 604 | 1 | 5 | 22 | 26 | -0.008363 | 869.538 |
| 605 | 1 | 5 | 26 | 23 | 0.003579 | 869.538 |
| 606 | 1 | 6 | 27 | 32 | 0.035476 | 476.237 |
| 607 | 1 | 6 | 32 | 28 | -0.031863 | 476.237 |
| 608 | 1 | 6 | 28 | 33 | 0.043281 | 476.237 |
| 609 | 1 | 6 | 33 | 29 | -0.035935 | 476.237 |
| 610 | 1 | 6 | 29 | 34 | 0.053393 | 476.237 |
| 611 | 1 | 6 | 34 | 30 | -0.046564 | 476.237 |
| 612 | 1 | 6 | 30 | 35 | 0.066488 | 476.237 |
| 613 | 1 | 6 | 35 | 31 | -0.058279 | 476.237 |
| 614 | 1 | 6 | 31 | 36 | 0.080208 | 476.237 |
| 615 | 1 | 7 | 32 | 38 | 0.175625 | 100.31 |
| 616 | 1 | 7 | 38 | 44 | -0.57252 | 100.31 |

| Dati Geolettrici_Misura 8 27 Novembre 2025 | | | | | | |
|--|--------|--------|--------|--------|-----------|----------|
| Misura n. | Elec_A | Elec_B | Elec_M | Elec_N | V/I(ohm) | I(mA) |
| 617 | 1 | 7 | 44 | 33 | 0.41239 | 100.31 |
| 618 | 1 | 7 | 33 | 39 | 0.213459 | 100.31 |
| 619 | 1 | 7 | 39 | 34 | -0.189548 | 100.31 |
| 620 | 1 | 7 | 34 | 40 | 0.251613 | 100.31 |
| 621 | 1 | 7 | 40 | 35 | -0.223796 | 100.31 |
| 622 | 1 | 7 | 35 | 41 | 0.249156 | 100.31 |
| 623 | 1 | 7 | 41 | 36 | -0.218883 | 100.31 |
| 624 | 1 | 7 | 36 | 42 | 0.163893 | 100.31 |
| 625 | 1 | 7 | 37 | 43 | 0.525523 | 43.674 |
| 626 | 1 | 8 | 39 | 46 | -0.916385 | 33.602 |
| 627 | 1 | 8 | 46 | 40 | 0.965467 | 33.602 |
| 628 | 1 | 8 | 40 | 47 | -0.851941 | 33.602 |
| 629 | 1 | 8 | 47 | 41 | 0.822433 | 33.602 |
| 630 | 1 | 8 | 41 | 48 | -0.821694 | 33.602 |
| 631 | 2 | 3 | 4 | 5 | -0.242764 | 1228.736 |
| 632 | 2 | 3 | 5 | 6 | -0.108087 | 1228.736 |
| 633 | 2 | 3 | 6 | 7 | -0.046567 | 1228.736 |
| 634 | 2 | 3 | 7 | 8 | -0.036823 | 1228.736 |
| 635 | 2 | 3 | 8 | 9 | -0.022396 | 1228.736 |
| 636 | 2 | 3 | 9 | 10 | -0.021983 | 1228.736 |
| 637 | 2 | 4 | 10 | 12 | -0.033224 | 1213.791 |
| 638 | 2 | 4 | 12 | 14 | -0.021564 | 1213.791 |
| 639 | 2 | 4 | 14 | 16 | -0.013251 | 1213.791 |
| 640 | 2 | 4 | 16 | 11 | 0.067176 | 1213.791 |
| 641 | 2 | 4 | 11 | 13 | -0.020745 | 1213.791 |
| 642 | 2 | 4 | 13 | 15 | -0.023174 | 1213.791 |
| 643 | 2 | 4 | 15 | 17 | -0.028003 | 1213.791 |
| 644 | 2 | 5 | 16 | 19 | -0.019631 | 997.226 |
| 645 | 2 | 5 | 19 | 22 | -0.013293 | 997.226 |
| 646 | 2 | 5 | 22 | 17 | 0.025203 | 997.226 |
| 647 | 2 | 5 | 17 | 20 | -0.018332 | 997.226 |
| 648 | 2 | 5 | 20 | 23 | -0.011489 | 997.226 |
| 649 | 2 | 5 | 23 | 18 | 0.02695 | 997.226 |
| 650 | 2 | 5 | 18 | 21 | -0.019652 | 997.226 |
| 651 | 2 | 6 | 21 | 25 | -0.017278 | 1181.643 |
| 652 | 2 | 6 | 25 | 29 | 0.01427 | 1181.643 |
| 653 | 2 | 6 | 22 | 26 | -0.013027 | 1181.643 |
| 654 | 2 | 6 | 26 | 30 | 0.019074 | 1181.643 |
| 655 | 2 | 6 | 30 | 23 | -0.014093 | 1181.643 |
| 656 | 2 | 6 | 23 | 27 | -0.001682 | 1181.643 |
| 657 | 2 | 6 | 27 | 24 | -0.002806 | 1181.643 |
| 658 | 2 | 6 | 24 | 28 | 0.006067 | 1181.643 |
| 659 | 2 | 7 | 28 | 33 | 0.054203 | 353.996 |
| 660 | 2 | 7 | 33 | 29 | -0.045939 | 353.996 |
| 661 | 2 | 7 | 29 | 34 | 0.067835 | 353.996 |
| 662 | 2 | 7 | 34 | 30 | -0.058716 | 353.996 |
| 663 | 2 | 7 | 30 | 35 | 0.084585 | 353.996 |
| 664 | 2 | 7 | 35 | 31 | -0.074237 | 353.996 |
| 665 | 2 | 7 | 31 | 36 | 0.102401 | 353.996 |
| 666 | 2 | 7 | 36 | 32 | -0.090385 | 353.996 |
| 667 | 2 | 8 | 33 | 39 | 0.252146 | 983.803 |
| 668 | 2 | 8 | 39 | 45 | -0.733476 | 983.803 |
| 669 | 2 | 8 | 45 | 34 | 0.510387 | 983.803 |
| 670 | 2 | 8 | 34 | 40 | 0.263908 | 983.803 |
| 671 | 2 | 8 | 40 | 35 | -0.228359 | 983.803 |
| 672 | 2 | 8 | 35 | 41 | 0.19427 | 983.803 |

| Dati Geolettrici_Misura 8 27 Novembre 2025 | | | | | | |
|--|--------|--------|--------|--------|-----------|----------|
| Misura n. | Elec_A | Elec_B | Elec_M | Elec_N | V/I(ohm) | I(mA) |
| 673 | 2 | 8 | 41 | 36 | -0.156409 | 983.803 |
| 674 | 2 | 8 | 36 | 42 | 0.015796 | 983.803 |
| 675 | 2 | 8 | 42 | 37 | -0.615638 | 983.803 |
| 676 | 2 | 8 | 38 | 44 | -0.704529 | 43.981 |
| 677 | 2 | 9 | 40 | 47 | -0.897656 | 36.375 |
| 678 | 2 | 9 | 47 | 41 | 0.788492 | 36.375 |
| 679 | 2 | 9 | 41 | 48 | -0.788392 | 36.375 |
| 680 | 3 | 4 | 5 | 6 | -0.220406 | 1187.89 |
| 681 | 3 | 4 | 6 | 7 | -0.089089 | 1187.89 |
| 682 | 3 | 4 | 7 | 8 | -0.048207 | 1187.89 |
| 683 | 3 | 4 | 8 | 9 | -0.030453 | 1187.89 |
| 684 | 3 | 4 | 9 | 10 | -0.019653 | 1187.89 |
| 685 | 3 | 5 | 11 | 13 | -0.032692 | 966.682 |
| 686 | 3 | 5 | 13 | 15 | -0.022894 | 966.682 |
| 687 | 3 | 5 | 17 | 12 | 0.050915 | 966.682 |
| 688 | 3 | 5 | 12 | 14 | -0.028921 | 966.682 |
| 689 | 3 | 5 | 14 | 16 | -0.016426 | 966.682 |
| 690 | 3 | 5 | 16 | 18 | -0.028143 | 966.682 |
| 691 | 3 | 6 | 17 | 20 | -0.028021 | 1137.685 |
| 692 | 3 | 6 | 20 | 23 | -0.013341 | 1137.685 |
| 693 | 3 | 6 | 23 | 18 | 0.007252 | 1137.685 |
| 694 | 3 | 6 | 21 | 24 | -0.012389 | 1137.685 |
| 695 | 3 | 6 | 24 | 19 | 0.026058 | 1137.685 |
| 696 | 3 | 6 | 19 | 22 | -0.01571 | 1137.685 |
| 697 | 3 | 7 | 22 | 26 | -0.027598 | 1209.086 |
| 698 | 3 | 7 | 26 | 30 | 0.022785 | 1209.086 |
| 699 | 3 | 7 | 30 | 23 | -0.014374 | 1209.086 |
| 700 | 3 | 7 | 23 | 27 | -0.005008 | 1209.086 |
| 701 | 3 | 7 | 27 | 31 | 0.028236 | 1209.086 |
| 702 | 3 | 7 | 31 | 24 | -0.028699 | 1209.086 |
| 703 | 3 | 7 | 24 | 28 | 0.005058 | 1209.086 |
| 704 | 3 | 7 | 28 | 25 | -0.009371 | 1209.086 |
| 705 | 3 | 7 | 25 | 29 | 0.016059 | 1209.086 |
| 706 | 3 | 8 | 29 | 34 | 0.082969 | 231.875 |
| 707 | 3 | 8 | 34 | 30 | -0.071244 | 231.875 |
| 708 | 3 | 8 | 30 | 35 | 0.103328 | 231.875 |
| 709 | 3 | 8 | 35 | 31 | -0.090875 | 231.875 |
| 710 | 3 | 8 | 31 | 36 | 0.125538 | 231.875 |
| 711 | 3 | 8 | 36 | 32 | -0.110853 | 231.875 |
| 712 | 3 | 8 | 33 | 38 | 0.17854 | 231.875 |
| 713 | 3 | 9 | 34 | 40 | 0.200086 | 1114.019 |
| 714 | 3 | 9 | 40 | 46 | -0.918005 | 1114.019 |
| 715 | 3 | 9 | 46 | 35 | 0.7613 | 1114.019 |
| 716 | 3 | 9 | 35 | 41 | 0.038447 | 1114.019 |
| 717 | 3 | 9 | 36 | 42 | -0.207541 | 1114.019 |
| 718 | 3 | 9 | 43 | 38 | 0.511624 | 1114.019 |
| 719 | 3 | 9 | 38 | 44 | -0.794592 | 1114.019 |
| 720 | 3 | 9 | 39 | 45 | -0.895025 | 35.011 |
| 721 | 3 | 10 | 41 | 48 | -0.667058 | 41.643 |
| 722 | 4 | 5 | 6 | 7 | -0.223726 | 976.516 |
| 723 | 4 | 5 | 7 | 8 | -0.093542 | 976.516 |
| 724 | 4 | 5 | 8 | 9 | -0.051622 | 976.516 |
| 725 | 4 | 5 | 9 | 10 | -0.032589 | 976.516 |
| 726 | 4 | 5 | 10 | 11 | -0.038075 | 976.516 |
| 727 | 4 | 6 | 12 | 14 | -0.040227 | 1147.599 |
| 728 | 4 | 6 | 14 | 16 | -0.022395 | 1147.599 |

| Dati Geolettrici_Misura 8 27 Novembre 2025 | | | | | | |
|--|--------|--------|--------|--------|-----------|----------|
| Misura n. | Elec_A | Elec_B | Elec_M | Elec_N | V/I(ohm) | I(mA) |
| 729 | 4 | 6 | 16 | 18 | -0.027607 | 1147.599 |
| 730 | 4 | 6 | 18 | 13 | 0.039698 | 1147.599 |
| 731 | 4 | 6 | 13 | 15 | -0.026269 | 1147.599 |
| 732 | 4 | 6 | 17 | 19 | -0.017418 | 1147.599 |
| 733 | 4 | 7 | 18 | 21 | -0.009014 | 1217.527 |
| 734 | 4 | 7 | 21 | 24 | -0.014938 | 1217.527 |
| 735 | 4 | 7 | 24 | 19 | 0.026688 | 1217.527 |
| 736 | 4 | 7 | 19 | 22 | -0.004479 | 1217.527 |
| 737 | 4 | 7 | 22 | 25 | -0.026639 | 1217.527 |
| 738 | 4 | 7 | 25 | 20 | 0.023774 | 1217.527 |
| 739 | 4 | 7 | 20 | 23 | -0.014886 | 1217.527 |
| 740 | 4 | 8 | 23 | 27 | -0.005435 | 1233.776 |
| 741 | 4 | 8 | 27 | 31 | 0.034558 | 1233.776 |
| 742 | 4 | 8 | 31 | 24 | -0.034893 | 1233.776 |
| 743 | 4 | 8 | 24 | 28 | 0.006428 | 1233.776 |
| 744 | 4 | 8 | 28 | 32 | 0.041343 | 1233.776 |
| 745 | 4 | 8 | 32 | 25 | -0.052516 | 1233.776 |
| 746 | 4 | 8 | 25 | 29 | 0.018368 | 1233.776 |
| 747 | 4 | 8 | 29 | 26 | -0.016881 | 1233.776 |
| 748 | 4 | 8 | 26 | 30 | 0.027443 | 1233.776 |
| 749 | 4 | 9 | 30 | 35 | 0.125953 | 150.142 |
| 750 | 4 | 9 | 35 | 31 | -0.110917 | 150.142 |
| 751 | 4 | 9 | 31 | 36 | 0.152561 | 150.142 |
| 752 | 4 | 9 | 36 | 32 | -0.134793 | 150.142 |
| 753 | 4 | 9 | 33 | 38 | 0.203074 | 150.142 |
| 754 | 4 | 9 | 38 | 34 | -0.170636 | 150.142 |
| 755 | 4 | 9 | 34 | 39 | 0.197156 | 150.142 |
| 756 | 4 | 10 | 35 | 41 | -0.181825 | 125.199 |
| 757 | 4 | 10 | 41 | 47 | -0.562145 | 125.199 |
| 758 | 4 | 10 | 47 | 36 | 0.798891 | 125.199 |
| 759 | 4 | 10 | 36 | 42 | -0.461562 | 125.199 |
| 760 | 4 | 10 | 43 | 38 | 0.748767 | 125.199 |
| 761 | 4 | 10 | 38 | 44 | -0.886102 | 125.199 |
| 762 | 4 | 10 | 44 | 39 | 0.863863 | 125.199 |
| 763 | 4 | 10 | 39 | 45 | -0.936501 | 125.199 |
| 764 | 4 | 10 | 40 | 46 | -0.810667 | 38.564 |
| 765 | 5 | 6 | 7 | 8 | -0.245646 | 944.005 |
| 766 | 5 | 6 | 8 | 9 | -0.093153 | 944.005 |
| 767 | 5 | 6 | 9 | 10 | -0.061186 | 944.005 |
| 768 | 5 | 6 | 10 | 11 | -0.027502 | 944.005 |
| 769 | 5 | 6 | 11 | 12 | -0.022895 | 944.005 |
| 770 | 5 | 6 | 12 | 13 | -0.01456 | 944.005 |
| 771 | 5 | 7 | 13 | 15 | -0.03749 | 991.562 |
| 772 | 5 | 7 | 15 | 17 | -0.025079 | 991.562 |
| 773 | 5 | 7 | 17 | 19 | -0.013038 | 991.562 |
| 774 | 5 | 7 | 19 | 14 | 0.053511 | 991.562 |
| 775 | 5 | 7 | 14 | 16 | -0.030666 | 991.562 |
| 776 | 5 | 7 | 16 | 18 | -0.015628 | 991.562 |
| 777 | 5 | 7 | 18 | 20 | -0.014976 | 991.562 |
| 778 | 5 | 8 | 19 | 22 | -0.020377 | 1001.924 |
| 779 | 5 | 8 | 22 | 25 | -0.016627 | 1001.924 |
| 780 | 5 | 8 | 25 | 20 | 0.02848 | 1001.924 |
| 781 | 5 | 8 | 20 | 23 | -0.018885 | 1001.924 |
| 782 | 5 | 8 | 23 | 26 | -0.008079 | 1001.924 |
| 783 | 5 | 8 | 26 | 21 | 0.019516 | 1001.924 |
| 784 | 5 | 8 | 21 | 24 | -0.016099 | 1001.924 |

| Dati Geolettrici_Misura 8 27 Novembre 2025 | | | | | | |
|--|--------|--------|--------|--------|-----------|----------|
| Misura n. | Elec_A | Elec_B | Elec_M | Elec_N | V/I(ohm) | I(mA) |
| 785 | 5 | 9 | 24 | 28 | 0.005351 | 929.307 |
| 786 | 5 | 9 | 28 | 32 | 0.050296 | 929.307 |
| 787 | 5 | 9 | 32 | 25 | -0.064554 | 929.307 |
| 788 | 5 | 9 | 25 | 29 | 0.022312 | 929.307 |
| 789 | 5 | 9 | 29 | 33 | 0.060839 | 929.307 |
| 790 | 5 | 9 | 33 | 26 | -0.080847 | 929.307 |
| 791 | 5 | 9 | 26 | 30 | 0.033385 | 929.307 |
| 792 | 5 | 9 | 30 | 27 | -0.029476 | 929.307 |
| 793 | 5 | 9 | 27 | 31 | 0.042508 | 929.307 |
| 794 | 5 | 10 | 31 | 36 | 0.187132 | 393.847 |
| 795 | 5 | 10 | 36 | 32 | -0.164952 | 393.847 |
| 796 | 5 | 10 | 33 | 38 | 0.210597 | 393.847 |
| 797 | 5 | 10 | 38 | 34 | -0.169585 | 393.847 |
| 798 | 5 | 10 | 34 | 39 | 0.137114 | 393.847 |
| 799 | 5 | 10 | 39 | 35 | -0.088745 | 393.847 |
| 800 | 5 | 11 | 36 | 42 | -0.696867 | 977.498 |
| 801 | 5 | 11 | 37 | 43 | -0.004192 | 977.498 |
| 802 | 5 | 11 | 43 | 38 | 0.884726 | 977.498 |
| 803 | 5 | 11 | 38 | 44 | -0.880596 | 977.498 |
| 804 | 5 | 11 | 44 | 39 | 0.781621 | 977.498 |
| 805 | 5 | 11 | 39 | 45 | -0.84188 | 977.498 |
| 806 | 5 | 11 | 45 | 40 | 0.659993 | 39.425 |
| 807 | 5 | 11 | 40 | 46 | -0.607108 | 39.425 |
| 808 | 5 | 11 | 41 | 47 | -0.384562 | 52.408 |
| 809 | 6 | 7 | 8 | 9 | -0.261664 | 1163.664 |
| 810 | 6 | 7 | 9 | 10 | -0.097434 | 1163.664 |
| 811 | 6 | 7 | 10 | 11 | -0.0526 | 1163.664 |
| 812 | 6 | 7 | 11 | 12 | -0.028375 | 1163.664 |
| 813 | 6 | 7 | 12 | 13 | -0.020681 | 1163.664 |
| 814 | 6 | 7 | 13 | 14 | -0.012932 | 1163.664 |
| 815 | 6 | 8 | 14 | 16 | -0.038983 | 1179.561 |
| 816 | 6 | 8 | 16 | 18 | -0.026675 | 1179.561 |
| 817 | 6 | 8 | 18 | 20 | -0.011664 | 1179.561 |
| 818 | 6 | 8 | 20 | 15 | 0.051725 | 1179.561 |
| 819 | 6 | 8 | 15 | 17 | -0.031923 | 1179.561 |
| 820 | 6 | 8 | 17 | 19 | -0.015714 | 1179.561 |
| 821 | 6 | 8 | 19 | 21 | -0.009585 | 1179.561 |
| 822 | 6 | 9 | 20 | 23 | -0.02171 | 1072.714 |
| 823 | 6 | 9 | 23 | 26 | -0.010071 | 1072.714 |
| 824 | 6 | 9 | 26 | 21 | 0.023002 | 1072.714 |
| 825 | 6 | 9 | 21 | 24 | -0.017565 | 1072.714 |
| 826 | 6 | 9 | 27 | 22 | 0.013947 | 1072.714 |
| 827 | 6 | 9 | 22 | 25 | -0.018912 | 1072.714 |
| 828 | 6 | 10 | 25 | 29 | 0.027763 | 584.054 |
| 829 | 6 | 10 | 29 | 33 | 0.075344 | 584.054 |
| 830 | 6 | 10 | 33 | 26 | -0.099521 | 584.054 |
| 831 | 6 | 10 | 26 | 30 | 0.040845 | 584.054 |
| 832 | 6 | 10 | 30 | 34 | 0.094771 | 584.054 |
| 833 | 6 | 10 | 34 | 27 | -0.131135 | 584.054 |
| 834 | 6 | 10 | 27 | 31 | 0.052498 | 584.054 |
| 835 | 6 | 10 | 31 | 28 | -0.042422 | 584.054 |
| 836 | 6 | 10 | 28 | 32 | 0.061926 | 584.054 |
| 837 | 6 | 11 | 33 | 38 | 0.168167 | 1145.431 |
| 838 | 6 | 11 | 38 | 34 | -0.117511 | 1145.431 |
| 839 | 6 | 11 | 34 | 39 | 0.007141 | 1145.431 |
| 840 | 6 | 11 | 39 | 35 | 0.050997 | 1145.431 |

| Dati Geolettrici_Misura 8 27 Novembre 2025 | | | | | | |
|--|--------|--------|--------|--------|-----------|----------|
| Misura n. | Elec_A | Elec_B | Elec_M | Elec_N | V/I(ohm) | I(mA) |
| 841 | 6 | 11 | 35 | 40 | -0.251028 | 1145.431 |
| 842 | 6 | 11 | 40 | 36 | 0.303061 | 1145.431 |
| 843 | 6 | 11 | 36 | 41 | -0.518073 | 1145.431 |
| 844 | 6 | 12 | 37 | 43 | -0.10302 | 168.134 |
| 845 | 6 | 12 | 43 | 38 | 0.873818 | 168.134 |
| 846 | 6 | 12 | 38 | 44 | -0.770785 | 168.134 |
| 847 | 6 | 12 | 44 | 39 | 0.600972 | 168.134 |
| 848 | 6 | 12 | 39 | 45 | -0.642049 | 168.134 |
| 849 | 6 | 12 | 45 | 40 | 0.420217 | 168.134 |
| 850 | 6 | 12 | 40 | 46 | -0.360036 | 168.134 |
| 851 | 6 | 12 | 46 | 41 | 0.150976 | 168.134 |
| 852 | 6 | 12 | 42 | 48 | 0.00973 | 1125.346 |
| 853 | 7 | 8 | 9 | 10 | -0.232273 | 1117.787 |
| 854 | 7 | 8 | 10 | 11 | -0.107349 | 1117.787 |
| 855 | 7 | 8 | 11 | 12 | -0.047506 | 1117.787 |
| 856 | 7 | 8 | 12 | 13 | -0.032201 | 1117.787 |
| 857 | 7 | 8 | 13 | 14 | -0.018092 | 1117.787 |
| 858 | 7 | 8 | 14 | 15 | -0.014414 | 1117.787 |
| 859 | 7 | 9 | 15 | 17 | -0.032108 | 1121.107 |
| 860 | 7 | 9 | 17 | 19 | -0.032484 | 1121.107 |
| 861 | 7 | 9 | 19 | 21 | -0.013595 | 1121.107 |
| 862 | 7 | 9 | 21 | 16 | 0.056681 | 1121.107 |
| 863 | 7 | 9 | 16 | 18 | -0.033769 | 1121.107 |
| 864 | 7 | 9 | 18 | 20 | -0.015038 | 1121.107 |
| 865 | 7 | 9 | 20 | 22 | -0.021494 | 1121.107 |
| 866 | 7 | 10 | 21 | 24 | -0.022141 | 1208.346 |
| 867 | 7 | 10 | 27 | 22 | 0.002008 | 1208.346 |
| 868 | 7 | 10 | 22 | 25 | -0.008192 | 1208.346 |
| 869 | 7 | 10 | 25 | 28 | 0.014442 | 1208.346 |
| 870 | 7 | 10 | 28 | 23 | -0.001819 | 1208.346 |
| 871 | 7 | 10 | 23 | 26 | -0.00978 | 1208.346 |
| 872 | 7 | 11 | 26 | 30 | 0.049204 | 339.366 |
| 873 | 7 | 11 | 30 | 34 | 0.116611 | 339.366 |
| 874 | 7 | 11 | 34 | 27 | -0.160673 | 339.366 |
| 875 | 7 | 11 | 27 | 31 | 0.063779 | 339.366 |
| 876 | 7 | 11 | 31 | 35 | 0.147202 | 339.366 |
| 877 | 7 | 11 | 35 | 28 | -0.198816 | 339.366 |
| 878 | 7 | 11 | 28 | 32 | 0.075479 | 339.366 |
| 879 | 7 | 11 | 32 | 29 | -0.063755 | 339.366 |
| 880 | 7 | 11 | 29 | 33 | 0.091979 | 339.366 |
| 881 | 7 | 12 | 33 | 38 | 0.040139 | 1096.968 |
| 882 | 7 | 12 | 34 | 39 | -0.198181 | 1096.968 |
| 883 | 7 | 12 | 39 | 35 | 0.261055 | 1096.968 |
| 884 | 7 | 12 | 35 | 40 | -0.48798 | 1096.968 |
| 885 | 7 | 12 | 40 | 36 | 0.526699 | 1096.968 |
| 886 | 7 | 12 | 36 | 41 | -0.714115 | 1096.968 |
| 887 | 7 | 12 | 37 | 42 | -0.101979 | 1096.968 |
| 888 | 7 | 13 | 38 | 44 | -0.565062 | 592.481 |
| 889 | 7 | 13 | 44 | 39 | 0.365413 | 592.481 |
| 890 | 7 | 13 | 39 | 45 | -0.392136 | 592.481 |
| 891 | 7 | 13 | 45 | 40 | 0.169814 | 592.481 |
| 892 | 7 | 13 | 46 | 41 | -0.059262 | 592.481 |
| 893 | 7 | 13 | 41 | 47 | 0.030854 | 592.481 |
| 894 | 7 | 13 | 47 | 42 | -0.13082 | 592.481 |
| 895 | 7 | 13 | 42 | 48 | 0.130951 | 592.481 |
| 896 | 8 | 9 | 10 | 11 | -0.234968 | 1098.846 |

| Dati Geolettrici_Misura 8 27 Novembre 2025 | | | | | | |
|--|--------|--------|--------|--------|-----------|----------|
| Misura n. | Elec_A | Elec_B | Elec_M | Elec_N | V/I(ohm) | I(mA) |
| 897 | 8 | 9 | 11 | 12 | -0.0926 | 1098.846 |
| 898 | 8 | 9 | 12 | 13 | -0.04928 | 1098.846 |
| 899 | 8 | 9 | 13 | 14 | -0.026774 | 1098.846 |
| 900 | 8 | 9 | 14 | 15 | -0.017219 | 1098.846 |
| 901 | 8 | 9 | 15 | 16 | -0.014555 | 1098.846 |
| 902 | 8 | 10 | 16 | 18 | -0.043609 | 1217.181 |
| 903 | 8 | 10 | 18 | 20 | -0.023391 | 1217.181 |
| 904 | 8 | 10 | 20 | 22 | -0.017852 | 1217.181 |
| 905 | 8 | 10 | 22 | 17 | 0.061071 | 1217.181 |
| 906 | 8 | 10 | 17 | 19 | -0.033352 | 1217.181 |
| 907 | 8 | 10 | 19 | 21 | -0.018444 | 1217.181 |
| 908 | 8 | 10 | 21 | 23 | -0.012679 | 1217.181 |
| 909 | 8 | 11 | 22 | 25 | -0.025895 | 1216.376 |
| 910 | 8 | 11 | 25 | 28 | 0.018619 | 1216.376 |
| 911 | 8 | 11 | 23 | 26 | -0.014334 | 1216.376 |
| 912 | 8 | 11 | 26 | 29 | 0.02379 | 1216.376 |
| 913 | 8 | 11 | 29 | 24 | -0.015442 | 1216.376 |
| 914 | 8 | 12 | 27 | 31 | 0.077546 | 217.75 |
| 915 | 8 | 12 | 31 | 35 | 0.170023 | 217.75 |
| 916 | 8 | 12 | 35 | 28 | -0.232993 | 217.75 |
| 917 | 8 | 12 | 28 | 32 | 0.092255 | 217.75 |
| 918 | 8 | 12 | 32 | 36 | 0.170824 | 217.75 |
| 919 | 8 | 12 | 36 | 29 | -0.248433 | 217.75 |
| 920 | 8 | 12 | 29 | 33 | 0.111747 | 217.75 |
| 921 | 8 | 12 | 33 | 30 | -0.087746 | 217.75 |
| 922 | 8 | 12 | 30 | 34 | 0.140852 | 217.75 |
| 923 | 8 | 13 | 34 | 39 | -0.448625 | 127.239 |
| 924 | 8 | 13 | 39 | 35 | 0.501405 | 127.239 |
| 925 | 8 | 13 | 35 | 40 | -0.710389 | 127.239 |
| 926 | 8 | 13 | 40 | 36 | 0.701211 | 127.239 |
| 927 | 8 | 13 | 36 | 41 | -0.820728 | 127.239 |
| 928 | 8 | 13 | 41 | 37 | 0.137076 | 127.239 |
| 929 | 8 | 13 | 37 | 42 | -0.159702 | 127.239 |
| 930 | 8 | 13 | 42 | 38 | 0.559993 | 127.239 |
| 931 | 8 | 13 | 38 | 43 | -0.528578 | 127.239 |
| 932 | 8 | 14 | 39 | 45 | -0.154349 | 386.595 |
| 933 | 8 | 14 | 45 | 40 | -0.042534 | 386.595 |
| 934 | 8 | 14 | 40 | 46 | 0.089225 | 386.595 |
| 935 | 8 | 14 | 46 | 41 | -0.196264 | 386.595 |
| 936 | 8 | 14 | 41 | 47 | 0.168311 | 386.595 |
| 937 | 8 | 14 | 47 | 42 | -0.179729 | 386.595 |
| 938 | 8 | 14 | 42 | 48 | 0.179811 | 386.595 |
| 939 | 9 | 10 | 11 | 12 | -0.265204 | 1102.373 |
| 940 | 9 | 10 | 12 | 13 | -0.104608 | 1102.373 |
| 941 | 9 | 10 | 13 | 14 | -0.049567 | 1102.373 |
| 942 | 9 | 10 | 14 | 15 | -0.03111 | 1102.373 |
| 943 | 9 | 10 | 15 | 16 | -0.018203 | 1102.373 |
| 944 | 9 | 10 | 16 | 17 | -0.020838 | 1102.373 |
| 945 | 9 | 11 | 17 | 19 | -0.032473 | 1106.467 |
| 946 | 9 | 11 | 19 | 21 | -0.030392 | 1106.467 |
| 947 | 9 | 11 | 21 | 23 | -0.015678 | 1106.467 |
| 948 | 9 | 11 | 23 | 18 | 0.057695 | 1106.467 |
| 949 | 9 | 11 | 18 | 20 | -0.030425 | 1106.467 |
| 950 | 9 | 11 | 20 | 22 | -0.022267 | 1106.467 |
| 951 | 9 | 11 | 22 | 24 | -0.009249 | 1106.467 |
| 952 | 9 | 12 | 23 | 26 | -0.019248 | 1086.725 |

| Dati Geolettrici_Misura 8 27 Novembre 2025 | | | | | | |
|--|--------|--------|--------|--------|-----------|----------|
| Misura n. | Elec_A | Elec_B | Elec_M | Elec_N | V/I(ohm) | I(mA) |
| 953 | 9 | 12 | 26 | 29 | 0.029776 | 1086.725 |
| 954 | 9 | 12 | 29 | 24 | -0.020133 | 1086.725 |
| 955 | 9 | 12 | 27 | 30 | 0.043319 | 1086.725 |
| 956 | 9 | 12 | 30 | 25 | -0.055476 | 1086.725 |
| 957 | 9 | 12 | 25 | 28 | 0.023934 | 1086.725 |
| 958 | 9 | 13 | 28 | 32 | 0.11485 | 145.031 |
| 959 | 9 | 13 | 32 | 36 | 0.118731 | 145.031 |
| 960 | 9 | 13 | 36 | 29 | -0.214607 | 145.031 |
| 961 | 9 | 13 | 29 | 33 | 0.136845 | 145.031 |
| 962 | 9 | 13 | 33 | 37 | -0.459116 | 145.031 |
| 963 | 9 | 13 | 30 | 34 | 0.164903 | 145.031 |
| 964 | 9 | 13 | 34 | 31 | -0.134375 | 145.031 |
| 965 | 9 | 13 | 31 | 35 | 0.175543 | 145.031 |
| 966 | 9 | 14 | 35 | 40 | -0.797522 | 1146.063 |
| 967 | 9 | 14 | 40 | 36 | 0.711134 | 1146.063 |
| 968 | 9 | 14 | 36 | 41 | -0.745526 | 1146.063 |
| 969 | 9 | 14 | 41 | 37 | 0.189944 | 1146.063 |
| 970 | 9 | 14 | 37 | 42 | -0.155129 | 1146.063 |
| 971 | 9 | 14 | 42 | 38 | 0.332444 | 1146.063 |
| 972 | 9 | 14 | 38 | 43 | -0.28484 | 1146.063 |
| 973 | 9 | 14 | 39 | 44 | 0.013059 | 1146.063 |
| 974 | 9 | 15 | 40 | 46 | 0.219966 | 98.619 |
| 975 | 9 | 15 | 46 | 41 | -0.242702 | 98.619 |
| 976 | 9 | 15 | 41 | 47 | 0.218457 | 98.619 |
| 977 | 9 | 15 | 47 | 42 | -0.173824 | 98.619 |
| 978 | 9 | 15 | 42 | 48 | 0.173796 | 98.619 |
| 979 | 10 | 11 | 12 | 13 | -0.255586 | 1038.63 |
| 980 | 10 | 11 | 13 | 14 | -0.09365 | 1038.63 |
| 981 | 10 | 11 | 14 | 15 | -0.038808 | 1038.63 |
| 982 | 10 | 11 | 15 | 16 | -0.039204 | 1038.63 |
| 983 | 10 | 11 | 16 | 17 | -0.020227 | 1038.63 |
| 984 | 10 | 11 | 17 | 18 | -0.014927 | 1038.63 |
| 985 | 10 | 12 | 18 | 20 | -0.046571 | 969.831 |
| 986 | 10 | 12 | 20 | 22 | -0.023591 | 969.831 |
| 987 | 10 | 12 | 22 | 24 | -0.016568 | 969.831 |
| 988 | 10 | 12 | 24 | 19 | 0.058896 | 969.831 |
| 989 | 10 | 12 | 19 | 21 | -0.032357 | 969.831 |
| 990 | 10 | 12 | 21 | 23 | -0.019536 | 969.831 |
| 991 | 10 | 12 | 23 | 25 | -0.019509 | 969.831 |
| 992 | 10 | 13 | 27 | 30 | 0.053249 | 1143.814 |
| 993 | 10 | 13 | 30 | 25 | -0.069719 | 1143.814 |
| 994 | 10 | 13 | 25 | 28 | 0.030695 | 1143.814 |
| 995 | 10 | 13 | 28 | 31 | 0.063819 | 1143.814 |
| 996 | 10 | 13 | 31 | 26 | -0.085663 | 1143.814 |
| 997 | 10 | 13 | 26 | 29 | 0.037434 | 1143.814 |
| 998 | 10 | 14 | 29 | 33 | 0.156143 | 745.614 |
| 999 | 10 | 14 | 33 | 37 | -0.469383 | 745.614 |
| 1000 | 10 | 14 | 37 | 30 | 0.347271 | 745.614 |
| 1001 | 10 | 14 | 30 | 34 | 0.162861 | 745.614 |
| 1002 | 10 | 14 | 34 | 38 | -0.483014 | 745.614 |
| 1003 | 10 | 14 | 38 | 31 | 0.356716 | 745.614 |
| 1004 | 10 | 14 | 31 | 35 | 0.120275 | 745.614 |
| 1005 | 10 | 14 | 35 | 32 | -0.077337 | 745.614 |
| 1006 | 10 | 15 | 36 | 41 | -0.541422 | 342.506 |
| 1007 | 10 | 15 | 41 | 37 | 0.18782 | 342.506 |
| 1008 | 10 | 15 | 37 | 42 | -0.133374 | 342.506 |

| Dati Geolettrici_Misura 8 27 Novembre 2025 | | | | | | |
|--|--------|--------|--------|--------|-----------|----------|
| Misura n. | Elec_A | Elec_B | Elec_M | Elec_N | V/I(ohm) | I(mA) |
| 1009 | 10 | 15 | 43 | 39 | -0.080035 | 342.506 |
| 1010 | 10 | 15 | 39 | 44 | 0.167338 | 342.506 |
| 1011 | 10 | 15 | 44 | 40 | -0.215865 | 342.506 |
| 1012 | 10 | 15 | 40 | 45 | 0.207269 | 342.506 |
| 1013 | 10 | 16 | 41 | 47 | 0.210407 | 115.52 |
| 1014 | 10 | 16 | 47 | 42 | -0.147299 | 115.52 |
| 1015 | 10 | 16 | 42 | 48 | 0.147412 | 115.52 |
| 1016 | 11 | 12 | 13 | 14 | -0.25907 | 893.631 |
| 1017 | 11 | 12 | 14 | 15 | -0.104132 | 893.631 |
| 1018 | 11 | 12 | 15 | 16 | -0.044179 | 893.631 |
| 1019 | 11 | 12 | 16 | 17 | -0.032402 | 893.631 |
| 1020 | 11 | 12 | 17 | 18 | -0.021537 | 893.631 |
| 1021 | 11 | 12 | 18 | 19 | -0.024292 | 893.631 |
| 1022 | 11 | 13 | 19 | 21 | -0.038665 | 1136.989 |
| 1023 | 11 | 13 | 21 | 23 | -0.026781 | 1136.989 |
| 1024 | 11 | 13 | 23 | 25 | -0.027067 | 1136.989 |
| 1025 | 11 | 13 | 25 | 20 | 0.072612 | 1136.989 |
| 1026 | 11 | 13 | 20 | 22 | -0.032844 | 1136.989 |
| 1027 | 11 | 13 | 22 | 24 | -0.023718 | 1136.989 |
| 1028 | 11 | 13 | 24 | 26 | -0.009389 | 1136.989 |
| 1029 | 11 | 14 | 25 | 28 | 0.037518 | 443.201 |
| 1030 | 11 | 14 | 28 | 31 | 0.077433 | 443.201 |
| 1031 | 11 | 14 | 31 | 26 | -0.10422 | 443.201 |
| 1032 | 11 | 14 | 26 | 29 | 0.046274 | 443.201 |
| 1033 | 11 | 14 | 29 | 32 | 0.092801 | 443.201 |
| 1034 | 11 | 14 | 32 | 27 | -0.129265 | 443.201 |
| 1035 | 11 | 14 | 27 | 30 | 0.064142 | 443.201 |
| 1036 | 11 | 15 | 30 | 34 | 0.10722 | 519.757 |
| 1037 | 11 | 15 | 34 | 38 | -0.615813 | 519.757 |
| 1038 | 11 | 15 | 38 | 31 | 0.552261 | 519.757 |
| 1039 | 11 | 15 | 35 | 39 | -0.577675 | 519.757 |
| 1040 | 11 | 15 | 39 | 32 | 0.656352 | 519.757 |
| 1041 | 11 | 15 | 32 | 36 | -0.251637 | 519.757 |
| 1042 | 11 | 15 | 36 | 33 | 0.284591 | 519.757 |
| 1043 | 11 | 15 | 33 | 37 | -0.489307 | 519.757 |
| 1044 | 11 | 16 | 42 | 38 | -0.088967 | 189.904 |
| 1045 | 11 | 16 | 38 | 43 | 0.129683 | 189.904 |
| 1046 | 11 | 16 | 43 | 39 | -0.173602 | 189.904 |
| 1047 | 11 | 16 | 39 | 44 | 0.24471 | 189.904 |
| 1048 | 11 | 16 | 44 | 40 | -0.222002 | 189.904 |
| 1049 | 11 | 16 | 40 | 45 | 0.215699 | 189.904 |
| 1050 | 11 | 16 | 45 | 41 | -0.16242 | 189.904 |
| 1051 | 11 | 16 | 41 | 46 | 0.184073 | 189.904 |
| 1052 | 11 | 17 | 42 | 48 | 0.122289 | 138.886 |
| 1053 | 12 | 13 | 14 | 15 | -0.247397 | 986.337 |
| 1054 | 12 | 13 | 15 | 16 | -0.105075 | 986.337 |
| 1055 | 12 | 13 | 16 | 17 | -0.056269 | 986.337 |
| 1056 | 12 | 13 | 17 | 18 | -0.037093 | 986.337 |
| 1057 | 12 | 13 | 18 | 19 | -0.024983 | 986.337 |
| 1058 | 12 | 13 | 19 | 20 | -0.015812 | 986.337 |
| 1059 | 12 | 14 | 20 | 22 | -0.046565 | 1151.785 |
| 1060 | 12 | 14 | 22 | 24 | -0.026871 | 1151.785 |
| 1061 | 12 | 14 | 24 | 26 | -0.014434 | 1151.785 |
| 1062 | 12 | 14 | 26 | 21 | 0.06158 | 1151.785 |
| 1063 | 12 | 14 | 21 | 23 | -0.035184 | 1151.785 |
| 1064 | 12 | 14 | 23 | 25 | -0.034324 | 1151.785 |

| Dati Geolettrici_Misura 8 27 Novembre 2025 | | | | | | |
|--|--------|--------|--------|--------|-----------|----------|
| Misura n. | Elec_A | Elec_B | Elec_M | Elec_N | V/I(ohm) | I(mA) |
| 1065 | 12 | 14 | 25 | 27 | 0.015313 | 1151.785 |
| 1066 | 12 | 15 | 26 | 29 | 0.057238 | 286.344 |
| 1067 | 12 | 15 | 29 | 32 | 0.10553 | 286.344 |
| 1068 | 12 | 15 | 32 | 27 | -0.150277 | 286.344 |
| 1069 | 12 | 15 | 27 | 30 | 0.077633 | 286.344 |
| 1070 | 12 | 15 | 30 | 33 | 0.094635 | 286.344 |
| 1071 | 12 | 15 | 33 | 28 | -0.151654 | 286.344 |
| 1072 | 12 | 15 | 28 | 31 | 0.092823 | 286.344 |
| 1073 | 12 | 16 | 31 | 35 | -0.264929 | 103.556 |
| 1074 | 12 | 16 | 35 | 39 | -0.406141 | 103.556 |
| 1075 | 12 | 16 | 39 | 32 | 0.712191 | 103.556 |
| 1076 | 12 | 16 | 32 | 36 | -0.504326 | 103.556 |
| 1077 | 12 | 16 | 36 | 40 | -0.164866 | 103.556 |
| 1078 | 12 | 16 | 40 | 33 | 0.666264 | 103.556 |
| 1079 | 12 | 16 | 33 | 37 | -0.495296 | 103.556 |
| 1080 | 12 | 16 | 37 | 34 | 0.377891 | 103.556 |
| 1081 | 12 | 16 | 34 | 38 | -0.603655 | 103.556 |
| 1082 | 12 | 17 | 38 | 43 | 0.21416 | 184.682 |
| 1083 | 12 | 17 | 43 | 39 | -0.190595 | 184.682 |
| 1084 | 12 | 17 | 39 | 44 | 0.247265 | 184.682 |
| 1085 | 12 | 17 | 44 | 40 | -0.195376 | 184.682 |
| 1086 | 12 | 17 | 40 | 45 | 0.190729 | 184.682 |
| 1087 | 12 | 17 | 45 | 41 | -0.136026 | 184.682 |
| 1088 | 12 | 17 | 41 | 46 | 0.15324 | 184.682 |
| 1089 | 12 | 17 | 46 | 42 | -0.102837 | 184.682 |
| 1090 | 12 | 17 | 42 | 47 | 0.090203 | 184.682 |
| 1091 | 13 | 14 | 15 | 16 | -0.239332 | 1055.709 |
| 1092 | 13 | 14 | 16 | 17 | -0.097468 | 1055.709 |
| 1093 | 13 | 14 | 17 | 18 | -0.05636 | 1055.709 |
| 1094 | 13 | 14 | 18 | 19 | -0.035091 | 1055.709 |
| 1095 | 13 | 14 | 19 | 20 | -0.021157 | 1055.709 |
| 1096 | 13 | 14 | 20 | 21 | -0.014857 | 1055.709 |
| 1097 | 13 | 15 | 21 | 23 | -0.047116 | 872.648 |
| 1098 | 13 | 15 | 23 | 25 | -0.045265 | 872.648 |
| 1099 | 13 | 15 | 25 | 27 | 0.018486 | 872.648 |
| 1100 | 13 | 15 | 27 | 22 | 0.04903 | 872.648 |
| 1101 | 13 | 15 | 22 | 24 | -0.037503 | 872.648 |
| 1102 | 13 | 15 | 24 | 26 | -0.020727 | 872.648 |
| 1103 | 13 | 15 | 26 | 28 | 0.024008 | 872.648 |
| 1104 | 13 | 16 | 27 | 30 | 0.093519 | 409.802 |
| 1105 | 13 | 16 | 30 | 33 | 0.052367 | 409.802 |
| 1106 | 13 | 16 | 33 | 28 | -0.12044 | 409.802 |
| 1107 | 13 | 16 | 28 | 31 | 0.10752 | 409.802 |
| 1108 | 13 | 16 | 31 | 34 | -0.117569 | 409.802 |
| 1109 | 13 | 16 | 29 | 32 | 0.106408 | 409.802 |
| 1110 | 13 | 17 | 32 | 36 | -0.68511 | 470.454 |
| 1111 | 13 | 17 | 36 | 40 | 0.034513 | 470.454 |
| 1112 | 13 | 17 | 40 | 33 | 0.575287 | 470.454 |
| 1113 | 13 | 17 | 33 | 37 | -0.436499 | 470.454 |
| 1114 | 13 | 17 | 41 | 34 | 0.311249 | 470.454 |
| 1115 | 13 | 17 | 34 | 38 | -0.441845 | 470.454 |
| 1116 | 13 | 17 | 38 | 35 | 0.217316 | 470.454 |
| 1117 | 13 | 17 | 35 | 39 | -0.173879 | 470.454 |
| 1118 | 13 | 18 | 39 | 44 | 0.21431 | 360.841 |
| 1119 | 13 | 18 | 44 | 40 | -0.160442 | 360.841 |
| 1120 | 13 | 18 | 40 | 45 | 0.156921 | 360.841 |

| Dati Geolettrici_Misura 8 27 Novembre 2025 | | | | | | |
|--|--------|--------|--------|--------|-----------|----------|
| Misura n. | Elec_A | Elec_B | Elec_M | Elec_N | V/I(ohm) | I(mA) |
| 1121 | 13 | 18 | 45 | 41 | -0.109482 | 360.841 |
| 1122 | 13 | 18 | 41 | 46 | 0.122852 | 360.841 |
| 1123 | 13 | 18 | 46 | 42 | -0.081002 | 360.841 |
| 1124 | 13 | 18 | 42 | 47 | 0.07104 | 360.841 |
| 1125 | 13 | 18 | 47 | 43 | -0.04415 | 360.841 |
| 1126 | 13 | 18 | 43 | 48 | 0.044191 | 360.841 |
| 1127 | 14 | 15 | 16 | 17 | -0.242889 | 1086.194 |
| 1128 | 14 | 15 | 17 | 18 | -0.091883 | 1086.194 |
| 1129 | 14 | 15 | 18 | 19 | -0.070439 | 1086.194 |
| 1130 | 14 | 15 | 19 | 20 | -0.036693 | 1086.194 |
| 1131 | 14 | 15 | 20 | 21 | -0.021512 | 1086.194 |
| 1132 | 14 | 15 | 21 | 22 | -0.013837 | 1086.194 |
| 1133 | 14 | 16 | 22 | 24 | -0.048049 | 855.632 |
| 1134 | 14 | 16 | 24 | 26 | -0.028803 | 855.632 |
| 1135 | 14 | 16 | 26 | 28 | 0.031014 | 855.632 |
| 1136 | 14 | 16 | 23 | 25 | -0.061694 | 855.632 |
| 1137 | 14 | 16 | 25 | 27 | 0.023879 | 855.632 |
| 1138 | 14 | 16 | 27 | 29 | 0.040841 | 855.632 |
| 1139 | 14 | 17 | 28 | 31 | 0.112779 | 300.689 |
| 1140 | 14 | 17 | 31 | 34 | -0.309273 | 300.689 |
| 1141 | 14 | 17 | 34 | 29 | 0.232323 | 300.689 |
| 1142 | 14 | 17 | 29 | 32 | 0.073125 | 300.689 |
| 1143 | 14 | 17 | 32 | 35 | -0.496821 | 300.689 |
| 1144 | 14 | 17 | 35 | 30 | 0.465878 | 300.689 |
| 1145 | 14 | 17 | 30 | 33 | -0.054563 | 300.689 |
| 1146 | 14 | 18 | 33 | 37 | -0.310785 | 896.611 |
| 1147 | 14 | 18 | 34 | 38 | -0.23665 | 896.611 |
| 1148 | 14 | 18 | 38 | 42 | 0.157314 | 896.611 |
| 1149 | 14 | 18 | 42 | 35 | -0.121133 | 896.611 |
| 1150 | 14 | 18 | 35 | 39 | 0.013454 | 896.611 |
| 1151 | 14 | 18 | 39 | 36 | -0.100697 | 896.611 |
| 1152 | 14 | 18 | 36 | 40 | 0.14229 | 896.611 |
| 1153 | 14 | 19 | 40 | 45 | 0.130751 | 442.167 |
| 1154 | 14 | 19 | 45 | 41 | -0.090269 | 442.167 |
| 1155 | 14 | 19 | 41 | 46 | 0.10106 | 442.167 |
| 1156 | 14 | 19 | 46 | 42 | -0.065162 | 442.167 |
| 1157 | 14 | 19 | 42 | 47 | 0.057227 | 442.167 |
| 1158 | 14 | 19 | 47 | 43 | -0.03548 | 442.167 |
| 1159 | 14 | 19 | 43 | 48 | 0.035493 | 442.167 |
| 1160 | 15 | 16 | 17 | 18 | -0.283803 | 1219.262 |
| 1161 | 15 | 16 | 18 | 19 | -0.102109 | 1219.262 |
| 1162 | 15 | 16 | 19 | 20 | -0.052853 | 1219.262 |
| 1163 | 15 | 16 | 20 | 21 | -0.034977 | 1219.262 |
| 1164 | 15 | 16 | 21 | 22 | -0.027047 | 1219.262 |
| 1165 | 15 | 16 | 22 | 23 | -0.012982 | 1219.262 |
| 1166 | 15 | 17 | 23 | 25 | -0.084482 | 636.386 |
| 1167 | 15 | 17 | 25 | 27 | 0.030538 | 636.386 |
| 1168 | 15 | 17 | 27 | 29 | 0.049693 | 636.386 |
| 1169 | 15 | 17 | 29 | 24 | -0.024412 | 636.386 |
| 1170 | 15 | 17 | 24 | 26 | -0.040892 | 636.386 |
| 1171 | 15 | 17 | 26 | 28 | 0.03923 | 636.386 |
| 1172 | 15 | 17 | 28 | 30 | 0.055576 | 636.386 |
| 1173 | 15 | 18 | 29 | 32 | -0.042507 | 362.241 |
| 1174 | 15 | 18 | 32 | 35 | -0.534994 | 362.241 |
| 1175 | 15 | 18 | 35 | 30 | 0.613138 | 362.241 |
| 1176 | 15 | 18 | 30 | 33 | -0.245882 | 362.241 |

| Dati Geolettrici_Misura 8 27 Novembre 2025 | | | | | | |
|--|--------|--------|--------|--------|-----------|----------|
| Misura n. | Elec_A | Elec_B | Elec_M | Elec_N | V/I(ohm) | I(mA) |
| 1177 | 15 | 18 | 33 | 36 | -0.392525 | 362.241 |
| 1178 | 15 | 18 | 36 | 31 | 0.641871 | 362.241 |
| 1179 | 15 | 18 | 31 | 34 | -0.489685 | 362.241 |
| 1180 | 15 | 19 | 38 | 42 | 0.133134 | 289.769 |
| 1181 | 15 | 19 | 42 | 35 | -0.202295 | 289.769 |
| 1182 | 15 | 19 | 35 | 39 | 0.112422 | 289.769 |
| 1183 | 15 | 19 | 39 | 43 | 0.105046 | 289.769 |
| 1184 | 15 | 19 | 43 | 36 | -0.233713 | 289.769 |
| 1185 | 15 | 19 | 36 | 40 | 0.163543 | 289.769 |
| 1186 | 15 | 20 | 41 | 46 | 0.082036 | 552.893 |
| 1187 | 15 | 20 | 46 | 42 | -0.051841 | 552.893 |
| 1188 | 15 | 20 | 42 | 47 | 0.045694 | 552.893 |
| 1189 | 15 | 20 | 47 | 43 | -0.028508 | 552.893 |
| 1190 | 15 | 20 | 43 | 48 | 0.028543 | 552.893 |
| 1191 | 16 | 17 | 18 | 19 | -0.281319 | 1230.83 |
| 1192 | 16 | 17 | 19 | 20 | -0.105934 | 1230.83 |
| 1193 | 16 | 17 | 20 | 21 | -0.056146 | 1230.83 |
| 1194 | 16 | 17 | 21 | 22 | -0.035773 | 1230.83 |
| 1195 | 16 | 17 | 22 | 23 | -0.023151 | 1230.83 |
| 1196 | 16 | 17 | 23 | 24 | -0.016378 | 1230.83 |
| 1197 | 16 | 18 | 24 | 26 | -0.066264 | 896.95 |
| 1198 | 16 | 18 | 26 | 28 | 0.049958 | 896.95 |
| 1199 | 16 | 18 | 28 | 30 | 0.048003 | 896.95 |
| 1200 | 16 | 18 | 30 | 25 | -0.117924 | 896.95 |
| 1201 | 16 | 18 | 25 | 27 | 0.040566 | 896.95 |
| 1202 | 16 | 18 | 27 | 29 | 0.056793 | 896.95 |
| 1203 | 16 | 18 | 29 | 31 | 0.009912 | 896.95 |
| 1204 | 16 | 19 | 30 | 33 | -0.449259 | 109.876 |
| 1205 | 16 | 19 | 33 | 36 | -0.213465 | 109.876 |
| 1206 | 16 | 19 | 36 | 31 | 0.594598 | 109.876 |
| 1207 | 16 | 19 | 31 | 34 | -0.560387 | 109.876 |
| 1208 | 16 | 19 | 34 | 37 | 0.150575 | 109.876 |
| 1209 | 16 | 19 | 37 | 32 | 0.232689 | 109.876 |
| 1210 | 16 | 19 | 32 | 35 | -0.43098 | 109.876 |
| 1211 | 16 | 20 | 35 | 39 | 0.14537 | 1177.705 |
| 1212 | 16 | 20 | 39 | 43 | 0.083607 | 1177.705 |
| 1213 | 16 | 20 | 43 | 36 | -0.205571 | 1177.705 |
| 1214 | 16 | 20 | 36 | 40 | 0.147473 | 1177.705 |
| 1215 | 16 | 20 | 40 | 44 | 0.077006 | 1177.705 |
| 1216 | 16 | 20 | 44 | 37 | -0.000073 | 1177.705 |
| 1217 | 16 | 20 | 41 | 38 | -0.086284 | 1177.705 |
| 1218 | 16 | 20 | 38 | 42 | 0.108766 | 1177.705 |
| 1219 | 16 | 21 | 42 | 47 | 0.035692 | 683.22 |
| 1220 | 16 | 21 | 47 | 43 | -0.022489 | 683.22 |
| 1221 | 16 | 21 | 43 | 48 | 0.02254 | 683.22 |
| 1222 | 17 | 18 | 19 | 20 | -0.298156 | 901.196 |
| 1223 | 17 | 18 | 20 | 21 | -0.119095 | 901.196 |
| 1224 | 17 | 18 | 21 | 22 | -0.064244 | 901.196 |
| 1225 | 17 | 18 | 22 | 23 | -0.040524 | 901.196 |
| 1226 | 17 | 18 | 23 | 24 | -0.025586 | 901.196 |
| 1227 | 17 | 18 | 24 | 25 | -0.053473 | 901.196 |
| 1228 | 17 | 19 | 25 | 27 | 0.054272 | 1001.938 |
| 1229 | 17 | 19 | 27 | 29 | 0.056487 | 1001.938 |
| 1230 | 17 | 19 | 29 | 31 | -0.085063 | 1001.938 |
| 1231 | 17 | 19 | 26 | 28 | 0.062334 | 1001.938 |
| 1232 | 17 | 19 | 28 | 30 | 0.011425 | 1001.938 |

| Dati Geolettrici_Misura 8 27 Novembre 2025 | | | | | | |
|--|--------|--------|--------|--------|-----------|----------|
| Misura n. | Elec_A | Elec_B | Elec_M | Elec_N | V/I(ohm) | I(mA) |
| 1233 | 17 | 19 | 30 | 32 | -0.232075 | 1001.938 |
| 1234 | 17 | 20 | 31 | 34 | -0.455892 | 1177.478 |
| 1235 | 17 | 20 | 34 | 37 | 0.186148 | 1177.478 |
| 1236 | 17 | 20 | 32 | 35 | -0.234961 | 1177.478 |
| 1237 | 17 | 20 | 35 | 38 | 0.088218 | 1177.478 |
| 1238 | 17 | 20 | 38 | 33 | -0.012435 | 1177.478 |
| 1239 | 17 | 21 | 36 | 40 | 0.128017 | 1023.602 |
| 1240 | 17 | 21 | 40 | 44 | 0.064848 | 1023.602 |
| 1241 | 17 | 21 | 41 | 45 | 0.042551 | 1023.602 |
| 1242 | 17 | 21 | 45 | 38 | -0.114592 | 1023.602 |
| 1243 | 17 | 21 | 38 | 42 | 0.091479 | 1023.602 |
| 1244 | 17 | 21 | 42 | 39 | -0.06017 | 1023.602 |
| 1245 | 17 | 21 | 39 | 43 | 0.069207 | 1023.602 |
| 1246 | 17 | 22 | 43 | 48 | 0.019015 | 782.676 |
| 1247 | 18 | 19 | 20 | 21 | -0.313591 | 796.3 |
| 1248 | 18 | 19 | 21 | 22 | -0.131173 | 796.3 |
| 1249 | 18 | 19 | 22 | 23 | -0.065017 | 796.3 |
| 1250 | 18 | 19 | 23 | 24 | -0.038362 | 796.3 |
| 1251 | 18 | 19 | 24 | 25 | -0.078348 | 796.3 |
| 1252 | 18 | 19 | 25 | 26 | 0.015814 | 796.3 |
| 1253 | 18 | 20 | 26 | 28 | 0.059801 | 869.215 |
| 1254 | 18 | 20 | 28 | 30 | -0.090837 | 869.215 |
| 1255 | 18 | 20 | 30 | 32 | -0.295624 | 869.215 |
| 1256 | 18 | 20 | 32 | 27 | 0.355928 | 869.215 |
| 1257 | 18 | 20 | 27 | 29 | 0.017833 | 869.215 |
| 1258 | 18 | 20 | 29 | 31 | -0.22111 | 869.215 |
| 1259 | 18 | 20 | 31 | 33 | -0.229611 | 869.215 |
| 1260 | 18 | 21 | 35 | 38 | 0.080232 | 430.398 |
| 1261 | 18 | 21 | 38 | 33 | -0.109982 | 430.398 |
| 1262 | 18 | 21 | 33 | 36 | 0.058657 | 430.398 |
| 1263 | 18 | 21 | 36 | 39 | 0.071359 | 430.398 |
| 1264 | 18 | 21 | 39 | 34 | -0.127034 | 430.398 |
| 1265 | 18 | 21 | 34 | 37 | 0.185236 | 430.398 |
| 1266 | 18 | 22 | 41 | 45 | 0.035663 | 591.94 |
| 1267 | 18 | 22 | 45 | 38 | -0.094529 | 591.94 |
| 1268 | 18 | 22 | 38 | 42 | 0.075001 | 591.94 |
| 1269 | 18 | 22 | 42 | 46 | 0.024203 | 591.94 |
| 1270 | 18 | 22 | 46 | 39 | -0.073834 | 591.94 |
| 1271 | 18 | 22 | 39 | 43 | 0.056572 | 591.94 |
| 1272 | 18 | 22 | 43 | 40 | -0.039959 | 591.94 |
| 1273 | 18 | 22 | 40 | 44 | 0.054345 | 591.94 |
| 1274 | 19 | 20 | 21 | 22 | -0.306109 | 981.091 |
| 1275 | 19 | 20 | 22 | 23 | -0.111107 | 981.091 |
| 1276 | 19 | 20 | 23 | 24 | -0.054203 | 981.091 |
| 1277 | 19 | 20 | 24 | 25 | -0.107564 | 981.091 |
| 1278 | 19 | 20 | 25 | 26 | 0.017499 | 981.091 |
| 1279 | 19 | 20 | 26 | 27 | 0.014343 | 981.091 |
| 1280 | 19 | 21 | 27 | 29 | -0.091715 | 712.281 |
| 1281 | 19 | 21 | 29 | 31 | -0.314186 | 712.281 |
| 1282 | 19 | 21 | 31 | 33 | -0.082203 | 712.281 |
| 1283 | 19 | 21 | 33 | 28 | 0.489709 | 712.281 |
| 1284 | 19 | 21 | 28 | 30 | -0.256527 | 712.281 |
| 1285 | 19 | 21 | 30 | 32 | -0.227696 | 712.281 |
| 1286 | 19 | 21 | 32 | 34 | 0.021899 | 712.281 |
| 1287 | 19 | 22 | 33 | 36 | 0.110785 | 417.764 |
| 1288 | 19 | 22 | 36 | 39 | 0.060872 | 417.764 |

| Dati Geolettrici_Misura 8 27 Novembre 2025 | | | | | | |
|--|--------|--------|--------|--------|-----------|----------|
| Misura n. | Elec_A | Elec_B | Elec_M | Elec_N | V/I(ohm) | I(mA) |
| 1289 | 19 | 22 | 39 | 34 | -0.125189 | 417.764 |
| 1290 | 19 | 22 | 34 | 37 | 0.173997 | 417.764 |
| 1291 | 19 | 22 | 40 | 35 | -0.100748 | 417.764 |
| 1292 | 19 | 22 | 35 | 38 | 0.07223 | 417.764 |
| 1293 | 19 | 23 | 38 | 42 | 0.061713 | 1064.017 |
| 1294 | 19 | 23 | 42 | 46 | 0.020611 | 1064.017 |
| 1295 | 19 | 23 | 46 | 39 | -0.059909 | 1064.017 |
| 1296 | 19 | 23 | 39 | 43 | 0.044745 | 1064.017 |
| 1297 | 19 | 23 | 43 | 47 | 0.012732 | 1064.017 |
| 1298 | 19 | 23 | 47 | 40 | -0.045091 | 1064.017 |
| 1299 | 19 | 23 | 40 | 44 | 0.045142 | 1064.017 |
| 1300 | 19 | 23 | 44 | 41 | -0.031417 | 1064.017 |
| 1301 | 19 | 23 | 41 | 45 | 0.029468 | 1064.017 |
| 1302 | 20 | 21 | 22 | 23 | -0.267499 | 994.666 |
| 1303 | 20 | 21 | 23 | 24 | -0.091002 | 994.666 |
| 1304 | 20 | 21 | 24 | 25 | -0.163943 | 994.666 |
| 1305 | 20 | 21 | 25 | 26 | 0.019736 | 994.666 |
| 1306 | 20 | 21 | 26 | 27 | 0.009433 | 994.666 |
| 1307 | 20 | 21 | 27 | 28 | -0.009849 | 994.666 |
| 1308 | 20 | 22 | 28 | 30 | -0.357787 | 856.881 |
| 1309 | 20 | 22 | 30 | 32 | -0.104867 | 856.881 |
| 1310 | 20 | 22 | 32 | 34 | 0.065539 | 856.881 |
| 1311 | 20 | 22 | 34 | 29 | 0.221138 | 856.881 |
| 1312 | 20 | 22 | 29 | 31 | -0.276178 | 856.881 |
| 1313 | 20 | 22 | 31 | 33 | 0.015394 | 856.881 |
| 1314 | 20 | 22 | 33 | 35 | 0.065179 | 856.881 |
| 1315 | 20 | 23 | 34 | 37 | 0.15307 | 521.013 |
| 1316 | 20 | 23 | 40 | 35 | -0.086438 | 521.013 |
| 1317 | 20 | 23 | 35 | 38 | 0.062531 | 521.013 |
| 1318 | 20 | 23 | 38 | 41 | 0.033172 | 521.013 |
| 1319 | 20 | 23 | 41 | 36 | -0.070561 | 521.013 |
| 1320 | 20 | 23 | 36 | 39 | 0.051937 | 521.013 |
| 1321 | 20 | 24 | 39 | 43 | 0.036402 | 1222.407 |
| 1322 | 20 | 24 | 43 | 47 | 0.012273 | 1222.407 |
| 1323 | 20 | 24 | 47 | 40 | -0.038588 | 1222.407 |
| 1324 | 20 | 24 | 40 | 44 | 0.038617 | 1222.407 |
| 1325 | 20 | 24 | 44 | 48 | 0.000023 | 1222.407 |
| 1326 | 20 | 24 | 48 | 41 | -0.027477 | 1222.407 |
| 1327 | 20 | 24 | 41 | 45 | 0.025713 | 1222.407 |
| 1328 | 20 | 24 | 45 | 42 | -0.015269 | 1222.407 |
| 1329 | 20 | 24 | 42 | 46 | 0.019427 | 1222.407 |
| 1330 | 21 | 22 | 23 | 24 | -0.217161 | 793.701 |
| 1331 | 21 | 22 | 24 | 25 | -0.260329 | 793.701 |
| 1332 | 21 | 22 | 25 | 26 | 0.0198 | 793.701 |
| 1333 | 21 | 22 | 26 | 27 | -0.004506 | 793.701 |
| 1334 | 21 | 22 | 27 | 28 | -0.044885 | 793.701 |
| 1335 | 21 | 22 | 28 | 29 | -0.103592 | 793.701 |
| 1336 | 21 | 23 | 29 | 31 | -0.141217 | 1071.426 |
| 1337 | 21 | 23 | 31 | 33 | 0.04619 | 1071.426 |
| 1338 | 21 | 23 | 33 | 35 | 0.055994 | 1071.426 |
| 1339 | 21 | 23 | 35 | 30 | -0.072536 | 1071.426 |
| 1340 | 21 | 23 | 32 | 34 | 0.063912 | 1071.426 |
| 1341 | 21 | 23 | 34 | 36 | 0.036185 | 1071.426 |
| 1342 | 21 | 24 | 35 | 38 | 0.050614 | 1063.536 |
| 1343 | 21 | 24 | 38 | 41 | 0.026896 | 1063.536 |
| 1344 | 21 | 24 | 41 | 36 | -0.056984 | 1063.536 |

| Dati Geolettrici_Misura 8 27 Novembre 2025 | | | | | | |
|--|--------|--------|--------|--------|-----------|----------|
| Misura n. | Elec_A | Elec_B | Elec_M | Elec_N | V/I(ohm) | I(mA) |
| 1345 | 21 | 24 | 36 | 39 | 0.042471 | 1063.536 |
| 1346 | 21 | 24 | 39 | 42 | 0.021342 | 1063.536 |
| 1347 | 22 | 23 | 24 | 25 | -0.50191 | 478.259 |
| 1348 | 22 | 23 | 26 | 27 | -0.037097 | 478.259 |
| 1349 | 22 | 23 | 27 | 28 | -0.079018 | 478.259 |
| 1350 | 22 | 23 | 28 | 29 | -0.082918 | 478.259 |
| 1351 | 22 | 23 | 29 | 30 | -0.03106 | 478.259 |
| 1352 | 22 | 24 | 30 | 32 | 0.029417 | 518.246 |
| 1353 | 22 | 24 | 32 | 34 | 0.054754 | 518.246 |
| 1354 | 22 | 24 | 34 | 36 | 0.028445 | 518.246 |
| 1355 | 22 | 24 | 36 | 31 | -0.106637 | 518.246 |
| 1356 | 22 | 24 | 31 | 33 | 0.049305 | 518.246 |
| 1357 | 22 | 24 | 33 | 35 | 0.045325 | 518.246 |
| 1358 | 22 | 24 | 35 | 37 | 0.057058 | 518.246 |
| 1359 | 22 | 25 | 36 | 39 | 0.400139 | 862.936 |
| 1360 | 23 | 24 | 26 | 27 | -0.05316 | 1344.767 |
| 1361 | 23 | 24 | 27 | 28 | -0.061711 | 1344.767 |
| 1362 | 23 | 24 | 28 | 29 | -0.033667 | 1344.767 |
| 1363 | 23 | 24 | 30 | 31 | 0.007171 | 1344.767 |
| 1364 | 23 | 25 | 31 | 33 | 0.051865 | 522.712 |
| 1365 | 23 | 25 | 33 | 35 | 0.049332 | 522.712 |
| 1366 | 23 | 25 | 37 | 32 | -0.151145 | 522.712 |
| 1367 | 23 | 25 | 32 | 34 | 0.18714 | 522.712 |
| 1368 | 23 | 25 | 36 | 38 | 0.132799 | 522.712 |
| 1369 | 23 | 27 | 42 | 46 | -0.307499 | 1123.198 |
| 1370 | 23 | 27 | 46 | 43 | 0.252797 | 1123.198 |
| 1371 | 23 | 27 | 47 | 44 | 0.017698 | 1123.198 |
| 1372 | 23 | 27 | 44 | 48 | -0.016432 | 1123.198 |
| 1373 | 24 | 25 | 26 | 27 | -0.676276 | 1023.746 |
| 1374 | 24 | 25 | 27 | 28 | -0.388975 | 1023.746 |
| 1375 | 24 | 25 | 28 | 29 | -0.13927 | 1023.746 |
| 1376 | 24 | 25 | 29 | 30 | -0.069378 | 1023.746 |
| 1377 | 24 | 25 | 30 | 31 | -0.01617 | 1023.746 |
| 1378 | 24 | 26 | 34 | 36 | -0.049862 | 1324.577 |
| 1379 | 24 | 26 | 33 | 35 | -0.013334 | 1324.577 |
| 1380 | 24 | 27 | 41 | 44 | -0.117145 | 1113.36 |
| 1381 | 24 | 28 | 43 | 47 | -0.067103 | 1089.804 |
| 1382 | 24 | 28 | 47 | 44 | 0.007645 | 1089.804 |
| 1383 | 24 | 28 | 44 | 48 | -0.006943 | 1089.804 |
| 1384 | 25 | 26 | 27 | 28 | -0.326285 | 1243.518 |
| 1385 | 25 | 26 | 28 | 29 | -0.101535 | 1243.518 |
| 1386 | 25 | 26 | 29 | 30 | -0.052062 | 1243.518 |
| 1387 | 25 | 26 | 30 | 31 | -0.026079 | 1243.518 |
| 1388 | 25 | 26 | 31 | 32 | -0.018036 | 1243.518 |
| 1389 | 25 | 26 | 32 | 33 | -0.012186 | 1243.518 |
| 1390 | 25 | 27 | 33 | 35 | -0.035285 | 624.654 |
| 1391 | 25 | 27 | 37 | 39 | -0.167428 | 624.654 |
| 1392 | 25 | 27 | 39 | 34 | 0.239979 | 624.654 |
| 1393 | 25 | 28 | 43 | 46 | -0.110574 | 518.796 |
| 1394 | 25 | 28 | 46 | 41 | 0.066364 | 518.796 |
| 1395 | 26 | 27 | 28 | 29 | -0.384611 | 886.671 |
| 1396 | 26 | 27 | 29 | 30 | -0.188055 | 886.671 |
| 1397 | 26 | 27 | 30 | 31 | -0.060656 | 886.671 |
| 1398 | 26 | 27 | 31 | 32 | -0.058234 | 886.671 |
| 1399 | 27 | 28 | 29 | 30 | -0.34247 | 950.266 |
| 1400 | 27 | 28 | 30 | 31 | -0.110906 | 950.266 |

| Dati Geolettrici_Misura 8 27 Novembre 2025 | | | | | | |
|--|--------|--------|--------|--------|-----------|----------|
| Misura n. | Elec_A | Elec_B | Elec_M | Elec_N | V/I(ohm) | I(mA) |
| 1401 | 27 | 28 | 31 | 32 | -0.057709 | 950.266 |
| 1402 | 27 | 28 | 32 | 33 | -0.048484 | 950.266 |
| 1403 | 27 | 28 | 33 | 34 | -0.042083 | 950.266 |
| 1404 | 27 | 29 | 35 | 37 | -0.09761 | 1007.384 |
| 1405 | 27 | 29 | 39 | 41 | -0.086305 | 1007.384 |
| 1406 | 27 | 29 | 41 | 36 | 0.16119 | 1007.384 |
| 1407 | 27 | 29 | 36 | 38 | -0.072754 | 1007.384 |
| 1408 | 27 | 29 | 40 | 42 | -0.021125 | 1007.384 |
| 1409 | 28 | 29 | 30 | 31 | -0.334489 | 990.029 |
| 1410 | 28 | 29 | 31 | 32 | -0.131648 | 990.029 |
| 1411 | 28 | 29 | 32 | 33 | -0.086633 | 990.029 |
| 1412 | 28 | 30 | 39 | 41 | -0.061286 | 418.135 |
| 1413 | 28 | 30 | 41 | 43 | -0.042091 | 418.135 |
| 1414 | 29 | 30 | 31 | 32 | -0.31614 | 1015.592 |
| 1415 | 29 | 30 | 32 | 33 | -0.128687 | 1015.592 |
| 1416 | 29 | 30 | 33 | 34 | -0.095545 | 1015.592 |
| 1417 | 29 | 30 | 34 | 35 | -0.031273 | 1015.592 |
| 1418 | 29 | 30 | 36 | 37 | -0.077001 | 1015.592 |
| 1419 | 29 | 31 | 39 | 41 | -0.020908 | 914.417 |
| 1420 | 29 | 31 | 43 | 38 | 0.127428 | 914.417 |
| 1421 | 29 | 31 | 40 | 42 | -0.05366 | 914.417 |
| 1422 | 30 | 31 | 32 | 33 | -0.289815 | 887.776 |
| 1423 | 30 | 31 | 33 | 34 | -0.152376 | 887.776 |
| 1424 | 30 | 31 | 34 | 35 | -0.046453 | 887.776 |
| 1425 | 30 | 31 | 35 | 36 | -0.03334 | 887.776 |
| 1426 | 30 | 31 | 36 | 37 | -0.06018 | 887.776 |
| 1427 | 30 | 32 | 39 | 41 | -0.033626 | 1053.362 |
| 1428 | 31 | 32 | 33 | 34 | -0.337415 | 931.867 |
| 1429 | 31 | 32 | 34 | 35 | -0.129818 | 931.867 |
| 1430 | 31 | 32 | 35 | 36 | -0.047891 | 931.867 |
| 1431 | 31 | 32 | 36 | 37 | -0.064511 | 931.867 |
| 1432 | 31 | 32 | 38 | 39 | -0.014107 | 931.867 |
| 1433 | 31 | 33 | 39 | 41 | -0.043902 | 701.354 |
| 1434 | 31 | 33 | 41 | 43 | -0.04387 | 701.354 |
| 1435 | 31 | 33 | 40 | 42 | -0.030673 | 701.354 |
| 1436 | 31 | 33 | 42 | 44 | -0.033723 | 701.354 |
| 1437 | 31 | 34 | 45 | 48 | -0.162943 | 91.278 |
| 1438 | 32 | 33 | 34 | 35 | -0.325165 | 1001.138 |
| 1439 | 32 | 33 | 35 | 36 | -0.099411 | 1001.138 |
| 1440 | 32 | 33 | 36 | 37 | -0.150359 | 1001.138 |
| 1441 | 32 | 34 | 40 | 42 | -0.038832 | 721.808 |
| 1442 | 32 | 34 | 42 | 44 | -0.026756 | 721.808 |
| 1443 | 32 | 34 | 41 | 43 | -0.053525 | 721.808 |
| 1444 | 32 | 34 | 45 | 47 | -0.044026 | 721.808 |
| 1445 | 33 | 34 | 35 | 36 | -0.7138 | 950.405 |
| 1446 | 33 | 34 | 36 | 37 | -0.290076 | 950.405 |
| 1447 | 33 | 34 | 38 | 39 | -0.031273 | 950.405 |
| 1448 | 33 | 34 | 39 | 40 | -0.037862 | 950.405 |
| 1449 | 34 | 35 | 36 | 37 | -0.66197 | 1108.296 |
| 1450 | 34 | 35 | 40 | 41 | -0.05817 | 1108.296 |
| 1451 | 34 | 36 | 44 | 46 | -0.517368 | 594.08 |
| 1452 | 34 | 36 | 43 | 45 | -0.162913 | 594.08 |
| 1453 | 35 | 36 | 38 | 39 | -0.094594 | 1254.451 |
| 1454 | 35 | 36 | 39 | 40 | -0.053932 | 1254.451 |
| 1455 | 35 | 36 | 40 | 41 | -0.030237 | 1254.451 |
| 1456 | 35 | 36 | 41 | 42 | -0.004329 | 1254.451 |

| Dati Geolettrici_Misura 8 27 Novembre 2025 | | | | | | |
|--|--------|--------|--------|--------|-----------|----------|
| Misura n. | Elec_A | Elec_B | Elec_M | Elec_N | V/I(ohm) | I(mA) |
| 1457 | 35 | 36 | 42 | 43 | -0.022319 | 1254.451 |
| 1458 | 35 | 37 | 44 | 46 | -33.2445 | 205.725 |
| 1459 | 36 | 38 | 44 | 46 | -0.198346 | 101.098 |
| 1460 | 37 | 38 | 39 | 40 | -1.084721 | 70.668 |
| 1461 | 37 | 38 | 40 | 41 | -0.355175 | 70.668 |
| 1462 | 37 | 38 | 41 | 42 | -0.343316 | 70.668 |
| 1463 | 37 | 38 | 42 | 43 | -0.463545 | 70.668 |
| 1464 | 37 | 38 | 43 | 44 | -35.48741 | 70.668 |
| 1465 | 37 | 39 | 45 | 47 | -37.01604 | 28.36 |
| 1466 | 37 | 39 | 47 | 46 | 37.00486 | 28.36 |
| 1467 | 37 | 39 | 46 | 48 | -36.90053 | 28.36 |
| 1468 | 38 | 39 | 40 | 41 | -0.464882 | 1104.197 |
| 1469 | 38 | 39 | 41 | 42 | -0.16213 | 1104.197 |
| 1470 | 38 | 39 | 43 | 44 | -0.215999 | 1104.197 |
| 1471 | 38 | 39 | 45 | 46 | -0.059785 | 1104.197 |
| 1472 | 39 | 40 | 41 | 42 | -0.387882 | 1085.538 |
| 1473 | 39 | 40 | 42 | 43 | -0.188585 | 1085.538 |
| 1474 | 40 | 41 | 42 | 43 | -0.1799 | 505.749 |
| 1475 | 40 | 41 | 43 | 44 | -0.434759 | 505.749 |
| 1476 | 40 | 41 | 45 | 46 | -0.041444 | 505.749 |
| 1477 | 40 | 41 | 46 | 47 | -0.122335 | 505.749 |
| 1478 | 40 | 41 | 47 | 48 | -0.028573 | 505.749 |
| 1479 | 41 | 42 | 45 | 46 | -0.060415 | 1224.491 |
| 1480 | 42 | 43 | 45 | 46 | -0.120222 | 1199.927 |
| 1481 | 44 | 45 | 46 | 47 | -34.01828 | 35.895 |
| 1482 | 1 | 2 | 3 | 4 | -0.011959 | 2539.223 |
| 1483 | 1 | 2 | 6 | 7 | -0.002265 | 2539.223 |
| 1484 | 1 | 3 | 9 | 11 | -0.113369 | 246.876 |
| 1485 | 1 | 3 | 10 | 12 | -32.36856 | 246.876 |
| 1486 | 1 | 4 | 21 | 16 | 0.067614 | 1328.514 |
| 1487 | 1 | 4 | 16 | 19 | -0.067441 | 1328.514 |
| 1488 | 1 | 5 | 20 | 24 | -0.00877 | 2538.705 |
| 1489 | 1 | 5 | 28 | 21 | 0.012809 | 2538.705 |
| 1490 | 1 | 5 | 21 | 25 | -0.012857 | 2538.705 |
| 1491 | 1 | 5 | 22 | 26 | -0.007694 | 2538.705 |
| 1492 | 1 | 5 | 26 | 23 | 0.003039 | 2538.705 |
| 1493 | 1 | 5 | 23 | 27 | -0.003016 | 2538.705 |
| 1494 | 1 | 6 | 27 | 32 | 0.018933 | 962.882 |
| 1495 | 1 | 6 | 32 | 28 | -0.016631 | 962.882 |
| 1496 | 1 | 6 | 28 | 33 | 0.022279 | 962.882 |
| 1497 | 1 | 6 | 33 | 29 | -0.019548 | 962.882 |
| 1498 | 1 | 6 | 29 | 34 | 0.027089 | 962.882 |
| 1499 | 1 | 6 | 34 | 30 | -0.022898 | 962.882 |
| 1500 | 1 | 6 | 30 | 35 | 0.033222 | 962.882 |
| 1501 | 1 | 6 | 35 | 31 | -0.028233 | 962.882 |
| 1502 | 1 | 6 | 31 | 36 | 0.039502 | 962.882 |
| 1503 | 1 | 7 | 32 | 38 | 0.11973 | 315.866 |
| 1504 | 1 | 7 | 38 | 44 | -0.299055 | 315.866 |
| 1505 | 1 | 7 | 44 | 33 | 0.188774 | 315.866 |
| 1506 | 1 | 7 | 33 | 39 | 0.152801 | 315.866 |
| 1507 | 1 | 7 | 39 | 34 | -0.139841 | 315.866 |
| 1508 | 1 | 7 | 34 | 40 | 0.176501 | 315.866 |
| 1509 | 1 | 7 | 40 | 35 | -0.158906 | 315.866 |
| 1510 | 1 | 7 | 35 | 41 | 0.153375 | 315.866 |
| 1511 | 1 | 7 | 41 | 36 | -0.134117 | 315.866 |
| 1512 | 1 | 7 | 36 | 42 | 0.052803 | 315.866 |

| Dati Geolettrici_Misura 8 27 Novembre 2025 | | | | | | |
|--|--------|--------|--------|--------|-----------|----------|
| Misura n. | Elec_A | Elec_B | Elec_M | Elec_N | V/I(ohm) | I(mA) |
| 1513 | 1 | 8 | 39 | 46 | -0.732367 | 47.484 |
| 1514 | 1 | 8 | 46 | 40 | 0.750464 | 47.484 |
| 1515 | 1 | 8 | 40 | 47 | -0.781979 | 47.484 |
| 1516 | 1 | 8 | 47 | 41 | 0.705874 | 47.484 |
| 1517 | 1 | 8 | 41 | 48 | -0.69269 | 47.484 |
| 1518 | 2 | 3 | 4 | 5 | -31.58053 | 348.962 |
| 1519 | 2 | 3 | 8 | 9 | -0.038649 | 1310.873 |
| 1520 | 2 | 4 | 10 | 12 | -40.05085 | 36.803 |
| 1521 | 2 | 4 | 15 | 17 | -0.045933 | 1329.269 |
| 1522 | 2 | 5 | 22 | 17 | 0.009968 | 2538.893 |
| 1523 | 2 | 5 | 17 | 20 | -0.0033 | 2538.893 |
| 1524 | 2 | 5 | 23 | 18 | 0.005648 | 2538.893 |
| 1525 | 2 | 6 | 21 | 25 | -0.075126 | 1314.012 |
| 1526 | 2 | 6 | 25 | 29 | 0.008432 | 1314.012 |
| 1527 | 2 | 6 | 22 | 26 | -0.042179 | 1314.012 |
| 1528 | 2 | 6 | 26 | 30 | 0.011032 | 1314.012 |
| 1529 | 2 | 6 | 23 | 27 | -0.017443 | 1314.012 |
| 1530 | 2 | 7 | 28 | 33 | 0.036789 | 513.433 |
| 1531 | 2 | 7 | 33 | 29 | -0.032417 | 513.433 |
| 1532 | 2 | 7 | 29 | 34 | 0.045357 | 513.433 |
| 1533 | 2 | 7 | 34 | 30 | -0.03863 | 513.433 |
| 1534 | 2 | 7 | 30 | 35 | 0.056205 | 513.433 |
| 1535 | 2 | 7 | 35 | 31 | -0.048154 | 513.433 |
| 1536 | 2 | 7 | 31 | 36 | 0.067354 | 513.433 |
| 1537 | 2 | 7 | 36 | 32 | -0.059318 | 513.433 |
| 1538 | 2 | 7 | 32 | 37 | 0.085564 | 513.433 |
| 1539 | 2 | 8 | 33 | 39 | 0.217143 | 217.403 |
| 1540 | 2 | 8 | 39 | 45 | -0.668095 | 217.403 |
| 1541 | 2 | 8 | 45 | 34 | 0.470505 | 217.403 |
| 1542 | 2 | 8 | 34 | 40 | 0.214835 | 217.403 |
| 1543 | 2 | 8 | 40 | 35 | -0.188073 | 217.403 |
| 1544 | 2 | 8 | 35 | 41 | 0.111675 | 217.403 |
| 1545 | 2 | 8 | 41 | 36 | -0.082198 | 217.403 |
| 1546 | 2 | 8 | 37 | 43 | -0.299324 | 217.403 |
| 1547 | 2 | 8 | 38 | 44 | -0.499673 | 55.574 |
| 1548 | 2 | 9 | 40 | 47 | -0.854811 | 47.965 |
| 1549 | 2 | 9 | 47 | 41 | 0.702551 | 47.965 |
| 1550 | 2 | 9 | 41 | 48 | -0.684321 | 47.965 |
| 1551 | 3 | 4 | 6 | 7 | -0.096508 | 1132.116 |
| 1552 | 3 | 4 | 7 | 8 | -0.042661 | 1132.116 |
| 1553 | 3 | 4 | 8 | 9 | -0.037849 | 1132.116 |
| 1554 | 3 | 5 | 11 | 13 | -0.058692 | 395.498 |
| 1555 | 3 | 5 | 13 | 15 | -0.158593 | 395.498 |
| 1556 | 3 | 5 | 17 | 12 | 30.77068 | 395.498 |
| 1557 | 3 | 5 | 12 | 14 | -35.63564 | 33.437 |
| 1558 | 3 | 5 | 14 | 16 | -0.007124 | 1306.25 |
| 1559 | 3 | 6 | 20 | 23 | -0.111072 | 959.286 |
| 1560 | 3 | 6 | 23 | 18 | 0.017049 | 959.286 |
| 1561 | 3 | 6 | 21 | 24 | -0.07114 | 959.286 |
| 1562 | 3 | 6 | 24 | 19 | 0.011727 | 959.286 |
| 1563 | 3 | 7 | 22 | 26 | -0.059376 | 1181.535 |
| 1564 | 3 | 7 | 26 | 30 | 0.019753 | 1181.535 |
| 1565 | 3 | 7 | 27 | 31 | 0.025625 | 1181.535 |
| 1566 | 3 | 7 | 28 | 25 | -0.009856 | 1181.535 |
| 1567 | 3 | 7 | 25 | 29 | 0.014787 | 1181.535 |
| 1568 | 3 | 8 | 29 | 34 | 0.073942 | 255.323 |

| Dati Geolettrici_Misura 8 27 Novembre 2025 | | | | | | |
|--|--------|--------|--------|--------|-----------|----------|
| Misura n. | Elec_A | Elec_B | Elec_M | Elec_N | V/I(ohm) | I(mA) |
| 1569 | 3 | 8 | 34 | 30 | -0.063231 | 255.323 |
| 1570 | 3 | 8 | 30 | 35 | 0.092268 | 255.323 |
| 1571 | 3 | 8 | 35 | 31 | -0.079302 | 255.323 |
| 1572 | 3 | 8 | 31 | 36 | 0.111342 | 255.323 |
| 1573 | 3 | 8 | 36 | 32 | -0.09818 | 255.323 |
| 1574 | 3 | 8 | 32 | 37 | 0.141638 | 255.323 |
| 1575 | 3 | 8 | 37 | 33 | -0.125901 | 255.323 |
| 1576 | 3 | 8 | 33 | 38 | 0.180024 | 255.323 |
| 1577 | 3 | 9 | 34 | 40 | 0.20437 | 940.763 |
| 1578 | 3 | 9 | 40 | 46 | -0.940387 | 940.763 |
| 1579 | 3 | 9 | 46 | 35 | 0.775413 | 940.763 |
| 1580 | 3 | 9 | 35 | 41 | 0.017691 | 940.763 |
| 1581 | 3 | 9 | 36 | 42 | -0.225589 | 940.763 |
| 1582 | 3 | 9 | 42 | 37 | 0.282333 | 940.763 |
| 1583 | 3 | 9 | 37 | 43 | -0.484159 | 940.763 |
| 1584 | 3 | 9 | 43 | 38 | 0.546231 | 940.763 |
| 1585 | 3 | 9 | 38 | 44 | -0.731479 | 940.763 |
| 1586 | 3 | 9 | 39 | 45 | -0.938204 | 36.003 |
| 1587 | 3 | 10 | 41 | 48 | -0.692233 | 36.872 |
| 1588 | 4 | 5 | 6 | 7 | -0.047181 | 932.634 |
| 1589 | 4 | 5 | 7 | 8 | -0.025371 | 932.634 |
| 1590 | 4 | 6 | 14 | 16 | -0.03292 | 1142.969 |
| 1591 | 4 | 6 | 18 | 13 | 0.043575 | 1142.969 |
| 1592 | 4 | 6 | 13 | 15 | -0.099027 | 1142.969 |
| 1593 | 4 | 8 | 27 | 31 | 0.031291 | 1172.606 |
| 1594 | 4 | 8 | 28 | 32 | 0.038418 | 1172.606 |
| 1595 | 4 | 8 | 32 | 25 | -0.049863 | 1172.606 |
| 1596 | 4 | 8 | 25 | 29 | 0.017567 | 1172.606 |
| 1597 | 4 | 8 | 29 | 26 | -0.014482 | 1172.606 |
| 1598 | 4 | 8 | 26 | 30 | 0.023835 | 1172.606 |
| 1599 | 4 | 9 | 30 | 35 | 0.116635 | 167.181 |
| 1600 | 4 | 9 | 35 | 31 | -0.100736 | 167.181 |
| 1601 | 4 | 9 | 31 | 36 | 0.141143 | 167.181 |
| 1602 | 4 | 9 | 36 | 32 | -0.124347 | 167.181 |
| 1603 | 4 | 9 | 32 | 37 | 0.176553 | 167.181 |
| 1604 | 4 | 9 | 37 | 33 | -0.156622 | 167.181 |
| 1605 | 4 | 9 | 33 | 38 | 0.212526 | 167.181 |
| 1606 | 4 | 9 | 38 | 34 | -0.185143 | 167.181 |
| 1607 | 4 | 9 | 34 | 39 | 0.217218 | 167.181 |
| 1608 | 4 | 10 | 35 | 41 | -0.21614 | 82.493 |
| 1609 | 4 | 10 | 41 | 47 | -0.546669 | 82.493 |
| 1610 | 4 | 10 | 47 | 36 | 0.814541 | 82.493 |
| 1611 | 4 | 10 | 36 | 42 | -0.479171 | 82.493 |
| 1612 | 4 | 10 | 42 | 37 | 0.539041 | 82.493 |
| 1613 | 4 | 10 | 37 | 43 | -0.731169 | 82.493 |
| 1614 | 4 | 10 | 43 | 38 | 0.772312 | 82.493 |
| 1615 | 4 | 10 | 38 | 44 | -0.913581 | 82.493 |
| 1616 | 4 | 10 | 44 | 39 | 0.878852 | 82.493 |
| 1617 | 4 | 10 | 39 | 45 | -0.943312 | 82.493 |
| 1618 | 4 | 10 | 40 | 46 | -0.783345 | 36.602 |
| 1619 | 5 | 6 | 7 | 8 | -0.39587 | 259.012 |
| 1620 | 5 | 6 | 8 | 9 | -0.217402 | 259.012 |
| 1621 | 5 | 6 | 9 | 10 | -0.082343 | 259.012 |
| 1622 | 5 | 6 | 10 | 11 | -0.133977 | 259.012 |
| 1623 | 5 | 6 | 11 | 12 | -32.71004 | 259.012 |
| 1624 | 5 | 7 | 15 | 17 | -0.032377 | 1389.386 |

| Dati Geolettrici_Misura 8 27 Novembre 2025 | | | | | | |
|--|--------|--------|--------|--------|-----------|----------|
| Misura n. | Elec_A | Elec_B | Elec_M | Elec_N | V/I(ohm) | I(mA) |
| 1625 | 5 | 7 | 19 | 14 | 0.059385 | 1389.386 |
| 1626 | 5 | 7 | 14 | 16 | -0.03892 | 1389.386 |
| 1627 | 5 | 7 | 16 | 18 | -0.020574 | 1389.386 |
| 1628 | 5 | 8 | 22 | 25 | -0.038675 | 1343.064 |
| 1629 | 5 | 8 | 23 | 26 | -0.031945 | 1343.064 |
| 1630 | 5 | 9 | 28 | 32 | 0.056586 | 653.307 |
| 1631 | 5 | 9 | 32 | 25 | -0.07267 | 653.307 |
| 1632 | 5 | 9 | 25 | 29 | 0.025032 | 653.307 |
| 1633 | 5 | 9 | 29 | 33 | 0.068113 | 653.307 |
| 1634 | 5 | 9 | 33 | 26 | -0.088872 | 653.307 |
| 1635 | 5 | 9 | 26 | 30 | 0.034538 | 653.307 |
| 1636 | 5 | 9 | 30 | 27 | -0.029163 | 653.307 |
| 1637 | 5 | 9 | 27 | 31 | 0.045714 | 653.307 |
| 1638 | 5 | 10 | 31 | 36 | 0.18763 | 1182.865 |
| 1639 | 5 | 10 | 36 | 32 | -0.165344 | 1182.865 |
| 1640 | 5 | 10 | 32 | 37 | 0.226581 | 1182.865 |
| 1641 | 5 | 10 | 37 | 33 | -0.199861 | 1182.865 |
| 1642 | 5 | 10 | 33 | 38 | 0.243066 | 1182.865 |
| 1643 | 5 | 10 | 38 | 34 | -0.206203 | 1182.865 |
| 1644 | 5 | 10 | 34 | 39 | 0.174889 | 1182.865 |
| 1645 | 5 | 10 | 39 | 35 | -0.126257 | 1182.865 |
| 1646 | 5 | 11 | 36 | 42 | -0.622587 | 63.512 |
| 1647 | 5 | 11 | 48 | 37 | 1.051901 | 63.512 |
| 1648 | 5 | 11 | 37 | 43 | -0.834667 | 63.512 |
| 1649 | 5 | 11 | 43 | 38 | 0.830879 | 63.512 |
| 1650 | 5 | 11 | 38 | 44 | -0.943665 | 63.512 |
| 1651 | 5 | 11 | 44 | 39 | 0.831069 | 63.512 |
| 1652 | 5 | 11 | 39 | 45 | -0.914724 | 63.512 |
| 1653 | 5 | 11 | 45 | 40 | 0.73478 | 63.512 |
| 1654 | 5 | 11 | 40 | 46 | -0.766237 | 63.512 |
| 1655 | 5 | 11 | 41 | 47 | -0.58659 | 51.263 |
| 1656 | 6 | 7 | 8 | 9 | -0.240708 | 1133.378 |
| 1657 | 6 | 7 | 9 | 10 | -0.127838 | 1133.378 |
| 1658 | 6 | 7 | 11 | 12 | -0.433075 | 1133.378 |
| 1659 | 6 | 7 | 13 | 14 | -0.020206 | 1133.378 |
| 1660 | 6 | 8 | 14 | 16 | -0.06559 | 1162.013 |
| 1661 | 6 | 8 | 16 | 18 | -0.027884 | 1162.013 |
| 1662 | 6 | 8 | 20 | 15 | 0.141858 | 1162.013 |
| 1663 | 6 | 8 | 15 | 17 | -0.05049 | 1162.013 |
| 1664 | 6 | 10 | 25 | 29 | 0.024071 | 665.564 |
| 1665 | 6 | 10 | 29 | 33 | 0.069625 | 665.564 |
| 1666 | 6 | 10 | 33 | 26 | -0.089082 | 665.564 |
| 1667 | 6 | 10 | 26 | 30 | 0.032778 | 665.564 |
| 1668 | 6 | 10 | 30 | 34 | 0.086157 | 665.564 |
| 1669 | 6 | 10 | 34 | 27 | -0.113722 | 665.564 |
| 1670 | 6 | 10 | 27 | 31 | 0.04408 | 665.564 |
| 1671 | 6 | 10 | 31 | 28 | -0.038474 | 665.564 |
| 1672 | 6 | 10 | 28 | 32 | 0.056709 | 665.564 |
| 1673 | 6 | 11 | 32 | 37 | 0.215546 | 780.824 |
| 1674 | 6 | 11 | 37 | 33 | -0.185083 | 780.824 |
| 1675 | 6 | 11 | 33 | 38 | 0.160423 | 780.824 |
| 1676 | 6 | 11 | 38 | 34 | -0.11834 | 780.824 |
| 1677 | 6 | 11 | 35 | 40 | -0.282598 | 780.824 |
| 1678 | 6 | 11 | 40 | 36 | 0.334407 | 780.824 |
| 1679 | 6 | 11 | 36 | 41 | -0.54536 | 780.824 |
| 1680 | 6 | 12 | 46 | 41 | -0.41689 | 1333.363 |

| Dati Geolettrici_Misura 8 27 Novembre 2025 | | | | | | |
|--|--------|--------|--------|--------|-----------|----------|
| Misura n. | Elec_A | Elec_B | Elec_M | Elec_N | V/I(ohm) | I(mA) |
| 1681 | 6 | 12 | 41 | 47 | 0.463122 | 1333.363 |
| 1682 | 6 | 12 | 42 | 48 | 0.449926 | 59.521 |
| 1683 | 7 | 8 | 9 | 10 | -0.369149 | 1215.479 |
| 1684 | 7 | 8 | 10 | 11 | -0.122695 | 1215.479 |
| 1685 | 7 | 8 | 11 | 12 | -0.343509 | 1215.479 |
| 1686 | 7 | 8 | 13 | 14 | -0.006185 | 1215.479 |
| 1687 | 7 | 9 | 15 | 17 | -0.049623 | 1224.873 |
| 1688 | 7 | 9 | 17 | 19 | -0.019637 | 1224.873 |
| 1689 | 7 | 10 | 25 | 28 | 0.012691 | 1089.307 |
| 1690 | 7 | 11 | 26 | 30 | 0.042809 | 387.236 |
| 1691 | 7 | 11 | 30 | 34 | 0.108841 | 387.236 |
| 1692 | 7 | 11 | 34 | 27 | -0.145173 | 387.236 |
| 1693 | 7 | 11 | 27 | 31 | 0.057743 | 387.236 |
| 1694 | 7 | 11 | 31 | 35 | 0.133729 | 387.236 |
| 1695 | 7 | 11 | 35 | 28 | -0.18395 | 387.236 |
| 1696 | 7 | 11 | 28 | 32 | 0.073692 | 387.236 |
| 1697 | 7 | 11 | 32 | 29 | -0.062389 | 387.236 |
| 1698 | 7 | 11 | 29 | 33 | 0.089309 | 387.236 |
| 1699 | 7 | 12 | 34 | 39 | -0.140549 | 599.764 |
| 1700 | 7 | 12 | 39 | 35 | 0.1229 | 599.764 |
| 1701 | 7 | 12 | 35 | 40 | -0.159788 | 599.764 |
| 1702 | 7 | 12 | 40 | 36 | 0.140447 | 599.764 |
| 1703 | 7 | 12 | 36 | 41 | -0.135055 | 599.764 |
| 1704 | 7 | 12 | 41 | 37 | 0.108695 | 599.764 |
| 1705 | 7 | 12 | 37 | 42 | -0.027436 | 599.764 |
| 1706 | 7 | 13 | 38 | 44 | -0.62266 | 209.177 |
| 1707 | 7 | 13 | 44 | 39 | 0.408 | 209.177 |
| 1708 | 7 | 13 | 39 | 45 | -0.348182 | 209.177 |
| 1709 | 7 | 13 | 45 | 40 | 0.131034 | 209.177 |
| 1710 | 7 | 13 | 46 | 41 | -0.084917 | 209.177 |
| 1711 | 7 | 13 | 41 | 47 | 0.114136 | 209.177 |
| 1712 | 7 | 13 | 47 | 42 | -0.194761 | 209.177 |
| 1713 | 7 | 13 | 42 | 48 | 0.2191 | 209.177 |
| 1714 | 8 | 9 | 10 | 11 | -0.36587 | 1200.816 |
| 1715 | 8 | 9 | 11 | 12 | -0.355121 | 1200.816 |
| 1716 | 8 | 9 | 13 | 14 | -0.028328 | 1200.816 |
| 1717 | 8 | 9 | 14 | 15 | -0.040001 | 1200.816 |
| 1718 | 8 | 9 | 15 | 16 | -0.003357 | 1200.816 |
| 1719 | 8 | 10 | 16 | 18 | -0.084959 | 864.161 |
| 1720 | 8 | 10 | 20 | 22 | -0.030498 | 864.161 |
| 1721 | 8 | 10 | 22 | 17 | 0.042314 | 864.161 |
| 1722 | 8 | 10 | 17 | 19 | -0.069549 | 864.161 |
| 1723 | 8 | 10 | 21 | 23 | -0.03005 | 864.161 |
| 1724 | 8 | 11 | 25 | 28 | 0.01531 | 1213.445 |
| 1725 | 8 | 11 | 26 | 29 | 0.020511 | 1213.445 |
| 1726 | 8 | 13 | 34 | 39 | -0.49559 | 53.696 |
| 1727 | 8 | 13 | 39 | 35 | 0.538761 | 53.696 |
| 1728 | 8 | 13 | 35 | 40 | -0.738031 | 53.696 |
| 1729 | 8 | 13 | 40 | 36 | 0.724882 | 53.696 |
| 1730 | 8 | 13 | 36 | 41 | -0.819941 | 53.696 |
| 1731 | 8 | 13 | 41 | 37 | 0.704554 | 53.696 |
| 1732 | 8 | 13 | 37 | 42 | -0.705243 | 53.696 |
| 1733 | 8 | 13 | 42 | 38 | 0.521326 | 53.696 |
| 1734 | 8 | 13 | 38 | 43 | -0.479107 | 53.696 |
| 1735 | 8 | 14 | 45 | 40 | -0.084016 | 197.12 |
| 1736 | 8 | 14 | 40 | 46 | 0.125097 | 197.12 |

| Dati Geolettrici_Misura 8 27 Novembre 2025 | | | | | | |
|--|--------|--------|--------|--------|-----------|----------|
| Misura n. | Elec_A | Elec_B | Elec_M | Elec_N | V/I(ohm) | I(mA) |
| 1737 | 8 | 14 | 46 | 41 | -0.207856 | 197.12 |
| 1738 | 8 | 14 | 41 | 47 | 0.231281 | 197.12 |
| 1739 | 8 | 14 | 47 | 42 | -0.222268 | 197.12 |
| 1740 | 8 | 14 | 42 | 48 | 0.241395 | 197.12 |
| 1741 | 9 | 10 | 11 | 12 | -0.729941 | 895.999 |
| 1742 | 9 | 10 | 13 | 14 | -0.052763 | 895.999 |
| 1743 | 9 | 10 | 15 | 16 | -0.062415 | 895.999 |
| 1744 | 9 | 10 | 16 | 17 | -0.021678 | 895.999 |
| 1745 | 9 | 11 | 17 | 19 | -0.051168 | 980.502 |
| 1746 | 9 | 11 | 19 | 21 | -0.008948 | 980.502 |
| 1747 | 9 | 11 | 21 | 23 | -0.042199 | 980.502 |
| 1748 | 9 | 11 | 23 | 18 | 0.06908 | 980.502 |
| 1749 | 9 | 11 | 18 | 20 | -0.009524 | 980.502 |
| 1750 | 9 | 11 | 20 | 22 | -0.028422 | 980.502 |
| 1751 | 9 | 11 | 22 | 24 | -0.056296 | 980.502 |
| 1752 | 9 | 13 | 28 | 32 | 0.115855 | 417.515 |
| 1753 | 9 | 13 | 32 | 36 | 0.095294 | 417.515 |
| 1754 | 9 | 13 | 36 | 29 | -0.19453 | 417.515 |
| 1755 | 9 | 13 | 29 | 33 | 0.140488 | 417.515 |
| 1756 | 9 | 13 | 33 | 37 | -0.073926 | 417.515 |
| 1757 | 9 | 13 | 37 | 30 | -0.039564 | 417.515 |
| 1758 | 9 | 13 | 30 | 34 | 0.160299 | 417.515 |
| 1759 | 9 | 13 | 34 | 31 | -0.125705 | 417.515 |
| 1760 | 9 | 13 | 31 | 35 | 0.157527 | 417.515 |
| 1761 | 9 | 14 | 35 | 40 | -0.81714 | 1208.366 |
| 1762 | 9 | 14 | 40 | 36 | 0.716781 | 1208.366 |
| 1763 | 9 | 14 | 36 | 41 | -0.723405 | 1208.366 |
| 1764 | 9 | 14 | 41 | 37 | 0.535075 | 1208.366 |
| 1765 | 9 | 14 | 37 | 42 | -0.489643 | 1208.366 |
| 1766 | 9 | 14 | 42 | 38 | 0.28142 | 1208.366 |
| 1767 | 9 | 14 | 38 | 43 | -0.23255 | 1208.366 |
| 1768 | 9 | 14 | 39 | 44 | 0.010237 | 1208.366 |
| 1769 | 9 | 15 | 40 | 46 | 0.240775 | 87.336 |
| 1770 | 9 | 15 | 46 | 41 | -0.235993 | 87.336 |
| 1771 | 9 | 15 | 41 | 47 | 0.254476 | 87.336 |
| 1772 | 9 | 15 | 47 | 42 | -0.199741 | 87.336 |
| 1773 | 9 | 15 | 42 | 48 | 0.214864 | 87.336 |
| 1774 | 10 | 11 | 13 | 14 | -0.100951 | 1086.072 |
| 1775 | 10 | 11 | 14 | 15 | -0.100161 | 1086.072 |
| 1776 | 10 | 11 | 15 | 16 | -0.022311 | 1086.072 |
| 1777 | 10 | 11 | 16 | 17 | -0.024697 | 1086.072 |
| 1778 | 10 | 13 | 24 | 27 | 0.702614 | 708.948 |
| 1779 | 10 | 13 | 27 | 30 | 0.047945 | 708.948 |
| 1780 | 10 | 13 | 30 | 25 | -0.060903 | 708.948 |
| 1781 | 10 | 13 | 25 | 28 | 0.022915 | 708.948 |
| 1782 | 10 | 13 | 28 | 31 | 0.067619 | 708.948 |
| 1783 | 10 | 13 | 31 | 26 | -0.085235 | 708.948 |
| 1784 | 10 | 13 | 26 | 29 | 0.032253 | 708.948 |
| 1785 | 10 | 14 | 29 | 33 | 0.179998 | 299.748 |
| 1786 | 10 | 14 | 33 | 37 | -0.308366 | 299.748 |
| 1787 | 10 | 14 | 37 | 30 | 0.164288 | 299.748 |
| 1788 | 10 | 14 | 30 | 34 | 0.176472 | 299.748 |
| 1789 | 10 | 14 | 34 | 38 | -0.536392 | 299.748 |
| 1790 | 10 | 14 | 38 | 31 | 0.406352 | 299.748 |
| 1791 | 10 | 14 | 31 | 35 | 0.101623 | 299.748 |
| 1792 | 10 | 14 | 35 | 32 | -0.05265 | 299.748 |

| Dati Geolettrici_Misura 8 27 Novembre 2025 | | | | | | |
|--|--------|--------|--------|--------|-----------|----------|
| Misura n. | Elec_A | Elec_B | Elec_M | Elec_N | V/I(ohm) | I(mA) |
| 1793 | 10 | 15 | 36 | 41 | -0.49997 | 992.732 |
| 1794 | 10 | 15 | 41 | 37 | 0.28481 | 992.732 |
| 1795 | 10 | 15 | 37 | 42 | -0.229186 | 992.732 |
| 1796 | 10 | 15 | 43 | 39 | -0.121732 | 992.732 |
| 1797 | 10 | 15 | 39 | 44 | 0.156801 | 992.732 |
| 1798 | 10 | 15 | 44 | 40 | -0.178337 | 992.732 |
| 1799 | 10 | 15 | 40 | 45 | 0.209078 | 992.732 |
| 1800 | 10 | 16 | 41 | 47 | 0.226714 | 101.953 |
| 1801 | 10 | 16 | 47 | 42 | -0.162939 | 101.953 |
| 1802 | 10 | 16 | 42 | 48 | 0.17505 | 101.953 |
| 1803 | 11 | 13 | 20 | 22 | -0.033261 | 1248.362 |
| 1804 | 11 | 13 | 22 | 24 | -0.028739 | 1248.362 |
| 1805 | 11 | 14 | 25 | 28 | 0.028692 | 564.689 |
| 1806 | 11 | 14 | 28 | 31 | 0.08533 | 564.689 |
| 1807 | 11 | 14 | 31 | 26 | -0.106737 | 564.689 |
| 1808 | 11 | 14 | 26 | 29 | 0.038966 | 564.689 |
| 1809 | 11 | 14 | 29 | 32 | 0.108332 | 564.689 |
| 1810 | 11 | 14 | 32 | 27 | -0.137683 | 564.689 |
| 1811 | 11 | 14 | 27 | 30 | 0.058643 | 564.689 |
| 1812 | 11 | 15 | 30 | 34 | 0.134662 | 227.554 |
| 1813 | 11 | 15 | 34 | 38 | -0.689792 | 227.554 |
| 1814 | 11 | 15 | 38 | 31 | 0.616525 | 227.554 |
| 1815 | 11 | 15 | 35 | 39 | -0.584028 | 227.554 |
| 1816 | 11 | 15 | 39 | 32 | 0.712879 | 227.554 |
| 1817 | 11 | 15 | 32 | 36 | -0.32376 | 227.554 |
| 1818 | 11 | 15 | 36 | 33 | 0.366902 | 227.554 |
| 1819 | 11 | 15 | 33 | 37 | -0.575794 | 227.554 |
| 1820 | 11 | 16 | 42 | 38 | -0.126444 | 1025.561 |
| 1821 | 11 | 16 | 38 | 43 | 0.162393 | 1025.561 |
| 1822 | 11 | 16 | 43 | 39 | -0.184678 | 1025.561 |
| 1823 | 11 | 16 | 39 | 44 | 0.213322 | 1025.561 |
| 1824 | 11 | 16 | 44 | 40 | -0.172959 | 1025.561 |
| 1825 | 11 | 16 | 40 | 45 | 0.198116 | 1025.561 |
| 1826 | 11 | 16 | 45 | 41 | -0.141321 | 1025.561 |
| 1827 | 11 | 16 | 41 | 46 | 0.160147 | 1025.561 |
| 1828 | 11 | 17 | 42 | 48 | 0.140517 | 121.707 |
| 1829 | 12 | 13 | 14 | 15 | -0.541303 | 267.206 |
| 1830 | 12 | 13 | 15 | 16 | -0.296132 | 267.206 |
| 1831 | 12 | 13 | 16 | 17 | -0.147692 | 267.206 |
| 1832 | 12 | 13 | 17 | 18 | -0.08673 | 267.206 |
| 1833 | 12 | 13 | 18 | 19 | -0.060107 | 267.206 |
| 1834 | 12 | 13 | 19 | 20 | -0.068905 | 267.206 |
| 1835 | 12 | 14 | 20 | 22 | -0.095976 | 1349.198 |
| 1836 | 12 | 14 | 25 | 27 | 0.033327 | 1349.198 |
| 1837 | 12 | 15 | 26 | 29 | 0.098746 | 167.33 |
| 1838 | 12 | 15 | 29 | 32 | 0.253477 | 167.33 |
| 1839 | 12 | 15 | 32 | 27 | -0.327518 | 167.33 |
| 1840 | 12 | 15 | 27 | 30 | 0.145703 | 167.33 |
| 1841 | 12 | 15 | 30 | 33 | 0.262112 | 167.33 |
| 1842 | 12 | 15 | 33 | 28 | -0.37784 | 167.33 |
| 1843 | 12 | 15 | 28 | 31 | 0.207107 | 167.33 |
| 1844 | 12 | 16 | 31 | 35 | -0.146862 | 116.665 |
| 1845 | 12 | 16 | 35 | 39 | -0.579407 | 116.665 |
| 1846 | 12 | 16 | 39 | 32 | 0.822557 | 116.665 |
| 1847 | 12 | 16 | 32 | 36 | -0.407785 | 116.665 |
| 1848 | 12 | 16 | 36 | 40 | -0.554626 | 116.665 |

| Dati Geolettrici_Misura 8 27 Novembre 2025 | | | | | | |
|--|--------|--------|--------|--------|-----------|----------|
| Misura n. | Elec_A | Elec_B | Elec_M | Elec_N | V/I(ohm) | I(mA) |
| 1849 | 12 | 16 | 40 | 33 | 1.001879 | 116.665 |
| 1850 | 12 | 16 | 33 | 37 | -0.594806 | 116.665 |
| 1851 | 12 | 16 | 37 | 34 | 0.503101 | 116.665 |
| 1852 | 12 | 16 | 34 | 38 | -0.63509 | 116.665 |
| 1853 | 13 | 14 | 15 | 16 | -0.487704 | 856.247 |
| 1854 | 13 | 14 | 16 | 17 | -0.090997 | 856.247 |
| 1855 | 13 | 14 | 17 | 18 | -0.041493 | 856.247 |
| 1856 | 13 | 14 | 18 | 19 | -0.037421 | 856.247 |
| 1857 | 13 | 14 | 19 | 20 | -0.023785 | 856.247 |
| 1858 | 13 | 14 | 20 | 21 | -0.017475 | 856.247 |
| 1859 | 13 | 15 | 21 | 23 | -0.087446 | 902.23 |
| 1860 | 13 | 15 | 23 | 25 | -0.05909 | 902.23 |
| 1861 | 13 | 15 | 25 | 27 | 0.017552 | 902.23 |
| 1862 | 13 | 15 | 27 | 22 | 0.093879 | 902.23 |
| 1863 | 13 | 15 | 22 | 24 | -0.06452 | 902.23 |
| 1864 | 13 | 15 | 24 | 26 | -0.03929 | 902.23 |
| 1865 | 13 | 15 | 26 | 28 | 0.02211 | 902.23 |
| 1866 | 13 | 16 | 27 | 30 | 0.115083 | 817.619 |
| 1867 | 13 | 16 | 30 | 33 | 0.089379 | 817.619 |
| 1868 | 13 | 16 | 33 | 28 | -0.181215 | 817.619 |
| 1869 | 13 | 16 | 28 | 31 | 0.162695 | 817.619 |
| 1870 | 13 | 16 | 31 | 34 | -0.147853 | 817.619 |
| 1871 | 13 | 16 | 29 | 32 | 0.169495 | 817.619 |
| 1872 | 13 | 17 | 32 | 36 | -0.81232 | 344.365 |
| 1873 | 13 | 17 | 36 | 40 | 0.047741 | 344.365 |
| 1874 | 13 | 17 | 40 | 33 | 0.663437 | 344.365 |
| 1875 | 13 | 17 | 33 | 37 | -0.771911 | 344.365 |
| 1876 | 13 | 17 | 37 | 41 | 0.147855 | 344.365 |
| 1877 | 13 | 17 | 41 | 34 | 0.381033 | 344.365 |
| 1878 | 13 | 17 | 34 | 38 | -0.516972 | 344.365 |
| 1879 | 13 | 17 | 38 | 35 | 0.227497 | 344.365 |
| 1880 | 13 | 17 | 35 | 39 | -0.179967 | 344.365 |
| 1881 | 13 | 18 | 39 | 44 | 0.178906 | 284.465 |
| 1882 | 13 | 18 | 44 | 40 | -0.12346 | 284.465 |
| 1883 | 13 | 18 | 40 | 45 | 0.140443 | 284.465 |
| 1884 | 13 | 18 | 45 | 41 | -0.095996 | 284.465 |
| 1885 | 13 | 18 | 41 | 46 | 0.108805 | 284.465 |
| 1886 | 13 | 18 | 46 | 42 | -0.07281 | 284.465 |
| 1887 | 13 | 18 | 42 | 47 | 0.080181 | 284.465 |
| 1888 | 13 | 18 | 47 | 43 | -0.05634 | 284.465 |
| 1889 | 13 | 18 | 43 | 48 | 0.062499 | 284.465 |
| 1890 | 14 | 15 | 16 | 17 | -0.409763 | 1086.534 |
| 1891 | 14 | 15 | 17 | 18 | -0.141182 | 1086.534 |
| 1892 | 14 | 15 | 18 | 19 | -0.043736 | 1086.534 |
| 1893 | 14 | 16 | 26 | 28 | 0.033411 | 591.116 |
| 1894 | 14 | 16 | 23 | 25 | -0.075699 | 591.116 |
| 1895 | 14 | 16 | 25 | 27 | 0.026712 | 591.116 |
| 1896 | 14 | 16 | 27 | 29 | 0.044943 | 591.116 |
| 1897 | 14 | 17 | 28 | 31 | 0.16926 | 262.282 |
| 1898 | 14 | 17 | 31 | 34 | -0.36686 | 262.282 |
| 1899 | 14 | 17 | 34 | 29 | 0.236961 | 262.282 |
| 1900 | 14 | 17 | 29 | 32 | 0.118053 | 262.282 |
| 1901 | 14 | 17 | 32 | 35 | -0.597595 | 262.282 |
| 1902 | 14 | 17 | 35 | 30 | 0.543803 | 262.282 |
| 1903 | 14 | 17 | 30 | 33 | -0.062371 | 262.282 |
| 1904 | 14 | 18 | 33 | 37 | -0.572309 | 947.215 |

| Dati Geolettrici_Misura 8 27 Novembre 2025 | | | | | | |
|--|--------|--------|--------|--------|-----------|---------|
| Misura n. | Elec_A | Elec_B | Elec_M | Elec_N | V/I(ohm) | I(mA) |
| 1905 | 14 | 18 | 37 | 41 | 0.16146 | 947.215 |
| 1906 | 14 | 18 | 34 | 38 | -0.267445 | 947.215 |
| 1907 | 14 | 18 | 38 | 42 | 0.148174 | 947.215 |
| 1908 | 14 | 18 | 42 | 35 | -0.113362 | 947.215 |
| 1909 | 14 | 18 | 35 | 39 | 0.012725 | 947.215 |
| 1910 | 14 | 18 | 39 | 36 | -0.100222 | 947.215 |
| 1911 | 14 | 18 | 36 | 40 | 0.142279 | 947.215 |
| 1912 | 14 | 19 | 40 | 45 | 0.115931 | 347.143 |
| 1913 | 14 | 19 | 45 | 41 | -0.079359 | 347.143 |
| 1914 | 14 | 19 | 41 | 46 | 0.089861 | 347.143 |
| 1915 | 14 | 19 | 46 | 42 | -0.060205 | 347.143 |
| 1916 | 14 | 19 | 42 | 47 | 0.066705 | 347.143 |
| 1917 | 14 | 19 | 47 | 43 | -0.047136 | 347.143 |
| 1918 | 14 | 19 | 43 | 48 | 0.052284 | 347.143 |
| 1919 | 15 | 16 | 17 | 18 | -0.561854 | 762.844 |
| 1920 | 15 | 16 | 18 | 19 | -0.144996 | 762.844 |
| 1921 | 15 | 16 | 21 | 22 | -0.032759 | 762.844 |
| 1922 | 15 | 17 | 25 | 27 | 0.031752 | 727.016 |
| 1923 | 15 | 17 | 27 | 29 | 0.050026 | 727.016 |
| 1924 | 15 | 17 | 26 | 28 | 0.03881 | 727.016 |
| 1925 | 15 | 17 | 28 | 30 | 0.075414 | 727.016 |
| 1926 | 15 | 18 | 29 | 32 | -0.051634 | 305.969 |
| 1927 | 15 | 18 | 32 | 35 | -0.554888 | 305.969 |
| 1928 | 15 | 18 | 35 | 30 | 0.659514 | 305.969 |
| 1929 | 15 | 18 | 30 | 33 | -0.308635 | 305.969 |
| 1930 | 15 | 18 | 33 | 36 | -0.367748 | 305.969 |
| 1931 | 15 | 18 | 36 | 31 | 0.692735 | 305.969 |
| 1932 | 15 | 18 | 31 | 34 | -0.543626 | 305.969 |
| 1933 | 15 | 19 | 38 | 42 | 0.119763 | 594.171 |
| 1934 | 15 | 19 | 42 | 35 | -0.204028 | 594.171 |
| 1935 | 15 | 19 | 35 | 39 | 0.12425 | 594.171 |
| 1936 | 15 | 19 | 39 | 43 | 0.09328 | 594.171 |
| 1937 | 15 | 19 | 43 | 36 | -0.21886 | 594.171 |
| 1938 | 15 | 19 | 36 | 40 | 0.159199 | 594.171 |
| 1939 | 15 | 19 | 40 | 37 | -0.115968 | 594.171 |
| 1940 | 15 | 19 | 37 | 41 | 0.141476 | 594.171 |
| 1941 | 15 | 20 | 41 | 46 | 0.072865 | 407.451 |
| 1942 | 15 | 20 | 46 | 42 | -0.048984 | 407.451 |
| 1943 | 15 | 20 | 42 | 47 | 0.054874 | 407.451 |
| 1944 | 15 | 20 | 47 | 43 | -0.039035 | 407.451 |
| 1945 | 15 | 20 | 43 | 48 | 0.043534 | 407.451 |
| 1946 | 16 | 17 | 18 | 19 | -0.286524 | 992.959 |
| 1947 | 16 | 17 | 19 | 20 | -0.128524 | 992.959 |
| 1948 | 16 | 17 | 20 | 21 | -0.131867 | 992.959 |
| 1949 | 16 | 17 | 21 | 22 | -0.030978 | 992.959 |
| 1950 | 16 | 17 | 23 | 24 | -0.017911 | 992.959 |
| 1951 | 16 | 18 | 26 | 28 | 0.039798 | 847.775 |
| 1952 | 16 | 18 | 28 | 30 | 0.049211 | 847.775 |
| 1953 | 16 | 18 | 30 | 25 | -0.104623 | 847.775 |
| 1954 | 16 | 18 | 25 | 27 | 0.034794 | 847.775 |
| 1955 | 16 | 18 | 27 | 29 | 0.044167 | 847.775 |
| 1956 | 16 | 18 | 29 | 31 | 0.010866 | 847.775 |
| 1957 | 16 | 19 | 30 | 33 | -0.517345 | 241.103 |
| 1958 | 16 | 19 | 36 | 31 | 0.487865 | 241.103 |
| 1959 | 16 | 19 | 31 | 34 | -0.520463 | 241.103 |
| 1960 | 16 | 19 | 34 | 37 | 0.068753 | 241.103 |

| Dati Geolettrici_Misura 8 27 Novembre 2025 | | | | | | |
|--|--------|--------|--------|--------|-----------|----------|
| Misura n. | Elec_A | Elec_B | Elec_M | Elec_N | V/I(ohm) | I(mA) |
| 1961 | 16 | 19 | 37 | 32 | 0.230704 | 241.103 |
| 1962 | 16 | 19 | 32 | 35 | -0.299496 | 241.103 |
| 1963 | 16 | 20 | 35 | 39 | 0.164094 | 296.888 |
| 1964 | 16 | 20 | 39 | 43 | 0.071576 | 296.888 |
| 1965 | 16 | 20 | 43 | 36 | -0.18604 | 296.888 |
| 1966 | 16 | 20 | 36 | 40 | 0.140053 | 296.888 |
| 1967 | 16 | 20 | 40 | 44 | 0.05473 | 296.888 |
| 1968 | 16 | 20 | 44 | 37 | -0.147339 | 296.888 |
| 1969 | 16 | 20 | 37 | 41 | 0.112044 | 296.888 |
| 1970 | 16 | 20 | 41 | 38 | -0.075984 | 296.888 |
| 1971 | 16 | 20 | 38 | 42 | 0.091786 | 296.888 |
| 1972 | 16 | 21 | 42 | 47 | 0.043417 | 517.218 |
| 1973 | 16 | 21 | 47 | 43 | -0.030876 | 517.218 |
| 1974 | 16 | 21 | 43 | 48 | 0.034401 | 517.218 |
| 1975 | 17 | 18 | 19 | 20 | -0.31092 | 924.782 |
| 1976 | 17 | 18 | 20 | 21 | -0.13213 | 924.782 |
| 1977 | 17 | 18 | 21 | 22 | -0.057448 | 924.782 |
| 1978 | 17 | 18 | 22 | 23 | -0.036444 | 924.782 |
| 1979 | 17 | 18 | 23 | 24 | -0.01819 | 924.782 |
| 1980 | 17 | 18 | 24 | 25 | -0.03976 | 924.782 |
| 1981 | 17 | 19 | 25 | 27 | 0.043772 | 1033.239 |
| 1982 | 17 | 19 | 27 | 29 | 0.032161 | 1033.239 |
| 1983 | 17 | 19 | 29 | 31 | -0.131234 | 1033.239 |
| 1984 | 17 | 19 | 26 | 28 | 0.04453 | 1033.239 |
| 1985 | 17 | 19 | 30 | 32 | -0.292085 | 1033.239 |
| 1986 | 17 | 20 | 31 | 34 | -0.339103 | 566.902 |
| 1987 | 17 | 20 | 34 | 37 | 0.139288 | 566.902 |
| 1988 | 17 | 20 | 37 | 32 | -0.027081 | 566.902 |
| 1989 | 17 | 20 | 32 | 35 | -0.055168 | 566.902 |
| 1990 | 17 | 20 | 35 | 38 | 0.107516 | 566.902 |
| 1991 | 17 | 20 | 38 | 33 | -0.167182 | 566.902 |
| 1992 | 17 | 20 | 33 | 36 | 0.106568 | 566.902 |
| 1993 | 17 | 21 | 36 | 40 | 0.124575 | 420.189 |
| 1994 | 17 | 21 | 40 | 44 | 0.047272 | 420.189 |
| 1995 | 17 | 21 | 44 | 37 | -0.127329 | 420.189 |
| 1996 | 17 | 21 | 37 | 41 | 0.096828 | 420.189 |
| 1997 | 17 | 21 | 41 | 45 | 0.037481 | 420.189 |
| 1998 | 17 | 21 | 45 | 38 | -0.102559 | 420.189 |
| 1999 | 17 | 21 | 38 | 42 | 0.078704 | 420.189 |
| 2000 | 17 | 21 | 42 | 39 | -0.052279 | 420.189 |
| 2001 | 17 | 21 | 39 | 43 | 0.061566 | 420.189 |
| 2002 | 17 | 22 | 43 | 48 | 0.029252 | 547.357 |
| 2003 | 18 | 19 | 20 | 21 | -0.327126 | 873.291 |
| 2004 | 18 | 19 | 21 | 22 | -0.113755 | 873.291 |
| 2005 | 18 | 19 | 22 | 23 | -0.054787 | 873.291 |
| 2006 | 18 | 19 | 23 | 24 | -0.025656 | 873.291 |
| 2007 | 18 | 19 | 24 | 25 | -0.059634 | 873.291 |
| 2008 | 18 | 19 | 25 | 26 | 0.011512 | 873.291 |
| 2009 | 18 | 20 | 26 | 28 | 0.036282 | 560.746 |
| 2010 | 18 | 20 | 28 | 30 | -0.173869 | 560.746 |
| 2011 | 18 | 20 | 30 | 32 | -0.329516 | 560.746 |
| 2012 | 18 | 20 | 32 | 27 | 0.493767 | 560.746 |
| 2013 | 18 | 20 | 29 | 31 | -0.329228 | 560.746 |
| 2014 | 18 | 20 | 31 | 33 | -0.167843 | 560.746 |
| 2015 | 18 | 21 | 32 | 35 | 0.112756 | 221.515 |
| 2016 | 18 | 21 | 35 | 38 | 0.100196 | 221.515 |

| Dati Geolettrici_Misura 8 27 Novembre 2025 | | | | | | |
|--|--------|--------|--------|--------|-----------|---------|
| Misura n. | Elec_A | Elec_B | Elec_M | Elec_N | V/I(ohm) | I(mA) |
| 2017 | 18 | 21 | 38 | 33 | -0.225297 | 221.515 |
| 2018 | 18 | 21 | 33 | 36 | 0.17178 | 221.515 |
| 2019 | 18 | 21 | 36 | 39 | 0.07173 | 221.515 |
| 2020 | 18 | 21 | 39 | 34 | -0.18943 | 221.515 |
| 2021 | 18 | 21 | 34 | 37 | 0.149206 | 221.515 |
| 2022 | 18 | 22 | 37 | 41 | 0.078483 | 654.163 |
| 2023 | 18 | 22 | 41 | 45 | 0.031142 | 654.163 |
| 2024 | 18 | 22 | 45 | 38 | -0.083981 | 654.163 |
| 2025 | 18 | 22 | 38 | 42 | 0.06402 | 654.163 |
| 2026 | 18 | 22 | 42 | 46 | 0.023662 | 654.163 |
| 2027 | 18 | 22 | 46 | 39 | -0.066354 | 654.163 |
| 2028 | 18 | 22 | 39 | 43 | 0.050452 | 654.163 |
| 2029 | 18 | 22 | 43 | 40 | -0.032637 | 654.163 |
| 2030 | 18 | 22 | 40 | 44 | 0.038977 | 654.163 |
| 2031 | 19 | 20 | 21 | 22 | -0.318979 | 999.343 |
| 2032 | 19 | 20 | 22 | 23 | -0.145078 | 999.343 |
| 2033 | 19 | 20 | 23 | 24 | -0.043632 | 999.343 |
| 2034 | 19 | 20 | 24 | 25 | -0.142397 | 999.343 |
| 2035 | 19 | 20 | 25 | 26 | 0.015534 | 999.343 |
| 2036 | 19 | 20 | 26 | 27 | 0.013365 | 999.343 |
| 2037 | 19 | 21 | 27 | 29 | -0.158805 | 849.678 |
| 2038 | 19 | 21 | 29 | 31 | -0.425101 | 849.678 |
| 2039 | 19 | 21 | 33 | 28 | 0.571851 | 849.678 |
| 2040 | 19 | 21 | 28 | 30 | -0.369771 | 849.678 |
| 2041 | 19 | 21 | 30 | 32 | -0.227939 | 849.678 |
| 2042 | 19 | 21 | 32 | 34 | 0.074536 | 849.678 |
| 2043 | 19 | 22 | 33 | 36 | 0.165196 | 358.361 |
| 2044 | 19 | 22 | 36 | 39 | 0.058322 | 358.361 |
| 2045 | 19 | 22 | 39 | 34 | -0.161239 | 358.361 |
| 2046 | 19 | 22 | 34 | 37 | 0.128591 | 358.361 |
| 2047 | 19 | 22 | 37 | 40 | 0.045049 | 358.361 |
| 2048 | 19 | 22 | 40 | 35 | -0.109982 | 358.361 |
| 2049 | 19 | 22 | 35 | 38 | 0.082773 | 358.361 |
| 2050 | 19 | 23 | 38 | 42 | 0.050921 | 985.203 |
| 2051 | 19 | 23 | 42 | 46 | 0.019755 | 985.203 |
| 2052 | 19 | 23 | 46 | 39 | -0.053867 | 985.203 |
| 2053 | 19 | 23 | 39 | 43 | 0.040545 | 985.203 |
| 2054 | 19 | 23 | 43 | 47 | 0.016396 | 985.203 |
| 2055 | 19 | 23 | 47 | 40 | -0.04276 | 985.203 |
| 2056 | 19 | 23 | 40 | 44 | 0.031658 | 985.203 |
| 2057 | 19 | 23 | 44 | 41 | -0.02066 | 985.203 |
| 2058 | 19 | 23 | 41 | 45 | 0.02558 | 985.203 |
| 2059 | 20 | 21 | 22 | 23 | -0.359214 | 966.857 |
| 2060 | 20 | 21 | 24 | 25 | -0.236829 | 966.857 |
| 2061 | 20 | 21 | 25 | 26 | 0.018931 | 966.857 |
| 2062 | 20 | 21 | 26 | 27 | 0.008082 | 966.857 |
| 2063 | 20 | 21 | 27 | 28 | -0.028197 | 966.857 |
| 2064 | 20 | 22 | 28 | 30 | -0.384771 | 413.838 |
| 2065 | 20 | 22 | 32 | 34 | 0.070066 | 413.838 |
| 2066 | 20 | 22 | 34 | 29 | 0.223206 | 413.838 |
| 2067 | 20 | 22 | 29 | 31 | -0.300269 | 413.838 |
| 2068 | 20 | 22 | 31 | 33 | 0.03897 | 413.838 |
| 2069 | 20 | 22 | 33 | 35 | 0.07466 | 413.838 |
| 2070 | 20 | 23 | 34 | 37 | 0.089792 | 605.692 |
| 2071 | 20 | 23 | 37 | 40 | 0.032143 | 605.692 |
| 2072 | 20 | 23 | 40 | 35 | -0.077259 | 605.692 |

| Dati Geolettrici_Misura 8 27 Novembre 2025 | | | | | | |
|--|--------|--------|--------|--------|-----------|----------|
| Misura n. | Elec_A | Elec_B | Elec_M | Elec_N | V/I(ohm) | I(mA) |
| 2073 | 20 | 23 | 35 | 38 | 0.057713 | 605.692 |
| 2074 | 20 | 23 | 38 | 41 | 0.026559 | 605.692 |
| 2075 | 20 | 23 | 41 | 36 | -0.056956 | 605.692 |
| 2076 | 20 | 23 | 36 | 39 | 0.040967 | 605.692 |
| 2077 | 20 | 24 | 39 | 43 | 0.029162 | 1092.097 |
| 2078 | 20 | 24 | 43 | 47 | 0.012418 | 1092.097 |
| 2079 | 20 | 24 | 47 | 40 | -0.031308 | 1092.097 |
| 2080 | 20 | 24 | 40 | 44 | 0.022782 | 1092.097 |
| 2081 | 20 | 24 | 44 | 48 | 0.010185 | 1092.097 |
| 2082 | 20 | 24 | 48 | 41 | -0.025107 | 1092.097 |
| 2083 | 20 | 24 | 41 | 45 | 0.018604 | 1092.097 |
| 2084 | 20 | 24 | 45 | 42 | -0.012269 | 1092.097 |
| 2085 | 20 | 24 | 42 | 46 | 0.014686 | 1092.097 |
| 2086 | 21 | 22 | 23 | 24 | -0.312533 | 931.691 |
| 2087 | 21 | 22 | 24 | 25 | -0.250879 | 931.691 |
| 2088 | 21 | 22 | 25 | 26 | 0.013517 | 931.691 |
| 2089 | 21 | 22 | 26 | 27 | -0.01409 | 931.691 |
| 2090 | 21 | 22 | 27 | 28 | -0.064508 | 931.691 |
| 2091 | 21 | 22 | 28 | 29 | -0.089523 | 931.691 |
| 2092 | 21 | 23 | 31 | 33 | 0.037297 | 1071.971 |
| 2093 | 21 | 23 | 33 | 35 | 0.043202 | 1071.971 |
| 2094 | 21 | 23 | 35 | 30 | -0.05578 | 1071.971 |
| 2095 | 21 | 23 | 32 | 34 | 0.043308 | 1071.971 |
| 2096 | 21 | 23 | 34 | 36 | 0.033765 | 1071.971 |
| 2097 | 21 | 24 | 35 | 38 | 0.03532 | 1028.785 |
| 2098 | 21 | 24 | 38 | 41 | 0.017084 | 1028.785 |
| 2099 | 21 | 24 | 41 | 36 | -0.036124 | 1028.785 |
| 2100 | 21 | 24 | 36 | 39 | 0.025937 | 1028.785 |
| 2101 | 21 | 24 | 39 | 42 | 0.013787 | 1028.785 |
| 2102 | 21 | 24 | 42 | 37 | -0.028702 | 1028.785 |
| 2103 | 21 | 24 | 37 | 40 | 0.020667 | 1028.785 |
| 2104 | 21 | 25 | 40 | 44 | 0.017739 | 1063.364 |
| 2105 | 21 | 25 | 44 | 48 | 0.009824 | 1063.364 |
| 2106 | 21 | 25 | 48 | 41 | -0.019982 | 1063.364 |
| 2107 | 21 | 25 | 41 | 45 | 0.01338 | 1063.364 |
| 2108 | 21 | 25 | 45 | 42 | -0.005395 | 1063.364 |
| 2109 | 21 | 25 | 42 | 46 | 0.007848 | 1063.364 |
| 2110 | 21 | 25 | 46 | 43 | -0.008872 | 1063.364 |
| 2111 | 21 | 25 | 43 | 47 | 0.011125 | 1063.364 |
| 2112 | 22 | 23 | 24 | 25 | -0.555293 | 797.895 |
| 2113 | 22 | 23 | 26 | 27 | -0.058357 | 797.895 |
| 2114 | 22 | 23 | 27 | 28 | -0.092948 | 797.895 |
| 2115 | 22 | 23 | 28 | 29 | -0.059016 | 797.895 |
| 2116 | 22 | 24 | 30 | 32 | 0.017552 | 1038.476 |
| 2117 | 22 | 24 | 32 | 34 | 0.028633 | 1038.476 |
| 2118 | 22 | 24 | 34 | 36 | 0.021797 | 1038.476 |
| 2119 | 22 | 24 | 36 | 31 | -0.065517 | 1038.476 |
| 2120 | 22 | 24 | 31 | 33 | 0.029415 | 1038.476 |
| 2121 | 22 | 24 | 33 | 35 | 0.027705 | 1038.476 |
| 2122 | 22 | 24 | 35 | 37 | 0.014263 | 1038.476 |
| 2123 | 22 | 25 | 36 | 39 | 0.018569 | 1067.057 |
| 2124 | 22 | 25 | 39 | 42 | 0.016784 | 1067.057 |
| 2125 | 22 | 25 | 42 | 37 | -0.028438 | 1067.057 |
| 2126 | 22 | 25 | 37 | 40 | 0.016456 | 1067.057 |
| 2127 | 22 | 25 | 40 | 43 | 0.009634 | 1067.057 |
| 2128 | 22 | 25 | 43 | 38 | -0.020171 | 1067.057 |

| Dati Geolettrici_Misura 8 27 Novembre 2025 | | | | | | |
|--|--------|--------|--------|--------|-----------|----------|
| Misura n. | Elec_A | Elec_B | Elec_M | Elec_N | V/I(ohm) | I(mA) |
| 2129 | 22 | 25 | 38 | 41 | 0.016136 | 1067.057 |
| 2130 | 22 | 26 | 41 | 45 | 0.006743 | 777.497 |
| 2131 | 22 | 26 | 46 | 43 | -0.004321 | 777.497 |
| 2132 | 22 | 26 | 43 | 47 | 0.010619 | 777.497 |
| 2133 | 22 | 26 | 47 | 44 | -0.009764 | 777.497 |
| 2134 | 23 | 24 | 25 | 26 | -0.028797 | 1219.752 |
| 2135 | 23 | 24 | 26 | 27 | -0.074311 | 1219.752 |
| 2136 | 23 | 24 | 27 | 28 | -0.05743 | 1219.752 |
| 2137 | 23 | 24 | 30 | 31 | 0.004003 | 1219.752 |
| 2138 | 23 | 25 | 31 | 33 | 0.004131 | 1254.511 |
| 2139 | 23 | 25 | 33 | 35 | 0.010095 | 1254.511 |
| 2140 | 23 | 25 | 35 | 37 | 0.006528 | 1254.511 |
| 2141 | 23 | 25 | 37 | 32 | -0.020712 | 1254.511 |
| 2142 | 23 | 25 | 32 | 34 | 0.009011 | 1254.511 |
| 2143 | 23 | 25 | 34 | 36 | 0.008022 | 1254.511 |
| 2144 | 23 | 25 | 36 | 38 | 0.007267 | 1254.511 |
| 2145 | 23 | 26 | 37 | 40 | 0.003078 | 852.892 |
| 2146 | 23 | 26 | 40 | 43 | 0.003842 | 852.892 |
| 2147 | 23 | 26 | 43 | 38 | -0.00761 | 852.892 |
| 2148 | 23 | 26 | 38 | 41 | 0.005243 | 852.892 |
| 2149 | 23 | 26 | 41 | 44 | 0.002332 | 852.892 |
| 2150 | 23 | 26 | 44 | 39 | -0.005466 | 852.892 |
| 2151 | 23 | 26 | 39 | 42 | 0.018543 | 852.892 |
| 2152 | 24 | 25 | 26 | 27 | -0.705459 | 1180.638 |
| 2153 | 24 | 25 | 27 | 28 | -0.234954 | 1180.638 |
| 2154 | 24 | 25 | 28 | 29 | -0.092096 | 1180.638 |
| 2155 | 24 | 25 | 29 | 30 | -0.045628 | 1180.638 |
| 2156 | 24 | 25 | 30 | 31 | -0.023009 | 1180.638 |
| 2157 | 24 | 26 | 32 | 34 | -0.013213 | 831.388 |
| 2158 | 24 | 26 | 34 | 36 | -0.016572 | 831.388 |
| 2159 | 24 | 26 | 36 | 38 | -0.004126 | 831.388 |
| 2160 | 24 | 26 | 38 | 33 | 0.026861 | 831.388 |
| 2161 | 24 | 26 | 33 | 35 | -0.009774 | 831.388 |
| 2162 | 24 | 26 | 35 | 37 | -0.013907 | 831.388 |
| 2163 | 24 | 26 | 37 | 39 | -0.002959 | 831.388 |
| 2164 | 24 | 27 | 38 | 41 | -0.002954 | 1030.676 |
| 2165 | 24 | 27 | 41 | 44 | -0.004207 | 1030.676 |
| 2166 | 24 | 27 | 44 | 39 | 0.004969 | 1030.676 |
| 2167 | 24 | 27 | 45 | 40 | 0.003837 | 1030.676 |
| 2168 | 24 | 27 | 40 | 43 | -0.002522 | 1030.676 |
| 2169 | 24 | 28 | 43 | 47 | -0.011163 | 982.858 |
| 2170 | 24 | 28 | 44 | 48 | -0.003932 | 982.858 |
| 2171 | 25 | 26 | 27 | 28 | -0.169642 | 856.519 |
| 2172 | 25 | 26 | 28 | 29 | -0.092364 | 856.519 |
| 2173 | 25 | 26 | 29 | 30 | -0.046157 | 856.519 |
| 2174 | 25 | 26 | 30 | 31 | -0.024922 | 856.519 |
| 2175 | 25 | 26 | 31 | 32 | -0.015356 | 856.519 |
| 2176 | 25 | 26 | 32 | 33 | -0.004618 | 856.519 |
| 2177 | 25 | 27 | 37 | 39 | -0.008922 | 1062.723 |
| 2178 | 25 | 27 | 39 | 34 | 0.043219 | 1062.723 |
| 2179 | 25 | 27 | 34 | 36 | -0.027723 | 1062.723 |
| 2180 | 25 | 27 | 36 | 38 | -0.011511 | 1062.723 |
| 2181 | 25 | 27 | 38 | 40 | -0.007072 | 1062.723 |
| 2182 | 25 | 28 | 42 | 45 | -0.187774 | 1007.607 |
| 2183 | 25 | 28 | 45 | 40 | 0.016179 | 1007.607 |
| 2184 | 25 | 28 | 43 | 46 | -0.011912 | 1007.607 |

| Dati Geolettrici_Misura 8 27 Novembre 2025 | | | | | | |
|--|--------|--------|--------|--------|-----------|----------|
| Misura n. | Elec_A | Elec_B | Elec_M | Elec_N | V/I(ohm) | I(mA) |
| 2185 | 25 | 28 | 46 | 41 | 0.008169 | 1007.607 |
| 2186 | 25 | 28 | 41 | 44 | -0.007957 | 1007.607 |
| 2187 | 25 | 29 | 44 | 48 | -0.009635 | 1006.755 |
| 2188 | 26 | 27 | 28 | 29 | -0.229787 | 790.88 |
| 2189 | 26 | 27 | 29 | 30 | -0.108363 | 790.88 |
| 2190 | 26 | 27 | 30 | 31 | -0.048104 | 790.88 |
| 2191 | 26 | 27 | 31 | 32 | -0.025449 | 790.88 |
| 2192 | 26 | 27 | 32 | 33 | -0.018897 | 790.88 |
| 2193 | 26 | 27 | 33 | 34 | -0.013102 | 790.88 |
| 2194 | 26 | 28 | 34 | 36 | -0.055487 | 768.382 |
| 2195 | 26 | 28 | 36 | 38 | -0.022373 | 768.382 |
| 2196 | 26 | 28 | 38 | 40 | -0.00988 | 768.382 |
| 2197 | 26 | 28 | 40 | 35 | 0.073817 | 768.382 |
| 2198 | 26 | 28 | 35 | 37 | -0.0499 | 768.382 |
| 2199 | 26 | 28 | 37 | 39 | -0.018753 | 768.382 |
| 2200 | 26 | 28 | 39 | 41 | -0.008398 | 768.382 |
| 2201 | 26 | 29 | 40 | 43 | -0.01519 | 768.501 |
| 2202 | 26 | 29 | 43 | 46 | -0.007985 | 768.501 |
| 2203 | 26 | 29 | 46 | 41 | 0.016027 | 768.501 |
| 2204 | 26 | 29 | 41 | 44 | -0.011182 | 768.501 |
| 2205 | 26 | 29 | 44 | 47 | -0.009415 | 768.501 |
| 2206 | 26 | 29 | 47 | 42 | 0.014275 | 768.501 |
| 2207 | 26 | 29 | 42 | 45 | -0.007834 | 768.501 |
| 2208 | 27 | 28 | 29 | 30 | -0.29823 | 906.16 |
| 2209 | 27 | 28 | 30 | 31 | -0.112283 | 906.16 |
| 2210 | 27 | 28 | 31 | 32 | -0.054496 | 906.16 |
| 2211 | 27 | 28 | 32 | 33 | -0.008834 | 906.16 |
| 2212 | 27 | 28 | 33 | 34 | -0.011738 | 906.16 |
| 2213 | 27 | 29 | 35 | 37 | -0.022726 | 903.97 |
| 2214 | 27 | 29 | 37 | 39 | -0.018099 | 903.97 |
| 2215 | 27 | 29 | 36 | 38 | -0.024719 | 903.97 |
| 2216 | 27 | 29 | 38 | 40 | -0.014115 | 903.97 |
| 2217 | 27 | 30 | 44 | 47 | -0.008857 | 705.792 |
| 2218 | 27 | 30 | 47 | 42 | 0.026567 | 705.792 |
| 2219 | 27 | 30 | 42 | 45 | -0.021526 | 705.792 |
| 2220 | 27 | 30 | 45 | 48 | -0.005835 | 705.792 |
| 2221 | 27 | 30 | 48 | 43 | 0.014312 | 705.792 |
| 2222 | 27 | 30 | 43 | 46 | -0.007953 | 705.792 |
| 2223 | 28 | 29 | 30 | 31 | -0.305812 | 860.655 |
| 2224 | 28 | 29 | 31 | 32 | -0.103694 | 860.655 |
| 2225 | 28 | 29 | 32 | 33 | -0.066084 | 860.655 |
| 2226 | 28 | 29 | 33 | 34 | -0.041296 | 860.655 |
| 2227 | 28 | 29 | 34 | 35 | -0.04801 | 860.655 |
| 2228 | 28 | 30 | 36 | 38 | -0.036285 | 679.958 |
| 2229 | 28 | 30 | 38 | 40 | -0.021058 | 679.958 |
| 2230 | 28 | 30 | 40 | 42 | -0.164515 | 679.958 |
| 2231 | 28 | 30 | 42 | 37 | 0.196131 | 679.958 |
| 2232 | 28 | 30 | 37 | 39 | -0.022638 | 679.958 |
| 2233 | 28 | 30 | 39 | 41 | -0.015934 | 679.958 |
| 2234 | 28 | 30 | 41 | 43 | -0.018607 | 679.958 |
| 2235 | 28 | 31 | 45 | 48 | -0.007499 | 852.183 |
| 2236 | 28 | 31 | 48 | 43 | 0.008789 | 852.183 |
| 2237 | 28 | 31 | 43 | 46 | -0.004588 | 852.183 |
| 2238 | 28 | 31 | 46 | 44 | 0.007513 | 852.183 |
| 2239 | 28 | 31 | 44 | 47 | -0.013761 | 852.183 |
| 2240 | 29 | 30 | 31 | 32 | -0.339722 | 676.357 |

| Dati Geolettrici_Misura 8 27 Novembre 2025 | | | | | | |
|--|--------|--------|--------|--------|-----------|----------|
| Misura n. | Elec_A | Elec_B | Elec_M | Elec_N | V/I(ohm) | I(mA) |
| 2241 | 29 | 30 | 32 | 33 | -0.114635 | 676.357 |
| 2242 | 29 | 30 | 33 | 34 | -0.065085 | 676.357 |
| 2243 | 29 | 30 | 34 | 35 | -0.039556 | 676.357 |
| 2244 | 29 | 30 | 35 | 36 | -0.036847 | 676.357 |
| 2245 | 29 | 30 | 36 | 37 | -0.012456 | 676.357 |
| 2246 | 29 | 31 | 37 | 39 | -0.039632 | 847.824 |
| 2247 | 29 | 31 | 39 | 41 | -0.02155 | 847.824 |
| 2248 | 29 | 31 | 41 | 43 | -0.014102 | 847.824 |
| 2249 | 29 | 31 | 43 | 38 | 0.052197 | 847.824 |
| 2250 | 29 | 31 | 38 | 40 | -0.029366 | 847.824 |
| 2251 | 29 | 32 | 44 | 47 | -0.013507 | 936.372 |
| 2252 | 29 | 32 | 47 | 45 | 0.008878 | 936.372 |
| 2253 | 29 | 32 | 45 | 48 | -0.004949 | 936.372 |
| 2254 | 30 | 31 | 32 | 33 | -0.301878 | 664.536 |
| 2255 | 30 | 31 | 33 | 34 | -0.127201 | 664.536 |
| 2256 | 30 | 31 | 34 | 35 | -0.046803 | 664.536 |
| 2257 | 30 | 31 | 35 | 36 | -0.063705 | 664.536 |
| 2258 | 30 | 31 | 36 | 37 | -0.021775 | 664.536 |
| 2259 | 30 | 31 | 37 | 38 | -0.011399 | 664.536 |
| 2260 | 30 | 32 | 38 | 40 | -0.037287 | 710.088 |
| 2261 | 30 | 32 | 40 | 42 | -0.014968 | 710.088 |
| 2262 | 30 | 32 | 42 | 44 | -0.016091 | 710.088 |
| 2263 | 30 | 32 | 44 | 39 | 0.046976 | 710.088 |
| 2264 | 30 | 32 | 39 | 41 | -0.024155 | 710.088 |
| 2265 | 30 | 32 | 41 | 43 | -0.01876 | 710.088 |
| 2266 | 30 | 32 | 43 | 45 | -0.006904 | 710.088 |
| 2267 | 30 | 33 | 44 | 47 | -0.013295 | 740.882 |
| 2268 | 30 | 33 | 47 | 45 | 0.006308 | 740.882 |
| 2269 | 30 | 33 | 45 | 48 | -0.007518 | 740.882 |
| 2270 | 31 | 32 | 33 | 34 | -0.287591 | 901.612 |
| 2271 | 31 | 32 | 34 | 35 | -0.11775 | 901.612 |
| 2272 | 31 | 32 | 35 | 36 | -0.076082 | 901.612 |
| 2273 | 31 | 32 | 36 | 37 | -0.030722 | 901.612 |
| 2274 | 31 | 32 | 37 | 38 | -0.01642 | 901.612 |
| 2275 | 31 | 32 | 38 | 39 | -0.012022 | 901.612 |
| 2276 | 31 | 33 | 39 | 41 | -0.033436 | 966.098 |
| 2277 | 31 | 33 | 41 | 43 | -0.016444 | 966.098 |
| 2278 | 31 | 33 | 43 | 45 | -0.010493 | 966.098 |
| 2279 | 31 | 33 | 45 | 40 | 0.040734 | 966.098 |
| 2280 | 31 | 33 | 40 | 42 | -0.057936 | 966.098 |
| 2281 | 31 | 33 | 44 | 46 | -0.007753 | 966.098 |
| 2282 | 32 | 33 | 34 | 35 | -0.327898 | 1070.869 |
| 2283 | 32 | 33 | 35 | 36 | -0.061828 | 1070.869 |
| 2284 | 32 | 33 | 36 | 37 | -0.042584 | 1070.869 |
| 2285 | 32 | 33 | 37 | 38 | -0.024865 | 1070.869 |
| 2286 | 32 | 33 | 38 | 39 | -0.016044 | 1070.869 |
| 2287 | 32 | 33 | 39 | 40 | -0.010871 | 1070.869 |
| 2288 | 32 | 34 | 40 | 42 | -0.048696 | 997.384 |
| 2289 | 32 | 34 | 44 | 46 | -0.141277 | 997.384 |
| 2290 | 32 | 34 | 46 | 41 | 0.169979 | 997.384 |
| 2291 | 32 | 34 | 41 | 43 | -0.006201 | 997.384 |
| 2292 | 32 | 34 | 43 | 45 | -0.029808 | 997.384 |
| 2293 | 33 | 34 | 35 | 36 | -0.329888 | 1064.866 |
| 2294 | 33 | 34 | 36 | 37 | -0.089926 | 1064.866 |
| 2295 | 33 | 34 | 37 | 38 | -0.040992 | 1064.866 |
| 2296 | 33 | 34 | 38 | 39 | -0.050048 | 1064.866 |

| Dati Geolettrici_Misura 8 27 Novembre 2025 | | | | | | |
|--|--------|--------|--------|--------|-----------|----------|
| Misura n. | Elec_A | Elec_B | Elec_M | Elec_N | V/I(ohm) | I(mA) |
| 2297 | 33 | 34 | 39 | 40 | -0.02819 | 1064.866 |
| 2298 | 33 | 34 | 40 | 41 | -0.009292 | 1064.866 |
| 2299 | 33 | 35 | 41 | 43 | -0.059642 | 1110.034 |
| 2300 | 33 | 35 | 43 | 45 | -0.018112 | 1110.034 |
| 2301 | 33 | 35 | 45 | 47 | -0.008814 | 1110.034 |
| 2302 | 33 | 35 | 47 | 42 | 0.086717 | 1110.034 |
| 2303 | 33 | 35 | 42 | 44 | -0.070751 | 1110.034 |
| 2304 | 33 | 35 | 46 | 48 | -0.088816 | 1110.034 |
| 2305 | 34 | 35 | 36 | 37 | -0.26577 | 1023.682 |
| 2306 | 34 | 35 | 37 | 38 | -0.128054 | 1023.682 |
| 2307 | 34 | 35 | 39 | 40 | -0.022011 | 1023.682 |
| 2308 | 34 | 36 | 42 | 44 | -0.022147 | 1048.535 |
| 2309 | 34 | 36 | 44 | 46 | -0.030931 | 1048.535 |
| 2310 | 34 | 36 | 46 | 48 | -0.017992 | 1048.535 |
| 2311 | 34 | 36 | 48 | 43 | 0.045406 | 1048.535 |
| 2312 | 34 | 36 | 43 | 45 | -0.006794 | 1048.535 |
| 2313 | 34 | 36 | 45 | 47 | -0.024305 | 1048.535 |
| 2314 | 35 | 36 | 37 | 38 | -0.202208 | 361.022 |
| 2315 | 35 | 36 | 38 | 39 | -0.084133 | 361.022 |
| 2316 | 35 | 36 | 39 | 40 | -0.043794 | 361.022 |
| 2317 | 35 | 36 | 40 | 41 | -0.042081 | 361.022 |
| 2318 | 35 | 36 | 41 | 42 | -0.08389 | 361.022 |
| 2319 | 35 | 37 | 43 | 45 | -0.030453 | 1123.792 |
| 2320 | 36 | 37 | 38 | 39 | -0.242866 | 1145.706 |
| 2321 | 36 | 37 | 39 | 40 | -0.092491 | 1145.706 |
| 2322 | 36 | 37 | 40 | 41 | -0.061967 | 1145.706 |
| 2323 | 36 | 37 | 41 | 42 | -0.006365 | 1145.706 |
| 2324 | 36 | 37 | 42 | 43 | -0.016096 | 1145.706 |
| 2325 | 36 | 37 | 43 | 44 | -0.010036 | 1145.706 |
| 2326 | 36 | 38 | 44 | 46 | -0.017204 | 1147.269 |
| 2327 | 36 | 38 | 46 | 48 | -0.020452 | 1147.269 |
| 2328 | 36 | 38 | 48 | 45 | 0.017985 | 1147.269 |
| 2329 | 36 | 38 | 45 | 47 | -0.015006 | 1147.269 |
| 2330 | 37 | 38 | 39 | 40 | -0.252906 | 1197.904 |
| 2331 | 37 | 38 | 40 | 41 | -0.083795 | 1197.904 |
| 2332 | 37 | 38 | 41 | 42 | -0.049532 | 1197.904 |
| 2333 | 37 | 38 | 42 | 43 | -0.014626 | 1197.904 |
| 2334 | 37 | 38 | 43 | 44 | -0.02154 | 1197.904 |
| 2335 | 37 | 38 | 44 | 45 | -0.011352 | 1197.904 |
| 2336 | 37 | 39 | 45 | 47 | -0.052206 | 661.134 |
| 2337 | 37 | 39 | 47 | 46 | 0.039258 | 661.134 |
| 2338 | 37 | 39 | 46 | 48 | -0.105941 | 661.134 |
| 2339 | 38 | 39 | 40 | 41 | -0.248577 | 947.09 |
| 2340 | 38 | 39 | 41 | 42 | -0.095053 | 947.09 |
| 2341 | 38 | 39 | 43 | 44 | -0.071698 | 947.09 |
| 2342 | 38 | 39 | 44 | 45 | -0.016102 | 947.09 |
| 2343 | 38 | 40 | 46 | 48 | -0.024296 | 552.763 |
| 2344 | 39 | 40 | 41 | 42 | -0.256807 | 758.927 |
| 2345 | 39 | 40 | 42 | 43 | -0.1547 | 758.927 |
| 2346 | 39 | 40 | 44 | 45 | -0.029557 | 758.927 |
| 2347 | 39 | 40 | 45 | 46 | -0.040035 | 758.927 |
| 2348 | 40 | 41 | 42 | 43 | -0.251486 | 882.458 |
| 2349 | 40 | 41 | 43 | 44 | -0.084947 | 882.458 |
| 2350 | 40 | 41 | 44 | 45 | -0.042303 | 882.458 |
| 2351 | 40 | 41 | 46 | 47 | -0.081772 | 882.458 |
| 2352 | 41 | 42 | 43 | 44 | -0.209945 | 1161.793 |

| Dati Geolettrici_Misura 8 27 Novembre 2025 | | | | | | |
|--|--------|--------|--------|--------|-----------|----------|
| Misura n. | Elec_A | Elec_B | Elec_M | Elec_N | V/I(ohm) | I(mA) |
| 2353 | 41 | 42 | 44 | 45 | -0.104957 | 1161.793 |
| 2354 | 41 | 42 | 45 | 46 | -0.084487 | 1161.793 |
| 2355 | 41 | 42 | 47 | 48 | -0.034072 | 1161.793 |
| 2356 | 42 | 43 | 44 | 45 | -0.219202 | 1132.557 |
| 2357 | 42 | 43 | 45 | 46 | -0.086748 | 1132.557 |
| 2358 | 42 | 43 | 46 | 47 | -0.020486 | 1132.557 |
| 2359 | 42 | 43 | 47 | 48 | -0.021965 | 1132.557 |
| 2360 | 43 | 44 | 45 | 46 | -0.224021 | 545.625 |
| 2361 | 43 | 44 | 46 | 47 | -0.057242 | 545.625 |
| 2362 | 43 | 44 | 47 | 48 | -0.025694 | 545.625 |
| 2363 | 44 | 45 | 46 | 47 | -0.228399 | 245.443 |
| 2364 | 44 | 45 | 47 | 48 | -0.065854 | 245.443 |
| 2365 | 45 | 46 | 47 | 48 | -0.13884 | 111.43 |
| 2366 | 1 | 2 | 3 | 4 | -0.123673 | 666.273 |
| 2367 | 1 | 2 | 4 | 5 | -0.059548 | 666.273 |
| 2368 | 1 | 2 | 5 | 6 | -0.019577 | 666.273 |
| 2369 | 1 | 2 | 6 | 7 | -0.031285 | 666.273 |
| 2370 | 1 | 3 | 9 | 11 | -0.021316 | 719.532 |
| 2371 | 1 | 3 | 11 | 13 | -0.026368 | 719.532 |
| 2372 | 1 | 3 | 13 | 15 | -0.062457 | 719.532 |
| 2373 | 1 | 3 | 15 | 10 | 0.099246 | 719.532 |
| 2374 | 1 | 3 | 10 | 12 | -0.064612 | 719.532 |
| 2375 | 1 | 4 | 18 | 21 | -0.00643 | 830.458 |
| 2376 | 1 | 4 | 21 | 16 | 0.013222 | 830.458 |
| 2377 | 1 | 4 | 16 | 19 | -0.009044 | 830.458 |
| 2378 | 1 | 4 | 19 | 22 | -0.005753 | 830.458 |
| 2379 | 1 | 5 | 20 | 24 | -0.009658 | 881.285 |
| 2380 | 1 | 5 | 24 | 28 | 0.006633 | 881.285 |
| 2381 | 1 | 5 | 28 | 21 | -0.000181 | 881.285 |
| 2382 | 1 | 5 | 21 | 25 | -0.006733 | 881.285 |
| 2383 | 1 | 5 | 25 | 29 | 0.010813 | 881.285 |
| 2384 | 1 | 5 | 29 | 22 | -0.006732 | 881.285 |
| 2385 | 1 | 5 | 22 | 26 | -0.00219 | 881.285 |
| 2386 | 1 | 5 | 26 | 23 | -0.001225 | 881.285 |
| 2387 | 1 | 5 | 23 | 27 | 0.003603 | 881.285 |
| 2388 | 1 | 6 | 27 | 32 | 0.028834 | 633.576 |
| 2389 | 1 | 6 | 32 | 28 | -0.02503 | 633.576 |
| 2390 | 1 | 6 | 28 | 33 | 0.033025 | 633.576 |
| 2391 | 1 | 6 | 33 | 29 | -0.027639 | 633.576 |
| 2392 | 1 | 6 | 29 | 34 | 0.036458 | 633.576 |
| 2393 | 1 | 6 | 34 | 30 | -0.031475 | 633.576 |
| 2394 | 1 | 6 | 30 | 35 | 0.042544 | 633.576 |
| 2395 | 1 | 6 | 35 | 31 | -0.036364 | 633.576 |
| 2396 | 1 | 6 | 31 | 36 | 0.049825 | 633.576 |
| 2397 | 1 | 7 | 32 | 38 | 0.167545 | 112.681 |
| 2398 | 1 | 7 | 38 | 44 | -0.344678 | 112.681 |
| 2399 | 1 | 7 | 33 | 39 | 0.211878 | 112.681 |
| 2400 | 1 | 7 | 39 | 34 | -0.19943 | 112.681 |
| 2401 | 1 | 7 | 34 | 40 | 0.23565 | 112.681 |
| 2402 | 1 | 7 | 40 | 35 | -0.220207 | 112.681 |
| 2403 | 1 | 7 | 35 | 41 | 0.226856 | 112.681 |
| 2404 | 1 | 7 | 41 | 36 | -0.207614 | 112.681 |
| 2405 | 1 | 7 | 36 | 42 | 0.144376 | 112.681 |
| 2406 | 1 | 8 | 39 | 46 | -0.997966 | 29.383 |
| 2407 | 1 | 8 | 46 | 40 | 0.991923 | 29.383 |
| 2408 | 1 | 8 | 40 | 47 | -1.148494 | 29.383 |

| Dati Geolettrici_Misura 8 27 Novembre 2025 | | | | | | |
|--|--------|--------|--------|--------|-----------|----------|
| Misura n. | Elec_A | Elec_B | Elec_M | Elec_N | V/I(ohm) | I(mA) |
| 2409 | 1 | 8 | 47 | 41 | 1.078462 | 29.383 |
| 2410 | 1 | 8 | 41 | 48 | -1.098844 | 29.383 |
| 2411 | 2 | 3 | 4 | 5 | -0.211952 | 1123.069 |
| 2412 | 2 | 3 | 5 | 6 | -0.064342 | 1123.069 |
| 2413 | 2 | 3 | 6 | 7 | -0.021008 | 1123.069 |
| 2414 | 2 | 3 | 8 | 9 | -0.06509 | 1123.069 |
| 2415 | 2 | 3 | 9 | 10 | -0.011623 | 1123.069 |
| 2416 | 2 | 4 | 14 | 16 | -0.002186 | 935.436 |
| 2417 | 2 | 4 | 16 | 11 | 0.036243 | 935.436 |
| 2418 | 2 | 5 | 16 | 19 | -0.015084 | 1002.907 |
| 2419 | 2 | 5 | 19 | 22 | -0.008972 | 1002.907 |
| 2420 | 2 | 5 | 22 | 17 | 0.018091 | 1002.907 |
| 2421 | 2 | 5 | 17 | 20 | -0.0133 | 1002.907 |
| 2422 | 2 | 5 | 20 | 23 | -0.008616 | 1002.907 |
| 2423 | 2 | 5 | 23 | 18 | 0.018014 | 1002.907 |
| 2424 | 2 | 5 | 18 | 21 | -0.015874 | 1002.907 |
| 2425 | 2 | 6 | 21 | 25 | -0.013394 | 1138.021 |
| 2426 | 2 | 6 | 25 | 29 | 0.013557 | 1138.021 |
| 2427 | 2 | 6 | 29 | 22 | -0.008513 | 1138.021 |
| 2428 | 2 | 6 | 22 | 26 | -0.002695 | 1138.021 |
| 2429 | 2 | 6 | 26 | 30 | 0.015702 | 1138.021 |
| 2430 | 2 | 6 | 30 | 23 | -0.017277 | 1138.021 |
| 2431 | 2 | 6 | 23 | 27 | 0.004502 | 1138.021 |
| 2432 | 2 | 6 | 27 | 24 | -0.004895 | 1138.021 |
| 2433 | 2 | 6 | 24 | 28 | 0.008319 | 1138.021 |
| 2434 | 2 | 7 | 28 | 33 | 0.041233 | 468.51 |
| 2435 | 2 | 7 | 33 | 29 | -0.034581 | 468.51 |
| 2436 | 2 | 7 | 29 | 34 | 0.045937 | 468.51 |
| 2437 | 2 | 7 | 34 | 30 | -0.039638 | 468.51 |
| 2438 | 2 | 7 | 30 | 35 | 0.05386 | 468.51 |
| 2439 | 2 | 7 | 35 | 31 | -0.046273 | 468.51 |
| 2440 | 2 | 7 | 31 | 36 | 0.064141 | 468.51 |
| 2441 | 2 | 7 | 36 | 32 | -0.053393 | 468.51 |
| 2442 | 2 | 7 | 32 | 37 | 0.103914 | 468.51 |
| 2443 | 2 | 8 | 33 | 39 | 0.258533 | 537.227 |
| 2444 | 2 | 8 | 39 | 45 | -0.835232 | 537.227 |
| 2445 | 2 | 8 | 45 | 34 | 0.592854 | 537.227 |
| 2446 | 2 | 8 | 34 | 40 | 0.231631 | 537.227 |
| 2447 | 2 | 8 | 40 | 35 | -0.211014 | 537.227 |
| 2448 | 2 | 8 | 35 | 41 | 0.135453 | 537.227 |
| 2449 | 2 | 8 | 41 | 36 | -0.109345 | 537.227 |
| 2450 | 2 | 8 | 37 | 43 | -0.293727 | 537.227 |
| 2451 | 2 | 8 | 38 | 44 | -0.590561 | 45.74 |
| 2452 | 2 | 9 | 40 | 47 | -1.088377 | 28.073 |
| 2453 | 2 | 9 | 47 | 41 | 0.944168 | 28.073 |
| 2454 | 2 | 9 | 41 | 48 | -0.914327 | 28.073 |
| 2455 | 3 | 4 | 5 | 6 | -0.219812 | 896.556 |
| 2456 | 3 | 4 | 6 | 7 | -0.081357 | 896.556 |
| 2457 | 3 | 4 | 7 | 8 | -0.075298 | 896.556 |
| 2458 | 3 | 4 | 9 | 10 | -0.030226 | 896.556 |
| 2459 | 3 | 4 | 10 | 11 | -0.012339 | 896.556 |
| 2460 | 3 | 5 | 11 | 13 | -0.021391 | 955.087 |
| 2461 | 3 | 5 | 13 | 15 | -0.030866 | 955.087 |
| 2462 | 3 | 5 | 17 | 12 | 0.102186 | 955.087 |
| 2463 | 3 | 5 | 16 | 18 | -0.008765 | 955.087 |
| 2464 | 3 | 6 | 20 | 23 | -0.008373 | 1075.983 |

| Dati Geolettrici_Misura 8 27 Novembre 2025 | | | | | | |
|--|--------|--------|--------|--------|-----------|----------|
| Misura n. | Elec_A | Elec_B | Elec_M | Elec_N | V/I(ohm) | I(mA) |
| 2465 | 3 | 6 | 23 | 18 | 0.016604 | 1075.983 |
| 2466 | 3 | 6 | 18 | 21 | -0.002682 | 1075.983 |
| 2467 | 3 | 6 | 21 | 24 | -0.016089 | 1075.983 |
| 2468 | 3 | 6 | 24 | 19 | 0.014136 | 1075.983 |
| 2469 | 3 | 6 | 19 | 22 | -0.010089 | 1075.983 |
| 2470 | 3 | 7 | 22 | 26 | -0.006683 | 1099.686 |
| 2471 | 3 | 7 | 26 | 30 | 0.019092 | 1099.686 |
| 2472 | 3 | 7 | 30 | 23 | -0.012971 | 1099.686 |
| 2473 | 3 | 7 | 27 | 31 | 0.022028 | 1099.686 |
| 2474 | 3 | 7 | 31 | 24 | -0.02377 | 1099.686 |
| 2475 | 3 | 7 | 24 | 28 | 0.005892 | 1099.686 |
| 2476 | 3 | 7 | 28 | 25 | -0.010624 | 1099.686 |
| 2477 | 3 | 7 | 25 | 29 | 0.016436 | 1099.686 |
| 2478 | 3 | 8 | 29 | 34 | 0.059457 | 317.633 |
| 2479 | 3 | 8 | 34 | 30 | -0.051368 | 317.633 |
| 2480 | 3 | 8 | 30 | 35 | 0.070452 | 317.633 |
| 2481 | 3 | 8 | 35 | 31 | -0.060881 | 317.633 |
| 2482 | 3 | 8 | 31 | 36 | 0.085263 | 317.633 |
| 2483 | 3 | 8 | 36 | 32 | -0.071698 | 317.633 |
| 2484 | 3 | 8 | 32 | 37 | 0.139008 | 317.633 |
| 2485 | 3 | 8 | 37 | 33 | -0.125946 | 317.633 |
| 2486 | 3 | 8 | 33 | 38 | 0.192769 | 317.633 |
| 2487 | 3 | 9 | 34 | 40 | 0.138655 | 392.702 |
| 2488 | 3 | 9 | 40 | 46 | -0.944558 | 392.702 |
| 2489 | 3 | 9 | 46 | 35 | 0.833062 | 392.702 |
| 2490 | 3 | 9 | 36 | 42 | -0.253908 | 392.702 |
| 2491 | 3 | 9 | 42 | 37 | 0.344881 | 392.702 |
| 2492 | 3 | 9 | 37 | 43 | -0.541492 | 392.702 |
| 2493 | 3 | 9 | 43 | 38 | 0.618474 | 392.702 |
| 2494 | 3 | 9 | 38 | 44 | -0.829818 | 392.702 |
| 2495 | 3 | 9 | 39 | 45 | -0.992146 | 25.902 |
| 2496 | 3 | 10 | 41 | 48 | -0.668279 | 34.407 |
| 2497 | 4 | 5 | 6 | 7 | -0.219834 | 833.539 |
| 2498 | 4 | 5 | 7 | 8 | -0.098911 | 833.539 |
| 2499 | 4 | 5 | 8 | 9 | -0.048387 | 833.539 |
| 2500 | 4 | 5 | 9 | 10 | -0.029139 | 833.539 |
| 2501 | 4 | 5 | 10 | 11 | -0.018847 | 833.539 |
| 2502 | 4 | 5 | 11 | 12 | -0.011504 | 833.539 |
| 2503 | 4 | 6 | 12 | 14 | -0.030671 | 916.176 |
| 2504 | 4 | 6 | 14 | 16 | -0.017923 | 916.176 |
| 2505 | 4 | 6 | 16 | 18 | -0.010136 | 916.176 |
| 2506 | 4 | 6 | 18 | 13 | 0.040585 | 916.176 |
| 2507 | 4 | 6 | 13 | 15 | -0.013394 | 916.176 |
| 2508 | 4 | 6 | 15 | 17 | -0.024076 | 916.176 |
| 2509 | 4 | 6 | 17 | 19 | -0.007096 | 916.176 |
| 2510 | 4 | 7 | 21 | 24 | -0.105898 | 934.222 |
| 2511 | 4 | 7 | 24 | 19 | 0.021108 | 934.222 |
| 2512 | 4 | 7 | 19 | 22 | -0.017111 | 934.222 |
| 2513 | 4 | 7 | 22 | 25 | -0.008501 | 934.222 |
| 2514 | 4 | 7 | 25 | 20 | 0.019226 | 934.222 |
| 2515 | 4 | 7 | 20 | 23 | -0.01072 | 934.222 |
| 2516 | 4 | 8 | 23 | 27 | 0.004032 | 941.443 |
| 2517 | 4 | 8 | 27 | 31 | 0.028227 | 941.443 |
| 2518 | 4 | 8 | 31 | 24 | -0.033215 | 941.443 |
| 2519 | 4 | 8 | 24 | 28 | 0.010149 | 941.443 |
| 2520 | 4 | 8 | 28 | 32 | 0.034975 | 941.443 |

| Dati Geolettrici_Misura 8 27 Novembre 2025 | | | | | | |
|--|--------|--------|--------|--------|-----------|----------|
| Misura n. | Elec_A | Elec_B | Elec_M | Elec_N | V/I(ohm) | I(mA) |
| 2521 | 4 | 8 | 32 | 25 | -0.047965 | 941.443 |
| 2522 | 4 | 8 | 25 | 29 | 0.020344 | 941.443 |
| 2523 | 4 | 8 | 29 | 26 | -0.016912 | 941.443 |
| 2524 | 4 | 8 | 26 | 30 | 0.0241 | 941.443 |
| 2525 | 4 | 9 | 30 | 35 | 0.090813 | 205.125 |
| 2526 | 4 | 9 | 35 | 31 | -0.078705 | 205.125 |
| 2527 | 4 | 9 | 31 | 36 | 0.111032 | 205.125 |
| 2528 | 4 | 9 | 36 | 32 | -0.094164 | 205.125 |
| 2529 | 4 | 9 | 32 | 37 | 0.17794 | 205.125 |
| 2530 | 4 | 9 | 37 | 33 | -0.161137 | 205.125 |
| 2531 | 4 | 9 | 33 | 38 | 0.230655 | 205.125 |
| 2532 | 4 | 9 | 38 | 34 | -0.210862 | 205.125 |
| 2533 | 4 | 9 | 34 | 39 | 0.214991 | 205.125 |
| 2534 | 4 | 10 | 35 | 41 | -0.269823 | 65.185 |
| 2535 | 4 | 10 | 41 | 47 | -0.521209 | 65.185 |
| 2536 | 4 | 10 | 47 | 36 | 0.834351 | 65.185 |
| 2537 | 4 | 10 | 36 | 42 | -0.498534 | 65.185 |
| 2538 | 4 | 10 | 42 | 37 | 0.595336 | 65.185 |
| 2539 | 4 | 10 | 37 | 43 | -0.776202 | 65.185 |
| 2540 | 4 | 10 | 43 | 38 | 0.812091 | 65.185 |
| 2541 | 4 | 10 | 38 | 44 | -0.971406 | 65.185 |
| 2542 | 4 | 10 | 44 | 39 | 0.889835 | 65.185 |
| 2543 | 4 | 10 | 39 | 45 | -0.940357 | 65.185 |
| 2544 | 4 | 10 | 40 | 46 | -0.749418 | 31.288 |
| 2545 | 5 | 6 | 7 | 8 | -0.208791 | 973.664 |
| 2546 | 5 | 6 | 8 | 9 | -0.085072 | 973.664 |
| 2547 | 5 | 6 | 10 | 11 | -0.059225 | 973.664 |
| 2548 | 5 | 6 | 11 | 12 | -0.020989 | 973.664 |
| 2549 | 5 | 6 | 12 | 13 | -0.009924 | 973.664 |
| 2550 | 5 | 7 | 13 | 15 | -0.024268 | 1000.277 |
| 2551 | 5 | 7 | 15 | 17 | -0.014461 | 1000.277 |
| 2552 | 5 | 7 | 17 | 19 | -0.012969 | 1000.277 |
| 2553 | 5 | 7 | 19 | 14 | 0.09121 | 1000.277 |
| 2554 | 5 | 7 | 14 | 16 | -0.080111 | 1000.277 |
| 2555 | 5 | 7 | 18 | 20 | -0.040286 | 1000.277 |
| 2556 | 5 | 8 | 19 | 22 | -0.014549 | 1008.377 |
| 2557 | 5 | 8 | 22 | 25 | -0.008772 | 1008.377 |
| 2558 | 5 | 8 | 25 | 20 | 0.015084 | 1008.377 |
| 2559 | 5 | 8 | 20 | 23 | -0.011996 | 1008.377 |
| 2560 | 5 | 8 | 26 | 21 | 0.007324 | 1008.377 |
| 2561 | 5 | 8 | 21 | 24 | -0.007411 | 1008.377 |
| 2562 | 5 | 9 | 24 | 28 | 0.014169 | 792.901 |
| 2563 | 5 | 9 | 28 | 32 | 0.042752 | 792.901 |
| 2564 | 5 | 9 | 32 | 25 | -0.058159 | 792.901 |
| 2565 | 5 | 9 | 25 | 29 | 0.02428 | 792.901 |
| 2566 | 5 | 9 | 29 | 33 | 0.048465 | 792.901 |
| 2567 | 5 | 9 | 33 | 26 | -0.068707 | 792.901 |
| 2568 | 5 | 9 | 26 | 30 | 0.029175 | 792.901 |
| 2569 | 5 | 9 | 30 | 27 | -0.023932 | 792.901 |
| 2570 | 5 | 9 | 27 | 31 | 0.034422 | 792.901 |
| 2571 | 5 | 10 | 31 | 36 | 0.140148 | 286.181 |
| 2572 | 5 | 10 | 36 | 32 | -0.119263 | 286.181 |
| 2573 | 5 | 10 | 32 | 37 | 0.205042 | 286.181 |
| 2574 | 5 | 10 | 37 | 33 | -0.183326 | 286.181 |
| 2575 | 5 | 10 | 33 | 38 | 0.207622 | 286.181 |
| 2576 | 5 | 10 | 38 | 34 | -0.181879 | 286.181 |

| Dati Geolettrici_Misura 8 27 Novembre 2025 | | | | | | |
|--|--------|--------|--------|--------|-----------|----------|
| Misura n. | Elec_A | Elec_B | Elec_M | Elec_N | V/I(ohm) | I(mA) |
| 2577 | 5 | 10 | 34 | 39 | 0.087828 | 286.181 |
| 2578 | 5 | 10 | 39 | 35 | -0.055212 | 286.181 |
| 2579 | 5 | 10 | 35 | 40 | -0.138289 | 286.181 |
| 2580 | 5 | 11 | 36 | 42 | -0.731458 | 785.428 |
| 2581 | 5 | 11 | 48 | 37 | 0.811339 | 785.428 |
| 2582 | 5 | 11 | 37 | 43 | -0.920623 | 785.428 |
| 2583 | 5 | 11 | 43 | 38 | 0.860043 | 785.428 |
| 2584 | 5 | 11 | 38 | 44 | -0.913876 | 785.428 |
| 2585 | 5 | 11 | 44 | 39 | 0.75167 | 785.428 |
| 2586 | 5 | 11 | 39 | 45 | -0.71697 | 785.428 |
| 2587 | 5 | 11 | 45 | 40 | 0.513666 | 785.428 |
| 2588 | 5 | 11 | 40 | 46 | -0.469704 | 785.428 |
| 2589 | 5 | 11 | 41 | 47 | -0.238967 | 75.225 |
| 2590 | 6 | 7 | 8 | 9 | -0.244507 | 996.724 |
| 2591 | 6 | 7 | 9 | 10 | -0.12506 | 996.724 |
| 2592 | 6 | 7 | 11 | 12 | -0.01891 | 996.724 |
| 2593 | 6 | 7 | 12 | 13 | -0.015941 | 996.724 |
| 2594 | 6 | 8 | 14 | 16 | -0.050909 | 1126.201 |
| 2595 | 6 | 8 | 16 | 18 | -0.016539 | 1126.201 |
| 2596 | 6 | 8 | 18 | 20 | -0.014337 | 1126.201 |
| 2597 | 6 | 8 | 20 | 15 | 0.037878 | 1126.201 |
| 2598 | 6 | 8 | 15 | 17 | -0.013157 | 1126.201 |
| 2599 | 6 | 8 | 17 | 19 | -0.018157 | 1126.201 |
| 2600 | 6 | 8 | 19 | 21 | -0.021352 | 1126.201 |
| 2601 | 6 | 9 | 20 | 23 | -0.015066 | 852.119 |
| 2602 | 6 | 9 | 23 | 26 | 0.000135 | 852.119 |
| 2603 | 6 | 9 | 21 | 24 | -0.000011 | 852.119 |
| 2604 | 6 | 9 | 24 | 27 | 0.006515 | 852.119 |
| 2605 | 6 | 9 | 27 | 22 | -0.000366 | 852.119 |
| 2606 | 6 | 9 | 22 | 25 | -0.007233 | 852.119 |
| 2607 | 6 | 10 | 25 | 29 | 0.030089 | 518.077 |
| 2608 | 6 | 10 | 29 | 33 | 0.062834 | 518.077 |
| 2609 | 6 | 10 | 33 | 26 | -0.088058 | 518.077 |
| 2610 | 6 | 10 | 26 | 30 | 0.03665 | 518.077 |
| 2611 | 6 | 10 | 30 | 34 | 0.074476 | 518.077 |
| 2612 | 6 | 10 | 34 | 27 | -0.104774 | 518.077 |
| 2613 | 6 | 10 | 27 | 31 | 0.043798 | 518.077 |
| 2614 | 6 | 10 | 31 | 28 | -0.036155 | 518.077 |
| 2615 | 6 | 10 | 28 | 32 | 0.054632 | 518.077 |
| 2616 | 6 | 11 | 32 | 37 | 0.181406 | 342.955 |
| 2617 | 6 | 11 | 37 | 33 | -0.153337 | 342.955 |
| 2618 | 6 | 11 | 33 | 38 | 0.080298 | 342.955 |
| 2619 | 6 | 11 | 38 | 34 | -0.047786 | 342.955 |
| 2620 | 6 | 11 | 34 | 39 | -0.126986 | 342.955 |
| 2621 | 6 | 11 | 39 | 35 | 0.165445 | 342.955 |
| 2622 | 6 | 11 | 35 | 40 | -0.377242 | 342.955 |
| 2623 | 6 | 11 | 40 | 36 | 0.412758 | 342.955 |
| 2624 | 6 | 11 | 36 | 41 | -0.600323 | 342.955 |
| 2625 | 6 | 12 | 37 | 43 | -0.888166 | 976.51 |
| 2626 | 6 | 12 | 43 | 38 | 0.74274 | 976.51 |
| 2627 | 6 | 12 | 38 | 44 | -0.718345 | 976.51 |
| 2628 | 6 | 12 | 44 | 39 | 0.529184 | 976.51 |
| 2629 | 6 | 12 | 39 | 45 | -0.467701 | 976.51 |
| 2630 | 6 | 12 | 45 | 40 | 0.273987 | 976.51 |
| 2631 | 6 | 12 | 40 | 46 | -0.22786 | 976.51 |
| 2632 | 6 | 12 | 42 | 48 | 0.154393 | 107.988 |

| Dati Geolettrici_Misura 8 27 Novembre 2025 | | | | | | |
|--|--------|--------|--------|--------|-----------|----------|
| Misura n. | Elec_A | Elec_B | Elec_M | Elec_N | V/I(ohm) | I(mA) |
| 2633 | 7 | 8 | 9 | 10 | -0.257101 | 983.885 |
| 2634 | 7 | 8 | 10 | 11 | -0.095874 | 983.885 |
| 2635 | 7 | 8 | 11 | 12 | -0.046837 | 983.885 |
| 2636 | 7 | 8 | 12 | 13 | -0.012912 | 983.885 |
| 2637 | 7 | 8 | 13 | 14 | -0.059749 | 983.885 |
| 2638 | 7 | 9 | 15 | 17 | -0.03187 | 869.714 |
| 2639 | 7 | 9 | 17 | 19 | -0.021543 | 869.714 |
| 2640 | 7 | 9 | 19 | 21 | -0.104931 | 869.714 |
| 2641 | 7 | 9 | 21 | 16 | 0.144726 | 869.714 |
| 2642 | 7 | 9 | 16 | 18 | -0.057869 | 869.714 |
| 2643 | 7 | 9 | 20 | 22 | -0.005197 | 869.714 |
| 2644 | 7 | 10 | 24 | 27 | 0.010115 | 932.097 |
| 2645 | 7 | 10 | 27 | 22 | -0.003014 | 932.097 |
| 2646 | 7 | 10 | 22 | 25 | -0.006151 | 932.097 |
| 2647 | 7 | 10 | 25 | 28 | 0.015504 | 932.097 |
| 2648 | 7 | 10 | 28 | 23 | -0.01649 | 932.097 |
| 2649 | 7 | 10 | 23 | 26 | 0.004972 | 932.097 |
| 2650 | 7 | 11 | 26 | 30 | 0.045309 | 361.453 |
| 2651 | 7 | 11 | 30 | 34 | 0.094919 | 361.453 |
| 2652 | 7 | 11 | 34 | 27 | -0.132606 | 361.453 |
| 2653 | 7 | 11 | 27 | 31 | 0.0549 | 361.453 |
| 2654 | 7 | 11 | 31 | 35 | 0.111817 | 361.453 |
| 2655 | 7 | 11 | 35 | 28 | -0.157356 | 361.453 |
| 2656 | 7 | 11 | 28 | 32 | 0.068974 | 361.453 |
| 2657 | 7 | 11 | 32 | 29 | -0.055061 | 361.453 |
| 2658 | 7 | 11 | 29 | 33 | 0.08032 | 361.453 |
| 2659 | 7 | 12 | 33 | 38 | -0.140573 | 121.545 |
| 2660 | 7 | 12 | 38 | 34 | 0.178289 | 121.545 |
| 2661 | 7 | 12 | 34 | 39 | -0.380499 | 121.545 |
| 2662 | 7 | 12 | 39 | 35 | 0.413532 | 121.545 |
| 2663 | 7 | 12 | 35 | 40 | -0.604528 | 121.545 |
| 2664 | 7 | 12 | 40 | 36 | 0.603096 | 121.545 |
| 2665 | 7 | 12 | 36 | 41 | -0.744025 | 121.545 |
| 2666 | 7 | 12 | 41 | 37 | 0.697168 | 121.545 |
| 2667 | 7 | 12 | 37 | 42 | -0.76788 | 121.545 |
| 2668 | 7 | 13 | 38 | 44 | -0.474829 | 1129.039 |
| 2669 | 7 | 13 | 44 | 39 | 0.283074 | 1129.039 |
| 2670 | 7 | 13 | 39 | 45 | -0.223362 | 1129.039 |
| 2671 | 7 | 13 | 46 | 41 | -0.115958 | 1129.039 |
| 2672 | 7 | 13 | 41 | 47 | 0.148255 | 1129.039 |
| 2673 | 7 | 13 | 47 | 42 | -0.209827 | 1129.039 |
| 2674 | 7 | 13 | 42 | 48 | 0.235356 | 1129.039 |
| 2675 | 8 | 9 | 10 | 11 | -0.248037 | 866.176 |
| 2676 | 8 | 9 | 11 | 12 | -0.085002 | 866.176 |
| 2677 | 8 | 9 | 12 | 13 | -0.052057 | 866.176 |
| 2678 | 8 | 9 | 13 | 14 | -0.036674 | 866.176 |
| 2679 | 8 | 9 | 15 | 16 | -0.011201 | 866.176 |
| 2680 | 8 | 10 | 16 | 18 | -0.033701 | 936.341 |
| 2681 | 8 | 10 | 18 | 20 | -0.021485 | 936.341 |
| 2682 | 8 | 10 | 20 | 22 | -0.012448 | 936.341 |
| 2683 | 8 | 10 | 22 | 17 | 0.047503 | 936.341 |
| 2684 | 8 | 10 | 17 | 19 | -0.025318 | 936.341 |
| 2685 | 8 | 10 | 19 | 21 | -0.016397 | 936.341 |
| 2686 | 8 | 10 | 21 | 23 | -0.007826 | 936.341 |
| 2687 | 8 | 11 | 22 | 25 | -0.010641 | 1172.386 |
| 2688 | 8 | 11 | 25 | 28 | 0.0185 | 1172.386 |

| Dati Geolettrici_Misura 8 27 Novembre 2025 | | | | | | |
|--|--------|--------|--------|--------|-----------|----------|
| Misura n. | Elec_A | Elec_B | Elec_M | Elec_N | V/I(ohm) | I(mA) |
| 2689 | 8 | 11 | 28 | 23 | -0.012294 | 1172.386 |
| 2690 | 8 | 11 | 26 | 29 | 0.025138 | 1172.386 |
| 2691 | 8 | 11 | 29 | 24 | -0.029647 | 1172.386 |
| 2692 | 8 | 11 | 24 | 27 | 0.010735 | 1172.386 |
| 2693 | 8 | 12 | 27 | 31 | 0.06834 | 239.221 |
| 2694 | 8 | 12 | 31 | 35 | 0.12064 | 239.221 |
| 2695 | 8 | 12 | 35 | 28 | -0.177712 | 239.221 |
| 2696 | 8 | 12 | 28 | 32 | 0.086608 | 239.221 |
| 2697 | 8 | 12 | 32 | 36 | 0.081383 | 239.221 |
| 2698 | 8 | 12 | 36 | 29 | -0.150845 | 239.221 |
| 2699 | 8 | 12 | 29 | 33 | 0.101411 | 239.221 |
| 2700 | 8 | 12 | 33 | 30 | -0.083302 | 239.221 |
| 2701 | 8 | 12 | 30 | 34 | 0.115841 | 239.221 |
| 2702 | 8 | 13 | 34 | 39 | -0.633691 | 62.951 |
| 2703 | 8 | 13 | 39 | 35 | 0.627478 | 62.951 |
| 2704 | 8 | 13 | 35 | 40 | -0.757152 | 62.951 |
| 2705 | 8 | 13 | 40 | 36 | 0.674059 | 62.951 |
| 2706 | 8 | 13 | 36 | 41 | -0.72588 | 62.951 |
| 2707 | 8 | 13 | 41 | 37 | 0.581616 | 62.951 |
| 2708 | 8 | 13 | 37 | 42 | -0.572699 | 62.951 |
| 2709 | 8 | 13 | 42 | 38 | 0.366846 | 62.951 |
| 2710 | 8 | 13 | 38 | 43 | -0.321994 | 62.951 |
| 2711 | 8 | 14 | 39 | 45 | 0.008937 | 1108.859 |
| 2712 | 8 | 14 | 45 | 40 | -0.123797 | 1108.859 |
| 2713 | 8 | 14 | 40 | 46 | 0.155981 | 1108.859 |
| 2714 | 8 | 14 | 46 | 41 | -0.19858 | 1108.859 |
| 2715 | 8 | 14 | 41 | 47 | 0.223511 | 1108.859 |
| 2716 | 8 | 14 | 47 | 42 | -0.208529 | 1108.859 |
| 2717 | 8 | 14 | 42 | 48 | 0.228944 | 1108.859 |
| 2718 | 9 | 10 | 11 | 12 | -0.25514 | 741.461 |
| 2719 | 9 | 10 | 12 | 13 | -0.092861 | 741.461 |
| 2720 | 9 | 10 | 13 | 14 | -0.044197 | 741.461 |
| 2721 | 9 | 10 | 15 | 16 | -0.037979 | 741.461 |
| 2722 | 9 | 10 | 16 | 17 | -0.010617 | 741.461 |
| 2723 | 9 | 11 | 17 | 19 | -0.037353 | 835.432 |
| 2724 | 9 | 11 | 19 | 21 | -0.021255 | 835.432 |
| 2725 | 9 | 11 | 21 | 23 | -0.009601 | 835.432 |
| 2726 | 9 | 11 | 23 | 18 | 0.047316 | 835.432 |
| 2727 | 9 | 11 | 18 | 20 | -0.029315 | 835.432 |
| 2728 | 9 | 11 | 20 | 22 | -0.013735 | 835.432 |
| 2729 | 9 | 11 | 22 | 24 | -0.007309 | 835.432 |
| 2730 | 9 | 12 | 26 | 29 | 0.031171 | 795.916 |
| 2731 | 9 | 12 | 29 | 24 | -0.034175 | 795.916 |
| 2732 | 9 | 12 | 24 | 27 | 0.010625 | 795.916 |
| 2733 | 9 | 12 | 27 | 30 | 0.038659 | 795.916 |
| 2734 | 9 | 12 | 30 | 25 | -0.05176 | 795.916 |
| 2735 | 9 | 12 | 25 | 28 | 0.022488 | 795.916 |
| 2736 | 9 | 13 | 28 | 32 | 0.114994 | 337.475 |
| 2737 | 9 | 13 | 36 | 29 | -0.048858 | 337.475 |
| 2738 | 9 | 13 | 29 | 33 | 0.131695 | 337.475 |
| 2739 | 9 | 13 | 33 | 37 | -0.25046 | 337.475 |
| 2740 | 9 | 13 | 37 | 30 | 0.143054 | 337.475 |
| 2741 | 9 | 13 | 30 | 34 | 0.132579 | 337.475 |
| 2742 | 9 | 13 | 34 | 31 | -0.103569 | 337.475 |
| 2743 | 9 | 13 | 31 | 35 | 0.088818 | 337.475 |
| 2744 | 9 | 14 | 35 | 40 | -0.756367 | 237.964 |

| Dati Geolettrici_Misura 8 27 Novembre 2025 | | | | | | |
|--|--------|--------|--------|--------|-----------|----------|
| Misura n. | Elec_A | Elec_B | Elec_M | Elec_N | V/I(ohm) | I(mA) |
| 2745 | 9 | 14 | 40 | 36 | 0.589033 | 237.964 |
| 2746 | 9 | 14 | 36 | 41 | -0.563028 | 237.964 |
| 2747 | 9 | 14 | 41 | 37 | 0.362329 | 237.964 |
| 2748 | 9 | 14 | 37 | 42 | -0.319766 | 237.964 |
| 2749 | 9 | 14 | 42 | 38 | 0.107348 | 237.964 |
| 2750 | 9 | 14 | 38 | 43 | -0.063142 | 237.964 |
| 2751 | 9 | 14 | 43 | 39 | -0.083902 | 237.964 |
| 2752 | 9 | 14 | 39 | 44 | 0.125104 | 237.964 |
| 2753 | 9 | 15 | 40 | 46 | 0.238521 | 93.56 |
| 2754 | 9 | 15 | 46 | 41 | -0.204585 | 93.56 |
| 2755 | 9 | 15 | 41 | 47 | 0.223876 | 93.56 |
| 2756 | 9 | 15 | 47 | 42 | -0.175504 | 93.56 |
| 2757 | 9 | 15 | 42 | 48 | 0.191933 | 93.56 |
| 2758 | 10 | 11 | 12 | 13 | -0.236329 | 936.289 |
| 2759 | 10 | 11 | 13 | 14 | -0.084237 | 936.289 |
| 2760 | 10 | 11 | 14 | 15 | -0.062138 | 936.289 |
| 2761 | 10 | 11 | 15 | 16 | -0.018078 | 936.289 |
| 2762 | 10 | 11 | 16 | 17 | -0.015553 | 936.289 |
| 2763 | 10 | 11 | 17 | 18 | -0.011941 | 936.289 |
| 2764 | 10 | 12 | 18 | 20 | -0.039148 | 940.871 |
| 2765 | 10 | 12 | 20 | 22 | -0.017168 | 940.871 |
| 2766 | 10 | 12 | 22 | 24 | -0.008875 | 940.871 |
| 2767 | 10 | 12 | 24 | 19 | 0.043141 | 940.871 |
| 2768 | 10 | 12 | 19 | 21 | -0.025776 | 940.871 |
| 2769 | 10 | 12 | 21 | 23 | -0.01332 | 940.871 |
| 2770 | 10 | 12 | 23 | 25 | -0.005749 | 940.871 |
| 2771 | 10 | 13 | 24 | 27 | 0.01411 | 917.311 |
| 2772 | 10 | 13 | 27 | 30 | 0.051249 | 917.311 |
| 2773 | 10 | 13 | 30 | 25 | -0.068339 | 917.311 |
| 2774 | 10 | 13 | 25 | 28 | 0.029332 | 917.311 |
| 2775 | 10 | 13 | 28 | 31 | 0.063116 | 917.311 |
| 2776 | 10 | 13 | 31 | 26 | -0.085131 | 917.311 |
| 2777 | 10 | 13 | 26 | 29 | 0.040776 | 917.311 |
| 2778 | 10 | 14 | 29 | 33 | 0.167384 | 383.595 |
| 2779 | 10 | 14 | 33 | 37 | -0.522212 | 383.595 |
| 2780 | 10 | 14 | 37 | 30 | 0.390151 | 383.595 |
| 2781 | 10 | 14 | 30 | 34 | 0.109707 | 383.595 |
| 2782 | 10 | 14 | 34 | 38 | -0.678028 | 383.595 |
| 2783 | 10 | 14 | 38 | 31 | 0.609681 | 383.595 |
| 2784 | 10 | 14 | 32 | 36 | -0.271442 | 383.595 |
| 2785 | 10 | 15 | 36 | 41 | -0.32494 | 252.675 |
| 2786 | 10 | 15 | 41 | 37 | 0.107367 | 252.675 |
| 2787 | 10 | 15 | 37 | 42 | -0.062686 | 252.675 |
| 2788 | 10 | 15 | 42 | 38 | -0.103856 | 252.675 |
| 2789 | 10 | 15 | 38 | 43 | 0.139367 | 252.675 |
| 2790 | 10 | 15 | 43 | 39 | -0.187135 | 252.675 |
| 2791 | 10 | 15 | 39 | 44 | 0.218518 | 252.675 |
| 2792 | 10 | 15 | 44 | 40 | -0.165577 | 252.675 |
| 2793 | 10 | 15 | 40 | 45 | 0.191078 | 252.675 |
| 2794 | 10 | 16 | 41 | 47 | 0.183634 | 122.009 |
| 2795 | 10 | 16 | 47 | 42 | -0.135007 | 122.009 |
| 2796 | 10 | 16 | 42 | 48 | 0.147709 | 122.009 |
| 2797 | 11 | 12 | 13 | 14 | -0.209181 | 1179.775 |
| 2798 | 11 | 12 | 14 | 15 | -0.108717 | 1179.775 |
| 2799 | 11 | 12 | 15 | 16 | -0.052475 | 1179.775 |
| 2800 | 11 | 12 | 16 | 17 | -0.024241 | 1179.775 |

| Dati Geolettrici_Misura 8 27 Novembre 2025 | | | | | | |
|--|--------|--------|--------|--------|-----------|----------|
| Misura n. | Elec_A | Elec_B | Elec_M | Elec_N | V/I(ohm) | I(mA) |
| 2801 | 11 | 12 | 17 | 18 | -0.017068 | 1179.775 |
| 2802 | 11 | 12 | 18 | 19 | -0.012855 | 1179.775 |
| 2803 | 11 | 13 | 19 | 21 | -0.037193 | 1132.008 |
| 2804 | 11 | 13 | 21 | 23 | -0.0171 | 1132.008 |
| 2805 | 11 | 13 | 23 | 25 | -0.007115 | 1132.008 |
| 2806 | 11 | 13 | 25 | 20 | 0.037385 | 1132.008 |
| 2807 | 11 | 13 | 20 | 22 | -0.023804 | 1132.008 |
| 2808 | 11 | 13 | 22 | 24 | -0.011385 | 1132.008 |
| 2809 | 11 | 13 | 24 | 26 | 0.00336 | 1132.008 |
| 2810 | 11 | 14 | 25 | 28 | 0.044299 | 364.592 |
| 2811 | 11 | 14 | 28 | 31 | 0.094591 | 364.592 |
| 2812 | 11 | 14 | 31 | 26 | -0.127555 | 364.592 |
| 2813 | 11 | 14 | 26 | 29 | 0.061364 | 364.592 |
| 2814 | 11 | 14 | 29 | 32 | 0.111064 | 364.592 |
| 2815 | 11 | 14 | 32 | 27 | -0.157781 | 364.592 |
| 2816 | 11 | 14 | 27 | 30 | 0.077309 | 364.592 |
| 2817 | 11 | 15 | 34 | 38 | -0.68775 | 352.571 |
| 2818 | 11 | 15 | 38 | 31 | 0.791089 | 352.571 |
| 2819 | 11 | 15 | 31 | 35 | -0.311859 | 352.571 |
| 2820 | 11 | 15 | 35 | 39 | -0.458617 | 352.571 |
| 2821 | 11 | 15 | 39 | 32 | 0.827003 | 352.571 |
| 2822 | 11 | 15 | 32 | 36 | -0.575226 | 352.571 |
| 2823 | 11 | 15 | 36 | 33 | 0.561848 | 352.571 |
| 2824 | 11 | 15 | 33 | 37 | -0.752779 | 352.571 |
| 2825 | 11 | 16 | 37 | 42 | 0.118247 | 156.297 |
| 2826 | 11 | 16 | 42 | 38 | -0.189754 | 156.297 |
| 2827 | 11 | 16 | 38 | 43 | 0.217113 | 156.297 |
| 2828 | 11 | 16 | 43 | 39 | -0.186766 | 156.297 |
| 2829 | 11 | 16 | 39 | 44 | 0.210669 | 156.297 |
| 2830 | 11 | 16 | 44 | 40 | -0.139051 | 156.297 |
| 2831 | 11 | 16 | 40 | 45 | 0.158248 | 156.297 |
| 2832 | 11 | 16 | 45 | 41 | -0.107507 | 156.297 |
| 2833 | 11 | 16 | 41 | 46 | 0.121749 | 156.297 |
| 2834 | 11 | 17 | 42 | 48 | 0.112177 | 147.268 |
| 2835 | 12 | 13 | 14 | 15 | -0.253527 | 1087.618 |
| 2836 | 12 | 13 | 15 | 16 | -0.108186 | 1087.618 |
| 2837 | 12 | 13 | 16 | 17 | -0.043128 | 1087.618 |
| 2838 | 12 | 13 | 17 | 18 | -0.030587 | 1087.618 |
| 2839 | 12 | 13 | 18 | 19 | -0.020752 | 1087.618 |
| 2840 | 12 | 13 | 19 | 20 | -0.014079 | 1087.618 |
| 2841 | 12 | 14 | 20 | 22 | -0.038953 | 1105.144 |
| 2842 | 12 | 14 | 22 | 24 | -0.018175 | 1105.144 |
| 2843 | 12 | 14 | 24 | 26 | 0.006 | 1105.144 |
| 2844 | 12 | 14 | 26 | 21 | 0.045288 | 1105.144 |
| 2845 | 12 | 14 | 21 | 23 | -0.042015 | 1105.144 |
| 2846 | 12 | 14 | 23 | 25 | -0.012411 | 1105.144 |
| 2847 | 12 | 14 | 25 | 27 | 0.020785 | 1105.144 |
| 2848 | 12 | 15 | 26 | 29 | 0.096807 | 226.22 |
| 2849 | 12 | 15 | 29 | 32 | 0.142676 | 226.22 |
| 2850 | 12 | 15 | 32 | 27 | -0.216322 | 226.22 |
| 2851 | 12 | 15 | 27 | 30 | 0.12091 | 226.22 |
| 2852 | 12 | 15 | 30 | 33 | 0.07111 | 226.22 |
| 2853 | 12 | 15 | 33 | 28 | -0.163143 | 226.22 |
| 2854 | 12 | 15 | 28 | 31 | 0.141194 | 226.22 |
| 2855 | 12 | 16 | 31 | 35 | -0.586695 | 1172.283 |
| 2856 | 12 | 16 | 35 | 39 | -0.230986 | 1172.283 |

| Dati Geolettrici_Misura 8 27 Novembre 2025 | | | | | | |
|--|--------|--------|--------|--------|-----------|----------|
| Misura n. | Elec_A | Elec_B | Elec_M | Elec_N | V/I(ohm) | I(mA) |
| 2857 | 12 | 16 | 39 | 32 | 0.829135 | 1172.283 |
| 2858 | 12 | 16 | 32 | 36 | -0.767797 | 1172.283 |
| 2859 | 12 | 16 | 40 | 33 | 0.656259 | 1172.283 |
| 2860 | 12 | 16 | 33 | 37 | -0.756273 | 1172.283 |
| 2861 | 12 | 16 | 37 | 34 | 0.512453 | 1172.283 |
| 2862 | 12 | 16 | 34 | 38 | -0.510861 | 1172.283 |
| 2863 | 12 | 17 | 38 | 43 | 0.198213 | 251.029 |
| 2864 | 12 | 17 | 43 | 39 | -0.146976 | 251.029 |
| 2865 | 12 | 17 | 39 | 44 | 0.165119 | 251.029 |
| 2866 | 12 | 17 | 44 | 40 | -0.105728 | 251.029 |
| 2867 | 12 | 17 | 40 | 45 | 0.120293 | 251.029 |
| 2868 | 12 | 17 | 45 | 41 | -0.081279 | 251.029 |
| 2869 | 12 | 17 | 41 | 46 | 0.092534 | 251.029 |
| 2870 | 12 | 17 | 46 | 42 | -0.064693 | 251.029 |
| 2871 | 12 | 17 | 42 | 47 | 0.072217 | 251.029 |
| 2872 | 13 | 14 | 15 | 16 | -0.332958 | 1066.813 |
| 2873 | 13 | 14 | 16 | 17 | -0.060196 | 1066.813 |
| 2874 | 13 | 14 | 17 | 18 | -0.071554 | 1066.813 |
| 2875 | 13 | 14 | 18 | 19 | -0.062372 | 1066.813 |
| 2876 | 13 | 14 | 19 | 20 | -0.027375 | 1066.813 |
| 2877 | 13 | 15 | 21 | 23 | -0.062103 | 1032.729 |
| 2878 | 13 | 15 | 23 | 25 | -0.019405 | 1032.729 |
| 2879 | 13 | 15 | 25 | 27 | 0.033506 | 1032.729 |
| 2880 | 13 | 15 | 22 | 24 | -0.028077 | 1032.729 |
| 2881 | 13 | 15 | 24 | 26 | 0.009191 | 1032.729 |
| 2882 | 13 | 15 | 26 | 28 | 0.042023 | 1032.729 |
| 2883 | 13 | 16 | 27 | 30 | 0.157245 | 600.733 |
| 2884 | 13 | 16 | 30 | 33 | -0.092083 | 600.733 |
| 2885 | 13 | 16 | 33 | 28 | -0.026149 | 600.733 |
| 2886 | 13 | 16 | 28 | 31 | 0.161533 | 600.733 |
| 2887 | 13 | 16 | 31 | 34 | -0.378733 | 600.733 |
| 2888 | 13 | 16 | 34 | 29 | 0.276903 | 600.733 |
| 2889 | 13 | 16 | 29 | 32 | 0.098474 | 600.733 |
| 2890 | 13 | 17 | 32 | 36 | -0.734199 | 480.896 |
| 2891 | 13 | 17 | 36 | 40 | 0.087451 | 480.896 |
| 2892 | 13 | 17 | 40 | 33 | 0.438307 | 480.896 |
| 2893 | 13 | 17 | 33 | 37 | -0.553115 | 480.896 |
| 2894 | 13 | 17 | 37 | 41 | 0.141122 | 480.896 |
| 2895 | 13 | 17 | 34 | 38 | -0.26507 | 480.896 |
| 2896 | 13 | 18 | 39 | 44 | 0.128006 | 387.494 |
| 2897 | 13 | 18 | 44 | 40 | -0.082334 | 387.494 |
| 2898 | 13 | 18 | 40 | 45 | 0.093986 | 387.494 |
| 2899 | 13 | 18 | 45 | 41 | -0.064109 | 387.494 |
| 2900 | 13 | 18 | 41 | 46 | 0.073339 | 387.494 |
| 2901 | 13 | 18 | 46 | 42 | -0.052006 | 387.494 |
| 2902 | 13 | 18 | 42 | 47 | 0.058427 | 387.494 |
| 2903 | 13 | 18 | 47 | 43 | -0.041688 | 387.494 |
| 2904 | 13 | 18 | 43 | 48 | 0.046128 | 387.494 |
| 2905 | 14 | 15 | 16 | 17 | -0.324528 | 1014.03 |
| 2906 | 14 | 15 | 17 | 18 | -0.110883 | 1014.03 |
| 2907 | 14 | 15 | 18 | 19 | -0.063779 | 1014.03 |
| 2908 | 14 | 15 | 19 | 20 | -0.04589 | 1014.03 |
| 2909 | 14 | 15 | 20 | 21 | -0.02517 | 1014.03 |
| 2910 | 14 | 15 | 21 | 22 | -0.015757 | 1014.03 |
| 2911 | 14 | 16 | 22 | 24 | -0.035094 | 1103.899 |
| 2912 | 14 | 16 | 24 | 26 | 0.010029 | 1103.899 |

| Dati Geolettrici_Misura 8 27 Novembre 2025 | | | | | | |
|--|--------|--------|--------|--------|-----------|----------|
| Misura n. | Elec_A | Elec_B | Elec_M | Elec_N | V/I(ohm) | I(mA) |
| 2913 | 14 | 16 | 26 | 28 | 0.053787 | 1103.899 |
| 2914 | 14 | 16 | 28 | 23 | -0.052662 | 1103.899 |
| 2915 | 14 | 16 | 23 | 25 | -0.019781 | 1103.899 |
| 2916 | 14 | 16 | 25 | 27 | 0.042503 | 1103.899 |
| 2917 | 14 | 16 | 27 | 29 | 0.075438 | 1103.899 |
| 2918 | 14 | 17 | 28 | 31 | 0.094473 | 179.611 |
| 2919 | 14 | 17 | 31 | 34 | -0.552863 | 179.611 |
| 2920 | 14 | 17 | 34 | 29 | 0.522702 | 179.611 |
| 2921 | 14 | 17 | 29 | 32 | -0.090323 | 179.611 |
| 2922 | 14 | 17 | 32 | 35 | -0.537627 | 179.611 |
| 2923 | 14 | 17 | 35 | 30 | 0.67459 | 179.611 |
| 2924 | 14 | 17 | 30 | 33 | -0.352143 | 179.611 |
| 2925 | 14 | 18 | 33 | 37 | -0.254344 | 709.53 |
| 2926 | 14 | 18 | 37 | 41 | 0.123215 | 709.53 |
| 2927 | 14 | 18 | 41 | 34 | -0.065293 | 709.53 |
| 2928 | 14 | 18 | 38 | 42 | 0.102917 | 709.53 |
| 2929 | 14 | 18 | 42 | 35 | -0.161233 | 709.53 |
| 2930 | 14 | 18 | 35 | 39 | 0.093416 | 709.53 |
| 2931 | 14 | 18 | 39 | 36 | -0.081521 | 709.53 |
| 2932 | 14 | 18 | 36 | 40 | 0.113416 | 709.53 |
| 2933 | 14 | 19 | 40 | 45 | 0.077413 | 441.673 |
| 2934 | 14 | 19 | 45 | 41 | -0.053457 | 441.673 |
| 2935 | 14 | 19 | 41 | 46 | 0.061004 | 441.673 |
| 2936 | 14 | 19 | 46 | 42 | -0.043992 | 441.673 |
| 2937 | 14 | 19 | 42 | 47 | 0.049936 | 441.673 |
| 2938 | 14 | 19 | 47 | 43 | -0.035506 | 441.673 |
| 2939 | 14 | 19 | 43 | 48 | 0.038457 | 441.673 |
| 2940 | 15 | 16 | 17 | 18 | -0.287014 | 1059.293 |
| 2941 | 15 | 16 | 18 | 19 | -0.127354 | 1059.293 |
| 2942 | 15 | 16 | 19 | 20 | -0.065602 | 1059.293 |
| 2943 | 15 | 16 | 20 | 21 | -0.055678 | 1059.293 |
| 2944 | 15 | 16 | 22 | 23 | -0.014379 | 1059.293 |
| 2945 | 15 | 17 | 23 | 25 | -0.025673 | 994.427 |
| 2946 | 15 | 17 | 25 | 27 | 0.044783 | 994.427 |
| 2947 | 15 | 17 | 27 | 29 | 0.073218 | 994.427 |
| 2948 | 15 | 17 | 29 | 24 | -0.105369 | 994.427 |
| 2949 | 15 | 17 | 24 | 26 | 0.006928 | 994.427 |
| 2950 | 15 | 17 | 26 | 28 | 0.056351 | 994.427 |
| 2951 | 15 | 17 | 28 | 30 | 0.065806 | 994.427 |
| 2952 | 15 | 18 | 29 | 32 | -0.395862 | 492.799 |
| 2953 | 15 | 18 | 32 | 35 | -0.271645 | 492.799 |
| 2954 | 15 | 18 | 35 | 30 | 0.647845 | 492.799 |
| 2955 | 15 | 18 | 30 | 33 | -0.57487 | 492.799 |
| 2956 | 15 | 18 | 33 | 36 | -0.032559 | 492.799 |
| 2957 | 15 | 18 | 36 | 31 | 0.466093 | 492.799 |
| 2958 | 15 | 18 | 31 | 34 | -0.515682 | 492.799 |
| 2959 | 15 | 19 | 34 | 38 | 0.135186 | 252.824 |
| 2960 | 15 | 19 | 38 | 42 | 0.07737 | 252.824 |
| 2961 | 15 | 19 | 42 | 35 | -0.18261 | 252.824 |
| 2962 | 15 | 19 | 35 | 39 | 0.131706 | 252.824 |
| 2963 | 15 | 19 | 39 | 43 | 0.061098 | 252.824 |
| 2964 | 15 | 19 | 43 | 36 | -0.137142 | 252.824 |
| 2965 | 15 | 19 | 36 | 40 | 0.099755 | 252.824 |
| 2966 | 15 | 19 | 40 | 37 | -0.079147 | 252.824 |
| 2967 | 15 | 19 | 37 | 41 | 0.095162 | 252.824 |
| 2968 | 15 | 20 | 41 | 46 | 0.048935 | 544.073 |

| Dati Geolettrici_Misura 8 27 Novembre 2025 | | | | | | |
|--|--------|--------|--------|--------|-----------|----------|
| Misura n. | Elec_A | Elec_B | Elec_M | Elec_N | V/I(ohm) | I(mA) |
| 2969 | 15 | 20 | 46 | 42 | -0.035795 | 544.073 |
| 2970 | 15 | 20 | 42 | 47 | 0.041259 | 544.073 |
| 2971 | 15 | 20 | 47 | 43 | -0.029168 | 544.073 |
| 2972 | 15 | 20 | 43 | 48 | 0.031035 | 544.073 |
| 2973 | 16 | 17 | 18 | 19 | -0.298204 | 1064.681 |
| 2974 | 16 | 17 | 19 | 20 | -0.116794 | 1064.681 |
| 2975 | 16 | 17 | 20 | 21 | -0.051576 | 1064.681 |
| 2976 | 16 | 17 | 21 | 22 | -0.024056 | 1064.681 |
| 2977 | 16 | 17 | 22 | 23 | -0.015611 | 1064.681 |
| 2978 | 16 | 17 | 23 | 24 | -0.00872 | 1064.681 |
| 2979 | 16 | 18 | 24 | 26 | 0.000481 | 952.851 |
| 2980 | 16 | 18 | 26 | 28 | 0.060029 | 952.851 |
| 2981 | 16 | 18 | 30 | 25 | -0.063758 | 952.851 |
| 2982 | 16 | 18 | 25 | 27 | 0.05193 | 952.851 |
| 2983 | 16 | 18 | 27 | 29 | 0.052259 | 952.851 |
| 2984 | 16 | 18 | 29 | 31 | -0.186394 | 952.851 |
| 2985 | 16 | 19 | 30 | 33 | -0.578219 | 722.194 |
| 2986 | 16 | 19 | 33 | 36 | 0.140625 | 722.194 |
| 2987 | 16 | 19 | 36 | 31 | 0.194059 | 722.194 |
| 2988 | 16 | 19 | 31 | 34 | -0.302467 | 722.194 |
| 2989 | 16 | 19 | 34 | 37 | 0.124404 | 722.194 |
| 2990 | 16 | 19 | 37 | 32 | -0.061409 | 722.194 |
| 2991 | 16 | 19 | 32 | 35 | -0.004701 | 722.194 |
| 2992 | 16 | 20 | 35 | 39 | 0.127486 | 418.701 |
| 2993 | 16 | 20 | 39 | 43 | 0.049712 | 418.701 |
| 2994 | 16 | 20 | 43 | 36 | -0.114042 | 418.701 |
| 2995 | 16 | 20 | 36 | 40 | 0.083092 | 418.701 |
| 2996 | 16 | 20 | 40 | 44 | 0.03807 | 418.701 |
| 2997 | 16 | 20 | 44 | 37 | -0.101146 | 418.701 |
| 2998 | 16 | 20 | 37 | 41 | 0.07605 | 418.701 |
| 2999 | 16 | 20 | 41 | 38 | -0.052632 | 418.701 |
| 3000 | 16 | 20 | 38 | 42 | 0.0618 | 418.701 |
| 3001 | 16 | 21 | 42 | 47 | 0.034398 | 656.702 |
| 3002 | 16 | 21 | 47 | 43 | -0.02424 | 656.702 |
| 3003 | 16 | 21 | 43 | 48 | 0.025631 | 656.702 |
| 3004 | 17 | 18 | 19 | 20 | -0.340622 | 895.945 |
| 3005 | 17 | 18 | 20 | 21 | -0.107154 | 895.945 |
| 3006 | 17 | 18 | 21 | 22 | -0.050241 | 895.945 |
| 3007 | 17 | 18 | 22 | 23 | -0.026125 | 895.945 |
| 3008 | 17 | 18 | 23 | 24 | -0.014862 | 895.945 |
| 3009 | 17 | 18 | 24 | 25 | -0.014872 | 895.945 |
| 3010 | 17 | 19 | 25 | 27 | 0.063267 | 430.821 |
| 3011 | 17 | 19 | 29 | 31 | -0.356608 | 430.821 |
| 3012 | 17 | 19 | 31 | 26 | 0.358797 | 430.821 |
| 3013 | 17 | 19 | 26 | 28 | 0.051496 | 430.821 |
| 3014 | 17 | 19 | 28 | 30 | -0.208461 | 430.821 |
| 3015 | 17 | 19 | 30 | 32 | -0.344685 | 430.821 |
| 3016 | 17 | 20 | 31 | 34 | -0.068055 | 237.841 |
| 3017 | 17 | 20 | 34 | 37 | 0.12443 | 237.841 |
| 3018 | 17 | 20 | 37 | 32 | -0.194101 | 237.841 |
| 3019 | 17 | 20 | 32 | 35 | 0.1327 | 237.841 |
| 3020 | 17 | 20 | 35 | 38 | 0.077776 | 237.841 |
| 3021 | 17 | 20 | 38 | 33 | -0.209469 | 237.841 |
| 3022 | 17 | 20 | 33 | 36 | 0.17874 | 237.841 |
| 3023 | 17 | 21 | 36 | 40 | 0.07024 | 579.929 |
| 3024 | 17 | 21 | 40 | 44 | 0.032989 | 579.929 |

| Dati Geolettrici_Misura 8 27 Novembre 2025 | | | | | | |
|--|--------|--------|--------|--------|-----------|---------|
| Misura n. | Elec_A | Elec_B | Elec_M | Elec_N | V/I(ohm) | I(mA) |
| 3025 | 17 | 21 | 44 | 37 | -0.085953 | 579.929 |
| 3026 | 17 | 21 | 37 | 41 | 0.0641 | 579.929 |
| 3027 | 17 | 21 | 41 | 45 | 0.026998 | 579.929 |
| 3028 | 17 | 21 | 45 | 38 | -0.071429 | 579.929 |
| 3029 | 17 | 21 | 38 | 42 | 0.052405 | 579.929 |
| 3030 | 17 | 21 | 42 | 39 | -0.034889 | 579.929 |
| 3031 | 17 | 21 | 39 | 43 | 0.042589 | 579.929 |
| 3032 | 17 | 22 | 43 | 48 | 0.022415 | 692.187 |
| 3033 | 18 | 19 | 20 | 21 | -0.294671 | 648.897 |
| 3034 | 18 | 19 | 21 | 22 | -0.122002 | 648.897 |
| 3035 | 18 | 19 | 22 | 23 | -0.047171 | 648.897 |
| 3036 | 18 | 19 | 23 | 24 | -0.026315 | 648.897 |
| 3037 | 18 | 19 | 24 | 25 | -0.026963 | 648.897 |
| 3038 | 18 | 19 | 25 | 26 | 0.017023 | 648.897 |
| 3039 | 18 | 20 | 28 | 30 | -0.415485 | 838.99 |
| 3040 | 18 | 20 | 30 | 32 | -0.166793 | 838.99 |
| 3041 | 18 | 20 | 32 | 27 | 0.631725 | 838.99 |
| 3042 | 18 | 20 | 27 | 29 | -0.247668 | 838.99 |
| 3043 | 18 | 20 | 29 | 31 | -0.34915 | 838.99 |
| 3044 | 18 | 21 | 32 | 35 | 0.164777 | 421.056 |
| 3045 | 18 | 21 | 35 | 38 | 0.062527 | 421.056 |
| 3046 | 18 | 21 | 38 | 33 | -0.181324 | 421.056 |
| 3047 | 18 | 21 | 33 | 36 | 0.156648 | 421.056 |
| 3048 | 18 | 21 | 36 | 39 | 0.036482 | 421.056 |
| 3049 | 18 | 21 | 39 | 34 | -0.12677 | 421.056 |
| 3050 | 18 | 21 | 34 | 37 | 0.101795 | 421.056 |
| 3051 | 18 | 22 | 37 | 41 | 0.050236 | 853.265 |
| 3052 | 18 | 22 | 41 | 45 | 0.022593 | 853.265 |
| 3053 | 18 | 22 | 45 | 38 | -0.057609 | 853.265 |
| 3054 | 18 | 22 | 38 | 42 | 0.041568 | 853.265 |
| 3055 | 18 | 22 | 42 | 46 | 0.018316 | 853.265 |
| 3056 | 18 | 22 | 46 | 39 | -0.046202 | 853.265 |
| 3057 | 18 | 22 | 39 | 43 | 0.03429 | 853.265 |
| 3058 | 18 | 22 | 43 | 40 | -0.021889 | 853.265 |
| 3059 | 18 | 22 | 40 | 44 | 0.027115 | 853.265 |
| 3060 | 19 | 20 | 21 | 22 | -0.298536 | 655.365 |
| 3061 | 19 | 20 | 22 | 23 | -0.10812 | 655.365 |
| 3062 | 19 | 20 | 23 | 24 | -0.044536 | 655.365 |
| 3063 | 19 | 20 | 24 | 25 | -0.061819 | 655.365 |
| 3064 | 19 | 20 | 25 | 26 | 0.015584 | 655.365 |
| 3065 | 19 | 21 | 27 | 29 | -0.408657 | 658.375 |
| 3066 | 19 | 21 | 29 | 31 | -0.151834 | 658.375 |
| 3067 | 19 | 21 | 31 | 33 | 0.063836 | 658.375 |
| 3068 | 19 | 21 | 33 | 28 | 0.335357 | 658.375 |
| 3069 | 19 | 21 | 28 | 30 | -0.378145 | 658.375 |
| 3070 | 19 | 21 | 30 | 32 | 0.004368 | 658.375 |
| 3071 | 19 | 21 | 32 | 34 | 0.079974 | 658.375 |
| 3072 | 19 | 22 | 33 | 36 | 0.122835 | 565.006 |
| 3073 | 19 | 22 | 36 | 39 | 0.027752 | 565.006 |
| 3074 | 19 | 22 | 39 | 34 | -0.097143 | 565.006 |
| 3075 | 19 | 22 | 34 | 37 | 0.078142 | 565.006 |
| 3076 | 19 | 22 | 37 | 40 | 0.027154 | 565.006 |
| 3077 | 19 | 22 | 40 | 35 | -0.064836 | 565.006 |
| 3078 | 19 | 22 | 35 | 38 | 0.047701 | 565.006 |
| 3079 | 19 | 23 | 38 | 42 | 0.032122 | 605.941 |
| 3080 | 19 | 23 | 42 | 46 | 0.014647 | 605.941 |

| Dati Geolettrici_Misura 8 27 Novembre 2025 | | | | | | |
|--|--------|--------|--------|--------|-----------|----------|
| Misura n. | Elec_A | Elec_B | Elec_M | Elec_N | V/I(ohm) | I(mA) |
| 3081 | 19 | 23 | 46 | 39 | -0.036327 | 605.941 |
| 3082 | 19 | 23 | 39 | 43 | 0.02682 | 605.941 |
| 3083 | 19 | 23 | 43 | 47 | 0.012392 | 605.941 |
| 3084 | 19 | 23 | 47 | 40 | -0.029677 | 605.941 |
| 3085 | 19 | 23 | 40 | 44 | 0.021509 | 605.941 |
| 3086 | 19 | 23 | 44 | 41 | -0.014523 | 605.941 |
| 3087 | 19 | 23 | 41 | 45 | 0.018047 | 605.941 |
| 3088 | 20 | 21 | 22 | 23 | -0.234733 | 844.399 |
| 3089 | 20 | 21 | 23 | 24 | -0.088056 | 844.399 |
| 3090 | 20 | 21 | 24 | 25 | -0.111935 | 844.399 |
| 3091 | 20 | 21 | 26 | 27 | -0.057047 | 844.399 |
| 3092 | 20 | 21 | 27 | 28 | -0.10958 | 844.399 |
| 3093 | 20 | 22 | 28 | 30 | -0.14872 | 894.705 |
| 3094 | 20 | 22 | 30 | 32 | 0.067612 | 894.705 |
| 3095 | 20 | 22 | 32 | 34 | 0.061876 | 894.705 |
| 3096 | 20 | 22 | 34 | 29 | -0.113714 | 894.705 |
| 3097 | 20 | 22 | 29 | 31 | 0.015067 | 894.705 |
| 3098 | 20 | 22 | 31 | 33 | 0.068784 | 894.705 |
| 3099 | 20 | 22 | 33 | 35 | 0.052102 | 894.705 |
| 3100 | 20 | 23 | 34 | 37 | 0.054489 | 754.797 |
| 3101 | 20 | 23 | 37 | 40 | 0.019294 | 754.797 |
| 3102 | 20 | 23 | 40 | 35 | -0.045696 | 754.797 |
| 3103 | 20 | 23 | 35 | 38 | 0.033477 | 754.797 |
| 3104 | 20 | 23 | 38 | 41 | 0.016541 | 754.797 |
| 3105 | 20 | 23 | 41 | 36 | -0.029784 | 754.797 |
| 3106 | 20 | 23 | 36 | 39 | 0.01962 | 754.797 |
| 3107 | 20 | 24 | 39 | 43 | 0.019344 | 1011.961 |
| 3108 | 20 | 24 | 43 | 47 | 0.009318 | 1011.961 |
| 3109 | 20 | 24 | 47 | 40 | -0.021925 | 1011.961 |
| 3110 | 20 | 24 | 40 | 44 | 0.01578 | 1011.961 |
| 3111 | 20 | 24 | 44 | 48 | 0.00711 | 1011.961 |
| 3112 | 20 | 24 | 48 | 41 | -0.017851 | 1011.961 |
| 3113 | 20 | 24 | 41 | 45 | 0.01337 | 1011.961 |
| 3114 | 20 | 24 | 45 | 42 | -0.009552 | 1011.961 |
| 3115 | 20 | 24 | 42 | 46 | 0.010894 | 1011.961 |
| 3116 | 21 | 22 | 23 | 24 | -0.176111 | 534.559 |
| 3117 | 21 | 22 | 24 | 25 | -0.221062 | 534.559 |
| 3118 | 21 | 22 | 25 | 26 | -0.053011 | 534.559 |
| 3119 | 21 | 22 | 26 | 27 | -0.109472 | 534.559 |
| 3120 | 21 | 22 | 27 | 28 | -0.089273 | 534.559 |
| 3121 | 21 | 22 | 28 | 29 | -0.028146 | 534.559 |
| 3122 | 21 | 23 | 29 | 31 | 0.050183 | 603.524 |
| 3123 | 21 | 23 | 31 | 33 | 0.048873 | 603.524 |
| 3124 | 21 | 23 | 33 | 35 | 0.034627 | 603.524 |
| 3125 | 21 | 23 | 35 | 30 | -0.113726 | 603.524 |
| 3126 | 21 | 23 | 30 | 32 | 0.057399 | 603.524 |
| 3127 | 21 | 23 | 32 | 34 | 0.041509 | 603.524 |
| 3128 | 21 | 23 | 34 | 36 | 0.025529 | 603.524 |
| 3129 | 21 | 24 | 35 | 38 | 0.022529 | 998.875 |
| 3130 | 21 | 24 | 38 | 41 | 0.011678 | 998.875 |
| 3131 | 21 | 24 | 41 | 36 | -0.020896 | 998.875 |
| 3132 | 21 | 24 | 36 | 39 | 0.013715 | 998.875 |
| 3133 | 21 | 24 | 39 | 42 | 0.009546 | 998.875 |
| 3134 | 21 | 24 | 42 | 37 | -0.018866 | 998.875 |
| 3135 | 21 | 24 | 37 | 40 | 0.013421 | 998.875 |
| 3136 | 21 | 25 | 40 | 44 | 0.007063 | 978.683 |

| Dati Geolettrici_Misura 8 27 Novembre 2025 | | | | | | |
|--|--------|--------|--------|--------|-----------|----------|
| Misura n. | Elec_A | Elec_B | Elec_M | Elec_N | V/I(ohm) | I(mA) |
| 3137 | 21 | 25 | 44 | 48 | 0.004002 | 978.683 |
| 3138 | 21 | 25 | 48 | 41 | -0.008778 | 978.683 |
| 3139 | 21 | 25 | 41 | 45 | 0.006021 | 978.683 |
| 3140 | 21 | 25 | 45 | 42 | -0.004548 | 978.683 |
| 3141 | 21 | 25 | 42 | 46 | 0.005325 | 978.683 |
| 3142 | 21 | 25 | 46 | 43 | -0.003505 | 978.683 |
| 3143 | 21 | 25 | 43 | 47 | 0.005823 | 978.683 |
| 3144 | 22 | 23 | 24 | 25 | -0.59352 | 779.595 |
| 3145 | 22 | 23 | 25 | 26 | -0.106231 | 779.595 |
| 3146 | 22 | 23 | 26 | 27 | -0.099757 | 779.595 |
| 3147 | 22 | 23 | 27 | 28 | -0.037603 | 779.595 |
| 3148 | 22 | 23 | 28 | 29 | 0.00122 | 779.595 |
| 3149 | 22 | 23 | 29 | 30 | 0.011066 | 779.595 |
| 3150 | 22 | 24 | 30 | 32 | 0.035949 | 1055.026 |
| 3151 | 22 | 24 | 32 | 34 | 0.025919 | 1055.026 |
| 3152 | 22 | 24 | 34 | 36 | 0.01647 | 1055.026 |
| 3153 | 22 | 24 | 36 | 31 | -0.059134 | 1055.026 |
| 3154 | 22 | 24 | 31 | 33 | 0.030163 | 1055.026 |
| 3155 | 22 | 24 | 33 | 35 | 0.021921 | 1055.026 |
| 3156 | 22 | 24 | 35 | 37 | 0.009531 | 1055.026 |
| 3157 | 22 | 25 | 40 | 43 | 0.002213 | 1025.538 |
| 3158 | 22 | 26 | 42 | 46 | 0.000175 | 891.222 |
| 3159 | 22 | 26 | 46 | 43 | -0.000343 | 891.222 |
| 3160 | 22 | 26 | 43 | 47 | 0.000336 | 891.222 |
| 3161 | 22 | 26 | 47 | 44 | -0.000486 | 891.222 |
| 3162 | 22 | 26 | 44 | 48 | 0.000611 | 891.222 |
| 3163 | 23 | 24 | 25 | 26 | -0.094913 | 850.875 |
| 3164 | 23 | 24 | 28 | 29 | 0.004738 | 850.875 |
| 3165 | 23 | 24 | 29 | 30 | 0.006794 | 850.875 |
| 3166 | 23 | 24 | 30 | 31 | 0.00688 | 850.875 |
| 3167 | 23 | 25 | 31 | 33 | -0.021267 | 834.453 |
| 3168 | 23 | 25 | 33 | 35 | -0.006468 | 834.453 |
| 3169 | 23 | 25 | 35 | 37 | 0.013327 | 834.453 |
| 3170 | 23 | 25 | 32 | 34 | -0.013742 | 834.453 |
| 3171 | 23 | 26 | 37 | 40 | -0.006008 | 753.025 |
| 3172 | 23 | 26 | 40 | 43 | -0.00326 | 753.025 |
| 3173 | 23 | 26 | 43 | 38 | 0.006444 | 753.025 |
| 3174 | 23 | 26 | 38 | 41 | -0.004111 | 753.025 |
| 3175 | 23 | 26 | 41 | 44 | -0.003096 | 753.025 |
| 3176 | 23 | 26 | 44 | 39 | 0.00529 | 753.025 |
| 3177 | 23 | 26 | 39 | 42 | -0.003575 | 753.025 |
| 3178 | 23 | 27 | 42 | 46 | -0.005549 | 839.437 |
| 3179 | 23 | 27 | 46 | 43 | 0.003448 | 839.437 |
| 3180 | 23 | 27 | 43 | 47 | -0.004287 | 839.437 |
| 3181 | 23 | 27 | 47 | 44 | 0.002547 | 839.437 |
| 3182 | 23 | 27 | 44 | 48 | -0.0028 | 839.437 |
| 3183 | 24 | 25 | 26 | 27 | -0.416596 | 856.41 |
| 3184 | 24 | 25 | 27 | 28 | -0.155312 | 856.41 |
| 3185 | 24 | 25 | 28 | 29 | -0.086143 | 856.41 |
| 3186 | 24 | 25 | 29 | 30 | -0.042715 | 856.41 |
| 3187 | 24 | 25 | 30 | 31 | -0.030434 | 856.41 |
| 3188 | 24 | 25 | 31 | 32 | -0.017416 | 856.41 |
| 3189 | 24 | 26 | 32 | 34 | -0.048156 | 971.724 |
| 3190 | 24 | 26 | 34 | 36 | -0.027021 | 971.724 |
| 3191 | 24 | 26 | 36 | 38 | -0.007024 | 971.724 |
| 3192 | 24 | 26 | 38 | 33 | 0.054849 | 971.724 |

| Dati Geolettrici_Misura 8 27 Novembre 2025 | | | | | | |
|--|--------|--------|--------|--------|-----------|----------|
| Misura n. | Elec_A | Elec_B | Elec_M | Elec_N | V/I(ohm) | I(mA) |
| 3193 | 24 | 26 | 33 | 35 | -0.036442 | 971.724 |
| 3194 | 24 | 26 | 35 | 37 | -0.014436 | 971.724 |
| 3195 | 24 | 26 | 37 | 39 | -0.006949 | 971.724 |
| 3196 | 24 | 27 | 38 | 41 | -0.01281 | 1155.098 |
| 3197 | 24 | 27 | 41 | 44 | -0.007863 | 1155.098 |
| 3198 | 24 | 27 | 44 | 39 | 0.015376 | 1155.098 |
| 3199 | 24 | 27 | 39 | 42 | -0.010472 | 1155.098 |
| 3200 | 24 | 27 | 42 | 45 | -0.006564 | 1155.098 |
| 3201 | 24 | 27 | 45 | 40 | 0.012948 | 1155.098 |
| 3202 | 24 | 27 | 40 | 43 | -0.009069 | 1155.098 |
| 3203 | 24 | 28 | 43 | 47 | -0.008824 | 1110.425 |
| 3204 | 24 | 28 | 47 | 44 | 0.00544 | 1110.425 |
| 3205 | 24 | 28 | 44 | 48 | -0.006238 | 1110.425 |
| 3206 | 25 | 26 | 27 | 28 | -0.239749 | 944.828 |
| 3207 | 25 | 26 | 28 | 29 | -0.100028 | 944.828 |
| 3208 | 25 | 26 | 29 | 30 | -0.048399 | 944.828 |
| 3209 | 25 | 26 | 30 | 31 | -0.028134 | 944.828 |
| 3210 | 25 | 26 | 31 | 32 | -0.025779 | 944.828 |
| 3211 | 25 | 26 | 32 | 33 | -0.012543 | 944.828 |
| 3212 | 25 | 27 | 33 | 35 | -0.051058 | 1115.064 |
| 3213 | 25 | 27 | 35 | 37 | -0.035846 | 1115.064 |
| 3214 | 25 | 27 | 39 | 34 | 0.05568 | 1115.064 |
| 3215 | 25 | 27 | 34 | 36 | -0.055139 | 1115.064 |
| 3216 | 25 | 28 | 39 | 42 | -0.009159 | 1073.327 |
| 3217 | 25 | 28 | 42 | 45 | -0.008322 | 1073.327 |
| 3218 | 25 | 28 | 45 | 40 | 0.01645 | 1073.327 |
| 3219 | 25 | 28 | 40 | 43 | -0.01154 | 1073.327 |
| 3220 | 25 | 28 | 43 | 46 | -0.005733 | 1073.327 |
| 3221 | 25 | 28 | 46 | 41 | 0.012675 | 1073.327 |
| 3222 | 25 | 28 | 41 | 44 | -0.009801 | 1073.327 |
| 3223 | 25 | 29 | 44 | 48 | -0.008368 | 768.808 |
| 3224 | 26 | 27 | 28 | 29 | -0.276522 | 893.616 |
| 3225 | 26 | 27 | 29 | 30 | -0.094091 | 893.616 |
| 3226 | 26 | 27 | 30 | 31 | -0.051803 | 893.616 |
| 3227 | 26 | 27 | 31 | 32 | -0.034443 | 893.616 |
| 3228 | 26 | 27 | 32 | 33 | -0.021911 | 893.616 |
| 3229 | 26 | 27 | 33 | 34 | -0.01699 | 893.616 |
| 3230 | 26 | 28 | 34 | 36 | -0.048648 | 916.666 |
| 3231 | 26 | 28 | 36 | 38 | -0.011775 | 916.666 |
| 3232 | 26 | 28 | 38 | 40 | -0.009653 | 916.666 |
| 3233 | 26 | 28 | 40 | 35 | 0.041681 | 916.666 |
| 3234 | 26 | 28 | 35 | 37 | -0.019802 | 916.666 |
| 3235 | 26 | 28 | 37 | 39 | -0.017534 | 916.666 |
| 3236 | 26 | 28 | 39 | 41 | -0.008001 | 916.666 |
| 3237 | 26 | 29 | 40 | 43 | -0.015499 | 700.828 |
| 3238 | 26 | 29 | 43 | 46 | -0.007837 | 700.828 |
| 3239 | 26 | 29 | 46 | 41 | 0.016863 | 700.828 |
| 3240 | 26 | 29 | 41 | 44 | -0.012761 | 700.828 |
| 3241 | 26 | 29 | 47 | 42 | 0.008721 | 700.828 |
| 3242 | 26 | 29 | 42 | 45 | -0.011174 | 700.828 |
| 3243 | 27 | 28 | 29 | 30 | -0.23971 | 996.973 |
| 3244 | 27 | 28 | 30 | 31 | -0.096551 | 996.973 |
| 3245 | 27 | 28 | 31 | 32 | -0.05414 | 996.973 |
| 3246 | 27 | 28 | 32 | 33 | -0.031322 | 996.973 |
| 3247 | 27 | 28 | 33 | 34 | -0.022815 | 996.973 |
| 3248 | 27 | 28 | 34 | 35 | -0.015931 | 996.973 |

| Dati Geolettrici_Misura 8 27 Novembre 2025 | | | | | | |
|--|--------|--------|--------|--------|-----------|----------|
| Misura n. | Elec_A | Elec_B | Elec_M | Elec_N | V/I(ohm) | I(mA) |
| 3249 | 27 | 29 | 35 | 37 | -0.03775 | 761.863 |
| 3250 | 27 | 29 | 37 | 39 | -0.017415 | 761.863 |
| 3251 | 27 | 29 | 39 | 41 | -0.010959 | 761.863 |
| 3252 | 27 | 29 | 41 | 36 | 0.037894 | 761.863 |
| 3253 | 27 | 29 | 36 | 38 | -0.019189 | 761.863 |
| 3254 | 27 | 29 | 38 | 40 | -0.013927 | 761.863 |
| 3255 | 27 | 29 | 40 | 42 | -0.008307 | 761.863 |
| 3256 | 27 | 30 | 41 | 44 | -0.015334 | 1133.736 |
| 3257 | 27 | 30 | 42 | 45 | -0.013451 | 1133.736 |
| 3258 | 27 | 30 | 43 | 46 | -0.008111 | 1133.736 |
| 3259 | 28 | 29 | 30 | 31 | -0.302531 | 746.336 |
| 3260 | 28 | 29 | 31 | 32 | -0.125517 | 746.336 |
| 3261 | 28 | 29 | 32 | 33 | -0.061446 | 746.336 |
| 3262 | 28 | 29 | 33 | 34 | -0.040592 | 746.336 |
| 3263 | 28 | 29 | 34 | 35 | -0.026725 | 746.336 |
| 3264 | 28 | 29 | 35 | 36 | -0.017184 | 746.336 |
| 3265 | 28 | 30 | 36 | 38 | -0.027684 | 1080.361 |
| 3266 | 28 | 30 | 38 | 40 | -0.018854 | 1080.361 |
| 3267 | 28 | 30 | 40 | 42 | -0.010022 | 1080.361 |
| 3268 | 28 | 30 | 42 | 37 | 0.036579 | 1080.361 |
| 3269 | 28 | 30 | 37 | 39 | -0.017909 | 1080.361 |
| 3270 | 28 | 30 | 39 | 41 | -0.014457 | 1080.361 |
| 3271 | 28 | 30 | 41 | 43 | -0.008427 | 1080.361 |
| 3272 | 28 | 31 | 42 | 45 | -0.016025 | 974.174 |
| 3273 | 28 | 31 | 45 | 48 | -0.005128 | 974.174 |
| 3274 | 28 | 31 | 48 | 43 | 0.01423 | 974.174 |
| 3275 | 28 | 31 | 44 | 47 | -0.009484 | 974.174 |
| 3276 | 29 | 30 | 31 | 32 | -0.264798 | 769.456 |
| 3277 | 29 | 30 | 32 | 33 | -0.09842 | 769.456 |
| 3278 | 29 | 30 | 33 | 34 | -0.055469 | 769.456 |
| 3279 | 29 | 30 | 34 | 35 | -0.033695 | 769.456 |
| 3280 | 29 | 30 | 35 | 36 | -0.01874 | 769.456 |
| 3281 | 29 | 30 | 36 | 37 | -0.007678 | 769.456 |
| 3282 | 29 | 31 | 37 | 39 | -0.027074 | 728.72 |
| 3283 | 29 | 31 | 39 | 41 | -0.015454 | 728.72 |
| 3284 | 29 | 31 | 41 | 43 | -0.009715 | 728.72 |
| 3285 | 29 | 31 | 43 | 38 | 0.036893 | 728.72 |
| 3286 | 29 | 31 | 38 | 40 | -0.020608 | 728.72 |
| 3287 | 29 | 31 | 40 | 42 | -0.011273 | 728.72 |
| 3288 | 29 | 31 | 42 | 44 | -0.008248 | 728.72 |
| 3289 | 29 | 32 | 43 | 46 | -0.013194 | 784.134 |
| 3290 | 29 | 32 | 46 | 44 | 0.007586 | 784.134 |
| 3291 | 29 | 32 | 44 | 47 | -0.016953 | 784.134 |
| 3292 | 29 | 32 | 47 | 45 | 0.011746 | 784.134 |
| 3293 | 29 | 32 | 45 | 48 | -0.006617 | 784.134 |
| 3294 | 30 | 31 | 32 | 33 | -0.242878 | 1013.395 |
| 3295 | 30 | 31 | 33 | 34 | -0.100191 | 1013.395 |
| 3296 | 30 | 31 | 34 | 35 | -0.05271 | 1013.395 |
| 3297 | 30 | 31 | 35 | 36 | -0.033894 | 1013.395 |
| 3298 | 30 | 31 | 36 | 37 | -0.011679 | 1013.395 |
| 3299 | 30 | 31 | 37 | 38 | -0.007328 | 1013.395 |
| 3300 | 30 | 32 | 40 | 42 | -0.049619 | 1153.511 |
| 3301 | 30 | 32 | 42 | 44 | -0.010391 | 1153.511 |
| 3302 | 30 | 32 | 44 | 39 | 0.068495 | 1153.511 |
| 3303 | 30 | 32 | 39 | 41 | -0.040273 | 1153.511 |
| 3304 | 30 | 32 | 41 | 43 | -0.023953 | 1153.511 |

| Dati Geolettrici_Misura 8 27 Novembre 2025 | | | | | | |
|--|--------|--------|--------|--------|-----------|----------|
| Misura n. | Elec_A | Elec_B | Elec_M | Elec_N | V/I(ohm) | I(mA) |
| 3305 | 30 | 32 | 43 | 45 | -0.007876 | 1153.511 |
| 3306 | 30 | 33 | 44 | 47 | -0.029628 | 817.381 |
| 3307 | 30 | 33 | 47 | 45 | 0.024391 | 817.381 |
| 3308 | 30 | 33 | 45 | 48 | -0.130024 | 817.381 |
| 3309 | 31 | 32 | 33 | 34 | -0.272163 | 1012.164 |
| 3310 | 31 | 32 | 34 | 35 | -0.105288 | 1012.164 |
| 3311 | 31 | 32 | 35 | 36 | -0.047301 | 1012.164 |
| 3312 | 31 | 32 | 36 | 37 | -0.019841 | 1012.164 |
| 3313 | 31 | 32 | 37 | 38 | -0.017019 | 1012.164 |
| 3314 | 31 | 33 | 39 | 41 | -0.025106 | 983.535 |
| 3315 | 31 | 33 | 41 | 43 | -0.015509 | 983.535 |
| 3316 | 31 | 33 | 43 | 45 | -0.009505 | 983.535 |
| 3317 | 31 | 33 | 45 | 40 | 0.0341 | 983.535 |
| 3318 | 31 | 33 | 42 | 44 | -0.041878 | 983.535 |
| 3319 | 31 | 33 | 44 | 46 | -0.119204 | 983.535 |
| 3320 | 32 | 33 | 34 | 35 | -0.262684 | 783.117 |
| 3321 | 32 | 33 | 35 | 36 | -0.104358 | 783.117 |
| 3322 | 32 | 33 | 36 | 37 | -0.036344 | 783.117 |
| 3323 | 32 | 33 | 37 | 38 | -0.018575 | 783.117 |
| 3324 | 32 | 33 | 38 | 39 | -0.054771 | 783.117 |
| 3325 | 32 | 33 | 39 | 40 | -0.017027 | 783.117 |
| 3326 | 32 | 34 | 42 | 44 | -0.041402 | 1081.072 |
| 3327 | 32 | 34 | 44 | 46 | -0.009067 | 1081.072 |
| 3328 | 32 | 34 | 46 | 41 | 0.011993 | 1081.072 |
| 3329 | 32 | 34 | 43 | 45 | -0.010704 | 1081.072 |
| 3330 | 32 | 34 | 45 | 47 | -0.005787 | 1081.072 |
| 3331 | 33 | 34 | 35 | 36 | -0.283031 | 1035.522 |
| 3332 | 33 | 34 | 36 | 37 | -0.081255 | 1035.522 |
| 3333 | 33 | 34 | 37 | 38 | -0.037499 | 1035.522 |
| 3334 | 33 | 34 | 38 | 39 | -0.021212 | 1035.522 |
| 3335 | 33 | 34 | 39 | 40 | -0.012158 | 1035.522 |
| 3336 | 33 | 34 | 40 | 41 | -0.009405 | 1035.522 |
| 3337 | 33 | 35 | 41 | 43 | -0.013229 | 1123.944 |
| 3338 | 33 | 35 | 43 | 45 | -0.020212 | 1123.944 |
| 3339 | 33 | 35 | 45 | 47 | -0.006973 | 1123.944 |
| 3340 | 34 | 35 | 36 | 37 | -0.233569 | 1091.285 |
| 3341 | 34 | 35 | 37 | 38 | -0.077342 | 1091.285 |
| 3342 | 34 | 35 | 38 | 39 | -0.036081 | 1091.285 |
| 3343 | 34 | 35 | 39 | 40 | -0.019163 | 1091.285 |
| 3344 | 34 | 35 | 40 | 41 | -0.010723 | 1091.285 |
| 3345 | 34 | 35 | 41 | 42 | -0.027685 | 1091.285 |
| 3346 | 34 | 36 | 44 | 46 | -0.005381 | 1116.584 |
| 3347 | 34 | 36 | 46 | 48 | -0.165538 | 1116.584 |
| 3348 | 34 | 36 | 48 | 43 | 0.179818 | 1116.584 |
| 3349 | 34 | 36 | 43 | 45 | -0.016346 | 1116.584 |
| 3350 | 35 | 36 | 37 | 38 | -0.254797 | 1212.356 |
| 3351 | 35 | 36 | 38 | 39 | -0.085252 | 1212.356 |
| 3352 | 35 | 36 | 39 | 40 | -0.041265 | 1212.356 |
| 3353 | 35 | 36 | 40 | 41 | -0.018667 | 1212.356 |
| 3354 | 35 | 36 | 41 | 42 | -0.011839 | 1212.356 |
| 3355 | 35 | 36 | 42 | 43 | -0.012227 | 1212.356 |
| 3356 | 35 | 37 | 43 | 45 | -0.02719 | 998.126 |
| 3357 | 35 | 37 | 44 | 46 | -0.029016 | 998.126 |
| 3358 | 35 | 37 | 46 | 48 | -0.009209 | 998.126 |
| 3359 | 36 | 37 | 38 | 39 | -0.292934 | 1018.976 |
| 3360 | 36 | 37 | 39 | 40 | -0.102518 | 1018.976 |

| Dati Geolettrici_Misura 8 27 Novembre 2025 | | | | | | |
|--|--------|--------|--------|--------|-----------|----------|
| Misura n. | Elec_A | Elec_B | Elec_M | Elec_N | V/I(ohm) | I(mA) |
| 3361 | 36 | 37 | 40 | 41 | -0.051057 | 1018.976 |
| 3362 | 36 | 37 | 41 | 42 | -0.036497 | 1018.976 |
| 3363 | 36 | 37 | 42 | 43 | -0.010385 | 1018.976 |
| 3364 | 36 | 37 | 43 | 44 | -0.015237 | 1018.976 |
| 3365 | 36 | 38 | 44 | 46 | -0.041182 | 997.936 |
| 3366 | 36 | 38 | 46 | 48 | -0.011473 | 997.936 |
| 3367 | 36 | 38 | 48 | 45 | 0.032181 | 997.936 |
| 3368 | 36 | 38 | 45 | 47 | -0.029165 | 997.936 |
| 3369 | 37 | 38 | 39 | 40 | -0.275245 | 863.664 |
| 3370 | 37 | 38 | 40 | 41 | -0.091895 | 863.664 |
| 3371 | 37 | 38 | 41 | 42 | -0.040389 | 863.664 |
| 3372 | 37 | 38 | 42 | 43 | -0.02155 | 863.664 |
| 3373 | 37 | 38 | 43 | 44 | -0.023268 | 863.664 |
| 3374 | 37 | 38 | 44 | 45 | -0.011188 | 863.664 |
| 3375 | 37 | 39 | 45 | 47 | -0.044231 | 720.534 |
| 3376 | 37 | 39 | 47 | 46 | 0.028927 | 720.534 |
| 3377 | 37 | 39 | 46 | 48 | -0.022804 | 720.534 |
| 3378 | 38 | 39 | 40 | 41 | -0.293269 | 936.13 |
| 3379 | 38 | 39 | 41 | 42 | -0.12658 | 936.13 |
| 3380 | 38 | 39 | 42 | 43 | -0.040597 | 936.13 |
| 3381 | 38 | 39 | 43 | 44 | -0.017537 | 936.13 |
| 3382 | 38 | 39 | 44 | 45 | -0.014734 | 936.13 |
| 3383 | 38 | 39 | 45 | 46 | -0.006556 | 936.13 |
| 3384 | 38 | 40 | 46 | 48 | -0.023829 | 647.11 |
| 3385 | 39 | 40 | 41 | 42 | -0.139557 | 1136.047 |
| 3386 | 39 | 40 | 42 | 43 | -0.133531 | 1136.047 |
| 3387 | 39 | 40 | 43 | 44 | -0.039373 | 1136.047 |
| 3388 | 39 | 40 | 44 | 45 | -0.021343 | 1136.047 |
| 3389 | 39 | 40 | 45 | 46 | -0.009427 | 1136.047 |
| 3390 | 39 | 40 | 46 | 47 | -0.010314 | 1136.047 |
| 3391 | 40 | 41 | 42 | 43 | -0.245603 | 1160.034 |
| 3392 | 40 | 41 | 43 | 44 | -0.078627 | 1160.034 |
| 3393 | 40 | 41 | 44 | 45 | -0.034859 | 1160.034 |
| 3394 | 41 | 42 | 43 | 44 | -0.209505 | 272.904 |
| 3395 | 41 | 42 | 44 | 45 | -0.061664 | 272.904 |
| 3396 | 41 | 42 | 45 | 46 | -0.134022 | 272.904 |
| 3397 | 42 | 43 | 44 | 45 | -0.219752 | 1154.923 |
| 3398 | 42 | 43 | 45 | 46 | -0.129381 | 1154.923 |
| 3399 | 42 | 43 | 47 | 48 | -0.454284 | 1154.923 |
| 3400 | 43 | 44 | 45 | 46 | -0.221027 | 248.479 |
| 3401 | 43 | 44 | 46 | 47 | -0.056907 | 248.479 |
| 3402 | 44 | 45 | 46 | 47 | -0.198527 | 204.03 |
| 3403 | 44 | 45 | 47 | 48 | -0.070381 | 204.03 |
| 3404 | 45 | 46 | 47 | 48 | -0.177971 | 96.147 |
| 3405 | 1 | 2 | 3 | 4 | -0.174398 | 712.752 |
| 3406 | 1 | 2 | 4 | 5 | -0.063645 | 712.752 |
| 3407 | 1 | 2 | 5 | 6 | -0.039726 | 712.752 |
| 3408 | 1 | 2 | 6 | 7 | -0.39549 | 712.752 |
| 3409 | 1 | 2 | 8 | 9 | -0.007004 | 712.752 |
| 3410 | 1 | 3 | 9 | 11 | -0.023545 | 720.067 |
| 3411 | 1 | 3 | 10 | 12 | -0.022221 | 720.067 |
| 3412 | 1 | 3 | 12 | 14 | -0.011119 | 720.067 |
| 3413 | 1 | 4 | 18 | 21 | -0.006624 | 760.014 |
| 3414 | 1 | 4 | 21 | 16 | 0.01193 | 760.014 |
| 3415 | 1 | 4 | 16 | 19 | -0.064129 | 760.014 |
| 3416 | 1 | 4 | 22 | 17 | 0.011039 | 760.014 |

| Dati Geolettrici_Misura 8 27 Novembre 2025 | | | | | | |
|--|--------|--------|--------|--------|-----------|----------|
| Misura n. | Elec_A | Elec_B | Elec_M | Elec_N | V/I(ohm) | I(mA) |
| 3417 | 1 | 4 | 17 | 20 | -0.007858 | 760.014 |
| 3418 | 1 | 5 | 20 | 24 | -0.008743 | 712.376 |
| 3419 | 1 | 5 | 24 | 28 | 0.006047 | 712.376 |
| 3420 | 1 | 5 | 28 | 21 | -0.000362 | 712.376 |
| 3421 | 1 | 5 | 21 | 25 | -0.010556 | 712.376 |
| 3422 | 1 | 5 | 25 | 29 | 0.014728 | 712.376 |
| 3423 | 1 | 5 | 29 | 22 | -0.006397 | 712.376 |
| 3424 | 1 | 5 | 22 | 26 | -0.000845 | 712.376 |
| 3425 | 1 | 5 | 26 | 23 | -0.001019 | 712.376 |
| 3426 | 1 | 5 | 23 | 27 | 0.004157 | 712.376 |
| 3427 | 1 | 6 | 27 | 32 | 0.028244 | 589.513 |
| 3428 | 1 | 6 | 32 | 28 | -0.027181 | 589.513 |
| 3429 | 1 | 6 | 28 | 33 | 0.037247 | 589.513 |
| 3430 | 1 | 6 | 33 | 29 | -0.031421 | 589.513 |
| 3431 | 1 | 6 | 29 | 34 | 0.038778 | 589.513 |
| 3432 | 1 | 6 | 34 | 30 | -0.032425 | 589.513 |
| 3433 | 1 | 6 | 30 | 35 | 0.049772 | 589.513 |
| 3434 | 1 | 6 | 35 | 31 | -0.042121 | 589.513 |
| 3435 | 1 | 6 | 31 | 36 | 0.062324 | 589.513 |
| 3436 | 1 | 7 | 32 | 38 | 0.167157 | 258.98 |
| 3437 | 1 | 7 | 38 | 44 | -0.397234 | 258.98 |
| 3438 | 1 | 7 | 44 | 33 | 0.243508 | 258.98 |
| 3439 | 1 | 7 | 33 | 39 | 0.203441 | 258.98 |
| 3440 | 1 | 7 | 39 | 34 | -0.192487 | 258.98 |
| 3441 | 1 | 7 | 34 | 40 | 0.229484 | 258.98 |
| 3442 | 1 | 7 | 40 | 35 | -0.205839 | 258.98 |
| 3443 | 1 | 7 | 35 | 41 | 0.155207 | 258.98 |
| 3444 | 1 | 7 | 41 | 36 | -0.127015 | 258.98 |
| 3445 | 1 | 7 | 36 | 42 | 0.060743 | 258.98 |
| 3446 | 1 | 8 | 39 | 46 | -1.034974 | 75.551 |
| 3447 | 1 | 8 | 46 | 40 | 1.038672 | 75.551 |
| 3448 | 1 | 8 | 40 | 47 | -1.206334 | 75.551 |
| 3449 | 1 | 8 | 47 | 41 | 1.081091 | 75.551 |
| 3450 | 1 | 8 | 41 | 48 | -0.221976 | 75.551 |
| 3451 | 2 | 3 | 4 | 5 | -0.203452 | 996.232 |
| 3452 | 2 | 3 | 5 | 6 | -0.072179 | 996.232 |
| 3453 | 2 | 3 | 7 | 8 | -0.056534 | 996.232 |
| 3454 | 2 | 3 | 8 | 9 | -0.027533 | 996.232 |
| 3455 | 2 | 3 | 9 | 10 | -0.012123 | 996.232 |
| 3456 | 2 | 4 | 10 | 12 | -0.0365 | 1071.632 |
| 3457 | 2 | 4 | 14 | 16 | -0.006999 | 1071.632 |
| 3458 | 2 | 4 | 16 | 11 | 0.034667 | 1071.632 |
| 3459 | 2 | 4 | 11 | 13 | -0.026382 | 1071.632 |
| 3460 | 2 | 4 | 13 | 15 | -0.005688 | 1071.632 |
| 3461 | 2 | 4 | 15 | 17 | -0.005225 | 1071.632 |
| 3462 | 2 | 5 | 16 | 19 | -0.029185 | 949.174 |
| 3463 | 2 | 5 | 22 | 17 | 0.016467 | 949.174 |
| 3464 | 2 | 5 | 17 | 20 | -0.013469 | 949.174 |
| 3465 | 2 | 5 | 20 | 23 | -0.004753 | 949.174 |
| 3466 | 2 | 5 | 23 | 18 | 0.013005 | 949.174 |
| 3467 | 2 | 5 | 18 | 21 | -0.009172 | 949.174 |
| 3468 | 2 | 6 | 21 | 25 | -0.01543 | 1038.006 |
| 3469 | 2 | 6 | 25 | 29 | 0.021469 | 1038.006 |
| 3470 | 2 | 6 | 29 | 22 | -0.009259 | 1038.006 |
| 3471 | 2 | 6 | 22 | 26 | -0.000985 | 1038.006 |
| 3472 | 2 | 6 | 26 | 30 | 0.016064 | 1038.006 |

| Dati Geolettrici_Misura 8 27 Novembre 2025 | | | | | | |
|--|--------|--------|--------|--------|-----------|----------|
| Misura n. | Elec_A | Elec_B | Elec_M | Elec_N | V/I(ohm) | I(mA) |
| 3473 | 2 | 6 | 30 | 23 | -0.017771 | 1038.006 |
| 3474 | 2 | 6 | 23 | 27 | 0.005459 | 1038.006 |
| 3475 | 2 | 6 | 27 | 24 | -0.007935 | 1038.006 |
| 3476 | 2 | 6 | 24 | 28 | 0.0089 | 1038.006 |
| 3477 | 2 | 7 | 28 | 33 | 0.047872 | 411.5 |
| 3478 | 2 | 7 | 33 | 29 | -0.040153 | 411.5 |
| 3479 | 2 | 7 | 29 | 34 | 0.049734 | 411.5 |
| 3480 | 2 | 7 | 34 | 30 | -0.041527 | 411.5 |
| 3481 | 2 | 7 | 30 | 35 | 0.063494 | 411.5 |
| 3482 | 2 | 7 | 35 | 31 | -0.053658 | 411.5 |
| 3483 | 2 | 7 | 31 | 36 | 0.079786 | 411.5 |
| 3484 | 2 | 7 | 36 | 32 | -0.070092 | 411.5 |
| 3485 | 2 | 7 | 32 | 37 | 0.103605 | 411.5 |
| 3486 | 2 | 8 | 33 | 39 | 0.243638 | 427.245 |
| 3487 | 2 | 8 | 39 | 45 | -0.265576 | 427.245 |
| 3488 | 2 | 8 | 45 | 34 | 0.036149 | 427.245 |
| 3489 | 2 | 8 | 34 | 40 | 0.228057 | 427.245 |
| 3490 | 2 | 8 | 40 | 35 | -0.197552 | 427.245 |
| 3491 | 2 | 8 | 35 | 41 | 0.069374 | 427.245 |
| 3492 | 2 | 8 | 41 | 36 | -0.032316 | 427.245 |
| 3493 | 2 | 8 | 42 | 37 | 0.151251 | 427.245 |
| 3494 | 2 | 8 | 37 | 43 | -0.33167 | 427.245 |
| 3495 | 2 | 8 | 38 | 44 | -0.621123 | 40.95 |
| 3496 | 2 | 9 | 40 | 47 | -1.124022 | 168.987 |
| 3497 | 2 | 9 | 47 | 41 | 0.945347 | 168.987 |
| 3498 | 2 | 9 | 41 | 48 | -0.096591 | 168.987 |
| 3499 | 3 | 4 | 5 | 6 | -0.206152 | 1064.504 |
| 3500 | 3 | 4 | 6 | 7 | -0.110557 | 1064.504 |
| 3501 | 3 | 4 | 10 | 11 | -0.008149 | 1064.504 |
| 3502 | 3 | 5 | 11 | 13 | -0.042354 | 947.526 |
| 3503 | 3 | 5 | 15 | 17 | -0.007608 | 947.526 |
| 3504 | 3 | 5 | 17 | 12 | 0.034861 | 947.526 |
| 3505 | 3 | 5 | 12 | 14 | -0.023918 | 947.526 |
| 3506 | 3 | 5 | 14 | 16 | -0.017121 | 947.526 |
| 3507 | 3 | 5 | 16 | 18 | -0.061704 | 947.526 |
| 3508 | 3 | 6 | 17 | 20 | -0.014046 | 1037.164 |
| 3509 | 3 | 6 | 20 | 23 | -0.008373 | 1037.164 |
| 3510 | 3 | 6 | 21 | 24 | -0.006366 | 1037.164 |
| 3511 | 3 | 6 | 24 | 19 | 0.013187 | 1037.164 |
| 3512 | 3 | 6 | 19 | 22 | -0.009407 | 1037.164 |
| 3513 | 3 | 7 | 22 | 26 | -0.001029 | 1112.85 |
| 3514 | 3 | 7 | 26 | 30 | 0.019845 | 1112.85 |
| 3515 | 3 | 7 | 30 | 23 | -0.022113 | 1112.85 |
| 3516 | 3 | 7 | 23 | 27 | 0.006148 | 1112.85 |
| 3517 | 3 | 7 | 27 | 31 | 0.024661 | 1112.85 |
| 3518 | 3 | 7 | 31 | 24 | -0.033152 | 1112.85 |
| 3519 | 3 | 7 | 24 | 28 | 0.010382 | 1112.85 |
| 3520 | 3 | 7 | 28 | 25 | -0.018125 | 1112.85 |
| 3521 | 3 | 7 | 25 | 29 | 0.025032 | 1112.85 |
| 3522 | 3 | 8 | 29 | 34 | 0.063744 | 298.614 |
| 3523 | 3 | 8 | 34 | 30 | -0.053649 | 298.614 |
| 3524 | 3 | 8 | 30 | 35 | 0.081715 | 298.614 |
| 3525 | 3 | 8 | 35 | 31 | -0.069585 | 298.614 |
| 3526 | 3 | 8 | 31 | 36 | 0.103873 | 298.614 |
| 3527 | 3 | 8 | 36 | 32 | -0.091553 | 298.614 |
| 3528 | 3 | 8 | 32 | 37 | 0.134722 | 298.614 |

| Dati Geolettrici_Misura 8 27 Novembre 2025 | | | | | | |
|--|--------|--------|--------|--------|-----------|----------|
| Misura n. | Elec_A | Elec_B | Elec_M | Elec_N | V/I(ohm) | I(mA) |
| 3529 | 3 | 8 | 37 | 33 | -0.119061 | 298.614 |
| 3530 | 3 | 8 | 33 | 38 | 0.179358 | 298.614 |
| 3531 | 3 | 9 | 34 | 40 | 0.127295 | 188.747 |
| 3532 | 3 | 9 | 40 | 46 | -0.930516 | 188.747 |
| 3533 | 3 | 9 | 46 | 35 | 0.840587 | 188.747 |
| 3534 | 3 | 9 | 41 | 36 | 0.138411 | 188.747 |
| 3535 | 3 | 9 | 36 | 42 | -0.312313 | 188.747 |
| 3536 | 3 | 9 | 42 | 37 | 0.364634 | 188.747 |
| 3537 | 3 | 9 | 37 | 43 | -0.546669 | 188.747 |
| 3538 | 3 | 9 | 43 | 38 | 0.605144 | 188.747 |
| 3539 | 3 | 9 | 38 | 44 | -0.810829 | 188.747 |
| 3540 | 3 | 9 | 39 | 45 | -0.253815 | 73.179 |
| 3541 | 4 | 5 | 6 | 7 | -0.212606 | 1012.528 |
| 3542 | 4 | 5 | 7 | 8 | -0.069915 | 1012.528 |
| 3543 | 4 | 5 | 8 | 9 | -0.035481 | 1012.528 |
| 3544 | 4 | 5 | 9 | 10 | -0.021537 | 1012.528 |
| 3545 | 4 | 5 | 10 | 11 | -0.014803 | 1012.528 |
| 3546 | 4 | 5 | 11 | 12 | -0.011183 | 1012.528 |
| 3547 | 4 | 6 | 12 | 14 | -0.028911 | 1114.211 |
| 3548 | 4 | 6 | 14 | 16 | -0.017 | 1114.211 |
| 3549 | 4 | 6 | 16 | 18 | -0.009712 | 1114.211 |
| 3550 | 4 | 6 | 18 | 13 | 0.031419 | 1114.211 |
| 3551 | 4 | 6 | 13 | 15 | -0.015986 | 1114.211 |
| 3552 | 4 | 6 | 15 | 17 | -0.010564 | 1114.211 |
| 3553 | 4 | 6 | 17 | 19 | -0.008076 | 1114.211 |
| 3554 | 4 | 7 | 18 | 21 | -0.015133 | 1202.777 |
| 3555 | 4 | 7 | 21 | 24 | -0.008124 | 1202.777 |
| 3556 | 4 | 7 | 24 | 19 | 0.017743 | 1202.777 |
| 3557 | 4 | 7 | 19 | 22 | -0.012893 | 1202.777 |
| 3558 | 4 | 7 | 22 | 25 | -0.010455 | 1202.777 |
| 3559 | 4 | 7 | 25 | 20 | 0.018532 | 1202.777 |
| 3560 | 4 | 7 | 20 | 23 | -0.010871 | 1202.777 |
| 3561 | 4 | 8 | 23 | 27 | 0.006884 | 1127.26 |
| 3562 | 4 | 8 | 27 | 31 | 0.031827 | 1127.26 |
| 3563 | 4 | 8 | 31 | 24 | -0.041823 | 1127.26 |
| 3564 | 4 | 8 | 24 | 28 | 0.013581 | 1127.26 |
| 3565 | 4 | 8 | 28 | 32 | 0.03906 | 1127.26 |
| 3566 | 4 | 8 | 32 | 25 | -0.059056 | 1127.26 |
| 3567 | 4 | 8 | 25 | 29 | 0.028602 | 1127.26 |
| 3568 | 4 | 8 | 29 | 26 | -0.016075 | 1127.26 |
| 3569 | 4 | 8 | 26 | 30 | 0.024932 | 1127.26 |
| 3570 | 4 | 9 | 30 | 35 | 0.1013 | 194.183 |
| 3571 | 4 | 9 | 35 | 31 | -0.086548 | 194.183 |
| 3572 | 4 | 9 | 31 | 36 | 0.129168 | 194.183 |
| 3573 | 4 | 9 | 36 | 32 | -0.113971 | 194.183 |
| 3574 | 4 | 9 | 32 | 37 | 0.161555 | 194.183 |
| 3575 | 4 | 9 | 37 | 33 | -0.142741 | 194.183 |
| 3576 | 4 | 9 | 33 | 38 | 0.19387 | 194.183 |
| 3577 | 4 | 9 | 38 | 34 | -0.175702 | 194.183 |
| 3578 | 4 | 9 | 34 | 39 | 0.181671 | 194.183 |
| 3579 | 4 | 10 | 35 | 41 | -0.298831 | 126.172 |
| 3580 | 4 | 10 | 41 | 47 | -0.513636 | 126.172 |
| 3581 | 4 | 10 | 47 | 36 | 0.866063 | 126.172 |
| 3582 | 4 | 10 | 36 | 42 | -0.542199 | 126.172 |
| 3583 | 4 | 10 | 42 | 37 | 0.581953 | 126.172 |
| 3584 | 4 | 10 | 37 | 43 | -0.751816 | 126.172 |

| Dati Geolettrici_Misura 8 27 Novembre 2025 | | | | | | |
|--|--------|--------|--------|--------|-----------|----------|
| Misura n. | Elec_A | Elec_B | Elec_M | Elec_N | V/I(ohm) | I(mA) |
| 3585 | 4 | 10 | 43 | 38 | 0.754668 | 126.172 |
| 3586 | 4 | 10 | 38 | 44 | -0.914371 | 126.172 |
| 3587 | 4 | 10 | 44 | 39 | 0.847416 | 126.172 |
| 3588 | 4 | 10 | 39 | 45 | -0.130904 | 126.172 |
| 3589 | 4 | 10 | 40 | 46 | -0.735413 | 39.683 |
| 3590 | 5 | 6 | 7 | 8 | -0.210135 | 985.563 |
| 3591 | 5 | 6 | 8 | 9 | -0.074665 | 985.563 |
| 3592 | 5 | 6 | 9 | 10 | -0.039064 | 985.563 |
| 3593 | 5 | 6 | 10 | 11 | -0.022483 | 985.563 |
| 3594 | 5 | 6 | 11 | 12 | -0.018921 | 985.563 |
| 3595 | 5 | 6 | 12 | 13 | -0.013991 | 985.563 |
| 3596 | 5 | 7 | 13 | 15 | -0.009511 | 1048.705 |
| 3597 | 5 | 7 | 15 | 17 | -0.030477 | 1048.705 |
| 3598 | 5 | 7 | 17 | 19 | -0.010213 | 1048.705 |
| 3599 | 5 | 7 | 19 | 14 | 0.036154 | 1048.705 |
| 3600 | 5 | 7 | 14 | 16 | -0.004255 | 1048.705 |
| 3601 | 5 | 7 | 16 | 18 | -0.027735 | 1048.705 |
| 3602 | 5 | 7 | 18 | 20 | -0.007743 | 1048.705 |
| 3603 | 5 | 8 | 19 | 22 | -0.015472 | 999.41 |
| 3604 | 5 | 8 | 22 | 25 | -0.008946 | 999.41 |
| 3605 | 5 | 8 | 25 | 20 | 0.018622 | 999.41 |
| 3606 | 5 | 8 | 20 | 23 | -0.012871 | 999.41 |
| 3607 | 5 | 8 | 23 | 26 | 0.002553 | 999.41 |
| 3608 | 5 | 8 | 26 | 21 | 0.004541 | 999.41 |
| 3609 | 5 | 8 | 21 | 24 | -0.009619 | 999.41 |
| 3610 | 5 | 9 | 24 | 28 | 0.0168 | 901.372 |
| 3611 | 5 | 9 | 28 | 32 | 0.047355 | 901.372 |
| 3612 | 5 | 9 | 32 | 25 | -0.067765 | 901.372 |
| 3613 | 5 | 9 | 25 | 29 | 0.030469 | 901.372 |
| 3614 | 5 | 9 | 29 | 33 | 0.053635 | 901.372 |
| 3615 | 5 | 9 | 33 | 26 | -0.073072 | 901.372 |
| 3616 | 5 | 9 | 26 | 30 | 0.030405 | 901.372 |
| 3617 | 5 | 9 | 30 | 27 | -0.026715 | 901.372 |
| 3618 | 5 | 9 | 27 | 31 | 0.039702 | 901.372 |
| 3619 | 5 | 10 | 31 | 36 | 0.153675 | 989.555 |
| 3620 | 5 | 10 | 36 | 32 | -0.135229 | 989.555 |
| 3621 | 5 | 10 | 32 | 37 | 0.167272 | 989.555 |
| 3622 | 5 | 10 | 37 | 33 | -0.145226 | 989.555 |
| 3623 | 5 | 10 | 33 | 38 | 0.139391 | 989.555 |
| 3624 | 5 | 10 | 38 | 34 | -0.116527 | 989.555 |
| 3625 | 5 | 10 | 34 | 39 | 0.040732 | 989.555 |
| 3626 | 5 | 10 | 35 | 40 | -0.151856 | 989.555 |
| 3627 | 5 | 11 | 36 | 42 | -0.760189 | 328.081 |
| 3628 | 5 | 11 | 42 | 48 | 0.483758 | 328.081 |
| 3629 | 5 | 11 | 48 | 37 | 0.273502 | 328.081 |
| 3630 | 5 | 11 | 37 | 43 | -0.880599 | 328.081 |
| 3631 | 5 | 11 | 43 | 38 | 0.787695 | 328.081 |
| 3632 | 5 | 11 | 38 | 44 | -0.855514 | 328.081 |
| 3633 | 5 | 11 | 44 | 39 | 0.714456 | 328.081 |
| 3634 | 5 | 11 | 40 | 46 | -0.472222 | 328.081 |
| 3635 | 5 | 11 | 41 | 47 | -0.27187 | 65.243 |
| 3636 | 6 | 7 | 8 | 9 | -0.216762 | 1160.222 |
| 3637 | 6 | 7 | 9 | 10 | -0.098257 | 1160.222 |
| 3638 | 6 | 7 | 10 | 11 | -0.039252 | 1160.222 |
| 3639 | 6 | 7 | 11 | 12 | -0.025467 | 1160.222 |
| 3640 | 6 | 7 | 12 | 13 | -0.012867 | 1160.222 |

| Dati Geolettrici_Misura 8 27 Novembre 2025 | | | | | | |
|--|--------|--------|--------|--------|-----------|----------|
| Misura n. | Elec_A | Elec_B | Elec_M | Elec_N | V/I(ohm) | I(mA) |
| 3641 | 6 | 7 | 13 | 14 | -0.014122 | 1160.222 |
| 3642 | 6 | 8 | 14 | 16 | -0.008281 | 1091.537 |
| 3643 | 6 | 8 | 16 | 18 | -0.023729 | 1091.537 |
| 3644 | 6 | 8 | 18 | 20 | -0.009488 | 1091.537 |
| 3645 | 6 | 8 | 20 | 15 | 0.033438 | 1091.537 |
| 3646 | 6 | 8 | 15 | 17 | -0.003983 | 1091.537 |
| 3647 | 6 | 8 | 17 | 19 | -0.02516 | 1091.537 |
| 3648 | 6 | 8 | 19 | 21 | -0.008448 | 1091.537 |
| 3649 | 6 | 9 | 20 | 23 | -0.015549 | 1157.159 |
| 3650 | 6 | 9 | 23 | 26 | 0.003112 | 1157.159 |
| 3651 | 6 | 9 | 26 | 21 | 0.005458 | 1157.159 |
| 3652 | 6 | 9 | 21 | 24 | -0.011494 | 1157.159 |
| 3653 | 6 | 9 | 24 | 27 | 0.008662 | 1157.159 |
| 3654 | 6 | 9 | 27 | 22 | -0.001825 | 1157.159 |
| 3655 | 6 | 9 | 22 | 25 | -0.008349 | 1157.159 |
| 3656 | 6 | 10 | 25 | 29 | 0.032604 | 497.521 |
| 3657 | 6 | 10 | 29 | 33 | 0.064011 | 497.521 |
| 3658 | 6 | 10 | 33 | 26 | -0.087572 | 497.521 |
| 3659 | 6 | 10 | 26 | 30 | 0.036943 | 497.521 |
| 3660 | 6 | 10 | 30 | 34 | 0.071899 | 497.521 |
| 3661 | 6 | 10 | 34 | 27 | -0.104824 | 497.521 |
| 3662 | 6 | 10 | 27 | 31 | 0.048505 | 497.521 |
| 3663 | 6 | 10 | 31 | 28 | -0.040674 | 497.521 |
| 3664 | 6 | 10 | 28 | 32 | 0.056799 | 497.521 |
| 3665 | 6 | 11 | 32 | 37 | 0.144293 | 952.673 |
| 3666 | 6 | 11 | 37 | 33 | -0.117062 | 952.673 |
| 3667 | 6 | 11 | 33 | 38 | 0.011546 | 952.673 |
| 3668 | 6 | 11 | 34 | 39 | -0.172972 | 952.673 |
| 3669 | 6 | 11 | 39 | 35 | 0.222142 | 952.673 |
| 3670 | 6 | 11 | 35 | 40 | -0.400859 | 952.673 |
| 3671 | 6 | 11 | 40 | 36 | 0.450963 | 952.673 |
| 3672 | 6 | 11 | 36 | 41 | -0.601999 | 952.673 |
| 3673 | 6 | 12 | 37 | 43 | -0.841682 | 349.01 |
| 3674 | 6 | 12 | 43 | 38 | 0.668336 | 349.01 |
| 3675 | 6 | 12 | 38 | 44 | -0.655674 | 349.01 |
| 3676 | 6 | 12 | 44 | 39 | 0.482111 | 349.01 |
| 3677 | 6 | 12 | 40 | 46 | -0.209514 | 349.01 |
| 3678 | 6 | 12 | 42 | 48 | 0.622079 | 36.778 |
| 3679 | 7 | 8 | 9 | 10 | -0.190551 | 1175.707 |
| 3680 | 7 | 8 | 10 | 11 | -0.113752 | 1175.707 |
| 3681 | 7 | 8 | 11 | 12 | -0.042099 | 1175.707 |
| 3682 | 7 | 8 | 12 | 13 | -0.032793 | 1175.707 |
| 3683 | 7 | 8 | 13 | 14 | -0.010265 | 1175.707 |
| 3684 | 7 | 8 | 14 | 15 | -0.02086 | 1175.707 |
| 3685 | 7 | 9 | 19 | 21 | -0.010273 | 1248.521 |
| 3686 | 7 | 9 | 21 | 16 | 0.02172 | 1248.521 |
| 3687 | 7 | 9 | 16 | 18 | -0.005005 | 1248.521 |
| 3688 | 7 | 9 | 18 | 20 | -0.011631 | 1248.521 |
| 3689 | 7 | 9 | 20 | 22 | -0.00848 | 1248.521 |
| 3690 | 7 | 10 | 21 | 24 | -0.01413 | 1147.002 |
| 3691 | 7 | 10 | 24 | 27 | 0.009261 | 1147.002 |
| 3692 | 7 | 10 | 27 | 22 | -0.001308 | 1147.002 |
| 3693 | 7 | 10 | 22 | 25 | -0.009105 | 1147.002 |
| 3694 | 7 | 10 | 25 | 28 | 0.017178 | 1147.002 |
| 3695 | 7 | 10 | 28 | 23 | -0.012844 | 1147.002 |
| 3696 | 7 | 10 | 23 | 26 | 0.002999 | 1147.002 |

| Dati Geolettrici_Misura 8 27 Novembre 2025 | | | | | | |
|--|--------|--------|--------|--------|-----------|----------|
| Misura n. | Elec_A | Elec_B | Elec_M | Elec_N | V/I(ohm) | I(mA) |
| 3697 | 7 | 11 | 26 | 30 | 0.046635 | 343.879 |
| 3698 | 7 | 11 | 30 | 34 | 0.093628 | 343.879 |
| 3699 | 7 | 11 | 34 | 27 | -0.135118 | 343.879 |
| 3700 | 7 | 11 | 27 | 31 | 0.061443 | 343.879 |
| 3701 | 7 | 11 | 31 | 35 | 0.116172 | 343.879 |
| 3702 | 7 | 11 | 35 | 28 | -0.167341 | 343.879 |
| 3703 | 7 | 11 | 28 | 32 | 0.072018 | 343.879 |
| 3704 | 7 | 11 | 32 | 29 | -0.057977 | 343.879 |
| 3705 | 7 | 11 | 29 | 33 | 0.082103 | 343.879 |
| 3706 | 7 | 12 | 33 | 38 | -0.195903 | 87.703 |
| 3707 | 7 | 12 | 38 | 34 | 0.233156 | 87.703 |
| 3708 | 7 | 12 | 34 | 39 | -0.418265 | 87.703 |
| 3709 | 7 | 12 | 39 | 35 | 0.461731 | 87.703 |
| 3710 | 7 | 12 | 35 | 40 | -0.631267 | 87.703 |
| 3711 | 7 | 12 | 40 | 36 | 0.644706 | 87.703 |
| 3712 | 7 | 12 | 36 | 41 | -0.728786 | 87.703 |
| 3713 | 7 | 12 | 41 | 37 | 0.627264 | 87.703 |
| 3714 | 7 | 12 | 37 | 42 | -0.70903 | 87.703 |
| 3715 | 7 | 13 | 38 | 44 | -0.393506 | 700.147 |
| 3716 | 7 | 13 | 44 | 39 | 0.21995 | 700.147 |
| 3717 | 7 | 13 | 45 | 40 | -0.644323 | 700.147 |
| 3718 | 7 | 13 | 40 | 46 | 0.023826 | 700.147 |
| 3719 | 7 | 13 | 46 | 41 | -0.076269 | 700.147 |
| 3720 | 7 | 13 | 41 | 47 | 0.104848 | 700.147 |
| 3721 | 7 | 13 | 47 | 42 | -0.189913 | 700.147 |
| 3722 | 7 | 13 | 42 | 48 | 0.649122 | 700.147 |
| 3723 | 8 | 9 | 10 | 11 | -0.237393 | 1164.737 |
| 3724 | 8 | 9 | 11 | 12 | -0.091851 | 1164.737 |
| 3725 | 8 | 9 | 12 | 13 | -0.052333 | 1164.737 |
| 3726 | 8 | 9 | 14 | 15 | -0.011123 | 1164.737 |
| 3727 | 8 | 10 | 16 | 18 | -0.020114 | 1079.441 |
| 3728 | 8 | 10 | 18 | 20 | -0.015389 | 1079.441 |
| 3729 | 8 | 10 | 20 | 22 | -0.01094 | 1079.441 |
| 3730 | 8 | 10 | 19 | 21 | -0.013179 | 1079.441 |
| 3731 | 8 | 10 | 21 | 23 | -0.008251 | 1079.441 |
| 3732 | 8 | 11 | 22 | 25 | -0.010243 | 945.841 |
| 3733 | 8 | 11 | 25 | 28 | 0.02035 | 945.841 |
| 3734 | 8 | 11 | 28 | 23 | -0.01602 | 945.841 |
| 3735 | 8 | 11 | 23 | 26 | 0.003101 | 945.841 |
| 3736 | 8 | 11 | 26 | 29 | 0.024095 | 945.841 |
| 3737 | 8 | 11 | 29 | 24 | -0.031081 | 945.841 |
| 3738 | 8 | 11 | 24 | 27 | 0.010992 | 945.841 |
| 3739 | 8 | 12 | 27 | 31 | 0.077044 | 217.436 |
| 3740 | 8 | 12 | 31 | 35 | 0.122836 | 217.436 |
| 3741 | 8 | 12 | 35 | 28 | -0.186839 | 217.436 |
| 3742 | 8 | 12 | 28 | 32 | 0.090194 | 217.436 |
| 3743 | 8 | 12 | 32 | 36 | 0.09918 | 217.436 |
| 3744 | 8 | 12 | 36 | 29 | -0.172499 | 217.436 |
| 3745 | 8 | 12 | 29 | 33 | 0.102527 | 217.436 |
| 3746 | 8 | 12 | 33 | 30 | -0.080717 | 217.436 |
| 3747 | 8 | 12 | 30 | 34 | 0.112991 | 217.436 |
| 3748 | 8 | 13 | 34 | 39 | -0.646974 | 75.586 |
| 3749 | 8 | 13 | 39 | 35 | 0.641361 | 75.586 |
| 3750 | 8 | 13 | 35 | 40 | -0.758308 | 75.586 |
| 3751 | 8 | 13 | 40 | 36 | 0.686233 | 75.586 |
| 3752 | 8 | 13 | 36 | 41 | -0.666254 | 75.586 |

| Dati Geolettrici_Misura 8 27 Novembre 2025 | | | | | | |
|--|--------|--------|--------|--------|-----------|----------|
| Misura n. | Elec_A | Elec_B | Elec_M | Elec_N | V/I(ohm) | I(mA) |
| 3753 | 8 | 13 | 41 | 37 | 0.492015 | 75.586 |
| 3754 | 8 | 13 | 37 | 42 | -0.513847 | 75.586 |
| 3755 | 8 | 13 | 42 | 38 | 0.297107 | 75.586 |
| 3756 | 8 | 13 | 38 | 43 | -0.254828 | 75.586 |
| 3757 | 8 | 14 | 39 | 45 | 0.691801 | 107.009 |
| 3758 | 8 | 14 | 45 | 40 | -0.802006 | 107.009 |
| 3759 | 8 | 14 | 40 | 46 | 0.181528 | 107.009 |
| 3760 | 8 | 14 | 46 | 41 | -0.15538 | 107.009 |
| 3761 | 8 | 14 | 41 | 47 | 0.181013 | 107.009 |
| 3762 | 8 | 14 | 47 | 42 | -0.198133 | 107.009 |
| 3763 | 8 | 14 | 42 | 48 | 0.644349 | 107.009 |
| 3764 | 9 | 10 | 11 | 12 | -0.275377 | 1141.612 |
| 3765 | 9 | 10 | 12 | 13 | -0.115318 | 1141.612 |
| 3766 | 9 | 10 | 13 | 14 | -0.034697 | 1141.612 |
| 3767 | 9 | 10 | 14 | 15 | -0.018799 | 1141.612 |
| 3768 | 9 | 10 | 15 | 16 | -0.010847 | 1141.612 |
| 3769 | 9 | 11 | 17 | 19 | -0.012011 | 983.001 |
| 3770 | 9 | 11 | 19 | 21 | -0.017005 | 983.001 |
| 3771 | 9 | 11 | 21 | 23 | -0.01037 | 983.001 |
| 3772 | 9 | 11 | 23 | 18 | 0.038995 | 983.001 |
| 3773 | 9 | 11 | 18 | 20 | -0.020728 | 983.001 |
| 3774 | 9 | 11 | 20 | 22 | -0.013976 | 983.001 |
| 3775 | 9 | 11 | 22 | 24 | -0.006999 | 983.001 |
| 3776 | 9 | 12 | 23 | 26 | 0.003037 | 1005.588 |
| 3777 | 9 | 12 | 26 | 29 | 0.030654 | 1005.588 |
| 3778 | 9 | 12 | 29 | 24 | -0.037339 | 1005.588 |
| 3779 | 9 | 12 | 24 | 27 | 0.012467 | 1005.588 |
| 3780 | 9 | 12 | 27 | 30 | 0.043065 | 1005.588 |
| 3781 | 9 | 12 | 30 | 25 | -0.05768 | 1005.588 |
| 3782 | 9 | 12 | 25 | 28 | 0.025772 | 1005.588 |
| 3783 | 9 | 13 | 28 | 32 | 0.102467 | 570.516 |
| 3784 | 9 | 13 | 36 | 29 | -0.028845 | 570.516 |
| 3785 | 9 | 13 | 29 | 33 | 0.110089 | 570.516 |
| 3786 | 9 | 13 | 33 | 37 | -0.263689 | 570.516 |
| 3787 | 9 | 13 | 37 | 30 | 0.179111 | 570.516 |
| 3788 | 9 | 13 | 30 | 34 | 0.101704 | 570.516 |
| 3789 | 9 | 13 | 34 | 31 | -0.072496 | 570.516 |
| 3790 | 9 | 13 | 31 | 35 | 0.057535 | 570.516 |
| 3791 | 9 | 14 | 35 | 40 | -0.736522 | 309.748 |
| 3792 | 9 | 14 | 40 | 36 | 0.588326 | 309.748 |
| 3793 | 9 | 14 | 36 | 41 | -0.5108 | 309.748 |
| 3794 | 9 | 14 | 41 | 37 | 0.309451 | 309.748 |
| 3795 | 9 | 14 | 37 | 42 | -0.304137 | 309.748 |
| 3796 | 9 | 14 | 42 | 38 | 0.093532 | 309.748 |
| 3797 | 9 | 14 | 43 | 39 | -0.086019 | 309.748 |
| 3798 | 9 | 14 | 39 | 44 | 0.126761 | 309.748 |
| 3799 | 9 | 15 | 40 | 46 | 0.242097 | 103.814 |
| 3800 | 9 | 15 | 46 | 41 | -0.160263 | 103.814 |
| 3801 | 9 | 15 | 41 | 47 | 0.181352 | 103.814 |
| 3802 | 9 | 15 | 47 | 42 | -0.17098 | 103.814 |
| 3803 | 9 | 15 | 42 | 48 | 0.608879 | 103.814 |
| 3804 | 10 | 11 | 12 | 13 | -0.301916 | 933.166 |
| 3805 | 10 | 11 | 13 | 14 | -0.074013 | 933.166 |
| 3806 | 10 | 11 | 14 | 15 | -0.035909 | 933.166 |
| 3807 | 10 | 11 | 15 | 16 | -0.020758 | 933.166 |
| 3808 | 10 | 11 | 16 | 17 | -0.039528 | 933.166 |

| Dati Geolettrici_Misura 8 27 Novembre 2025 | | | | | | |
|--|--------|--------|--------|--------|-----------|----------|
| Misura n. | Elec_A | Elec_B | Elec_M | Elec_N | V/I(ohm) | I(mA) |
| 3809 | 10 | 12 | 18 | 20 | -0.027447 | 950.755 |
| 3810 | 10 | 12 | 20 | 22 | -0.017114 | 950.755 |
| 3811 | 10 | 12 | 22 | 24 | -0.007557 | 950.755 |
| 3812 | 10 | 12 | 24 | 19 | 0.036512 | 950.755 |
| 3813 | 10 | 12 | 19 | 21 | -0.020292 | 950.755 |
| 3814 | 10 | 12 | 21 | 23 | -0.013686 | 950.755 |
| 3815 | 10 | 12 | 23 | 25 | -0.003759 | 950.755 |
| 3816 | 10 | 13 | 24 | 27 | 0.013414 | 1112.545 |
| 3817 | 10 | 13 | 27 | 30 | 0.049038 | 1112.545 |
| 3818 | 10 | 13 | 30 | 25 | -0.06621 | 1112.545 |
| 3819 | 10 | 13 | 25 | 28 | 0.029495 | 1112.545 |
| 3820 | 10 | 13 | 28 | 31 | 0.060777 | 1112.545 |
| 3821 | 10 | 13 | 31 | 26 | -0.080447 | 1112.545 |
| 3822 | 10 | 13 | 26 | 29 | 0.035351 | 1112.545 |
| 3823 | 10 | 14 | 29 | 33 | 0.127259 | 264.725 |
| 3824 | 10 | 14 | 33 | 37 | -0.483319 | 264.725 |
| 3825 | 10 | 14 | 37 | 30 | 0.394632 | 264.725 |
| 3826 | 10 | 14 | 30 | 34 | 0.059311 | 264.725 |
| 3827 | 10 | 14 | 34 | 38 | -0.616286 | 264.725 |
| 3828 | 10 | 14 | 38 | 31 | 0.598444 | 264.725 |
| 3829 | 10 | 14 | 35 | 32 | 0.116058 | 264.725 |
| 3830 | 10 | 14 | 32 | 36 | -0.275692 | 264.725 |
| 3831 | 10 | 15 | 36 | 41 | -0.295381 | 287.174 |
| 3832 | 10 | 15 | 41 | 37 | 0.106156 | 287.174 |
| 3833 | 10 | 15 | 42 | 38 | -0.056658 | 287.174 |
| 3834 | 10 | 15 | 38 | 43 | 0.087947 | 287.174 |
| 3835 | 10 | 15 | 43 | 39 | -0.146695 | 287.174 |
| 3836 | 10 | 15 | 39 | 44 | 0.178649 | 287.174 |
| 3837 | 10 | 15 | 44 | 40 | -0.155846 | 287.174 |
| 3838 | 10 | 15 | 40 | 45 | 0.682874 | 287.174 |
| 3839 | 10 | 16 | 41 | 47 | 0.149299 | 125.898 |
| 3840 | 10 | 16 | 47 | 42 | -0.134475 | 125.898 |
| 3841 | 10 | 16 | 42 | 48 | 0.573015 | 125.898 |
| 3842 | 11 | 12 | 13 | 14 | -0.228527 | 838.896 |
| 3843 | 11 | 12 | 14 | 15 | -0.078007 | 838.896 |
| 3844 | 11 | 12 | 15 | 16 | -0.037144 | 838.896 |
| 3845 | 11 | 12 | 16 | 17 | -0.021697 | 838.896 |
| 3846 | 11 | 12 | 17 | 18 | -0.014557 | 838.896 |
| 3847 | 11 | 12 | 18 | 19 | -0.009072 | 838.896 |
| 3848 | 11 | 13 | 19 | 21 | -0.026319 | 989.321 |
| 3849 | 11 | 13 | 21 | 23 | -0.011837 | 989.321 |
| 3850 | 11 | 13 | 23 | 25 | -0.006451 | 989.321 |
| 3851 | 11 | 13 | 25 | 20 | 0.030346 | 989.321 |
| 3852 | 11 | 13 | 20 | 22 | -0.018941 | 989.321 |
| 3853 | 11 | 13 | 22 | 24 | -0.007146 | 989.321 |
| 3854 | 11 | 13 | 24 | 26 | 0.002956 | 989.321 |
| 3855 | 11 | 14 | 25 | 28 | 0.050897 | 321.145 |
| 3856 | 11 | 14 | 28 | 31 | 0.092311 | 321.145 |
| 3857 | 11 | 14 | 31 | 26 | -0.126879 | 321.145 |
| 3858 | 11 | 14 | 26 | 29 | 0.060076 | 321.145 |
| 3859 | 11 | 14 | 29 | 32 | 0.092217 | 321.145 |
| 3860 | 11 | 14 | 32 | 27 | -0.137271 | 321.145 |
| 3861 | 11 | 14 | 27 | 30 | 0.077592 | 321.145 |
| 3862 | 11 | 15 | 34 | 38 | -0.597816 | 170.117 |
| 3863 | 11 | 15 | 38 | 31 | 0.745232 | 170.117 |
| 3864 | 11 | 15 | 31 | 35 | -0.329255 | 170.117 |

| Dati Geolettrici_Misura 8 27 Novembre 2025 | | | | | | |
|--|--------|--------|--------|--------|-----------|----------|
| Misura n. | Elec_A | Elec_B | Elec_M | Elec_N | V/I(ohm) | I(mA) |
| 3865 | 11 | 15 | 35 | 39 | -0.409797 | 170.117 |
| 3866 | 11 | 15 | 39 | 32 | 0.757403 | 170.117 |
| 3867 | 11 | 15 | 32 | 36 | -0.54431 | 170.117 |
| 3868 | 11 | 15 | 36 | 33 | 0.501067 | 170.117 |
| 3869 | 11 | 15 | 33 | 37 | -0.654097 | 170.117 |
| 3870 | 11 | 16 | 37 | 42 | 0.085247 | 187.041 |
| 3871 | 11 | 16 | 42 | 38 | -0.140995 | 187.041 |
| 3872 | 11 | 16 | 38 | 43 | 0.166031 | 187.041 |
| 3873 | 11 | 16 | 43 | 39 | -0.152071 | 187.041 |
| 3874 | 11 | 16 | 39 | 44 | 0.176467 | 187.041 |
| 3875 | 11 | 16 | 44 | 40 | -0.130535 | 187.041 |
| 3876 | 11 | 16 | 40 | 45 | 0.556032 | 187.041 |
| 3877 | 11 | 16 | 45 | 41 | -0.487591 | 187.041 |
| 3878 | 11 | 16 | 41 | 46 | 0.097247 | 187.041 |
| 3879 | 11 | 17 | 42 | 48 | 0.548678 | 42.834 |
| 3880 | 12 | 13 | 14 | 15 | -0.234159 | 1002.221 |
| 3881 | 12 | 13 | 15 | 16 | -0.083092 | 1002.221 |
| 3882 | 12 | 13 | 16 | 17 | -0.033642 | 1002.221 |
| 3883 | 12 | 13 | 17 | 18 | -0.018801 | 1002.221 |
| 3884 | 12 | 13 | 18 | 19 | -0.011422 | 1002.221 |
| 3885 | 12 | 13 | 19 | 20 | -0.007717 | 1002.221 |
| 3886 | 12 | 14 | 20 | 22 | -0.03793 | 997.522 |
| 3887 | 12 | 14 | 22 | 24 | -0.019746 | 997.522 |
| 3888 | 12 | 14 | 24 | 26 | 0.014606 | 997.522 |
| 3889 | 12 | 14 | 26 | 21 | 0.017223 | 997.522 |
| 3890 | 12 | 14 | 21 | 23 | -0.023259 | 997.522 |
| 3891 | 12 | 14 | 23 | 25 | -0.006724 | 997.522 |
| 3892 | 12 | 14 | 25 | 27 | 0.024926 | 997.522 |
| 3893 | 12 | 15 | 26 | 29 | 0.093226 | 935.272 |
| 3894 | 12 | 15 | 29 | 32 | 0.095319 | 935.272 |
| 3895 | 12 | 15 | 32 | 27 | -0.163546 | 935.272 |
| 3896 | 12 | 15 | 27 | 30 | 0.11377 | 935.272 |
| 3897 | 12 | 15 | 33 | 28 | -0.080567 | 935.272 |
| 3898 | 12 | 15 | 28 | 31 | 0.124344 | 935.272 |
| 3899 | 12 | 16 | 31 | 35 | -0.597059 | 691.79 |
| 3900 | 12 | 16 | 35 | 39 | -0.185699 | 691.79 |
| 3901 | 12 | 16 | 39 | 32 | 0.737735 | 691.79 |
| 3902 | 12 | 16 | 32 | 36 | -0.721829 | 691.79 |
| 3903 | 12 | 16 | 36 | 40 | 0.022743 | 691.79 |
| 3904 | 12 | 16 | 40 | 33 | 0.550905 | 691.79 |
| 3905 | 12 | 16 | 33 | 37 | -0.633673 | 691.79 |
| 3906 | 12 | 16 | 37 | 34 | 0.435563 | 691.79 |
| 3907 | 12 | 16 | 34 | 38 | -0.424926 | 691.79 |
| 3908 | 12 | 17 | 38 | 43 | 0.166293 | 249.409 |
| 3909 | 12 | 17 | 43 | 39 | -0.126502 | 249.409 |
| 3910 | 12 | 17 | 39 | 44 | 0.144031 | 249.409 |
| 3911 | 12 | 17 | 44 | 40 | -0.100407 | 249.409 |
| 3912 | 12 | 17 | 40 | 45 | 0.395537 | 249.409 |
| 3913 | 12 | 17 | 45 | 41 | -0.346707 | 249.409 |
| 3914 | 12 | 17 | 41 | 46 | 0.078692 | 249.409 |
| 3915 | 12 | 17 | 46 | 42 | -0.064935 | 249.409 |
| 3916 | 12 | 17 | 42 | 47 | 0.074205 | 249.409 |
| 3917 | 13 | 14 | 15 | 16 | -0.282804 | 988.258 |
| 3918 | 13 | 14 | 16 | 17 | -0.099517 | 988.258 |
| 3919 | 13 | 14 | 17 | 18 | -0.053056 | 988.258 |
| 3920 | 13 | 14 | 18 | 19 | -0.030787 | 988.258 |

| Dati Geolettrici_Misura 8 27 Novembre 2025 | | | | | | |
|--|--------|--------|--------|--------|-----------|----------|
| Misura n. | Elec_A | Elec_B | Elec_M | Elec_N | V/I(ohm) | I(mA) |
| 3921 | 13 | 14 | 19 | 20 | -0.021049 | 988.258 |
| 3922 | 13 | 14 | 20 | 21 | -0.017745 | 988.258 |
| 3923 | 13 | 15 | 21 | 23 | -0.0481 | 1117.799 |
| 3924 | 13 | 15 | 23 | 25 | -0.007734 | 1117.799 |
| 3925 | 13 | 15 | 25 | 27 | 0.043736 | 1117.799 |
| 3926 | 13 | 15 | 27 | 22 | -0.01454 | 1117.799 |
| 3927 | 13 | 15 | 22 | 24 | -0.038545 | 1117.799 |
| 3928 | 13 | 15 | 24 | 26 | 0.030829 | 1117.799 |
| 3929 | 13 | 15 | 26 | 28 | 0.048094 | 1117.799 |
| 3930 | 13 | 16 | 27 | 30 | 0.149707 | 609.298 |
| 3931 | 13 | 16 | 30 | 33 | -0.178027 | 609.298 |
| 3932 | 13 | 16 | 28 | 31 | 0.131154 | 609.298 |
| 3933 | 13 | 16 | 31 | 34 | -0.39249 | 609.298 |
| 3934 | 13 | 16 | 34 | 29 | 0.314591 | 609.298 |
| 3935 | 13 | 16 | 29 | 32 | 0.025877 | 609.298 |
| 3936 | 13 | 17 | 32 | 36 | -0.677948 | 1079.725 |
| 3937 | 13 | 17 | 36 | 40 | 0.095857 | 1079.725 |
| 3938 | 13 | 17 | 40 | 33 | 0.360439 | 1079.725 |
| 3939 | 13 | 17 | 33 | 37 | -0.444136 | 1079.725 |
| 3940 | 13 | 17 | 37 | 41 | 0.102723 | 1079.725 |
| 3941 | 13 | 17 | 34 | 38 | -0.207139 | 1079.725 |
| 3942 | 13 | 18 | 39 | 44 | 0.096427 | 427.645 |
| 3943 | 13 | 18 | 44 | 40 | -0.066934 | 427.645 |
| 3944 | 13 | 18 | 40 | 45 | 0.239251 | 427.645 |
| 3945 | 13 | 18 | 45 | 41 | -0.21652 | 427.645 |
| 3946 | 13 | 18 | 41 | 46 | 0.064385 | 427.645 |
| 3947 | 13 | 18 | 46 | 42 | -0.04696 | 427.645 |
| 3948 | 13 | 18 | 42 | 47 | 0.053856 | 427.645 |
| 3949 | 13 | 18 | 47 | 43 | -0.03732 | 427.645 |
| 3950 | 13 | 18 | 43 | 48 | 0.406235 | 427.645 |
| 3951 | 14 | 15 | 16 | 17 | -0.262094 | 1010.122 |
| 3952 | 14 | 15 | 17 | 18 | -0.104818 | 1010.122 |
| 3953 | 14 | 15 | 18 | 19 | -0.05279 | 1010.122 |
| 3954 | 14 | 15 | 19 | 20 | -0.033566 | 1010.122 |
| 3955 | 14 | 15 | 20 | 21 | -0.026644 | 1010.122 |
| 3956 | 14 | 15 | 21 | 22 | -0.016004 | 1010.122 |
| 3957 | 14 | 16 | 22 | 24 | -0.051789 | 1128.857 |
| 3958 | 14 | 16 | 24 | 26 | 0.0373 | 1128.857 |
| 3959 | 14 | 16 | 26 | 28 | 0.061632 | 1128.857 |
| 3960 | 14 | 16 | 28 | 23 | -0.076619 | 1128.857 |
| 3961 | 14 | 16 | 23 | 25 | -0.0134 | 1128.857 |
| 3962 | 14 | 16 | 25 | 27 | 0.057737 | 1128.857 |
| 3963 | 14 | 16 | 27 | 29 | 0.071202 | 1128.857 |
| 3964 | 14 | 17 | 28 | 31 | 0.032413 | 511.641 |
| 3965 | 14 | 17 | 31 | 34 | -0.540468 | 511.641 |
| 3966 | 14 | 17 | 34 | 29 | 0.563198 | 511.641 |
| 3967 | 14 | 17 | 29 | 32 | -0.179905 | 511.641 |
| 3968 | 14 | 17 | 32 | 35 | -0.471254 | 511.641 |
| 3969 | 14 | 17 | 35 | 30 | 0.678597 | 511.641 |
| 3970 | 14 | 17 | 30 | 33 | -0.422981 | 511.641 |
| 3971 | 14 | 18 | 33 | 37 | -0.198788 | 1035.304 |
| 3972 | 14 | 18 | 37 | 41 | 0.099303 | 1035.304 |
| 3973 | 14 | 18 | 41 | 34 | -0.054057 | 1035.304 |
| 3974 | 14 | 18 | 38 | 42 | 0.07909 | 1035.304 |
| 3975 | 14 | 18 | 42 | 35 | -0.143082 | 1035.304 |
| 3976 | 14 | 18 | 35 | 39 | 0.091156 | 1035.304 |

| Dati Geolettrici_Misura 8 27 Novembre 2025 | | | | | | |
|--|--------|--------|--------|--------|-----------|----------|
| Misura n. | Elec_A | Elec_B | Elec_M | Elec_N | V/I(ohm) | I(mA) |
| 3977 | 14 | 18 | 39 | 36 | -0.104 | 1035.304 |
| 3978 | 14 | 18 | 36 | 40 | 0.126728 | 1035.304 |
| 3979 | 14 | 19 | 40 | 45 | 0.102495 | 500.939 |
| 3980 | 14 | 19 | 45 | 41 | -0.082803 | 500.939 |
| 3981 | 14 | 19 | 41 | 46 | 0.055552 | 500.939 |
| 3982 | 14 | 19 | 46 | 42 | -0.041442 | 500.939 |
| 3983 | 14 | 19 | 42 | 47 | 0.046803 | 500.939 |
| 3984 | 14 | 19 | 47 | 43 | -0.031991 | 500.939 |
| 3985 | 14 | 19 | 43 | 48 | 0.415826 | 500.939 |
| 3986 | 15 | 16 | 17 | 18 | -0.272961 | 1037.181 |
| 3987 | 15 | 16 | 18 | 19 | -0.100525 | 1037.181 |
| 3988 | 15 | 16 | 19 | 20 | -0.054999 | 1037.181 |
| 3989 | 15 | 16 | 20 | 21 | -0.040416 | 1037.181 |
| 3990 | 15 | 16 | 21 | 22 | -0.022973 | 1037.181 |
| 3991 | 15 | 16 | 22 | 23 | -0.016986 | 1037.181 |
| 3992 | 15 | 17 | 23 | 25 | -0.018306 | 1070.469 |
| 3993 | 15 | 17 | 25 | 27 | 0.071105 | 1070.469 |
| 3994 | 15 | 17 | 27 | 29 | 0.072561 | 1070.469 |
| 3995 | 15 | 17 | 29 | 24 | -0.153193 | 1070.469 |
| 3996 | 15 | 17 | 24 | 26 | 0.044509 | 1070.469 |
| 3997 | 15 | 17 | 26 | 28 | 0.07227 | 1070.469 |
| 3998 | 15 | 17 | 28 | 30 | 0.043152 | 1070.469 |
| 3999 | 15 | 18 | 29 | 32 | -0.482358 | 246.483 |
| 4000 | 15 | 18 | 32 | 35 | -0.267662 | 246.483 |
| 4001 | 15 | 18 | 35 | 30 | 0.686663 | 246.483 |
| 4002 | 15 | 18 | 30 | 33 | -0.604312 | 246.483 |
| 4003 | 15 | 18 | 36 | 31 | 0.481605 | 246.483 |
| 4004 | 15 | 18 | 31 | 34 | -0.489546 | 246.483 |
| 4005 | 15 | 19 | 34 | 38 | 0.107442 | 293.696 |
| 4006 | 15 | 19 | 38 | 42 | 0.068737 | 293.696 |
| 4007 | 15 | 19 | 42 | 35 | -0.174271 | 293.696 |
| 4008 | 15 | 19 | 35 | 39 | 0.129324 | 293.696 |
| 4009 | 15 | 19 | 39 | 43 | 0.056073 | 293.696 |
| 4010 | 15 | 19 | 43 | 36 | -0.158236 | 293.696 |
| 4011 | 15 | 19 | 36 | 40 | 0.122092 | 293.696 |
| 4012 | 15 | 19 | 40 | 37 | -0.073419 | 293.696 |
| 4013 | 15 | 19 | 37 | 41 | 0.088624 | 293.696 |
| 4014 | 15 | 20 | 41 | 46 | 0.046928 | 589.499 |
| 4015 | 15 | 20 | 46 | 42 | -0.036631 | 589.499 |
| 4016 | 15 | 20 | 42 | 47 | 0.039893 | 589.499 |
| 4017 | 15 | 20 | 47 | 43 | -0.02678 | 589.499 |
| 4018 | 15 | 20 | 43 | 48 | 0.437024 | 589.499 |
| 4019 | 16 | 17 | 18 | 19 | -0.243908 | 1018.346 |
| 4020 | 16 | 17 | 19 | 20 | -0.097071 | 1018.346 |
| 4021 | 16 | 17 | 20 | 21 | -0.061206 | 1018.346 |
| 4022 | 16 | 17 | 21 | 22 | -0.031087 | 1018.346 |
| 4023 | 16 | 17 | 22 | 23 | -0.021858 | 1018.346 |
| 4024 | 16 | 17 | 23 | 24 | -0.015268 | 1018.346 |
| 4025 | 16 | 18 | 24 | 26 | 0.056958 | 354.345 |
| 4026 | 16 | 18 | 26 | 28 | 0.078832 | 354.345 |
| 4027 | 16 | 18 | 30 | 25 | -0.053828 | 354.345 |
| 4028 | 16 | 18 | 25 | 27 | 0.088066 | 354.345 |
| 4029 | 16 | 18 | 27 | 29 | 0.044292 | 354.345 |
| 4030 | 16 | 18 | 29 | 31 | -0.258093 | 354.345 |
| 4031 | 16 | 19 | 30 | 33 | -0.548351 | 598.981 |
| 4032 | 16 | 19 | 33 | 36 | 0.068979 | 598.981 |

| Dati Geolettrici_Misura 8 27 Novembre 2025 | | | | | | |
|--|--------|--------|--------|--------|-----------|----------|
| Misura n. | Elec_A | Elec_B | Elec_M | Elec_N | V/I(ohm) | I(mA) |
| 4033 | 16 | 19 | 36 | 31 | 0.206921 | 598.981 |
| 4034 | 16 | 19 | 31 | 34 | -0.260091 | 598.981 |
| 4035 | 16 | 19 | 34 | 37 | 0.08978 | 598.981 |
| 4036 | 16 | 19 | 37 | 32 | -0.027902 | 598.981 |
| 4037 | 16 | 20 | 35 | 39 | 0.123628 | 442.313 |
| 4038 | 16 | 20 | 39 | 43 | 0.047561 | 442.313 |
| 4039 | 16 | 20 | 43 | 36 | -0.135203 | 442.313 |
| 4040 | 16 | 20 | 36 | 40 | 0.104954 | 442.313 |
| 4041 | 16 | 20 | 40 | 44 | 0.034664 | 442.313 |
| 4042 | 16 | 20 | 44 | 37 | -0.093459 | 442.313 |
| 4043 | 16 | 20 | 37 | 41 | 0.07281 | 442.313 |
| 4044 | 16 | 20 | 41 | 38 | -0.050765 | 442.313 |
| 4045 | 16 | 20 | 38 | 42 | 0.0573 | 442.313 |
| 4046 | 16 | 21 | 42 | 47 | 0.034278 | 677.834 |
| 4047 | 16 | 21 | 47 | 43 | -0.022893 | 677.834 |
| 4048 | 16 | 21 | 43 | 48 | 0.461965 | 677.834 |
| 4049 | 17 | 18 | 19 | 20 | -0.266442 | 1007.383 |
| 4050 | 17 | 18 | 20 | 21 | -0.12584 | 1007.383 |
| 4051 | 17 | 18 | 21 | 22 | -0.053974 | 1007.383 |
| 4052 | 17 | 18 | 22 | 23 | -0.034412 | 1007.383 |
| 4053 | 17 | 18 | 23 | 24 | -0.022228 | 1007.383 |
| 4054 | 17 | 19 | 25 | 27 | 0.09329 | 326.729 |
| 4055 | 17 | 19 | 29 | 31 | -0.405546 | 326.729 |
| 4056 | 17 | 19 | 31 | 26 | 0.42322 | 326.729 |
| 4057 | 17 | 19 | 26 | 28 | 0.049147 | 326.729 |
| 4058 | 17 | 19 | 28 | 30 | -0.257005 | 326.729 |
| 4059 | 17 | 19 | 30 | 32 | -0.318318 | 326.729 |
| 4060 | 17 | 20 | 34 | 37 | 0.094747 | 616.074 |
| 4061 | 17 | 20 | 37 | 32 | -0.163978 | 616.074 |
| 4062 | 17 | 20 | 32 | 35 | 0.102424 | 616.074 |
| 4063 | 17 | 20 | 35 | 38 | 0.075669 | 616.074 |
| 4064 | 17 | 20 | 38 | 33 | -0.16317 | 616.074 |
| 4065 | 17 | 20 | 33 | 36 | 0.115582 | 616.074 |
| 4066 | 17 | 21 | 36 | 40 | 0.091247 | 881.543 |
| 4067 | 17 | 21 | 40 | 44 | 0.030143 | 881.543 |
| 4068 | 17 | 21 | 44 | 37 | -0.0771 | 881.543 |
| 4069 | 17 | 21 | 37 | 41 | 0.060698 | 881.543 |
| 4070 | 17 | 21 | 45 | 38 | -0.020835 | 881.543 |
| 4071 | 17 | 21 | 38 | 42 | 0.049538 | 881.543 |
| 4072 | 17 | 21 | 42 | 39 | -0.033163 | 881.543 |
| 4073 | 17 | 21 | 39 | 43 | 0.041887 | 881.543 |
| 4074 | 17 | 22 | 43 | 48 | 0.584069 | 47.598 |
| 4075 | 18 | 19 | 20 | 21 | -0.30226 | 1004.556 |
| 4076 | 18 | 19 | 21 | 22 | -0.09641 | 1004.556 |
| 4077 | 18 | 19 | 22 | 23 | -0.051672 | 1004.556 |
| 4078 | 18 | 19 | 23 | 24 | -0.030186 | 1004.556 |
| 4079 | 18 | 19 | 25 | 26 | 0.024956 | 1004.556 |
| 4080 | 18 | 20 | 28 | 30 | -0.394804 | 637.814 |
| 4081 | 18 | 20 | 30 | 32 | -0.129914 | 637.814 |
| 4082 | 18 | 20 | 32 | 27 | 0.606125 | 637.814 |
| 4083 | 18 | 20 | 27 | 29 | -0.258942 | 637.814 |
| 4084 | 18 | 20 | 29 | 31 | -0.338192 | 637.814 |
| 4085 | 18 | 20 | 31 | 33 | 0.024166 | 637.814 |
| 4086 | 18 | 21 | 32 | 35 | 0.149682 | 313.303 |
| 4087 | 18 | 21 | 35 | 38 | 0.064882 | 313.303 |
| 4088 | 18 | 21 | 38 | 33 | -0.158673 | 313.303 |

| Dati Geolettrici_Misura 8 27 Novembre 2025 | | | | | | |
|--|--------|--------|--------|--------|-----------|----------|
| Misura n. | Elec_A | Elec_B | Elec_M | Elec_N | V/I(ohm) | I(mA) |
| 4089 | 18 | 21 | 33 | 36 | 0.1186 | 313.303 |
| 4090 | 18 | 21 | 36 | 39 | 0.051142 | 313.303 |
| 4091 | 18 | 21 | 39 | 34 | -0.107663 | 313.303 |
| 4092 | 18 | 21 | 34 | 37 | 0.085963 | 313.303 |
| 4093 | 18 | 22 | 37 | 41 | 0.048029 | 1003.967 |
| 4094 | 18 | 22 | 45 | 38 | -0.048287 | 1003.967 |
| 4095 | 18 | 22 | 38 | 42 | 0.039992 | 1003.967 |
| 4096 | 18 | 22 | 42 | 46 | 0.022976 | 1003.967 |
| 4097 | 18 | 22 | 46 | 39 | -0.050126 | 1003.967 |
| 4098 | 18 | 22 | 39 | 43 | 0.033609 | 1003.967 |
| 4099 | 18 | 22 | 43 | 40 | -0.021338 | 1003.967 |
| 4100 | 18 | 22 | 40 | 44 | 0.024924 | 1003.967 |
| 4101 | 19 | 20 | 21 | 22 | -0.239471 | 758.538 |
| 4102 | 19 | 20 | 22 | 23 | -0.094887 | 758.538 |
| 4103 | 19 | 20 | 23 | 24 | -0.046624 | 758.538 |
| 4104 | 19 | 20 | 25 | 26 | 0.018014 | 758.538 |
| 4105 | 19 | 21 | 27 | 29 | -0.442185 | 661.745 |
| 4106 | 19 | 21 | 29 | 31 | -0.144904 | 661.745 |
| 4107 | 19 | 21 | 31 | 33 | 0.081774 | 661.745 |
| 4108 | 19 | 21 | 33 | 28 | 0.289401 | 661.745 |
| 4109 | 19 | 21 | 28 | 30 | -0.357109 | 661.745 |
| 4110 | 19 | 21 | 30 | 32 | 0.023933 | 661.745 |
| 4111 | 19 | 21 | 32 | 34 | 0.086221 | 661.745 |
| 4112 | 19 | 22 | 33 | 36 | 0.102751 | 628.968 |
| 4113 | 19 | 22 | 36 | 39 | 0.041499 | 628.968 |
| 4114 | 19 | 22 | 39 | 34 | -0.086197 | 628.968 |
| 4115 | 19 | 22 | 34 | 37 | 0.07101 | 628.968 |
| 4116 | 19 | 22 | 37 | 40 | 0.023381 | 628.968 |
| 4117 | 19 | 22 | 40 | 35 | -0.06884 | 628.968 |
| 4118 | 19 | 22 | 35 | 38 | 0.051856 | 628.968 |
| 4119 | 19 | 23 | 38 | 42 | 0.032816 | 953.139 |
| 4120 | 19 | 23 | 42 | 46 | 0.021216 | 953.139 |
| 4121 | 19 | 23 | 46 | 39 | -0.043894 | 953.139 |
| 4122 | 19 | 23 | 39 | 43 | 0.026947 | 953.139 |
| 4123 | 19 | 23 | 43 | 47 | 0.012201 | 953.139 |
| 4124 | 19 | 23 | 47 | 40 | -0.029621 | 953.139 |
| 4125 | 19 | 23 | 40 | 44 | 0.02155 | 953.139 |
| 4126 | 19 | 23 | 44 | 41 | -0.007321 | 953.139 |
| 4127 | 19 | 23 | 41 | 45 | 0.059016 | 953.139 |
| 4128 | 20 | 21 | 22 | 23 | -0.277644 | 739.918 |
| 4129 | 20 | 21 | 23 | 24 | -0.099082 | 739.918 |
| 4130 | 20 | 21 | 24 | 25 | -0.041668 | 739.918 |
| 4131 | 20 | 21 | 26 | 27 | -0.075229 | 739.918 |
| 4132 | 20 | 21 | 27 | 28 | -0.145426 | 739.918 |
| 4133 | 20 | 22 | 28 | 30 | -0.153076 | 769.921 |
| 4134 | 20 | 22 | 30 | 32 | 0.082301 | 769.921 |
| 4135 | 20 | 22 | 32 | 34 | 0.075776 | 769.921 |
| 4136 | 20 | 22 | 34 | 29 | -0.137641 | 769.921 |
| 4137 | 20 | 22 | 29 | 31 | 0.016166 | 769.921 |
| 4138 | 20 | 22 | 31 | 33 | 0.084523 | 769.921 |
| 4139 | 20 | 22 | 33 | 35 | 0.052327 | 769.921 |
| 4140 | 20 | 23 | 34 | 37 | 0.057288 | 704.381 |
| 4141 | 20 | 23 | 37 | 40 | 0.016873 | 704.381 |
| 4142 | 20 | 23 | 40 | 35 | -0.05398 | 704.381 |
| 4143 | 20 | 23 | 35 | 38 | 0.040819 | 704.381 |
| 4144 | 20 | 23 | 38 | 41 | 0.023962 | 704.381 |

| Dati Geolettrici_Misura 8 27 Novembre 2025 | | | | | | |
|--|--------|--------|--------|--------|-----------|----------|
| Misura n. | Elec_A | Elec_B | Elec_M | Elec_N | V/I(ohm) | I(mA) |
| 4145 | 20 | 23 | 41 | 36 | -0.050593 | 704.381 |
| 4146 | 20 | 23 | 36 | 39 | 0.033497 | 704.381 |
| 4147 | 20 | 24 | 39 | 43 | 0.020817 | 781.29 |
| 4148 | 20 | 24 | 43 | 47 | 0.010566 | 781.29 |
| 4149 | 20 | 24 | 47 | 40 | -0.024044 | 781.29 |
| 4150 | 20 | 24 | 40 | 44 | 0.018007 | 781.29 |
| 4151 | 20 | 24 | 44 | 48 | 0.46723 | 781.29 |
| 4152 | 20 | 24 | 48 | 41 | -0.469583 | 781.29 |
| 4153 | 20 | 24 | 41 | 45 | 0.131053 | 781.29 |
| 4154 | 20 | 24 | 45 | 42 | -0.135418 | 781.29 |
| 4155 | 20 | 24 | 42 | 46 | 0.019295 | 781.29 |
| 4156 | 21 | 22 | 23 | 24 | -0.24085 | 673.761 |
| 4157 | 21 | 22 | 24 | 25 | -0.144148 | 673.761 |
| 4158 | 21 | 22 | 25 | 26 | -0.091493 | 673.761 |
| 4159 | 21 | 22 | 26 | 27 | -0.122487 | 673.761 |
| 4160 | 21 | 22 | 27 | 28 | -0.090351 | 673.761 |
| 4161 | 21 | 22 | 28 | 29 | -0.0237 | 673.761 |
| 4162 | 21 | 23 | 29 | 31 | 0.08738 | 744.229 |
| 4163 | 21 | 23 | 31 | 33 | 0.068502 | 744.229 |
| 4164 | 21 | 23 | 33 | 35 | 0.04065 | 744.229 |
| 4165 | 21 | 23 | 35 | 30 | -0.156983 | 744.229 |
| 4166 | 21 | 23 | 30 | 32 | 0.086836 | 744.229 |
| 4167 | 21 | 23 | 32 | 34 | 0.059559 | 744.229 |
| 4168 | 21 | 23 | 34 | 36 | 0.017992 | 744.229 |
| 4169 | 21 | 24 | 35 | 38 | 0.027807 | 1068.043 |
| 4170 | 21 | 24 | 38 | 41 | 0.02087 | 1068.043 |
| 4171 | 21 | 24 | 41 | 36 | -0.040513 | 1068.043 |
| 4172 | 21 | 24 | 36 | 39 | 0.024132 | 1068.043 |
| 4173 | 21 | 24 | 39 | 42 | 0.011785 | 1068.043 |
| 4174 | 21 | 24 | 42 | 37 | -0.015478 | 1068.043 |
| 4175 | 21 | 24 | 37 | 40 | 0.008041 | 1068.043 |
| 4176 | 21 | 25 | 40 | 44 | 0.009409 | 975.154 |
| 4177 | 21 | 25 | 44 | 48 | 0.553332 | 975.154 |
| 4178 | 21 | 25 | 48 | 41 | -0.555833 | 975.154 |
| 4179 | 21 | 25 | 41 | 45 | 0.378592 | 975.154 |
| 4180 | 21 | 25 | 45 | 42 | -0.381036 | 975.154 |
| 4181 | 21 | 25 | 42 | 46 | 0.261776 | 975.154 |
| 4182 | 21 | 25 | 46 | 43 | -0.258955 | 975.154 |
| 4183 | 22 | 23 | 24 | 25 | -0.499199 | 941.714 |
| 4184 | 22 | 23 | 25 | 26 | -0.160431 | 941.714 |
| 4185 | 22 | 23 | 26 | 27 | -0.093385 | 941.714 |
| 4186 | 22 | 23 | 27 | 28 | -0.015281 | 941.714 |
| 4187 | 22 | 23 | 28 | 29 | 0.01664 | 941.714 |
| 4188 | 22 | 23 | 29 | 30 | 0.02668 | 941.714 |
| 4189 | 22 | 24 | 30 | 32 | 0.076695 | 976.549 |
| 4190 | 22 | 24 | 32 | 34 | 0.051938 | 976.549 |
| 4191 | 22 | 24 | 34 | 36 | 0.011909 | 976.549 |
| 4192 | 22 | 24 | 36 | 31 | -0.096492 | 976.549 |
| 4193 | 22 | 24 | 31 | 33 | 0.056459 | 976.549 |
| 4194 | 22 | 24 | 33 | 35 | 0.035717 | 976.549 |
| 4195 | 22 | 24 | 35 | 37 | 0.01464 | 976.549 |
| 4196 | 22 | 25 | 36 | 39 | 0.006071 | 1009.163 |
| 4197 | 22 | 25 | 39 | 42 | 0.003962 | 1009.163 |
| 4198 | 22 | 25 | 40 | 43 | 0.004272 | 1009.163 |
| 4199 | 22 | 25 | 43 | 38 | -0.007623 | 1009.163 |
| 4200 | 22 | 26 | 44 | 48 | 12.9329 | 25.652 |

| Dati Geolettrici_Misura 8 27 Novembre 2025 | | | | | | |
|--|--------|--------|--------|--------|-----------|----------|
| Misura n. | Elec_A | Elec_B | Elec_M | Elec_N | V/I(ohm) | I(mA) |
| 4201 | 23 | 24 | 25 | 26 | -0.101471 | 943.119 |
| 4202 | 23 | 24 | 26 | 27 | -0.027873 | 943.119 |
| 4203 | 23 | 24 | 27 | 28 | 0.015708 | 943.119 |
| 4204 | 23 | 24 | 28 | 29 | 0.021901 | 943.119 |
| 4205 | 23 | 24 | 29 | 30 | 0.023116 | 943.119 |
| 4206 | 23 | 24 | 30 | 31 | 0.01937 | 943.119 |
| 4207 | 23 | 25 | 31 | 33 | -0.018693 | 880.192 |
| 4208 | 23 | 25 | 33 | 35 | -0.009279 | 880.192 |
| 4209 | 23 | 25 | 34 | 36 | -0.310739 | 880.192 |
| 4210 | 23 | 25 | 36 | 38 | -0.001748 | 880.192 |
| 4211 | 23 | 26 | 40 | 43 | -0.002112 | 967.092 |
| 4212 | 23 | 26 | 43 | 38 | 0.004731 | 967.092 |
| 4213 | 23 | 26 | 38 | 41 | -0.010258 | 967.092 |
| 4214 | 23 | 26 | 44 | 39 | 0.007182 | 967.092 |
| 4215 | 23 | 26 | 39 | 42 | -0.005577 | 967.092 |
| 4216 | 23 | 27 | 42 | 46 | -0.009901 | 968.807 |
| 4217 | 23 | 27 | 47 | 44 | 0.001884 | 968.807 |
| 4218 | 23 | 27 | 44 | 48 | -0.164314 | 968.807 |
| 4219 | 24 | 25 | 26 | 27 | -0.590548 | 589.583 |
| 4220 | 24 | 25 | 27 | 28 | -0.238632 | 589.583 |
| 4221 | 24 | 25 | 28 | 29 | -0.11535 | 589.583 |
| 4222 | 24 | 25 | 29 | 30 | -0.073968 | 589.583 |
| 4223 | 24 | 25 | 30 | 31 | -0.046032 | 589.583 |
| 4224 | 24 | 25 | 31 | 32 | -0.026361 | 589.583 |
| 4225 | 24 | 26 | 32 | 34 | -0.041535 | 1117.965 |
| 4226 | 24 | 26 | 34 | 36 | -0.052044 | 1117.965 |
| 4227 | 24 | 26 | 36 | 38 | -0.014441 | 1117.965 |
| 4228 | 24 | 26 | 38 | 33 | 0.071295 | 1117.965 |
| 4229 | 24 | 26 | 33 | 35 | -0.048848 | 1117.965 |
| 4230 | 24 | 27 | 38 | 41 | -0.024149 | 1120.029 |
| 4231 | 24 | 27 | 44 | 39 | 0.017389 | 1120.029 |
| 4232 | 24 | 27 | 39 | 42 | -0.012813 | 1120.029 |
| 4233 | 24 | 27 | 42 | 45 | -0.143196 | 1120.029 |
| 4234 | 24 | 27 | 45 | 40 | 0.287154 | 1120.029 |
| 4235 | 24 | 28 | 44 | 48 | -0.56056 | 874.046 |
| 4236 | 25 | 26 | 27 | 28 | -0.419282 | 838.061 |
| 4237 | 25 | 26 | 28 | 29 | -0.142269 | 838.061 |
| 4238 | 25 | 26 | 29 | 30 | -0.07995 | 838.061 |
| 4239 | 25 | 26 | 30 | 31 | -0.048924 | 838.061 |
| 4240 | 25 | 26 | 31 | 32 | -0.027023 | 838.061 |
| 4241 | 25 | 26 | 32 | 33 | -0.019631 | 838.061 |
| 4242 | 25 | 27 | 33 | 35 | -0.052047 | 985.02 |
| 4243 | 25 | 27 | 36 | 38 | -0.016951 | 985.02 |
| 4244 | 25 | 28 | 39 | 42 | -0.016671 | 1003.42 |
| 4245 | 25 | 28 | 43 | 46 | -0.449139 | 1003.42 |
| 4246 | 25 | 28 | 46 | 41 | 0.414305 | 1003.42 |
| 4247 | 25 | 29 | 44 | 48 | -0.483959 | 43.766 |
| 4248 | 26 | 27 | 28 | 29 | -0.338437 | 634.575 |
| 4249 | 26 | 27 | 29 | 30 | -0.14763 | 634.575 |
| 4250 | 26 | 27 | 30 | 31 | -0.079032 | 634.575 |
| 4251 | 26 | 27 | 31 | 32 | -0.044351 | 634.575 |
| 4252 | 26 | 27 | 32 | 33 | -0.023856 | 634.575 |
| 4253 | 26 | 27 | 33 | 34 | -0.046743 | 634.575 |
| 4254 | 26 | 28 | 34 | 36 | -0.210293 | 1097.034 |
| 4255 | 26 | 28 | 36 | 38 | -0.019489 | 1097.034 |
| 4256 | 26 | 28 | 38 | 40 | -0.012376 | 1097.034 |

| Dati Geolettrici_Misura 8 27 Novembre 2025 | | | | | | |
|--|--------|--------|--------|--------|-----------|----------|
| Misura n. | Elec_A | Elec_B | Elec_M | Elec_N | V/I(ohm) | I(mA) |
| 4257 | 26 | 28 | 40 | 35 | 0.047688 | 1097.034 |
| 4258 | 26 | 28 | 35 | 37 | -0.382942 | 1097.034 |
| 4259 | 26 | 28 | 39 | 41 | -0.011681 | 1097.034 |
| 4260 | 26 | 29 | 43 | 46 | -0.013174 | 1112.305 |
| 4261 | 26 | 29 | 46 | 41 | 0.020073 | 1112.305 |
| 4262 | 26 | 29 | 41 | 44 | -0.007651 | 1112.305 |
| 4263 | 26 | 29 | 42 | 45 | -0.823111 | 1112.305 |
| 4264 | 27 | 28 | 29 | 30 | -0.332964 | 416.983 |
| 4265 | 27 | 28 | 30 | 31 | -0.146935 | 416.983 |
| 4266 | 27 | 28 | 31 | 32 | -0.070003 | 416.983 |
| 4267 | 27 | 28 | 32 | 33 | -0.03873 | 416.983 |
| 4268 | 27 | 28 | 34 | 35 | -0.241366 | 416.983 |
| 4269 | 27 | 29 | 39 | 41 | -0.014042 | 1102.414 |
| 4270 | 27 | 29 | 41 | 36 | 0.053152 | 1102.414 |
| 4271 | 27 | 29 | 36 | 38 | -0.030803 | 1102.414 |
| 4272 | 27 | 29 | 38 | 40 | -0.176011 | 1102.414 |
| 4273 | 27 | 30 | 41 | 44 | -0.012845 | 1134.378 |
| 4274 | 27 | 30 | 45 | 48 | -0.262717 | 1134.378 |
| 4275 | 28 | 29 | 30 | 31 | -0.338118 | 1075.534 |
| 4276 | 28 | 29 | 31 | 32 | -0.134397 | 1075.534 |
| 4277 | 28 | 29 | 32 | 33 | -0.066389 | 1075.534 |
| 4278 | 28 | 29 | 33 | 34 | -0.235872 | 1075.534 |
| 4279 | 28 | 29 | 35 | 36 | -0.013495 | 1075.534 |
| 4280 | 28 | 30 | 36 | 38 | -0.047752 | 1107.241 |
| 4281 | 28 | 30 | 38 | 40 | -0.019152 | 1107.241 |
| 4282 | 28 | 30 | 40 | 42 | -0.009276 | 1107.241 |
| 4283 | 28 | 30 | 42 | 37 | 0.04169 | 1107.241 |
| 4284 | 28 | 30 | 37 | 39 | -0.021273 | 1107.241 |
| 4285 | 28 | 30 | 39 | 41 | -0.016929 | 1107.241 |
| 4286 | 28 | 30 | 41 | 43 | -0.058661 | 1107.241 |
| 4287 | 28 | 31 | 45 | 48 | -0.452795 | 1118.574 |
| 4288 | 28 | 31 | 48 | 43 | 0.250828 | 1118.574 |
| 4289 | 28 | 31 | 46 | 44 | 0.01219 | 1118.574 |
| 4290 | 28 | 31 | 44 | 47 | -0.193825 | 1118.574 |
| 4291 | 29 | 30 | 31 | 32 | -0.316696 | 696.54 |
| 4292 | 29 | 30 | 32 | 33 | -0.129331 | 696.54 |
| 4293 | 29 | 30 | 33 | 34 | -0.04727 | 696.54 |
| 4294 | 29 | 30 | 34 | 35 | -0.057973 | 696.54 |
| 4295 | 29 | 30 | 35 | 36 | -0.022583 | 696.54 |
| 4296 | 29 | 30 | 36 | 37 | -0.051057 | 696.54 |
| 4297 | 29 | 31 | 37 | 39 | -0.007896 | 899.096 |
| 4298 | 29 | 31 | 39 | 41 | -0.019704 | 899.096 |
| 4299 | 29 | 31 | 41 | 43 | -0.016053 | 899.096 |
| 4300 | 29 | 31 | 43 | 38 | 0.051622 | 899.096 |
| 4301 | 29 | 31 | 38 | 40 | -0.043951 | 899.096 |
| 4302 | 29 | 31 | 40 | 42 | -0.077577 | 899.096 |
| 4303 | 29 | 32 | 43 | 46 | -0.013097 | 1171.305 |
| 4304 | 29 | 32 | 46 | 44 | 0.011328 | 1171.305 |
| 4305 | 29 | 32 | 44 | 47 | -0.075787 | 1171.305 |
| 4306 | 30 | 31 | 32 | 33 | -0.264131 | 1151.171 |
| 4307 | 30 | 31 | 33 | 34 | -0.130333 | 1151.171 |
| 4308 | 30 | 31 | 34 | 35 | -0.040352 | 1151.171 |
| 4309 | 30 | 31 | 35 | 36 | -0.032933 | 1151.171 |
| 4310 | 30 | 31 | 36 | 37 | -0.026845 | 1151.171 |
| 4311 | 30 | 31 | 37 | 38 | -0.010367 | 1151.171 |
| 4312 | 30 | 32 | 38 | 40 | -0.036141 | 1198.423 |

| Dati Geolettrici_Misura 8 27 Novembre 2025 | | | | | | |
|--|--------|--------|--------|--------|-----------|----------|
| Misura n. | Elec_A | Elec_B | Elec_M | Elec_N | V/I(ohm) | I(mA) |
| 4313 | 30 | 32 | 40 | 42 | -0.016577 | 1198.423 |
| 4314 | 30 | 32 | 42 | 44 | -0.010153 | 1198.423 |
| 4315 | 30 | 32 | 44 | 39 | 0.043741 | 1198.423 |
| 4316 | 30 | 32 | 39 | 41 | -0.023147 | 1198.423 |
| 4317 | 30 | 32 | 41 | 43 | -0.017644 | 1198.423 |
| 4318 | 30 | 33 | 44 | 47 | -0.038959 | 577.87 |
| 4319 | 30 | 33 | 47 | 45 | 0.464995 | 577.87 |
| 4320 | 30 | 33 | 45 | 48 | -0.935561 | 577.87 |
| 4321 | 31 | 32 | 33 | 34 | -0.172234 | 1207.943 |
| 4322 | 31 | 32 | 34 | 35 | -0.136093 | 1207.943 |
| 4323 | 31 | 32 | 35 | 36 | -0.047282 | 1207.943 |
| 4324 | 31 | 32 | 36 | 37 | -0.030549 | 1207.943 |
| 4325 | 31 | 32 | 37 | 38 | -0.017163 | 1207.943 |
| 4326 | 31 | 32 | 38 | 39 | -0.010171 | 1207.943 |
| 4327 | 31 | 33 | 41 | 43 | -0.101844 | 1212.6 |
| 4328 | 31 | 33 | 42 | 44 | -0.320119 | 1212.6 |
| 4329 | 31 | 33 | 44 | 46 | -0.00647 | 1212.6 |
| 4330 | 32 | 33 | 34 | 35 | -0.176895 | 1265.364 |
| 4331 | 32 | 33 | 35 | 36 | -0.07749 | 1265.364 |
| 4332 | 32 | 33 | 36 | 37 | -0.049743 | 1265.364 |
| 4333 | 32 | 33 | 38 | 39 | -0.168349 | 1265.364 |
| 4334 | 32 | 33 | 39 | 40 | -0.008781 | 1265.364 |
| 4335 | 32 | 34 | 41 | 43 | -0.041642 | 370.261 |
| 4336 | 32 | 34 | 45 | 47 | -73.98939 | 27.274 |
| 4337 | 33 | 34 | 35 | 36 | -0.184391 | 246.672 |
| 4338 | 33 | 34 | 37 | 38 | -0.450716 | 246.672 |
| 4339 | 33 | 34 | 40 | 41 | -0.237271 | 246.672 |
| 4340 | 33 | 35 | 41 | 43 | -0.560977 | 210.596 |
| 4341 | 34 | 35 | 36 | 37 | -0.456309 | 740.035 |
| 4342 | 34 | 35 | 38 | 39 | -0.021567 | 740.035 |
| 4343 | 34 | 35 | 39 | 40 | -0.141823 | 740.035 |
| 4344 | 34 | 35 | 41 | 42 | -0.870374 | 740.035 |
| 4345 | 34 | 36 | 42 | 44 | -0.071848 | 205.327 |
| 4346 | 34 | 36 | 46 | 48 | -21.78609 | 205.327 |
| 4347 | 34 | 36 | 48 | 43 | 22.05469 | 205.327 |
| 4348 | 34 | 36 | 43 | 45 | -119.2018 | 25.597 |
| 4349 | 35 | 36 | 37 | 38 | -0.214202 | 1088.064 |
| 4350 | 35 | 36 | 38 | 39 | -0.085728 | 1088.064 |
| 4351 | 35 | 37 | 43 | 45 | -0.536329 | 145.492 |
| 4352 | 35 | 37 | 44 | 46 | -1.664972 | 145.492 |
| 4353 | 36 | 37 | 38 | 39 | -0.22541 | 1031.425 |
| 4354 | 36 | 37 | 43 | 44 | -0.014208 | 1031.425 |
| 4355 | 36 | 38 | 46 | 48 | -0.258752 | 336.113 |
| 4356 | 37 | 38 | 39 | 40 | -0.257211 | 1035.072 |
| 4357 | 37 | 38 | 43 | 44 | -0.024081 | 1035.072 |
| 4358 | 38 | 39 | 40 | 41 | -0.293406 | 310.14 |
| 4359 | 38 | 39 | 43 | 44 | -0.064003 | 310.14 |
| 4360 | 38 | 39 | 44 | 45 | -0.921815 | 310.14 |
| 4361 | 39 | 40 | 41 | 42 | -0.174266 | 423.616 |
| 4362 | 39 | 40 | 43 | 44 | -0.130907 | 423.616 |
| 4363 | 40 | 41 | 42 | 43 | -0.841402 | 145.747 |
| 4364 | 40 | 41 | 46 | 47 | -1.892283 | 145.747 |
| 4365 | 41 | 42 | 43 | 44 | -0.187916 | 162.526 |
| 4366 | 41 | 42 | 44 | 45 | -1.019182 | 162.526 |
| 4367 | 41 | 42 | 45 | 46 | -0.716589 | 162.526 |
| 4368 | 41 | 42 | 47 | 48 | -0.529913 | 162.526 |

| Dati Geolettrici_Misura 8 27 Novembre 2025 | | | | | | |
|--|--------|--------|--------|--------|-----------|---------|
| Misura n. | Elec_A | Elec_B | Elec_M | Elec_N | V/I(ohm) | I(mA) |
| 4369 | 42 | 43 | 44 | 45 | -0.460385 | 393.678 |
| 4370 | 42 | 43 | 45 | 46 | -0.101048 | 393.678 |
| 4371 | 43 | 44 | 46 | 47 | -0.087151 | 152.615 |
| 4372 | 43 | 44 | 47 | 48 | -0.17786 | 152.615 |
| 4373 | 45 | 46 | 47 | 48 | -30.64457 | 25.227 |



CHIMILAB

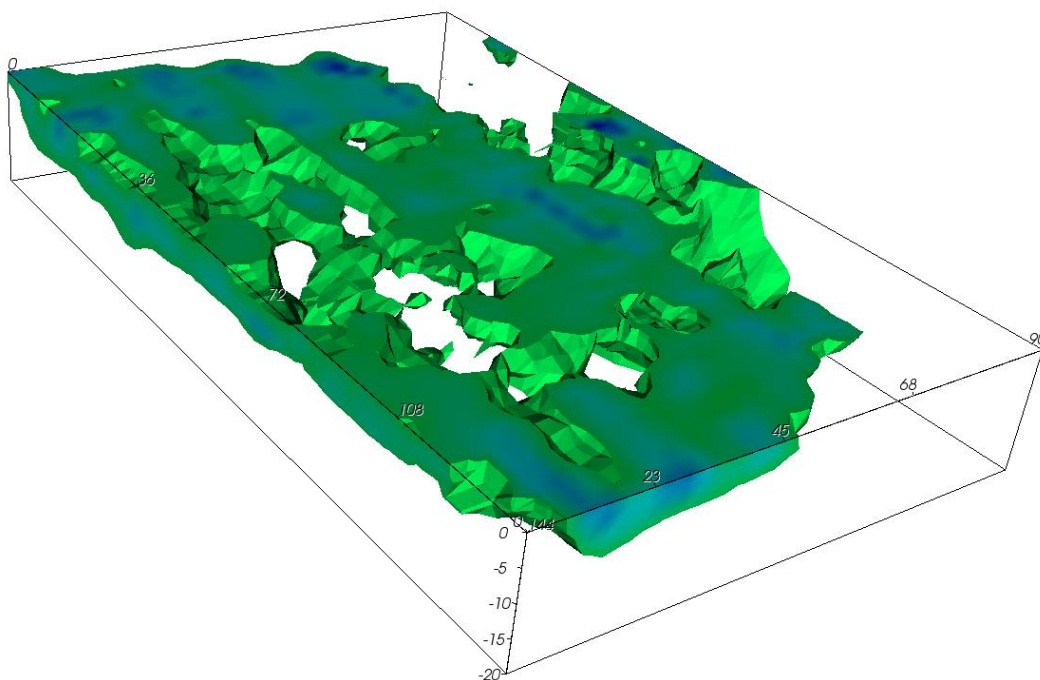
LABORATORIO DI ANALISI CHIMICHE

Laboratorio autorizzato dal Ministero della Salute ad eseguire analisi su materiali contenenti amianto con cod. N° 323 PUG 16

Azienda con
SISTEMA DI GESTIONE QUALITÀ
UNI EN ISO 9001
SISTEMA DI GESTIONE SALUTE E SICUREZZA
UNI ISO 45001
SISTEMA DI GESTIONE AMBIENTALE
UNI EN ISO 14001

COMUNE DI OLBIA

PROVINCIA DI SASSARI



COMMITTENTE:

Consorzio Industriale Provinciale
Nord Est Sardegna - Gallura

CANTIERE:

Lotto 1 – discarica consortile per RNP

LOCALITA'

Loc. Santu Spirito

TIPOLOGIA DI INDAGINI:

**IMPIANTO MONITORAGGIO
GEOELETTTRICO PERMANENTE
– FASE DI ESERCIZIO (MISURA 8) –
NOVEMBRE 2025**

**Ruffano, DICEMBRE
2025**

**IL DIRETTORE TECNICO
CHIMILAB**
Dott.ssa Daniela Cossa

IL TECNICO
Dott. Geol. Marcello De Donatis



INDAGINI GEOLOGICHE

INDICE

| | |
|--|-----------|
| <i>PREMESSA.....</i> | <i>2</i> |
| <i>OBIETTIVO GENERALE DEL LAVORO E SISTEMA DI MONITORAGGIO DEL SISTEMA DI IMPERMEABILIZZAZIONE</i> | <i>4</i> |
| <i>INQUADRAMENTO TERRITORIALE.....</i> | <i>6</i> |
| <i>INDAGINI GEOELETTRICHE CON RICOSTRUZIONE TOMOGRAFICA</i> | <i>7</i> |
| <i>STRUMENTAZIONE UTILIZZATA</i> | <i>8</i> |
| <i>IL METODO DELLA RESISTIVITÀ.....</i> | <i>9</i> |
| <i>ESECUZIONE ED ELABORAZIONE DELLA MISURA 8</i> | <i>16</i> |
| <i>ELABORAZIONE E INTERPRETAZIONE DEI DATI.....</i> | <i>18</i> |



CHIMILAB
LABORATORIO DI ANALISI CHIMICHE

Analisi Chimico · Fisiche e Batteriologiche
Alimenti · Acqua · Aria · Suolo · Rifiuti · Emissioni
Amianto · Gas Free · Radon · Rumori

Laboratorio autorizzato dal Ministero della Salute ad eseguire
analisi su materiali contenenti amianto con cod. N° 323 PUG 16

Azienda con
SISTEMA DI GESTIONE QUALITÀ
UNI EN ISO 9001

SISTEMA DI GESTIONE SALUTE E SICUREZZA
UNI ISO 45001

SISTEMA DI GESTIONE AMBIENTALE
UNI EN ISO 14001

PREMESSA

La Società Chimilab s.r.l. di Ruffano (Le) è stata incaricata dal Consorzio Industriale Provinciale Nord Est Sardegna – Gallura, per eseguire un sistema di monitoraggio geoelettrico presso l'impianto trattamento dei rifiuti "Lotto 1 – discarica consortile per RNP" in località Santu Spirito, nel Comune di Olbia.

In questa fase si descrive la **Misura 8 (ottava misura in fase di esercizio della discarica)** effettuata nel giorno 27 Novembre del 2025, in particolare questa misura e quelle successive risultano necessarie soprattutto per determinare eventuali variazioni delle resistività elettriche del sottosuolo rispetto al modello ottenuto nella fase di Collaudo (Ottobre 2020) e soprattutto ai modelli sia delle quattro *Misure 0 (zero)* (Febbraio 2021, Giugno 2021, Dicembre 2021 e Aprile 2022) di partenza eseguite precedentemente la fase di esercizio della discarica che ai modelli della *Misura 1, Misura 2, Misura 3, Misura 4, Misura 5, Misura 6 e Misura 7* (Dicembre 2022, Giugno 2023, Dicembre 2023, Giugno 2024, Dicembre 2024, Febbraio 2025 e Giugno 2025) eseguite durante la fase di esercizio della discarica.

Il lavoro, in generale, prevede in modo indiretto, un monitoraggio permanente e continuo della qualità dell'impermeabilizzazione delle barriere, con individuazione precisa e veloce di eventuali perdite con conseguente infiltrazione di percolati inquinanti nell'ambiente circostante della discarica.

La discarica oggetto di controllo (lotto1), autorizzata con Det.. 3946/19 della Provincia di Sassari (Autorizzazione integrata ambientale), è stato recentemente approvato, con Det. 1872 del 05/06/2023 della Provincia di Sassari (modifica non sostanziale della succitata AIA), un

incremento volumetrico (per sopraelevazione), che porta lo spessore massimo dei rifiuti da 5 a 9 m.

Per realizzare il monitoraggio, sul fondo della vasca sono stati disposti 6 stendimenti geoelettrici distanziati tra di loro 15 metri, in modo da ottenere un modello tomografico geoelettrico in 3D.

In seguito verranno descritti i risultati dei modelli geoelettrici ottenuti.



CHIMILAB
LABORATORIO DI ANALISI CHIMICHE

Analisi Chimico · Fisiche e Batteriologiche
Alimenti · Acqua · Aria · Suolo · Rifiuti · Emissioni
Amianto · Gas Free · Radon · Rumori

Laboratorio autorizzato dal Ministero della Salute ad eseguire
analisi su materiali contenenti amianto con cod. N° 323 PUG 16

Azienda con
SISTEMA DI GESTIONE QUALITÀ
UNI EN ISO 9001

SISTEMA DI GESTIONE SALUTE E SICUREZZA
UNI ISO 45001

SISTEMA DI GESTIONE AMBIENTALE
UNI EN ISO 14001

OBIETTIVO GENERALE DEL LAVORO E SISTEMA DI MONITORAGGIO DEL SISTEMA DI IMPERMEABILIZZAZIONE

L'obiettivo del lavoro è quello di monitorare nel tempo il sottofondo della vasca della discarica attraverso una sua ricostruzione in 3D con metodi geoelettrici, in grado di individuare eventuali anomalie di resistività riconducibili alla presenza di percolato sotto il fondo della vasca.

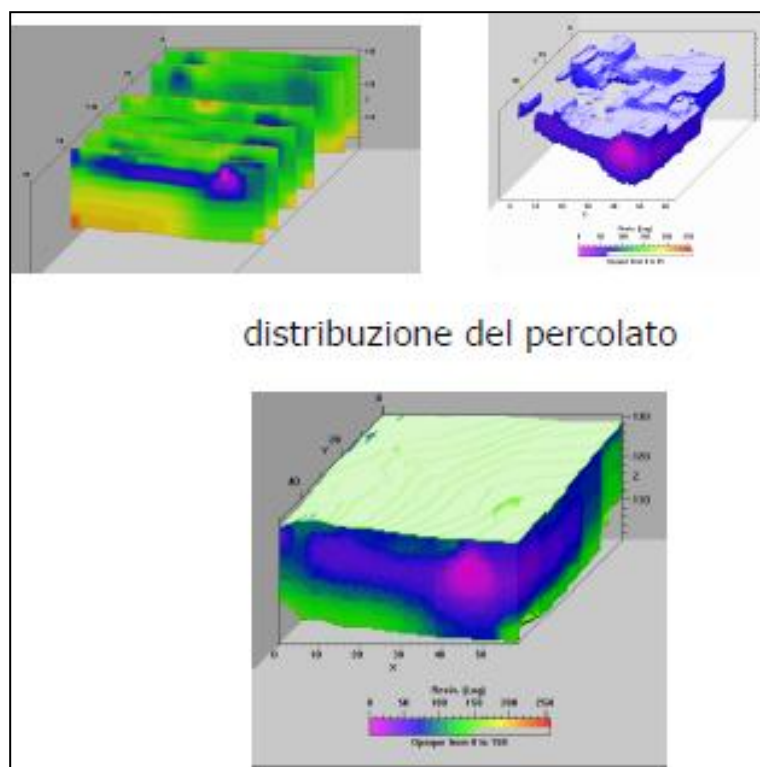
La ricostruzione in 3D viene eseguita attraverso la tecnica geofisica della Tomografia Elettrica ERT, che è un metodo di studio che la distingue per le sue le caratteristiche tecniche (di seguito descritte) e per la particolare capacità di individuare anche piccole variazioni di resistività nel terreno sia per profondità oltre 100 m p.c. sia per distanze longitudinali anche chilometriche. Per tali ragioni risulta la miglior tecnologia disponibile per riuscire ad individuare, nel sottofondo della vasca della discarica, la presenza di eventuali perdite di percolato.

Il monitoraggio si protrae nel tempo interessando la fase d'esercizio della discarica: eventuali perdite di percolato al di sotto del telo HDPE saranno identificate confrontando i modelli geoelettrici elaborati periodicamente durante la fase di esercizio della discarica con il modello della *Misura di Collaudo* e delle *Misure 0* eseguite prima della messa in attività della discarica.

In generale, il percolato prodotto dai rifiuti che potrebbe interessare il sottosuolo qualora si verificasse una rottura del telo HDPE si propagherebbe formando il cosiddetto *plume di contaminazione*: si tratta di una zona del sottosuolo contaminata generalmente a forma di goccia con la punta rivolta verso l'alto caratterizzata da valori di resistività elettrica di qualche $\Omega \cdot m$ (come si può notare nell'immagine che segue). Sfruttando tale caratteristica, nei modelli geoelettrici interpretati successivamente alla

Misura di Collaudo e alle Misure 0, eventuali perdite di percolati, saranno identificati con **importanti** diminuzioni di resistività elettrica rispetto alla di Misura di Collaudo e alle Misure 0.

Il tempo di propagazione di un eventuale percolato nel sottosuolo generato dai rifiuti, dipende molto dalla permeabilità dei terreni: in generale, prima che si crei un plume di contaminazione dovranno trascorrere alcuni mesi, pertanto alla luce di ciò, la Società Chimilab consiglia di eseguire una misura geoelettrica, attraverso il sistema installato sul fondo della vasca, con frequenza semestrale.



Esempio di distribuzione del percolato

Sebbene tale sistema non indicherebbe il punto preciso dell'eventuale rottura del telo HDPE, il plume di contaminazione a forma di goccia indicherebbe, in corrispondenza della parte appuntita, la porzione di area del sistema di impermeabilizzazione danneggiata.

INQUADRAMENTO TERRITORIALE

L'area indagata è situata a circa 7 km a Sud-Est del centro urbano di Olbia ed è individuata dalle seguenti coordinate geografiche:

Latitudine: 40°52'31.49"N

Longitudine: 9°33'43.34"E



Immagine da Google Earth ®

INDAGINI GEOELETTRICHE CON RICOSTRUZIONE TOMOGRAFICA

L'indagine elettrica prevede sempre una fase preliminare al fine di comprendere al meglio le problematiche da affrontare e le peculiarità del sito. Il metodo scelto permette di stimare la resistività del sottosuolo in esame; tale parametro è fondamentale per l'individuazione dei passaggi stratigrafici, cavità, percolati ed eventuali sottoservizi presenti.

I valori di resistività vengono rilevati introducendo nel sottosuolo una corrente attraverso due elettrodi di corrente e misurando la differenza di potenziale attraverso altri due elettrodi, detti appunto di misura. L'invio della corrente nel sottosuolo, utilizzando delle sorgenti puntiformi in superficie, determina l'irraggiamento delle linee di corrente attraverso superfici di forma semisferica. In generale il terreno non è elettricamente omogeneo né isotropo, perciò quando viene immessa corrente in esso, una qualsiasi causa di variazione di conducibilità, ne altera il flusso, provocando un'anomala distribuzione del potenziale.

La misura di questo valore prende il nome di "resistività apparente", in quanto dipende dalla disposizione degli elettrodi nel terreno. La raccolta di queste informazioni avviene lungo tutto il tratto percorso dai filetti elettrici e, di conseguenza, da tutta la semisfera prodotta dall'immissione di corrente nel sottosuolo.

La tomografia elettrica di superficie (TES) si basa su un elevato numero di misure elettriche (metodologia multielettrodo) disposti sul terreno lungo i profili scelti. La restituzione dei risultati (ricostruzione tomografica) viene realizzata approssimando il terreno (sottosuolo) in maglie o celle ("elementi finiti") e riportando in un'apposita sezione gli elementi finiti con resistività omogenea.

STRUMENTAZIONE UTILIZZATA

La strumentazione utilizzata per le misure (Syscal Pro) contiene assemblati sia il sistema di energizzante che quello ricevente. Il sistema di ricezione è costituito da un millivoltmetro digitale, atto a misurare la tensione correlata al segnale di corrente inviato; mentre il trasmettitore, alimentato da batteria esterna, invia nel terreno un segnale di corrente regolare. L'apparecchiatura procede ad una rimozione immediata del fattore di disturbo stazionario (generato da fenomeni di polarizzazione spontanea) tramite l'inversione della polarità del flusso di corrente continua nel sottosuolo, cioè grazie all'uso dell'onda quadra di corrente.

La strumentazione utilizzata nelle indagini è quindi costituita da:

- Un georesistivimetro Syscal Pro della Iris Instruments;
- Piastrine in acciaio (lunghezza 10 cm) da collegare ai canali del georesistivimetro;
- cavi multicanale per collegare le piastrine al georesistivimetro;
- batterie da 12V per alimentare il georesistivimetro.

Per l'elaborazione dati è stato utilizzato il programma ERTLlab della Geostudi Astier S.r.l.

IL METODO DELLA RESISTIVITÀ

Lo scopo di un'indagine geoelettrica in una certa area è quello di determinare la distribuzione del parametro fisico *resistività elettrica* nel sottosuolo.

La resistività di un materiale è una misura di quanto esso si oppone al passaggio di corrente elettrica, ed è l'inverso della conducibilità (o conduttività). Essa dipende dai fattori chimico-fisici che hanno influenzato la struttura delle rocce e da quelli che ne determinano le modifiche nel tempo.

Le rocce possono essere considerate, nella maggioranza dei casi, degli elettroliti solidi. In essi la conduzione avviene per processi che interessano gli ioni legati a formare le strutture cristalline; in generale la forza esercitata sugli ioni da parte di un campo elettrico, è minore delle forze che legano tali ioni e pertanto gli elettroliti solidi possono considerarsi *isolanti*.

Le rocce naturali, però, sono in genere permeate da una certa quantità di acqua interstiziale ricca in sali e pertanto acquistano una conduttività ionica che dipende dalla quantità di spazi nella roccia (pori, microfessure, fratture) che sono saturati dall'acqua. In generale si ha dunque che quanto più porosa e fessurata è una roccia, tanto più è elevato il suo contenuto in acqua e tanto più, quindi, è alta la sua conduttività (e ovviamente bassa la sua resistività).

In generale, la *resistività* delle rocce porose, sottosature di acqua, si può ottenere dalla *relazione empirica di Archie*: $\rho = \rho_w a \Phi^{-m} S^{-n}$

dove ρ_w è la resistività dell'acqua di imbibizione; Φ è la porosità (rapporto tra il volume dei pori e quello della roccia); S è il grado di saturazione (o imbibizione - rapporto tra il volume dei pori riempiti d'acqua e quello complessivo dei pori) della roccia (variabile tra 0.1 e 1); a ,

m , n , sono fattori numerici ed in particolare: m è il fattore di cementazione (varia da 1.3 a 2.5) ed a è il coefficiente di tessitura. Per quanto riguarda n , tale parametro assume generalmente un valore pari a 2. La *tessitura* esprime la disposizione, forma e dimensione dei granuli che compongono la roccia, nonché la rete di canalicoli irregolari e tortuosi riempiti di elettrolita (Norinelli, 1982).

Un altro fattore che influenza la resistività è la *temperatura*: un aumento di quest'ultima, infatti, causa un incremento della mobilità degli ioni presenti nella soluzione elettrolitica e quindi della conduttività.

| Roccia/Materiale | Resistività ($\Omega \cdot m$) |
|-------------------------|----------------------------------|
| Argille, marne grasse | 3 - 30 |
| Argille, marne magre | 10 - 40 |
| Argille sabbiose, silt | 25 - 105 |
| Sabbie con argille | 50 - 300 |
| Sabbia, ghiaia in falda | 200 - 400 |
| Sabbia, ghiaia asciutta | 800 - 5000 |
| Calcare, gesso | 500 - 3500 |
| Arenaria | 300 - 3000 |
| Granito | 2000 - 10 000 |
| Gneiss | 400 - 6000 |

Valori di resistività dei terreni più comuni (Leucci, 2015; Leucci, 2019)

Dai valori noti di corrente erogata, dalla configurazione geometrica degli elettrodi e dalla differenza di potenziale misurata si calcola analiticamente la *resistività apparente* dei terreni indagati.

In particolare, la resistività di un terreno omogeneo e isotropo è data dalla seguente relazione:

$$\rho = (\Delta V/I) \cdot K$$

dove K è il coefficiente geometrico che dipende dalla disposizione degli elettrodi sulla superficie, ΔV è la differenza di potenziale misurata e I l'intensità di corrente.

Tuttavia, il sottosuolo non è elettricamente omogeneo e isotropo pertanto, quando in esso si immette corrente, una qualsiasi causa di variazione di conducibilità, ne altera il flusso provocando, di conseguenza, una anomala distribuzione del potenziale rispetto a quella che si avrebbe per un sottosuolo omogeneo.

In conclusione, il valore di resistività che si misura in realtà è una *resistività apparente* e va considerata come un'anomalia rispetto a quella misurabile per una distribuzione teorica del potenziale in un sottosuolo omogeneo ed isotropo di resistività pari a quella propria dell'elettrostatico più superficiale (Rapolla, Carrara, Roberti, 1992).

I profili geoelettrici acquisiti con il sistema multielettrodo permettono di effettuare un'elaborazione tomografica che restituisce la distribuzione bidimensionale o tridimensionale di resistività dei materiali indagati ottenuta da un apposito programma di inversione.

In particolare, si parla di **tomografia bidimensionale (2D)** se il sottosuolo è indagato lungo una sezione piana verticale e gli elettrodi, disposti sulla superficie del terreno, sono allineati ed equidistanti (Fig. 1a); invece, nella **tomografia tridimensionale (3D)** si analizza un intero volume di sottosuolo e gli elettrodi sono posti nei nodi di una griglia sulla superficie del terreno stesso (Fig.1b).

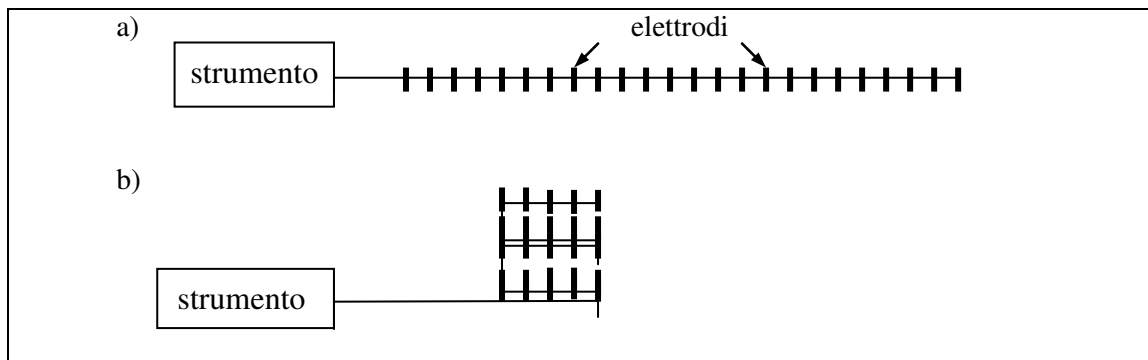


Fig. 1: Illustrazione di due disposizioni elettrodeiche bidimensionale a) e tridimensionale b)

Nei profili tomografici, gli elettrodi, in genere picchetti di ferro o di rame sono distribuiti lungo un profilo a distanza fissa (dell'ordine del metro). La scelta della distanza dipende dalla risoluzione e dalla profondità d'indagine richiesta. Gli elettrodi vengono collegati mediante un cavo multicanale allo strumento di misura e ad un computer. Il software gestisce l'emissione di corrente e la misura della differenza di potenziale utilizzando i diversi elettrodi disponibili.

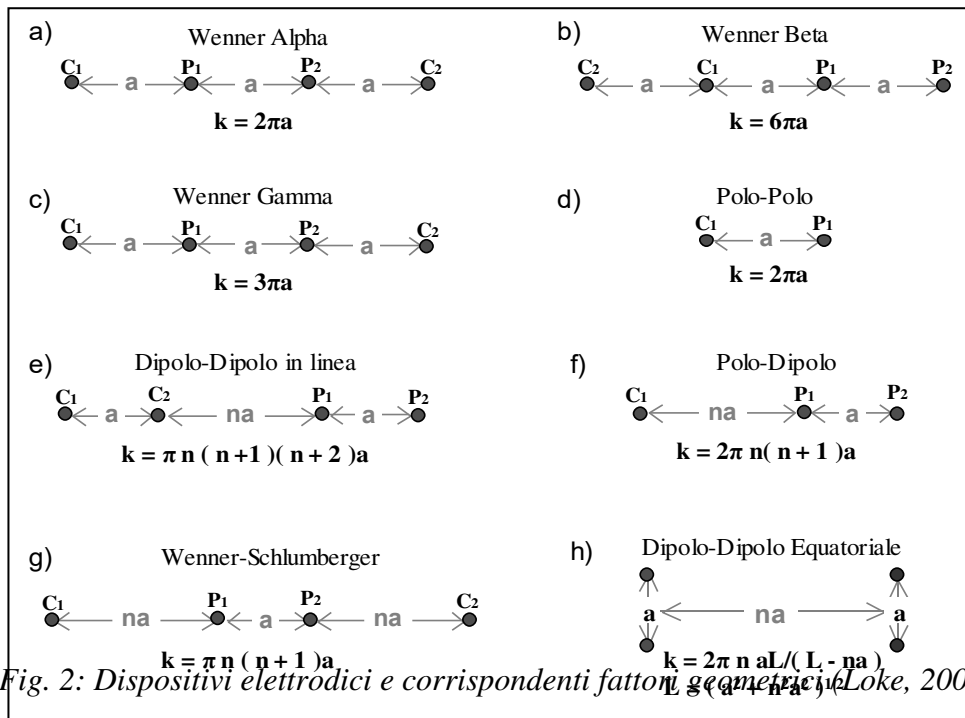
Per le prospezioni tomografiche vengono utilizzate diverse configurazioni di elettrodi di corrente e potenziale, quali ad esempio Schlumberger, Wenner, dipolo-dipolo, polo-dipolo, ecc. (Loke, 2001); la loro scelta dipende dagli scopi dell'indagine, dalle caratteristiche della regione interessata dalla misura, dal tempo a disposizione e dalla quantità di memoria disponibile sul computer.

Sono normalmente utilizzate correnti elettriche a bassa frequenza per minimizzare l'entità dei disturbi causati da servizi sotterranei e/o in superficie tipicamente presenti all'interno dei complessi industriali.

La tomografia elettrica multielettrodica aumenta di molto le prestazioni dell'indagine poiché consente di individuare le interfacce di resistività sia verticali sia orizzontali, che sono legate alla geologia stratigrafica, all'idrogeologia, alla geotecnica, ai problemi ambientali, ecc.;

la sezione di resistività completata con la sezione morfologica, restituisce una visione complessa e realistica del terreno in oggetto di studio.

In Fig. 2 sono rappresentati i vari tipi di dispositivi elettrodi. Indicheremo sempre con C1 e C2 i due elettrodi di corrente e con P1 e P2 i due elettrodi di potenziale.



Essendo, nella realtà, il sottosuolo da investigare disomogeneo, la tomografia elettrica multielettroda bidimensionale permette solo di ricostruire una sezione di resistività apparente, detta *pseudosezione* in funzione della lunghezza dello stendimento e della posizione degli elettrodi sullo stendimento stesso.

Il nome *pseudosezione* è giustificato dal fatto che la distanza interelettroda, usata come variabile indipendente, determina la profondità, ma non coincide con essa.

I risultati rappresentati sotto forma di pseudosezioni di resistività apparente possono essere presentati come linee iso-resistive o con colori

convenzionali, che permettono di distinguere aree a bassa resistività da aree a resistività relativamente maggiore. Inoltre la forma a trapezio del disegno dipende dalla graduale diminuzione del numero dei dati ottenuti aumentando la distanza degli elettrodi.

La pseudosezione dà dunque un'immagine molto approssimativa della reale distribuzione di resistività del mezzo analizzato che, dunque, appare con forme e contorni distorti rispetto a quelli reali.

A causa delle difficoltà riscontrate nell'interpretazione dei dati, bisogna trasformare mediante algoritmo d'inversione i valori di resistività apparente, graficati in forma di pseudosezione, in sezione di resistività reale; il risultato dell'indagine multielettrodica è dunque una mappatura in termini di resistività 2D o una distribuzione volumetrica di resistività 3D, dalle quali si deducono le caratteristiche litologiche del sottosuolo.

L'algoritmo di inversione, sulla base di un modello iniziale di distribuzione di resistività, calcola, tramite un procedimento agli elementi finiti, i valori di resistività apparente nei punti in cui la resistività stessa è stata misurata.

La tecnica è essenzialmente un'ottimizzazione del metodo dei minimi quadrati in cui un modello di partenza viene iterativamente modificato finché la differenza tra questo e la pseudosezione sperimentale risulta ridotta al minimo. L'assunto di base della tecnica per la costruzione del modello è che nel sottosuolo ci sono tanti strati quanti sono i valori di resistività sulla curva sperimentale di ρ_a .

La profondità media di ogni strato è uguale alla spaziatura elettrodica utilizzata per la misura di resistività moltiplicata per una costante il cui valore deve essere tale da ridurre al minimo la differenza tra la curva teorica (ricavata dal modello) e la curva sperimentale. Questa costante viene determinata utilizzando l'algoritmo del *trial and error*, ovvero

calcolando la percentuale di scarto *root mean squared* (*r.m.s.*, *radice quadrata media*) tra i valori di ρ_a osservati ed i valori ρ_a calcolati nei punti considerati.

E' da sottolineare, tuttavia, il fatto che non sempre, al più basso valore *r.m.s.* possibile, corrisponde il modello geologico di sottosuolo più vicino alla realtà, a volte, infatti, si possono ottenere variazioni poco realistiche nei valori di resistività del modello. Pertanto, l'approccio più corretto è quello di scegliere il modello di sottosuolo corrispondente all'iterazione dopo la quale l'errore *r.m.s.* non cambia significativamente. Generalmente ciò accade tra la terza e la quarta iterazione.

L'algoritmo associa, infine ad ogni maglia della griglia 2D o 3D, in cui viene suddiviso il corpo da ricostruire, un valore di resistività reale, imponendo a maglie vicine di non poter assumere valori di resistività reale arbitrariamente diversi. Questo tipo di limitazione deve infatti compensare il fatto che per ottenere un modello dettagliato e sufficientemente esteso da coprire l'intero volume del corpo investigato con tutte le misure, il numero di maglie è molto superiore al numero di dati sperimentali di resistività apparente.

ESECUZIONE ED ELABORAZIONE DELLA MISURA 8

Nel giorno 27-11-2025, è stata eseguita la **Misura 8** (discarica in esercizio) della fase di monitoraggio geoelettrico.

Attraverso i connettori disposti all'interno dei pozzetti sono stati collegati al georesistimetro due cavi per volta; in questo modo è stata realizzata un'acquisizione a 48 canali (24 per ogni cavo) per ogni misura. Il georesistivimetro utilizzato è il Syscal Pro della Iris Instruments.

Per quanto riguarda il metodo di acquisizione è stata utilizzata la configurazione Dipolo-dipolo, molto utile per determinare le variazioni latero-verticali delle resistività elettrica del sottosuolo; per ogni acquisizione a 48 canali sono stati ricavati 1195 punti di misura (fig. 4).

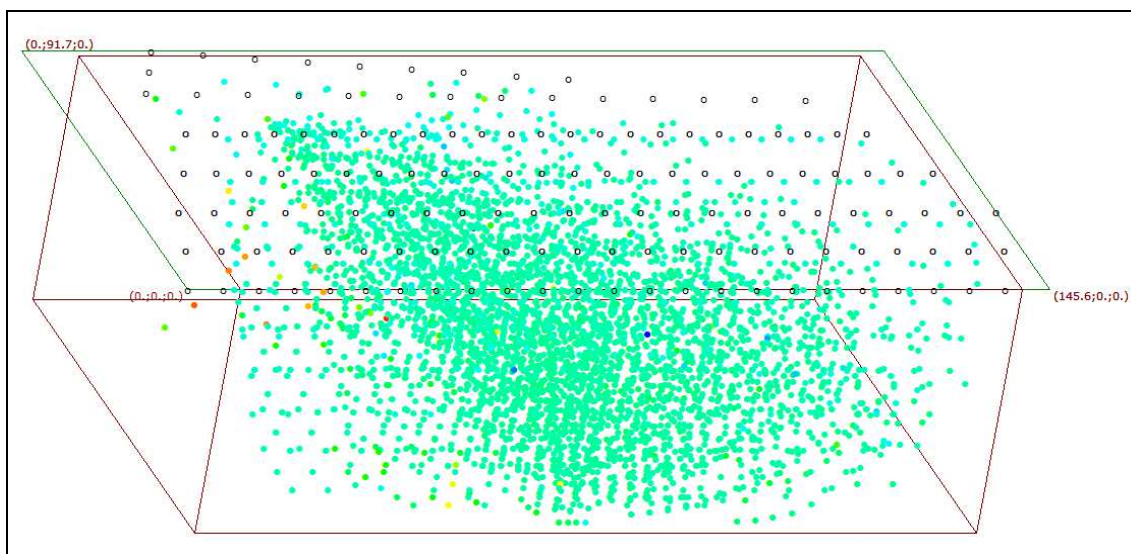


Fig. 4: Punti di acquisizione per il modello 3D del fondo vasca – Configurazione Dipolo-dipolo



Fase di acquisizione della Misura 8 (fase di esercizio della discarica)



CHIMILAB
LABORATORIO DI ANALISI CHIMICHE

Analisi Chimico - Fisiche e Batteriologiche
Alimenti - Acqua - Aria - Suolo - Rifiuti - Emissioni
Amianto - Gas Free - Radon - Rumori

Laboratorio autorizzato dal Ministero della Salute ad eseguire
analisi su materiali contenenti amianto con cod. N° 323 PUG 16

Azienda con
SISTEMA DI GESTIONE QUALITÀ
UNI EN ISO 9001

SISTEMA DI GESTIONE SALUTE E SICUREZZA
UNI ISO 45001

SISTEMA DI GESTIONE AMBIENTALE
UNI EN ISO 14001

ELABORAZIONE E INTERPRETAZIONE DEI DATI

Per l'elaborazione dei dati è stato utilizzato il programma ERTLlab della Geostudi Astier S.r.l..

Per il fondo vasca si ottenuto un unico modello 3D dato dall'elaborazione contemporanea di tutti i dati dei 6 stendimenti; il modello che ha raggiunto una profondità di 20 metri a partire dal piano del fondo vasca comprende l'intera superficie dello stesso (fig. 6).

In figura 5, oltre gli stendimenti geoelettrici, viene riportato anche il punto di visualizzazione dei modelli di seguito raffigurati.

Il modello ottenuto in questa fase è stato messo a confronto con i modelli delle misure precedenti e cioè con la *Misura di Collaudo* (Ottobre 2020), le quattro *Misure 0* (Febbraio 2021, Giugno 2021, Dicembre 2021 e Aprile 2022) eseguita prima della fase di esercizio della discarica e le *Misura 1, Misura 2 Misura 3, Misura 4, Misura 5, Misura 6 e Misura 7* (Dicembre 2022, Giugno 2023, Dicembre 2023, Giugno 2024, Dicembre 2024, Febbraio 2025 e Giugno 2025) eseguite durante la fase di esercizio della discarica; in questo modo si cerca di risaltare e interpretare eventuali variazioni delle resistività elettriche del sottosuolo che potrebbero essere responsabili di eventuali contaminazioni di perdite di percolati.

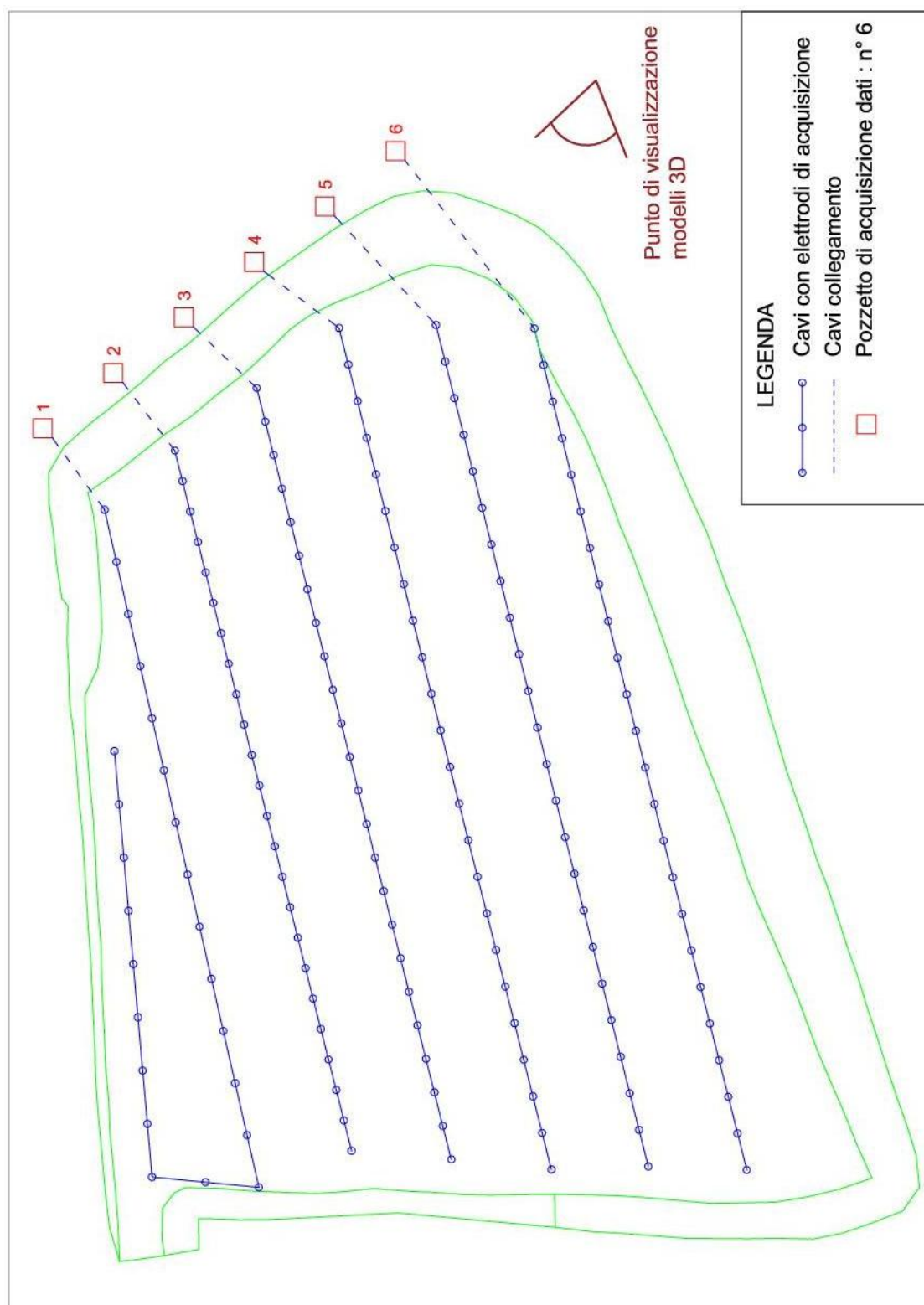


Fig. 5: Planimetria degli stendimenti geoelettrici del fondo vasca. Punto di visualizzazione dei modelli 3D (Scala 1:1000)

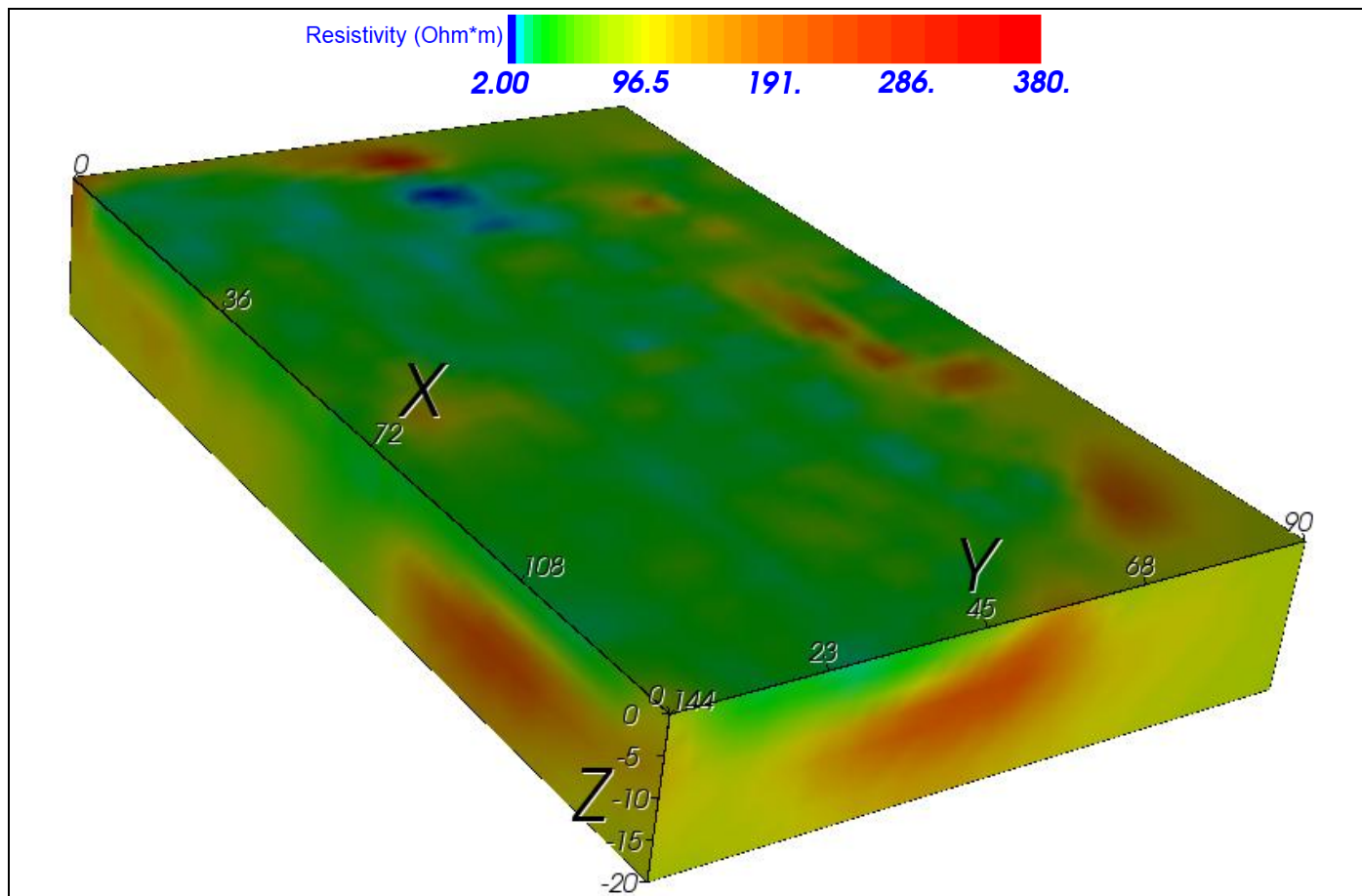


Fig. 6: Modello 3D del fondo vasca (Misura 8)

Dal modello 3D ottenuto riportato in figura 6, risulta che il sottosuolo presenta dei valori di resistività elettrica che variano da 2.00 a 380 $\Omega \cdot m$.

Nelle figure seguenti sono state messe a confronto i risultati scaturiti con una delle *Misure 0* (Aprile 2022) con quelli della attuale *Misura 8* (Novembre 2025), in particolare nella figura 8 sono state messe a confronto le sezioni verticali delle due misure le quali mostrano le differenze di resistività elettrica sia in superficie che in profondità, tali variazioni sono meglio evidenti nelle figure 8-9-10-11-12 le quali mettono a confronto le sezioni orizzontali delle due misure a varie profondità.

Come si può notare, nella *Misura 8*, i valori di resistività elettrica rispetto alla *Misura 0*, subiscono delle variazioni sia positive che negative, inoltre, sempre rispetto alla *Misura 0*, si ha una maggiore distribuzione dei

valori basso-resistivi soprattutto nella parte superficiale della vasca per uno spessore massimo di 2.0 metri.

Rispetto invece ai modelli della *Misura 1, 2, 3, 4, 5, 6 e 7* (Dicembre 2022, Giugno 2023, Dicembre 2023, Giugno 2024, Dicembre 2024, Febbraio 2025 e Giugno 2025) il modello della *Misura 8* risulta molto simile: si registrano solo delle variazioni negative nella maggior parte delle zone in cui i valori di resistività elettrica risultavano relativamente alti. Nella parte restante del modello, i valori di resistività presentano pressoché gli stessi valori delle suddette *Misure* e solo in alcune piccole zone si registra un importante aumento.

In buona sostanza, a partire dalla fase di esercizio della discarica si sta osservando nella parte superficiale della discarica una tendenza alla omogeneizzazione dei valori di resistività elettrica.

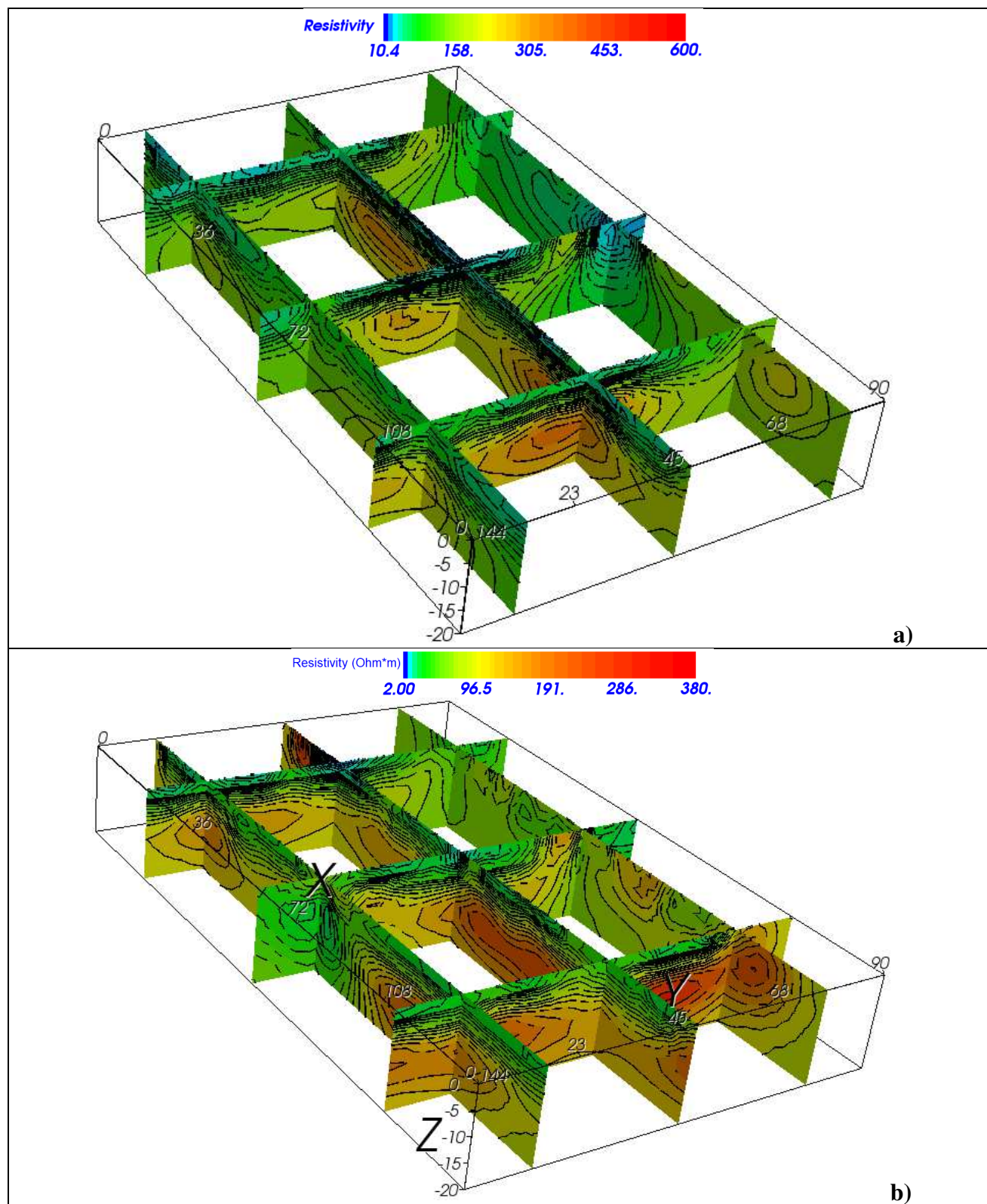


Fig. 7: Sezioni verticali: **a)** Misura 0 (Aprile 2022); **b)** Misura 8 (Novembre 2025)

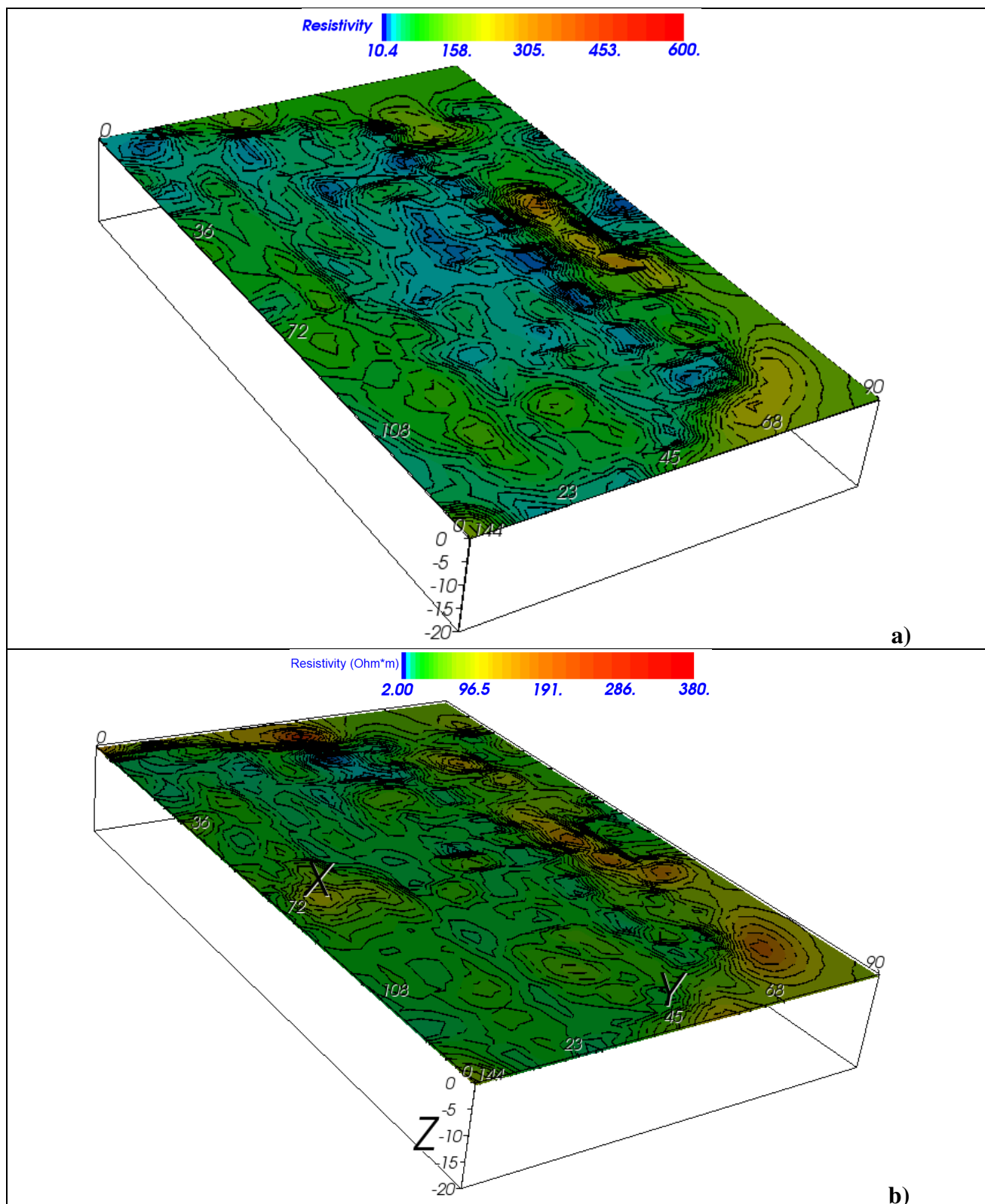


Fig. 8: Sezioni orizzontali a 0.0 metri dal p.c.: **a)** Misura 0 (Aprile 2022);
b) Misura 8 (Novembre 2025)



CHIMILAB
 LABORATORIO DI ANALISI CHIMICHE

Analisi Chimico - Fisiche e Batteriologiche
 Alimenti - Acqua - Aria - Suolo - Rifiuti - Emissioni
 Amianto - Gas Free - Radon - Rumori

Laboratorio autorizzato dal Ministero della Salute ad eseguire
 analisi su materiali contenenti amianto con cod. N° 323 PUG 16

Azienda con
 SISTEMA DI GESTIONE QUALITÀ
 UNI EN ISO 9001

SISTEMA DI GESTIONE SALUTE E SICUREZZA
 UNI ISO 45001

SISTEMA DI GESTIONE AMBIENTALE
 UNI EN ISO 14001

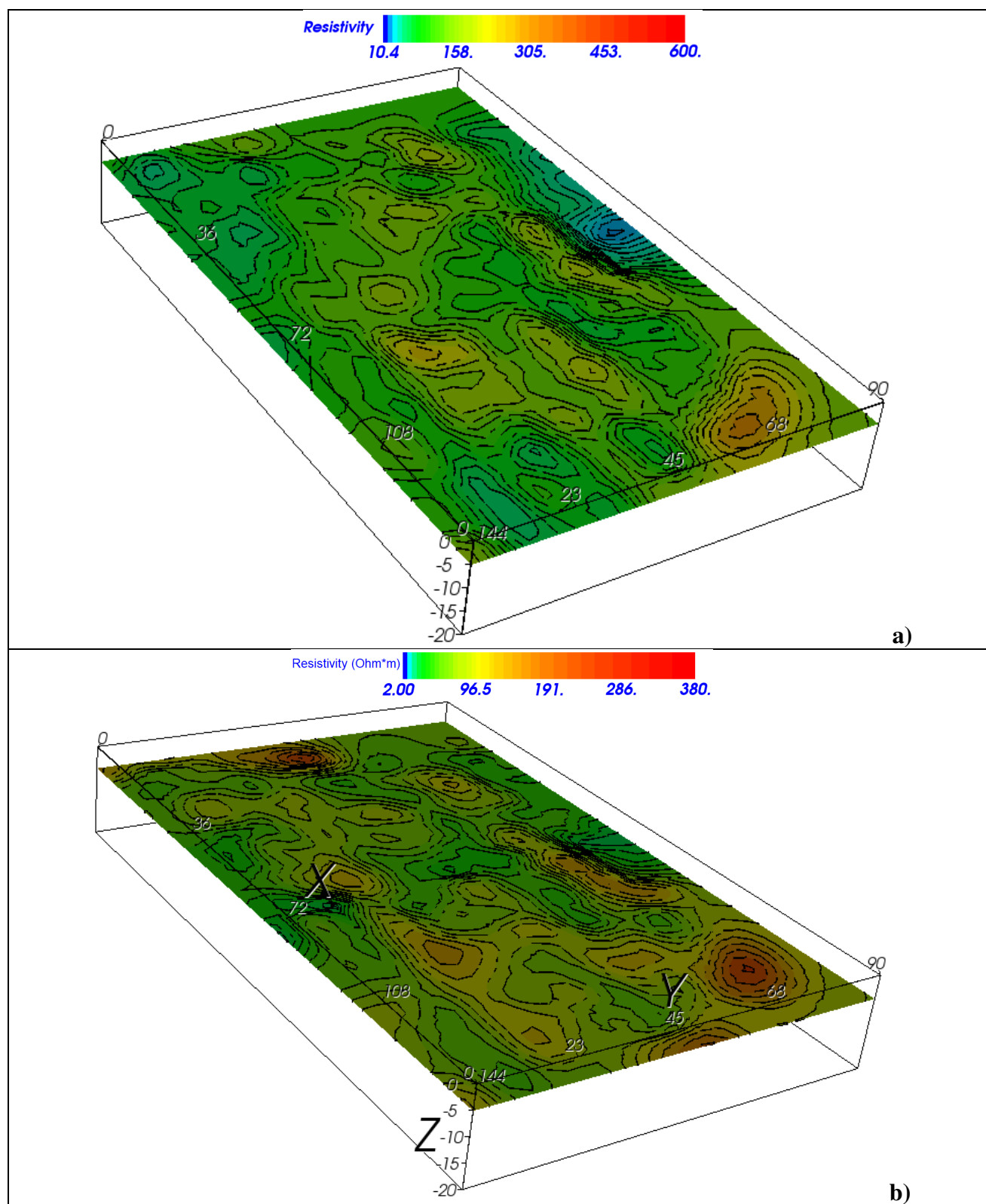


Fig. 9: Sezioni orizzontali a -5.0 metri dal p.c.: **a)** Misura 0 (Aprile 2022);
b) Misura 8 (Novembre 2025)

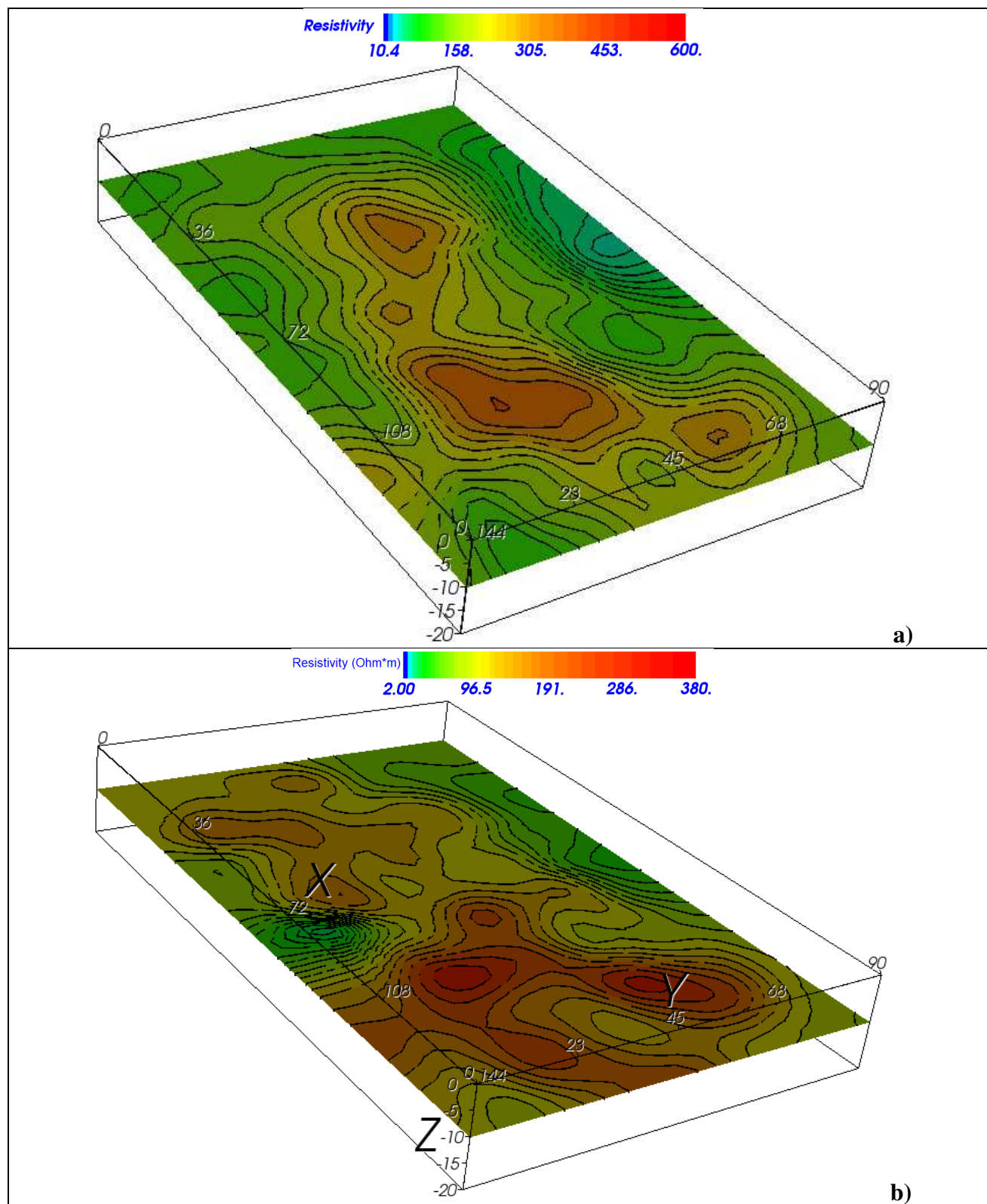


Fig. 10: Sezioni orizzontali a -10.0 metri dal p.c.: **a)** Misura 0 (Aprile 2022);
b) Misura 8 (Novembre 2025)

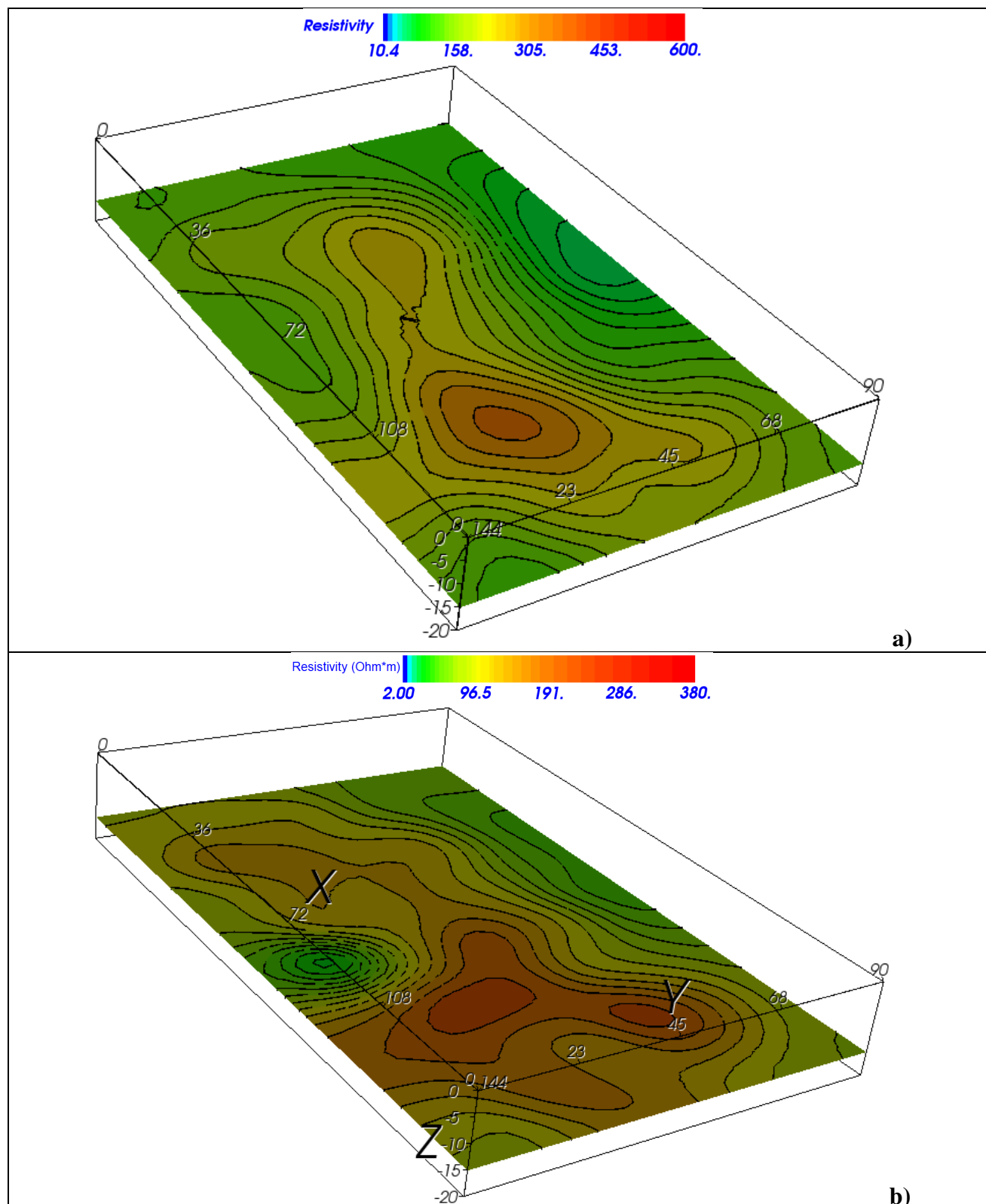


Fig. 11: Sezioni orizzontali a -15.0 metri dal p.c.: **a)** Misura 0 (Aprile 2022);
b) Misura 8 (Novembre 2025)



CHIMILAB
 LABORATORIO DI ANALISI CHIMICHE

Analisi Chimico - Fisiche e Batteriologiche
 Alimenti - Acqua - Aria - Suolo - Rifiuti - Emissioni
 Amianto - Gas Free - Radon - Rumori

Laboratorio autorizzato dal Ministero della Salute ad eseguire
 analisi su materiali contenenti amianto con cod. N° 323 PUG 16

Azienda con
 SISTEMA DI GESTIONE QUALITÀ
 UNI EN ISO 9001

SISTEMA DI GESTIONE SALUTE E SICUREZZA
 UNI ISO 45001

SISTEMA DI GESTIONE AMBIENTALE
 UNI EN ISO 14001

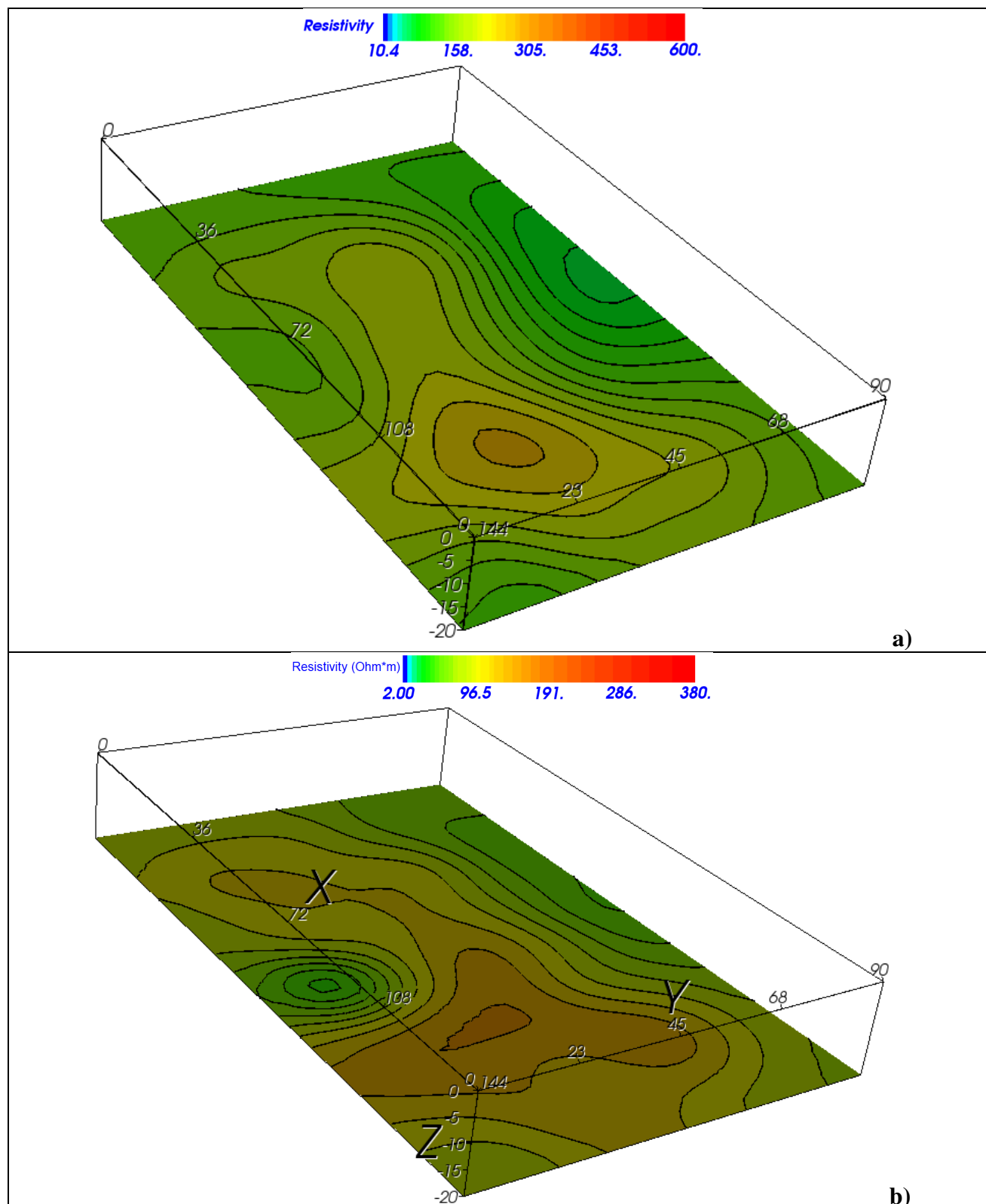


Fig. 12: Sezioni orizzontali a -20.0 metri dal p.c.: **a)** Misura 0 (Aprile 2022);
b) Misura 8 (Novembre 2025)

Per un confronto più immediato e per una diretta visualizzazione dell'evoluzione dei valori basso-resistivi ($<30 \Omega \cdot m$), nelle figure 13, 13a e 13b sono state rappresentate i time-lapse di tali valori di tutti i modelli (*Misura di Collaudo, Misure 0, 1, 2, 3, 4, 5, 6, 7 e 8*): si può notare come tali valori, nella Misura di Collaudo (prima della posa del telo HDPE) erano presenti in piccole porzioni in superficie, nelle *Misure 0* (prima dell'esercizio della discarica e dopo la posa del telo HDPE) tali zone basso-resistive tendono ad aumentare in modo molto modesto fino a stabilizzarsi, mentre durante la fase di esercizio della discarica gli stessi riprendono ad aumentare e ad uniformarsi soprattutto in superficie (*Misura 1 e 2*) e a stabilizzarsi (*Misura 3, 4, 5, 6, 7 e 8*).



CHIMILAB
LABORATORIO DI ANALISI CHIMICHE

Analisi Chimico · Fisiche e Batteriologiche
Alimenti · Acqua · Aria · Suolo · Rifiuti · Emissioni
Amianto · Gas Free · Radon · Rumori

Laboratorio autorizzato dal Ministero della Salute ad eseguire
analisi su materiali contenenti amianto con cod. N° 323 PUG 16

Azienda con
SISTEMA DI GESTIONE QUALITÀ
UNI EN ISO 9001

SISTEMA DI GESTIONE SALUTE E SICUREZZA
UNI ISO 45001

SISTEMA DI GESTIONE AMBIENTALE
UNI EN ISO 14001

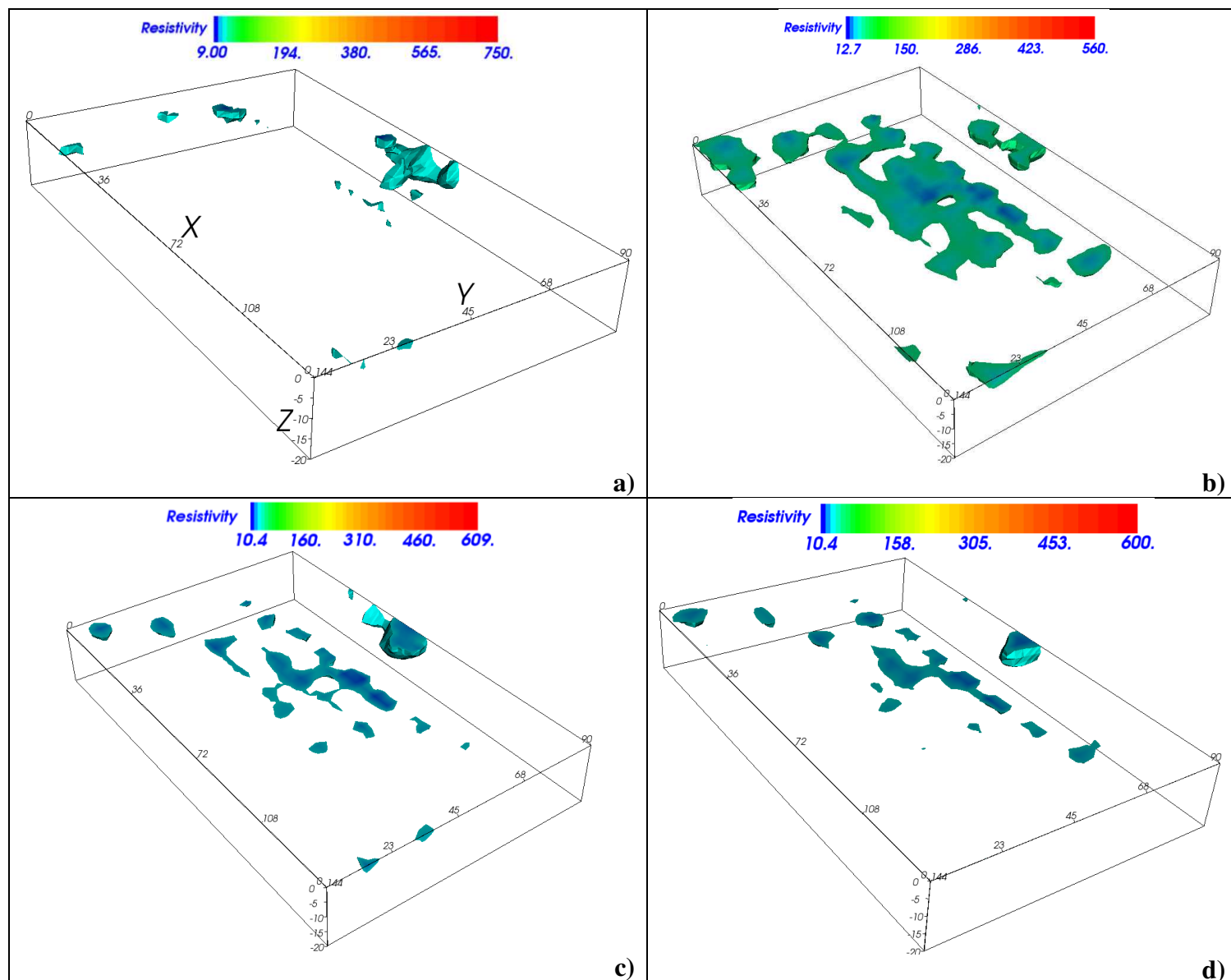


Fig. 13: Volumi di resistività elettrica ($<30 \Omega \cdot m$): **a)** Misura di Collaudo (Ottobre 2020); **b)** Misura 0 (Febbraio 2021); **c)** Misura 0 (Giugno 2021); **d)** Misura 0 (Dicembre 2021)

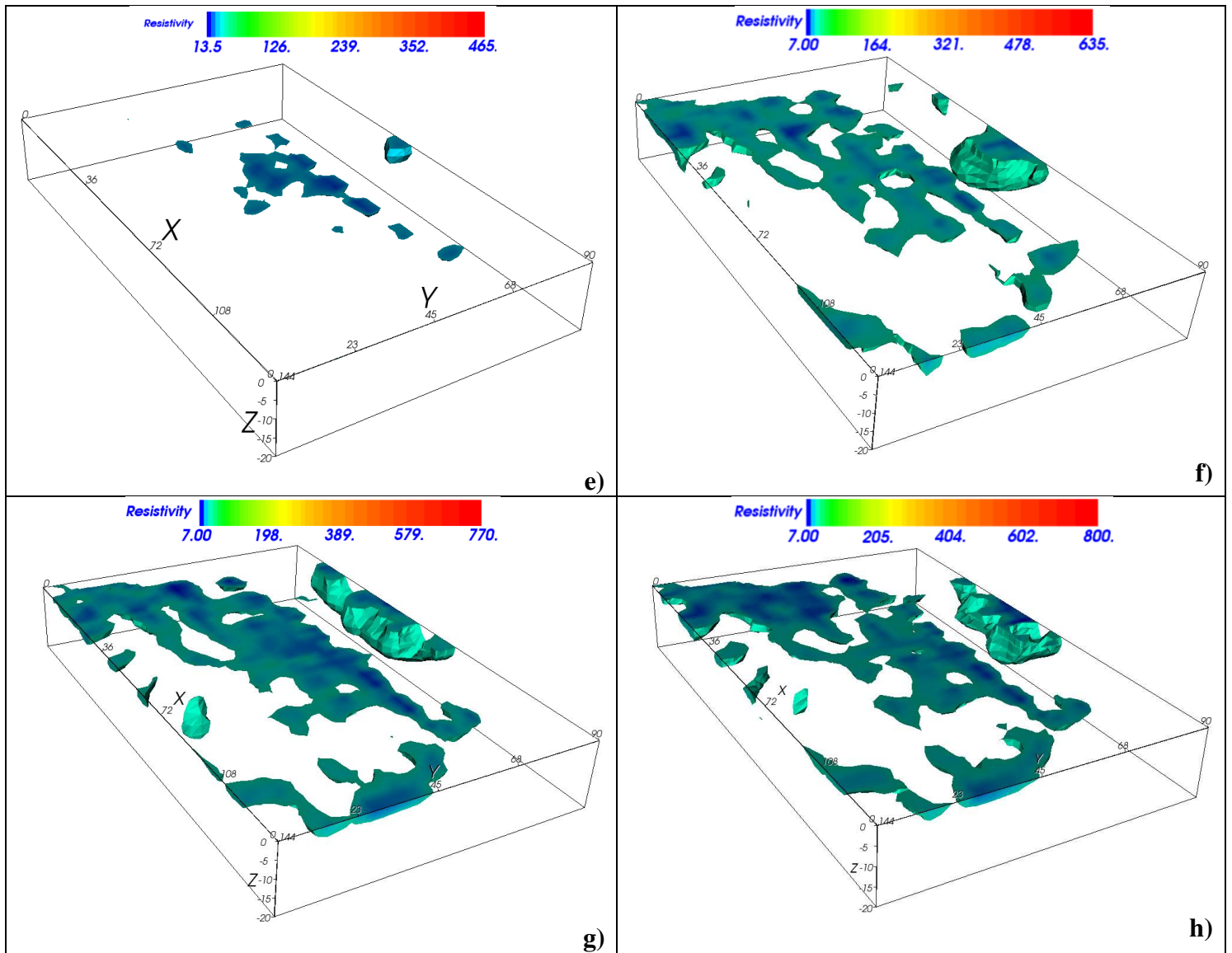


Fig. 13a: Volumi di resistività elettrica ($<30 \Omega \cdot m$): **e)** Misura 0 (Aprile 2022);
f) Misura 1 (Dicembre 2022); **g)** Misura 2 (Giugno 2023); **h)** Misura 3 (Dicembre 2023)



CHIMILAB
 LABORATORIO DI ANALISI CHIMICHE

Analisi Chimico - Fisiche e Batteriologiche
 Alimenti - Acqua - Aria - Suolo - Rifiuti - Emissioni
 Amianto - Gas Free - Radon - Rumori

Laboratorio autorizzato dal Ministero della Salute ad eseguire
 analisi su materiali contenenti amianto con cod. N° 323 PUG 16

Azienda con
 SISTEMA DI GESTIONE QUALITÀ
 UNI EN ISO 9001

SISTEMA DI GESTIONE SALUTE E SICUREZZA
 UNI ISO 45001

SISTEMA DI GESTIONE AMBIENTALE
 UNI EN ISO 14001

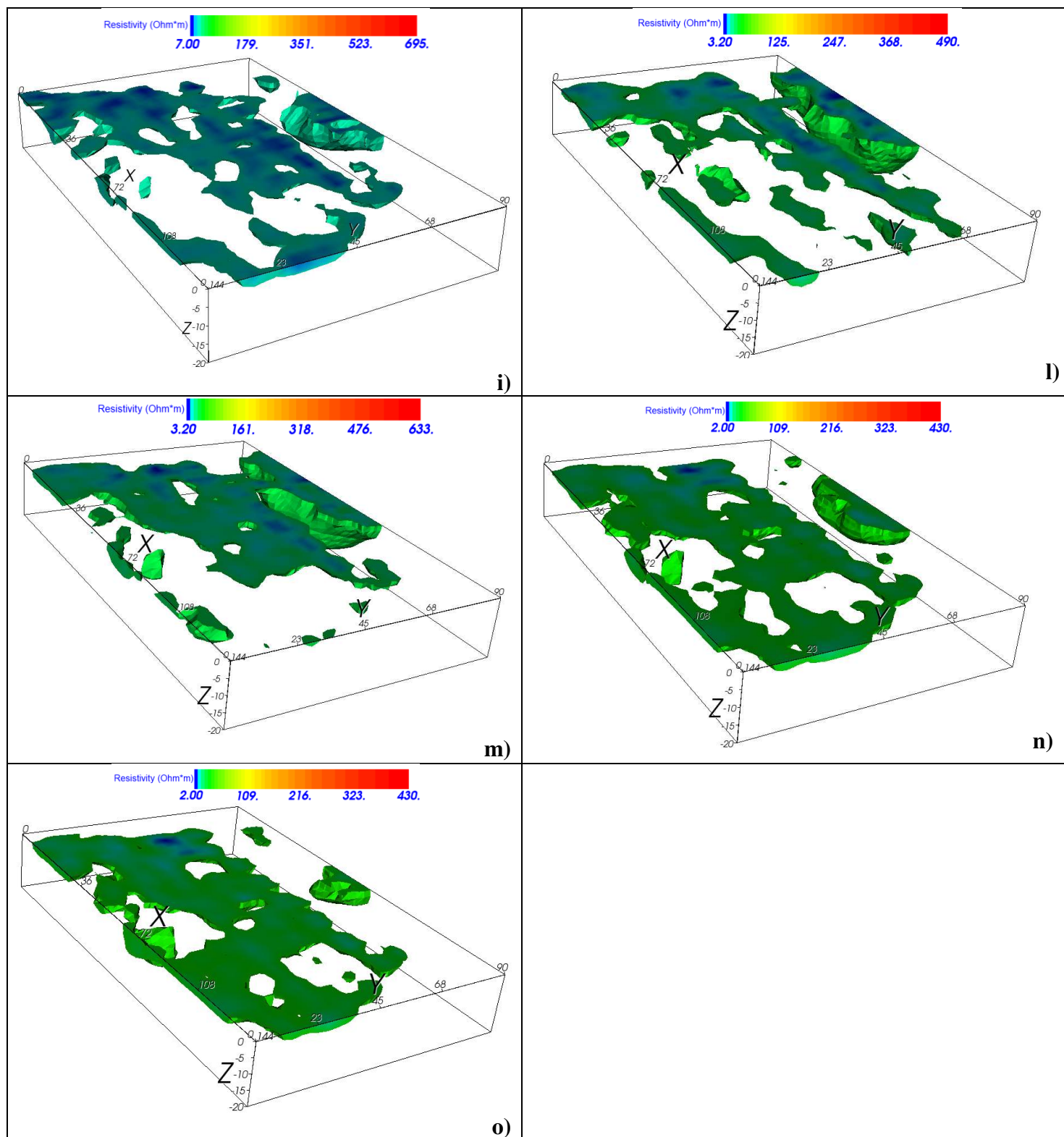


Fig. 13b: Volumi di resistività elettrica ($<30 \Omega\cdot m$): **i)** Misura 4 (Giugno 2024); **l)** Misura 5 (Dicembre 2024); **m)** Misura 6 (Febbraio 2025); **n)** Misura 7 (Giugno 2025); **o)** Misura 8 (Novembre 2025)

In conclusione, data la finalità del lavoro, in questa fase i dati più importanti da mettere in risalto sono i valori basso-resistivi responsabili di una eventuale perdita di percolato nel sottosuolo, sebbene si registrano delle diminuzioni di resistività, nella *Misura 8* non si notano valori particolarmente bassi che fanno preludere ad una contaminazione di percolato da parte dei rifiuti sovrastanti, inoltre il modello della *Misura 8* è molto simile ai modelli della *Misura 1, 2, 3, 4, 5, 6 e 7*. Una piccola zona che registra un valore di $2.0 \Omega \cdot m$ è presente nella parte retrostante del modello, si tratta di una zona molto limitata e che non assume nessuna forma a plume di contaminazione, infatti essa, anche seppur limitatamente, si distribuisce in modo areale.

I valori registrati in questa fase non scendono mai al di sotto dei $7.0 \Omega \cdot m$ (eccetto per la piccola zona prima citata) e probabilmente la maggiore distribuzione dei valori relativamente bassi ($7-30 \Omega \cdot m$) nei primi metri del sottosuolo è causata da una maggiore concentrazione dell'umidità naturale.

Ruffano, Dicembre 2025

IL DIRETTORE TECNICO CHIMILAB

Dott.ssa Daniela Cossa



IL TECNICO

Dott. Geol. Marcello De Donatis



CHIMILAB
LABORATORIO DI ANALISI CHIMICHE

Analisi Chimico · Fisiche e Batteriologiche
Alimenti · Acqua · Aria · Suolo · Rifiuti · Emissioni
Amianto · Gas Free · Radon · Rumori

Laboratorio autorizzato dal Ministero della Salute ad eseguire
analisi su materiali contenenti amianto con cod. N° 323 PUG 16

Azienda con
SISTEMA DI GESTIONE QUALITÀ
UNI EN ISO 9001

SISTEMA DI GESTIONE SALUTE E SICUREZZA
UNI ISO 45001

SISTEMA DI GESTIONE AMBIENTALE
UNI EN ISO 14001

| | |
|-----------------------------------|---|
| COMMITTENTE: | Consorzio Industriale Provinciale Nord Est Sardegna - Gallura |
| CANTIERE: | Lotto 1 – discarica consortile per RNP |
| LOCALITA' | Loc. Santu Spirito |
| TIPOLOGIA DI INDAGINI: | IMPIANTO MONITORAGGIO GEOELETTRICO PERMANENTE – FASE DI ESERCIZIO (MISURA 8) NOVEMBRE 2025 |

ALLEGATO:
DATI GEOELETTRICI FASE DI ESERCIZIO (MISURA 8)
27 NOVEMBRE 2025

| Dati Geolettrici_Misura 8 27 Novembre 2025 | | | | | | |
|--|--------|--------|--------|--------|-----------|----------|
| Misura n. | Elec_A | Elec_B | Elec_M | Elec_N | V/I(ohm) | I(mA) |
| 1 | 1 | 2 | 3 | 4 | -0.053398 | 2525.024 |
| 2 | 1 | 2 | 6 | 7 | -0.018894 | 2525.024 |
| 3 | 1 | 2 | 7 | 8 | -0.000159 | 2525.024 |
| 4 | 1 | 3 | 10 | 12 | 0.000025 | 2399.825 |
| 5 | 1 | 5 | 26 | 23 | -0.000159 | 2524.537 |
| 6 | 1 | 5 | 23 | 27 | 0.000155 | 2524.537 |
| 7 | 1 | 6 | 30 | 35 | -0.000011 | 2524.385 |
| 8 | 1 | 6 | 35 | 31 | 0.000008 | 2524.385 |
| 9 | 2 | 3 | 5 | 6 | -0.01274 | 1541.357 |
| 10 | 2 | 3 | 8 | 9 | -2.700687 | 1541.357 |
| 11 | 2 | 4 | 12 | 14 | 0.051938 | 646.974 |
| 12 | 2 | 4 | 14 | 16 | 0.05006 | 646.974 |
| 13 | 2 | 4 | 16 | 11 | -0.047411 | 646.974 |
| 14 | 2 | 4 | 11 | 13 | 0.034439 | 646.974 |
| 15 | 2 | 4 | 13 | 15 | 0.064022 | 646.974 |
| 16 | 2 | 4 | 15 | 17 | -0.106574 | 646.974 |
| 17 | 2 | 5 | 22 | 17 | 0.008634 | 2524.198 |
| 18 | 2 | 5 | 17 | 20 | -0.008521 | 2524.198 |
| 19 | 2 | 7 | 28 | 33 | -0.018423 | 969.723 |
| 20 | 2 | 7 | 33 | 29 | 0.017833 | 969.723 |
| 21 | 2 | 7 | 29 | 34 | -0.026151 | 969.723 |
| 22 | 2 | 7 | 34 | 30 | 0.024686 | 969.723 |
| 23 | 2 | 7 | 30 | 35 | -0.031153 | 969.723 |
| 24 | 2 | 7 | 35 | 31 | 0.027976 | 969.723 |
| 25 | 2 | 7 | 31 | 36 | -0.032715 | 969.723 |
| 26 | 2 | 7 | 36 | 32 | 0.027059 | 969.723 |
| 27 | 3 | 5 | 11 | 13 | 7.599406 | 156.162 |
| 28 | 3 | 5 | 14 | 16 | -0.890723 | 1226.839 |
| 29 | 3 | 6 | 20 | 23 | 0.193899 | 224.389 |
| 30 | 3 | 6 | 21 | 24 | 0.003976 | 2532.29 |
| 31 | 3 | 8 | 29 | 34 | -0.047803 | 1315.381 |
| 32 | 3 | 8 | 34 | 30 | 0.040867 | 1315.381 |
| 33 | 3 | 8 | 30 | 35 | -0.044833 | 1315.381 |
| 34 | 3 | 8 | 35 | 31 | 0.034612 | 1315.381 |
| 35 | 3 | 8 | 31 | 36 | -0.035513 | 1315.381 |
| 36 | 3 | 8 | 36 | 32 | 0.023815 | 1315.381 |
| 37 | 3 | 8 | 32 | 37 | -0.023717 | 1315.381 |
| 38 | 3 | 8 | 37 | 33 | 0.012939 | 1315.381 |
| 39 | 3 | 8 | 33 | 38 | -0.013555 | 1315.381 |
| 40 | 3 | 9 | 39 | 45 | 0.004348 | 1694.831 |
| 41 | 3 | 10 | 41 | 48 | 0.012656 | 441.635 |
| 42 | 4 | 5 | 6 | 7 | -5.862912 | 81.996 |
| 43 | 4 | 5 | 9 | 10 | -3.885459 | 81.996 |
| 44 | 4 | 5 | 11 | 12 | 5.064297 | 81.996 |
| 45 | 4 | 6 | 14 | 16 | -36.71294 | 79.63 |
| 46 | 4 | 6 | 13 | 15 | -0.057063 | 486.464 |
| 47 | 4 | 8 | 27 | 31 | -0.017025 | 1511.657 |
| 48 | 4 | 8 | 31 | 24 | 0.019874 | 1511.657 |
| 49 | 4 | 8 | 24 | 28 | -0.004905 | 1511.657 |
| 50 | 4 | 8 | 28 | 32 | -0.023396 | 1511.657 |
| 51 | 4 | 8 | 32 | 25 | 0.027319 | 1511.657 |
| 52 | 4 | 8 | 25 | 29 | -0.00714 | 1511.657 |
| 53 | 4 | 8 | 29 | 26 | 0.006498 | 1511.657 |
| 54 | 4 | 8 | 26 | 30 | -0.011176 | 1511.657 |
| 55 | 4 | 9 | 34 | 39 | -0.000028 | 2523.276 |
| 56 | 4 | 10 | 47 | 36 | -0.000132 | 2530.476 |

| Dati Geolettrici_Misura 8 27 Novembre 2025 | | | | | | |
|--|--------|--------|--------|--------|-----------|----------|
| Misura n. | Elec_A | Elec_B | Elec_M | Elec_N | V/I(ohm) | I(mA) |
| 57 | 5 | 6 | 11 | 12 | 0.017788 | 2522.714 |
| 58 | 5 | 7 | 19 | 14 | 1.605593 | 215.474 |
| 59 | 5 | 7 | 14 | 16 | -1.605388 | 215.474 |
| 60 | 5 | 7 | 18 | 20 | 1.644741 | 211.625 |
| 61 | 5 | 8 | 19 | 22 | 15.38771 | 45.808 |
| 62 | 5 | 8 | 25 | 20 | -0.35137 | 1522.839 |
| 63 | 5 | 8 | 20 | 23 | 0.354487 | 1522.839 |
| 64 | 5 | 9 | 28 | 32 | -0.000752 | 2523.934 |
| 65 | 5 | 9 | 32 | 25 | 0.000927 | 2523.934 |
| 66 | 5 | 9 | 25 | 29 | -0.000284 | 2523.934 |
| 67 | 5 | 9 | 29 | 33 | -0.000863 | 2523.934 |
| 68 | 5 | 9 | 33 | 26 | 0.001122 | 2523.934 |
| 69 | 5 | 9 | 26 | 30 | -0.000407 | 2523.934 |
| 70 | 5 | 9 | 30 | 27 | 0.000346 | 2523.934 |
| 71 | 5 | 9 | 27 | 31 | -0.000579 | 2523.934 |
| 72 | 6 | 7 | 8 | 9 | -8.201757 | 154.158 |
| 73 | 6 | 7 | 10 | 11 | -0.375669 | 154.158 |
| 74 | 6 | 7 | 12 | 13 | 10.35532 | 154.158 |
| 75 | 6 | 7 | 13 | 14 | -2.132314 | 154.158 |
| 76 | 6 | 8 | 14 | 16 | -10.36211 | 44.309 |
| 77 | 6 | 8 | 18 | 20 | 14.31036 | 47.213 |
| 78 | 6 | 8 | 20 | 15 | -14.31571 | 47.213 |
| 79 | 6 | 8 | 17 | 19 | 0.000471 | 1553.045 |
| 80 | 6 | 8 | 19 | 21 | 15.19116 | 47.897 |
| 81 | 6 | 10 | 29 | 33 | -0.000011 | 2523.823 |
| 82 | 6 | 10 | 33 | 26 | 0.000011 | 2523.823 |
| 83 | 6 | 10 | 30 | 34 | -0.000027 | 2523.823 |
| 84 | 6 | 10 | 34 | 27 | 0.000026 | 2523.823 |
| 85 | 6 | 11 | 36 | 41 | -0.000964 | 2524.994 |
| 86 | 7 | 8 | 9 | 10 | -1.470885 | 65.711 |
| 87 | 7 | 8 | 10 | 11 | -0.425925 | 65.711 |
| 88 | 7 | 8 | 11 | 12 | 1.896672 | 65.711 |
| 89 | 7 | 8 | 12 | 13 | -2.699257 | 65.711 |
| 90 | 8 | 9 | 14 | 15 | 8.698389 | 46.089 |
| 91 | 8 | 9 | 15 | 16 | 0.002427 | 1518.127 |
| 92 | 8 | 10 | 16 | 18 | 0.00267 | 1528.673 |
| 93 | 8 | 11 | 22 | 25 | 0.009264 | 1544.502 |
| 94 | 8 | 11 | 28 | 23 | -0.006984 | 1544.502 |
| 95 | 8 | 11 | 23 | 26 | 0.003737 | 1544.502 |
| 96 | 8 | 11 | 29 | 24 | -0.00796 | 1544.502 |
| 97 | 8 | 11 | 24 | 27 | 0.00279 | 1544.502 |
| 98 | 8 | 12 | 27 | 31 | 0.015464 | 1080.436 |
| 99 | 8 | 12 | 31 | 35 | 0.025192 | 1080.436 |
| 100 | 8 | 12 | 35 | 28 | -0.03882 | 1080.436 |
| 101 | 8 | 12 | 28 | 32 | 0.021385 | 1080.436 |
| 102 | 8 | 12 | 32 | 36 | 0.019285 | 1080.436 |
| 103 | 8 | 12 | 36 | 29 | -0.037742 | 1080.436 |
| 104 | 8 | 12 | 29 | 33 | 0.025988 | 1080.436 |
| 105 | 8 | 12 | 33 | 30 | -0.021725 | 1080.436 |
| 106 | 8 | 12 | 30 | 34 | 0.027996 | 1080.436 |
| 107 | 8 | 13 | 34 | 39 | 0.012684 | 1556.84 |
| 108 | 8 | 13 | 39 | 35 | -0.009046 | 1556.84 |
| 109 | 8 | 13 | 35 | 40 | 0.010532 | 1556.84 |
| 110 | 8 | 13 | 40 | 36 | -0.008661 | 1556.84 |
| 111 | 8 | 13 | 36 | 41 | 0.008914 | 1556.84 |
| 112 | 8 | 13 | 41 | 37 | -0.007181 | 1556.84 |

| Dati Geolettrici_Misura 8 27 Novembre 2025 | | | | | | |
|--|--------|--------|--------|--------|-----------|----------|
| Misura n. | Elec_A | Elec_B | Elec_M | Elec_N | V/I(ohm) | I(mA) |
| 113 | 8 | 13 | 37 | 42 | 0.00809 | 1556.84 |
| 114 | 8 | 13 | 42 | 38 | -0.005579 | 1556.84 |
| 115 | 8 | 13 | 38 | 43 | 0.008144 | 1556.84 |
| 116 | 8 | 14 | 39 | 45 | 0.177534 | 722.056 |
| 117 | 8 | 14 | 45 | 40 | -0.096335 | 722.056 |
| 118 | 8 | 14 | 46 | 41 | 0.065187 | 722.056 |
| 119 | 8 | 14 | 41 | 47 | -0.136686 | 722.056 |
| 120 | 8 | 14 | 47 | 42 | 0.214682 | 722.056 |
| 121 | 8 | 14 | 42 | 48 | -0.256167 | 722.056 |
| 122 | 9 | 10 | 11 | 12 | -0.028199 | 2522.194 |
| 123 | 9 | 11 | 17 | 19 | 0.001715 | 2523.267 |
| 124 | 9 | 11 | 19 | 21 | 0.294583 | 2523.267 |
| 125 | 9 | 11 | 23 | 18 | -0.467726 | 971.393 |
| 126 | 9 | 11 | 18 | 20 | 0.496853 | 971.393 |
| 127 | 9 | 12 | 25 | 28 | 0.000004 | 2521.805 |
| 128 | 9 | 13 | 28 | 32 | 0.00003 | 2521.69 |
| 129 | 9 | 13 | 32 | 36 | 0.00003 | 2521.69 |
| 130 | 9 | 13 | 36 | 29 | -0.000057 | 2521.69 |
| 131 | 9 | 13 | 29 | 33 | 0.000034 | 2521.69 |
| 132 | 9 | 13 | 33 | 37 | 0.000029 | 2521.69 |
| 133 | 9 | 13 | 30 | 34 | 0.00003 | 2521.69 |
| 134 | 9 | 13 | 34 | 31 | -0.00003 | 2521.69 |
| 135 | 9 | 13 | 31 | 35 | 0.000027 | 2521.69 |
| 136 | 9 | 14 | 35 | 40 | 0.251991 | 81.607 |
| 137 | 9 | 14 | 40 | 36 | -0.225586 | 81.607 |
| 138 | 9 | 14 | 36 | 41 | 0.31332 | 81.607 |
| 139 | 9 | 14 | 41 | 37 | -0.274779 | 81.607 |
| 140 | 9 | 14 | 37 | 42 | 0.351552 | 81.607 |
| 141 | 9 | 14 | 42 | 38 | -0.304367 | 81.607 |
| 142 | 9 | 14 | 38 | 43 | 0.333068 | 81.607 |
| 143 | 9 | 14 | 43 | 39 | -0.272456 | 81.607 |
| 144 | 9 | 14 | 39 | 44 | 0.232517 | 81.607 |
| 145 | 10 | 11 | 17 | 18 | 0.00286 | 2522.707 |
| 146 | 10 | 12 | 22 | 24 | -0.00004 | 2520.7 |
| 147 | 10 | 12 | 23 | 25 | -0.000021 | 2520.7 |
| 148 | 10 | 13 | 30 | 25 | -0.000011 | 2521.241 |
| 149 | 10 | 13 | 28 | 31 | 0.000008 | 2521.241 |
| 150 | 10 | 14 | 33 | 37 | 0.092794 | 1148.689 |
| 151 | 10 | 14 | 37 | 30 | -0.084242 | 1148.689 |
| 152 | 10 | 14 | 34 | 38 | 0.130981 | 1148.689 |
| 153 | 10 | 14 | 38 | 31 | -0.13854 | 1148.689 |
| 154 | 10 | 14 | 31 | 35 | 0.025028 | 1148.689 |
| 155 | 10 | 14 | 35 | 32 | -0.02855 | 1148.689 |
| 156 | 10 | 14 | 32 | 36 | 0.055282 | 1148.689 |
| 157 | 11 | 12 | 13 | 14 | -0.322132 | 2522.357 |
| 158 | 11 | 12 | 17 | 18 | -0.002846 | 2522.357 |
| 159 | 11 | 13 | 19 | 21 | -0.305321 | 2522.124 |
| 160 | 11 | 15 | 34 | 38 | 0.00005 | 2521.521 |
| 161 | 12 | 13 | 16 | 17 | -0.018474 | 2520.903 |
| 162 | 12 | 13 | 18 | 19 | -0.002835 | 2520.903 |
| 163 | 12 | 13 | 19 | 20 | -0.016835 | 2520.903 |
| 164 | 12 | 15 | 29 | 32 | 0.000024 | 2521.174 |
| 165 | 12 | 15 | 32 | 27 | -0.000027 | 2521.174 |
| 166 | 12 | 15 | 30 | 33 | 0.00003 | 2521.174 |
| 167 | 12 | 15 | 33 | 28 | -0.000032 | 2521.174 |
| 168 | 12 | 15 | 28 | 31 | 0.000015 | 2521.174 |

| Dati Geolettrici_Misura 8 27 Novembre 2025 | | | | | | |
|--|--------|--------|--------|--------|-----------|----------|
| Misura n. | Elec_A | Elec_B | Elec_M | Elec_N | V/I(ohm) | I(mA) |
| 169 | 13 | 14 | 15 | 16 | -0.002933 | 1174.116 |
| 170 | 13 | 14 | 17 | 18 | -0.003157 | 1174.116 |
| 171 | 13 | 15 | 23 | 25 | -0.000224 | 2520.847 |
| 172 | 14 | 15 | 16 | 17 | -0.020138 | 1169.097 |
| 173 | 14 | 15 | 18 | 19 | -0.002085 | 1169.097 |
| 174 | 14 | 15 | 19 | 20 | -11.22223 | 515.651 |
| 175 | 14 | 15 | 20 | 21 | -0.312884 | 515.651 |
| 176 | 14 | 15 | 21 | 22 | -0.031704 | 515.651 |
| 177 | 14 | 16 | 22 | 24 | -0.068509 | 1188.981 |
| 178 | 14 | 16 | 26 | 28 | 0.010819 | 1188.981 |
| 179 | 14 | 16 | 28 | 23 | 0.017897 | 1188.981 |
| 180 | 14 | 16 | 23 | 25 | -0.033779 | 1188.981 |
| 181 | 14 | 16 | 25 | 27 | 0.010115 | 1188.981 |
| 182 | 14 | 16 | 27 | 29 | 0.01089 | 1188.981 |
| 183 | 14 | 17 | 28 | 31 | 0.017187 | 1200.696 |
| 184 | 14 | 17 | 34 | 29 | -0.004639 | 1200.696 |
| 185 | 14 | 17 | 29 | 32 | 0.015681 | 1200.696 |
| 186 | 14 | 17 | 30 | 33 | 0.008548 | 1200.696 |
| 187 | 14 | 18 | 37 | 41 | -0.275928 | 183.588 |
| 188 | 14 | 18 | 41 | 34 | 0.359158 | 183.588 |
| 189 | 14 | 18 | 34 | 38 | -0.13086 | 183.588 |
| 190 | 14 | 18 | 38 | 42 | -0.30519 | 183.588 |
| 191 | 14 | 18 | 42 | 35 | 0.418536 | 183.588 |
| 192 | 14 | 18 | 35 | 39 | -0.174225 | 183.588 |
| 193 | 14 | 18 | 39 | 36 | 0.14754 | 183.588 |
| 194 | 14 | 18 | 36 | 40 | -0.227007 | 183.588 |
| 195 | 14 | 19 | 40 | 45 | -0.083512 | 1206.917 |
| 196 | 14 | 19 | 46 | 42 | -0.159125 | 1206.917 |
| 197 | 14 | 19 | 42 | 47 | 0.232623 | 1206.917 |
| 198 | 14 | 19 | 47 | 43 | -0.26205 | 1206.917 |
| 199 | 14 | 19 | 43 | 48 | 0.301892 | 1206.917 |
| 200 | 15 | 16 | 19 | 20 | -0.00246 | 2520.891 |
| 201 | 15 | 16 | 22 | 23 | -0.000235 | 2520.891 |
| 202 | 15 | 17 | 25 | 27 | 0.000003 | 2520.652 |
| 203 | 15 | 17 | 27 | 29 | 0.000008 | 2520.652 |
| 204 | 15 | 17 | 29 | 24 | -0.000381 | 2520.652 |
| 205 | 16 | 17 | 19 | 20 | -0.001974 | 2520.393 |
| 206 | 16 | 18 | 27 | 29 | 0.000019 | 2520.06 |
| 207 | 16 | 19 | 36 | 31 | -0.000019 | 2520.082 |
| 208 | 16 | 20 | 35 | 39 | -0.318921 | 145.112 |
| 209 | 16 | 20 | 43 | 36 | 0.370299 | 145.112 |
| 210 | 16 | 20 | 36 | 40 | -0.26843 | 145.112 |
| 211 | 16 | 20 | 44 | 37 | 0.303486 | 145.112 |
| 212 | 16 | 20 | 37 | 41 | -0.215596 | 145.112 |
| 213 | 16 | 20 | 41 | 38 | 0.144649 | 145.112 |
| 214 | 16 | 20 | 38 | 42 | -0.17823 | 145.112 |
| 215 | 17 | 18 | 20 | 21 | -0.000048 | 2520.156 |
| 216 | 17 | 18 | 23 | 24 | -0.000004 | 2520.156 |
| 217 | 17 | 18 | 24 | 25 | -0.000008 | 2520.156 |
| 218 | 17 | 20 | 31 | 34 | -0.056351 | 304.56 |
| 219 | 17 | 20 | 34 | 37 | -0.293853 | 304.56 |
| 220 | 17 | 20 | 37 | 32 | 0.39497 | 304.56 |
| 221 | 17 | 20 | 32 | 35 | -0.206026 | 304.56 |
| 222 | 17 | 20 | 35 | 38 | -0.259351 | 304.56 |
| 223 | 17 | 20 | 38 | 33 | 0.448894 | 304.56 |
| 224 | 17 | 20 | 33 | 36 | -0.287923 | 304.56 |

| Dati Geolettrici_Misura 8 27 Novembre 2025 | | | | | | |
|--|--------|--------|--------|--------|-----------|----------|
| Misura n. | Elec_A | Elec_B | Elec_M | Elec_N | V/I(ohm) | I(mA) |
| 225 | 17 | 21 | 36 | 40 | -0.223728 | 191.407 |
| 226 | 18 | 19 | 21 | 22 | -0.000049 | 2520.436 |
| 227 | 18 | 20 | 26 | 28 | 0.077506 | 582.91 |
| 228 | 18 | 20 | 28 | 30 | 0.107942 | 582.91 |
| 229 | 18 | 20 | 30 | 32 | 0.117953 | 582.91 |
| 230 | 18 | 20 | 32 | 27 | -0.269052 | 582.91 |
| 231 | 18 | 20 | 27 | 29 | 0.091147 | 582.91 |
| 232 | 18 | 20 | 29 | 31 | 0.133117 | 582.91 |
| 233 | 18 | 20 | 31 | 33 | 0.028577 | 582.91 |
| 234 | 18 | 21 | 32 | 35 | -0.394555 | 106.537 |
| 235 | 18 | 21 | 35 | 38 | -0.223053 | 106.537 |
| 236 | 18 | 21 | 38 | 33 | 0.481082 | 106.537 |
| 237 | 18 | 21 | 33 | 36 | -0.347287 | 106.537 |
| 238 | 18 | 21 | 39 | 34 | 0.387152 | 106.537 |
| 239 | 18 | 21 | 34 | 37 | -0.27995 | 106.537 |
| 240 | 19 | 20 | 21 | 22 | -0.264777 | 568.531 |
| 241 | 19 | 20 | 22 | 23 | -0.129914 | 568.531 |
| 242 | 19 | 20 | 23 | 24 | -0.067635 | 568.531 |
| 243 | 19 | 20 | 24 | 25 | -0.061026 | 568.531 |
| 244 | 19 | 20 | 25 | 26 | 0.029313 | 568.531 |
| 245 | 19 | 20 | 26 | 27 | 0.034422 | 568.531 |
| 246 | 19 | 21 | 27 | 29 | 0.137872 | 460.93 |
| 247 | 19 | 21 | 29 | 31 | 0.035661 | 460.93 |
| 248 | 19 | 21 | 31 | 33 | -0.23159 | 460.93 |
| 249 | 19 | 21 | 33 | 28 | 0.134082 | 460.93 |
| 250 | 19 | 21 | 28 | 30 | 0.105825 | 460.93 |
| 251 | 19 | 21 | 30 | 32 | -0.104262 | 460.93 |
| 252 | 19 | 21 | 32 | 34 | -0.278036 | 460.93 |
| 253 | 19 | 22 | 33 | 36 | -0.324591 | 137.591 |
| 254 | 19 | 22 | 34 | 37 | -0.248324 | 137.591 |
| 255 | 20 | 21 | 22 | 23 | -0.329163 | 504.401 |
| 256 | 20 | 21 | 23 | 24 | -0.128085 | 504.401 |
| 257 | 20 | 21 | 24 | 25 | -0.11887 | 504.401 |
| 258 | 20 | 21 | 25 | 26 | 0.033254 | 504.401 |
| 259 | 20 | 21 | 26 | 27 | 0.033829 | 504.401 |
| 260 | 20 | 21 | 27 | 28 | 0.032837 | 504.401 |
| 261 | 20 | 22 | 28 | 30 | -0.201135 | 283.961 |
| 262 | 20 | 22 | 30 | 32 | -0.531709 | 283.961 |
| 263 | 20 | 22 | 32 | 34 | -0.214321 | 283.961 |
| 264 | 20 | 22 | 34 | 29 | 0.902497 | 283.961 |
| 265 | 20 | 22 | 29 | 31 | -0.427488 | 283.961 |
| 266 | 20 | 22 | 31 | 33 | -0.417291 | 283.961 |
| 267 | 20 | 22 | 33 | 35 | -0.05743 | 283.961 |
| 268 | 20 | 23 | 34 | 37 | 0.080358 | 388.334 |
| 269 | 20 | 23 | 37 | 40 | 0.058653 | 388.334 |
| 270 | 20 | 23 | 40 | 35 | -0.124279 | 388.334 |
| 271 | 20 | 23 | 35 | 38 | 0.091752 | 388.334 |
| 272 | 20 | 23 | 38 | 41 | 0.043186 | 388.334 |
| 273 | 20 | 23 | 41 | 36 | -0.103533 | 388.334 |
| 274 | 20 | 23 | 36 | 39 | 0.077966 | 388.334 |
| 275 | 20 | 24 | 39 | 43 | 0.052033 | 710.144 |
| 276 | 20 | 24 | 43 | 47 | 0.029032 | 710.144 |
| 277 | 20 | 24 | 47 | 40 | -0.062916 | 710.144 |
| 278 | 20 | 24 | 40 | 44 | 0.043682 | 710.144 |
| 279 | 20 | 24 | 44 | 48 | 0.024144 | 710.144 |
| 280 | 20 | 24 | 48 | 41 | -0.054725 | 710.144 |

| Dati Geolettrici_Misura 8 27 Novembre 2025 | | | | | | |
|--|--------|--------|--------|--------|-----------|----------|
| Misura n. | Elec_A | Elec_B | Elec_M | Elec_N | V/I(ohm) | I(mA) |
| 281 | 20 | 24 | 41 | 45 | 0.037388 | 710.144 |
| 282 | 20 | 24 | 45 | 42 | -0.026596 | 710.144 |
| 283 | 20 | 24 | 42 | 46 | 0.032871 | 710.144 |
| 284 | 21 | 22 | 23 | 24 | -0.316443 | 1075.143 |
| 285 | 21 | 22 | 24 | 25 | -0.255483 | 1075.143 |
| 286 | 21 | 22 | 25 | 26 | 0.054131 | 1075.143 |
| 287 | 21 | 22 | 26 | 27 | 0.043169 | 1075.143 |
| 288 | 21 | 22 | 27 | 28 | 0.015042 | 1075.143 |
| 289 | 21 | 22 | 28 | 29 | -0.058267 | 1075.143 |
| 290 | 21 | 23 | 29 | 31 | -0.558497 | 1320.836 |
| 291 | 21 | 23 | 31 | 33 | -0.155928 | 1320.836 |
| 292 | 21 | 23 | 33 | 35 | 0.041359 | 1320.836 |
| 293 | 21 | 23 | 35 | 30 | 0.377664 | 1320.836 |
| 294 | 21 | 23 | 30 | 32 | -0.392578 | 1320.836 |
| 295 | 21 | 23 | 34 | 36 | 0.046635 | 1320.836 |
| 296 | 21 | 24 | 35 | 38 | 0.077375 | 646.516 |
| 297 | 21 | 24 | 38 | 41 | 0.032027 | 646.516 |
| 298 | 21 | 24 | 41 | 36 | -0.078202 | 646.516 |
| 299 | 21 | 24 | 36 | 39 | 0.059054 | 646.516 |
| 300 | 21 | 24 | 39 | 42 | 0.025881 | 646.516 |
| 301 | 21 | 24 | 42 | 37 | -0.057892 | 646.516 |
| 302 | 21 | 24 | 37 | 40 | 0.04307 | 646.516 |
| 303 | 21 | 25 | 40 | 44 | 0.034115 | 809.678 |
| 304 | 21 | 25 | 44 | 48 | 0.021868 | 809.678 |
| 305 | 21 | 25 | 48 | 41 | -0.046964 | 809.678 |
| 306 | 21 | 25 | 41 | 45 | 0.03072 | 809.678 |
| 307 | 21 | 25 | 45 | 42 | -0.019094 | 809.678 |
| 308 | 21 | 25 | 42 | 46 | 0.024818 | 809.678 |
| 309 | 21 | 25 | 46 | 43 | -0.020031 | 809.678 |
| 310 | 21 | 25 | 43 | 47 | 0.025433 | 809.678 |
| 311 | 22 | 23 | 24 | 25 | -0.634725 | 712.51 |
| 312 | 22 | 23 | 27 | 28 | -0.1396 | 712.51 |
| 313 | 22 | 23 | 28 | 29 | -0.2001 | 712.51 |
| 314 | 22 | 23 | 29 | 30 | -0.156482 | 712.51 |
| 315 | 22 | 24 | 32 | 34 | 0.062316 | 436.159 |
| 316 | 22 | 24 | 34 | 36 | 0.047476 | 436.159 |
| 317 | 22 | 24 | 36 | 31 | -0.122571 | 436.159 |
| 318 | 22 | 24 | 31 | 33 | 0.042324 | 436.159 |
| 319 | 22 | 24 | 33 | 35 | 0.059684 | 436.159 |
| 320 | 22 | 24 | 35 | 37 | 0.037681 | 436.159 |
| 321 | 22 | 25 | 36 | 39 | 0.052717 | 853.518 |
| 322 | 22 | 25 | 39 | 42 | 0.027789 | 853.518 |
| 323 | 22 | 25 | 42 | 37 | -0.056299 | 853.518 |
| 324 | 22 | 25 | 37 | 40 | 0.040594 | 853.518 |
| 325 | 22 | 25 | 40 | 43 | 0.018474 | 853.518 |
| 326 | 22 | 25 | 43 | 38 | -0.040497 | 853.518 |
| 327 | 22 | 25 | 38 | 41 | 0.028389 | 853.518 |
| 328 | 22 | 26 | 41 | 45 | 0.016475 | 1294.348 |
| 329 | 22 | 26 | 45 | 42 | -0.005348 | 1294.348 |
| 330 | 22 | 26 | 42 | 46 | 0.008633 | 1294.348 |
| 331 | 22 | 26 | 46 | 43 | -0.011128 | 1294.348 |
| 332 | 22 | 26 | 43 | 47 | 0.014161 | 1294.348 |
| 333 | 22 | 26 | 47 | 44 | -0.009122 | 1294.348 |
| 334 | 22 | 26 | 44 | 48 | 0.012624 | 1294.348 |
| 335 | 23 | 24 | 26 | 27 | -0.159606 | 1190.221 |
| 336 | 23 | 24 | 27 | 28 | -0.186481 | 1190.221 |

| Dati Geolettrici_Misura 8 27 Novembre 2025 | | | | | | |
|--|--------|--------|--------|--------|-----------|----------|
| Misura n. | Elec_A | Elec_B | Elec_M | Elec_N | V/I(ohm) | I(mA) |
| 337 | 23 | 24 | 28 | 29 | -0.094024 | 1190.221 |
| 338 | 23 | 24 | 30 | 31 | 0.0129 | 1190.221 |
| 339 | 23 | 25 | 31 | 33 | 0.090333 | 642.403 |
| 340 | 23 | 25 | 33 | 35 | 0.056576 | 642.403 |
| 341 | 23 | 25 | 35 | 37 | 0.032635 | 642.403 |
| 342 | 23 | 25 | 37 | 32 | -0.128645 | 642.403 |
| 343 | 23 | 25 | 32 | 34 | 0.072013 | 642.403 |
| 344 | 23 | 25 | 34 | 36 | 0.041889 | 642.403 |
| 345 | 23 | 25 | 36 | 38 | 0.026649 | 642.403 |
| 346 | 23 | 26 | 37 | 40 | 0.016014 | 1353.586 |
| 347 | 23 | 26 | 40 | 43 | 0.005739 | 1353.586 |
| 348 | 23 | 26 | 43 | 38 | -0.015707 | 1353.586 |
| 349 | 23 | 26 | 38 | 41 | 0.01175 | 1353.586 |
| 350 | 23 | 26 | 41 | 44 | 0.006676 | 1353.586 |
| 351 | 23 | 26 | 44 | 39 | -0.014251 | 1353.586 |
| 352 | 23 | 26 | 39 | 42 | 0.016843 | 1353.586 |
| 353 | 23 | 27 | 44 | 48 | 0.003025 | 898.319 |
| 354 | 24 | 25 | 26 | 27 | -0.586389 | 1179.503 |
| 355 | 24 | 25 | 27 | 28 | -0.197076 | 1179.503 |
| 356 | 24 | 25 | 28 | 29 | -0.034017 | 1179.503 |
| 357 | 24 | 25 | 30 | 31 | 0.02811 | 1179.503 |
| 358 | 24 | 25 | 31 | 32 | 0.027926 | 1179.503 |
| 359 | 24 | 27 | 38 | 41 | -0.007243 | 851.607 |
| 360 | 24 | 27 | 41 | 44 | -0.004124 | 851.607 |
| 361 | 24 | 27 | 44 | 39 | 0.007913 | 851.607 |
| 362 | 24 | 27 | 45 | 40 | 0.00902 | 851.607 |
| 363 | 24 | 27 | 40 | 43 | -0.006396 | 851.607 |
| 364 | 24 | 28 | 43 | 47 | -0.009649 | 980.759 |
| 365 | 24 | 28 | 47 | 44 | 0.00674 | 980.759 |
| 366 | 25 | 26 | 27 | 28 | -0.215053 | 1009.685 |
| 367 | 25 | 26 | 28 | 29 | -0.092723 | 1009.685 |
| 368 | 25 | 26 | 29 | 30 | -0.054013 | 1009.685 |
| 369 | 25 | 26 | 30 | 31 | -0.038159 | 1009.685 |
| 370 | 25 | 26 | 31 | 32 | -0.025764 | 1009.685 |
| 371 | 25 | 26 | 32 | 33 | -0.016108 | 1009.685 |
| 372 | 25 | 27 | 33 | 35 | -0.049423 | 908.924 |
| 373 | 25 | 27 | 35 | 37 | -0.027082 | 908.924 |
| 374 | 25 | 27 | 37 | 39 | -0.01576 | 908.924 |
| 375 | 25 | 27 | 39 | 34 | 0.063728 | 908.924 |
| 376 | 25 | 27 | 34 | 36 | -0.035652 | 908.924 |
| 377 | 25 | 27 | 36 | 38 | -0.022819 | 908.924 |
| 378 | 25 | 27 | 38 | 40 | -0.010769 | 908.924 |
| 379 | 25 | 28 | 39 | 42 | -0.019465 | 1054.497 |
| 380 | 25 | 28 | 42 | 45 | -0.017512 | 1054.497 |
| 381 | 25 | 28 | 45 | 40 | 0.026456 | 1054.497 |
| 382 | 25 | 28 | 40 | 43 | -0.017545 | 1054.497 |
| 383 | 25 | 28 | 43 | 46 | -0.012383 | 1054.497 |
| 384 | 25 | 28 | 46 | 41 | 0.023268 | 1054.497 |
| 385 | 25 | 28 | 41 | 44 | -0.015936 | 1054.497 |
| 386 | 25 | 29 | 44 | 48 | -0.017546 | 909.82 |
| 387 | 26 | 27 | 28 | 29 | -0.266716 | 907.767 |
| 388 | 26 | 27 | 29 | 30 | -0.111457 | 907.767 |
| 389 | 26 | 27 | 30 | 31 | -0.065037 | 907.767 |
| 390 | 26 | 27 | 31 | 32 | -0.039177 | 907.767 |
| 391 | 26 | 27 | 32 | 33 | -0.022694 | 907.767 |
| 392 | 26 | 27 | 33 | 34 | -0.016375 | 907.767 |

| Dati Geolettrici_Misura 8 27 Novembre 2025 | | | | | | |
|--|--------|--------|--------|--------|-----------|----------|
| Misura n. | Elec_A | Elec_B | Elec_M | Elec_N | V/I(ohm) | I(mA) |
| 393 | 26 | 28 | 34 | 36 | -0.046813 | 1069.69 |
| 394 | 26 | 28 | 36 | 38 | -0.026486 | 1069.69 |
| 395 | 26 | 28 | 38 | 40 | -0.017121 | 1069.69 |
| 396 | 26 | 28 | 40 | 35 | 0.063159 | 1069.69 |
| 397 | 26 | 28 | 35 | 37 | -0.035223 | 1069.69 |
| 398 | 26 | 28 | 37 | 39 | -0.019366 | 1069.69 |
| 399 | 26 | 28 | 39 | 41 | -0.013205 | 1069.69 |
| 400 | 26 | 29 | 40 | 43 | -0.020612 | 1246.33 |
| 401 | 26 | 29 | 43 | 46 | -0.01351 | 1246.33 |
| 402 | 26 | 29 | 46 | 41 | 0.026426 | 1246.33 |
| 403 | 26 | 29 | 41 | 44 | -0.018793 | 1246.33 |
| 404 | 26 | 29 | 44 | 47 | -0.011286 | 1246.33 |
| 405 | 26 | 29 | 47 | 42 | 0.017805 | 1246.33 |
| 406 | 26 | 29 | 42 | 45 | -0.010383 | 1246.33 |
| 407 | 27 | 28 | 29 | 30 | -0.305514 | 800.344 |
| 408 | 27 | 28 | 30 | 31 | -0.13088 | 800.344 |
| 409 | 27 | 28 | 31 | 32 | -0.065549 | 800.344 |
| 410 | 27 | 28 | 32 | 33 | -0.036815 | 800.344 |
| 411 | 27 | 28 | 33 | 34 | -0.023979 | 800.344 |
| 412 | 27 | 28 | 34 | 35 | -0.015503 | 800.344 |
| 413 | 27 | 29 | 35 | 37 | -0.046659 | 870.425 |
| 414 | 27 | 29 | 37 | 39 | -0.024607 | 870.425 |
| 415 | 27 | 29 | 39 | 41 | -0.015609 | 870.425 |
| 416 | 27 | 29 | 41 | 36 | 0.060742 | 870.425 |
| 417 | 27 | 29 | 36 | 38 | -0.032576 | 870.425 |
| 418 | 27 | 29 | 38 | 40 | -0.022205 | 870.425 |
| 419 | 27 | 29 | 40 | 42 | -0.019763 | 870.425 |
| 420 | 27 | 30 | 41 | 44 | -0.019594 | 787.456 |
| 421 | 27 | 30 | 44 | 47 | -0.016082 | 787.456 |
| 422 | 27 | 30 | 45 | 48 | -0.013523 | 787.456 |
| 423 | 27 | 30 | 48 | 43 | 0.025478 | 787.456 |
| 424 | 27 | 30 | 43 | 46 | -0.01921 | 787.456 |
| 425 | 28 | 29 | 30 | 31 | -0.312224 | 1001.662 |
| 426 | 28 | 29 | 31 | 32 | -0.118705 | 1001.662 |
| 427 | 28 | 29 | 32 | 33 | -0.056628 | 1001.662 |
| 428 | 28 | 29 | 33 | 34 | -0.034345 | 1001.662 |
| 429 | 28 | 29 | 34 | 35 | -0.021803 | 1001.662 |
| 430 | 28 | 29 | 35 | 36 | -0.014801 | 1001.662 |
| 431 | 28 | 30 | 36 | 38 | -0.030101 | 887.668 |
| 432 | 28 | 30 | 38 | 40 | -0.039632 | 887.668 |
| 433 | 28 | 30 | 40 | 42 | -0.014557 | 887.668 |
| 434 | 28 | 30 | 42 | 37 | 0.056842 | 887.668 |
| 435 | 28 | 30 | 37 | 39 | -0.032191 | 887.668 |
| 436 | 28 | 30 | 39 | 41 | -0.018627 | 887.668 |
| 437 | 28 | 30 | 41 | 43 | -0.009205 | 887.668 |
| 438 | 28 | 31 | 45 | 48 | -0.066647 | 805.855 |
| 439 | 28 | 31 | 48 | 43 | 0.042779 | 805.855 |
| 440 | 28 | 31 | 44 | 47 | -0.020777 | 805.855 |
| 441 | 29 | 30 | 31 | 32 | -0.296639 | 966.809 |
| 442 | 29 | 30 | 32 | 33 | -0.104927 | 966.809 |
| 443 | 29 | 30 | 33 | 34 | -0.04359 | 966.809 |
| 444 | 29 | 30 | 34 | 35 | -0.046295 | 966.809 |
| 445 | 29 | 30 | 35 | 36 | -0.021302 | 966.809 |
| 446 | 29 | 30 | 36 | 37 | -0.015888 | 966.809 |
| 447 | 29 | 31 | 37 | 39 | -0.045564 | 874.667 |
| 448 | 29 | 31 | 39 | 41 | -0.024517 | 874.667 |

| Dati Geolettrici_Misura 8 27 Novembre 2025 | | | | | | |
|--|--------|--------|--------|--------|-----------|----------|
| Misura n. | Elec_A | Elec_B | Elec_M | Elec_N | V/I(ohm) | I(mA) |
| 449 | 29 | 31 | 41 | 43 | -0.013394 | 874.667 |
| 450 | 29 | 31 | 43 | 38 | 0.054661 | 874.667 |
| 451 | 29 | 31 | 38 | 40 | -0.029148 | 874.667 |
| 452 | 29 | 31 | 40 | 42 | -0.014019 | 874.667 |
| 453 | 29 | 31 | 42 | 44 | -0.013231 | 874.667 |
| 454 | 29 | 32 | 43 | 46 | -0.028579 | 1192.03 |
| 455 | 29 | 32 | 46 | 44 | 0.01368 | 1192.03 |
| 456 | 29 | 32 | 44 | 47 | -0.018853 | 1192.03 |
| 457 | 29 | 32 | 47 | 45 | 0.011445 | 1192.03 |
| 458 | 30 | 31 | 32 | 33 | -0.279579 | 621.162 |
| 459 | 30 | 31 | 33 | 34 | -0.101535 | 621.162 |
| 460 | 30 | 31 | 34 | 35 | -0.071559 | 621.162 |
| 461 | 30 | 31 | 35 | 36 | -0.035183 | 621.162 |
| 462 | 30 | 31 | 36 | 37 | -0.024981 | 621.162 |
| 463 | 30 | 31 | 37 | 38 | -0.032463 | 621.162 |
| 464 | 30 | 32 | 38 | 40 | -0.023066 | 1023.32 |
| 465 | 30 | 32 | 40 | 42 | -0.033965 | 1023.32 |
| 466 | 30 | 32 | 42 | 44 | -0.012406 | 1023.32 |
| 467 | 30 | 32 | 44 | 39 | 0.059931 | 1023.32 |
| 468 | 30 | 32 | 39 | 41 | -0.032976 | 1023.32 |
| 469 | 30 | 32 | 41 | 43 | -0.014522 | 1023.32 |
| 470 | 30 | 32 | 43 | 45 | -0.018365 | 1023.32 |
| 471 | 30 | 33 | 44 | 47 | -0.022881 | 1031.035 |
| 472 | 30 | 33 | 47 | 45 | 0.011114 | 1031.035 |
| 473 | 30 | 33 | 45 | 48 | -0.011813 | 1031.035 |
| 474 | 31 | 32 | 33 | 34 | -0.297509 | 905.021 |
| 475 | 31 | 32 | 34 | 35 | -0.079401 | 905.021 |
| 476 | 31 | 32 | 35 | 36 | -0.056586 | 905.021 |
| 477 | 31 | 32 | 36 | 37 | -0.036972 | 905.021 |
| 478 | 31 | 32 | 37 | 38 | -0.022626 | 905.021 |
| 479 | 31 | 32 | 38 | 39 | -0.014825 | 905.021 |
| 480 | 31 | 33 | 39 | 41 | -0.042187 | 728.162 |
| 481 | 31 | 33 | 41 | 43 | -0.023207 | 728.162 |
| 482 | 31 | 33 | 43 | 45 | -0.040931 | 728.162 |
| 483 | 31 | 33 | 45 | 40 | 0.083371 | 728.162 |
| 484 | 31 | 33 | 40 | 42 | -0.026584 | 728.162 |
| 485 | 31 | 33 | 42 | 44 | -0.025272 | 728.162 |
| 486 | 31 | 33 | 44 | 46 | -0.033115 | 728.162 |
| 487 | 32 | 33 | 34 | 35 | -0.24516 | 975.818 |
| 488 | 32 | 33 | 35 | 36 | -0.097891 | 975.818 |
| 489 | 32 | 33 | 36 | 37 | -0.056807 | 975.818 |
| 490 | 32 | 33 | 37 | 38 | -0.034039 | 975.818 |
| 491 | 32 | 33 | 38 | 39 | -0.02029 | 975.818 |
| 492 | 32 | 33 | 39 | 40 | -0.017789 | 975.818 |
| 493 | 32 | 34 | 40 | 42 | -0.028081 | 1234.589 |
| 494 | 32 | 34 | 42 | 44 | -0.028854 | 1234.589 |
| 495 | 32 | 34 | 44 | 46 | -0.007845 | 1234.589 |
| 496 | 32 | 34 | 46 | 41 | 0.045848 | 1234.589 |
| 497 | 32 | 34 | 41 | 43 | -0.030361 | 1234.589 |
| 498 | 32 | 34 | 45 | 47 | -0.038444 | 1234.589 |
| 499 | 33 | 34 | 35 | 36 | -0.239773 | 1229.146 |
| 500 | 33 | 34 | 36 | 37 | -0.104627 | 1229.146 |
| 501 | 33 | 34 | 37 | 38 | -0.036552 | 1229.146 |
| 502 | 33 | 34 | 38 | 39 | -0.047565 | 1229.146 |
| 503 | 33 | 34 | 39 | 40 | -0.020757 | 1229.146 |
| 504 | 33 | 34 | 40 | 41 | -0.013258 | 1229.146 |

| Dati Geolettrici_Misura 8 27 Novembre 2025 | | | | | | |
|--|--------|--------|--------|--------|-----------|----------|
| Misura n. | Elec_A | Elec_B | Elec_M | Elec_N | V/I(ohm) | I(mA) |
| 505 | 33 | 35 | 41 | 43 | -0.039531 | 1256.362 |
| 506 | 33 | 35 | 43 | 45 | -0.021624 | 1256.362 |
| 507 | 33 | 35 | 45 | 47 | -0.013096 | 1256.362 |
| 508 | 33 | 35 | 47 | 42 | 0.05105 | 1256.362 |
| 509 | 33 | 35 | 42 | 44 | -0.029009 | 1256.362 |
| 510 | 33 | 35 | 44 | 46 | -0.015982 | 1256.362 |
| 511 | 33 | 35 | 46 | 48 | -0.009409 | 1256.362 |
| 512 | 34 | 35 | 36 | 37 | -0.247614 | 1024.433 |
| 513 | 34 | 35 | 37 | 38 | -0.112272 | 1024.433 |
| 514 | 34 | 35 | 38 | 39 | -0.028186 | 1024.433 |
| 515 | 34 | 35 | 39 | 40 | -0.031076 | 1024.433 |
| 516 | 34 | 35 | 40 | 41 | -0.016079 | 1024.433 |
| 517 | 34 | 35 | 41 | 42 | -0.017594 | 1024.433 |
| 518 | 34 | 36 | 42 | 44 | -0.037663 | 1177.974 |
| 519 | 34 | 36 | 44 | 46 | -0.027603 | 1177.974 |
| 520 | 34 | 36 | 46 | 48 | -0.004233 | 1177.974 |
| 521 | 34 | 36 | 48 | 43 | 0.044896 | 1177.974 |
| 522 | 34 | 36 | 43 | 45 | -0.034167 | 1177.974 |
| 523 | 35 | 36 | 37 | 38 | -0.258547 | 1193.643 |
| 524 | 35 | 36 | 38 | 39 | -0.093217 | 1193.643 |
| 525 | 35 | 36 | 39 | 40 | -0.049629 | 1193.643 |
| 526 | 35 | 36 | 40 | 41 | -0.027401 | 1193.643 |
| 527 | 35 | 36 | 41 | 42 | -0.018509 | 1193.643 |
| 528 | 35 | 36 | 42 | 43 | -0.012666 | 1193.643 |
| 529 | 35 | 37 | 43 | 45 | -0.040922 | 1195.716 |
| 530 | 35 | 37 | 45 | 47 | -0.020044 | 1195.716 |
| 531 | 35 | 37 | 47 | 44 | 0.03731 | 1195.716 |
| 532 | 35 | 37 | 44 | 46 | -0.02929 | 1195.716 |
| 533 | 36 | 37 | 38 | 39 | -0.251108 | 1094.487 |
| 534 | 36 | 37 | 39 | 40 | -0.107905 | 1094.487 |
| 535 | 36 | 37 | 40 | 41 | -0.046008 | 1094.487 |
| 536 | 36 | 37 | 41 | 42 | -0.036002 | 1094.487 |
| 537 | 36 | 37 | 42 | 43 | -0.020215 | 1094.487 |
| 538 | 36 | 37 | 43 | 44 | -0.01452 | 1094.487 |
| 539 | 36 | 38 | 44 | 46 | -0.031962 | 975.784 |
| 540 | 36 | 38 | 48 | 45 | 0.015078 | 975.784 |
| 541 | 36 | 38 | 45 | 47 | -0.024684 | 975.784 |
| 542 | 37 | 38 | 39 | 40 | -0.261821 | 1161.004 |
| 543 | 37 | 38 | 40 | 41 | -0.093312 | 1161.004 |
| 544 | 37 | 38 | 41 | 42 | -0.046171 | 1161.004 |
| 545 | 37 | 38 | 42 | 43 | -0.025418 | 1161.004 |
| 546 | 37 | 38 | 43 | 44 | -0.022662 | 1161.004 |
| 547 | 37 | 38 | 44 | 45 | -0.000047 | 1161.004 |
| 548 | 37 | 39 | 45 | 47 | -0.02155 | 1162.196 |
| 549 | 37 | 39 | 46 | 48 | -0.045021 | 1162.196 |
| 550 | 38 | 39 | 40 | 41 | -0.235708 | 1191.216 |
| 551 | 38 | 39 | 41 | 42 | -0.113122 | 1191.216 |
| 552 | 38 | 39 | 42 | 43 | -0.054243 | 1191.216 |
| 553 | 38 | 39 | 43 | 44 | -0.027358 | 1191.216 |
| 554 | 38 | 39 | 44 | 45 | -0.032531 | 1191.216 |
| 555 | 39 | 40 | 41 | 42 | -0.223127 | 739.318 |
| 556 | 39 | 40 | 42 | 43 | -0.099284 | 739.318 |
| 557 | 39 | 40 | 43 | 44 | -0.066944 | 739.318 |
| 558 | 39 | 40 | 44 | 45 | -0.03401 | 739.318 |
| 559 | 39 | 40 | 45 | 46 | -0.01946 | 739.318 |
| 560 | 39 | 40 | 46 | 47 | -0.032413 | 739.318 |

| Dati Geolettrici_Misura 8 27 Novembre 2025 | | | | | | |
|--|--------|--------|--------|--------|-----------|----------|
| Misura n. | Elec_A | Elec_B | Elec_M | Elec_N | V/I(ohm) | I(mA) |
| 561 | 40 | 41 | 42 | 43 | -0.272669 | 652.318 |
| 562 | 40 | 41 | 43 | 44 | -0.085811 | 652.318 |
| 563 | 40 | 41 | 44 | 45 | -0.052645 | 652.318 |
| 564 | 40 | 41 | 45 | 46 | -0.029123 | 652.318 |
| 565 | 40 | 41 | 46 | 47 | -0.025412 | 652.318 |
| 566 | 40 | 41 | 47 | 48 | -0.045525 | 652.318 |
| 567 | 41 | 42 | 43 | 44 | -0.248577 | 1264.563 |
| 568 | 41 | 42 | 44 | 45 | -0.103551 | 1264.563 |
| 569 | 41 | 42 | 45 | 46 | -0.046614 | 1264.563 |
| 570 | 41 | 42 | 46 | 47 | -0.040683 | 1264.563 |
| 571 | 41 | 42 | 47 | 48 | -0.006728 | 1264.563 |
| 572 | 42 | 43 | 44 | 45 | -0.214851 | 520.004 |
| 573 | 42 | 43 | 45 | 46 | -0.090026 | 520.004 |
| 574 | 42 | 43 | 46 | 47 | -0.02871 | 520.004 |
| 575 | 42 | 43 | 47 | 48 | -0.046842 | 520.004 |
| 576 | 43 | 44 | 45 | 46 | -0.214953 | 408.898 |
| 577 | 43 | 44 | 46 | 47 | -0.131456 | 408.898 |
| 578 | 43 | 44 | 47 | 48 | -0.028169 | 408.898 |
| 579 | 44 | 45 | 46 | 47 | -0.242914 | 202.898 |
| 580 | 44 | 45 | 47 | 48 | -0.08247 | 202.898 |
| 581 | 45 | 46 | 47 | 48 | -0.205666 | 86.353 |
| 582 | 1 | 2 | 3 | 4 | -0.206093 | 1059.581 |
| 583 | 1 | 2 | 4 | 5 | -0.080632 | 1059.581 |
| 584 | 1 | 2 | 5 | 6 | -0.036807 | 1059.581 |
| 585 | 1 | 2 | 6 | 7 | -0.031949 | 1059.581 |
| 586 | 1 | 2 | 7 | 8 | -0.01332 | 1059.581 |
| 587 | 1 | 3 | 9 | 11 | -0.027628 | 1024.292 |
| 588 | 1 | 3 | 11 | 13 | -0.019827 | 1024.292 |
| 589 | 1 | 3 | 13 | 15 | -0.008263 | 1024.292 |
| 590 | 1 | 3 | 15 | 10 | 0.042725 | 1024.292 |
| 591 | 1 | 3 | 10 | 12 | -0.033267 | 1024.292 |
| 592 | 1 | 3 | 12 | 14 | -0.007716 | 1024.292 |
| 593 | 1 | 3 | 14 | 16 | -0.00973 | 1024.292 |
| 594 | 1 | 4 | 18 | 21 | -0.041806 | 1030.374 |
| 595 | 1 | 4 | 21 | 16 | 0.030182 | 1030.374 |
| 596 | 1 | 4 | 16 | 19 | -0.014791 | 1030.374 |
| 597 | 1 | 4 | 19 | 22 | -0.012784 | 1030.374 |
| 598 | 1 | 4 | 22 | 17 | 0.016211 | 1030.374 |
| 599 | 1 | 4 | 17 | 20 | -0.009116 | 1030.374 |
| 600 | 1 | 5 | 20 | 24 | -0.017201 | 869.538 |
| 601 | 1 | 5 | 24 | 28 | 0.005229 | 869.538 |
| 602 | 1 | 5 | 21 | 25 | -0.007095 | 869.538 |
| 603 | 1 | 5 | 25 | 29 | 0.012111 | 869.538 |
| 604 | 1 | 5 | 22 | 26 | -0.008363 | 869.538 |
| 605 | 1 | 5 | 26 | 23 | 0.003579 | 869.538 |
| 606 | 1 | 6 | 27 | 32 | 0.035476 | 476.237 |
| 607 | 1 | 6 | 32 | 28 | -0.031863 | 476.237 |
| 608 | 1 | 6 | 28 | 33 | 0.043281 | 476.237 |
| 609 | 1 | 6 | 33 | 29 | -0.035935 | 476.237 |
| 610 | 1 | 6 | 29 | 34 | 0.053393 | 476.237 |
| 611 | 1 | 6 | 34 | 30 | -0.046564 | 476.237 |
| 612 | 1 | 6 | 30 | 35 | 0.066488 | 476.237 |
| 613 | 1 | 6 | 35 | 31 | -0.058279 | 476.237 |
| 614 | 1 | 6 | 31 | 36 | 0.080208 | 476.237 |
| 615 | 1 | 7 | 32 | 38 | 0.175625 | 100.31 |
| 616 | 1 | 7 | 38 | 44 | -0.57252 | 100.31 |

| Dati Geolettrici_Misura 8 27 Novembre 2025 | | | | | | |
|--|--------|--------|--------|--------|-----------|----------|
| Misura n. | Elec_A | Elec_B | Elec_M | Elec_N | V/I(ohm) | I(mA) |
| 617 | 1 | 7 | 44 | 33 | 0.41239 | 100.31 |
| 618 | 1 | 7 | 33 | 39 | 0.213459 | 100.31 |
| 619 | 1 | 7 | 39 | 34 | -0.189548 | 100.31 |
| 620 | 1 | 7 | 34 | 40 | 0.251613 | 100.31 |
| 621 | 1 | 7 | 40 | 35 | -0.223796 | 100.31 |
| 622 | 1 | 7 | 35 | 41 | 0.249156 | 100.31 |
| 623 | 1 | 7 | 41 | 36 | -0.218883 | 100.31 |
| 624 | 1 | 7 | 36 | 42 | 0.163893 | 100.31 |
| 625 | 1 | 7 | 37 | 43 | 0.525523 | 43.674 |
| 626 | 1 | 8 | 39 | 46 | -0.916385 | 33.602 |
| 627 | 1 | 8 | 46 | 40 | 0.965467 | 33.602 |
| 628 | 1 | 8 | 40 | 47 | -0.851941 | 33.602 |
| 629 | 1 | 8 | 47 | 41 | 0.822433 | 33.602 |
| 630 | 1 | 8 | 41 | 48 | -0.821694 | 33.602 |
| 631 | 2 | 3 | 4 | 5 | -0.242764 | 1228.736 |
| 632 | 2 | 3 | 5 | 6 | -0.108087 | 1228.736 |
| 633 | 2 | 3 | 6 | 7 | -0.046567 | 1228.736 |
| 634 | 2 | 3 | 7 | 8 | -0.036823 | 1228.736 |
| 635 | 2 | 3 | 8 | 9 | -0.022396 | 1228.736 |
| 636 | 2 | 3 | 9 | 10 | -0.021983 | 1228.736 |
| 637 | 2 | 4 | 10 | 12 | -0.033224 | 1213.791 |
| 638 | 2 | 4 | 12 | 14 | -0.021564 | 1213.791 |
| 639 | 2 | 4 | 14 | 16 | -0.013251 | 1213.791 |
| 640 | 2 | 4 | 16 | 11 | 0.067176 | 1213.791 |
| 641 | 2 | 4 | 11 | 13 | -0.020745 | 1213.791 |
| 642 | 2 | 4 | 13 | 15 | -0.023174 | 1213.791 |
| 643 | 2 | 4 | 15 | 17 | -0.028003 | 1213.791 |
| 644 | 2 | 5 | 16 | 19 | -0.019631 | 997.226 |
| 645 | 2 | 5 | 19 | 22 | -0.013293 | 997.226 |
| 646 | 2 | 5 | 22 | 17 | 0.025203 | 997.226 |
| 647 | 2 | 5 | 17 | 20 | -0.018332 | 997.226 |
| 648 | 2 | 5 | 20 | 23 | -0.011489 | 997.226 |
| 649 | 2 | 5 | 23 | 18 | 0.02695 | 997.226 |
| 650 | 2 | 5 | 18 | 21 | -0.019652 | 997.226 |
| 651 | 2 | 6 | 21 | 25 | -0.017278 | 1181.643 |
| 652 | 2 | 6 | 25 | 29 | 0.01427 | 1181.643 |
| 653 | 2 | 6 | 22 | 26 | -0.013027 | 1181.643 |
| 654 | 2 | 6 | 26 | 30 | 0.019074 | 1181.643 |
| 655 | 2 | 6 | 30 | 23 | -0.014093 | 1181.643 |
| 656 | 2 | 6 | 23 | 27 | -0.001682 | 1181.643 |
| 657 | 2 | 6 | 27 | 24 | -0.002806 | 1181.643 |
| 658 | 2 | 6 | 24 | 28 | 0.006067 | 1181.643 |
| 659 | 2 | 7 | 28 | 33 | 0.054203 | 353.996 |
| 660 | 2 | 7 | 33 | 29 | -0.045939 | 353.996 |
| 661 | 2 | 7 | 29 | 34 | 0.067835 | 353.996 |
| 662 | 2 | 7 | 34 | 30 | -0.058716 | 353.996 |
| 663 | 2 | 7 | 30 | 35 | 0.084585 | 353.996 |
| 664 | 2 | 7 | 35 | 31 | -0.074237 | 353.996 |
| 665 | 2 | 7 | 31 | 36 | 0.102401 | 353.996 |
| 666 | 2 | 7 | 36 | 32 | -0.090385 | 353.996 |
| 667 | 2 | 8 | 33 | 39 | 0.252146 | 983.803 |
| 668 | 2 | 8 | 39 | 45 | -0.733476 | 983.803 |
| 669 | 2 | 8 | 45 | 34 | 0.510387 | 983.803 |
| 670 | 2 | 8 | 34 | 40 | 0.263908 | 983.803 |
| 671 | 2 | 8 | 40 | 35 | -0.228359 | 983.803 |
| 672 | 2 | 8 | 35 | 41 | 0.19427 | 983.803 |

| Dati Geolettrici_Misura 8 27 Novembre 2025 | | | | | | |
|--|--------|--------|--------|--------|-----------|----------|
| Misura n. | Elec_A | Elec_B | Elec_M | Elec_N | V/I(ohm) | I(mA) |
| 673 | 2 | 8 | 41 | 36 | -0.156409 | 983.803 |
| 674 | 2 | 8 | 36 | 42 | 0.015796 | 983.803 |
| 675 | 2 | 8 | 42 | 37 | -0.615638 | 983.803 |
| 676 | 2 | 8 | 38 | 44 | -0.704529 | 43.981 |
| 677 | 2 | 9 | 40 | 47 | -0.897656 | 36.375 |
| 678 | 2 | 9 | 47 | 41 | 0.788492 | 36.375 |
| 679 | 2 | 9 | 41 | 48 | -0.788392 | 36.375 |
| 680 | 3 | 4 | 5 | 6 | -0.220406 | 1187.89 |
| 681 | 3 | 4 | 6 | 7 | -0.089089 | 1187.89 |
| 682 | 3 | 4 | 7 | 8 | -0.048207 | 1187.89 |
| 683 | 3 | 4 | 8 | 9 | -0.030453 | 1187.89 |
| 684 | 3 | 4 | 9 | 10 | -0.019653 | 1187.89 |
| 685 | 3 | 5 | 11 | 13 | -0.032692 | 966.682 |
| 686 | 3 | 5 | 13 | 15 | -0.022894 | 966.682 |
| 687 | 3 | 5 | 17 | 12 | 0.050915 | 966.682 |
| 688 | 3 | 5 | 12 | 14 | -0.028921 | 966.682 |
| 689 | 3 | 5 | 14 | 16 | -0.016426 | 966.682 |
| 690 | 3 | 5 | 16 | 18 | -0.028143 | 966.682 |
| 691 | 3 | 6 | 17 | 20 | -0.028021 | 1137.685 |
| 692 | 3 | 6 | 20 | 23 | -0.013341 | 1137.685 |
| 693 | 3 | 6 | 23 | 18 | 0.007252 | 1137.685 |
| 694 | 3 | 6 | 21 | 24 | -0.012389 | 1137.685 |
| 695 | 3 | 6 | 24 | 19 | 0.026058 | 1137.685 |
| 696 | 3 | 6 | 19 | 22 | -0.01571 | 1137.685 |
| 697 | 3 | 7 | 22 | 26 | -0.027598 | 1209.086 |
| 698 | 3 | 7 | 26 | 30 | 0.022785 | 1209.086 |
| 699 | 3 | 7 | 30 | 23 | -0.014374 | 1209.086 |
| 700 | 3 | 7 | 23 | 27 | -0.005008 | 1209.086 |
| 701 | 3 | 7 | 27 | 31 | 0.028236 | 1209.086 |
| 702 | 3 | 7 | 31 | 24 | -0.028699 | 1209.086 |
| 703 | 3 | 7 | 24 | 28 | 0.005058 | 1209.086 |
| 704 | 3 | 7 | 28 | 25 | -0.009371 | 1209.086 |
| 705 | 3 | 7 | 25 | 29 | 0.016059 | 1209.086 |
| 706 | 3 | 8 | 29 | 34 | 0.082969 | 231.875 |
| 707 | 3 | 8 | 34 | 30 | -0.071244 | 231.875 |
| 708 | 3 | 8 | 30 | 35 | 0.103328 | 231.875 |
| 709 | 3 | 8 | 35 | 31 | -0.090875 | 231.875 |
| 710 | 3 | 8 | 31 | 36 | 0.125538 | 231.875 |
| 711 | 3 | 8 | 36 | 32 | -0.110853 | 231.875 |
| 712 | 3 | 8 | 33 | 38 | 0.17854 | 231.875 |
| 713 | 3 | 9 | 34 | 40 | 0.200086 | 1114.019 |
| 714 | 3 | 9 | 40 | 46 | -0.918005 | 1114.019 |
| 715 | 3 | 9 | 46 | 35 | 0.7613 | 1114.019 |
| 716 | 3 | 9 | 35 | 41 | 0.038447 | 1114.019 |
| 717 | 3 | 9 | 36 | 42 | -0.207541 | 1114.019 |
| 718 | 3 | 9 | 43 | 38 | 0.511624 | 1114.019 |
| 719 | 3 | 9 | 38 | 44 | -0.794592 | 1114.019 |
| 720 | 3 | 9 | 39 | 45 | -0.895025 | 35.011 |
| 721 | 3 | 10 | 41 | 48 | -0.667058 | 41.643 |
| 722 | 4 | 5 | 6 | 7 | -0.223726 | 976.516 |
| 723 | 4 | 5 | 7 | 8 | -0.093542 | 976.516 |
| 724 | 4 | 5 | 8 | 9 | -0.051622 | 976.516 |
| 725 | 4 | 5 | 9 | 10 | -0.032589 | 976.516 |
| 726 | 4 | 5 | 10 | 11 | -0.038075 | 976.516 |
| 727 | 4 | 6 | 12 | 14 | -0.040227 | 1147.599 |
| 728 | 4 | 6 | 14 | 16 | -0.022395 | 1147.599 |

| Dati Geolettrici_Misura 8 27 Novembre 2025 | | | | | | |
|--|--------|--------|--------|--------|-----------|----------|
| Misura n. | Elec_A | Elec_B | Elec_M | Elec_N | V/I(ohm) | I(mA) |
| 729 | 4 | 6 | 16 | 18 | -0.027607 | 1147.599 |
| 730 | 4 | 6 | 18 | 13 | 0.039698 | 1147.599 |
| 731 | 4 | 6 | 13 | 15 | -0.026269 | 1147.599 |
| 732 | 4 | 6 | 17 | 19 | -0.017418 | 1147.599 |
| 733 | 4 | 7 | 18 | 21 | -0.009014 | 1217.527 |
| 734 | 4 | 7 | 21 | 24 | -0.014938 | 1217.527 |
| 735 | 4 | 7 | 24 | 19 | 0.026688 | 1217.527 |
| 736 | 4 | 7 | 19 | 22 | -0.004479 | 1217.527 |
| 737 | 4 | 7 | 22 | 25 | -0.026639 | 1217.527 |
| 738 | 4 | 7 | 25 | 20 | 0.023774 | 1217.527 |
| 739 | 4 | 7 | 20 | 23 | -0.014886 | 1217.527 |
| 740 | 4 | 8 | 23 | 27 | -0.005435 | 1233.776 |
| 741 | 4 | 8 | 27 | 31 | 0.034558 | 1233.776 |
| 742 | 4 | 8 | 31 | 24 | -0.034893 | 1233.776 |
| 743 | 4 | 8 | 24 | 28 | 0.006428 | 1233.776 |
| 744 | 4 | 8 | 28 | 32 | 0.041343 | 1233.776 |
| 745 | 4 | 8 | 32 | 25 | -0.052516 | 1233.776 |
| 746 | 4 | 8 | 25 | 29 | 0.018368 | 1233.776 |
| 747 | 4 | 8 | 29 | 26 | -0.016881 | 1233.776 |
| 748 | 4 | 8 | 26 | 30 | 0.027443 | 1233.776 |
| 749 | 4 | 9 | 30 | 35 | 0.125953 | 150.142 |
| 750 | 4 | 9 | 35 | 31 | -0.110917 | 150.142 |
| 751 | 4 | 9 | 31 | 36 | 0.152561 | 150.142 |
| 752 | 4 | 9 | 36 | 32 | -0.134793 | 150.142 |
| 753 | 4 | 9 | 33 | 38 | 0.203074 | 150.142 |
| 754 | 4 | 9 | 38 | 34 | -0.170636 | 150.142 |
| 755 | 4 | 9 | 34 | 39 | 0.197156 | 150.142 |
| 756 | 4 | 10 | 35 | 41 | -0.181825 | 125.199 |
| 757 | 4 | 10 | 41 | 47 | -0.562145 | 125.199 |
| 758 | 4 | 10 | 47 | 36 | 0.798891 | 125.199 |
| 759 | 4 | 10 | 36 | 42 | -0.461562 | 125.199 |
| 760 | 4 | 10 | 43 | 38 | 0.748767 | 125.199 |
| 761 | 4 | 10 | 38 | 44 | -0.886102 | 125.199 |
| 762 | 4 | 10 | 44 | 39 | 0.863863 | 125.199 |
| 763 | 4 | 10 | 39 | 45 | -0.936501 | 125.199 |
| 764 | 4 | 10 | 40 | 46 | -0.810667 | 38.564 |
| 765 | 5 | 6 | 7 | 8 | -0.245646 | 944.005 |
| 766 | 5 | 6 | 8 | 9 | -0.093153 | 944.005 |
| 767 | 5 | 6 | 9 | 10 | -0.061186 | 944.005 |
| 768 | 5 | 6 | 10 | 11 | -0.027502 | 944.005 |
| 769 | 5 | 6 | 11 | 12 | -0.022895 | 944.005 |
| 770 | 5 | 6 | 12 | 13 | -0.01456 | 944.005 |
| 771 | 5 | 7 | 13 | 15 | -0.03749 | 991.562 |
| 772 | 5 | 7 | 15 | 17 | -0.025079 | 991.562 |
| 773 | 5 | 7 | 17 | 19 | -0.013038 | 991.562 |
| 774 | 5 | 7 | 19 | 14 | 0.053511 | 991.562 |
| 775 | 5 | 7 | 14 | 16 | -0.030666 | 991.562 |
| 776 | 5 | 7 | 16 | 18 | -0.015628 | 991.562 |
| 777 | 5 | 7 | 18 | 20 | -0.014976 | 991.562 |
| 778 | 5 | 8 | 19 | 22 | -0.020377 | 1001.924 |
| 779 | 5 | 8 | 22 | 25 | -0.016627 | 1001.924 |
| 780 | 5 | 8 | 25 | 20 | 0.02848 | 1001.924 |
| 781 | 5 | 8 | 20 | 23 | -0.018885 | 1001.924 |
| 782 | 5 | 8 | 23 | 26 | -0.008079 | 1001.924 |
| 783 | 5 | 8 | 26 | 21 | 0.019516 | 1001.924 |
| 784 | 5 | 8 | 21 | 24 | -0.016099 | 1001.924 |

| Dati Geolettrici_Misura 8 27 Novembre 2025 | | | | | | |
|--|--------|--------|--------|--------|-----------|----------|
| Misura n. | Elec_A | Elec_B | Elec_M | Elec_N | V/I(ohm) | I(mA) |
| 785 | 5 | 9 | 24 | 28 | 0.005351 | 929.307 |
| 786 | 5 | 9 | 28 | 32 | 0.050296 | 929.307 |
| 787 | 5 | 9 | 32 | 25 | -0.064554 | 929.307 |
| 788 | 5 | 9 | 25 | 29 | 0.022312 | 929.307 |
| 789 | 5 | 9 | 29 | 33 | 0.060839 | 929.307 |
| 790 | 5 | 9 | 33 | 26 | -0.080847 | 929.307 |
| 791 | 5 | 9 | 26 | 30 | 0.033385 | 929.307 |
| 792 | 5 | 9 | 30 | 27 | -0.029476 | 929.307 |
| 793 | 5 | 9 | 27 | 31 | 0.042508 | 929.307 |
| 794 | 5 | 10 | 31 | 36 | 0.187132 | 393.847 |
| 795 | 5 | 10 | 36 | 32 | -0.164952 | 393.847 |
| 796 | 5 | 10 | 33 | 38 | 0.210597 | 393.847 |
| 797 | 5 | 10 | 38 | 34 | -0.169585 | 393.847 |
| 798 | 5 | 10 | 34 | 39 | 0.137114 | 393.847 |
| 799 | 5 | 10 | 39 | 35 | -0.088745 | 393.847 |
| 800 | 5 | 11 | 36 | 42 | -0.696867 | 977.498 |
| 801 | 5 | 11 | 37 | 43 | -0.004192 | 977.498 |
| 802 | 5 | 11 | 43 | 38 | 0.884726 | 977.498 |
| 803 | 5 | 11 | 38 | 44 | -0.880596 | 977.498 |
| 804 | 5 | 11 | 44 | 39 | 0.781621 | 977.498 |
| 805 | 5 | 11 | 39 | 45 | -0.84188 | 977.498 |
| 806 | 5 | 11 | 45 | 40 | 0.659993 | 39.425 |
| 807 | 5 | 11 | 40 | 46 | -0.607108 | 39.425 |
| 808 | 5 | 11 | 41 | 47 | -0.384562 | 52.408 |
| 809 | 6 | 7 | 8 | 9 | -0.261664 | 1163.664 |
| 810 | 6 | 7 | 9 | 10 | -0.097434 | 1163.664 |
| 811 | 6 | 7 | 10 | 11 | -0.0526 | 1163.664 |
| 812 | 6 | 7 | 11 | 12 | -0.028375 | 1163.664 |
| 813 | 6 | 7 | 12 | 13 | -0.020681 | 1163.664 |
| 814 | 6 | 7 | 13 | 14 | -0.012932 | 1163.664 |
| 815 | 6 | 8 | 14 | 16 | -0.038983 | 1179.561 |
| 816 | 6 | 8 | 16 | 18 | -0.026675 | 1179.561 |
| 817 | 6 | 8 | 18 | 20 | -0.011664 | 1179.561 |
| 818 | 6 | 8 | 20 | 15 | 0.051725 | 1179.561 |
| 819 | 6 | 8 | 15 | 17 | -0.031923 | 1179.561 |
| 820 | 6 | 8 | 17 | 19 | -0.015714 | 1179.561 |
| 821 | 6 | 8 | 19 | 21 | -0.009585 | 1179.561 |
| 822 | 6 | 9 | 20 | 23 | -0.02171 | 1072.714 |
| 823 | 6 | 9 | 23 | 26 | -0.010071 | 1072.714 |
| 824 | 6 | 9 | 26 | 21 | 0.023002 | 1072.714 |
| 825 | 6 | 9 | 21 | 24 | -0.017565 | 1072.714 |
| 826 | 6 | 9 | 27 | 22 | 0.013947 | 1072.714 |
| 827 | 6 | 9 | 22 | 25 | -0.018912 | 1072.714 |
| 828 | 6 | 10 | 25 | 29 | 0.027763 | 584.054 |
| 829 | 6 | 10 | 29 | 33 | 0.075344 | 584.054 |
| 830 | 6 | 10 | 33 | 26 | -0.099521 | 584.054 |
| 831 | 6 | 10 | 26 | 30 | 0.040845 | 584.054 |
| 832 | 6 | 10 | 30 | 34 | 0.094771 | 584.054 |
| 833 | 6 | 10 | 34 | 27 | -0.131135 | 584.054 |
| 834 | 6 | 10 | 27 | 31 | 0.052498 | 584.054 |
| 835 | 6 | 10 | 31 | 28 | -0.042422 | 584.054 |
| 836 | 6 | 10 | 28 | 32 | 0.061926 | 584.054 |
| 837 | 6 | 11 | 33 | 38 | 0.168167 | 1145.431 |
| 838 | 6 | 11 | 38 | 34 | -0.117511 | 1145.431 |
| 839 | 6 | 11 | 34 | 39 | 0.007141 | 1145.431 |
| 840 | 6 | 11 | 39 | 35 | 0.050997 | 1145.431 |

| Dati Geolettrici_Misura 8 27 Novembre 2025 | | | | | | |
|--|--------|--------|--------|--------|-----------|----------|
| Misura n. | Elec_A | Elec_B | Elec_M | Elec_N | V/I(ohm) | I(mA) |
| 841 | 6 | 11 | 35 | 40 | -0.251028 | 1145.431 |
| 842 | 6 | 11 | 40 | 36 | 0.303061 | 1145.431 |
| 843 | 6 | 11 | 36 | 41 | -0.518073 | 1145.431 |
| 844 | 6 | 12 | 37 | 43 | -0.10302 | 168.134 |
| 845 | 6 | 12 | 43 | 38 | 0.873818 | 168.134 |
| 846 | 6 | 12 | 38 | 44 | -0.770785 | 168.134 |
| 847 | 6 | 12 | 44 | 39 | 0.600972 | 168.134 |
| 848 | 6 | 12 | 39 | 45 | -0.642049 | 168.134 |
| 849 | 6 | 12 | 45 | 40 | 0.420217 | 168.134 |
| 850 | 6 | 12 | 40 | 46 | -0.360036 | 168.134 |
| 851 | 6 | 12 | 46 | 41 | 0.150976 | 168.134 |
| 852 | 6 | 12 | 42 | 48 | 0.00973 | 1125.346 |
| 853 | 7 | 8 | 9 | 10 | -0.232273 | 1117.787 |
| 854 | 7 | 8 | 10 | 11 | -0.107349 | 1117.787 |
| 855 | 7 | 8 | 11 | 12 | -0.047506 | 1117.787 |
| 856 | 7 | 8 | 12 | 13 | -0.032201 | 1117.787 |
| 857 | 7 | 8 | 13 | 14 | -0.018092 | 1117.787 |
| 858 | 7 | 8 | 14 | 15 | -0.014414 | 1117.787 |
| 859 | 7 | 9 | 15 | 17 | -0.032108 | 1121.107 |
| 860 | 7 | 9 | 17 | 19 | -0.032484 | 1121.107 |
| 861 | 7 | 9 | 19 | 21 | -0.013595 | 1121.107 |
| 862 | 7 | 9 | 21 | 16 | 0.056681 | 1121.107 |
| 863 | 7 | 9 | 16 | 18 | -0.033769 | 1121.107 |
| 864 | 7 | 9 | 18 | 20 | -0.015038 | 1121.107 |
| 865 | 7 | 9 | 20 | 22 | -0.021494 | 1121.107 |
| 866 | 7 | 10 | 21 | 24 | -0.022141 | 1208.346 |
| 867 | 7 | 10 | 27 | 22 | 0.002008 | 1208.346 |
| 868 | 7 | 10 | 22 | 25 | -0.008192 | 1208.346 |
| 869 | 7 | 10 | 25 | 28 | 0.014442 | 1208.346 |
| 870 | 7 | 10 | 28 | 23 | -0.001819 | 1208.346 |
| 871 | 7 | 10 | 23 | 26 | -0.00978 | 1208.346 |
| 872 | 7 | 11 | 26 | 30 | 0.049204 | 339.366 |
| 873 | 7 | 11 | 30 | 34 | 0.116611 | 339.366 |
| 874 | 7 | 11 | 34 | 27 | -0.160673 | 339.366 |
| 875 | 7 | 11 | 27 | 31 | 0.063779 | 339.366 |
| 876 | 7 | 11 | 31 | 35 | 0.147202 | 339.366 |
| 877 | 7 | 11 | 35 | 28 | -0.198816 | 339.366 |
| 878 | 7 | 11 | 28 | 32 | 0.075479 | 339.366 |
| 879 | 7 | 11 | 32 | 29 | -0.063755 | 339.366 |
| 880 | 7 | 11 | 29 | 33 | 0.091979 | 339.366 |
| 881 | 7 | 12 | 33 | 38 | 0.040139 | 1096.968 |
| 882 | 7 | 12 | 34 | 39 | -0.198181 | 1096.968 |
| 883 | 7 | 12 | 39 | 35 | 0.261055 | 1096.968 |
| 884 | 7 | 12 | 35 | 40 | -0.48798 | 1096.968 |
| 885 | 7 | 12 | 40 | 36 | 0.526699 | 1096.968 |
| 886 | 7 | 12 | 36 | 41 | -0.714115 | 1096.968 |
| 887 | 7 | 12 | 37 | 42 | -0.101979 | 1096.968 |
| 888 | 7 | 13 | 38 | 44 | -0.565062 | 592.481 |
| 889 | 7 | 13 | 44 | 39 | 0.365413 | 592.481 |
| 890 | 7 | 13 | 39 | 45 | -0.392136 | 592.481 |
| 891 | 7 | 13 | 45 | 40 | 0.169814 | 592.481 |
| 892 | 7 | 13 | 46 | 41 | -0.059262 | 592.481 |
| 893 | 7 | 13 | 41 | 47 | 0.030854 | 592.481 |
| 894 | 7 | 13 | 47 | 42 | -0.13082 | 592.481 |
| 895 | 7 | 13 | 42 | 48 | 0.130951 | 592.481 |
| 896 | 8 | 9 | 10 | 11 | -0.234968 | 1098.846 |

| Dati Geolettrici_Misura 8 27 Novembre 2025 | | | | | | |
|--|--------|--------|--------|--------|-----------|----------|
| Misura n. | Elec_A | Elec_B | Elec_M | Elec_N | V/I(ohm) | I(mA) |
| 897 | 8 | 9 | 11 | 12 | -0.0926 | 1098.846 |
| 898 | 8 | 9 | 12 | 13 | -0.04928 | 1098.846 |
| 899 | 8 | 9 | 13 | 14 | -0.026774 | 1098.846 |
| 900 | 8 | 9 | 14 | 15 | -0.017219 | 1098.846 |
| 901 | 8 | 9 | 15 | 16 | -0.014555 | 1098.846 |
| 902 | 8 | 10 | 16 | 18 | -0.043609 | 1217.181 |
| 903 | 8 | 10 | 18 | 20 | -0.023391 | 1217.181 |
| 904 | 8 | 10 | 20 | 22 | -0.017852 | 1217.181 |
| 905 | 8 | 10 | 22 | 17 | 0.061071 | 1217.181 |
| 906 | 8 | 10 | 17 | 19 | -0.033352 | 1217.181 |
| 907 | 8 | 10 | 19 | 21 | -0.018444 | 1217.181 |
| 908 | 8 | 10 | 21 | 23 | -0.012679 | 1217.181 |
| 909 | 8 | 11 | 22 | 25 | -0.025895 | 1216.376 |
| 910 | 8 | 11 | 25 | 28 | 0.018619 | 1216.376 |
| 911 | 8 | 11 | 23 | 26 | -0.014334 | 1216.376 |
| 912 | 8 | 11 | 26 | 29 | 0.02379 | 1216.376 |
| 913 | 8 | 11 | 29 | 24 | -0.015442 | 1216.376 |
| 914 | 8 | 12 | 27 | 31 | 0.077546 | 217.75 |
| 915 | 8 | 12 | 31 | 35 | 0.170023 | 217.75 |
| 916 | 8 | 12 | 35 | 28 | -0.232993 | 217.75 |
| 917 | 8 | 12 | 28 | 32 | 0.092255 | 217.75 |
| 918 | 8 | 12 | 32 | 36 | 0.170824 | 217.75 |
| 919 | 8 | 12 | 36 | 29 | -0.248433 | 217.75 |
| 920 | 8 | 12 | 29 | 33 | 0.111747 | 217.75 |
| 921 | 8 | 12 | 33 | 30 | -0.087746 | 217.75 |
| 922 | 8 | 12 | 30 | 34 | 0.140852 | 217.75 |
| 923 | 8 | 13 | 34 | 39 | -0.448625 | 127.239 |
| 924 | 8 | 13 | 39 | 35 | 0.501405 | 127.239 |
| 925 | 8 | 13 | 35 | 40 | -0.710389 | 127.239 |
| 926 | 8 | 13 | 40 | 36 | 0.701211 | 127.239 |
| 927 | 8 | 13 | 36 | 41 | -0.820728 | 127.239 |
| 928 | 8 | 13 | 41 | 37 | 0.137076 | 127.239 |
| 929 | 8 | 13 | 37 | 42 | -0.159702 | 127.239 |
| 930 | 8 | 13 | 42 | 38 | 0.559993 | 127.239 |
| 931 | 8 | 13 | 38 | 43 | -0.528578 | 127.239 |
| 932 | 8 | 14 | 39 | 45 | -0.154349 | 386.595 |
| 933 | 8 | 14 | 45 | 40 | -0.042534 | 386.595 |
| 934 | 8 | 14 | 40 | 46 | 0.089225 | 386.595 |
| 935 | 8 | 14 | 46 | 41 | -0.196264 | 386.595 |
| 936 | 8 | 14 | 41 | 47 | 0.168311 | 386.595 |
| 937 | 8 | 14 | 47 | 42 | -0.179729 | 386.595 |
| 938 | 8 | 14 | 42 | 48 | 0.179811 | 386.595 |
| 939 | 9 | 10 | 11 | 12 | -0.265204 | 1102.373 |
| 940 | 9 | 10 | 12 | 13 | -0.104608 | 1102.373 |
| 941 | 9 | 10 | 13 | 14 | -0.049567 | 1102.373 |
| 942 | 9 | 10 | 14 | 15 | -0.03111 | 1102.373 |
| 943 | 9 | 10 | 15 | 16 | -0.018203 | 1102.373 |
| 944 | 9 | 10 | 16 | 17 | -0.020838 | 1102.373 |
| 945 | 9 | 11 | 17 | 19 | -0.032473 | 1106.467 |
| 946 | 9 | 11 | 19 | 21 | -0.030392 | 1106.467 |
| 947 | 9 | 11 | 21 | 23 | -0.015678 | 1106.467 |
| 948 | 9 | 11 | 23 | 18 | 0.057695 | 1106.467 |
| 949 | 9 | 11 | 18 | 20 | -0.030425 | 1106.467 |
| 950 | 9 | 11 | 20 | 22 | -0.022267 | 1106.467 |
| 951 | 9 | 11 | 22 | 24 | -0.009249 | 1106.467 |
| 952 | 9 | 12 | 23 | 26 | -0.019248 | 1086.725 |

| Dati Geolettrici_Misura 8 27 Novembre 2025 | | | | | | |
|--|--------|--------|--------|--------|-----------|----------|
| Misura n. | Elec_A | Elec_B | Elec_M | Elec_N | V/I(ohm) | I(mA) |
| 953 | 9 | 12 | 26 | 29 | 0.029776 | 1086.725 |
| 954 | 9 | 12 | 29 | 24 | -0.020133 | 1086.725 |
| 955 | 9 | 12 | 27 | 30 | 0.043319 | 1086.725 |
| 956 | 9 | 12 | 30 | 25 | -0.055476 | 1086.725 |
| 957 | 9 | 12 | 25 | 28 | 0.023934 | 1086.725 |
| 958 | 9 | 13 | 28 | 32 | 0.11485 | 145.031 |
| 959 | 9 | 13 | 32 | 36 | 0.118731 | 145.031 |
| 960 | 9 | 13 | 36 | 29 | -0.214607 | 145.031 |
| 961 | 9 | 13 | 29 | 33 | 0.136845 | 145.031 |
| 962 | 9 | 13 | 33 | 37 | -0.459116 | 145.031 |
| 963 | 9 | 13 | 30 | 34 | 0.164903 | 145.031 |
| 964 | 9 | 13 | 34 | 31 | -0.134375 | 145.031 |
| 965 | 9 | 13 | 31 | 35 | 0.175543 | 145.031 |
| 966 | 9 | 14 | 35 | 40 | -0.797522 | 1146.063 |
| 967 | 9 | 14 | 40 | 36 | 0.711134 | 1146.063 |
| 968 | 9 | 14 | 36 | 41 | -0.745526 | 1146.063 |
| 969 | 9 | 14 | 41 | 37 | 0.189944 | 1146.063 |
| 970 | 9 | 14 | 37 | 42 | -0.155129 | 1146.063 |
| 971 | 9 | 14 | 42 | 38 | 0.332444 | 1146.063 |
| 972 | 9 | 14 | 38 | 43 | -0.28484 | 1146.063 |
| 973 | 9 | 14 | 39 | 44 | 0.013059 | 1146.063 |
| 974 | 9 | 15 | 40 | 46 | 0.219966 | 98.619 |
| 975 | 9 | 15 | 46 | 41 | -0.242702 | 98.619 |
| 976 | 9 | 15 | 41 | 47 | 0.218457 | 98.619 |
| 977 | 9 | 15 | 47 | 42 | -0.173824 | 98.619 |
| 978 | 9 | 15 | 42 | 48 | 0.173796 | 98.619 |
| 979 | 10 | 11 | 12 | 13 | -0.255586 | 1038.63 |
| 980 | 10 | 11 | 13 | 14 | -0.09365 | 1038.63 |
| 981 | 10 | 11 | 14 | 15 | -0.038808 | 1038.63 |
| 982 | 10 | 11 | 15 | 16 | -0.039204 | 1038.63 |
| 983 | 10 | 11 | 16 | 17 | -0.020227 | 1038.63 |
| 984 | 10 | 11 | 17 | 18 | -0.014927 | 1038.63 |
| 985 | 10 | 12 | 18 | 20 | -0.046571 | 969.831 |
| 986 | 10 | 12 | 20 | 22 | -0.023591 | 969.831 |
| 987 | 10 | 12 | 22 | 24 | -0.016568 | 969.831 |
| 988 | 10 | 12 | 24 | 19 | 0.058896 | 969.831 |
| 989 | 10 | 12 | 19 | 21 | -0.032357 | 969.831 |
| 990 | 10 | 12 | 21 | 23 | -0.019536 | 969.831 |
| 991 | 10 | 12 | 23 | 25 | -0.019509 | 969.831 |
| 992 | 10 | 13 | 27 | 30 | 0.053249 | 1143.814 |
| 993 | 10 | 13 | 30 | 25 | -0.069719 | 1143.814 |
| 994 | 10 | 13 | 25 | 28 | 0.030695 | 1143.814 |
| 995 | 10 | 13 | 28 | 31 | 0.063819 | 1143.814 |
| 996 | 10 | 13 | 31 | 26 | -0.085663 | 1143.814 |
| 997 | 10 | 13 | 26 | 29 | 0.037434 | 1143.814 |
| 998 | 10 | 14 | 29 | 33 | 0.156143 | 745.614 |
| 999 | 10 | 14 | 33 | 37 | -0.469383 | 745.614 |
| 1000 | 10 | 14 | 37 | 30 | 0.347271 | 745.614 |
| 1001 | 10 | 14 | 30 | 34 | 0.162861 | 745.614 |
| 1002 | 10 | 14 | 34 | 38 | -0.483014 | 745.614 |
| 1003 | 10 | 14 | 38 | 31 | 0.356716 | 745.614 |
| 1004 | 10 | 14 | 31 | 35 | 0.120275 | 745.614 |
| 1005 | 10 | 14 | 35 | 32 | -0.077337 | 745.614 |
| 1006 | 10 | 15 | 36 | 41 | -0.541422 | 342.506 |
| 1007 | 10 | 15 | 41 | 37 | 0.18782 | 342.506 |
| 1008 | 10 | 15 | 37 | 42 | -0.133374 | 342.506 |

| Dati Geolettrici_Misura 8 27 Novembre 2025 | | | | | | |
|--|--------|--------|--------|--------|-----------|----------|
| Misura n. | Elec_A | Elec_B | Elec_M | Elec_N | V/I(ohm) | I(mA) |
| 1009 | 10 | 15 | 43 | 39 | -0.080035 | 342.506 |
| 1010 | 10 | 15 | 39 | 44 | 0.167338 | 342.506 |
| 1011 | 10 | 15 | 44 | 40 | -0.215865 | 342.506 |
| 1012 | 10 | 15 | 40 | 45 | 0.207269 | 342.506 |
| 1013 | 10 | 16 | 41 | 47 | 0.210407 | 115.52 |
| 1014 | 10 | 16 | 47 | 42 | -0.147299 | 115.52 |
| 1015 | 10 | 16 | 42 | 48 | 0.147412 | 115.52 |
| 1016 | 11 | 12 | 13 | 14 | -0.25907 | 893.631 |
| 1017 | 11 | 12 | 14 | 15 | -0.104132 | 893.631 |
| 1018 | 11 | 12 | 15 | 16 | -0.044179 | 893.631 |
| 1019 | 11 | 12 | 16 | 17 | -0.032402 | 893.631 |
| 1020 | 11 | 12 | 17 | 18 | -0.021537 | 893.631 |
| 1021 | 11 | 12 | 18 | 19 | -0.024292 | 893.631 |
| 1022 | 11 | 13 | 19 | 21 | -0.038665 | 1136.989 |
| 1023 | 11 | 13 | 21 | 23 | -0.026781 | 1136.989 |
| 1024 | 11 | 13 | 23 | 25 | -0.027067 | 1136.989 |
| 1025 | 11 | 13 | 25 | 20 | 0.072612 | 1136.989 |
| 1026 | 11 | 13 | 20 | 22 | -0.032844 | 1136.989 |
| 1027 | 11 | 13 | 22 | 24 | -0.023718 | 1136.989 |
| 1028 | 11 | 13 | 24 | 26 | -0.009389 | 1136.989 |
| 1029 | 11 | 14 | 25 | 28 | 0.037518 | 443.201 |
| 1030 | 11 | 14 | 28 | 31 | 0.077433 | 443.201 |
| 1031 | 11 | 14 | 31 | 26 | -0.10422 | 443.201 |
| 1032 | 11 | 14 | 26 | 29 | 0.046274 | 443.201 |
| 1033 | 11 | 14 | 29 | 32 | 0.092801 | 443.201 |
| 1034 | 11 | 14 | 32 | 27 | -0.129265 | 443.201 |
| 1035 | 11 | 14 | 27 | 30 | 0.064142 | 443.201 |
| 1036 | 11 | 15 | 30 | 34 | 0.10722 | 519.757 |
| 1037 | 11 | 15 | 34 | 38 | -0.615813 | 519.757 |
| 1038 | 11 | 15 | 38 | 31 | 0.552261 | 519.757 |
| 1039 | 11 | 15 | 35 | 39 | -0.577675 | 519.757 |
| 1040 | 11 | 15 | 39 | 32 | 0.656352 | 519.757 |
| 1041 | 11 | 15 | 32 | 36 | -0.251637 | 519.757 |
| 1042 | 11 | 15 | 36 | 33 | 0.284591 | 519.757 |
| 1043 | 11 | 15 | 33 | 37 | -0.489307 | 519.757 |
| 1044 | 11 | 16 | 42 | 38 | -0.088967 | 189.904 |
| 1045 | 11 | 16 | 38 | 43 | 0.129683 | 189.904 |
| 1046 | 11 | 16 | 43 | 39 | -0.173602 | 189.904 |
| 1047 | 11 | 16 | 39 | 44 | 0.24471 | 189.904 |
| 1048 | 11 | 16 | 44 | 40 | -0.222002 | 189.904 |
| 1049 | 11 | 16 | 40 | 45 | 0.215699 | 189.904 |
| 1050 | 11 | 16 | 45 | 41 | -0.16242 | 189.904 |
| 1051 | 11 | 16 | 41 | 46 | 0.184073 | 189.904 |
| 1052 | 11 | 17 | 42 | 48 | 0.122289 | 138.886 |
| 1053 | 12 | 13 | 14 | 15 | -0.247397 | 986.337 |
| 1054 | 12 | 13 | 15 | 16 | -0.105075 | 986.337 |
| 1055 | 12 | 13 | 16 | 17 | -0.056269 | 986.337 |
| 1056 | 12 | 13 | 17 | 18 | -0.037093 | 986.337 |
| 1057 | 12 | 13 | 18 | 19 | -0.024983 | 986.337 |
| 1058 | 12 | 13 | 19 | 20 | -0.015812 | 986.337 |
| 1059 | 12 | 14 | 20 | 22 | -0.046565 | 1151.785 |
| 1060 | 12 | 14 | 22 | 24 | -0.026871 | 1151.785 |
| 1061 | 12 | 14 | 24 | 26 | -0.014434 | 1151.785 |
| 1062 | 12 | 14 | 26 | 21 | 0.06158 | 1151.785 |
| 1063 | 12 | 14 | 21 | 23 | -0.035184 | 1151.785 |
| 1064 | 12 | 14 | 23 | 25 | -0.034324 | 1151.785 |

| Dati Geolettrici_Misura 8 27 Novembre 2025 | | | | | | |
|--|--------|--------|--------|--------|-----------|----------|
| Misura n. | Elec_A | Elec_B | Elec_M | Elec_N | V/I(ohm) | I(mA) |
| 1065 | 12 | 14 | 25 | 27 | 0.015313 | 1151.785 |
| 1066 | 12 | 15 | 26 | 29 | 0.057238 | 286.344 |
| 1067 | 12 | 15 | 29 | 32 | 0.10553 | 286.344 |
| 1068 | 12 | 15 | 32 | 27 | -0.150277 | 286.344 |
| 1069 | 12 | 15 | 27 | 30 | 0.077633 | 286.344 |
| 1070 | 12 | 15 | 30 | 33 | 0.094635 | 286.344 |
| 1071 | 12 | 15 | 33 | 28 | -0.151654 | 286.344 |
| 1072 | 12 | 15 | 28 | 31 | 0.092823 | 286.344 |
| 1073 | 12 | 16 | 31 | 35 | -0.264929 | 103.556 |
| 1074 | 12 | 16 | 35 | 39 | -0.406141 | 103.556 |
| 1075 | 12 | 16 | 39 | 32 | 0.712191 | 103.556 |
| 1076 | 12 | 16 | 32 | 36 | -0.504326 | 103.556 |
| 1077 | 12 | 16 | 36 | 40 | -0.164866 | 103.556 |
| 1078 | 12 | 16 | 40 | 33 | 0.666264 | 103.556 |
| 1079 | 12 | 16 | 33 | 37 | -0.495296 | 103.556 |
| 1080 | 12 | 16 | 37 | 34 | 0.377891 | 103.556 |
| 1081 | 12 | 16 | 34 | 38 | -0.603655 | 103.556 |
| 1082 | 12 | 17 | 38 | 43 | 0.21416 | 184.682 |
| 1083 | 12 | 17 | 43 | 39 | -0.190595 | 184.682 |
| 1084 | 12 | 17 | 39 | 44 | 0.247265 | 184.682 |
| 1085 | 12 | 17 | 44 | 40 | -0.195376 | 184.682 |
| 1086 | 12 | 17 | 40 | 45 | 0.190729 | 184.682 |
| 1087 | 12 | 17 | 45 | 41 | -0.136026 | 184.682 |
| 1088 | 12 | 17 | 41 | 46 | 0.15324 | 184.682 |
| 1089 | 12 | 17 | 46 | 42 | -0.102837 | 184.682 |
| 1090 | 12 | 17 | 42 | 47 | 0.090203 | 184.682 |
| 1091 | 13 | 14 | 15 | 16 | -0.239332 | 1055.709 |
| 1092 | 13 | 14 | 16 | 17 | -0.097468 | 1055.709 |
| 1093 | 13 | 14 | 17 | 18 | -0.05636 | 1055.709 |
| 1094 | 13 | 14 | 18 | 19 | -0.035091 | 1055.709 |
| 1095 | 13 | 14 | 19 | 20 | -0.021157 | 1055.709 |
| 1096 | 13 | 14 | 20 | 21 | -0.014857 | 1055.709 |
| 1097 | 13 | 15 | 21 | 23 | -0.047116 | 872.648 |
| 1098 | 13 | 15 | 23 | 25 | -0.045265 | 872.648 |
| 1099 | 13 | 15 | 25 | 27 | 0.018486 | 872.648 |
| 1100 | 13 | 15 | 27 | 22 | 0.04903 | 872.648 |
| 1101 | 13 | 15 | 22 | 24 | -0.037503 | 872.648 |
| 1102 | 13 | 15 | 24 | 26 | -0.020727 | 872.648 |
| 1103 | 13 | 15 | 26 | 28 | 0.024008 | 872.648 |
| 1104 | 13 | 16 | 27 | 30 | 0.093519 | 409.802 |
| 1105 | 13 | 16 | 30 | 33 | 0.052367 | 409.802 |
| 1106 | 13 | 16 | 33 | 28 | -0.12044 | 409.802 |
| 1107 | 13 | 16 | 28 | 31 | 0.10752 | 409.802 |
| 1108 | 13 | 16 | 31 | 34 | -0.117569 | 409.802 |
| 1109 | 13 | 16 | 29 | 32 | 0.106408 | 409.802 |
| 1110 | 13 | 17 | 32 | 36 | -0.68511 | 470.454 |
| 1111 | 13 | 17 | 36 | 40 | 0.034513 | 470.454 |
| 1112 | 13 | 17 | 40 | 33 | 0.575287 | 470.454 |
| 1113 | 13 | 17 | 33 | 37 | -0.436499 | 470.454 |
| 1114 | 13 | 17 | 41 | 34 | 0.311249 | 470.454 |
| 1115 | 13 | 17 | 34 | 38 | -0.441845 | 470.454 |
| 1116 | 13 | 17 | 38 | 35 | 0.217316 | 470.454 |
| 1117 | 13 | 17 | 35 | 39 | -0.173879 | 470.454 |
| 1118 | 13 | 18 | 39 | 44 | 0.21431 | 360.841 |
| 1119 | 13 | 18 | 44 | 40 | -0.160442 | 360.841 |
| 1120 | 13 | 18 | 40 | 45 | 0.156921 | 360.841 |

| Dati Geolettrici_Misura 8 27 Novembre 2025 | | | | | | |
|--|--------|--------|--------|--------|-----------|----------|
| Misura n. | Elec_A | Elec_B | Elec_M | Elec_N | V/I(ohm) | I(mA) |
| 1121 | 13 | 18 | 45 | 41 | -0.109482 | 360.841 |
| 1122 | 13 | 18 | 41 | 46 | 0.122852 | 360.841 |
| 1123 | 13 | 18 | 46 | 42 | -0.081002 | 360.841 |
| 1124 | 13 | 18 | 42 | 47 | 0.07104 | 360.841 |
| 1125 | 13 | 18 | 47 | 43 | -0.04415 | 360.841 |
| 1126 | 13 | 18 | 43 | 48 | 0.044191 | 360.841 |
| 1127 | 14 | 15 | 16 | 17 | -0.242889 | 1086.194 |
| 1128 | 14 | 15 | 17 | 18 | -0.091883 | 1086.194 |
| 1129 | 14 | 15 | 18 | 19 | -0.070439 | 1086.194 |
| 1130 | 14 | 15 | 19 | 20 | -0.036693 | 1086.194 |
| 1131 | 14 | 15 | 20 | 21 | -0.021512 | 1086.194 |
| 1132 | 14 | 15 | 21 | 22 | -0.013837 | 1086.194 |
| 1133 | 14 | 16 | 22 | 24 | -0.048049 | 855.632 |
| 1134 | 14 | 16 | 24 | 26 | -0.028803 | 855.632 |
| 1135 | 14 | 16 | 26 | 28 | 0.031014 | 855.632 |
| 1136 | 14 | 16 | 23 | 25 | -0.061694 | 855.632 |
| 1137 | 14 | 16 | 25 | 27 | 0.023879 | 855.632 |
| 1138 | 14 | 16 | 27 | 29 | 0.040841 | 855.632 |
| 1139 | 14 | 17 | 28 | 31 | 0.112779 | 300.689 |
| 1140 | 14 | 17 | 31 | 34 | -0.309273 | 300.689 |
| 1141 | 14 | 17 | 34 | 29 | 0.232323 | 300.689 |
| 1142 | 14 | 17 | 29 | 32 | 0.073125 | 300.689 |
| 1143 | 14 | 17 | 32 | 35 | -0.496821 | 300.689 |
| 1144 | 14 | 17 | 35 | 30 | 0.465878 | 300.689 |
| 1145 | 14 | 17 | 30 | 33 | -0.054563 | 300.689 |
| 1146 | 14 | 18 | 33 | 37 | -0.310785 | 896.611 |
| 1147 | 14 | 18 | 34 | 38 | -0.23665 | 896.611 |
| 1148 | 14 | 18 | 38 | 42 | 0.157314 | 896.611 |
| 1149 | 14 | 18 | 42 | 35 | -0.121133 | 896.611 |
| 1150 | 14 | 18 | 35 | 39 | 0.013454 | 896.611 |
| 1151 | 14 | 18 | 39 | 36 | -0.100697 | 896.611 |
| 1152 | 14 | 18 | 36 | 40 | 0.14229 | 896.611 |
| 1153 | 14 | 19 | 40 | 45 | 0.130751 | 442.167 |
| 1154 | 14 | 19 | 45 | 41 | -0.090269 | 442.167 |
| 1155 | 14 | 19 | 41 | 46 | 0.10106 | 442.167 |
| 1156 | 14 | 19 | 46 | 42 | -0.065162 | 442.167 |
| 1157 | 14 | 19 | 42 | 47 | 0.057227 | 442.167 |
| 1158 | 14 | 19 | 47 | 43 | -0.03548 | 442.167 |
| 1159 | 14 | 19 | 43 | 48 | 0.035493 | 442.167 |
| 1160 | 15 | 16 | 17 | 18 | -0.283803 | 1219.262 |
| 1161 | 15 | 16 | 18 | 19 | -0.102109 | 1219.262 |
| 1162 | 15 | 16 | 19 | 20 | -0.052853 | 1219.262 |
| 1163 | 15 | 16 | 20 | 21 | -0.034977 | 1219.262 |
| 1164 | 15 | 16 | 21 | 22 | -0.027047 | 1219.262 |
| 1165 | 15 | 16 | 22 | 23 | -0.012982 | 1219.262 |
| 1166 | 15 | 17 | 23 | 25 | -0.084482 | 636.386 |
| 1167 | 15 | 17 | 25 | 27 | 0.030538 | 636.386 |
| 1168 | 15 | 17 | 27 | 29 | 0.049693 | 636.386 |
| 1169 | 15 | 17 | 29 | 24 | -0.024412 | 636.386 |
| 1170 | 15 | 17 | 24 | 26 | -0.040892 | 636.386 |
| 1171 | 15 | 17 | 26 | 28 | 0.03923 | 636.386 |
| 1172 | 15 | 17 | 28 | 30 | 0.055576 | 636.386 |
| 1173 | 15 | 18 | 29 | 32 | -0.042507 | 362.241 |
| 1174 | 15 | 18 | 32 | 35 | -0.534994 | 362.241 |
| 1175 | 15 | 18 | 35 | 30 | 0.613138 | 362.241 |
| 1176 | 15 | 18 | 30 | 33 | -0.245882 | 362.241 |

| Dati Geolettrici_Misura 8 27 Novembre 2025 | | | | | | |
|--|--------|--------|--------|--------|-----------|----------|
| Misura n. | Elec_A | Elec_B | Elec_M | Elec_N | V/I(ohm) | I(mA) |
| 1177 | 15 | 18 | 33 | 36 | -0.392525 | 362.241 |
| 1178 | 15 | 18 | 36 | 31 | 0.641871 | 362.241 |
| 1179 | 15 | 18 | 31 | 34 | -0.489685 | 362.241 |
| 1180 | 15 | 19 | 38 | 42 | 0.133134 | 289.769 |
| 1181 | 15 | 19 | 42 | 35 | -0.202295 | 289.769 |
| 1182 | 15 | 19 | 35 | 39 | 0.112422 | 289.769 |
| 1183 | 15 | 19 | 39 | 43 | 0.105046 | 289.769 |
| 1184 | 15 | 19 | 43 | 36 | -0.233713 | 289.769 |
| 1185 | 15 | 19 | 36 | 40 | 0.163543 | 289.769 |
| 1186 | 15 | 20 | 41 | 46 | 0.082036 | 552.893 |
| 1187 | 15 | 20 | 46 | 42 | -0.051841 | 552.893 |
| 1188 | 15 | 20 | 42 | 47 | 0.045694 | 552.893 |
| 1189 | 15 | 20 | 47 | 43 | -0.028508 | 552.893 |
| 1190 | 15 | 20 | 43 | 48 | 0.028543 | 552.893 |
| 1191 | 16 | 17 | 18 | 19 | -0.281319 | 1230.83 |
| 1192 | 16 | 17 | 19 | 20 | -0.105934 | 1230.83 |
| 1193 | 16 | 17 | 20 | 21 | -0.056146 | 1230.83 |
| 1194 | 16 | 17 | 21 | 22 | -0.035773 | 1230.83 |
| 1195 | 16 | 17 | 22 | 23 | -0.023151 | 1230.83 |
| 1196 | 16 | 17 | 23 | 24 | -0.016378 | 1230.83 |
| 1197 | 16 | 18 | 24 | 26 | -0.066264 | 896.95 |
| 1198 | 16 | 18 | 26 | 28 | 0.049958 | 896.95 |
| 1199 | 16 | 18 | 28 | 30 | 0.048003 | 896.95 |
| 1200 | 16 | 18 | 30 | 25 | -0.117924 | 896.95 |
| 1201 | 16 | 18 | 25 | 27 | 0.040566 | 896.95 |
| 1202 | 16 | 18 | 27 | 29 | 0.056793 | 896.95 |
| 1203 | 16 | 18 | 29 | 31 | 0.009912 | 896.95 |
| 1204 | 16 | 19 | 30 | 33 | -0.449259 | 109.876 |
| 1205 | 16 | 19 | 33 | 36 | -0.213465 | 109.876 |
| 1206 | 16 | 19 | 36 | 31 | 0.594598 | 109.876 |
| 1207 | 16 | 19 | 31 | 34 | -0.560387 | 109.876 |
| 1208 | 16 | 19 | 34 | 37 | 0.150575 | 109.876 |
| 1209 | 16 | 19 | 37 | 32 | 0.232689 | 109.876 |
| 1210 | 16 | 19 | 32 | 35 | -0.43098 | 109.876 |
| 1211 | 16 | 20 | 35 | 39 | 0.14537 | 1177.705 |
| 1212 | 16 | 20 | 39 | 43 | 0.083607 | 1177.705 |
| 1213 | 16 | 20 | 43 | 36 | -0.205571 | 1177.705 |
| 1214 | 16 | 20 | 36 | 40 | 0.147473 | 1177.705 |
| 1215 | 16 | 20 | 40 | 44 | 0.077006 | 1177.705 |
| 1216 | 16 | 20 | 44 | 37 | -0.000073 | 1177.705 |
| 1217 | 16 | 20 | 41 | 38 | -0.086284 | 1177.705 |
| 1218 | 16 | 20 | 38 | 42 | 0.108766 | 1177.705 |
| 1219 | 16 | 21 | 42 | 47 | 0.035692 | 683.22 |
| 1220 | 16 | 21 | 47 | 43 | -0.022489 | 683.22 |
| 1221 | 16 | 21 | 43 | 48 | 0.02254 | 683.22 |
| 1222 | 17 | 18 | 19 | 20 | -0.298156 | 901.196 |
| 1223 | 17 | 18 | 20 | 21 | -0.119095 | 901.196 |
| 1224 | 17 | 18 | 21 | 22 | -0.064244 | 901.196 |
| 1225 | 17 | 18 | 22 | 23 | -0.040524 | 901.196 |
| 1226 | 17 | 18 | 23 | 24 | -0.025586 | 901.196 |
| 1227 | 17 | 18 | 24 | 25 | -0.053473 | 901.196 |
| 1228 | 17 | 19 | 25 | 27 | 0.054272 | 1001.938 |
| 1229 | 17 | 19 | 27 | 29 | 0.056487 | 1001.938 |
| 1230 | 17 | 19 | 29 | 31 | -0.085063 | 1001.938 |
| 1231 | 17 | 19 | 26 | 28 | 0.062334 | 1001.938 |
| 1232 | 17 | 19 | 28 | 30 | 0.011425 | 1001.938 |

| Dati Geolettrici_Misura 8 27 Novembre 2025 | | | | | | |
|--|--------|--------|--------|--------|-----------|----------|
| Misura n. | Elec_A | Elec_B | Elec_M | Elec_N | V/I(ohm) | I(mA) |
| 1233 | 17 | 19 | 30 | 32 | -0.232075 | 1001.938 |
| 1234 | 17 | 20 | 31 | 34 | -0.455892 | 1177.478 |
| 1235 | 17 | 20 | 34 | 37 | 0.186148 | 1177.478 |
| 1236 | 17 | 20 | 32 | 35 | -0.234961 | 1177.478 |
| 1237 | 17 | 20 | 35 | 38 | 0.088218 | 1177.478 |
| 1238 | 17 | 20 | 38 | 33 | -0.012435 | 1177.478 |
| 1239 | 17 | 21 | 36 | 40 | 0.128017 | 1023.602 |
| 1240 | 17 | 21 | 40 | 44 | 0.064848 | 1023.602 |
| 1241 | 17 | 21 | 41 | 45 | 0.042551 | 1023.602 |
| 1242 | 17 | 21 | 45 | 38 | -0.114592 | 1023.602 |
| 1243 | 17 | 21 | 38 | 42 | 0.091479 | 1023.602 |
| 1244 | 17 | 21 | 42 | 39 | -0.06017 | 1023.602 |
| 1245 | 17 | 21 | 39 | 43 | 0.069207 | 1023.602 |
| 1246 | 17 | 22 | 43 | 48 | 0.019015 | 782.676 |
| 1247 | 18 | 19 | 20 | 21 | -0.313591 | 796.3 |
| 1248 | 18 | 19 | 21 | 22 | -0.131173 | 796.3 |
| 1249 | 18 | 19 | 22 | 23 | -0.065017 | 796.3 |
| 1250 | 18 | 19 | 23 | 24 | -0.038362 | 796.3 |
| 1251 | 18 | 19 | 24 | 25 | -0.078348 | 796.3 |
| 1252 | 18 | 19 | 25 | 26 | 0.015814 | 796.3 |
| 1253 | 18 | 20 | 26 | 28 | 0.059801 | 869.215 |
| 1254 | 18 | 20 | 28 | 30 | -0.090837 | 869.215 |
| 1255 | 18 | 20 | 30 | 32 | -0.295624 | 869.215 |
| 1256 | 18 | 20 | 32 | 27 | 0.355928 | 869.215 |
| 1257 | 18 | 20 | 27 | 29 | 0.017833 | 869.215 |
| 1258 | 18 | 20 | 29 | 31 | -0.22111 | 869.215 |
| 1259 | 18 | 20 | 31 | 33 | -0.229611 | 869.215 |
| 1260 | 18 | 21 | 35 | 38 | 0.080232 | 430.398 |
| 1261 | 18 | 21 | 38 | 33 | -0.109982 | 430.398 |
| 1262 | 18 | 21 | 33 | 36 | 0.058657 | 430.398 |
| 1263 | 18 | 21 | 36 | 39 | 0.071359 | 430.398 |
| 1264 | 18 | 21 | 39 | 34 | -0.127034 | 430.398 |
| 1265 | 18 | 21 | 34 | 37 | 0.185236 | 430.398 |
| 1266 | 18 | 22 | 41 | 45 | 0.035663 | 591.94 |
| 1267 | 18 | 22 | 45 | 38 | -0.094529 | 591.94 |
| 1268 | 18 | 22 | 38 | 42 | 0.075001 | 591.94 |
| 1269 | 18 | 22 | 42 | 46 | 0.024203 | 591.94 |
| 1270 | 18 | 22 | 46 | 39 | -0.073834 | 591.94 |
| 1271 | 18 | 22 | 39 | 43 | 0.056572 | 591.94 |
| 1272 | 18 | 22 | 43 | 40 | -0.039959 | 591.94 |
| 1273 | 18 | 22 | 40 | 44 | 0.054345 | 591.94 |
| 1274 | 19 | 20 | 21 | 22 | -0.306109 | 981.091 |
| 1275 | 19 | 20 | 22 | 23 | -0.111107 | 981.091 |
| 1276 | 19 | 20 | 23 | 24 | -0.054203 | 981.091 |
| 1277 | 19 | 20 | 24 | 25 | -0.107564 | 981.091 |
| 1278 | 19 | 20 | 25 | 26 | 0.017499 | 981.091 |
| 1279 | 19 | 20 | 26 | 27 | 0.014343 | 981.091 |
| 1280 | 19 | 21 | 27 | 29 | -0.091715 | 712.281 |
| 1281 | 19 | 21 | 29 | 31 | -0.314186 | 712.281 |
| 1282 | 19 | 21 | 31 | 33 | -0.082203 | 712.281 |
| 1283 | 19 | 21 | 33 | 28 | 0.489709 | 712.281 |
| 1284 | 19 | 21 | 28 | 30 | -0.256527 | 712.281 |
| 1285 | 19 | 21 | 30 | 32 | -0.227696 | 712.281 |
| 1286 | 19 | 21 | 32 | 34 | 0.021899 | 712.281 |
| 1287 | 19 | 22 | 33 | 36 | 0.110785 | 417.764 |
| 1288 | 19 | 22 | 36 | 39 | 0.060872 | 417.764 |

| Dati Geolettrici_Misura 8 27 Novembre 2025 | | | | | | |
|--|--------|--------|--------|--------|-----------|----------|
| Misura n. | Elec_A | Elec_B | Elec_M | Elec_N | V/I(ohm) | I(mA) |
| 1289 | 19 | 22 | 39 | 34 | -0.125189 | 417.764 |
| 1290 | 19 | 22 | 34 | 37 | 0.173997 | 417.764 |
| 1291 | 19 | 22 | 40 | 35 | -0.100748 | 417.764 |
| 1292 | 19 | 22 | 35 | 38 | 0.07223 | 417.764 |
| 1293 | 19 | 23 | 38 | 42 | 0.061713 | 1064.017 |
| 1294 | 19 | 23 | 42 | 46 | 0.020611 | 1064.017 |
| 1295 | 19 | 23 | 46 | 39 | -0.059909 | 1064.017 |
| 1296 | 19 | 23 | 39 | 43 | 0.044745 | 1064.017 |
| 1297 | 19 | 23 | 43 | 47 | 0.012732 | 1064.017 |
| 1298 | 19 | 23 | 47 | 40 | -0.045091 | 1064.017 |
| 1299 | 19 | 23 | 40 | 44 | 0.045142 | 1064.017 |
| 1300 | 19 | 23 | 44 | 41 | -0.031417 | 1064.017 |
| 1301 | 19 | 23 | 41 | 45 | 0.029468 | 1064.017 |
| 1302 | 20 | 21 | 22 | 23 | -0.267499 | 994.666 |
| 1303 | 20 | 21 | 23 | 24 | -0.091002 | 994.666 |
| 1304 | 20 | 21 | 24 | 25 | -0.163943 | 994.666 |
| 1305 | 20 | 21 | 25 | 26 | 0.019736 | 994.666 |
| 1306 | 20 | 21 | 26 | 27 | 0.009433 | 994.666 |
| 1307 | 20 | 21 | 27 | 28 | -0.009849 | 994.666 |
| 1308 | 20 | 22 | 28 | 30 | -0.357787 | 856.881 |
| 1309 | 20 | 22 | 30 | 32 | -0.104867 | 856.881 |
| 1310 | 20 | 22 | 32 | 34 | 0.065539 | 856.881 |
| 1311 | 20 | 22 | 34 | 29 | 0.221138 | 856.881 |
| 1312 | 20 | 22 | 29 | 31 | -0.276178 | 856.881 |
| 1313 | 20 | 22 | 31 | 33 | 0.015394 | 856.881 |
| 1314 | 20 | 22 | 33 | 35 | 0.065179 | 856.881 |
| 1315 | 20 | 23 | 34 | 37 | 0.15307 | 521.013 |
| 1316 | 20 | 23 | 40 | 35 | -0.086438 | 521.013 |
| 1317 | 20 | 23 | 35 | 38 | 0.062531 | 521.013 |
| 1318 | 20 | 23 | 38 | 41 | 0.033172 | 521.013 |
| 1319 | 20 | 23 | 41 | 36 | -0.070561 | 521.013 |
| 1320 | 20 | 23 | 36 | 39 | 0.051937 | 521.013 |
| 1321 | 20 | 24 | 39 | 43 | 0.036402 | 1222.407 |
| 1322 | 20 | 24 | 43 | 47 | 0.012273 | 1222.407 |
| 1323 | 20 | 24 | 47 | 40 | -0.038588 | 1222.407 |
| 1324 | 20 | 24 | 40 | 44 | 0.038617 | 1222.407 |
| 1325 | 20 | 24 | 44 | 48 | 0.000023 | 1222.407 |
| 1326 | 20 | 24 | 48 | 41 | -0.027477 | 1222.407 |
| 1327 | 20 | 24 | 41 | 45 | 0.025713 | 1222.407 |
| 1328 | 20 | 24 | 45 | 42 | -0.015269 | 1222.407 |
| 1329 | 20 | 24 | 42 | 46 | 0.019427 | 1222.407 |
| 1330 | 21 | 22 | 23 | 24 | -0.217161 | 793.701 |
| 1331 | 21 | 22 | 24 | 25 | -0.260329 | 793.701 |
| 1332 | 21 | 22 | 25 | 26 | 0.0198 | 793.701 |
| 1333 | 21 | 22 | 26 | 27 | -0.004506 | 793.701 |
| 1334 | 21 | 22 | 27 | 28 | -0.044885 | 793.701 |
| 1335 | 21 | 22 | 28 | 29 | -0.103592 | 793.701 |
| 1336 | 21 | 23 | 29 | 31 | -0.141217 | 1071.426 |
| 1337 | 21 | 23 | 31 | 33 | 0.04619 | 1071.426 |
| 1338 | 21 | 23 | 33 | 35 | 0.055994 | 1071.426 |
| 1339 | 21 | 23 | 35 | 30 | -0.072536 | 1071.426 |
| 1340 | 21 | 23 | 32 | 34 | 0.063912 | 1071.426 |
| 1341 | 21 | 23 | 34 | 36 | 0.036185 | 1071.426 |
| 1342 | 21 | 24 | 35 | 38 | 0.050614 | 1063.536 |
| 1343 | 21 | 24 | 38 | 41 | 0.026896 | 1063.536 |
| 1344 | 21 | 24 | 41 | 36 | -0.056984 | 1063.536 |

| Dati Geolettrici_Misura 8 27 Novembre 2025 | | | | | | |
|--|--------|--------|--------|--------|-----------|----------|
| Misura n. | Elec_A | Elec_B | Elec_M | Elec_N | V/I(ohm) | I(mA) |
| 1345 | 21 | 24 | 36 | 39 | 0.042471 | 1063.536 |
| 1346 | 21 | 24 | 39 | 42 | 0.021342 | 1063.536 |
| 1347 | 22 | 23 | 24 | 25 | -0.50191 | 478.259 |
| 1348 | 22 | 23 | 26 | 27 | -0.037097 | 478.259 |
| 1349 | 22 | 23 | 27 | 28 | -0.079018 | 478.259 |
| 1350 | 22 | 23 | 28 | 29 | -0.082918 | 478.259 |
| 1351 | 22 | 23 | 29 | 30 | -0.03106 | 478.259 |
| 1352 | 22 | 24 | 30 | 32 | 0.029417 | 518.246 |
| 1353 | 22 | 24 | 32 | 34 | 0.054754 | 518.246 |
| 1354 | 22 | 24 | 34 | 36 | 0.028445 | 518.246 |
| 1355 | 22 | 24 | 36 | 31 | -0.106637 | 518.246 |
| 1356 | 22 | 24 | 31 | 33 | 0.049305 | 518.246 |
| 1357 | 22 | 24 | 33 | 35 | 0.045325 | 518.246 |
| 1358 | 22 | 24 | 35 | 37 | 0.057058 | 518.246 |
| 1359 | 22 | 25 | 36 | 39 | 0.400139 | 862.936 |
| 1360 | 23 | 24 | 26 | 27 | -0.05316 | 1344.767 |
| 1361 | 23 | 24 | 27 | 28 | -0.061711 | 1344.767 |
| 1362 | 23 | 24 | 28 | 29 | -0.033667 | 1344.767 |
| 1363 | 23 | 24 | 30 | 31 | 0.007171 | 1344.767 |
| 1364 | 23 | 25 | 31 | 33 | 0.051865 | 522.712 |
| 1365 | 23 | 25 | 33 | 35 | 0.049332 | 522.712 |
| 1366 | 23 | 25 | 37 | 32 | -0.151145 | 522.712 |
| 1367 | 23 | 25 | 32 | 34 | 0.18714 | 522.712 |
| 1368 | 23 | 25 | 36 | 38 | 0.132799 | 522.712 |
| 1369 | 23 | 27 | 42 | 46 | -0.307499 | 1123.198 |
| 1370 | 23 | 27 | 46 | 43 | 0.252797 | 1123.198 |
| 1371 | 23 | 27 | 47 | 44 | 0.017698 | 1123.198 |
| 1372 | 23 | 27 | 44 | 48 | -0.016432 | 1123.198 |
| 1373 | 24 | 25 | 26 | 27 | -0.676276 | 1023.746 |
| 1374 | 24 | 25 | 27 | 28 | -0.388975 | 1023.746 |
| 1375 | 24 | 25 | 28 | 29 | -0.13927 | 1023.746 |
| 1376 | 24 | 25 | 29 | 30 | -0.069378 | 1023.746 |
| 1377 | 24 | 25 | 30 | 31 | -0.01617 | 1023.746 |
| 1378 | 24 | 26 | 34 | 36 | -0.049862 | 1324.577 |
| 1379 | 24 | 26 | 33 | 35 | -0.013334 | 1324.577 |
| 1380 | 24 | 27 | 41 | 44 | -0.117145 | 1113.36 |
| 1381 | 24 | 28 | 43 | 47 | -0.067103 | 1089.804 |
| 1382 | 24 | 28 | 47 | 44 | 0.007645 | 1089.804 |
| 1383 | 24 | 28 | 44 | 48 | -0.006943 | 1089.804 |
| 1384 | 25 | 26 | 27 | 28 | -0.326285 | 1243.518 |
| 1385 | 25 | 26 | 28 | 29 | -0.101535 | 1243.518 |
| 1386 | 25 | 26 | 29 | 30 | -0.052062 | 1243.518 |
| 1387 | 25 | 26 | 30 | 31 | -0.026079 | 1243.518 |
| 1388 | 25 | 26 | 31 | 32 | -0.018036 | 1243.518 |
| 1389 | 25 | 26 | 32 | 33 | -0.012186 | 1243.518 |
| 1390 | 25 | 27 | 33 | 35 | -0.035285 | 624.654 |
| 1391 | 25 | 27 | 37 | 39 | -0.167428 | 624.654 |
| 1392 | 25 | 27 | 39 | 34 | 0.239979 | 624.654 |
| 1393 | 25 | 28 | 43 | 46 | -0.110574 | 518.796 |
| 1394 | 25 | 28 | 46 | 41 | 0.066364 | 518.796 |
| 1395 | 26 | 27 | 28 | 29 | -0.384611 | 886.671 |
| 1396 | 26 | 27 | 29 | 30 | -0.188055 | 886.671 |
| 1397 | 26 | 27 | 30 | 31 | -0.060656 | 886.671 |
| 1398 | 26 | 27 | 31 | 32 | -0.058234 | 886.671 |
| 1399 | 27 | 28 | 29 | 30 | -0.34247 | 950.266 |
| 1400 | 27 | 28 | 30 | 31 | -0.110906 | 950.266 |

| Dati Geolettrici_Misura 8 27 Novembre 2025 | | | | | | |
|--|--------|--------|--------|--------|-----------|----------|
| Misura n. | Elec_A | Elec_B | Elec_M | Elec_N | V/I(ohm) | I(mA) |
| 1401 | 27 | 28 | 31 | 32 | -0.057709 | 950.266 |
| 1402 | 27 | 28 | 32 | 33 | -0.048484 | 950.266 |
| 1403 | 27 | 28 | 33 | 34 | -0.042083 | 950.266 |
| 1404 | 27 | 29 | 35 | 37 | -0.09761 | 1007.384 |
| 1405 | 27 | 29 | 39 | 41 | -0.086305 | 1007.384 |
| 1406 | 27 | 29 | 41 | 36 | 0.16119 | 1007.384 |
| 1407 | 27 | 29 | 36 | 38 | -0.072754 | 1007.384 |
| 1408 | 27 | 29 | 40 | 42 | -0.021125 | 1007.384 |
| 1409 | 28 | 29 | 30 | 31 | -0.334489 | 990.029 |
| 1410 | 28 | 29 | 31 | 32 | -0.131648 | 990.029 |
| 1411 | 28 | 29 | 32 | 33 | -0.086633 | 990.029 |
| 1412 | 28 | 30 | 39 | 41 | -0.061286 | 418.135 |
| 1413 | 28 | 30 | 41 | 43 | -0.042091 | 418.135 |
| 1414 | 29 | 30 | 31 | 32 | -0.31614 | 1015.592 |
| 1415 | 29 | 30 | 32 | 33 | -0.128687 | 1015.592 |
| 1416 | 29 | 30 | 33 | 34 | -0.095545 | 1015.592 |
| 1417 | 29 | 30 | 34 | 35 | -0.031273 | 1015.592 |
| 1418 | 29 | 30 | 36 | 37 | -0.077001 | 1015.592 |
| 1419 | 29 | 31 | 39 | 41 | -0.020908 | 914.417 |
| 1420 | 29 | 31 | 43 | 38 | 0.127428 | 914.417 |
| 1421 | 29 | 31 | 40 | 42 | -0.05366 | 914.417 |
| 1422 | 30 | 31 | 32 | 33 | -0.289815 | 887.776 |
| 1423 | 30 | 31 | 33 | 34 | -0.152376 | 887.776 |
| 1424 | 30 | 31 | 34 | 35 | -0.046453 | 887.776 |
| 1425 | 30 | 31 | 35 | 36 | -0.03334 | 887.776 |
| 1426 | 30 | 31 | 36 | 37 | -0.06018 | 887.776 |
| 1427 | 30 | 32 | 39 | 41 | -0.033626 | 1053.362 |
| 1428 | 31 | 32 | 33 | 34 | -0.337415 | 931.867 |
| 1429 | 31 | 32 | 34 | 35 | -0.129818 | 931.867 |
| 1430 | 31 | 32 | 35 | 36 | -0.047891 | 931.867 |
| 1431 | 31 | 32 | 36 | 37 | -0.064511 | 931.867 |
| 1432 | 31 | 32 | 38 | 39 | -0.014107 | 931.867 |
| 1433 | 31 | 33 | 39 | 41 | -0.043902 | 701.354 |
| 1434 | 31 | 33 | 41 | 43 | -0.04387 | 701.354 |
| 1435 | 31 | 33 | 40 | 42 | -0.030673 | 701.354 |
| 1436 | 31 | 33 | 42 | 44 | -0.033723 | 701.354 |
| 1437 | 31 | 34 | 45 | 48 | -0.162943 | 91.278 |
| 1438 | 32 | 33 | 34 | 35 | -0.325165 | 1001.138 |
| 1439 | 32 | 33 | 35 | 36 | -0.099411 | 1001.138 |
| 1440 | 32 | 33 | 36 | 37 | -0.150359 | 1001.138 |
| 1441 | 32 | 34 | 40 | 42 | -0.038832 | 721.808 |
| 1442 | 32 | 34 | 42 | 44 | -0.026756 | 721.808 |
| 1443 | 32 | 34 | 41 | 43 | -0.053525 | 721.808 |
| 1444 | 32 | 34 | 45 | 47 | -0.044026 | 721.808 |
| 1445 | 33 | 34 | 35 | 36 | -0.7138 | 950.405 |
| 1446 | 33 | 34 | 36 | 37 | -0.290076 | 950.405 |
| 1447 | 33 | 34 | 38 | 39 | -0.031273 | 950.405 |
| 1448 | 33 | 34 | 39 | 40 | -0.037862 | 950.405 |
| 1449 | 34 | 35 | 36 | 37 | -0.66197 | 1108.296 |
| 1450 | 34 | 35 | 40 | 41 | -0.05817 | 1108.296 |
| 1451 | 34 | 36 | 44 | 46 | -0.517368 | 594.08 |
| 1452 | 34 | 36 | 43 | 45 | -0.162913 | 594.08 |
| 1453 | 35 | 36 | 38 | 39 | -0.094594 | 1254.451 |
| 1454 | 35 | 36 | 39 | 40 | -0.053932 | 1254.451 |
| 1455 | 35 | 36 | 40 | 41 | -0.030237 | 1254.451 |
| 1456 | 35 | 36 | 41 | 42 | -0.004329 | 1254.451 |

| Dati Geolettrici_Misura 8 27 Novembre 2025 | | | | | | |
|--|--------|--------|--------|--------|-----------|----------|
| Misura n. | Elec_A | Elec_B | Elec_M | Elec_N | V/I(ohm) | I(mA) |
| 1457 | 35 | 36 | 42 | 43 | -0.022319 | 1254.451 |
| 1458 | 35 | 37 | 44 | 46 | -33.2445 | 205.725 |
| 1459 | 36 | 38 | 44 | 46 | -0.198346 | 101.098 |
| 1460 | 37 | 38 | 39 | 40 | -1.084721 | 70.668 |
| 1461 | 37 | 38 | 40 | 41 | -0.355175 | 70.668 |
| 1462 | 37 | 38 | 41 | 42 | -0.343316 | 70.668 |
| 1463 | 37 | 38 | 42 | 43 | -0.463545 | 70.668 |
| 1464 | 37 | 38 | 43 | 44 | -35.48741 | 70.668 |
| 1465 | 37 | 39 | 45 | 47 | -37.01604 | 28.36 |
| 1466 | 37 | 39 | 47 | 46 | 37.00486 | 28.36 |
| 1467 | 37 | 39 | 46 | 48 | -36.90053 | 28.36 |
| 1468 | 38 | 39 | 40 | 41 | -0.464882 | 1104.197 |
| 1469 | 38 | 39 | 41 | 42 | -0.16213 | 1104.197 |
| 1470 | 38 | 39 | 43 | 44 | -0.215999 | 1104.197 |
| 1471 | 38 | 39 | 45 | 46 | -0.059785 | 1104.197 |
| 1472 | 39 | 40 | 41 | 42 | -0.387882 | 1085.538 |
| 1473 | 39 | 40 | 42 | 43 | -0.188585 | 1085.538 |
| 1474 | 40 | 41 | 42 | 43 | -0.1799 | 505.749 |
| 1475 | 40 | 41 | 43 | 44 | -0.434759 | 505.749 |
| 1476 | 40 | 41 | 45 | 46 | -0.041444 | 505.749 |
| 1477 | 40 | 41 | 46 | 47 | -0.122335 | 505.749 |
| 1478 | 40 | 41 | 47 | 48 | -0.028573 | 505.749 |
| 1479 | 41 | 42 | 45 | 46 | -0.060415 | 1224.491 |
| 1480 | 42 | 43 | 45 | 46 | -0.120222 | 1199.927 |
| 1481 | 44 | 45 | 46 | 47 | -34.01828 | 35.895 |
| 1482 | 1 | 2 | 3 | 4 | -0.011959 | 2539.223 |
| 1483 | 1 | 2 | 6 | 7 | -0.002265 | 2539.223 |
| 1484 | 1 | 3 | 9 | 11 | -0.113369 | 246.876 |
| 1485 | 1 | 3 | 10 | 12 | -32.36856 | 246.876 |
| 1486 | 1 | 4 | 21 | 16 | 0.067614 | 1328.514 |
| 1487 | 1 | 4 | 16 | 19 | -0.067441 | 1328.514 |
| 1488 | 1 | 5 | 20 | 24 | -0.00877 | 2538.705 |
| 1489 | 1 | 5 | 28 | 21 | 0.012809 | 2538.705 |
| 1490 | 1 | 5 | 21 | 25 | -0.012857 | 2538.705 |
| 1491 | 1 | 5 | 22 | 26 | -0.007694 | 2538.705 |
| 1492 | 1 | 5 | 26 | 23 | 0.003039 | 2538.705 |
| 1493 | 1 | 5 | 23 | 27 | -0.003016 | 2538.705 |
| 1494 | 1 | 6 | 27 | 32 | 0.018933 | 962.882 |
| 1495 | 1 | 6 | 32 | 28 | -0.016631 | 962.882 |
| 1496 | 1 | 6 | 28 | 33 | 0.022279 | 962.882 |
| 1497 | 1 | 6 | 33 | 29 | -0.019548 | 962.882 |
| 1498 | 1 | 6 | 29 | 34 | 0.027089 | 962.882 |
| 1499 | 1 | 6 | 34 | 30 | -0.022898 | 962.882 |
| 1500 | 1 | 6 | 30 | 35 | 0.033222 | 962.882 |
| 1501 | 1 | 6 | 35 | 31 | -0.028233 | 962.882 |
| 1502 | 1 | 6 | 31 | 36 | 0.039502 | 962.882 |
| 1503 | 1 | 7 | 32 | 38 | 0.11973 | 315.866 |
| 1504 | 1 | 7 | 38 | 44 | -0.299055 | 315.866 |
| 1505 | 1 | 7 | 44 | 33 | 0.188774 | 315.866 |
| 1506 | 1 | 7 | 33 | 39 | 0.152801 | 315.866 |
| 1507 | 1 | 7 | 39 | 34 | -0.139841 | 315.866 |
| 1508 | 1 | 7 | 34 | 40 | 0.176501 | 315.866 |
| 1509 | 1 | 7 | 40 | 35 | -0.158906 | 315.866 |
| 1510 | 1 | 7 | 35 | 41 | 0.153375 | 315.866 |
| 1511 | 1 | 7 | 41 | 36 | -0.134117 | 315.866 |
| 1512 | 1 | 7 | 36 | 42 | 0.052803 | 315.866 |

| Dati Geolettrici_Misura 8 27 Novembre 2025 | | | | | | |
|--|--------|--------|--------|--------|-----------|----------|
| Misura n. | Elec_A | Elec_B | Elec_M | Elec_N | V/I(ohm) | I(mA) |
| 1513 | 1 | 8 | 39 | 46 | -0.732367 | 47.484 |
| 1514 | 1 | 8 | 46 | 40 | 0.750464 | 47.484 |
| 1515 | 1 | 8 | 40 | 47 | -0.781979 | 47.484 |
| 1516 | 1 | 8 | 47 | 41 | 0.705874 | 47.484 |
| 1517 | 1 | 8 | 41 | 48 | -0.69269 | 47.484 |
| 1518 | 2 | 3 | 4 | 5 | -31.58053 | 348.962 |
| 1519 | 2 | 3 | 8 | 9 | -0.038649 | 1310.873 |
| 1520 | 2 | 4 | 10 | 12 | -40.05085 | 36.803 |
| 1521 | 2 | 4 | 15 | 17 | -0.045933 | 1329.269 |
| 1522 | 2 | 5 | 22 | 17 | 0.009968 | 2538.893 |
| 1523 | 2 | 5 | 17 | 20 | -0.0033 | 2538.893 |
| 1524 | 2 | 5 | 23 | 18 | 0.005648 | 2538.893 |
| 1525 | 2 | 6 | 21 | 25 | -0.075126 | 1314.012 |
| 1526 | 2 | 6 | 25 | 29 | 0.008432 | 1314.012 |
| 1527 | 2 | 6 | 22 | 26 | -0.042179 | 1314.012 |
| 1528 | 2 | 6 | 26 | 30 | 0.011032 | 1314.012 |
| 1529 | 2 | 6 | 23 | 27 | -0.017443 | 1314.012 |
| 1530 | 2 | 7 | 28 | 33 | 0.036789 | 513.433 |
| 1531 | 2 | 7 | 33 | 29 | -0.032417 | 513.433 |
| 1532 | 2 | 7 | 29 | 34 | 0.045357 | 513.433 |
| 1533 | 2 | 7 | 34 | 30 | -0.03863 | 513.433 |
| 1534 | 2 | 7 | 30 | 35 | 0.056205 | 513.433 |
| 1535 | 2 | 7 | 35 | 31 | -0.048154 | 513.433 |
| 1536 | 2 | 7 | 31 | 36 | 0.067354 | 513.433 |
| 1537 | 2 | 7 | 36 | 32 | -0.059318 | 513.433 |
| 1538 | 2 | 7 | 32 | 37 | 0.085564 | 513.433 |
| 1539 | 2 | 8 | 33 | 39 | 0.217143 | 217.403 |
| 1540 | 2 | 8 | 39 | 45 | -0.668095 | 217.403 |
| 1541 | 2 | 8 | 45 | 34 | 0.470505 | 217.403 |
| 1542 | 2 | 8 | 34 | 40 | 0.214835 | 217.403 |
| 1543 | 2 | 8 | 40 | 35 | -0.188073 | 217.403 |
| 1544 | 2 | 8 | 35 | 41 | 0.111675 | 217.403 |
| 1545 | 2 | 8 | 41 | 36 | -0.082198 | 217.403 |
| 1546 | 2 | 8 | 37 | 43 | -0.299324 | 217.403 |
| 1547 | 2 | 8 | 38 | 44 | -0.499673 | 55.574 |
| 1548 | 2 | 9 | 40 | 47 | -0.854811 | 47.965 |
| 1549 | 2 | 9 | 47 | 41 | 0.702551 | 47.965 |
| 1550 | 2 | 9 | 41 | 48 | -0.684321 | 47.965 |
| 1551 | 3 | 4 | 6 | 7 | -0.096508 | 1132.116 |
| 1552 | 3 | 4 | 7 | 8 | -0.042661 | 1132.116 |
| 1553 | 3 | 4 | 8 | 9 | -0.037849 | 1132.116 |
| 1554 | 3 | 5 | 11 | 13 | -0.058692 | 395.498 |
| 1555 | 3 | 5 | 13 | 15 | -0.158593 | 395.498 |
| 1556 | 3 | 5 | 17 | 12 | 30.77068 | 395.498 |
| 1557 | 3 | 5 | 12 | 14 | -35.63564 | 33.437 |
| 1558 | 3 | 5 | 14 | 16 | -0.007124 | 1306.25 |
| 1559 | 3 | 6 | 20 | 23 | -0.111072 | 959.286 |
| 1560 | 3 | 6 | 23 | 18 | 0.017049 | 959.286 |
| 1561 | 3 | 6 | 21 | 24 | -0.07114 | 959.286 |
| 1562 | 3 | 6 | 24 | 19 | 0.011727 | 959.286 |
| 1563 | 3 | 7 | 22 | 26 | -0.059376 | 1181.535 |
| 1564 | 3 | 7 | 26 | 30 | 0.019753 | 1181.535 |
| 1565 | 3 | 7 | 27 | 31 | 0.025625 | 1181.535 |
| 1566 | 3 | 7 | 28 | 25 | -0.009856 | 1181.535 |
| 1567 | 3 | 7 | 25 | 29 | 0.014787 | 1181.535 |
| 1568 | 3 | 8 | 29 | 34 | 0.073942 | 255.323 |

| Dati Geolettrici_Misura 8 27 Novembre 2025 | | | | | | |
|--|--------|--------|--------|--------|-----------|----------|
| Misura n. | Elec_A | Elec_B | Elec_M | Elec_N | V/I(ohm) | I(mA) |
| 1569 | 3 | 8 | 34 | 30 | -0.063231 | 255.323 |
| 1570 | 3 | 8 | 30 | 35 | 0.092268 | 255.323 |
| 1571 | 3 | 8 | 35 | 31 | -0.079302 | 255.323 |
| 1572 | 3 | 8 | 31 | 36 | 0.111342 | 255.323 |
| 1573 | 3 | 8 | 36 | 32 | -0.09818 | 255.323 |
| 1574 | 3 | 8 | 32 | 37 | 0.141638 | 255.323 |
| 1575 | 3 | 8 | 37 | 33 | -0.125901 | 255.323 |
| 1576 | 3 | 8 | 33 | 38 | 0.180024 | 255.323 |
| 1577 | 3 | 9 | 34 | 40 | 0.20437 | 940.763 |
| 1578 | 3 | 9 | 40 | 46 | -0.940387 | 940.763 |
| 1579 | 3 | 9 | 46 | 35 | 0.775413 | 940.763 |
| 1580 | 3 | 9 | 35 | 41 | 0.017691 | 940.763 |
| 1581 | 3 | 9 | 36 | 42 | -0.225589 | 940.763 |
| 1582 | 3 | 9 | 42 | 37 | 0.282333 | 940.763 |
| 1583 | 3 | 9 | 37 | 43 | -0.484159 | 940.763 |
| 1584 | 3 | 9 | 43 | 38 | 0.546231 | 940.763 |
| 1585 | 3 | 9 | 38 | 44 | -0.731479 | 940.763 |
| 1586 | 3 | 9 | 39 | 45 | -0.938204 | 36.003 |
| 1587 | 3 | 10 | 41 | 48 | -0.692233 | 36.872 |
| 1588 | 4 | 5 | 6 | 7 | -0.047181 | 932.634 |
| 1589 | 4 | 5 | 7 | 8 | -0.025371 | 932.634 |
| 1590 | 4 | 6 | 14 | 16 | -0.03292 | 1142.969 |
| 1591 | 4 | 6 | 18 | 13 | 0.043575 | 1142.969 |
| 1592 | 4 | 6 | 13 | 15 | -0.099027 | 1142.969 |
| 1593 | 4 | 8 | 27 | 31 | 0.031291 | 1172.606 |
| 1594 | 4 | 8 | 28 | 32 | 0.038418 | 1172.606 |
| 1595 | 4 | 8 | 32 | 25 | -0.049863 | 1172.606 |
| 1596 | 4 | 8 | 25 | 29 | 0.017567 | 1172.606 |
| 1597 | 4 | 8 | 29 | 26 | -0.014482 | 1172.606 |
| 1598 | 4 | 8 | 26 | 30 | 0.023835 | 1172.606 |
| 1599 | 4 | 9 | 30 | 35 | 0.116635 | 167.181 |
| 1600 | 4 | 9 | 35 | 31 | -0.100736 | 167.181 |
| 1601 | 4 | 9 | 31 | 36 | 0.141143 | 167.181 |
| 1602 | 4 | 9 | 36 | 32 | -0.124347 | 167.181 |
| 1603 | 4 | 9 | 32 | 37 | 0.176553 | 167.181 |
| 1604 | 4 | 9 | 37 | 33 | -0.156622 | 167.181 |
| 1605 | 4 | 9 | 33 | 38 | 0.212526 | 167.181 |
| 1606 | 4 | 9 | 38 | 34 | -0.185143 | 167.181 |
| 1607 | 4 | 9 | 34 | 39 | 0.217218 | 167.181 |
| 1608 | 4 | 10 | 35 | 41 | -0.21614 | 82.493 |
| 1609 | 4 | 10 | 41 | 47 | -0.546669 | 82.493 |
| 1610 | 4 | 10 | 47 | 36 | 0.814541 | 82.493 |
| 1611 | 4 | 10 | 36 | 42 | -0.479171 | 82.493 |
| 1612 | 4 | 10 | 42 | 37 | 0.539041 | 82.493 |
| 1613 | 4 | 10 | 37 | 43 | -0.731169 | 82.493 |
| 1614 | 4 | 10 | 43 | 38 | 0.772312 | 82.493 |
| 1615 | 4 | 10 | 38 | 44 | -0.913581 | 82.493 |
| 1616 | 4 | 10 | 44 | 39 | 0.878852 | 82.493 |
| 1617 | 4 | 10 | 39 | 45 | -0.943312 | 82.493 |
| 1618 | 4 | 10 | 40 | 46 | -0.783345 | 36.602 |
| 1619 | 5 | 6 | 7 | 8 | -0.39587 | 259.012 |
| 1620 | 5 | 6 | 8 | 9 | -0.217402 | 259.012 |
| 1621 | 5 | 6 | 9 | 10 | -0.082343 | 259.012 |
| 1622 | 5 | 6 | 10 | 11 | -0.133977 | 259.012 |
| 1623 | 5 | 6 | 11 | 12 | -32.71004 | 259.012 |
| 1624 | 5 | 7 | 15 | 17 | -0.032377 | 1389.386 |

| Dati Geolettrici_Misura 8 27 Novembre 2025 | | | | | | |
|--|--------|--------|--------|--------|-----------|----------|
| Misura n. | Elec_A | Elec_B | Elec_M | Elec_N | V/I(ohm) | I(mA) |
| 1625 | 5 | 7 | 19 | 14 | 0.059385 | 1389.386 |
| 1626 | 5 | 7 | 14 | 16 | -0.03892 | 1389.386 |
| 1627 | 5 | 7 | 16 | 18 | -0.020574 | 1389.386 |
| 1628 | 5 | 8 | 22 | 25 | -0.038675 | 1343.064 |
| 1629 | 5 | 8 | 23 | 26 | -0.031945 | 1343.064 |
| 1630 | 5 | 9 | 28 | 32 | 0.056586 | 653.307 |
| 1631 | 5 | 9 | 32 | 25 | -0.07267 | 653.307 |
| 1632 | 5 | 9 | 25 | 29 | 0.025032 | 653.307 |
| 1633 | 5 | 9 | 29 | 33 | 0.068113 | 653.307 |
| 1634 | 5 | 9 | 33 | 26 | -0.088872 | 653.307 |
| 1635 | 5 | 9 | 26 | 30 | 0.034538 | 653.307 |
| 1636 | 5 | 9 | 30 | 27 | -0.029163 | 653.307 |
| 1637 | 5 | 9 | 27 | 31 | 0.045714 | 653.307 |
| 1638 | 5 | 10 | 31 | 36 | 0.18763 | 1182.865 |
| 1639 | 5 | 10 | 36 | 32 | -0.165344 | 1182.865 |
| 1640 | 5 | 10 | 32 | 37 | 0.226581 | 1182.865 |
| 1641 | 5 | 10 | 37 | 33 | -0.199861 | 1182.865 |
| 1642 | 5 | 10 | 33 | 38 | 0.243066 | 1182.865 |
| 1643 | 5 | 10 | 38 | 34 | -0.206203 | 1182.865 |
| 1644 | 5 | 10 | 34 | 39 | 0.174889 | 1182.865 |
| 1645 | 5 | 10 | 39 | 35 | -0.126257 | 1182.865 |
| 1646 | 5 | 11 | 36 | 42 | -0.622587 | 63.512 |
| 1647 | 5 | 11 | 48 | 37 | 1.051901 | 63.512 |
| 1648 | 5 | 11 | 37 | 43 | -0.834667 | 63.512 |
| 1649 | 5 | 11 | 43 | 38 | 0.830879 | 63.512 |
| 1650 | 5 | 11 | 38 | 44 | -0.943665 | 63.512 |
| 1651 | 5 | 11 | 44 | 39 | 0.831069 | 63.512 |
| 1652 | 5 | 11 | 39 | 45 | -0.914724 | 63.512 |
| 1653 | 5 | 11 | 45 | 40 | 0.73478 | 63.512 |
| 1654 | 5 | 11 | 40 | 46 | -0.766237 | 63.512 |
| 1655 | 5 | 11 | 41 | 47 | -0.58659 | 51.263 |
| 1656 | 6 | 7 | 8 | 9 | -0.240708 | 1133.378 |
| 1657 | 6 | 7 | 9 | 10 | -0.127838 | 1133.378 |
| 1658 | 6 | 7 | 11 | 12 | -0.433075 | 1133.378 |
| 1659 | 6 | 7 | 13 | 14 | -0.020206 | 1133.378 |
| 1660 | 6 | 8 | 14 | 16 | -0.06559 | 1162.013 |
| 1661 | 6 | 8 | 16 | 18 | -0.027884 | 1162.013 |
| 1662 | 6 | 8 | 20 | 15 | 0.141858 | 1162.013 |
| 1663 | 6 | 8 | 15 | 17 | -0.05049 | 1162.013 |
| 1664 | 6 | 10 | 25 | 29 | 0.024071 | 665.564 |
| 1665 | 6 | 10 | 29 | 33 | 0.069625 | 665.564 |
| 1666 | 6 | 10 | 33 | 26 | -0.089082 | 665.564 |
| 1667 | 6 | 10 | 26 | 30 | 0.032778 | 665.564 |
| 1668 | 6 | 10 | 30 | 34 | 0.086157 | 665.564 |
| 1669 | 6 | 10 | 34 | 27 | -0.113722 | 665.564 |
| 1670 | 6 | 10 | 27 | 31 | 0.04408 | 665.564 |
| 1671 | 6 | 10 | 31 | 28 | -0.038474 | 665.564 |
| 1672 | 6 | 10 | 28 | 32 | 0.056709 | 665.564 |
| 1673 | 6 | 11 | 32 | 37 | 0.215546 | 780.824 |
| 1674 | 6 | 11 | 37 | 33 | -0.185083 | 780.824 |
| 1675 | 6 | 11 | 33 | 38 | 0.160423 | 780.824 |
| 1676 | 6 | 11 | 38 | 34 | -0.11834 | 780.824 |
| 1677 | 6 | 11 | 35 | 40 | -0.282598 | 780.824 |
| 1678 | 6 | 11 | 40 | 36 | 0.334407 | 780.824 |
| 1679 | 6 | 11 | 36 | 41 | -0.54536 | 780.824 |
| 1680 | 6 | 12 | 46 | 41 | -0.41689 | 1333.363 |

| Dati Geolettrici_Misura 8 27 Novembre 2025 | | | | | | |
|--|--------|--------|--------|--------|-----------|----------|
| Misura n. | Elec_A | Elec_B | Elec_M | Elec_N | V/I(ohm) | I(mA) |
| 1681 | 6 | 12 | 41 | 47 | 0.463122 | 1333.363 |
| 1682 | 6 | 12 | 42 | 48 | 0.449926 | 59.521 |
| 1683 | 7 | 8 | 9 | 10 | -0.369149 | 1215.479 |
| 1684 | 7 | 8 | 10 | 11 | -0.122695 | 1215.479 |
| 1685 | 7 | 8 | 11 | 12 | -0.343509 | 1215.479 |
| 1686 | 7 | 8 | 13 | 14 | -0.006185 | 1215.479 |
| 1687 | 7 | 9 | 15 | 17 | -0.049623 | 1224.873 |
| 1688 | 7 | 9 | 17 | 19 | -0.019637 | 1224.873 |
| 1689 | 7 | 10 | 25 | 28 | 0.012691 | 1089.307 |
| 1690 | 7 | 11 | 26 | 30 | 0.042809 | 387.236 |
| 1691 | 7 | 11 | 30 | 34 | 0.108841 | 387.236 |
| 1692 | 7 | 11 | 34 | 27 | -0.145173 | 387.236 |
| 1693 | 7 | 11 | 27 | 31 | 0.057743 | 387.236 |
| 1694 | 7 | 11 | 31 | 35 | 0.133729 | 387.236 |
| 1695 | 7 | 11 | 35 | 28 | -0.18395 | 387.236 |
| 1696 | 7 | 11 | 28 | 32 | 0.073692 | 387.236 |
| 1697 | 7 | 11 | 32 | 29 | -0.062389 | 387.236 |
| 1698 | 7 | 11 | 29 | 33 | 0.089309 | 387.236 |
| 1699 | 7 | 12 | 34 | 39 | -0.140549 | 599.764 |
| 1700 | 7 | 12 | 39 | 35 | 0.1229 | 599.764 |
| 1701 | 7 | 12 | 35 | 40 | -0.159788 | 599.764 |
| 1702 | 7 | 12 | 40 | 36 | 0.140447 | 599.764 |
| 1703 | 7 | 12 | 36 | 41 | -0.135055 | 599.764 |
| 1704 | 7 | 12 | 41 | 37 | 0.108695 | 599.764 |
| 1705 | 7 | 12 | 37 | 42 | -0.027436 | 599.764 |
| 1706 | 7 | 13 | 38 | 44 | -0.62266 | 209.177 |
| 1707 | 7 | 13 | 44 | 39 | 0.408 | 209.177 |
| 1708 | 7 | 13 | 39 | 45 | -0.348182 | 209.177 |
| 1709 | 7 | 13 | 45 | 40 | 0.131034 | 209.177 |
| 1710 | 7 | 13 | 46 | 41 | -0.084917 | 209.177 |
| 1711 | 7 | 13 | 41 | 47 | 0.114136 | 209.177 |
| 1712 | 7 | 13 | 47 | 42 | -0.194761 | 209.177 |
| 1713 | 7 | 13 | 42 | 48 | 0.2191 | 209.177 |
| 1714 | 8 | 9 | 10 | 11 | -0.36587 | 1200.816 |
| 1715 | 8 | 9 | 11 | 12 | -0.355121 | 1200.816 |
| 1716 | 8 | 9 | 13 | 14 | -0.028328 | 1200.816 |
| 1717 | 8 | 9 | 14 | 15 | -0.040001 | 1200.816 |
| 1718 | 8 | 9 | 15 | 16 | -0.003357 | 1200.816 |
| 1719 | 8 | 10 | 16 | 18 | -0.084959 | 864.161 |
| 1720 | 8 | 10 | 20 | 22 | -0.030498 | 864.161 |
| 1721 | 8 | 10 | 22 | 17 | 0.042314 | 864.161 |
| 1722 | 8 | 10 | 17 | 19 | -0.069549 | 864.161 |
| 1723 | 8 | 10 | 21 | 23 | -0.03005 | 864.161 |
| 1724 | 8 | 11 | 25 | 28 | 0.01531 | 1213.445 |
| 1725 | 8 | 11 | 26 | 29 | 0.020511 | 1213.445 |
| 1726 | 8 | 13 | 34 | 39 | -0.49559 | 53.696 |
| 1727 | 8 | 13 | 39 | 35 | 0.538761 | 53.696 |
| 1728 | 8 | 13 | 35 | 40 | -0.738031 | 53.696 |
| 1729 | 8 | 13 | 40 | 36 | 0.724882 | 53.696 |
| 1730 | 8 | 13 | 36 | 41 | -0.819941 | 53.696 |
| 1731 | 8 | 13 | 41 | 37 | 0.704554 | 53.696 |
| 1732 | 8 | 13 | 37 | 42 | -0.705243 | 53.696 |
| 1733 | 8 | 13 | 42 | 38 | 0.521326 | 53.696 |
| 1734 | 8 | 13 | 38 | 43 | -0.479107 | 53.696 |
| 1735 | 8 | 14 | 45 | 40 | -0.084016 | 197.12 |
| 1736 | 8 | 14 | 40 | 46 | 0.125097 | 197.12 |

| Dati Geolettrici_Misura 8 27 Novembre 2025 | | | | | | |
|--|--------|--------|--------|--------|-----------|----------|
| Misura n. | Elec_A | Elec_B | Elec_M | Elec_N | V/I(ohm) | I(mA) |
| 1737 | 8 | 14 | 46 | 41 | -0.207856 | 197.12 |
| 1738 | 8 | 14 | 41 | 47 | 0.231281 | 197.12 |
| 1739 | 8 | 14 | 47 | 42 | -0.222268 | 197.12 |
| 1740 | 8 | 14 | 42 | 48 | 0.241395 | 197.12 |
| 1741 | 9 | 10 | 11 | 12 | -0.729941 | 895.999 |
| 1742 | 9 | 10 | 13 | 14 | -0.052763 | 895.999 |
| 1743 | 9 | 10 | 15 | 16 | -0.062415 | 895.999 |
| 1744 | 9 | 10 | 16 | 17 | -0.021678 | 895.999 |
| 1745 | 9 | 11 | 17 | 19 | -0.051168 | 980.502 |
| 1746 | 9 | 11 | 19 | 21 | -0.008948 | 980.502 |
| 1747 | 9 | 11 | 21 | 23 | -0.042199 | 980.502 |
| 1748 | 9 | 11 | 23 | 18 | 0.06908 | 980.502 |
| 1749 | 9 | 11 | 18 | 20 | -0.009524 | 980.502 |
| 1750 | 9 | 11 | 20 | 22 | -0.028422 | 980.502 |
| 1751 | 9 | 11 | 22 | 24 | -0.056296 | 980.502 |
| 1752 | 9 | 13 | 28 | 32 | 0.115855 | 417.515 |
| 1753 | 9 | 13 | 32 | 36 | 0.095294 | 417.515 |
| 1754 | 9 | 13 | 36 | 29 | -0.19453 | 417.515 |
| 1755 | 9 | 13 | 29 | 33 | 0.140488 | 417.515 |
| 1756 | 9 | 13 | 33 | 37 | -0.073926 | 417.515 |
| 1757 | 9 | 13 | 37 | 30 | -0.039564 | 417.515 |
| 1758 | 9 | 13 | 30 | 34 | 0.160299 | 417.515 |
| 1759 | 9 | 13 | 34 | 31 | -0.125705 | 417.515 |
| 1760 | 9 | 13 | 31 | 35 | 0.157527 | 417.515 |
| 1761 | 9 | 14 | 35 | 40 | -0.81714 | 1208.366 |
| 1762 | 9 | 14 | 40 | 36 | 0.716781 | 1208.366 |
| 1763 | 9 | 14 | 36 | 41 | -0.723405 | 1208.366 |
| 1764 | 9 | 14 | 41 | 37 | 0.535075 | 1208.366 |
| 1765 | 9 | 14 | 37 | 42 | -0.489643 | 1208.366 |
| 1766 | 9 | 14 | 42 | 38 | 0.28142 | 1208.366 |
| 1767 | 9 | 14 | 38 | 43 | -0.23255 | 1208.366 |
| 1768 | 9 | 14 | 39 | 44 | 0.010237 | 1208.366 |
| 1769 | 9 | 15 | 40 | 46 | 0.240775 | 87.336 |
| 1770 | 9 | 15 | 46 | 41 | -0.235993 | 87.336 |
| 1771 | 9 | 15 | 41 | 47 | 0.254476 | 87.336 |
| 1772 | 9 | 15 | 47 | 42 | -0.199741 | 87.336 |
| 1773 | 9 | 15 | 42 | 48 | 0.214864 | 87.336 |
| 1774 | 10 | 11 | 13 | 14 | -0.100951 | 1086.072 |
| 1775 | 10 | 11 | 14 | 15 | -0.100161 | 1086.072 |
| 1776 | 10 | 11 | 15 | 16 | -0.022311 | 1086.072 |
| 1777 | 10 | 11 | 16 | 17 | -0.024697 | 1086.072 |
| 1778 | 10 | 13 | 24 | 27 | 0.702614 | 708.948 |
| 1779 | 10 | 13 | 27 | 30 | 0.047945 | 708.948 |
| 1780 | 10 | 13 | 30 | 25 | -0.060903 | 708.948 |
| 1781 | 10 | 13 | 25 | 28 | 0.022915 | 708.948 |
| 1782 | 10 | 13 | 28 | 31 | 0.067619 | 708.948 |
| 1783 | 10 | 13 | 31 | 26 | -0.085235 | 708.948 |
| 1784 | 10 | 13 | 26 | 29 | 0.032253 | 708.948 |
| 1785 | 10 | 14 | 29 | 33 | 0.179998 | 299.748 |
| 1786 | 10 | 14 | 33 | 37 | -0.308366 | 299.748 |
| 1787 | 10 | 14 | 37 | 30 | 0.164288 | 299.748 |
| 1788 | 10 | 14 | 30 | 34 | 0.176472 | 299.748 |
| 1789 | 10 | 14 | 34 | 38 | -0.536392 | 299.748 |
| 1790 | 10 | 14 | 38 | 31 | 0.406352 | 299.748 |
| 1791 | 10 | 14 | 31 | 35 | 0.101623 | 299.748 |
| 1792 | 10 | 14 | 35 | 32 | -0.05265 | 299.748 |

| Dati Geolettrici_Misura 8 27 Novembre 2025 | | | | | | |
|--|--------|--------|--------|--------|-----------|----------|
| Misura n. | Elec_A | Elec_B | Elec_M | Elec_N | V/I(ohm) | I(mA) |
| 1793 | 10 | 15 | 36 | 41 | -0.49997 | 992.732 |
| 1794 | 10 | 15 | 41 | 37 | 0.28481 | 992.732 |
| 1795 | 10 | 15 | 37 | 42 | -0.229186 | 992.732 |
| 1796 | 10 | 15 | 43 | 39 | -0.121732 | 992.732 |
| 1797 | 10 | 15 | 39 | 44 | 0.156801 | 992.732 |
| 1798 | 10 | 15 | 44 | 40 | -0.178337 | 992.732 |
| 1799 | 10 | 15 | 40 | 45 | 0.209078 | 992.732 |
| 1800 | 10 | 16 | 41 | 47 | 0.226714 | 101.953 |
| 1801 | 10 | 16 | 47 | 42 | -0.162939 | 101.953 |
| 1802 | 10 | 16 | 42 | 48 | 0.17505 | 101.953 |
| 1803 | 11 | 13 | 20 | 22 | -0.033261 | 1248.362 |
| 1804 | 11 | 13 | 22 | 24 | -0.028739 | 1248.362 |
| 1805 | 11 | 14 | 25 | 28 | 0.028692 | 564.689 |
| 1806 | 11 | 14 | 28 | 31 | 0.08533 | 564.689 |
| 1807 | 11 | 14 | 31 | 26 | -0.106737 | 564.689 |
| 1808 | 11 | 14 | 26 | 29 | 0.038966 | 564.689 |
| 1809 | 11 | 14 | 29 | 32 | 0.108332 | 564.689 |
| 1810 | 11 | 14 | 32 | 27 | -0.137683 | 564.689 |
| 1811 | 11 | 14 | 27 | 30 | 0.058643 | 564.689 |
| 1812 | 11 | 15 | 30 | 34 | 0.134662 | 227.554 |
| 1813 | 11 | 15 | 34 | 38 | -0.689792 | 227.554 |
| 1814 | 11 | 15 | 38 | 31 | 0.616525 | 227.554 |
| 1815 | 11 | 15 | 35 | 39 | -0.584028 | 227.554 |
| 1816 | 11 | 15 | 39 | 32 | 0.712879 | 227.554 |
| 1817 | 11 | 15 | 32 | 36 | -0.32376 | 227.554 |
| 1818 | 11 | 15 | 36 | 33 | 0.366902 | 227.554 |
| 1819 | 11 | 15 | 33 | 37 | -0.575794 | 227.554 |
| 1820 | 11 | 16 | 42 | 38 | -0.126444 | 1025.561 |
| 1821 | 11 | 16 | 38 | 43 | 0.162393 | 1025.561 |
| 1822 | 11 | 16 | 43 | 39 | -0.184678 | 1025.561 |
| 1823 | 11 | 16 | 39 | 44 | 0.213322 | 1025.561 |
| 1824 | 11 | 16 | 44 | 40 | -0.172959 | 1025.561 |
| 1825 | 11 | 16 | 40 | 45 | 0.198116 | 1025.561 |
| 1826 | 11 | 16 | 45 | 41 | -0.141321 | 1025.561 |
| 1827 | 11 | 16 | 41 | 46 | 0.160147 | 1025.561 |
| 1828 | 11 | 17 | 42 | 48 | 0.140517 | 121.707 |
| 1829 | 12 | 13 | 14 | 15 | -0.541303 | 267.206 |
| 1830 | 12 | 13 | 15 | 16 | -0.296132 | 267.206 |
| 1831 | 12 | 13 | 16 | 17 | -0.147692 | 267.206 |
| 1832 | 12 | 13 | 17 | 18 | -0.08673 | 267.206 |
| 1833 | 12 | 13 | 18 | 19 | -0.060107 | 267.206 |
| 1834 | 12 | 13 | 19 | 20 | -0.068905 | 267.206 |
| 1835 | 12 | 14 | 20 | 22 | -0.095976 | 1349.198 |
| 1836 | 12 | 14 | 25 | 27 | 0.033327 | 1349.198 |
| 1837 | 12 | 15 | 26 | 29 | 0.098746 | 167.33 |
| 1838 | 12 | 15 | 29 | 32 | 0.253477 | 167.33 |
| 1839 | 12 | 15 | 32 | 27 | -0.327518 | 167.33 |
| 1840 | 12 | 15 | 27 | 30 | 0.145703 | 167.33 |
| 1841 | 12 | 15 | 30 | 33 | 0.262112 | 167.33 |
| 1842 | 12 | 15 | 33 | 28 | -0.37784 | 167.33 |
| 1843 | 12 | 15 | 28 | 31 | 0.207107 | 167.33 |
| 1844 | 12 | 16 | 31 | 35 | -0.146862 | 116.665 |
| 1845 | 12 | 16 | 35 | 39 | -0.579407 | 116.665 |
| 1846 | 12 | 16 | 39 | 32 | 0.822557 | 116.665 |
| 1847 | 12 | 16 | 32 | 36 | -0.407785 | 116.665 |
| 1848 | 12 | 16 | 36 | 40 | -0.554626 | 116.665 |

| Dati Geolettrici_Misura 8 27 Novembre 2025 | | | | | | |
|--|--------|--------|--------|--------|-----------|----------|
| Misura n. | Elec_A | Elec_B | Elec_M | Elec_N | V/I(ohm) | I(mA) |
| 1849 | 12 | 16 | 40 | 33 | 1.001879 | 116.665 |
| 1850 | 12 | 16 | 33 | 37 | -0.594806 | 116.665 |
| 1851 | 12 | 16 | 37 | 34 | 0.503101 | 116.665 |
| 1852 | 12 | 16 | 34 | 38 | -0.63509 | 116.665 |
| 1853 | 13 | 14 | 15 | 16 | -0.487704 | 856.247 |
| 1854 | 13 | 14 | 16 | 17 | -0.090997 | 856.247 |
| 1855 | 13 | 14 | 17 | 18 | -0.041493 | 856.247 |
| 1856 | 13 | 14 | 18 | 19 | -0.037421 | 856.247 |
| 1857 | 13 | 14 | 19 | 20 | -0.023785 | 856.247 |
| 1858 | 13 | 14 | 20 | 21 | -0.017475 | 856.247 |
| 1859 | 13 | 15 | 21 | 23 | -0.087446 | 902.23 |
| 1860 | 13 | 15 | 23 | 25 | -0.05909 | 902.23 |
| 1861 | 13 | 15 | 25 | 27 | 0.017552 | 902.23 |
| 1862 | 13 | 15 | 27 | 22 | 0.093879 | 902.23 |
| 1863 | 13 | 15 | 22 | 24 | -0.06452 | 902.23 |
| 1864 | 13 | 15 | 24 | 26 | -0.03929 | 902.23 |
| 1865 | 13 | 15 | 26 | 28 | 0.02211 | 902.23 |
| 1866 | 13 | 16 | 27 | 30 | 0.115083 | 817.619 |
| 1867 | 13 | 16 | 30 | 33 | 0.089379 | 817.619 |
| 1868 | 13 | 16 | 33 | 28 | -0.181215 | 817.619 |
| 1869 | 13 | 16 | 28 | 31 | 0.162695 | 817.619 |
| 1870 | 13 | 16 | 31 | 34 | -0.147853 | 817.619 |
| 1871 | 13 | 16 | 29 | 32 | 0.169495 | 817.619 |
| 1872 | 13 | 17 | 32 | 36 | -0.81232 | 344.365 |
| 1873 | 13 | 17 | 36 | 40 | 0.047741 | 344.365 |
| 1874 | 13 | 17 | 40 | 33 | 0.663437 | 344.365 |
| 1875 | 13 | 17 | 33 | 37 | -0.771911 | 344.365 |
| 1876 | 13 | 17 | 37 | 41 | 0.147855 | 344.365 |
| 1877 | 13 | 17 | 41 | 34 | 0.381033 | 344.365 |
| 1878 | 13 | 17 | 34 | 38 | -0.516972 | 344.365 |
| 1879 | 13 | 17 | 38 | 35 | 0.227497 | 344.365 |
| 1880 | 13 | 17 | 35 | 39 | -0.179967 | 344.365 |
| 1881 | 13 | 18 | 39 | 44 | 0.178906 | 284.465 |
| 1882 | 13 | 18 | 44 | 40 | -0.12346 | 284.465 |
| 1883 | 13 | 18 | 40 | 45 | 0.140443 | 284.465 |
| 1884 | 13 | 18 | 45 | 41 | -0.095996 | 284.465 |
| 1885 | 13 | 18 | 41 | 46 | 0.108805 | 284.465 |
| 1886 | 13 | 18 | 46 | 42 | -0.07281 | 284.465 |
| 1887 | 13 | 18 | 42 | 47 | 0.080181 | 284.465 |
| 1888 | 13 | 18 | 47 | 43 | -0.05634 | 284.465 |
| 1889 | 13 | 18 | 43 | 48 | 0.062499 | 284.465 |
| 1890 | 14 | 15 | 16 | 17 | -0.409763 | 1086.534 |
| 1891 | 14 | 15 | 17 | 18 | -0.141182 | 1086.534 |
| 1892 | 14 | 15 | 18 | 19 | -0.043736 | 1086.534 |
| 1893 | 14 | 16 | 26 | 28 | 0.033411 | 591.116 |
| 1894 | 14 | 16 | 23 | 25 | -0.075699 | 591.116 |
| 1895 | 14 | 16 | 25 | 27 | 0.026712 | 591.116 |
| 1896 | 14 | 16 | 27 | 29 | 0.044943 | 591.116 |
| 1897 | 14 | 17 | 28 | 31 | 0.16926 | 262.282 |
| 1898 | 14 | 17 | 31 | 34 | -0.36686 | 262.282 |
| 1899 | 14 | 17 | 34 | 29 | 0.236961 | 262.282 |
| 1900 | 14 | 17 | 29 | 32 | 0.118053 | 262.282 |
| 1901 | 14 | 17 | 32 | 35 | -0.597595 | 262.282 |
| 1902 | 14 | 17 | 35 | 30 | 0.543803 | 262.282 |
| 1903 | 14 | 17 | 30 | 33 | -0.062371 | 262.282 |
| 1904 | 14 | 18 | 33 | 37 | -0.572309 | 947.215 |

| Dati Geolettrici_Misura 8 27 Novembre 2025 | | | | | | |
|--|--------|--------|--------|--------|-----------|---------|
| Misura n. | Elec_A | Elec_B | Elec_M | Elec_N | V/I(ohm) | I(mA) |
| 1905 | 14 | 18 | 37 | 41 | 0.16146 | 947.215 |
| 1906 | 14 | 18 | 34 | 38 | -0.267445 | 947.215 |
| 1907 | 14 | 18 | 38 | 42 | 0.148174 | 947.215 |
| 1908 | 14 | 18 | 42 | 35 | -0.113362 | 947.215 |
| 1909 | 14 | 18 | 35 | 39 | 0.012725 | 947.215 |
| 1910 | 14 | 18 | 39 | 36 | -0.100222 | 947.215 |
| 1911 | 14 | 18 | 36 | 40 | 0.142279 | 947.215 |
| 1912 | 14 | 19 | 40 | 45 | 0.115931 | 347.143 |
| 1913 | 14 | 19 | 45 | 41 | -0.079359 | 347.143 |
| 1914 | 14 | 19 | 41 | 46 | 0.089861 | 347.143 |
| 1915 | 14 | 19 | 46 | 42 | -0.060205 | 347.143 |
| 1916 | 14 | 19 | 42 | 47 | 0.066705 | 347.143 |
| 1917 | 14 | 19 | 47 | 43 | -0.047136 | 347.143 |
| 1918 | 14 | 19 | 43 | 48 | 0.052284 | 347.143 |
| 1919 | 15 | 16 | 17 | 18 | -0.561854 | 762.844 |
| 1920 | 15 | 16 | 18 | 19 | -0.144996 | 762.844 |
| 1921 | 15 | 16 | 21 | 22 | -0.032759 | 762.844 |
| 1922 | 15 | 17 | 25 | 27 | 0.031752 | 727.016 |
| 1923 | 15 | 17 | 27 | 29 | 0.050026 | 727.016 |
| 1924 | 15 | 17 | 26 | 28 | 0.03881 | 727.016 |
| 1925 | 15 | 17 | 28 | 30 | 0.075414 | 727.016 |
| 1926 | 15 | 18 | 29 | 32 | -0.051634 | 305.969 |
| 1927 | 15 | 18 | 32 | 35 | -0.554888 | 305.969 |
| 1928 | 15 | 18 | 35 | 30 | 0.659514 | 305.969 |
| 1929 | 15 | 18 | 30 | 33 | -0.308635 | 305.969 |
| 1930 | 15 | 18 | 33 | 36 | -0.367748 | 305.969 |
| 1931 | 15 | 18 | 36 | 31 | 0.692735 | 305.969 |
| 1932 | 15 | 18 | 31 | 34 | -0.543626 | 305.969 |
| 1933 | 15 | 19 | 38 | 42 | 0.119763 | 594.171 |
| 1934 | 15 | 19 | 42 | 35 | -0.204028 | 594.171 |
| 1935 | 15 | 19 | 35 | 39 | 0.12425 | 594.171 |
| 1936 | 15 | 19 | 39 | 43 | 0.09328 | 594.171 |
| 1937 | 15 | 19 | 43 | 36 | -0.21886 | 594.171 |
| 1938 | 15 | 19 | 36 | 40 | 0.159199 | 594.171 |
| 1939 | 15 | 19 | 40 | 37 | -0.115968 | 594.171 |
| 1940 | 15 | 19 | 37 | 41 | 0.141476 | 594.171 |
| 1941 | 15 | 20 | 41 | 46 | 0.072865 | 407.451 |
| 1942 | 15 | 20 | 46 | 42 | -0.048984 | 407.451 |
| 1943 | 15 | 20 | 42 | 47 | 0.054874 | 407.451 |
| 1944 | 15 | 20 | 47 | 43 | -0.039035 | 407.451 |
| 1945 | 15 | 20 | 43 | 48 | 0.043534 | 407.451 |
| 1946 | 16 | 17 | 18 | 19 | -0.286524 | 992.959 |
| 1947 | 16 | 17 | 19 | 20 | -0.128524 | 992.959 |
| 1948 | 16 | 17 | 20 | 21 | -0.131867 | 992.959 |
| 1949 | 16 | 17 | 21 | 22 | -0.030978 | 992.959 |
| 1950 | 16 | 17 | 23 | 24 | -0.017911 | 992.959 |
| 1951 | 16 | 18 | 26 | 28 | 0.039798 | 847.775 |
| 1952 | 16 | 18 | 28 | 30 | 0.049211 | 847.775 |
| 1953 | 16 | 18 | 30 | 25 | -0.104623 | 847.775 |
| 1954 | 16 | 18 | 25 | 27 | 0.034794 | 847.775 |
| 1955 | 16 | 18 | 27 | 29 | 0.044167 | 847.775 |
| 1956 | 16 | 18 | 29 | 31 | 0.010866 | 847.775 |
| 1957 | 16 | 19 | 30 | 33 | -0.517345 | 241.103 |
| 1958 | 16 | 19 | 36 | 31 | 0.487865 | 241.103 |
| 1959 | 16 | 19 | 31 | 34 | -0.520463 | 241.103 |
| 1960 | 16 | 19 | 34 | 37 | 0.068753 | 241.103 |

| Dati Geolettrici_Misura 8 27 Novembre 2025 | | | | | | |
|--|--------|--------|--------|--------|-----------|----------|
| Misura n. | Elec_A | Elec_B | Elec_M | Elec_N | V/I(ohm) | I(mA) |
| 1961 | 16 | 19 | 37 | 32 | 0.230704 | 241.103 |
| 1962 | 16 | 19 | 32 | 35 | -0.299496 | 241.103 |
| 1963 | 16 | 20 | 35 | 39 | 0.164094 | 296.888 |
| 1964 | 16 | 20 | 39 | 43 | 0.071576 | 296.888 |
| 1965 | 16 | 20 | 43 | 36 | -0.18604 | 296.888 |
| 1966 | 16 | 20 | 36 | 40 | 0.140053 | 296.888 |
| 1967 | 16 | 20 | 40 | 44 | 0.05473 | 296.888 |
| 1968 | 16 | 20 | 44 | 37 | -0.147339 | 296.888 |
| 1969 | 16 | 20 | 37 | 41 | 0.112044 | 296.888 |
| 1970 | 16 | 20 | 41 | 38 | -0.075984 | 296.888 |
| 1971 | 16 | 20 | 38 | 42 | 0.091786 | 296.888 |
| 1972 | 16 | 21 | 42 | 47 | 0.043417 | 517.218 |
| 1973 | 16 | 21 | 47 | 43 | -0.030876 | 517.218 |
| 1974 | 16 | 21 | 43 | 48 | 0.034401 | 517.218 |
| 1975 | 17 | 18 | 19 | 20 | -0.31092 | 924.782 |
| 1976 | 17 | 18 | 20 | 21 | -0.13213 | 924.782 |
| 1977 | 17 | 18 | 21 | 22 | -0.057448 | 924.782 |
| 1978 | 17 | 18 | 22 | 23 | -0.036444 | 924.782 |
| 1979 | 17 | 18 | 23 | 24 | -0.01819 | 924.782 |
| 1980 | 17 | 18 | 24 | 25 | -0.03976 | 924.782 |
| 1981 | 17 | 19 | 25 | 27 | 0.043772 | 1033.239 |
| 1982 | 17 | 19 | 27 | 29 | 0.032161 | 1033.239 |
| 1983 | 17 | 19 | 29 | 31 | -0.131234 | 1033.239 |
| 1984 | 17 | 19 | 26 | 28 | 0.04453 | 1033.239 |
| 1985 | 17 | 19 | 30 | 32 | -0.292085 | 1033.239 |
| 1986 | 17 | 20 | 31 | 34 | -0.339103 | 566.902 |
| 1987 | 17 | 20 | 34 | 37 | 0.139288 | 566.902 |
| 1988 | 17 | 20 | 37 | 32 | -0.027081 | 566.902 |
| 1989 | 17 | 20 | 32 | 35 | -0.055168 | 566.902 |
| 1990 | 17 | 20 | 35 | 38 | 0.107516 | 566.902 |
| 1991 | 17 | 20 | 38 | 33 | -0.167182 | 566.902 |
| 1992 | 17 | 20 | 33 | 36 | 0.106568 | 566.902 |
| 1993 | 17 | 21 | 36 | 40 | 0.124575 | 420.189 |
| 1994 | 17 | 21 | 40 | 44 | 0.047272 | 420.189 |
| 1995 | 17 | 21 | 44 | 37 | -0.127329 | 420.189 |
| 1996 | 17 | 21 | 37 | 41 | 0.096828 | 420.189 |
| 1997 | 17 | 21 | 41 | 45 | 0.037481 | 420.189 |
| 1998 | 17 | 21 | 45 | 38 | -0.102559 | 420.189 |
| 1999 | 17 | 21 | 38 | 42 | 0.078704 | 420.189 |
| 2000 | 17 | 21 | 42 | 39 | -0.052279 | 420.189 |
| 2001 | 17 | 21 | 39 | 43 | 0.061566 | 420.189 |
| 2002 | 17 | 22 | 43 | 48 | 0.029252 | 547.357 |
| 2003 | 18 | 19 | 20 | 21 | -0.327126 | 873.291 |
| 2004 | 18 | 19 | 21 | 22 | -0.113755 | 873.291 |
| 2005 | 18 | 19 | 22 | 23 | -0.054787 | 873.291 |
| 2006 | 18 | 19 | 23 | 24 | -0.025656 | 873.291 |
| 2007 | 18 | 19 | 24 | 25 | -0.059634 | 873.291 |
| 2008 | 18 | 19 | 25 | 26 | 0.011512 | 873.291 |
| 2009 | 18 | 20 | 26 | 28 | 0.036282 | 560.746 |
| 2010 | 18 | 20 | 28 | 30 | -0.173869 | 560.746 |
| 2011 | 18 | 20 | 30 | 32 | -0.329516 | 560.746 |
| 2012 | 18 | 20 | 32 | 27 | 0.493767 | 560.746 |
| 2013 | 18 | 20 | 29 | 31 | -0.329228 | 560.746 |
| 2014 | 18 | 20 | 31 | 33 | -0.167843 | 560.746 |
| 2015 | 18 | 21 | 32 | 35 | 0.112756 | 221.515 |
| 2016 | 18 | 21 | 35 | 38 | 0.100196 | 221.515 |

| Dati Geolettrici_Misura 8 27 Novembre 2025 | | | | | | |
|--|--------|--------|--------|--------|-----------|---------|
| Misura n. | Elec_A | Elec_B | Elec_M | Elec_N | V/I(ohm) | I(mA) |
| 2017 | 18 | 21 | 38 | 33 | -0.225297 | 221.515 |
| 2018 | 18 | 21 | 33 | 36 | 0.17178 | 221.515 |
| 2019 | 18 | 21 | 36 | 39 | 0.07173 | 221.515 |
| 2020 | 18 | 21 | 39 | 34 | -0.18943 | 221.515 |
| 2021 | 18 | 21 | 34 | 37 | 0.149206 | 221.515 |
| 2022 | 18 | 22 | 37 | 41 | 0.078483 | 654.163 |
| 2023 | 18 | 22 | 41 | 45 | 0.031142 | 654.163 |
| 2024 | 18 | 22 | 45 | 38 | -0.083981 | 654.163 |
| 2025 | 18 | 22 | 38 | 42 | 0.06402 | 654.163 |
| 2026 | 18 | 22 | 42 | 46 | 0.023662 | 654.163 |
| 2027 | 18 | 22 | 46 | 39 | -0.066354 | 654.163 |
| 2028 | 18 | 22 | 39 | 43 | 0.050452 | 654.163 |
| 2029 | 18 | 22 | 43 | 40 | -0.032637 | 654.163 |
| 2030 | 18 | 22 | 40 | 44 | 0.038977 | 654.163 |
| 2031 | 19 | 20 | 21 | 22 | -0.318979 | 999.343 |
| 2032 | 19 | 20 | 22 | 23 | -0.145078 | 999.343 |
| 2033 | 19 | 20 | 23 | 24 | -0.043632 | 999.343 |
| 2034 | 19 | 20 | 24 | 25 | -0.142397 | 999.343 |
| 2035 | 19 | 20 | 25 | 26 | 0.015534 | 999.343 |
| 2036 | 19 | 20 | 26 | 27 | 0.013365 | 999.343 |
| 2037 | 19 | 21 | 27 | 29 | -0.158805 | 849.678 |
| 2038 | 19 | 21 | 29 | 31 | -0.425101 | 849.678 |
| 2039 | 19 | 21 | 33 | 28 | 0.571851 | 849.678 |
| 2040 | 19 | 21 | 28 | 30 | -0.369771 | 849.678 |
| 2041 | 19 | 21 | 30 | 32 | -0.227939 | 849.678 |
| 2042 | 19 | 21 | 32 | 34 | 0.074536 | 849.678 |
| 2043 | 19 | 22 | 33 | 36 | 0.165196 | 358.361 |
| 2044 | 19 | 22 | 36 | 39 | 0.058322 | 358.361 |
| 2045 | 19 | 22 | 39 | 34 | -0.161239 | 358.361 |
| 2046 | 19 | 22 | 34 | 37 | 0.128591 | 358.361 |
| 2047 | 19 | 22 | 37 | 40 | 0.045049 | 358.361 |
| 2048 | 19 | 22 | 40 | 35 | -0.109982 | 358.361 |
| 2049 | 19 | 22 | 35 | 38 | 0.082773 | 358.361 |
| 2050 | 19 | 23 | 38 | 42 | 0.050921 | 985.203 |
| 2051 | 19 | 23 | 42 | 46 | 0.019755 | 985.203 |
| 2052 | 19 | 23 | 46 | 39 | -0.053867 | 985.203 |
| 2053 | 19 | 23 | 39 | 43 | 0.040545 | 985.203 |
| 2054 | 19 | 23 | 43 | 47 | 0.016396 | 985.203 |
| 2055 | 19 | 23 | 47 | 40 | -0.04276 | 985.203 |
| 2056 | 19 | 23 | 40 | 44 | 0.031658 | 985.203 |
| 2057 | 19 | 23 | 44 | 41 | -0.02066 | 985.203 |
| 2058 | 19 | 23 | 41 | 45 | 0.02558 | 985.203 |
| 2059 | 20 | 21 | 22 | 23 | -0.359214 | 966.857 |
| 2060 | 20 | 21 | 24 | 25 | -0.236829 | 966.857 |
| 2061 | 20 | 21 | 25 | 26 | 0.018931 | 966.857 |
| 2062 | 20 | 21 | 26 | 27 | 0.008082 | 966.857 |
| 2063 | 20 | 21 | 27 | 28 | -0.028197 | 966.857 |
| 2064 | 20 | 22 | 28 | 30 | -0.384771 | 413.838 |
| 2065 | 20 | 22 | 32 | 34 | 0.070066 | 413.838 |
| 2066 | 20 | 22 | 34 | 29 | 0.223206 | 413.838 |
| 2067 | 20 | 22 | 29 | 31 | -0.300269 | 413.838 |
| 2068 | 20 | 22 | 31 | 33 | 0.03897 | 413.838 |
| 2069 | 20 | 22 | 33 | 35 | 0.07466 | 413.838 |
| 2070 | 20 | 23 | 34 | 37 | 0.089792 | 605.692 |
| 2071 | 20 | 23 | 37 | 40 | 0.032143 | 605.692 |
| 2072 | 20 | 23 | 40 | 35 | -0.077259 | 605.692 |

| Dati Geolettrici_Misura 8 27 Novembre 2025 | | | | | | |
|--|--------|--------|--------|--------|-----------|----------|
| Misura n. | Elec_A | Elec_B | Elec_M | Elec_N | V/I(ohm) | I(mA) |
| 2073 | 20 | 23 | 35 | 38 | 0.057713 | 605.692 |
| 2074 | 20 | 23 | 38 | 41 | 0.026559 | 605.692 |
| 2075 | 20 | 23 | 41 | 36 | -0.056956 | 605.692 |
| 2076 | 20 | 23 | 36 | 39 | 0.040967 | 605.692 |
| 2077 | 20 | 24 | 39 | 43 | 0.029162 | 1092.097 |
| 2078 | 20 | 24 | 43 | 47 | 0.012418 | 1092.097 |
| 2079 | 20 | 24 | 47 | 40 | -0.031308 | 1092.097 |
| 2080 | 20 | 24 | 40 | 44 | 0.022782 | 1092.097 |
| 2081 | 20 | 24 | 44 | 48 | 0.010185 | 1092.097 |
| 2082 | 20 | 24 | 48 | 41 | -0.025107 | 1092.097 |
| 2083 | 20 | 24 | 41 | 45 | 0.018604 | 1092.097 |
| 2084 | 20 | 24 | 45 | 42 | -0.012269 | 1092.097 |
| 2085 | 20 | 24 | 42 | 46 | 0.014686 | 1092.097 |
| 2086 | 21 | 22 | 23 | 24 | -0.312533 | 931.691 |
| 2087 | 21 | 22 | 24 | 25 | -0.250879 | 931.691 |
| 2088 | 21 | 22 | 25 | 26 | 0.013517 | 931.691 |
| 2089 | 21 | 22 | 26 | 27 | -0.01409 | 931.691 |
| 2090 | 21 | 22 | 27 | 28 | -0.064508 | 931.691 |
| 2091 | 21 | 22 | 28 | 29 | -0.089523 | 931.691 |
| 2092 | 21 | 23 | 31 | 33 | 0.037297 | 1071.971 |
| 2093 | 21 | 23 | 33 | 35 | 0.043202 | 1071.971 |
| 2094 | 21 | 23 | 35 | 30 | -0.05578 | 1071.971 |
| 2095 | 21 | 23 | 32 | 34 | 0.043308 | 1071.971 |
| 2096 | 21 | 23 | 34 | 36 | 0.033765 | 1071.971 |
| 2097 | 21 | 24 | 35 | 38 | 0.03532 | 1028.785 |
| 2098 | 21 | 24 | 38 | 41 | 0.017084 | 1028.785 |
| 2099 | 21 | 24 | 41 | 36 | -0.036124 | 1028.785 |
| 2100 | 21 | 24 | 36 | 39 | 0.025937 | 1028.785 |
| 2101 | 21 | 24 | 39 | 42 | 0.013787 | 1028.785 |
| 2102 | 21 | 24 | 42 | 37 | -0.028702 | 1028.785 |
| 2103 | 21 | 24 | 37 | 40 | 0.020667 | 1028.785 |
| 2104 | 21 | 25 | 40 | 44 | 0.017739 | 1063.364 |
| 2105 | 21 | 25 | 44 | 48 | 0.009824 | 1063.364 |
| 2106 | 21 | 25 | 48 | 41 | -0.019982 | 1063.364 |
| 2107 | 21 | 25 | 41 | 45 | 0.01338 | 1063.364 |
| 2108 | 21 | 25 | 45 | 42 | -0.005395 | 1063.364 |
| 2109 | 21 | 25 | 42 | 46 | 0.007848 | 1063.364 |
| 2110 | 21 | 25 | 46 | 43 | -0.008872 | 1063.364 |
| 2111 | 21 | 25 | 43 | 47 | 0.011125 | 1063.364 |
| 2112 | 22 | 23 | 24 | 25 | -0.555293 | 797.895 |
| 2113 | 22 | 23 | 26 | 27 | -0.058357 | 797.895 |
| 2114 | 22 | 23 | 27 | 28 | -0.092948 | 797.895 |
| 2115 | 22 | 23 | 28 | 29 | -0.059016 | 797.895 |
| 2116 | 22 | 24 | 30 | 32 | 0.017552 | 1038.476 |
| 2117 | 22 | 24 | 32 | 34 | 0.028633 | 1038.476 |
| 2118 | 22 | 24 | 34 | 36 | 0.021797 | 1038.476 |
| 2119 | 22 | 24 | 36 | 31 | -0.065517 | 1038.476 |
| 2120 | 22 | 24 | 31 | 33 | 0.029415 | 1038.476 |
| 2121 | 22 | 24 | 33 | 35 | 0.027705 | 1038.476 |
| 2122 | 22 | 24 | 35 | 37 | 0.014263 | 1038.476 |
| 2123 | 22 | 25 | 36 | 39 | 0.018569 | 1067.057 |
| 2124 | 22 | 25 | 39 | 42 | 0.016784 | 1067.057 |
| 2125 | 22 | 25 | 42 | 37 | -0.028438 | 1067.057 |
| 2126 | 22 | 25 | 37 | 40 | 0.016456 | 1067.057 |
| 2127 | 22 | 25 | 40 | 43 | 0.009634 | 1067.057 |
| 2128 | 22 | 25 | 43 | 38 | -0.020171 | 1067.057 |

| Dati Geolettrici_Misura 8 27 Novembre 2025 | | | | | | |
|--|--------|--------|--------|--------|-----------|----------|
| Misura n. | Elec_A | Elec_B | Elec_M | Elec_N | V/I(ohm) | I(mA) |
| 2129 | 22 | 25 | 38 | 41 | 0.016136 | 1067.057 |
| 2130 | 22 | 26 | 41 | 45 | 0.006743 | 777.497 |
| 2131 | 22 | 26 | 46 | 43 | -0.004321 | 777.497 |
| 2132 | 22 | 26 | 43 | 47 | 0.010619 | 777.497 |
| 2133 | 22 | 26 | 47 | 44 | -0.009764 | 777.497 |
| 2134 | 23 | 24 | 25 | 26 | -0.028797 | 1219.752 |
| 2135 | 23 | 24 | 26 | 27 | -0.074311 | 1219.752 |
| 2136 | 23 | 24 | 27 | 28 | -0.05743 | 1219.752 |
| 2137 | 23 | 24 | 30 | 31 | 0.004003 | 1219.752 |
| 2138 | 23 | 25 | 31 | 33 | 0.004131 | 1254.511 |
| 2139 | 23 | 25 | 33 | 35 | 0.010095 | 1254.511 |
| 2140 | 23 | 25 | 35 | 37 | 0.006528 | 1254.511 |
| 2141 | 23 | 25 | 37 | 32 | -0.020712 | 1254.511 |
| 2142 | 23 | 25 | 32 | 34 | 0.009011 | 1254.511 |
| 2143 | 23 | 25 | 34 | 36 | 0.008022 | 1254.511 |
| 2144 | 23 | 25 | 36 | 38 | 0.007267 | 1254.511 |
| 2145 | 23 | 26 | 37 | 40 | 0.003078 | 852.892 |
| 2146 | 23 | 26 | 40 | 43 | 0.003842 | 852.892 |
| 2147 | 23 | 26 | 43 | 38 | -0.00761 | 852.892 |
| 2148 | 23 | 26 | 38 | 41 | 0.005243 | 852.892 |
| 2149 | 23 | 26 | 41 | 44 | 0.002332 | 852.892 |
| 2150 | 23 | 26 | 44 | 39 | -0.005466 | 852.892 |
| 2151 | 23 | 26 | 39 | 42 | 0.018543 | 852.892 |
| 2152 | 24 | 25 | 26 | 27 | -0.705459 | 1180.638 |
| 2153 | 24 | 25 | 27 | 28 | -0.234954 | 1180.638 |
| 2154 | 24 | 25 | 28 | 29 | -0.092096 | 1180.638 |
| 2155 | 24 | 25 | 29 | 30 | -0.045628 | 1180.638 |
| 2156 | 24 | 25 | 30 | 31 | -0.023009 | 1180.638 |
| 2157 | 24 | 26 | 32 | 34 | -0.013213 | 831.388 |
| 2158 | 24 | 26 | 34 | 36 | -0.016572 | 831.388 |
| 2159 | 24 | 26 | 36 | 38 | -0.004126 | 831.388 |
| 2160 | 24 | 26 | 38 | 33 | 0.026861 | 831.388 |
| 2161 | 24 | 26 | 33 | 35 | -0.009774 | 831.388 |
| 2162 | 24 | 26 | 35 | 37 | -0.013907 | 831.388 |
| 2163 | 24 | 26 | 37 | 39 | -0.002959 | 831.388 |
| 2164 | 24 | 27 | 38 | 41 | -0.002954 | 1030.676 |
| 2165 | 24 | 27 | 41 | 44 | -0.004207 | 1030.676 |
| 2166 | 24 | 27 | 44 | 39 | 0.004969 | 1030.676 |
| 2167 | 24 | 27 | 45 | 40 | 0.003837 | 1030.676 |
| 2168 | 24 | 27 | 40 | 43 | -0.002522 | 1030.676 |
| 2169 | 24 | 28 | 43 | 47 | -0.011163 | 982.858 |
| 2170 | 24 | 28 | 44 | 48 | -0.003932 | 982.858 |
| 2171 | 25 | 26 | 27 | 28 | -0.169642 | 856.519 |
| 2172 | 25 | 26 | 28 | 29 | -0.092364 | 856.519 |
| 2173 | 25 | 26 | 29 | 30 | -0.046157 | 856.519 |
| 2174 | 25 | 26 | 30 | 31 | -0.024922 | 856.519 |
| 2175 | 25 | 26 | 31 | 32 | -0.015356 | 856.519 |
| 2176 | 25 | 26 | 32 | 33 | -0.004618 | 856.519 |
| 2177 | 25 | 27 | 37 | 39 | -0.008922 | 1062.723 |
| 2178 | 25 | 27 | 39 | 34 | 0.043219 | 1062.723 |
| 2179 | 25 | 27 | 34 | 36 | -0.027723 | 1062.723 |
| 2180 | 25 | 27 | 36 | 38 | -0.011511 | 1062.723 |
| 2181 | 25 | 27 | 38 | 40 | -0.007072 | 1062.723 |
| 2182 | 25 | 28 | 42 | 45 | -0.187774 | 1007.607 |
| 2183 | 25 | 28 | 45 | 40 | 0.016179 | 1007.607 |
| 2184 | 25 | 28 | 43 | 46 | -0.011912 | 1007.607 |

| Dati Geolettrici_Misura 8 27 Novembre 2025 | | | | | | |
|--|--------|--------|--------|--------|-----------|----------|
| Misura n. | Elec_A | Elec_B | Elec_M | Elec_N | V/I(ohm) | I(mA) |
| 2185 | 25 | 28 | 46 | 41 | 0.008169 | 1007.607 |
| 2186 | 25 | 28 | 41 | 44 | -0.007957 | 1007.607 |
| 2187 | 25 | 29 | 44 | 48 | -0.009635 | 1006.755 |
| 2188 | 26 | 27 | 28 | 29 | -0.229787 | 790.88 |
| 2189 | 26 | 27 | 29 | 30 | -0.108363 | 790.88 |
| 2190 | 26 | 27 | 30 | 31 | -0.048104 | 790.88 |
| 2191 | 26 | 27 | 31 | 32 | -0.025449 | 790.88 |
| 2192 | 26 | 27 | 32 | 33 | -0.018897 | 790.88 |
| 2193 | 26 | 27 | 33 | 34 | -0.013102 | 790.88 |
| 2194 | 26 | 28 | 34 | 36 | -0.055487 | 768.382 |
| 2195 | 26 | 28 | 36 | 38 | -0.022373 | 768.382 |
| 2196 | 26 | 28 | 38 | 40 | -0.00988 | 768.382 |
| 2197 | 26 | 28 | 40 | 35 | 0.073817 | 768.382 |
| 2198 | 26 | 28 | 35 | 37 | -0.0499 | 768.382 |
| 2199 | 26 | 28 | 37 | 39 | -0.018753 | 768.382 |
| 2200 | 26 | 28 | 39 | 41 | -0.008398 | 768.382 |
| 2201 | 26 | 29 | 40 | 43 | -0.01519 | 768.501 |
| 2202 | 26 | 29 | 43 | 46 | -0.007985 | 768.501 |
| 2203 | 26 | 29 | 46 | 41 | 0.016027 | 768.501 |
| 2204 | 26 | 29 | 41 | 44 | -0.011182 | 768.501 |
| 2205 | 26 | 29 | 44 | 47 | -0.009415 | 768.501 |
| 2206 | 26 | 29 | 47 | 42 | 0.014275 | 768.501 |
| 2207 | 26 | 29 | 42 | 45 | -0.007834 | 768.501 |
| 2208 | 27 | 28 | 29 | 30 | -0.29823 | 906.16 |
| 2209 | 27 | 28 | 30 | 31 | -0.112283 | 906.16 |
| 2210 | 27 | 28 | 31 | 32 | -0.054496 | 906.16 |
| 2211 | 27 | 28 | 32 | 33 | -0.008834 | 906.16 |
| 2212 | 27 | 28 | 33 | 34 | -0.011738 | 906.16 |
| 2213 | 27 | 29 | 35 | 37 | -0.022726 | 903.97 |
| 2214 | 27 | 29 | 37 | 39 | -0.018099 | 903.97 |
| 2215 | 27 | 29 | 36 | 38 | -0.024719 | 903.97 |
| 2216 | 27 | 29 | 38 | 40 | -0.014115 | 903.97 |
| 2217 | 27 | 30 | 44 | 47 | -0.008857 | 705.792 |
| 2218 | 27 | 30 | 47 | 42 | 0.026567 | 705.792 |
| 2219 | 27 | 30 | 42 | 45 | -0.021526 | 705.792 |
| 2220 | 27 | 30 | 45 | 48 | -0.005835 | 705.792 |
| 2221 | 27 | 30 | 48 | 43 | 0.014312 | 705.792 |
| 2222 | 27 | 30 | 43 | 46 | -0.007953 | 705.792 |
| 2223 | 28 | 29 | 30 | 31 | -0.305812 | 860.655 |
| 2224 | 28 | 29 | 31 | 32 | -0.103694 | 860.655 |
| 2225 | 28 | 29 | 32 | 33 | -0.066084 | 860.655 |
| 2226 | 28 | 29 | 33 | 34 | -0.041296 | 860.655 |
| 2227 | 28 | 29 | 34 | 35 | -0.04801 | 860.655 |
| 2228 | 28 | 30 | 36 | 38 | -0.036285 | 679.958 |
| 2229 | 28 | 30 | 38 | 40 | -0.021058 | 679.958 |
| 2230 | 28 | 30 | 40 | 42 | -0.164515 | 679.958 |
| 2231 | 28 | 30 | 42 | 37 | 0.196131 | 679.958 |
| 2232 | 28 | 30 | 37 | 39 | -0.022638 | 679.958 |
| 2233 | 28 | 30 | 39 | 41 | -0.015934 | 679.958 |
| 2234 | 28 | 30 | 41 | 43 | -0.018607 | 679.958 |
| 2235 | 28 | 31 | 45 | 48 | -0.007499 | 852.183 |
| 2236 | 28 | 31 | 48 | 43 | 0.008789 | 852.183 |
| 2237 | 28 | 31 | 43 | 46 | -0.004588 | 852.183 |
| 2238 | 28 | 31 | 46 | 44 | 0.007513 | 852.183 |
| 2239 | 28 | 31 | 44 | 47 | -0.013761 | 852.183 |
| 2240 | 29 | 30 | 31 | 32 | -0.339722 | 676.357 |

| Dati Geolettrici_Misura 8 27 Novembre 2025 | | | | | | |
|--|--------|--------|--------|--------|-----------|----------|
| Misura n. | Elec_A | Elec_B | Elec_M | Elec_N | V/I(ohm) | I(mA) |
| 2241 | 29 | 30 | 32 | 33 | -0.114635 | 676.357 |
| 2242 | 29 | 30 | 33 | 34 | -0.065085 | 676.357 |
| 2243 | 29 | 30 | 34 | 35 | -0.039556 | 676.357 |
| 2244 | 29 | 30 | 35 | 36 | -0.036847 | 676.357 |
| 2245 | 29 | 30 | 36 | 37 | -0.012456 | 676.357 |
| 2246 | 29 | 31 | 37 | 39 | -0.039632 | 847.824 |
| 2247 | 29 | 31 | 39 | 41 | -0.02155 | 847.824 |
| 2248 | 29 | 31 | 41 | 43 | -0.014102 | 847.824 |
| 2249 | 29 | 31 | 43 | 38 | 0.052197 | 847.824 |
| 2250 | 29 | 31 | 38 | 40 | -0.029366 | 847.824 |
| 2251 | 29 | 32 | 44 | 47 | -0.013507 | 936.372 |
| 2252 | 29 | 32 | 47 | 45 | 0.008878 | 936.372 |
| 2253 | 29 | 32 | 45 | 48 | -0.004949 | 936.372 |
| 2254 | 30 | 31 | 32 | 33 | -0.301878 | 664.536 |
| 2255 | 30 | 31 | 33 | 34 | -0.127201 | 664.536 |
| 2256 | 30 | 31 | 34 | 35 | -0.046803 | 664.536 |
| 2257 | 30 | 31 | 35 | 36 | -0.063705 | 664.536 |
| 2258 | 30 | 31 | 36 | 37 | -0.021775 | 664.536 |
| 2259 | 30 | 31 | 37 | 38 | -0.011399 | 664.536 |
| 2260 | 30 | 32 | 38 | 40 | -0.037287 | 710.088 |
| 2261 | 30 | 32 | 40 | 42 | -0.014968 | 710.088 |
| 2262 | 30 | 32 | 42 | 44 | -0.016091 | 710.088 |
| 2263 | 30 | 32 | 44 | 39 | 0.046976 | 710.088 |
| 2264 | 30 | 32 | 39 | 41 | -0.024155 | 710.088 |
| 2265 | 30 | 32 | 41 | 43 | -0.01876 | 710.088 |
| 2266 | 30 | 32 | 43 | 45 | -0.006904 | 710.088 |
| 2267 | 30 | 33 | 44 | 47 | -0.013295 | 740.882 |
| 2268 | 30 | 33 | 47 | 45 | 0.006308 | 740.882 |
| 2269 | 30 | 33 | 45 | 48 | -0.007518 | 740.882 |
| 2270 | 31 | 32 | 33 | 34 | -0.287591 | 901.612 |
| 2271 | 31 | 32 | 34 | 35 | -0.11775 | 901.612 |
| 2272 | 31 | 32 | 35 | 36 | -0.076082 | 901.612 |
| 2273 | 31 | 32 | 36 | 37 | -0.030722 | 901.612 |
| 2274 | 31 | 32 | 37 | 38 | -0.01642 | 901.612 |
| 2275 | 31 | 32 | 38 | 39 | -0.012022 | 901.612 |
| 2276 | 31 | 33 | 39 | 41 | -0.033436 | 966.098 |
| 2277 | 31 | 33 | 41 | 43 | -0.016444 | 966.098 |
| 2278 | 31 | 33 | 43 | 45 | -0.010493 | 966.098 |
| 2279 | 31 | 33 | 45 | 40 | 0.040734 | 966.098 |
| 2280 | 31 | 33 | 40 | 42 | -0.057936 | 966.098 |
| 2281 | 31 | 33 | 44 | 46 | -0.007753 | 966.098 |
| 2282 | 32 | 33 | 34 | 35 | -0.327898 | 1070.869 |
| 2283 | 32 | 33 | 35 | 36 | -0.061828 | 1070.869 |
| 2284 | 32 | 33 | 36 | 37 | -0.042584 | 1070.869 |
| 2285 | 32 | 33 | 37 | 38 | -0.024865 | 1070.869 |
| 2286 | 32 | 33 | 38 | 39 | -0.016044 | 1070.869 |
| 2287 | 32 | 33 | 39 | 40 | -0.010871 | 1070.869 |
| 2288 | 32 | 34 | 40 | 42 | -0.048696 | 997.384 |
| 2289 | 32 | 34 | 44 | 46 | -0.141277 | 997.384 |
| 2290 | 32 | 34 | 46 | 41 | 0.169979 | 997.384 |
| 2291 | 32 | 34 | 41 | 43 | -0.006201 | 997.384 |
| 2292 | 32 | 34 | 43 | 45 | -0.029808 | 997.384 |
| 2293 | 33 | 34 | 35 | 36 | -0.329888 | 1064.866 |
| 2294 | 33 | 34 | 36 | 37 | -0.089926 | 1064.866 |
| 2295 | 33 | 34 | 37 | 38 | -0.040992 | 1064.866 |
| 2296 | 33 | 34 | 38 | 39 | -0.050048 | 1064.866 |

| Dati Geolettrici_Misura 8 27 Novembre 2025 | | | | | | |
|--|--------|--------|--------|--------|-----------|----------|
| Misura n. | Elec_A | Elec_B | Elec_M | Elec_N | V/I(ohm) | I(mA) |
| 2297 | 33 | 34 | 39 | 40 | -0.02819 | 1064.866 |
| 2298 | 33 | 34 | 40 | 41 | -0.009292 | 1064.866 |
| 2299 | 33 | 35 | 41 | 43 | -0.059642 | 1110.034 |
| 2300 | 33 | 35 | 43 | 45 | -0.018112 | 1110.034 |
| 2301 | 33 | 35 | 45 | 47 | -0.008814 | 1110.034 |
| 2302 | 33 | 35 | 47 | 42 | 0.086717 | 1110.034 |
| 2303 | 33 | 35 | 42 | 44 | -0.070751 | 1110.034 |
| 2304 | 33 | 35 | 46 | 48 | -0.088816 | 1110.034 |
| 2305 | 34 | 35 | 36 | 37 | -0.26577 | 1023.682 |
| 2306 | 34 | 35 | 37 | 38 | -0.128054 | 1023.682 |
| 2307 | 34 | 35 | 39 | 40 | -0.022011 | 1023.682 |
| 2308 | 34 | 36 | 42 | 44 | -0.022147 | 1048.535 |
| 2309 | 34 | 36 | 44 | 46 | -0.030931 | 1048.535 |
| 2310 | 34 | 36 | 46 | 48 | -0.017992 | 1048.535 |
| 2311 | 34 | 36 | 48 | 43 | 0.045406 | 1048.535 |
| 2312 | 34 | 36 | 43 | 45 | -0.006794 | 1048.535 |
| 2313 | 34 | 36 | 45 | 47 | -0.024305 | 1048.535 |
| 2314 | 35 | 36 | 37 | 38 | -0.202208 | 361.022 |
| 2315 | 35 | 36 | 38 | 39 | -0.084133 | 361.022 |
| 2316 | 35 | 36 | 39 | 40 | -0.043794 | 361.022 |
| 2317 | 35 | 36 | 40 | 41 | -0.042081 | 361.022 |
| 2318 | 35 | 36 | 41 | 42 | -0.08389 | 361.022 |
| 2319 | 35 | 37 | 43 | 45 | -0.030453 | 1123.792 |
| 2320 | 36 | 37 | 38 | 39 | -0.242866 | 1145.706 |
| 2321 | 36 | 37 | 39 | 40 | -0.092491 | 1145.706 |
| 2322 | 36 | 37 | 40 | 41 | -0.061967 | 1145.706 |
| 2323 | 36 | 37 | 41 | 42 | -0.006365 | 1145.706 |
| 2324 | 36 | 37 | 42 | 43 | -0.016096 | 1145.706 |
| 2325 | 36 | 37 | 43 | 44 | -0.010036 | 1145.706 |
| 2326 | 36 | 38 | 44 | 46 | -0.017204 | 1147.269 |
| 2327 | 36 | 38 | 46 | 48 | -0.020452 | 1147.269 |
| 2328 | 36 | 38 | 48 | 45 | 0.017985 | 1147.269 |
| 2329 | 36 | 38 | 45 | 47 | -0.015006 | 1147.269 |
| 2330 | 37 | 38 | 39 | 40 | -0.252906 | 1197.904 |
| 2331 | 37 | 38 | 40 | 41 | -0.083795 | 1197.904 |
| 2332 | 37 | 38 | 41 | 42 | -0.049532 | 1197.904 |
| 2333 | 37 | 38 | 42 | 43 | -0.014626 | 1197.904 |
| 2334 | 37 | 38 | 43 | 44 | -0.02154 | 1197.904 |
| 2335 | 37 | 38 | 44 | 45 | -0.011352 | 1197.904 |
| 2336 | 37 | 39 | 45 | 47 | -0.052206 | 661.134 |
| 2337 | 37 | 39 | 47 | 46 | 0.039258 | 661.134 |
| 2338 | 37 | 39 | 46 | 48 | -0.105941 | 661.134 |
| 2339 | 38 | 39 | 40 | 41 | -0.248577 | 947.09 |
| 2340 | 38 | 39 | 41 | 42 | -0.095053 | 947.09 |
| 2341 | 38 | 39 | 43 | 44 | -0.071698 | 947.09 |
| 2342 | 38 | 39 | 44 | 45 | -0.016102 | 947.09 |
| 2343 | 38 | 40 | 46 | 48 | -0.024296 | 552.763 |
| 2344 | 39 | 40 | 41 | 42 | -0.256807 | 758.927 |
| 2345 | 39 | 40 | 42 | 43 | -0.1547 | 758.927 |
| 2346 | 39 | 40 | 44 | 45 | -0.029557 | 758.927 |
| 2347 | 39 | 40 | 45 | 46 | -0.040035 | 758.927 |
| 2348 | 40 | 41 | 42 | 43 | -0.251486 | 882.458 |
| 2349 | 40 | 41 | 43 | 44 | -0.084947 | 882.458 |
| 2350 | 40 | 41 | 44 | 45 | -0.042303 | 882.458 |
| 2351 | 40 | 41 | 46 | 47 | -0.081772 | 882.458 |
| 2352 | 41 | 42 | 43 | 44 | -0.209945 | 1161.793 |

| Dati Geolettrici_Misura 8 27 Novembre 2025 | | | | | | |
|--|--------|--------|--------|--------|-----------|----------|
| Misura n. | Elec_A | Elec_B | Elec_M | Elec_N | V/I(ohm) | I(mA) |
| 2353 | 41 | 42 | 44 | 45 | -0.104957 | 1161.793 |
| 2354 | 41 | 42 | 45 | 46 | -0.084487 | 1161.793 |
| 2355 | 41 | 42 | 47 | 48 | -0.034072 | 1161.793 |
| 2356 | 42 | 43 | 44 | 45 | -0.219202 | 1132.557 |
| 2357 | 42 | 43 | 45 | 46 | -0.086748 | 1132.557 |
| 2358 | 42 | 43 | 46 | 47 | -0.020486 | 1132.557 |
| 2359 | 42 | 43 | 47 | 48 | -0.021965 | 1132.557 |
| 2360 | 43 | 44 | 45 | 46 | -0.224021 | 545.625 |
| 2361 | 43 | 44 | 46 | 47 | -0.057242 | 545.625 |
| 2362 | 43 | 44 | 47 | 48 | -0.025694 | 545.625 |
| 2363 | 44 | 45 | 46 | 47 | -0.228399 | 245.443 |
| 2364 | 44 | 45 | 47 | 48 | -0.065854 | 245.443 |
| 2365 | 45 | 46 | 47 | 48 | -0.13884 | 111.43 |
| 2366 | 1 | 2 | 3 | 4 | -0.123673 | 666.273 |
| 2367 | 1 | 2 | 4 | 5 | -0.059548 | 666.273 |
| 2368 | 1 | 2 | 5 | 6 | -0.019577 | 666.273 |
| 2369 | 1 | 2 | 6 | 7 | -0.031285 | 666.273 |
| 2370 | 1 | 3 | 9 | 11 | -0.021316 | 719.532 |
| 2371 | 1 | 3 | 11 | 13 | -0.026368 | 719.532 |
| 2372 | 1 | 3 | 13 | 15 | -0.062457 | 719.532 |
| 2373 | 1 | 3 | 15 | 10 | 0.099246 | 719.532 |
| 2374 | 1 | 3 | 10 | 12 | -0.064612 | 719.532 |
| 2375 | 1 | 4 | 18 | 21 | -0.00643 | 830.458 |
| 2376 | 1 | 4 | 21 | 16 | 0.013222 | 830.458 |
| 2377 | 1 | 4 | 16 | 19 | -0.009044 | 830.458 |
| 2378 | 1 | 4 | 19 | 22 | -0.005753 | 830.458 |
| 2379 | 1 | 5 | 20 | 24 | -0.009658 | 881.285 |
| 2380 | 1 | 5 | 24 | 28 | 0.006633 | 881.285 |
| 2381 | 1 | 5 | 28 | 21 | -0.000181 | 881.285 |
| 2382 | 1 | 5 | 21 | 25 | -0.006733 | 881.285 |
| 2383 | 1 | 5 | 25 | 29 | 0.010813 | 881.285 |
| 2384 | 1 | 5 | 29 | 22 | -0.006732 | 881.285 |
| 2385 | 1 | 5 | 22 | 26 | -0.00219 | 881.285 |
| 2386 | 1 | 5 | 26 | 23 | -0.001225 | 881.285 |
| 2387 | 1 | 5 | 23 | 27 | 0.003603 | 881.285 |
| 2388 | 1 | 6 | 27 | 32 | 0.028834 | 633.576 |
| 2389 | 1 | 6 | 32 | 28 | -0.02503 | 633.576 |
| 2390 | 1 | 6 | 28 | 33 | 0.033025 | 633.576 |
| 2391 | 1 | 6 | 33 | 29 | -0.027639 | 633.576 |
| 2392 | 1 | 6 | 29 | 34 | 0.036458 | 633.576 |
| 2393 | 1 | 6 | 34 | 30 | -0.031475 | 633.576 |
| 2394 | 1 | 6 | 30 | 35 | 0.042544 | 633.576 |
| 2395 | 1 | 6 | 35 | 31 | -0.036364 | 633.576 |
| 2396 | 1 | 6 | 31 | 36 | 0.049825 | 633.576 |
| 2397 | 1 | 7 | 32 | 38 | 0.167545 | 112.681 |
| 2398 | 1 | 7 | 38 | 44 | -0.344678 | 112.681 |
| 2399 | 1 | 7 | 33 | 39 | 0.211878 | 112.681 |
| 2400 | 1 | 7 | 39 | 34 | -0.19943 | 112.681 |
| 2401 | 1 | 7 | 34 | 40 | 0.23565 | 112.681 |
| 2402 | 1 | 7 | 40 | 35 | -0.220207 | 112.681 |
| 2403 | 1 | 7 | 35 | 41 | 0.226856 | 112.681 |
| 2404 | 1 | 7 | 41 | 36 | -0.207614 | 112.681 |
| 2405 | 1 | 7 | 36 | 42 | 0.144376 | 112.681 |
| 2406 | 1 | 8 | 39 | 46 | -0.997966 | 29.383 |
| 2407 | 1 | 8 | 46 | 40 | 0.991923 | 29.383 |
| 2408 | 1 | 8 | 40 | 47 | -1.148494 | 29.383 |

| Dati Geolettrici_Misura 8 27 Novembre 2025 | | | | | | |
|--|--------|--------|--------|--------|-----------|----------|
| Misura n. | Elec_A | Elec_B | Elec_M | Elec_N | V/I(ohm) | I(mA) |
| 2409 | 1 | 8 | 47 | 41 | 1.078462 | 29.383 |
| 2410 | 1 | 8 | 41 | 48 | -1.098844 | 29.383 |
| 2411 | 2 | 3 | 4 | 5 | -0.211952 | 1123.069 |
| 2412 | 2 | 3 | 5 | 6 | -0.064342 | 1123.069 |
| 2413 | 2 | 3 | 6 | 7 | -0.021008 | 1123.069 |
| 2414 | 2 | 3 | 8 | 9 | -0.06509 | 1123.069 |
| 2415 | 2 | 3 | 9 | 10 | -0.011623 | 1123.069 |
| 2416 | 2 | 4 | 14 | 16 | -0.002186 | 935.436 |
| 2417 | 2 | 4 | 16 | 11 | 0.036243 | 935.436 |
| 2418 | 2 | 5 | 16 | 19 | -0.015084 | 1002.907 |
| 2419 | 2 | 5 | 19 | 22 | -0.008972 | 1002.907 |
| 2420 | 2 | 5 | 22 | 17 | 0.018091 | 1002.907 |
| 2421 | 2 | 5 | 17 | 20 | -0.0133 | 1002.907 |
| 2422 | 2 | 5 | 20 | 23 | -0.008616 | 1002.907 |
| 2423 | 2 | 5 | 23 | 18 | 0.018014 | 1002.907 |
| 2424 | 2 | 5 | 18 | 21 | -0.015874 | 1002.907 |
| 2425 | 2 | 6 | 21 | 25 | -0.013394 | 1138.021 |
| 2426 | 2 | 6 | 25 | 29 | 0.013557 | 1138.021 |
| 2427 | 2 | 6 | 29 | 22 | -0.008513 | 1138.021 |
| 2428 | 2 | 6 | 22 | 26 | -0.002695 | 1138.021 |
| 2429 | 2 | 6 | 26 | 30 | 0.015702 | 1138.021 |
| 2430 | 2 | 6 | 30 | 23 | -0.017277 | 1138.021 |
| 2431 | 2 | 6 | 23 | 27 | 0.004502 | 1138.021 |
| 2432 | 2 | 6 | 27 | 24 | -0.004895 | 1138.021 |
| 2433 | 2 | 6 | 24 | 28 | 0.008319 | 1138.021 |
| 2434 | 2 | 7 | 28 | 33 | 0.041233 | 468.51 |
| 2435 | 2 | 7 | 33 | 29 | -0.034581 | 468.51 |
| 2436 | 2 | 7 | 29 | 34 | 0.045937 | 468.51 |
| 2437 | 2 | 7 | 34 | 30 | -0.039638 | 468.51 |
| 2438 | 2 | 7 | 30 | 35 | 0.05386 | 468.51 |
| 2439 | 2 | 7 | 35 | 31 | -0.046273 | 468.51 |
| 2440 | 2 | 7 | 31 | 36 | 0.064141 | 468.51 |
| 2441 | 2 | 7 | 36 | 32 | -0.053393 | 468.51 |
| 2442 | 2 | 7 | 32 | 37 | 0.103914 | 468.51 |
| 2443 | 2 | 8 | 33 | 39 | 0.258533 | 537.227 |
| 2444 | 2 | 8 | 39 | 45 | -0.835232 | 537.227 |
| 2445 | 2 | 8 | 45 | 34 | 0.592854 | 537.227 |
| 2446 | 2 | 8 | 34 | 40 | 0.231631 | 537.227 |
| 2447 | 2 | 8 | 40 | 35 | -0.211014 | 537.227 |
| 2448 | 2 | 8 | 35 | 41 | 0.135453 | 537.227 |
| 2449 | 2 | 8 | 41 | 36 | -0.109345 | 537.227 |
| 2450 | 2 | 8 | 37 | 43 | -0.293727 | 537.227 |
| 2451 | 2 | 8 | 38 | 44 | -0.590561 | 45.74 |
| 2452 | 2 | 9 | 40 | 47 | -1.088377 | 28.073 |
| 2453 | 2 | 9 | 47 | 41 | 0.944168 | 28.073 |
| 2454 | 2 | 9 | 41 | 48 | -0.914327 | 28.073 |
| 2455 | 3 | 4 | 5 | 6 | -0.219812 | 896.556 |
| 2456 | 3 | 4 | 6 | 7 | -0.081357 | 896.556 |
| 2457 | 3 | 4 | 7 | 8 | -0.075298 | 896.556 |
| 2458 | 3 | 4 | 9 | 10 | -0.030226 | 896.556 |
| 2459 | 3 | 4 | 10 | 11 | -0.012339 | 896.556 |
| 2460 | 3 | 5 | 11 | 13 | -0.021391 | 955.087 |
| 2461 | 3 | 5 | 13 | 15 | -0.030866 | 955.087 |
| 2462 | 3 | 5 | 17 | 12 | 0.102186 | 955.087 |
| 2463 | 3 | 5 | 16 | 18 | -0.008765 | 955.087 |
| 2464 | 3 | 6 | 20 | 23 | -0.008373 | 1075.983 |

| Dati Geolettrici_Misura 8 27 Novembre 2025 | | | | | | |
|--|--------|--------|--------|--------|-----------|----------|
| Misura n. | Elec_A | Elec_B | Elec_M | Elec_N | V/I(ohm) | I(mA) |
| 2465 | 3 | 6 | 23 | 18 | 0.016604 | 1075.983 |
| 2466 | 3 | 6 | 18 | 21 | -0.002682 | 1075.983 |
| 2467 | 3 | 6 | 21 | 24 | -0.016089 | 1075.983 |
| 2468 | 3 | 6 | 24 | 19 | 0.014136 | 1075.983 |
| 2469 | 3 | 6 | 19 | 22 | -0.010089 | 1075.983 |
| 2470 | 3 | 7 | 22 | 26 | -0.006683 | 1099.686 |
| 2471 | 3 | 7 | 26 | 30 | 0.019092 | 1099.686 |
| 2472 | 3 | 7 | 30 | 23 | -0.012971 | 1099.686 |
| 2473 | 3 | 7 | 27 | 31 | 0.022028 | 1099.686 |
| 2474 | 3 | 7 | 31 | 24 | -0.02377 | 1099.686 |
| 2475 | 3 | 7 | 24 | 28 | 0.005892 | 1099.686 |
| 2476 | 3 | 7 | 28 | 25 | -0.010624 | 1099.686 |
| 2477 | 3 | 7 | 25 | 29 | 0.016436 | 1099.686 |
| 2478 | 3 | 8 | 29 | 34 | 0.059457 | 317.633 |
| 2479 | 3 | 8 | 34 | 30 | -0.051368 | 317.633 |
| 2480 | 3 | 8 | 30 | 35 | 0.070452 | 317.633 |
| 2481 | 3 | 8 | 35 | 31 | -0.060881 | 317.633 |
| 2482 | 3 | 8 | 31 | 36 | 0.085263 | 317.633 |
| 2483 | 3 | 8 | 36 | 32 | -0.071698 | 317.633 |
| 2484 | 3 | 8 | 32 | 37 | 0.139008 | 317.633 |
| 2485 | 3 | 8 | 37 | 33 | -0.125946 | 317.633 |
| 2486 | 3 | 8 | 33 | 38 | 0.192769 | 317.633 |
| 2487 | 3 | 9 | 34 | 40 | 0.138655 | 392.702 |
| 2488 | 3 | 9 | 40 | 46 | -0.944558 | 392.702 |
| 2489 | 3 | 9 | 46 | 35 | 0.833062 | 392.702 |
| 2490 | 3 | 9 | 36 | 42 | -0.253908 | 392.702 |
| 2491 | 3 | 9 | 42 | 37 | 0.344881 | 392.702 |
| 2492 | 3 | 9 | 37 | 43 | -0.541492 | 392.702 |
| 2493 | 3 | 9 | 43 | 38 | 0.618474 | 392.702 |
| 2494 | 3 | 9 | 38 | 44 | -0.829818 | 392.702 |
| 2495 | 3 | 9 | 39 | 45 | -0.992146 | 25.902 |
| 2496 | 3 | 10 | 41 | 48 | -0.668279 | 34.407 |
| 2497 | 4 | 5 | 6 | 7 | -0.219834 | 833.539 |
| 2498 | 4 | 5 | 7 | 8 | -0.098911 | 833.539 |
| 2499 | 4 | 5 | 8 | 9 | -0.048387 | 833.539 |
| 2500 | 4 | 5 | 9 | 10 | -0.029139 | 833.539 |
| 2501 | 4 | 5 | 10 | 11 | -0.018847 | 833.539 |
| 2502 | 4 | 5 | 11 | 12 | -0.011504 | 833.539 |
| 2503 | 4 | 6 | 12 | 14 | -0.030671 | 916.176 |
| 2504 | 4 | 6 | 14 | 16 | -0.017923 | 916.176 |
| 2505 | 4 | 6 | 16 | 18 | -0.010136 | 916.176 |
| 2506 | 4 | 6 | 18 | 13 | 0.040585 | 916.176 |
| 2507 | 4 | 6 | 13 | 15 | -0.013394 | 916.176 |
| 2508 | 4 | 6 | 15 | 17 | -0.024076 | 916.176 |
| 2509 | 4 | 6 | 17 | 19 | -0.007096 | 916.176 |
| 2510 | 4 | 7 | 21 | 24 | -0.105898 | 934.222 |
| 2511 | 4 | 7 | 24 | 19 | 0.021108 | 934.222 |
| 2512 | 4 | 7 | 19 | 22 | -0.017111 | 934.222 |
| 2513 | 4 | 7 | 22 | 25 | -0.008501 | 934.222 |
| 2514 | 4 | 7 | 25 | 20 | 0.019226 | 934.222 |
| 2515 | 4 | 7 | 20 | 23 | -0.01072 | 934.222 |
| 2516 | 4 | 8 | 23 | 27 | 0.004032 | 941.443 |
| 2517 | 4 | 8 | 27 | 31 | 0.028227 | 941.443 |
| 2518 | 4 | 8 | 31 | 24 | -0.033215 | 941.443 |
| 2519 | 4 | 8 | 24 | 28 | 0.010149 | 941.443 |
| 2520 | 4 | 8 | 28 | 32 | 0.034975 | 941.443 |

| Dati Geolettrici_Misura 8 27 Novembre 2025 | | | | | | |
|--|--------|--------|--------|--------|-----------|----------|
| Misura n. | Elec_A | Elec_B | Elec_M | Elec_N | V/I(ohm) | I(mA) |
| 2521 | 4 | 8 | 32 | 25 | -0.047965 | 941.443 |
| 2522 | 4 | 8 | 25 | 29 | 0.020344 | 941.443 |
| 2523 | 4 | 8 | 29 | 26 | -0.016912 | 941.443 |
| 2524 | 4 | 8 | 26 | 30 | 0.0241 | 941.443 |
| 2525 | 4 | 9 | 30 | 35 | 0.090813 | 205.125 |
| 2526 | 4 | 9 | 35 | 31 | -0.078705 | 205.125 |
| 2527 | 4 | 9 | 31 | 36 | 0.111032 | 205.125 |
| 2528 | 4 | 9 | 36 | 32 | -0.094164 | 205.125 |
| 2529 | 4 | 9 | 32 | 37 | 0.17794 | 205.125 |
| 2530 | 4 | 9 | 37 | 33 | -0.161137 | 205.125 |
| 2531 | 4 | 9 | 33 | 38 | 0.230655 | 205.125 |
| 2532 | 4 | 9 | 38 | 34 | -0.210862 | 205.125 |
| 2533 | 4 | 9 | 34 | 39 | 0.214991 | 205.125 |
| 2534 | 4 | 10 | 35 | 41 | -0.269823 | 65.185 |
| 2535 | 4 | 10 | 41 | 47 | -0.521209 | 65.185 |
| 2536 | 4 | 10 | 47 | 36 | 0.834351 | 65.185 |
| 2537 | 4 | 10 | 36 | 42 | -0.498534 | 65.185 |
| 2538 | 4 | 10 | 42 | 37 | 0.595336 | 65.185 |
| 2539 | 4 | 10 | 37 | 43 | -0.776202 | 65.185 |
| 2540 | 4 | 10 | 43 | 38 | 0.812091 | 65.185 |
| 2541 | 4 | 10 | 38 | 44 | -0.971406 | 65.185 |
| 2542 | 4 | 10 | 44 | 39 | 0.889835 | 65.185 |
| 2543 | 4 | 10 | 39 | 45 | -0.940357 | 65.185 |
| 2544 | 4 | 10 | 40 | 46 | -0.749418 | 31.288 |
| 2545 | 5 | 6 | 7 | 8 | -0.208791 | 973.664 |
| 2546 | 5 | 6 | 8 | 9 | -0.085072 | 973.664 |
| 2547 | 5 | 6 | 10 | 11 | -0.059225 | 973.664 |
| 2548 | 5 | 6 | 11 | 12 | -0.020989 | 973.664 |
| 2549 | 5 | 6 | 12 | 13 | -0.009924 | 973.664 |
| 2550 | 5 | 7 | 13 | 15 | -0.024268 | 1000.277 |
| 2551 | 5 | 7 | 15 | 17 | -0.014461 | 1000.277 |
| 2552 | 5 | 7 | 17 | 19 | -0.012969 | 1000.277 |
| 2553 | 5 | 7 | 19 | 14 | 0.09121 | 1000.277 |
| 2554 | 5 | 7 | 14 | 16 | -0.080111 | 1000.277 |
| 2555 | 5 | 7 | 18 | 20 | -0.040286 | 1000.277 |
| 2556 | 5 | 8 | 19 | 22 | -0.014549 | 1008.377 |
| 2557 | 5 | 8 | 22 | 25 | -0.008772 | 1008.377 |
| 2558 | 5 | 8 | 25 | 20 | 0.015084 | 1008.377 |
| 2559 | 5 | 8 | 20 | 23 | -0.011996 | 1008.377 |
| 2560 | 5 | 8 | 26 | 21 | 0.007324 | 1008.377 |
| 2561 | 5 | 8 | 21 | 24 | -0.007411 | 1008.377 |
| 2562 | 5 | 9 | 24 | 28 | 0.014169 | 792.901 |
| 2563 | 5 | 9 | 28 | 32 | 0.042752 | 792.901 |
| 2564 | 5 | 9 | 32 | 25 | -0.058159 | 792.901 |
| 2565 | 5 | 9 | 25 | 29 | 0.02428 | 792.901 |
| 2566 | 5 | 9 | 29 | 33 | 0.048465 | 792.901 |
| 2567 | 5 | 9 | 33 | 26 | -0.068707 | 792.901 |
| 2568 | 5 | 9 | 26 | 30 | 0.029175 | 792.901 |
| 2569 | 5 | 9 | 30 | 27 | -0.023932 | 792.901 |
| 2570 | 5 | 9 | 27 | 31 | 0.034422 | 792.901 |
| 2571 | 5 | 10 | 31 | 36 | 0.140148 | 286.181 |
| 2572 | 5 | 10 | 36 | 32 | -0.119263 | 286.181 |
| 2573 | 5 | 10 | 32 | 37 | 0.205042 | 286.181 |
| 2574 | 5 | 10 | 37 | 33 | -0.183326 | 286.181 |
| 2575 | 5 | 10 | 33 | 38 | 0.207622 | 286.181 |
| 2576 | 5 | 10 | 38 | 34 | -0.181879 | 286.181 |

| Dati Geolettrici_Misura 8 27 Novembre 2025 | | | | | | |
|--|--------|--------|--------|--------|-----------|----------|
| Misura n. | Elec_A | Elec_B | Elec_M | Elec_N | V/I(ohm) | I(mA) |
| 2577 | 5 | 10 | 34 | 39 | 0.087828 | 286.181 |
| 2578 | 5 | 10 | 39 | 35 | -0.055212 | 286.181 |
| 2579 | 5 | 10 | 35 | 40 | -0.138289 | 286.181 |
| 2580 | 5 | 11 | 36 | 42 | -0.731458 | 785.428 |
| 2581 | 5 | 11 | 48 | 37 | 0.811339 | 785.428 |
| 2582 | 5 | 11 | 37 | 43 | -0.920623 | 785.428 |
| 2583 | 5 | 11 | 43 | 38 | 0.860043 | 785.428 |
| 2584 | 5 | 11 | 38 | 44 | -0.913876 | 785.428 |
| 2585 | 5 | 11 | 44 | 39 | 0.75167 | 785.428 |
| 2586 | 5 | 11 | 39 | 45 | -0.71697 | 785.428 |
| 2587 | 5 | 11 | 45 | 40 | 0.513666 | 785.428 |
| 2588 | 5 | 11 | 40 | 46 | -0.469704 | 785.428 |
| 2589 | 5 | 11 | 41 | 47 | -0.238967 | 75.225 |
| 2590 | 6 | 7 | 8 | 9 | -0.244507 | 996.724 |
| 2591 | 6 | 7 | 9 | 10 | -0.12506 | 996.724 |
| 2592 | 6 | 7 | 11 | 12 | -0.01891 | 996.724 |
| 2593 | 6 | 7 | 12 | 13 | -0.015941 | 996.724 |
| 2594 | 6 | 8 | 14 | 16 | -0.050909 | 1126.201 |
| 2595 | 6 | 8 | 16 | 18 | -0.016539 | 1126.201 |
| 2596 | 6 | 8 | 18 | 20 | -0.014337 | 1126.201 |
| 2597 | 6 | 8 | 20 | 15 | 0.037878 | 1126.201 |
| 2598 | 6 | 8 | 15 | 17 | -0.013157 | 1126.201 |
| 2599 | 6 | 8 | 17 | 19 | -0.018157 | 1126.201 |
| 2600 | 6 | 8 | 19 | 21 | -0.021352 | 1126.201 |
| 2601 | 6 | 9 | 20 | 23 | -0.015066 | 852.119 |
| 2602 | 6 | 9 | 23 | 26 | 0.000135 | 852.119 |
| 2603 | 6 | 9 | 21 | 24 | -0.000011 | 852.119 |
| 2604 | 6 | 9 | 24 | 27 | 0.006515 | 852.119 |
| 2605 | 6 | 9 | 27 | 22 | -0.000366 | 852.119 |
| 2606 | 6 | 9 | 22 | 25 | -0.007233 | 852.119 |
| 2607 | 6 | 10 | 25 | 29 | 0.030089 | 518.077 |
| 2608 | 6 | 10 | 29 | 33 | 0.062834 | 518.077 |
| 2609 | 6 | 10 | 33 | 26 | -0.088058 | 518.077 |
| 2610 | 6 | 10 | 26 | 30 | 0.03665 | 518.077 |
| 2611 | 6 | 10 | 30 | 34 | 0.074476 | 518.077 |
| 2612 | 6 | 10 | 34 | 27 | -0.104774 | 518.077 |
| 2613 | 6 | 10 | 27 | 31 | 0.043798 | 518.077 |
| 2614 | 6 | 10 | 31 | 28 | -0.036155 | 518.077 |
| 2615 | 6 | 10 | 28 | 32 | 0.054632 | 518.077 |
| 2616 | 6 | 11 | 32 | 37 | 0.181406 | 342.955 |
| 2617 | 6 | 11 | 37 | 33 | -0.153337 | 342.955 |
| 2618 | 6 | 11 | 33 | 38 | 0.080298 | 342.955 |
| 2619 | 6 | 11 | 38 | 34 | -0.047786 | 342.955 |
| 2620 | 6 | 11 | 34 | 39 | -0.126986 | 342.955 |
| 2621 | 6 | 11 | 39 | 35 | 0.165445 | 342.955 |
| 2622 | 6 | 11 | 35 | 40 | -0.377242 | 342.955 |
| 2623 | 6 | 11 | 40 | 36 | 0.412758 | 342.955 |
| 2624 | 6 | 11 | 36 | 41 | -0.600323 | 342.955 |
| 2625 | 6 | 12 | 37 | 43 | -0.888166 | 976.51 |
| 2626 | 6 | 12 | 43 | 38 | 0.74274 | 976.51 |
| 2627 | 6 | 12 | 38 | 44 | -0.718345 | 976.51 |
| 2628 | 6 | 12 | 44 | 39 | 0.529184 | 976.51 |
| 2629 | 6 | 12 | 39 | 45 | -0.467701 | 976.51 |
| 2630 | 6 | 12 | 45 | 40 | 0.273987 | 976.51 |
| 2631 | 6 | 12 | 40 | 46 | -0.22786 | 976.51 |
| 2632 | 6 | 12 | 42 | 48 | 0.154393 | 107.988 |

| Dati Geolettrici_Misura 8 27 Novembre 2025 | | | | | | |
|--|--------|--------|--------|--------|-----------|----------|
| Misura n. | Elec_A | Elec_B | Elec_M | Elec_N | V/I(ohm) | I(mA) |
| 2633 | 7 | 8 | 9 | 10 | -0.257101 | 983.885 |
| 2634 | 7 | 8 | 10 | 11 | -0.095874 | 983.885 |
| 2635 | 7 | 8 | 11 | 12 | -0.046837 | 983.885 |
| 2636 | 7 | 8 | 12 | 13 | -0.012912 | 983.885 |
| 2637 | 7 | 8 | 13 | 14 | -0.059749 | 983.885 |
| 2638 | 7 | 9 | 15 | 17 | -0.03187 | 869.714 |
| 2639 | 7 | 9 | 17 | 19 | -0.021543 | 869.714 |
| 2640 | 7 | 9 | 19 | 21 | -0.104931 | 869.714 |
| 2641 | 7 | 9 | 21 | 16 | 0.144726 | 869.714 |
| 2642 | 7 | 9 | 16 | 18 | -0.057869 | 869.714 |
| 2643 | 7 | 9 | 20 | 22 | -0.005197 | 869.714 |
| 2644 | 7 | 10 | 24 | 27 | 0.010115 | 932.097 |
| 2645 | 7 | 10 | 27 | 22 | -0.003014 | 932.097 |
| 2646 | 7 | 10 | 22 | 25 | -0.006151 | 932.097 |
| 2647 | 7 | 10 | 25 | 28 | 0.015504 | 932.097 |
| 2648 | 7 | 10 | 28 | 23 | -0.01649 | 932.097 |
| 2649 | 7 | 10 | 23 | 26 | 0.004972 | 932.097 |
| 2650 | 7 | 11 | 26 | 30 | 0.045309 | 361.453 |
| 2651 | 7 | 11 | 30 | 34 | 0.094919 | 361.453 |
| 2652 | 7 | 11 | 34 | 27 | -0.132606 | 361.453 |
| 2653 | 7 | 11 | 27 | 31 | 0.0549 | 361.453 |
| 2654 | 7 | 11 | 31 | 35 | 0.111817 | 361.453 |
| 2655 | 7 | 11 | 35 | 28 | -0.157356 | 361.453 |
| 2656 | 7 | 11 | 28 | 32 | 0.068974 | 361.453 |
| 2657 | 7 | 11 | 32 | 29 | -0.055061 | 361.453 |
| 2658 | 7 | 11 | 29 | 33 | 0.08032 | 361.453 |
| 2659 | 7 | 12 | 33 | 38 | -0.140573 | 121.545 |
| 2660 | 7 | 12 | 38 | 34 | 0.178289 | 121.545 |
| 2661 | 7 | 12 | 34 | 39 | -0.380499 | 121.545 |
| 2662 | 7 | 12 | 39 | 35 | 0.413532 | 121.545 |
| 2663 | 7 | 12 | 35 | 40 | -0.604528 | 121.545 |
| 2664 | 7 | 12 | 40 | 36 | 0.603096 | 121.545 |
| 2665 | 7 | 12 | 36 | 41 | -0.744025 | 121.545 |
| 2666 | 7 | 12 | 41 | 37 | 0.697168 | 121.545 |
| 2667 | 7 | 12 | 37 | 42 | -0.76788 | 121.545 |
| 2668 | 7 | 13 | 38 | 44 | -0.474829 | 1129.039 |
| 2669 | 7 | 13 | 44 | 39 | 0.283074 | 1129.039 |
| 2670 | 7 | 13 | 39 | 45 | -0.223362 | 1129.039 |
| 2671 | 7 | 13 | 46 | 41 | -0.115958 | 1129.039 |
| 2672 | 7 | 13 | 41 | 47 | 0.148255 | 1129.039 |
| 2673 | 7 | 13 | 47 | 42 | -0.209827 | 1129.039 |
| 2674 | 7 | 13 | 42 | 48 | 0.235356 | 1129.039 |
| 2675 | 8 | 9 | 10 | 11 | -0.248037 | 866.176 |
| 2676 | 8 | 9 | 11 | 12 | -0.085002 | 866.176 |
| 2677 | 8 | 9 | 12 | 13 | -0.052057 | 866.176 |
| 2678 | 8 | 9 | 13 | 14 | -0.036674 | 866.176 |
| 2679 | 8 | 9 | 15 | 16 | -0.011201 | 866.176 |
| 2680 | 8 | 10 | 16 | 18 | -0.033701 | 936.341 |
| 2681 | 8 | 10 | 18 | 20 | -0.021485 | 936.341 |
| 2682 | 8 | 10 | 20 | 22 | -0.012448 | 936.341 |
| 2683 | 8 | 10 | 22 | 17 | 0.047503 | 936.341 |
| 2684 | 8 | 10 | 17 | 19 | -0.025318 | 936.341 |
| 2685 | 8 | 10 | 19 | 21 | -0.016397 | 936.341 |
| 2686 | 8 | 10 | 21 | 23 | -0.007826 | 936.341 |
| 2687 | 8 | 11 | 22 | 25 | -0.010641 | 1172.386 |
| 2688 | 8 | 11 | 25 | 28 | 0.0185 | 1172.386 |

| Dati Geolettrici_Misura 8 27 Novembre 2025 | | | | | | |
|--|--------|--------|--------|--------|-----------|----------|
| Misura n. | Elec_A | Elec_B | Elec_M | Elec_N | V/I(ohm) | I(mA) |
| 2689 | 8 | 11 | 28 | 23 | -0.012294 | 1172.386 |
| 2690 | 8 | 11 | 26 | 29 | 0.025138 | 1172.386 |
| 2691 | 8 | 11 | 29 | 24 | -0.029647 | 1172.386 |
| 2692 | 8 | 11 | 24 | 27 | 0.010735 | 1172.386 |
| 2693 | 8 | 12 | 27 | 31 | 0.06834 | 239.221 |
| 2694 | 8 | 12 | 31 | 35 | 0.12064 | 239.221 |
| 2695 | 8 | 12 | 35 | 28 | -0.177712 | 239.221 |
| 2696 | 8 | 12 | 28 | 32 | 0.086608 | 239.221 |
| 2697 | 8 | 12 | 32 | 36 | 0.081383 | 239.221 |
| 2698 | 8 | 12 | 36 | 29 | -0.150845 | 239.221 |
| 2699 | 8 | 12 | 29 | 33 | 0.101411 | 239.221 |
| 2700 | 8 | 12 | 33 | 30 | -0.083302 | 239.221 |
| 2701 | 8 | 12 | 30 | 34 | 0.115841 | 239.221 |
| 2702 | 8 | 13 | 34 | 39 | -0.633691 | 62.951 |
| 2703 | 8 | 13 | 39 | 35 | 0.627478 | 62.951 |
| 2704 | 8 | 13 | 35 | 40 | -0.757152 | 62.951 |
| 2705 | 8 | 13 | 40 | 36 | 0.674059 | 62.951 |
| 2706 | 8 | 13 | 36 | 41 | -0.72588 | 62.951 |
| 2707 | 8 | 13 | 41 | 37 | 0.581616 | 62.951 |
| 2708 | 8 | 13 | 37 | 42 | -0.572699 | 62.951 |
| 2709 | 8 | 13 | 42 | 38 | 0.366846 | 62.951 |
| 2710 | 8 | 13 | 38 | 43 | -0.321994 | 62.951 |
| 2711 | 8 | 14 | 39 | 45 | 0.008937 | 1108.859 |
| 2712 | 8 | 14 | 45 | 40 | -0.123797 | 1108.859 |
| 2713 | 8 | 14 | 40 | 46 | 0.155981 | 1108.859 |
| 2714 | 8 | 14 | 46 | 41 | -0.19858 | 1108.859 |
| 2715 | 8 | 14 | 41 | 47 | 0.223511 | 1108.859 |
| 2716 | 8 | 14 | 47 | 42 | -0.208529 | 1108.859 |
| 2717 | 8 | 14 | 42 | 48 | 0.228944 | 1108.859 |
| 2718 | 9 | 10 | 11 | 12 | -0.25514 | 741.461 |
| 2719 | 9 | 10 | 12 | 13 | -0.092861 | 741.461 |
| 2720 | 9 | 10 | 13 | 14 | -0.044197 | 741.461 |
| 2721 | 9 | 10 | 15 | 16 | -0.037979 | 741.461 |
| 2722 | 9 | 10 | 16 | 17 | -0.010617 | 741.461 |
| 2723 | 9 | 11 | 17 | 19 | -0.037353 | 835.432 |
| 2724 | 9 | 11 | 19 | 21 | -0.021255 | 835.432 |
| 2725 | 9 | 11 | 21 | 23 | -0.009601 | 835.432 |
| 2726 | 9 | 11 | 23 | 18 | 0.047316 | 835.432 |
| 2727 | 9 | 11 | 18 | 20 | -0.029315 | 835.432 |
| 2728 | 9 | 11 | 20 | 22 | -0.013735 | 835.432 |
| 2729 | 9 | 11 | 22 | 24 | -0.007309 | 835.432 |
| 2730 | 9 | 12 | 26 | 29 | 0.031171 | 795.916 |
| 2731 | 9 | 12 | 29 | 24 | -0.034175 | 795.916 |
| 2732 | 9 | 12 | 24 | 27 | 0.010625 | 795.916 |
| 2733 | 9 | 12 | 27 | 30 | 0.038659 | 795.916 |
| 2734 | 9 | 12 | 30 | 25 | -0.05176 | 795.916 |
| 2735 | 9 | 12 | 25 | 28 | 0.022488 | 795.916 |
| 2736 | 9 | 13 | 28 | 32 | 0.114994 | 337.475 |
| 2737 | 9 | 13 | 36 | 29 | -0.048858 | 337.475 |
| 2738 | 9 | 13 | 29 | 33 | 0.131695 | 337.475 |
| 2739 | 9 | 13 | 33 | 37 | -0.25046 | 337.475 |
| 2740 | 9 | 13 | 37 | 30 | 0.143054 | 337.475 |
| 2741 | 9 | 13 | 30 | 34 | 0.132579 | 337.475 |
| 2742 | 9 | 13 | 34 | 31 | -0.103569 | 337.475 |
| 2743 | 9 | 13 | 31 | 35 | 0.088818 | 337.475 |
| 2744 | 9 | 14 | 35 | 40 | -0.756367 | 237.964 |

| Dati Geolettrici_Misura 8 27 Novembre 2025 | | | | | | |
|--|--------|--------|--------|--------|-----------|----------|
| Misura n. | Elec_A | Elec_B | Elec_M | Elec_N | V/I(ohm) | I(mA) |
| 2745 | 9 | 14 | 40 | 36 | 0.589033 | 237.964 |
| 2746 | 9 | 14 | 36 | 41 | -0.563028 | 237.964 |
| 2747 | 9 | 14 | 41 | 37 | 0.362329 | 237.964 |
| 2748 | 9 | 14 | 37 | 42 | -0.319766 | 237.964 |
| 2749 | 9 | 14 | 42 | 38 | 0.107348 | 237.964 |
| 2750 | 9 | 14 | 38 | 43 | -0.063142 | 237.964 |
| 2751 | 9 | 14 | 43 | 39 | -0.083902 | 237.964 |
| 2752 | 9 | 14 | 39 | 44 | 0.125104 | 237.964 |
| 2753 | 9 | 15 | 40 | 46 | 0.238521 | 93.56 |
| 2754 | 9 | 15 | 46 | 41 | -0.204585 | 93.56 |
| 2755 | 9 | 15 | 41 | 47 | 0.223876 | 93.56 |
| 2756 | 9 | 15 | 47 | 42 | -0.175504 | 93.56 |
| 2757 | 9 | 15 | 42 | 48 | 0.191933 | 93.56 |
| 2758 | 10 | 11 | 12 | 13 | -0.236329 | 936.289 |
| 2759 | 10 | 11 | 13 | 14 | -0.084237 | 936.289 |
| 2760 | 10 | 11 | 14 | 15 | -0.062138 | 936.289 |
| 2761 | 10 | 11 | 15 | 16 | -0.018078 | 936.289 |
| 2762 | 10 | 11 | 16 | 17 | -0.015553 | 936.289 |
| 2763 | 10 | 11 | 17 | 18 | -0.011941 | 936.289 |
| 2764 | 10 | 12 | 18 | 20 | -0.039148 | 940.871 |
| 2765 | 10 | 12 | 20 | 22 | -0.017168 | 940.871 |
| 2766 | 10 | 12 | 22 | 24 | -0.008875 | 940.871 |
| 2767 | 10 | 12 | 24 | 19 | 0.043141 | 940.871 |
| 2768 | 10 | 12 | 19 | 21 | -0.025776 | 940.871 |
| 2769 | 10 | 12 | 21 | 23 | -0.01332 | 940.871 |
| 2770 | 10 | 12 | 23 | 25 | -0.005749 | 940.871 |
| 2771 | 10 | 13 | 24 | 27 | 0.01411 | 917.311 |
| 2772 | 10 | 13 | 27 | 30 | 0.051249 | 917.311 |
| 2773 | 10 | 13 | 30 | 25 | -0.068339 | 917.311 |
| 2774 | 10 | 13 | 25 | 28 | 0.029332 | 917.311 |
| 2775 | 10 | 13 | 28 | 31 | 0.063116 | 917.311 |
| 2776 | 10 | 13 | 31 | 26 | -0.085131 | 917.311 |
| 2777 | 10 | 13 | 26 | 29 | 0.040776 | 917.311 |
| 2778 | 10 | 14 | 29 | 33 | 0.167384 | 383.595 |
| 2779 | 10 | 14 | 33 | 37 | -0.522212 | 383.595 |
| 2780 | 10 | 14 | 37 | 30 | 0.390151 | 383.595 |
| 2781 | 10 | 14 | 30 | 34 | 0.109707 | 383.595 |
| 2782 | 10 | 14 | 34 | 38 | -0.678028 | 383.595 |
| 2783 | 10 | 14 | 38 | 31 | 0.609681 | 383.595 |
| 2784 | 10 | 14 | 32 | 36 | -0.271442 | 383.595 |
| 2785 | 10 | 15 | 36 | 41 | -0.32494 | 252.675 |
| 2786 | 10 | 15 | 41 | 37 | 0.107367 | 252.675 |
| 2787 | 10 | 15 | 37 | 42 | -0.062686 | 252.675 |
| 2788 | 10 | 15 | 42 | 38 | -0.103856 | 252.675 |
| 2789 | 10 | 15 | 38 | 43 | 0.139367 | 252.675 |
| 2790 | 10 | 15 | 43 | 39 | -0.187135 | 252.675 |
| 2791 | 10 | 15 | 39 | 44 | 0.218518 | 252.675 |
| 2792 | 10 | 15 | 44 | 40 | -0.165577 | 252.675 |
| 2793 | 10 | 15 | 40 | 45 | 0.191078 | 252.675 |
| 2794 | 10 | 16 | 41 | 47 | 0.183634 | 122.009 |
| 2795 | 10 | 16 | 47 | 42 | -0.135007 | 122.009 |
| 2796 | 10 | 16 | 42 | 48 | 0.147709 | 122.009 |
| 2797 | 11 | 12 | 13 | 14 | -0.209181 | 1179.775 |
| 2798 | 11 | 12 | 14 | 15 | -0.108717 | 1179.775 |
| 2799 | 11 | 12 | 15 | 16 | -0.052475 | 1179.775 |
| 2800 | 11 | 12 | 16 | 17 | -0.024241 | 1179.775 |

| Dati Geolettrici_Misura 8 27 Novembre 2025 | | | | | | |
|--|--------|--------|--------|--------|-----------|----------|
| Misura n. | Elec_A | Elec_B | Elec_M | Elec_N | V/I(ohm) | I(mA) |
| 2801 | 11 | 12 | 17 | 18 | -0.017068 | 1179.775 |
| 2802 | 11 | 12 | 18 | 19 | -0.012855 | 1179.775 |
| 2803 | 11 | 13 | 19 | 21 | -0.037193 | 1132.008 |
| 2804 | 11 | 13 | 21 | 23 | -0.0171 | 1132.008 |
| 2805 | 11 | 13 | 23 | 25 | -0.007115 | 1132.008 |
| 2806 | 11 | 13 | 25 | 20 | 0.037385 | 1132.008 |
| 2807 | 11 | 13 | 20 | 22 | -0.023804 | 1132.008 |
| 2808 | 11 | 13 | 22 | 24 | -0.011385 | 1132.008 |
| 2809 | 11 | 13 | 24 | 26 | 0.00336 | 1132.008 |
| 2810 | 11 | 14 | 25 | 28 | 0.044299 | 364.592 |
| 2811 | 11 | 14 | 28 | 31 | 0.094591 | 364.592 |
| 2812 | 11 | 14 | 31 | 26 | -0.127555 | 364.592 |
| 2813 | 11 | 14 | 26 | 29 | 0.061364 | 364.592 |
| 2814 | 11 | 14 | 29 | 32 | 0.111064 | 364.592 |
| 2815 | 11 | 14 | 32 | 27 | -0.157781 | 364.592 |
| 2816 | 11 | 14 | 27 | 30 | 0.077309 | 364.592 |
| 2817 | 11 | 15 | 34 | 38 | -0.68775 | 352.571 |
| 2818 | 11 | 15 | 38 | 31 | 0.791089 | 352.571 |
| 2819 | 11 | 15 | 31 | 35 | -0.311859 | 352.571 |
| 2820 | 11 | 15 | 35 | 39 | -0.458617 | 352.571 |
| 2821 | 11 | 15 | 39 | 32 | 0.827003 | 352.571 |
| 2822 | 11 | 15 | 32 | 36 | -0.575226 | 352.571 |
| 2823 | 11 | 15 | 36 | 33 | 0.561848 | 352.571 |
| 2824 | 11 | 15 | 33 | 37 | -0.752779 | 352.571 |
| 2825 | 11 | 16 | 37 | 42 | 0.118247 | 156.297 |
| 2826 | 11 | 16 | 42 | 38 | -0.189754 | 156.297 |
| 2827 | 11 | 16 | 38 | 43 | 0.217113 | 156.297 |
| 2828 | 11 | 16 | 43 | 39 | -0.186766 | 156.297 |
| 2829 | 11 | 16 | 39 | 44 | 0.210669 | 156.297 |
| 2830 | 11 | 16 | 44 | 40 | -0.139051 | 156.297 |
| 2831 | 11 | 16 | 40 | 45 | 0.158248 | 156.297 |
| 2832 | 11 | 16 | 45 | 41 | -0.107507 | 156.297 |
| 2833 | 11 | 16 | 41 | 46 | 0.121749 | 156.297 |
| 2834 | 11 | 17 | 42 | 48 | 0.112177 | 147.268 |
| 2835 | 12 | 13 | 14 | 15 | -0.253527 | 1087.618 |
| 2836 | 12 | 13 | 15 | 16 | -0.108186 | 1087.618 |
| 2837 | 12 | 13 | 16 | 17 | -0.043128 | 1087.618 |
| 2838 | 12 | 13 | 17 | 18 | -0.030587 | 1087.618 |
| 2839 | 12 | 13 | 18 | 19 | -0.020752 | 1087.618 |
| 2840 | 12 | 13 | 19 | 20 | -0.014079 | 1087.618 |
| 2841 | 12 | 14 | 20 | 22 | -0.038953 | 1105.144 |
| 2842 | 12 | 14 | 22 | 24 | -0.018175 | 1105.144 |
| 2843 | 12 | 14 | 24 | 26 | 0.006 | 1105.144 |
| 2844 | 12 | 14 | 26 | 21 | 0.045288 | 1105.144 |
| 2845 | 12 | 14 | 21 | 23 | -0.042015 | 1105.144 |
| 2846 | 12 | 14 | 23 | 25 | -0.012411 | 1105.144 |
| 2847 | 12 | 14 | 25 | 27 | 0.020785 | 1105.144 |
| 2848 | 12 | 15 | 26 | 29 | 0.096807 | 226.22 |
| 2849 | 12 | 15 | 29 | 32 | 0.142676 | 226.22 |
| 2850 | 12 | 15 | 32 | 27 | -0.216322 | 226.22 |
| 2851 | 12 | 15 | 27 | 30 | 0.12091 | 226.22 |
| 2852 | 12 | 15 | 30 | 33 | 0.07111 | 226.22 |
| 2853 | 12 | 15 | 33 | 28 | -0.163143 | 226.22 |
| 2854 | 12 | 15 | 28 | 31 | 0.141194 | 226.22 |
| 2855 | 12 | 16 | 31 | 35 | -0.586695 | 1172.283 |
| 2856 | 12 | 16 | 35 | 39 | -0.230986 | 1172.283 |

| Dati Geolettrici_Misura 8 27 Novembre 2025 | | | | | | |
|--|--------|--------|--------|--------|-----------|----------|
| Misura n. | Elec_A | Elec_B | Elec_M | Elec_N | V/I(ohm) | I(mA) |
| 2857 | 12 | 16 | 39 | 32 | 0.829135 | 1172.283 |
| 2858 | 12 | 16 | 32 | 36 | -0.767797 | 1172.283 |
| 2859 | 12 | 16 | 40 | 33 | 0.656259 | 1172.283 |
| 2860 | 12 | 16 | 33 | 37 | -0.756273 | 1172.283 |
| 2861 | 12 | 16 | 37 | 34 | 0.512453 | 1172.283 |
| 2862 | 12 | 16 | 34 | 38 | -0.510861 | 1172.283 |
| 2863 | 12 | 17 | 38 | 43 | 0.198213 | 251.029 |
| 2864 | 12 | 17 | 43 | 39 | -0.146976 | 251.029 |
| 2865 | 12 | 17 | 39 | 44 | 0.165119 | 251.029 |
| 2866 | 12 | 17 | 44 | 40 | -0.105728 | 251.029 |
| 2867 | 12 | 17 | 40 | 45 | 0.120293 | 251.029 |
| 2868 | 12 | 17 | 45 | 41 | -0.081279 | 251.029 |
| 2869 | 12 | 17 | 41 | 46 | 0.092534 | 251.029 |
| 2870 | 12 | 17 | 46 | 42 | -0.064693 | 251.029 |
| 2871 | 12 | 17 | 42 | 47 | 0.072217 | 251.029 |
| 2872 | 13 | 14 | 15 | 16 | -0.332958 | 1066.813 |
| 2873 | 13 | 14 | 16 | 17 | -0.060196 | 1066.813 |
| 2874 | 13 | 14 | 17 | 18 | -0.071554 | 1066.813 |
| 2875 | 13 | 14 | 18 | 19 | -0.062372 | 1066.813 |
| 2876 | 13 | 14 | 19 | 20 | -0.027375 | 1066.813 |
| 2877 | 13 | 15 | 21 | 23 | -0.062103 | 1032.729 |
| 2878 | 13 | 15 | 23 | 25 | -0.019405 | 1032.729 |
| 2879 | 13 | 15 | 25 | 27 | 0.033506 | 1032.729 |
| 2880 | 13 | 15 | 22 | 24 | -0.028077 | 1032.729 |
| 2881 | 13 | 15 | 24 | 26 | 0.009191 | 1032.729 |
| 2882 | 13 | 15 | 26 | 28 | 0.042023 | 1032.729 |
| 2883 | 13 | 16 | 27 | 30 | 0.157245 | 600.733 |
| 2884 | 13 | 16 | 30 | 33 | -0.092083 | 600.733 |
| 2885 | 13 | 16 | 33 | 28 | -0.026149 | 600.733 |
| 2886 | 13 | 16 | 28 | 31 | 0.161533 | 600.733 |
| 2887 | 13 | 16 | 31 | 34 | -0.378733 | 600.733 |
| 2888 | 13 | 16 | 34 | 29 | 0.276903 | 600.733 |
| 2889 | 13 | 16 | 29 | 32 | 0.098474 | 600.733 |
| 2890 | 13 | 17 | 32 | 36 | -0.734199 | 480.896 |
| 2891 | 13 | 17 | 36 | 40 | 0.087451 | 480.896 |
| 2892 | 13 | 17 | 40 | 33 | 0.438307 | 480.896 |
| 2893 | 13 | 17 | 33 | 37 | -0.553115 | 480.896 |
| 2894 | 13 | 17 | 37 | 41 | 0.141122 | 480.896 |
| 2895 | 13 | 17 | 34 | 38 | -0.26507 | 480.896 |
| 2896 | 13 | 18 | 39 | 44 | 0.128006 | 387.494 |
| 2897 | 13 | 18 | 44 | 40 | -0.082334 | 387.494 |
| 2898 | 13 | 18 | 40 | 45 | 0.093986 | 387.494 |
| 2899 | 13 | 18 | 45 | 41 | -0.064109 | 387.494 |
| 2900 | 13 | 18 | 41 | 46 | 0.073339 | 387.494 |
| 2901 | 13 | 18 | 46 | 42 | -0.052006 | 387.494 |
| 2902 | 13 | 18 | 42 | 47 | 0.058427 | 387.494 |
| 2903 | 13 | 18 | 47 | 43 | -0.041688 | 387.494 |
| 2904 | 13 | 18 | 43 | 48 | 0.046128 | 387.494 |
| 2905 | 14 | 15 | 16 | 17 | -0.324528 | 1014.03 |
| 2906 | 14 | 15 | 17 | 18 | -0.110883 | 1014.03 |
| 2907 | 14 | 15 | 18 | 19 | -0.063779 | 1014.03 |
| 2908 | 14 | 15 | 19 | 20 | -0.04589 | 1014.03 |
| 2909 | 14 | 15 | 20 | 21 | -0.02517 | 1014.03 |
| 2910 | 14 | 15 | 21 | 22 | -0.015757 | 1014.03 |
| 2911 | 14 | 16 | 22 | 24 | -0.035094 | 1103.899 |
| 2912 | 14 | 16 | 24 | 26 | 0.010029 | 1103.899 |

| Dati Geolettrici_Misura 8 27 Novembre 2025 | | | | | | |
|--|--------|--------|--------|--------|-----------|----------|
| Misura n. | Elec_A | Elec_B | Elec_M | Elec_N | V/I(ohm) | I(mA) |
| 2913 | 14 | 16 | 26 | 28 | 0.053787 | 1103.899 |
| 2914 | 14 | 16 | 28 | 23 | -0.052662 | 1103.899 |
| 2915 | 14 | 16 | 23 | 25 | -0.019781 | 1103.899 |
| 2916 | 14 | 16 | 25 | 27 | 0.042503 | 1103.899 |
| 2917 | 14 | 16 | 27 | 29 | 0.075438 | 1103.899 |
| 2918 | 14 | 17 | 28 | 31 | 0.094473 | 179.611 |
| 2919 | 14 | 17 | 31 | 34 | -0.552863 | 179.611 |
| 2920 | 14 | 17 | 34 | 29 | 0.522702 | 179.611 |
| 2921 | 14 | 17 | 29 | 32 | -0.090323 | 179.611 |
| 2922 | 14 | 17 | 32 | 35 | -0.537627 | 179.611 |
| 2923 | 14 | 17 | 35 | 30 | 0.67459 | 179.611 |
| 2924 | 14 | 17 | 30 | 33 | -0.352143 | 179.611 |
| 2925 | 14 | 18 | 33 | 37 | -0.254344 | 709.53 |
| 2926 | 14 | 18 | 37 | 41 | 0.123215 | 709.53 |
| 2927 | 14 | 18 | 41 | 34 | -0.065293 | 709.53 |
| 2928 | 14 | 18 | 38 | 42 | 0.102917 | 709.53 |
| 2929 | 14 | 18 | 42 | 35 | -0.161233 | 709.53 |
| 2930 | 14 | 18 | 35 | 39 | 0.093416 | 709.53 |
| 2931 | 14 | 18 | 39 | 36 | -0.081521 | 709.53 |
| 2932 | 14 | 18 | 36 | 40 | 0.113416 | 709.53 |
| 2933 | 14 | 19 | 40 | 45 | 0.077413 | 441.673 |
| 2934 | 14 | 19 | 45 | 41 | -0.053457 | 441.673 |
| 2935 | 14 | 19 | 41 | 46 | 0.061004 | 441.673 |
| 2936 | 14 | 19 | 46 | 42 | -0.043992 | 441.673 |
| 2937 | 14 | 19 | 42 | 47 | 0.049936 | 441.673 |
| 2938 | 14 | 19 | 47 | 43 | -0.035506 | 441.673 |
| 2939 | 14 | 19 | 43 | 48 | 0.038457 | 441.673 |
| 2940 | 15 | 16 | 17 | 18 | -0.287014 | 1059.293 |
| 2941 | 15 | 16 | 18 | 19 | -0.127354 | 1059.293 |
| 2942 | 15 | 16 | 19 | 20 | -0.065602 | 1059.293 |
| 2943 | 15 | 16 | 20 | 21 | -0.055678 | 1059.293 |
| 2944 | 15 | 16 | 22 | 23 | -0.014379 | 1059.293 |
| 2945 | 15 | 17 | 23 | 25 | -0.025673 | 994.427 |
| 2946 | 15 | 17 | 25 | 27 | 0.044783 | 994.427 |
| 2947 | 15 | 17 | 27 | 29 | 0.073218 | 994.427 |
| 2948 | 15 | 17 | 29 | 24 | -0.105369 | 994.427 |
| 2949 | 15 | 17 | 24 | 26 | 0.006928 | 994.427 |
| 2950 | 15 | 17 | 26 | 28 | 0.056351 | 994.427 |
| 2951 | 15 | 17 | 28 | 30 | 0.065806 | 994.427 |
| 2952 | 15 | 18 | 29 | 32 | -0.395862 | 492.799 |
| 2953 | 15 | 18 | 32 | 35 | -0.271645 | 492.799 |
| 2954 | 15 | 18 | 35 | 30 | 0.647845 | 492.799 |
| 2955 | 15 | 18 | 30 | 33 | -0.57487 | 492.799 |
| 2956 | 15 | 18 | 33 | 36 | -0.032559 | 492.799 |
| 2957 | 15 | 18 | 36 | 31 | 0.466093 | 492.799 |
| 2958 | 15 | 18 | 31 | 34 | -0.515682 | 492.799 |
| 2959 | 15 | 19 | 34 | 38 | 0.135186 | 252.824 |
| 2960 | 15 | 19 | 38 | 42 | 0.07737 | 252.824 |
| 2961 | 15 | 19 | 42 | 35 | -0.18261 | 252.824 |
| 2962 | 15 | 19 | 35 | 39 | 0.131706 | 252.824 |
| 2963 | 15 | 19 | 39 | 43 | 0.061098 | 252.824 |
| 2964 | 15 | 19 | 43 | 36 | -0.137142 | 252.824 |
| 2965 | 15 | 19 | 36 | 40 | 0.099755 | 252.824 |
| 2966 | 15 | 19 | 40 | 37 | -0.079147 | 252.824 |
| 2967 | 15 | 19 | 37 | 41 | 0.095162 | 252.824 |
| 2968 | 15 | 20 | 41 | 46 | 0.048935 | 544.073 |

| Dati Geolettrici_Misura 8 27 Novembre 2025 | | | | | | |
|--|--------|--------|--------|--------|-----------|----------|
| Misura n. | Elec_A | Elec_B | Elec_M | Elec_N | V/I(ohm) | I(mA) |
| 2969 | 15 | 20 | 46 | 42 | -0.035795 | 544.073 |
| 2970 | 15 | 20 | 42 | 47 | 0.041259 | 544.073 |
| 2971 | 15 | 20 | 47 | 43 | -0.029168 | 544.073 |
| 2972 | 15 | 20 | 43 | 48 | 0.031035 | 544.073 |
| 2973 | 16 | 17 | 18 | 19 | -0.298204 | 1064.681 |
| 2974 | 16 | 17 | 19 | 20 | -0.116794 | 1064.681 |
| 2975 | 16 | 17 | 20 | 21 | -0.051576 | 1064.681 |
| 2976 | 16 | 17 | 21 | 22 | -0.024056 | 1064.681 |
| 2977 | 16 | 17 | 22 | 23 | -0.015611 | 1064.681 |
| 2978 | 16 | 17 | 23 | 24 | -0.00872 | 1064.681 |
| 2979 | 16 | 18 | 24 | 26 | 0.000481 | 952.851 |
| 2980 | 16 | 18 | 26 | 28 | 0.060029 | 952.851 |
| 2981 | 16 | 18 | 30 | 25 | -0.063758 | 952.851 |
| 2982 | 16 | 18 | 25 | 27 | 0.05193 | 952.851 |
| 2983 | 16 | 18 | 27 | 29 | 0.052259 | 952.851 |
| 2984 | 16 | 18 | 29 | 31 | -0.186394 | 952.851 |
| 2985 | 16 | 19 | 30 | 33 | -0.578219 | 722.194 |
| 2986 | 16 | 19 | 33 | 36 | 0.140625 | 722.194 |
| 2987 | 16 | 19 | 36 | 31 | 0.194059 | 722.194 |
| 2988 | 16 | 19 | 31 | 34 | -0.302467 | 722.194 |
| 2989 | 16 | 19 | 34 | 37 | 0.124404 | 722.194 |
| 2990 | 16 | 19 | 37 | 32 | -0.061409 | 722.194 |
| 2991 | 16 | 19 | 32 | 35 | -0.004701 | 722.194 |
| 2992 | 16 | 20 | 35 | 39 | 0.127486 | 418.701 |
| 2993 | 16 | 20 | 39 | 43 | 0.049712 | 418.701 |
| 2994 | 16 | 20 | 43 | 36 | -0.114042 | 418.701 |
| 2995 | 16 | 20 | 36 | 40 | 0.083092 | 418.701 |
| 2996 | 16 | 20 | 40 | 44 | 0.03807 | 418.701 |
| 2997 | 16 | 20 | 44 | 37 | -0.101146 | 418.701 |
| 2998 | 16 | 20 | 37 | 41 | 0.07605 | 418.701 |
| 2999 | 16 | 20 | 41 | 38 | -0.052632 | 418.701 |
| 3000 | 16 | 20 | 38 | 42 | 0.0618 | 418.701 |
| 3001 | 16 | 21 | 42 | 47 | 0.034398 | 656.702 |
| 3002 | 16 | 21 | 47 | 43 | -0.02424 | 656.702 |
| 3003 | 16 | 21 | 43 | 48 | 0.025631 | 656.702 |
| 3004 | 17 | 18 | 19 | 20 | -0.340622 | 895.945 |
| 3005 | 17 | 18 | 20 | 21 | -0.107154 | 895.945 |
| 3006 | 17 | 18 | 21 | 22 | -0.050241 | 895.945 |
| 3007 | 17 | 18 | 22 | 23 | -0.026125 | 895.945 |
| 3008 | 17 | 18 | 23 | 24 | -0.014862 | 895.945 |
| 3009 | 17 | 18 | 24 | 25 | -0.014872 | 895.945 |
| 3010 | 17 | 19 | 25 | 27 | 0.063267 | 430.821 |
| 3011 | 17 | 19 | 29 | 31 | -0.356608 | 430.821 |
| 3012 | 17 | 19 | 31 | 26 | 0.358797 | 430.821 |
| 3013 | 17 | 19 | 26 | 28 | 0.051496 | 430.821 |
| 3014 | 17 | 19 | 28 | 30 | -0.208461 | 430.821 |
| 3015 | 17 | 19 | 30 | 32 | -0.344685 | 430.821 |
| 3016 | 17 | 20 | 31 | 34 | -0.068055 | 237.841 |
| 3017 | 17 | 20 | 34 | 37 | 0.12443 | 237.841 |
| 3018 | 17 | 20 | 37 | 32 | -0.194101 | 237.841 |
| 3019 | 17 | 20 | 32 | 35 | 0.1327 | 237.841 |
| 3020 | 17 | 20 | 35 | 38 | 0.077776 | 237.841 |
| 3021 | 17 | 20 | 38 | 33 | -0.209469 | 237.841 |
| 3022 | 17 | 20 | 33 | 36 | 0.17874 | 237.841 |
| 3023 | 17 | 21 | 36 | 40 | 0.07024 | 579.929 |
| 3024 | 17 | 21 | 40 | 44 | 0.032989 | 579.929 |

| Dati Geolettrici_Misura 8 27 Novembre 2025 | | | | | | |
|--|--------|--------|--------|--------|-----------|---------|
| Misura n. | Elec_A | Elec_B | Elec_M | Elec_N | V/I(ohm) | I(mA) |
| 3025 | 17 | 21 | 44 | 37 | -0.085953 | 579.929 |
| 3026 | 17 | 21 | 37 | 41 | 0.0641 | 579.929 |
| 3027 | 17 | 21 | 41 | 45 | 0.026998 | 579.929 |
| 3028 | 17 | 21 | 45 | 38 | -0.071429 | 579.929 |
| 3029 | 17 | 21 | 38 | 42 | 0.052405 | 579.929 |
| 3030 | 17 | 21 | 42 | 39 | -0.034889 | 579.929 |
| 3031 | 17 | 21 | 39 | 43 | 0.042589 | 579.929 |
| 3032 | 17 | 22 | 43 | 48 | 0.022415 | 692.187 |
| 3033 | 18 | 19 | 20 | 21 | -0.294671 | 648.897 |
| 3034 | 18 | 19 | 21 | 22 | -0.122002 | 648.897 |
| 3035 | 18 | 19 | 22 | 23 | -0.047171 | 648.897 |
| 3036 | 18 | 19 | 23 | 24 | -0.026315 | 648.897 |
| 3037 | 18 | 19 | 24 | 25 | -0.026963 | 648.897 |
| 3038 | 18 | 19 | 25 | 26 | 0.017023 | 648.897 |
| 3039 | 18 | 20 | 28 | 30 | -0.415485 | 838.99 |
| 3040 | 18 | 20 | 30 | 32 | -0.166793 | 838.99 |
| 3041 | 18 | 20 | 32 | 27 | 0.631725 | 838.99 |
| 3042 | 18 | 20 | 27 | 29 | -0.247668 | 838.99 |
| 3043 | 18 | 20 | 29 | 31 | -0.34915 | 838.99 |
| 3044 | 18 | 21 | 32 | 35 | 0.164777 | 421.056 |
| 3045 | 18 | 21 | 35 | 38 | 0.062527 | 421.056 |
| 3046 | 18 | 21 | 38 | 33 | -0.181324 | 421.056 |
| 3047 | 18 | 21 | 33 | 36 | 0.156648 | 421.056 |
| 3048 | 18 | 21 | 36 | 39 | 0.036482 | 421.056 |
| 3049 | 18 | 21 | 39 | 34 | -0.12677 | 421.056 |
| 3050 | 18 | 21 | 34 | 37 | 0.101795 | 421.056 |
| 3051 | 18 | 22 | 37 | 41 | 0.050236 | 853.265 |
| 3052 | 18 | 22 | 41 | 45 | 0.022593 | 853.265 |
| 3053 | 18 | 22 | 45 | 38 | -0.057609 | 853.265 |
| 3054 | 18 | 22 | 38 | 42 | 0.041568 | 853.265 |
| 3055 | 18 | 22 | 42 | 46 | 0.018316 | 853.265 |
| 3056 | 18 | 22 | 46 | 39 | -0.046202 | 853.265 |
| 3057 | 18 | 22 | 39 | 43 | 0.03429 | 853.265 |
| 3058 | 18 | 22 | 43 | 40 | -0.021889 | 853.265 |
| 3059 | 18 | 22 | 40 | 44 | 0.027115 | 853.265 |
| 3060 | 19 | 20 | 21 | 22 | -0.298536 | 655.365 |
| 3061 | 19 | 20 | 22 | 23 | -0.10812 | 655.365 |
| 3062 | 19 | 20 | 23 | 24 | -0.044536 | 655.365 |
| 3063 | 19 | 20 | 24 | 25 | -0.061819 | 655.365 |
| 3064 | 19 | 20 | 25 | 26 | 0.015584 | 655.365 |
| 3065 | 19 | 21 | 27 | 29 | -0.408657 | 658.375 |
| 3066 | 19 | 21 | 29 | 31 | -0.151834 | 658.375 |
| 3067 | 19 | 21 | 31 | 33 | 0.063836 | 658.375 |
| 3068 | 19 | 21 | 33 | 28 | 0.335357 | 658.375 |
| 3069 | 19 | 21 | 28 | 30 | -0.378145 | 658.375 |
| 3070 | 19 | 21 | 30 | 32 | 0.004368 | 658.375 |
| 3071 | 19 | 21 | 32 | 34 | 0.079974 | 658.375 |
| 3072 | 19 | 22 | 33 | 36 | 0.122835 | 565.006 |
| 3073 | 19 | 22 | 36 | 39 | 0.027752 | 565.006 |
| 3074 | 19 | 22 | 39 | 34 | -0.097143 | 565.006 |
| 3075 | 19 | 22 | 34 | 37 | 0.078142 | 565.006 |
| 3076 | 19 | 22 | 37 | 40 | 0.027154 | 565.006 |
| 3077 | 19 | 22 | 40 | 35 | -0.064836 | 565.006 |
| 3078 | 19 | 22 | 35 | 38 | 0.047701 | 565.006 |
| 3079 | 19 | 23 | 38 | 42 | 0.032122 | 605.941 |
| 3080 | 19 | 23 | 42 | 46 | 0.014647 | 605.941 |

| Dati Geolettrici_Misura 8 27 Novembre 2025 | | | | | | |
|--|--------|--------|--------|--------|-----------|----------|
| Misura n. | Elec_A | Elec_B | Elec_M | Elec_N | V/I(ohm) | I(mA) |
| 3081 | 19 | 23 | 46 | 39 | -0.036327 | 605.941 |
| 3082 | 19 | 23 | 39 | 43 | 0.02682 | 605.941 |
| 3083 | 19 | 23 | 43 | 47 | 0.012392 | 605.941 |
| 3084 | 19 | 23 | 47 | 40 | -0.029677 | 605.941 |
| 3085 | 19 | 23 | 40 | 44 | 0.021509 | 605.941 |
| 3086 | 19 | 23 | 44 | 41 | -0.014523 | 605.941 |
| 3087 | 19 | 23 | 41 | 45 | 0.018047 | 605.941 |
| 3088 | 20 | 21 | 22 | 23 | -0.234733 | 844.399 |
| 3089 | 20 | 21 | 23 | 24 | -0.088056 | 844.399 |
| 3090 | 20 | 21 | 24 | 25 | -0.111935 | 844.399 |
| 3091 | 20 | 21 | 26 | 27 | -0.057047 | 844.399 |
| 3092 | 20 | 21 | 27 | 28 | -0.10958 | 844.399 |
| 3093 | 20 | 22 | 28 | 30 | -0.14872 | 894.705 |
| 3094 | 20 | 22 | 30 | 32 | 0.067612 | 894.705 |
| 3095 | 20 | 22 | 32 | 34 | 0.061876 | 894.705 |
| 3096 | 20 | 22 | 34 | 29 | -0.113714 | 894.705 |
| 3097 | 20 | 22 | 29 | 31 | 0.015067 | 894.705 |
| 3098 | 20 | 22 | 31 | 33 | 0.068784 | 894.705 |
| 3099 | 20 | 22 | 33 | 35 | 0.052102 | 894.705 |
| 3100 | 20 | 23 | 34 | 37 | 0.054489 | 754.797 |
| 3101 | 20 | 23 | 37 | 40 | 0.019294 | 754.797 |
| 3102 | 20 | 23 | 40 | 35 | -0.045696 | 754.797 |
| 3103 | 20 | 23 | 35 | 38 | 0.033477 | 754.797 |
| 3104 | 20 | 23 | 38 | 41 | 0.016541 | 754.797 |
| 3105 | 20 | 23 | 41 | 36 | -0.029784 | 754.797 |
| 3106 | 20 | 23 | 36 | 39 | 0.01962 | 754.797 |
| 3107 | 20 | 24 | 39 | 43 | 0.019344 | 1011.961 |
| 3108 | 20 | 24 | 43 | 47 | 0.009318 | 1011.961 |
| 3109 | 20 | 24 | 47 | 40 | -0.021925 | 1011.961 |
| 3110 | 20 | 24 | 40 | 44 | 0.01578 | 1011.961 |
| 3111 | 20 | 24 | 44 | 48 | 0.00711 | 1011.961 |
| 3112 | 20 | 24 | 48 | 41 | -0.017851 | 1011.961 |
| 3113 | 20 | 24 | 41 | 45 | 0.01337 | 1011.961 |
| 3114 | 20 | 24 | 45 | 42 | -0.009552 | 1011.961 |
| 3115 | 20 | 24 | 42 | 46 | 0.010894 | 1011.961 |
| 3116 | 21 | 22 | 23 | 24 | -0.176111 | 534.559 |
| 3117 | 21 | 22 | 24 | 25 | -0.221062 | 534.559 |
| 3118 | 21 | 22 | 25 | 26 | -0.053011 | 534.559 |
| 3119 | 21 | 22 | 26 | 27 | -0.109472 | 534.559 |
| 3120 | 21 | 22 | 27 | 28 | -0.089273 | 534.559 |
| 3121 | 21 | 22 | 28 | 29 | -0.028146 | 534.559 |
| 3122 | 21 | 23 | 29 | 31 | 0.050183 | 603.524 |
| 3123 | 21 | 23 | 31 | 33 | 0.048873 | 603.524 |
| 3124 | 21 | 23 | 33 | 35 | 0.034627 | 603.524 |
| 3125 | 21 | 23 | 35 | 30 | -0.113726 | 603.524 |
| 3126 | 21 | 23 | 30 | 32 | 0.057399 | 603.524 |
| 3127 | 21 | 23 | 32 | 34 | 0.041509 | 603.524 |
| 3128 | 21 | 23 | 34 | 36 | 0.025529 | 603.524 |
| 3129 | 21 | 24 | 35 | 38 | 0.022529 | 998.875 |
| 3130 | 21 | 24 | 38 | 41 | 0.011678 | 998.875 |
| 3131 | 21 | 24 | 41 | 36 | -0.020896 | 998.875 |
| 3132 | 21 | 24 | 36 | 39 | 0.013715 | 998.875 |
| 3133 | 21 | 24 | 39 | 42 | 0.009546 | 998.875 |
| 3134 | 21 | 24 | 42 | 37 | -0.018866 | 998.875 |
| 3135 | 21 | 24 | 37 | 40 | 0.013421 | 998.875 |
| 3136 | 21 | 25 | 40 | 44 | 0.007063 | 978.683 |

| Dati Geolettrici_Misura 8 27 Novembre 2025 | | | | | | |
|--|--------|--------|--------|--------|-----------|----------|
| Misura n. | Elec_A | Elec_B | Elec_M | Elec_N | V/I(ohm) | I(mA) |
| 3137 | 21 | 25 | 44 | 48 | 0.004002 | 978.683 |
| 3138 | 21 | 25 | 48 | 41 | -0.008778 | 978.683 |
| 3139 | 21 | 25 | 41 | 45 | 0.006021 | 978.683 |
| 3140 | 21 | 25 | 45 | 42 | -0.004548 | 978.683 |
| 3141 | 21 | 25 | 42 | 46 | 0.005325 | 978.683 |
| 3142 | 21 | 25 | 46 | 43 | -0.003505 | 978.683 |
| 3143 | 21 | 25 | 43 | 47 | 0.005823 | 978.683 |
| 3144 | 22 | 23 | 24 | 25 | -0.59352 | 779.595 |
| 3145 | 22 | 23 | 25 | 26 | -0.106231 | 779.595 |
| 3146 | 22 | 23 | 26 | 27 | -0.099757 | 779.595 |
| 3147 | 22 | 23 | 27 | 28 | -0.037603 | 779.595 |
| 3148 | 22 | 23 | 28 | 29 | 0.00122 | 779.595 |
| 3149 | 22 | 23 | 29 | 30 | 0.011066 | 779.595 |
| 3150 | 22 | 24 | 30 | 32 | 0.035949 | 1055.026 |
| 3151 | 22 | 24 | 32 | 34 | 0.025919 | 1055.026 |
| 3152 | 22 | 24 | 34 | 36 | 0.01647 | 1055.026 |
| 3153 | 22 | 24 | 36 | 31 | -0.059134 | 1055.026 |
| 3154 | 22 | 24 | 31 | 33 | 0.030163 | 1055.026 |
| 3155 | 22 | 24 | 33 | 35 | 0.021921 | 1055.026 |
| 3156 | 22 | 24 | 35 | 37 | 0.009531 | 1055.026 |
| 3157 | 22 | 25 | 40 | 43 | 0.002213 | 1025.538 |
| 3158 | 22 | 26 | 42 | 46 | 0.000175 | 891.222 |
| 3159 | 22 | 26 | 46 | 43 | -0.000343 | 891.222 |
| 3160 | 22 | 26 | 43 | 47 | 0.000336 | 891.222 |
| 3161 | 22 | 26 | 47 | 44 | -0.000486 | 891.222 |
| 3162 | 22 | 26 | 44 | 48 | 0.000611 | 891.222 |
| 3163 | 23 | 24 | 25 | 26 | -0.094913 | 850.875 |
| 3164 | 23 | 24 | 28 | 29 | 0.004738 | 850.875 |
| 3165 | 23 | 24 | 29 | 30 | 0.006794 | 850.875 |
| 3166 | 23 | 24 | 30 | 31 | 0.00688 | 850.875 |
| 3167 | 23 | 25 | 31 | 33 | -0.021267 | 834.453 |
| 3168 | 23 | 25 | 33 | 35 | -0.006468 | 834.453 |
| 3169 | 23 | 25 | 35 | 37 | 0.013327 | 834.453 |
| 3170 | 23 | 25 | 32 | 34 | -0.013742 | 834.453 |
| 3171 | 23 | 26 | 37 | 40 | -0.006008 | 753.025 |
| 3172 | 23 | 26 | 40 | 43 | -0.00326 | 753.025 |
| 3173 | 23 | 26 | 43 | 38 | 0.006444 | 753.025 |
| 3174 | 23 | 26 | 38 | 41 | -0.004111 | 753.025 |
| 3175 | 23 | 26 | 41 | 44 | -0.003096 | 753.025 |
| 3176 | 23 | 26 | 44 | 39 | 0.00529 | 753.025 |
| 3177 | 23 | 26 | 39 | 42 | -0.003575 | 753.025 |
| 3178 | 23 | 27 | 42 | 46 | -0.005549 | 839.437 |
| 3179 | 23 | 27 | 46 | 43 | 0.003448 | 839.437 |
| 3180 | 23 | 27 | 43 | 47 | -0.004287 | 839.437 |
| 3181 | 23 | 27 | 47 | 44 | 0.002547 | 839.437 |
| 3182 | 23 | 27 | 44 | 48 | -0.0028 | 839.437 |
| 3183 | 24 | 25 | 26 | 27 | -0.416596 | 856.41 |
| 3184 | 24 | 25 | 27 | 28 | -0.155312 | 856.41 |
| 3185 | 24 | 25 | 28 | 29 | -0.086143 | 856.41 |
| 3186 | 24 | 25 | 29 | 30 | -0.042715 | 856.41 |
| 3187 | 24 | 25 | 30 | 31 | -0.030434 | 856.41 |
| 3188 | 24 | 25 | 31 | 32 | -0.017416 | 856.41 |
| 3189 | 24 | 26 | 32 | 34 | -0.048156 | 971.724 |
| 3190 | 24 | 26 | 34 | 36 | -0.027021 | 971.724 |
| 3191 | 24 | 26 | 36 | 38 | -0.007024 | 971.724 |
| 3192 | 24 | 26 | 38 | 33 | 0.054849 | 971.724 |

| Dati Geolettrici_Misura 8 27 Novembre 2025 | | | | | | |
|--|--------|--------|--------|--------|-----------|----------|
| Misura n. | Elec_A | Elec_B | Elec_M | Elec_N | V/I(ohm) | I(mA) |
| 3193 | 24 | 26 | 33 | 35 | -0.036442 | 971.724 |
| 3194 | 24 | 26 | 35 | 37 | -0.014436 | 971.724 |
| 3195 | 24 | 26 | 37 | 39 | -0.006949 | 971.724 |
| 3196 | 24 | 27 | 38 | 41 | -0.01281 | 1155.098 |
| 3197 | 24 | 27 | 41 | 44 | -0.007863 | 1155.098 |
| 3198 | 24 | 27 | 44 | 39 | 0.015376 | 1155.098 |
| 3199 | 24 | 27 | 39 | 42 | -0.010472 | 1155.098 |
| 3200 | 24 | 27 | 42 | 45 | -0.006564 | 1155.098 |
| 3201 | 24 | 27 | 45 | 40 | 0.012948 | 1155.098 |
| 3202 | 24 | 27 | 40 | 43 | -0.009069 | 1155.098 |
| 3203 | 24 | 28 | 43 | 47 | -0.008824 | 1110.425 |
| 3204 | 24 | 28 | 47 | 44 | 0.00544 | 1110.425 |
| 3205 | 24 | 28 | 44 | 48 | -0.006238 | 1110.425 |
| 3206 | 25 | 26 | 27 | 28 | -0.239749 | 944.828 |
| 3207 | 25 | 26 | 28 | 29 | -0.100028 | 944.828 |
| 3208 | 25 | 26 | 29 | 30 | -0.048399 | 944.828 |
| 3209 | 25 | 26 | 30 | 31 | -0.028134 | 944.828 |
| 3210 | 25 | 26 | 31 | 32 | -0.025779 | 944.828 |
| 3211 | 25 | 26 | 32 | 33 | -0.012543 | 944.828 |
| 3212 | 25 | 27 | 33 | 35 | -0.051058 | 1115.064 |
| 3213 | 25 | 27 | 35 | 37 | -0.035846 | 1115.064 |
| 3214 | 25 | 27 | 39 | 34 | 0.05568 | 1115.064 |
| 3215 | 25 | 27 | 34 | 36 | -0.055139 | 1115.064 |
| 3216 | 25 | 28 | 39 | 42 | -0.009159 | 1073.327 |
| 3217 | 25 | 28 | 42 | 45 | -0.008322 | 1073.327 |
| 3218 | 25 | 28 | 45 | 40 | 0.01645 | 1073.327 |
| 3219 | 25 | 28 | 40 | 43 | -0.01154 | 1073.327 |
| 3220 | 25 | 28 | 43 | 46 | -0.005733 | 1073.327 |
| 3221 | 25 | 28 | 46 | 41 | 0.012675 | 1073.327 |
| 3222 | 25 | 28 | 41 | 44 | -0.009801 | 1073.327 |
| 3223 | 25 | 29 | 44 | 48 | -0.008368 | 768.808 |
| 3224 | 26 | 27 | 28 | 29 | -0.276522 | 893.616 |
| 3225 | 26 | 27 | 29 | 30 | -0.094091 | 893.616 |
| 3226 | 26 | 27 | 30 | 31 | -0.051803 | 893.616 |
| 3227 | 26 | 27 | 31 | 32 | -0.034443 | 893.616 |
| 3228 | 26 | 27 | 32 | 33 | -0.021911 | 893.616 |
| 3229 | 26 | 27 | 33 | 34 | -0.01699 | 893.616 |
| 3230 | 26 | 28 | 34 | 36 | -0.048648 | 916.666 |
| 3231 | 26 | 28 | 36 | 38 | -0.011775 | 916.666 |
| 3232 | 26 | 28 | 38 | 40 | -0.009653 | 916.666 |
| 3233 | 26 | 28 | 40 | 35 | 0.041681 | 916.666 |
| 3234 | 26 | 28 | 35 | 37 | -0.019802 | 916.666 |
| 3235 | 26 | 28 | 37 | 39 | -0.017534 | 916.666 |
| 3236 | 26 | 28 | 39 | 41 | -0.008001 | 916.666 |
| 3237 | 26 | 29 | 40 | 43 | -0.015499 | 700.828 |
| 3238 | 26 | 29 | 43 | 46 | -0.007837 | 700.828 |
| 3239 | 26 | 29 | 46 | 41 | 0.016863 | 700.828 |
| 3240 | 26 | 29 | 41 | 44 | -0.012761 | 700.828 |
| 3241 | 26 | 29 | 47 | 42 | 0.008721 | 700.828 |
| 3242 | 26 | 29 | 42 | 45 | -0.011174 | 700.828 |
| 3243 | 27 | 28 | 29 | 30 | -0.23971 | 996.973 |
| 3244 | 27 | 28 | 30 | 31 | -0.096551 | 996.973 |
| 3245 | 27 | 28 | 31 | 32 | -0.05414 | 996.973 |
| 3246 | 27 | 28 | 32 | 33 | -0.031322 | 996.973 |
| 3247 | 27 | 28 | 33 | 34 | -0.022815 | 996.973 |
| 3248 | 27 | 28 | 34 | 35 | -0.015931 | 996.973 |

| Dati Geolettrici_Misura 8 27 Novembre 2025 | | | | | | |
|--|--------|--------|--------|--------|-----------|----------|
| Misura n. | Elec_A | Elec_B | Elec_M | Elec_N | V/I(ohm) | I(mA) |
| 3249 | 27 | 29 | 35 | 37 | -0.03775 | 761.863 |
| 3250 | 27 | 29 | 37 | 39 | -0.017415 | 761.863 |
| 3251 | 27 | 29 | 39 | 41 | -0.010959 | 761.863 |
| 3252 | 27 | 29 | 41 | 36 | 0.037894 | 761.863 |
| 3253 | 27 | 29 | 36 | 38 | -0.019189 | 761.863 |
| 3254 | 27 | 29 | 38 | 40 | -0.013927 | 761.863 |
| 3255 | 27 | 29 | 40 | 42 | -0.008307 | 761.863 |
| 3256 | 27 | 30 | 41 | 44 | -0.015334 | 1133.736 |
| 3257 | 27 | 30 | 42 | 45 | -0.013451 | 1133.736 |
| 3258 | 27 | 30 | 43 | 46 | -0.008111 | 1133.736 |
| 3259 | 28 | 29 | 30 | 31 | -0.302531 | 746.336 |
| 3260 | 28 | 29 | 31 | 32 | -0.125517 | 746.336 |
| 3261 | 28 | 29 | 32 | 33 | -0.061446 | 746.336 |
| 3262 | 28 | 29 | 33 | 34 | -0.040592 | 746.336 |
| 3263 | 28 | 29 | 34 | 35 | -0.026725 | 746.336 |
| 3264 | 28 | 29 | 35 | 36 | -0.017184 | 746.336 |
| 3265 | 28 | 30 | 36 | 38 | -0.027684 | 1080.361 |
| 3266 | 28 | 30 | 38 | 40 | -0.018854 | 1080.361 |
| 3267 | 28 | 30 | 40 | 42 | -0.010022 | 1080.361 |
| 3268 | 28 | 30 | 42 | 37 | 0.036579 | 1080.361 |
| 3269 | 28 | 30 | 37 | 39 | -0.017909 | 1080.361 |
| 3270 | 28 | 30 | 39 | 41 | -0.014457 | 1080.361 |
| 3271 | 28 | 30 | 41 | 43 | -0.008427 | 1080.361 |
| 3272 | 28 | 31 | 42 | 45 | -0.016025 | 974.174 |
| 3273 | 28 | 31 | 45 | 48 | -0.005128 | 974.174 |
| 3274 | 28 | 31 | 48 | 43 | 0.01423 | 974.174 |
| 3275 | 28 | 31 | 44 | 47 | -0.009484 | 974.174 |
| 3276 | 29 | 30 | 31 | 32 | -0.264798 | 769.456 |
| 3277 | 29 | 30 | 32 | 33 | -0.09842 | 769.456 |
| 3278 | 29 | 30 | 33 | 34 | -0.055469 | 769.456 |
| 3279 | 29 | 30 | 34 | 35 | -0.033695 | 769.456 |
| 3280 | 29 | 30 | 35 | 36 | -0.01874 | 769.456 |
| 3281 | 29 | 30 | 36 | 37 | -0.007678 | 769.456 |
| 3282 | 29 | 31 | 37 | 39 | -0.027074 | 728.72 |
| 3283 | 29 | 31 | 39 | 41 | -0.015454 | 728.72 |
| 3284 | 29 | 31 | 41 | 43 | -0.009715 | 728.72 |
| 3285 | 29 | 31 | 43 | 38 | 0.036893 | 728.72 |
| 3286 | 29 | 31 | 38 | 40 | -0.020608 | 728.72 |
| 3287 | 29 | 31 | 40 | 42 | -0.011273 | 728.72 |
| 3288 | 29 | 31 | 42 | 44 | -0.008248 | 728.72 |
| 3289 | 29 | 32 | 43 | 46 | -0.013194 | 784.134 |
| 3290 | 29 | 32 | 46 | 44 | 0.007586 | 784.134 |
| 3291 | 29 | 32 | 44 | 47 | -0.016953 | 784.134 |
| 3292 | 29 | 32 | 47 | 45 | 0.011746 | 784.134 |
| 3293 | 29 | 32 | 45 | 48 | -0.006617 | 784.134 |
| 3294 | 30 | 31 | 32 | 33 | -0.242878 | 1013.395 |
| 3295 | 30 | 31 | 33 | 34 | -0.100191 | 1013.395 |
| 3296 | 30 | 31 | 34 | 35 | -0.05271 | 1013.395 |
| 3297 | 30 | 31 | 35 | 36 | -0.033894 | 1013.395 |
| 3298 | 30 | 31 | 36 | 37 | -0.011679 | 1013.395 |
| 3299 | 30 | 31 | 37 | 38 | -0.007328 | 1013.395 |
| 3300 | 30 | 32 | 40 | 42 | -0.049619 | 1153.511 |
| 3301 | 30 | 32 | 42 | 44 | -0.010391 | 1153.511 |
| 3302 | 30 | 32 | 44 | 39 | 0.068495 | 1153.511 |
| 3303 | 30 | 32 | 39 | 41 | -0.040273 | 1153.511 |
| 3304 | 30 | 32 | 41 | 43 | -0.023953 | 1153.511 |

| Dati Geolettrici_Misura 8 27 Novembre 2025 | | | | | | |
|--|--------|--------|--------|--------|-----------|----------|
| Misura n. | Elec_A | Elec_B | Elec_M | Elec_N | V/I(ohm) | I(mA) |
| 3305 | 30 | 32 | 43 | 45 | -0.007876 | 1153.511 |
| 3306 | 30 | 33 | 44 | 47 | -0.029628 | 817.381 |
| 3307 | 30 | 33 | 47 | 45 | 0.024391 | 817.381 |
| 3308 | 30 | 33 | 45 | 48 | -0.130024 | 817.381 |
| 3309 | 31 | 32 | 33 | 34 | -0.272163 | 1012.164 |
| 3310 | 31 | 32 | 34 | 35 | -0.105288 | 1012.164 |
| 3311 | 31 | 32 | 35 | 36 | -0.047301 | 1012.164 |
| 3312 | 31 | 32 | 36 | 37 | -0.019841 | 1012.164 |
| 3313 | 31 | 32 | 37 | 38 | -0.017019 | 1012.164 |
| 3314 | 31 | 33 | 39 | 41 | -0.025106 | 983.535 |
| 3315 | 31 | 33 | 41 | 43 | -0.015509 | 983.535 |
| 3316 | 31 | 33 | 43 | 45 | -0.009505 | 983.535 |
| 3317 | 31 | 33 | 45 | 40 | 0.0341 | 983.535 |
| 3318 | 31 | 33 | 42 | 44 | -0.041878 | 983.535 |
| 3319 | 31 | 33 | 44 | 46 | -0.119204 | 983.535 |
| 3320 | 32 | 33 | 34 | 35 | -0.262684 | 783.117 |
| 3321 | 32 | 33 | 35 | 36 | -0.104358 | 783.117 |
| 3322 | 32 | 33 | 36 | 37 | -0.036344 | 783.117 |
| 3323 | 32 | 33 | 37 | 38 | -0.018575 | 783.117 |
| 3324 | 32 | 33 | 38 | 39 | -0.054771 | 783.117 |
| 3325 | 32 | 33 | 39 | 40 | -0.017027 | 783.117 |
| 3326 | 32 | 34 | 42 | 44 | -0.041402 | 1081.072 |
| 3327 | 32 | 34 | 44 | 46 | -0.009067 | 1081.072 |
| 3328 | 32 | 34 | 46 | 41 | 0.011993 | 1081.072 |
| 3329 | 32 | 34 | 43 | 45 | -0.010704 | 1081.072 |
| 3330 | 32 | 34 | 45 | 47 | -0.005787 | 1081.072 |
| 3331 | 33 | 34 | 35 | 36 | -0.283031 | 1035.522 |
| 3332 | 33 | 34 | 36 | 37 | -0.081255 | 1035.522 |
| 3333 | 33 | 34 | 37 | 38 | -0.037499 | 1035.522 |
| 3334 | 33 | 34 | 38 | 39 | -0.021212 | 1035.522 |
| 3335 | 33 | 34 | 39 | 40 | -0.012158 | 1035.522 |
| 3336 | 33 | 34 | 40 | 41 | -0.009405 | 1035.522 |
| 3337 | 33 | 35 | 41 | 43 | -0.013229 | 1123.944 |
| 3338 | 33 | 35 | 43 | 45 | -0.020212 | 1123.944 |
| 3339 | 33 | 35 | 45 | 47 | -0.006973 | 1123.944 |
| 3340 | 34 | 35 | 36 | 37 | -0.233569 | 1091.285 |
| 3341 | 34 | 35 | 37 | 38 | -0.077342 | 1091.285 |
| 3342 | 34 | 35 | 38 | 39 | -0.036081 | 1091.285 |
| 3343 | 34 | 35 | 39 | 40 | -0.019163 | 1091.285 |
| 3344 | 34 | 35 | 40 | 41 | -0.010723 | 1091.285 |
| 3345 | 34 | 35 | 41 | 42 | -0.027685 | 1091.285 |
| 3346 | 34 | 36 | 44 | 46 | -0.005381 | 1116.584 |
| 3347 | 34 | 36 | 46 | 48 | -0.165538 | 1116.584 |
| 3348 | 34 | 36 | 48 | 43 | 0.179818 | 1116.584 |
| 3349 | 34 | 36 | 43 | 45 | -0.016346 | 1116.584 |
| 3350 | 35 | 36 | 37 | 38 | -0.254797 | 1212.356 |
| 3351 | 35 | 36 | 38 | 39 | -0.085252 | 1212.356 |
| 3352 | 35 | 36 | 39 | 40 | -0.041265 | 1212.356 |
| 3353 | 35 | 36 | 40 | 41 | -0.018667 | 1212.356 |
| 3354 | 35 | 36 | 41 | 42 | -0.011839 | 1212.356 |
| 3355 | 35 | 36 | 42 | 43 | -0.012227 | 1212.356 |
| 3356 | 35 | 37 | 43 | 45 | -0.02719 | 998.126 |
| 3357 | 35 | 37 | 44 | 46 | -0.029016 | 998.126 |
| 3358 | 35 | 37 | 46 | 48 | -0.009209 | 998.126 |
| 3359 | 36 | 37 | 38 | 39 | -0.292934 | 1018.976 |
| 3360 | 36 | 37 | 39 | 40 | -0.102518 | 1018.976 |

| Dati Geolettrici_Misura 8 27 Novembre 2025 | | | | | | |
|--|--------|--------|--------|--------|-----------|----------|
| Misura n. | Elec_A | Elec_B | Elec_M | Elec_N | V/I(ohm) | I(mA) |
| 3361 | 36 | 37 | 40 | 41 | -0.051057 | 1018.976 |
| 3362 | 36 | 37 | 41 | 42 | -0.036497 | 1018.976 |
| 3363 | 36 | 37 | 42 | 43 | -0.010385 | 1018.976 |
| 3364 | 36 | 37 | 43 | 44 | -0.015237 | 1018.976 |
| 3365 | 36 | 38 | 44 | 46 | -0.041182 | 997.936 |
| 3366 | 36 | 38 | 46 | 48 | -0.011473 | 997.936 |
| 3367 | 36 | 38 | 48 | 45 | 0.032181 | 997.936 |
| 3368 | 36 | 38 | 45 | 47 | -0.029165 | 997.936 |
| 3369 | 37 | 38 | 39 | 40 | -0.275245 | 863.664 |
| 3370 | 37 | 38 | 40 | 41 | -0.091895 | 863.664 |
| 3371 | 37 | 38 | 41 | 42 | -0.040389 | 863.664 |
| 3372 | 37 | 38 | 42 | 43 | -0.02155 | 863.664 |
| 3373 | 37 | 38 | 43 | 44 | -0.023268 | 863.664 |
| 3374 | 37 | 38 | 44 | 45 | -0.011188 | 863.664 |
| 3375 | 37 | 39 | 45 | 47 | -0.044231 | 720.534 |
| 3376 | 37 | 39 | 47 | 46 | 0.028927 | 720.534 |
| 3377 | 37 | 39 | 46 | 48 | -0.022804 | 720.534 |
| 3378 | 38 | 39 | 40 | 41 | -0.293269 | 936.13 |
| 3379 | 38 | 39 | 41 | 42 | -0.12658 | 936.13 |
| 3380 | 38 | 39 | 42 | 43 | -0.040597 | 936.13 |
| 3381 | 38 | 39 | 43 | 44 | -0.017537 | 936.13 |
| 3382 | 38 | 39 | 44 | 45 | -0.014734 | 936.13 |
| 3383 | 38 | 39 | 45 | 46 | -0.006556 | 936.13 |
| 3384 | 38 | 40 | 46 | 48 | -0.023829 | 647.11 |
| 3385 | 39 | 40 | 41 | 42 | -0.139557 | 1136.047 |
| 3386 | 39 | 40 | 42 | 43 | -0.133531 | 1136.047 |
| 3387 | 39 | 40 | 43 | 44 | -0.039373 | 1136.047 |
| 3388 | 39 | 40 | 44 | 45 | -0.021343 | 1136.047 |
| 3389 | 39 | 40 | 45 | 46 | -0.009427 | 1136.047 |
| 3390 | 39 | 40 | 46 | 47 | -0.010314 | 1136.047 |
| 3391 | 40 | 41 | 42 | 43 | -0.245603 | 1160.034 |
| 3392 | 40 | 41 | 43 | 44 | -0.078627 | 1160.034 |
| 3393 | 40 | 41 | 44 | 45 | -0.034859 | 1160.034 |
| 3394 | 41 | 42 | 43 | 44 | -0.209505 | 272.904 |
| 3395 | 41 | 42 | 44 | 45 | -0.061664 | 272.904 |
| 3396 | 41 | 42 | 45 | 46 | -0.134022 | 272.904 |
| 3397 | 42 | 43 | 44 | 45 | -0.219752 | 1154.923 |
| 3398 | 42 | 43 | 45 | 46 | -0.129381 | 1154.923 |
| 3399 | 42 | 43 | 47 | 48 | -0.454284 | 1154.923 |
| 3400 | 43 | 44 | 45 | 46 | -0.221027 | 248.479 |
| 3401 | 43 | 44 | 46 | 47 | -0.056907 | 248.479 |
| 3402 | 44 | 45 | 46 | 47 | -0.198527 | 204.03 |
| 3403 | 44 | 45 | 47 | 48 | -0.070381 | 204.03 |
| 3404 | 45 | 46 | 47 | 48 | -0.177971 | 96.147 |
| 3405 | 1 | 2 | 3 | 4 | -0.174398 | 712.752 |
| 3406 | 1 | 2 | 4 | 5 | -0.063645 | 712.752 |
| 3407 | 1 | 2 | 5 | 6 | -0.039726 | 712.752 |
| 3408 | 1 | 2 | 6 | 7 | -0.39549 | 712.752 |
| 3409 | 1 | 2 | 8 | 9 | -0.007004 | 712.752 |
| 3410 | 1 | 3 | 9 | 11 | -0.023545 | 720.067 |
| 3411 | 1 | 3 | 10 | 12 | -0.022221 | 720.067 |
| 3412 | 1 | 3 | 12 | 14 | -0.011119 | 720.067 |
| 3413 | 1 | 4 | 18 | 21 | -0.006624 | 760.014 |
| 3414 | 1 | 4 | 21 | 16 | 0.01193 | 760.014 |
| 3415 | 1 | 4 | 16 | 19 | -0.064129 | 760.014 |
| 3416 | 1 | 4 | 22 | 17 | 0.011039 | 760.014 |

| Dati Geolettrici_Misura 8 27 Novembre 2025 | | | | | | |
|--|--------|--------|--------|--------|-----------|----------|
| Misura n. | Elec_A | Elec_B | Elec_M | Elec_N | V/I(ohm) | I(mA) |
| 3417 | 1 | 4 | 17 | 20 | -0.007858 | 760.014 |
| 3418 | 1 | 5 | 20 | 24 | -0.008743 | 712.376 |
| 3419 | 1 | 5 | 24 | 28 | 0.006047 | 712.376 |
| 3420 | 1 | 5 | 28 | 21 | -0.000362 | 712.376 |
| 3421 | 1 | 5 | 21 | 25 | -0.010556 | 712.376 |
| 3422 | 1 | 5 | 25 | 29 | 0.014728 | 712.376 |
| 3423 | 1 | 5 | 29 | 22 | -0.006397 | 712.376 |
| 3424 | 1 | 5 | 22 | 26 | -0.000845 | 712.376 |
| 3425 | 1 | 5 | 26 | 23 | -0.001019 | 712.376 |
| 3426 | 1 | 5 | 23 | 27 | 0.004157 | 712.376 |
| 3427 | 1 | 6 | 27 | 32 | 0.028244 | 589.513 |
| 3428 | 1 | 6 | 32 | 28 | -0.027181 | 589.513 |
| 3429 | 1 | 6 | 28 | 33 | 0.037247 | 589.513 |
| 3430 | 1 | 6 | 33 | 29 | -0.031421 | 589.513 |
| 3431 | 1 | 6 | 29 | 34 | 0.038778 | 589.513 |
| 3432 | 1 | 6 | 34 | 30 | -0.032425 | 589.513 |
| 3433 | 1 | 6 | 30 | 35 | 0.049772 | 589.513 |
| 3434 | 1 | 6 | 35 | 31 | -0.042121 | 589.513 |
| 3435 | 1 | 6 | 31 | 36 | 0.062324 | 589.513 |
| 3436 | 1 | 7 | 32 | 38 | 0.167157 | 258.98 |
| 3437 | 1 | 7 | 38 | 44 | -0.397234 | 258.98 |
| 3438 | 1 | 7 | 44 | 33 | 0.243508 | 258.98 |
| 3439 | 1 | 7 | 33 | 39 | 0.203441 | 258.98 |
| 3440 | 1 | 7 | 39 | 34 | -0.192487 | 258.98 |
| 3441 | 1 | 7 | 34 | 40 | 0.229484 | 258.98 |
| 3442 | 1 | 7 | 40 | 35 | -0.205839 | 258.98 |
| 3443 | 1 | 7 | 35 | 41 | 0.155207 | 258.98 |
| 3444 | 1 | 7 | 41 | 36 | -0.127015 | 258.98 |
| 3445 | 1 | 7 | 36 | 42 | 0.060743 | 258.98 |
| 3446 | 1 | 8 | 39 | 46 | -1.034974 | 75.551 |
| 3447 | 1 | 8 | 46 | 40 | 1.038672 | 75.551 |
| 3448 | 1 | 8 | 40 | 47 | -1.206334 | 75.551 |
| 3449 | 1 | 8 | 47 | 41 | 1.081091 | 75.551 |
| 3450 | 1 | 8 | 41 | 48 | -0.221976 | 75.551 |
| 3451 | 2 | 3 | 4 | 5 | -0.203452 | 996.232 |
| 3452 | 2 | 3 | 5 | 6 | -0.072179 | 996.232 |
| 3453 | 2 | 3 | 7 | 8 | -0.056534 | 996.232 |
| 3454 | 2 | 3 | 8 | 9 | -0.027533 | 996.232 |
| 3455 | 2 | 3 | 9 | 10 | -0.012123 | 996.232 |
| 3456 | 2 | 4 | 10 | 12 | -0.0365 | 1071.632 |
| 3457 | 2 | 4 | 14 | 16 | -0.006999 | 1071.632 |
| 3458 | 2 | 4 | 16 | 11 | 0.034667 | 1071.632 |
| 3459 | 2 | 4 | 11 | 13 | -0.026382 | 1071.632 |
| 3460 | 2 | 4 | 13 | 15 | -0.005688 | 1071.632 |
| 3461 | 2 | 4 | 15 | 17 | -0.005225 | 1071.632 |
| 3462 | 2 | 5 | 16 | 19 | -0.029185 | 949.174 |
| 3463 | 2 | 5 | 22 | 17 | 0.016467 | 949.174 |
| 3464 | 2 | 5 | 17 | 20 | -0.013469 | 949.174 |
| 3465 | 2 | 5 | 20 | 23 | -0.004753 | 949.174 |
| 3466 | 2 | 5 | 23 | 18 | 0.013005 | 949.174 |
| 3467 | 2 | 5 | 18 | 21 | -0.009172 | 949.174 |
| 3468 | 2 | 6 | 21 | 25 | -0.01543 | 1038.006 |
| 3469 | 2 | 6 | 25 | 29 | 0.021469 | 1038.006 |
| 3470 | 2 | 6 | 29 | 22 | -0.009259 | 1038.006 |
| 3471 | 2 | 6 | 22 | 26 | -0.000985 | 1038.006 |
| 3472 | 2 | 6 | 26 | 30 | 0.016064 | 1038.006 |

| Dati Geolettrici_Misura 8 27 Novembre 2025 | | | | | | |
|--|--------|--------|--------|--------|-----------|----------|
| Misura n. | Elec_A | Elec_B | Elec_M | Elec_N | V/I(ohm) | I(mA) |
| 3473 | 2 | 6 | 30 | 23 | -0.017771 | 1038.006 |
| 3474 | 2 | 6 | 23 | 27 | 0.005459 | 1038.006 |
| 3475 | 2 | 6 | 27 | 24 | -0.007935 | 1038.006 |
| 3476 | 2 | 6 | 24 | 28 | 0.0089 | 1038.006 |
| 3477 | 2 | 7 | 28 | 33 | 0.047872 | 411.5 |
| 3478 | 2 | 7 | 33 | 29 | -0.040153 | 411.5 |
| 3479 | 2 | 7 | 29 | 34 | 0.049734 | 411.5 |
| 3480 | 2 | 7 | 34 | 30 | -0.041527 | 411.5 |
| 3481 | 2 | 7 | 30 | 35 | 0.063494 | 411.5 |
| 3482 | 2 | 7 | 35 | 31 | -0.053658 | 411.5 |
| 3483 | 2 | 7 | 31 | 36 | 0.079786 | 411.5 |
| 3484 | 2 | 7 | 36 | 32 | -0.070092 | 411.5 |
| 3485 | 2 | 7 | 32 | 37 | 0.103605 | 411.5 |
| 3486 | 2 | 8 | 33 | 39 | 0.243638 | 427.245 |
| 3487 | 2 | 8 | 39 | 45 | -0.265576 | 427.245 |
| 3488 | 2 | 8 | 45 | 34 | 0.036149 | 427.245 |
| 3489 | 2 | 8 | 34 | 40 | 0.228057 | 427.245 |
| 3490 | 2 | 8 | 40 | 35 | -0.197552 | 427.245 |
| 3491 | 2 | 8 | 35 | 41 | 0.069374 | 427.245 |
| 3492 | 2 | 8 | 41 | 36 | -0.032316 | 427.245 |
| 3493 | 2 | 8 | 42 | 37 | 0.151251 | 427.245 |
| 3494 | 2 | 8 | 37 | 43 | -0.33167 | 427.245 |
| 3495 | 2 | 8 | 38 | 44 | -0.621123 | 40.95 |
| 3496 | 2 | 9 | 40 | 47 | -1.124022 | 168.987 |
| 3497 | 2 | 9 | 47 | 41 | 0.945347 | 168.987 |
| 3498 | 2 | 9 | 41 | 48 | -0.096591 | 168.987 |
| 3499 | 3 | 4 | 5 | 6 | -0.206152 | 1064.504 |
| 3500 | 3 | 4 | 6 | 7 | -0.110557 | 1064.504 |
| 3501 | 3 | 4 | 10 | 11 | -0.008149 | 1064.504 |
| 3502 | 3 | 5 | 11 | 13 | -0.042354 | 947.526 |
| 3503 | 3 | 5 | 15 | 17 | -0.007608 | 947.526 |
| 3504 | 3 | 5 | 17 | 12 | 0.034861 | 947.526 |
| 3505 | 3 | 5 | 12 | 14 | -0.023918 | 947.526 |
| 3506 | 3 | 5 | 14 | 16 | -0.017121 | 947.526 |
| 3507 | 3 | 5 | 16 | 18 | -0.061704 | 947.526 |
| 3508 | 3 | 6 | 17 | 20 | -0.014046 | 1037.164 |
| 3509 | 3 | 6 | 20 | 23 | -0.008373 | 1037.164 |
| 3510 | 3 | 6 | 21 | 24 | -0.006366 | 1037.164 |
| 3511 | 3 | 6 | 24 | 19 | 0.013187 | 1037.164 |
| 3512 | 3 | 6 | 19 | 22 | -0.009407 | 1037.164 |
| 3513 | 3 | 7 | 22 | 26 | -0.001029 | 1112.85 |
| 3514 | 3 | 7 | 26 | 30 | 0.019845 | 1112.85 |
| 3515 | 3 | 7 | 30 | 23 | -0.022113 | 1112.85 |
| 3516 | 3 | 7 | 23 | 27 | 0.006148 | 1112.85 |
| 3517 | 3 | 7 | 27 | 31 | 0.024661 | 1112.85 |
| 3518 | 3 | 7 | 31 | 24 | -0.033152 | 1112.85 |
| 3519 | 3 | 7 | 24 | 28 | 0.010382 | 1112.85 |
| 3520 | 3 | 7 | 28 | 25 | -0.018125 | 1112.85 |
| 3521 | 3 | 7 | 25 | 29 | 0.025032 | 1112.85 |
| 3522 | 3 | 8 | 29 | 34 | 0.063744 | 298.614 |
| 3523 | 3 | 8 | 34 | 30 | -0.053649 | 298.614 |
| 3524 | 3 | 8 | 30 | 35 | 0.081715 | 298.614 |
| 3525 | 3 | 8 | 35 | 31 | -0.069585 | 298.614 |
| 3526 | 3 | 8 | 31 | 36 | 0.103873 | 298.614 |
| 3527 | 3 | 8 | 36 | 32 | -0.091553 | 298.614 |
| 3528 | 3 | 8 | 32 | 37 | 0.134722 | 298.614 |

| Dati Geolettrici_Misura 8 27 Novembre 2025 | | | | | | |
|--|--------|--------|--------|--------|-----------|----------|
| Misura n. | Elec_A | Elec_B | Elec_M | Elec_N | V/I(ohm) | I(mA) |
| 3529 | 3 | 8 | 37 | 33 | -0.119061 | 298.614 |
| 3530 | 3 | 8 | 33 | 38 | 0.179358 | 298.614 |
| 3531 | 3 | 9 | 34 | 40 | 0.127295 | 188.747 |
| 3532 | 3 | 9 | 40 | 46 | -0.930516 | 188.747 |
| 3533 | 3 | 9 | 46 | 35 | 0.840587 | 188.747 |
| 3534 | 3 | 9 | 41 | 36 | 0.138411 | 188.747 |
| 3535 | 3 | 9 | 36 | 42 | -0.312313 | 188.747 |
| 3536 | 3 | 9 | 42 | 37 | 0.364634 | 188.747 |
| 3537 | 3 | 9 | 37 | 43 | -0.546669 | 188.747 |
| 3538 | 3 | 9 | 43 | 38 | 0.605144 | 188.747 |
| 3539 | 3 | 9 | 38 | 44 | -0.810829 | 188.747 |
| 3540 | 3 | 9 | 39 | 45 | -0.253815 | 73.179 |
| 3541 | 4 | 5 | 6 | 7 | -0.212606 | 1012.528 |
| 3542 | 4 | 5 | 7 | 8 | -0.069915 | 1012.528 |
| 3543 | 4 | 5 | 8 | 9 | -0.035481 | 1012.528 |
| 3544 | 4 | 5 | 9 | 10 | -0.021537 | 1012.528 |
| 3545 | 4 | 5 | 10 | 11 | -0.014803 | 1012.528 |
| 3546 | 4 | 5 | 11 | 12 | -0.011183 | 1012.528 |
| 3547 | 4 | 6 | 12 | 14 | -0.028911 | 1114.211 |
| 3548 | 4 | 6 | 14 | 16 | -0.017 | 1114.211 |
| 3549 | 4 | 6 | 16 | 18 | -0.009712 | 1114.211 |
| 3550 | 4 | 6 | 18 | 13 | 0.031419 | 1114.211 |
| 3551 | 4 | 6 | 13 | 15 | -0.015986 | 1114.211 |
| 3552 | 4 | 6 | 15 | 17 | -0.010564 | 1114.211 |
| 3553 | 4 | 6 | 17 | 19 | -0.008076 | 1114.211 |
| 3554 | 4 | 7 | 18 | 21 | -0.015133 | 1202.777 |
| 3555 | 4 | 7 | 21 | 24 | -0.008124 | 1202.777 |
| 3556 | 4 | 7 | 24 | 19 | 0.017743 | 1202.777 |
| 3557 | 4 | 7 | 19 | 22 | -0.012893 | 1202.777 |
| 3558 | 4 | 7 | 22 | 25 | -0.010455 | 1202.777 |
| 3559 | 4 | 7 | 25 | 20 | 0.018532 | 1202.777 |
| 3560 | 4 | 7 | 20 | 23 | -0.010871 | 1202.777 |
| 3561 | 4 | 8 | 23 | 27 | 0.006884 | 1127.26 |
| 3562 | 4 | 8 | 27 | 31 | 0.031827 | 1127.26 |
| 3563 | 4 | 8 | 31 | 24 | -0.041823 | 1127.26 |
| 3564 | 4 | 8 | 24 | 28 | 0.013581 | 1127.26 |
| 3565 | 4 | 8 | 28 | 32 | 0.03906 | 1127.26 |
| 3566 | 4 | 8 | 32 | 25 | -0.059056 | 1127.26 |
| 3567 | 4 | 8 | 25 | 29 | 0.028602 | 1127.26 |
| 3568 | 4 | 8 | 29 | 26 | -0.016075 | 1127.26 |
| 3569 | 4 | 8 | 26 | 30 | 0.024932 | 1127.26 |
| 3570 | 4 | 9 | 30 | 35 | 0.1013 | 194.183 |
| 3571 | 4 | 9 | 35 | 31 | -0.086548 | 194.183 |
| 3572 | 4 | 9 | 31 | 36 | 0.129168 | 194.183 |
| 3573 | 4 | 9 | 36 | 32 | -0.113971 | 194.183 |
| 3574 | 4 | 9 | 32 | 37 | 0.161555 | 194.183 |
| 3575 | 4 | 9 | 37 | 33 | -0.142741 | 194.183 |
| 3576 | 4 | 9 | 33 | 38 | 0.19387 | 194.183 |
| 3577 | 4 | 9 | 38 | 34 | -0.175702 | 194.183 |
| 3578 | 4 | 9 | 34 | 39 | 0.181671 | 194.183 |
| 3579 | 4 | 10 | 35 | 41 | -0.298831 | 126.172 |
| 3580 | 4 | 10 | 41 | 47 | -0.513636 | 126.172 |
| 3581 | 4 | 10 | 47 | 36 | 0.866063 | 126.172 |
| 3582 | 4 | 10 | 36 | 42 | -0.542199 | 126.172 |
| 3583 | 4 | 10 | 42 | 37 | 0.581953 | 126.172 |
| 3584 | 4 | 10 | 37 | 43 | -0.751816 | 126.172 |

| Dati Geolettrici_Misura 8 27 Novembre 2025 | | | | | | |
|--|--------|--------|--------|--------|-----------|----------|
| Misura n. | Elec_A | Elec_B | Elec_M | Elec_N | V/I(ohm) | I(mA) |
| 3585 | 4 | 10 | 43 | 38 | 0.754668 | 126.172 |
| 3586 | 4 | 10 | 38 | 44 | -0.914371 | 126.172 |
| 3587 | 4 | 10 | 44 | 39 | 0.847416 | 126.172 |
| 3588 | 4 | 10 | 39 | 45 | -0.130904 | 126.172 |
| 3589 | 4 | 10 | 40 | 46 | -0.735413 | 39.683 |
| 3590 | 5 | 6 | 7 | 8 | -0.210135 | 985.563 |
| 3591 | 5 | 6 | 8 | 9 | -0.074665 | 985.563 |
| 3592 | 5 | 6 | 9 | 10 | -0.039064 | 985.563 |
| 3593 | 5 | 6 | 10 | 11 | -0.022483 | 985.563 |
| 3594 | 5 | 6 | 11 | 12 | -0.018921 | 985.563 |
| 3595 | 5 | 6 | 12 | 13 | -0.013991 | 985.563 |
| 3596 | 5 | 7 | 13 | 15 | -0.009511 | 1048.705 |
| 3597 | 5 | 7 | 15 | 17 | -0.030477 | 1048.705 |
| 3598 | 5 | 7 | 17 | 19 | -0.010213 | 1048.705 |
| 3599 | 5 | 7 | 19 | 14 | 0.036154 | 1048.705 |
| 3600 | 5 | 7 | 14 | 16 | -0.004255 | 1048.705 |
| 3601 | 5 | 7 | 16 | 18 | -0.027735 | 1048.705 |
| 3602 | 5 | 7 | 18 | 20 | -0.007743 | 1048.705 |
| 3603 | 5 | 8 | 19 | 22 | -0.015472 | 999.41 |
| 3604 | 5 | 8 | 22 | 25 | -0.008946 | 999.41 |
| 3605 | 5 | 8 | 25 | 20 | 0.018622 | 999.41 |
| 3606 | 5 | 8 | 20 | 23 | -0.012871 | 999.41 |
| 3607 | 5 | 8 | 23 | 26 | 0.002553 | 999.41 |
| 3608 | 5 | 8 | 26 | 21 | 0.004541 | 999.41 |
| 3609 | 5 | 8 | 21 | 24 | -0.009619 | 999.41 |
| 3610 | 5 | 9 | 24 | 28 | 0.0168 | 901.372 |
| 3611 | 5 | 9 | 28 | 32 | 0.047355 | 901.372 |
| 3612 | 5 | 9 | 32 | 25 | -0.067765 | 901.372 |
| 3613 | 5 | 9 | 25 | 29 | 0.030469 | 901.372 |
| 3614 | 5 | 9 | 29 | 33 | 0.053635 | 901.372 |
| 3615 | 5 | 9 | 33 | 26 | -0.073072 | 901.372 |
| 3616 | 5 | 9 | 26 | 30 | 0.030405 | 901.372 |
| 3617 | 5 | 9 | 30 | 27 | -0.026715 | 901.372 |
| 3618 | 5 | 9 | 27 | 31 | 0.039702 | 901.372 |
| 3619 | 5 | 10 | 31 | 36 | 0.153675 | 989.555 |
| 3620 | 5 | 10 | 36 | 32 | -0.135229 | 989.555 |
| 3621 | 5 | 10 | 32 | 37 | 0.167272 | 989.555 |
| 3622 | 5 | 10 | 37 | 33 | -0.145226 | 989.555 |
| 3623 | 5 | 10 | 33 | 38 | 0.139391 | 989.555 |
| 3624 | 5 | 10 | 38 | 34 | -0.116527 | 989.555 |
| 3625 | 5 | 10 | 34 | 39 | 0.040732 | 989.555 |
| 3626 | 5 | 10 | 35 | 40 | -0.151856 | 989.555 |
| 3627 | 5 | 11 | 36 | 42 | -0.760189 | 328.081 |
| 3628 | 5 | 11 | 42 | 48 | 0.483758 | 328.081 |
| 3629 | 5 | 11 | 48 | 37 | 0.273502 | 328.081 |
| 3630 | 5 | 11 | 37 | 43 | -0.880599 | 328.081 |
| 3631 | 5 | 11 | 43 | 38 | 0.787695 | 328.081 |
| 3632 | 5 | 11 | 38 | 44 | -0.855514 | 328.081 |
| 3633 | 5 | 11 | 44 | 39 | 0.714456 | 328.081 |
| 3634 | 5 | 11 | 40 | 46 | -0.472222 | 328.081 |
| 3635 | 5 | 11 | 41 | 47 | -0.27187 | 65.243 |
| 3636 | 6 | 7 | 8 | 9 | -0.216762 | 1160.222 |
| 3637 | 6 | 7 | 9 | 10 | -0.098257 | 1160.222 |
| 3638 | 6 | 7 | 10 | 11 | -0.039252 | 1160.222 |
| 3639 | 6 | 7 | 11 | 12 | -0.025467 | 1160.222 |
| 3640 | 6 | 7 | 12 | 13 | -0.012867 | 1160.222 |

| Dati Geolettrici_Misura 8 27 Novembre 2025 | | | | | | |
|--|--------|--------|--------|--------|-----------|----------|
| Misura n. | Elec_A | Elec_B | Elec_M | Elec_N | V/I(ohm) | I(mA) |
| 3641 | 6 | 7 | 13 | 14 | -0.014122 | 1160.222 |
| 3642 | 6 | 8 | 14 | 16 | -0.008281 | 1091.537 |
| 3643 | 6 | 8 | 16 | 18 | -0.023729 | 1091.537 |
| 3644 | 6 | 8 | 18 | 20 | -0.009488 | 1091.537 |
| 3645 | 6 | 8 | 20 | 15 | 0.033438 | 1091.537 |
| 3646 | 6 | 8 | 15 | 17 | -0.003983 | 1091.537 |
| 3647 | 6 | 8 | 17 | 19 | -0.02516 | 1091.537 |
| 3648 | 6 | 8 | 19 | 21 | -0.008448 | 1091.537 |
| 3649 | 6 | 9 | 20 | 23 | -0.015549 | 1157.159 |
| 3650 | 6 | 9 | 23 | 26 | 0.003112 | 1157.159 |
| 3651 | 6 | 9 | 26 | 21 | 0.005458 | 1157.159 |
| 3652 | 6 | 9 | 21 | 24 | -0.011494 | 1157.159 |
| 3653 | 6 | 9 | 24 | 27 | 0.008662 | 1157.159 |
| 3654 | 6 | 9 | 27 | 22 | -0.001825 | 1157.159 |
| 3655 | 6 | 9 | 22 | 25 | -0.008349 | 1157.159 |
| 3656 | 6 | 10 | 25 | 29 | 0.032604 | 497.521 |
| 3657 | 6 | 10 | 29 | 33 | 0.064011 | 497.521 |
| 3658 | 6 | 10 | 33 | 26 | -0.087572 | 497.521 |
| 3659 | 6 | 10 | 26 | 30 | 0.036943 | 497.521 |
| 3660 | 6 | 10 | 30 | 34 | 0.071899 | 497.521 |
| 3661 | 6 | 10 | 34 | 27 | -0.104824 | 497.521 |
| 3662 | 6 | 10 | 27 | 31 | 0.048505 | 497.521 |
| 3663 | 6 | 10 | 31 | 28 | -0.040674 | 497.521 |
| 3664 | 6 | 10 | 28 | 32 | 0.056799 | 497.521 |
| 3665 | 6 | 11 | 32 | 37 | 0.144293 | 952.673 |
| 3666 | 6 | 11 | 37 | 33 | -0.117062 | 952.673 |
| 3667 | 6 | 11 | 33 | 38 | 0.011546 | 952.673 |
| 3668 | 6 | 11 | 34 | 39 | -0.172972 | 952.673 |
| 3669 | 6 | 11 | 39 | 35 | 0.222142 | 952.673 |
| 3670 | 6 | 11 | 35 | 40 | -0.400859 | 952.673 |
| 3671 | 6 | 11 | 40 | 36 | 0.450963 | 952.673 |
| 3672 | 6 | 11 | 36 | 41 | -0.601999 | 952.673 |
| 3673 | 6 | 12 | 37 | 43 | -0.841682 | 349.01 |
| 3674 | 6 | 12 | 43 | 38 | 0.668336 | 349.01 |
| 3675 | 6 | 12 | 38 | 44 | -0.655674 | 349.01 |
| 3676 | 6 | 12 | 44 | 39 | 0.482111 | 349.01 |
| 3677 | 6 | 12 | 40 | 46 | -0.209514 | 349.01 |
| 3678 | 6 | 12 | 42 | 48 | 0.622079 | 36.778 |
| 3679 | 7 | 8 | 9 | 10 | -0.190551 | 1175.707 |
| 3680 | 7 | 8 | 10 | 11 | -0.113752 | 1175.707 |
| 3681 | 7 | 8 | 11 | 12 | -0.042099 | 1175.707 |
| 3682 | 7 | 8 | 12 | 13 | -0.032793 | 1175.707 |
| 3683 | 7 | 8 | 13 | 14 | -0.010265 | 1175.707 |
| 3684 | 7 | 8 | 14 | 15 | -0.02086 | 1175.707 |
| 3685 | 7 | 9 | 19 | 21 | -0.010273 | 1248.521 |
| 3686 | 7 | 9 | 21 | 16 | 0.02172 | 1248.521 |
| 3687 | 7 | 9 | 16 | 18 | -0.005005 | 1248.521 |
| 3688 | 7 | 9 | 18 | 20 | -0.011631 | 1248.521 |
| 3689 | 7 | 9 | 20 | 22 | -0.00848 | 1248.521 |
| 3690 | 7 | 10 | 21 | 24 | -0.01413 | 1147.002 |
| 3691 | 7 | 10 | 24 | 27 | 0.009261 | 1147.002 |
| 3692 | 7 | 10 | 27 | 22 | -0.001308 | 1147.002 |
| 3693 | 7 | 10 | 22 | 25 | -0.009105 | 1147.002 |
| 3694 | 7 | 10 | 25 | 28 | 0.017178 | 1147.002 |
| 3695 | 7 | 10 | 28 | 23 | -0.012844 | 1147.002 |
| 3696 | 7 | 10 | 23 | 26 | 0.002999 | 1147.002 |

| Dati Geolettrici_Misura 8 27 Novembre 2025 | | | | | | |
|--|--------|--------|--------|--------|-----------|----------|
| Misura n. | Elec_A | Elec_B | Elec_M | Elec_N | V/I(ohm) | I(mA) |
| 3697 | 7 | 11 | 26 | 30 | 0.046635 | 343.879 |
| 3698 | 7 | 11 | 30 | 34 | 0.093628 | 343.879 |
| 3699 | 7 | 11 | 34 | 27 | -0.135118 | 343.879 |
| 3700 | 7 | 11 | 27 | 31 | 0.061443 | 343.879 |
| 3701 | 7 | 11 | 31 | 35 | 0.116172 | 343.879 |
| 3702 | 7 | 11 | 35 | 28 | -0.167341 | 343.879 |
| 3703 | 7 | 11 | 28 | 32 | 0.072018 | 343.879 |
| 3704 | 7 | 11 | 32 | 29 | -0.057977 | 343.879 |
| 3705 | 7 | 11 | 29 | 33 | 0.082103 | 343.879 |
| 3706 | 7 | 12 | 33 | 38 | -0.195903 | 87.703 |
| 3707 | 7 | 12 | 38 | 34 | 0.233156 | 87.703 |
| 3708 | 7 | 12 | 34 | 39 | -0.418265 | 87.703 |
| 3709 | 7 | 12 | 39 | 35 | 0.461731 | 87.703 |
| 3710 | 7 | 12 | 35 | 40 | -0.631267 | 87.703 |
| 3711 | 7 | 12 | 40 | 36 | 0.644706 | 87.703 |
| 3712 | 7 | 12 | 36 | 41 | -0.728786 | 87.703 |
| 3713 | 7 | 12 | 41 | 37 | 0.627264 | 87.703 |
| 3714 | 7 | 12 | 37 | 42 | -0.70903 | 87.703 |
| 3715 | 7 | 13 | 38 | 44 | -0.393506 | 700.147 |
| 3716 | 7 | 13 | 44 | 39 | 0.21995 | 700.147 |
| 3717 | 7 | 13 | 45 | 40 | -0.644323 | 700.147 |
| 3718 | 7 | 13 | 40 | 46 | 0.023826 | 700.147 |
| 3719 | 7 | 13 | 46 | 41 | -0.076269 | 700.147 |
| 3720 | 7 | 13 | 41 | 47 | 0.104848 | 700.147 |
| 3721 | 7 | 13 | 47 | 42 | -0.189913 | 700.147 |
| 3722 | 7 | 13 | 42 | 48 | 0.649122 | 700.147 |
| 3723 | 8 | 9 | 10 | 11 | -0.237393 | 1164.737 |
| 3724 | 8 | 9 | 11 | 12 | -0.091851 | 1164.737 |
| 3725 | 8 | 9 | 12 | 13 | -0.052333 | 1164.737 |
| 3726 | 8 | 9 | 14 | 15 | -0.011123 | 1164.737 |
| 3727 | 8 | 10 | 16 | 18 | -0.020114 | 1079.441 |
| 3728 | 8 | 10 | 18 | 20 | -0.015389 | 1079.441 |
| 3729 | 8 | 10 | 20 | 22 | -0.01094 | 1079.441 |
| 3730 | 8 | 10 | 19 | 21 | -0.013179 | 1079.441 |
| 3731 | 8 | 10 | 21 | 23 | -0.008251 | 1079.441 |
| 3732 | 8 | 11 | 22 | 25 | -0.010243 | 945.841 |
| 3733 | 8 | 11 | 25 | 28 | 0.02035 | 945.841 |
| 3734 | 8 | 11 | 28 | 23 | -0.01602 | 945.841 |
| 3735 | 8 | 11 | 23 | 26 | 0.003101 | 945.841 |
| 3736 | 8 | 11 | 26 | 29 | 0.024095 | 945.841 |
| 3737 | 8 | 11 | 29 | 24 | -0.031081 | 945.841 |
| 3738 | 8 | 11 | 24 | 27 | 0.010992 | 945.841 |
| 3739 | 8 | 12 | 27 | 31 | 0.077044 | 217.436 |
| 3740 | 8 | 12 | 31 | 35 | 0.122836 | 217.436 |
| 3741 | 8 | 12 | 35 | 28 | -0.186839 | 217.436 |
| 3742 | 8 | 12 | 28 | 32 | 0.090194 | 217.436 |
| 3743 | 8 | 12 | 32 | 36 | 0.09918 | 217.436 |
| 3744 | 8 | 12 | 36 | 29 | -0.172499 | 217.436 |
| 3745 | 8 | 12 | 29 | 33 | 0.102527 | 217.436 |
| 3746 | 8 | 12 | 33 | 30 | -0.080717 | 217.436 |
| 3747 | 8 | 12 | 30 | 34 | 0.112991 | 217.436 |
| 3748 | 8 | 13 | 34 | 39 | -0.646974 | 75.586 |
| 3749 | 8 | 13 | 39 | 35 | 0.641361 | 75.586 |
| 3750 | 8 | 13 | 35 | 40 | -0.758308 | 75.586 |
| 3751 | 8 | 13 | 40 | 36 | 0.686233 | 75.586 |
| 3752 | 8 | 13 | 36 | 41 | -0.666254 | 75.586 |

| Dati Geolettrici_Misura 8 27 Novembre 2025 | | | | | | |
|--|--------|--------|--------|--------|-----------|----------|
| Misura n. | Elec_A | Elec_B | Elec_M | Elec_N | V/I(ohm) | I(mA) |
| 3753 | 8 | 13 | 41 | 37 | 0.492015 | 75.586 |
| 3754 | 8 | 13 | 37 | 42 | -0.513847 | 75.586 |
| 3755 | 8 | 13 | 42 | 38 | 0.297107 | 75.586 |
| 3756 | 8 | 13 | 38 | 43 | -0.254828 | 75.586 |
| 3757 | 8 | 14 | 39 | 45 | 0.691801 | 107.009 |
| 3758 | 8 | 14 | 45 | 40 | -0.802006 | 107.009 |
| 3759 | 8 | 14 | 40 | 46 | 0.181528 | 107.009 |
| 3760 | 8 | 14 | 46 | 41 | -0.15538 | 107.009 |
| 3761 | 8 | 14 | 41 | 47 | 0.181013 | 107.009 |
| 3762 | 8 | 14 | 47 | 42 | -0.198133 | 107.009 |
| 3763 | 8 | 14 | 42 | 48 | 0.644349 | 107.009 |
| 3764 | 9 | 10 | 11 | 12 | -0.275377 | 1141.612 |
| 3765 | 9 | 10 | 12 | 13 | -0.115318 | 1141.612 |
| 3766 | 9 | 10 | 13 | 14 | -0.034697 | 1141.612 |
| 3767 | 9 | 10 | 14 | 15 | -0.018799 | 1141.612 |
| 3768 | 9 | 10 | 15 | 16 | -0.010847 | 1141.612 |
| 3769 | 9 | 11 | 17 | 19 | -0.012011 | 983.001 |
| 3770 | 9 | 11 | 19 | 21 | -0.017005 | 983.001 |
| 3771 | 9 | 11 | 21 | 23 | -0.01037 | 983.001 |
| 3772 | 9 | 11 | 23 | 18 | 0.038995 | 983.001 |
| 3773 | 9 | 11 | 18 | 20 | -0.020728 | 983.001 |
| 3774 | 9 | 11 | 20 | 22 | -0.013976 | 983.001 |
| 3775 | 9 | 11 | 22 | 24 | -0.006999 | 983.001 |
| 3776 | 9 | 12 | 23 | 26 | 0.003037 | 1005.588 |
| 3777 | 9 | 12 | 26 | 29 | 0.030654 | 1005.588 |
| 3778 | 9 | 12 | 29 | 24 | -0.037339 | 1005.588 |
| 3779 | 9 | 12 | 24 | 27 | 0.012467 | 1005.588 |
| 3780 | 9 | 12 | 27 | 30 | 0.043065 | 1005.588 |
| 3781 | 9 | 12 | 30 | 25 | -0.05768 | 1005.588 |
| 3782 | 9 | 12 | 25 | 28 | 0.025772 | 1005.588 |
| 3783 | 9 | 13 | 28 | 32 | 0.102467 | 570.516 |
| 3784 | 9 | 13 | 36 | 29 | -0.028845 | 570.516 |
| 3785 | 9 | 13 | 29 | 33 | 0.110089 | 570.516 |
| 3786 | 9 | 13 | 33 | 37 | -0.263689 | 570.516 |
| 3787 | 9 | 13 | 37 | 30 | 0.179111 | 570.516 |
| 3788 | 9 | 13 | 30 | 34 | 0.101704 | 570.516 |
| 3789 | 9 | 13 | 34 | 31 | -0.072496 | 570.516 |
| 3790 | 9 | 13 | 31 | 35 | 0.057535 | 570.516 |
| 3791 | 9 | 14 | 35 | 40 | -0.736522 | 309.748 |
| 3792 | 9 | 14 | 40 | 36 | 0.588326 | 309.748 |
| 3793 | 9 | 14 | 36 | 41 | -0.5108 | 309.748 |
| 3794 | 9 | 14 | 41 | 37 | 0.309451 | 309.748 |
| 3795 | 9 | 14 | 37 | 42 | -0.304137 | 309.748 |
| 3796 | 9 | 14 | 42 | 38 | 0.093532 | 309.748 |
| 3797 | 9 | 14 | 43 | 39 | -0.086019 | 309.748 |
| 3798 | 9 | 14 | 39 | 44 | 0.126761 | 309.748 |
| 3799 | 9 | 15 | 40 | 46 | 0.242097 | 103.814 |
| 3800 | 9 | 15 | 46 | 41 | -0.160263 | 103.814 |
| 3801 | 9 | 15 | 41 | 47 | 0.181352 | 103.814 |
| 3802 | 9 | 15 | 47 | 42 | -0.17098 | 103.814 |
| 3803 | 9 | 15 | 42 | 48 | 0.608879 | 103.814 |
| 3804 | 10 | 11 | 12 | 13 | -0.301916 | 933.166 |
| 3805 | 10 | 11 | 13 | 14 | -0.074013 | 933.166 |
| 3806 | 10 | 11 | 14 | 15 | -0.035909 | 933.166 |
| 3807 | 10 | 11 | 15 | 16 | -0.020758 | 933.166 |
| 3808 | 10 | 11 | 16 | 17 | -0.039528 | 933.166 |

| Dati Geolettrici_Misura 8 27 Novembre 2025 | | | | | | |
|--|--------|--------|--------|--------|-----------|----------|
| Misura n. | Elec_A | Elec_B | Elec_M | Elec_N | V/I(ohm) | I(mA) |
| 3809 | 10 | 12 | 18 | 20 | -0.027447 | 950.755 |
| 3810 | 10 | 12 | 20 | 22 | -0.01714 | 950.755 |
| 3811 | 10 | 12 | 22 | 24 | -0.007557 | 950.755 |
| 3812 | 10 | 12 | 24 | 19 | 0.036512 | 950.755 |
| 3813 | 10 | 12 | 19 | 21 | -0.020292 | 950.755 |
| 3814 | 10 | 12 | 21 | 23 | -0.013686 | 950.755 |
| 3815 | 10 | 12 | 23 | 25 | -0.003759 | 950.755 |
| 3816 | 10 | 13 | 24 | 27 | 0.013414 | 1112.545 |
| 3817 | 10 | 13 | 27 | 30 | 0.049038 | 1112.545 |
| 3818 | 10 | 13 | 30 | 25 | -0.06621 | 1112.545 |
| 3819 | 10 | 13 | 25 | 28 | 0.029495 | 1112.545 |
| 3820 | 10 | 13 | 28 | 31 | 0.060777 | 1112.545 |
| 3821 | 10 | 13 | 31 | 26 | -0.080447 | 1112.545 |
| 3822 | 10 | 13 | 26 | 29 | 0.035351 | 1112.545 |
| 3823 | 10 | 14 | 29 | 33 | 0.127259 | 264.725 |
| 3824 | 10 | 14 | 33 | 37 | -0.483319 | 264.725 |
| 3825 | 10 | 14 | 37 | 30 | 0.394632 | 264.725 |
| 3826 | 10 | 14 | 30 | 34 | 0.059311 | 264.725 |
| 3827 | 10 | 14 | 34 | 38 | -0.616286 | 264.725 |
| 3828 | 10 | 14 | 38 | 31 | 0.598444 | 264.725 |
| 3829 | 10 | 14 | 35 | 32 | 0.116058 | 264.725 |
| 3830 | 10 | 14 | 32 | 36 | -0.275692 | 264.725 |
| 3831 | 10 | 15 | 36 | 41 | -0.295381 | 287.174 |
| 3832 | 10 | 15 | 41 | 37 | 0.106156 | 287.174 |
| 3833 | 10 | 15 | 42 | 38 | -0.056658 | 287.174 |
| 3834 | 10 | 15 | 38 | 43 | 0.087947 | 287.174 |
| 3835 | 10 | 15 | 43 | 39 | -0.146695 | 287.174 |
| 3836 | 10 | 15 | 39 | 44 | 0.178649 | 287.174 |
| 3837 | 10 | 15 | 44 | 40 | -0.155846 | 287.174 |
| 3838 | 10 | 15 | 40 | 45 | 0.682874 | 287.174 |
| 3839 | 10 | 16 | 41 | 47 | 0.149299 | 125.898 |
| 3840 | 10 | 16 | 47 | 42 | -0.134475 | 125.898 |
| 3841 | 10 | 16 | 42 | 48 | 0.573015 | 125.898 |
| 3842 | 11 | 12 | 13 | 14 | -0.228527 | 838.896 |
| 3843 | 11 | 12 | 14 | 15 | -0.078007 | 838.896 |
| 3844 | 11 | 12 | 15 | 16 | -0.037144 | 838.896 |
| 3845 | 11 | 12 | 16 | 17 | -0.021697 | 838.896 |
| 3846 | 11 | 12 | 17 | 18 | -0.014557 | 838.896 |
| 3847 | 11 | 12 | 18 | 19 | -0.009072 | 838.896 |
| 3848 | 11 | 13 | 19 | 21 | -0.026319 | 989.321 |
| 3849 | 11 | 13 | 21 | 23 | -0.011837 | 989.321 |
| 3850 | 11 | 13 | 23 | 25 | -0.006451 | 989.321 |
| 3851 | 11 | 13 | 25 | 20 | 0.030346 | 989.321 |
| 3852 | 11 | 13 | 20 | 22 | -0.018941 | 989.321 |
| 3853 | 11 | 13 | 22 | 24 | -0.007146 | 989.321 |
| 3854 | 11 | 13 | 24 | 26 | 0.002956 | 989.321 |
| 3855 | 11 | 14 | 25 | 28 | 0.050897 | 321.145 |
| 3856 | 11 | 14 | 28 | 31 | 0.092311 | 321.145 |
| 3857 | 11 | 14 | 31 | 26 | -0.126879 | 321.145 |
| 3858 | 11 | 14 | 26 | 29 | 0.060076 | 321.145 |
| 3859 | 11 | 14 | 29 | 32 | 0.092217 | 321.145 |
| 3860 | 11 | 14 | 32 | 27 | -0.137271 | 321.145 |
| 3861 | 11 | 14 | 27 | 30 | 0.077592 | 321.145 |
| 3862 | 11 | 15 | 34 | 38 | -0.597816 | 170.117 |
| 3863 | 11 | 15 | 38 | 31 | 0.745232 | 170.117 |
| 3864 | 11 | 15 | 31 | 35 | -0.329255 | 170.117 |

| Dati Geolettrici_Misura 8 27 Novembre 2025 | | | | | | |
|--|--------|--------|--------|--------|-----------|----------|
| Misura n. | Elec_A | Elec_B | Elec_M | Elec_N | V/I(ohm) | I(mA) |
| 3865 | 11 | 15 | 35 | 39 | -0.409797 | 170.117 |
| 3866 | 11 | 15 | 39 | 32 | 0.757403 | 170.117 |
| 3867 | 11 | 15 | 32 | 36 | -0.54431 | 170.117 |
| 3868 | 11 | 15 | 36 | 33 | 0.501067 | 170.117 |
| 3869 | 11 | 15 | 33 | 37 | -0.654097 | 170.117 |
| 3870 | 11 | 16 | 37 | 42 | 0.085247 | 187.041 |
| 3871 | 11 | 16 | 42 | 38 | -0.140995 | 187.041 |
| 3872 | 11 | 16 | 38 | 43 | 0.166031 | 187.041 |
| 3873 | 11 | 16 | 43 | 39 | -0.152071 | 187.041 |
| 3874 | 11 | 16 | 39 | 44 | 0.176467 | 187.041 |
| 3875 | 11 | 16 | 44 | 40 | -0.130535 | 187.041 |
| 3876 | 11 | 16 | 40 | 45 | 0.556032 | 187.041 |
| 3877 | 11 | 16 | 45 | 41 | -0.487591 | 187.041 |
| 3878 | 11 | 16 | 41 | 46 | 0.097247 | 187.041 |
| 3879 | 11 | 17 | 42 | 48 | 0.548678 | 42.834 |
| 3880 | 12 | 13 | 14 | 15 | -0.234159 | 1002.221 |
| 3881 | 12 | 13 | 15 | 16 | -0.083092 | 1002.221 |
| 3882 | 12 | 13 | 16 | 17 | -0.033642 | 1002.221 |
| 3883 | 12 | 13 | 17 | 18 | -0.018801 | 1002.221 |
| 3884 | 12 | 13 | 18 | 19 | -0.011422 | 1002.221 |
| 3885 | 12 | 13 | 19 | 20 | -0.007717 | 1002.221 |
| 3886 | 12 | 14 | 20 | 22 | -0.03793 | 997.522 |
| 3887 | 12 | 14 | 22 | 24 | -0.019746 | 997.522 |
| 3888 | 12 | 14 | 24 | 26 | 0.014606 | 997.522 |
| 3889 | 12 | 14 | 26 | 21 | 0.017223 | 997.522 |
| 3890 | 12 | 14 | 21 | 23 | -0.023259 | 997.522 |
| 3891 | 12 | 14 | 23 | 25 | -0.006724 | 997.522 |
| 3892 | 12 | 14 | 25 | 27 | 0.024926 | 997.522 |
| 3893 | 12 | 15 | 26 | 29 | 0.093226 | 935.272 |
| 3894 | 12 | 15 | 29 | 32 | 0.095319 | 935.272 |
| 3895 | 12 | 15 | 32 | 27 | -0.163546 | 935.272 |
| 3896 | 12 | 15 | 27 | 30 | 0.11377 | 935.272 |
| 3897 | 12 | 15 | 33 | 28 | -0.080567 | 935.272 |
| 3898 | 12 | 15 | 28 | 31 | 0.124344 | 935.272 |
| 3899 | 12 | 16 | 31 | 35 | -0.597059 | 691.79 |
| 3900 | 12 | 16 | 35 | 39 | -0.185699 | 691.79 |
| 3901 | 12 | 16 | 39 | 32 | 0.737735 | 691.79 |
| 3902 | 12 | 16 | 32 | 36 | -0.721829 | 691.79 |
| 3903 | 12 | 16 | 36 | 40 | 0.022743 | 691.79 |
| 3904 | 12 | 16 | 40 | 33 | 0.550905 | 691.79 |
| 3905 | 12 | 16 | 33 | 37 | -0.633673 | 691.79 |
| 3906 | 12 | 16 | 37 | 34 | 0.435563 | 691.79 |
| 3907 | 12 | 16 | 34 | 38 | -0.424926 | 691.79 |
| 3908 | 12 | 17 | 38 | 43 | 0.166293 | 249.409 |
| 3909 | 12 | 17 | 43 | 39 | -0.126502 | 249.409 |
| 3910 | 12 | 17 | 39 | 44 | 0.144031 | 249.409 |
| 3911 | 12 | 17 | 44 | 40 | -0.100407 | 249.409 |
| 3912 | 12 | 17 | 40 | 45 | 0.395537 | 249.409 |
| 3913 | 12 | 17 | 45 | 41 | -0.346707 | 249.409 |
| 3914 | 12 | 17 | 41 | 46 | 0.078692 | 249.409 |
| 3915 | 12 | 17 | 46 | 42 | -0.064935 | 249.409 |
| 3916 | 12 | 17 | 42 | 47 | 0.074205 | 249.409 |
| 3917 | 13 | 14 | 15 | 16 | -0.282804 | 988.258 |
| 3918 | 13 | 14 | 16 | 17 | -0.099517 | 988.258 |
| 3919 | 13 | 14 | 17 | 18 | -0.053056 | 988.258 |
| 3920 | 13 | 14 | 18 | 19 | -0.030787 | 988.258 |

| Dati Geolettrici_Misura 8 27 Novembre 2025 | | | | | | |
|--|--------|--------|--------|--------|-----------|----------|
| Misura n. | Elec_A | Elec_B | Elec_M | Elec_N | V/I(ohm) | I(mA) |
| 3921 | 13 | 14 | 19 | 20 | -0.021049 | 988.258 |
| 3922 | 13 | 14 | 20 | 21 | -0.017745 | 988.258 |
| 3923 | 13 | 15 | 21 | 23 | -0.0481 | 1117.799 |
| 3924 | 13 | 15 | 23 | 25 | -0.007734 | 1117.799 |
| 3925 | 13 | 15 | 25 | 27 | 0.043736 | 1117.799 |
| 3926 | 13 | 15 | 27 | 22 | -0.01454 | 1117.799 |
| 3927 | 13 | 15 | 22 | 24 | -0.038545 | 1117.799 |
| 3928 | 13 | 15 | 24 | 26 | 0.030829 | 1117.799 |
| 3929 | 13 | 15 | 26 | 28 | 0.048094 | 1117.799 |
| 3930 | 13 | 16 | 27 | 30 | 0.149707 | 609.298 |
| 3931 | 13 | 16 | 30 | 33 | -0.178027 | 609.298 |
| 3932 | 13 | 16 | 28 | 31 | 0.131154 | 609.298 |
| 3933 | 13 | 16 | 31 | 34 | -0.39249 | 609.298 |
| 3934 | 13 | 16 | 34 | 29 | 0.314591 | 609.298 |
| 3935 | 13 | 16 | 29 | 32 | 0.025877 | 609.298 |
| 3936 | 13 | 17 | 32 | 36 | -0.677948 | 1079.725 |
| 3937 | 13 | 17 | 36 | 40 | 0.095857 | 1079.725 |
| 3938 | 13 | 17 | 40 | 33 | 0.360439 | 1079.725 |
| 3939 | 13 | 17 | 33 | 37 | -0.444136 | 1079.725 |
| 3940 | 13 | 17 | 37 | 41 | 0.102723 | 1079.725 |
| 3941 | 13 | 17 | 34 | 38 | -0.207139 | 1079.725 |
| 3942 | 13 | 18 | 39 | 44 | 0.096427 | 427.645 |
| 3943 | 13 | 18 | 44 | 40 | -0.066934 | 427.645 |
| 3944 | 13 | 18 | 40 | 45 | 0.239251 | 427.645 |
| 3945 | 13 | 18 | 45 | 41 | -0.21652 | 427.645 |
| 3946 | 13 | 18 | 41 | 46 | 0.064385 | 427.645 |
| 3947 | 13 | 18 | 46 | 42 | -0.04696 | 427.645 |
| 3948 | 13 | 18 | 42 | 47 | 0.053856 | 427.645 |
| 3949 | 13 | 18 | 47 | 43 | -0.03732 | 427.645 |
| 3950 | 13 | 18 | 43 | 48 | 0.406235 | 427.645 |
| 3951 | 14 | 15 | 16 | 17 | -0.262094 | 1010.122 |
| 3952 | 14 | 15 | 17 | 18 | -0.104818 | 1010.122 |
| 3953 | 14 | 15 | 18 | 19 | -0.05279 | 1010.122 |
| 3954 | 14 | 15 | 19 | 20 | -0.033566 | 1010.122 |
| 3955 | 14 | 15 | 20 | 21 | -0.026644 | 1010.122 |
| 3956 | 14 | 15 | 21 | 22 | -0.016004 | 1010.122 |
| 3957 | 14 | 16 | 22 | 24 | -0.051789 | 1128.857 |
| 3958 | 14 | 16 | 24 | 26 | 0.0373 | 1128.857 |
| 3959 | 14 | 16 | 26 | 28 | 0.061632 | 1128.857 |
| 3960 | 14 | 16 | 28 | 23 | -0.076619 | 1128.857 |
| 3961 | 14 | 16 | 23 | 25 | -0.0134 | 1128.857 |
| 3962 | 14 | 16 | 25 | 27 | 0.057737 | 1128.857 |
| 3963 | 14 | 16 | 27 | 29 | 0.071202 | 1128.857 |
| 3964 | 14 | 17 | 28 | 31 | 0.032413 | 511.641 |
| 3965 | 14 | 17 | 31 | 34 | -0.540468 | 511.641 |
| 3966 | 14 | 17 | 34 | 29 | 0.563198 | 511.641 |
| 3967 | 14 | 17 | 29 | 32 | -0.179905 | 511.641 |
| 3968 | 14 | 17 | 32 | 35 | -0.471254 | 511.641 |
| 3969 | 14 | 17 | 35 | 30 | 0.678597 | 511.641 |
| 3970 | 14 | 17 | 30 | 33 | -0.422981 | 511.641 |
| 3971 | 14 | 18 | 33 | 37 | -0.198788 | 1035.304 |
| 3972 | 14 | 18 | 37 | 41 | 0.099303 | 1035.304 |
| 3973 | 14 | 18 | 41 | 34 | -0.054057 | 1035.304 |
| 3974 | 14 | 18 | 38 | 42 | 0.07909 | 1035.304 |
| 3975 | 14 | 18 | 42 | 35 | -0.143082 | 1035.304 |
| 3976 | 14 | 18 | 35 | 39 | 0.091156 | 1035.304 |

| Dati Geolettrici_Misura 8 27 Novembre 2025 | | | | | | |
|--|--------|--------|--------|--------|-----------|----------|
| Misura n. | Elec_A | Elec_B | Elec_M | Elec_N | V/I(ohm) | I(mA) |
| 3977 | 14 | 18 | 39 | 36 | -0.104 | 1035.304 |
| 3978 | 14 | 18 | 36 | 40 | 0.126728 | 1035.304 |
| 3979 | 14 | 19 | 40 | 45 | 0.102495 | 500.939 |
| 3980 | 14 | 19 | 45 | 41 | -0.082803 | 500.939 |
| 3981 | 14 | 19 | 41 | 46 | 0.055552 | 500.939 |
| 3982 | 14 | 19 | 46 | 42 | -0.041442 | 500.939 |
| 3983 | 14 | 19 | 42 | 47 | 0.046803 | 500.939 |
| 3984 | 14 | 19 | 47 | 43 | -0.031991 | 500.939 |
| 3985 | 14 | 19 | 43 | 48 | 0.415826 | 500.939 |
| 3986 | 15 | 16 | 17 | 18 | -0.272961 | 1037.181 |
| 3987 | 15 | 16 | 18 | 19 | -0.100525 | 1037.181 |
| 3988 | 15 | 16 | 19 | 20 | -0.054999 | 1037.181 |
| 3989 | 15 | 16 | 20 | 21 | -0.040416 | 1037.181 |
| 3990 | 15 | 16 | 21 | 22 | -0.022973 | 1037.181 |
| 3991 | 15 | 16 | 22 | 23 | -0.016986 | 1037.181 |
| 3992 | 15 | 17 | 23 | 25 | -0.018306 | 1070.469 |
| 3993 | 15 | 17 | 25 | 27 | 0.071105 | 1070.469 |
| 3994 | 15 | 17 | 27 | 29 | 0.072561 | 1070.469 |
| 3995 | 15 | 17 | 29 | 24 | -0.153193 | 1070.469 |
| 3996 | 15 | 17 | 24 | 26 | 0.044509 | 1070.469 |
| 3997 | 15 | 17 | 26 | 28 | 0.07227 | 1070.469 |
| 3998 | 15 | 17 | 28 | 30 | 0.043152 | 1070.469 |
| 3999 | 15 | 18 | 29 | 32 | -0.482358 | 246.483 |
| 4000 | 15 | 18 | 32 | 35 | -0.267662 | 246.483 |
| 4001 | 15 | 18 | 35 | 30 | 0.686663 | 246.483 |
| 4002 | 15 | 18 | 30 | 33 | -0.604312 | 246.483 |
| 4003 | 15 | 18 | 36 | 31 | 0.481605 | 246.483 |
| 4004 | 15 | 18 | 31 | 34 | -0.489546 | 246.483 |
| 4005 | 15 | 19 | 34 | 38 | 0.107442 | 293.696 |
| 4006 | 15 | 19 | 38 | 42 | 0.068737 | 293.696 |
| 4007 | 15 | 19 | 42 | 35 | -0.174271 | 293.696 |
| 4008 | 15 | 19 | 35 | 39 | 0.129324 | 293.696 |
| 4009 | 15 | 19 | 39 | 43 | 0.056073 | 293.696 |
| 4010 | 15 | 19 | 43 | 36 | -0.158236 | 293.696 |
| 4011 | 15 | 19 | 36 | 40 | 0.122092 | 293.696 |
| 4012 | 15 | 19 | 40 | 37 | -0.073419 | 293.696 |
| 4013 | 15 | 19 | 37 | 41 | 0.088624 | 293.696 |
| 4014 | 15 | 20 | 41 | 46 | 0.046928 | 589.499 |
| 4015 | 15 | 20 | 46 | 42 | -0.036631 | 589.499 |
| 4016 | 15 | 20 | 42 | 47 | 0.039893 | 589.499 |
| 4017 | 15 | 20 | 47 | 43 | -0.02678 | 589.499 |
| 4018 | 15 | 20 | 43 | 48 | 0.437024 | 589.499 |
| 4019 | 16 | 17 | 18 | 19 | -0.243908 | 1018.346 |
| 4020 | 16 | 17 | 19 | 20 | -0.097071 | 1018.346 |
| 4021 | 16 | 17 | 20 | 21 | -0.061206 | 1018.346 |
| 4022 | 16 | 17 | 21 | 22 | -0.031087 | 1018.346 |
| 4023 | 16 | 17 | 22 | 23 | -0.021858 | 1018.346 |
| 4024 | 16 | 17 | 23 | 24 | -0.015268 | 1018.346 |
| 4025 | 16 | 18 | 24 | 26 | 0.056958 | 354.345 |
| 4026 | 16 | 18 | 26 | 28 | 0.078832 | 354.345 |
| 4027 | 16 | 18 | 30 | 25 | -0.053828 | 354.345 |
| 4028 | 16 | 18 | 25 | 27 | 0.088066 | 354.345 |
| 4029 | 16 | 18 | 27 | 29 | 0.044292 | 354.345 |
| 4030 | 16 | 18 | 29 | 31 | -0.258093 | 354.345 |
| 4031 | 16 | 19 | 30 | 33 | -0.548351 | 598.981 |
| 4032 | 16 | 19 | 33 | 36 | 0.068979 | 598.981 |

| Dati Geolettrici_Misura 8 27 Novembre 2025 | | | | | | |
|--|--------|--------|--------|--------|-----------|----------|
| Misura n. | Elec_A | Elec_B | Elec_M | Elec_N | V/I(ohm) | I(mA) |
| 4033 | 16 | 19 | 36 | 31 | 0.206921 | 598.981 |
| 4034 | 16 | 19 | 31 | 34 | -0.260091 | 598.981 |
| 4035 | 16 | 19 | 34 | 37 | 0.08978 | 598.981 |
| 4036 | 16 | 19 | 37 | 32 | -0.027902 | 598.981 |
| 4037 | 16 | 20 | 35 | 39 | 0.123628 | 442.313 |
| 4038 | 16 | 20 | 39 | 43 | 0.047561 | 442.313 |
| 4039 | 16 | 20 | 43 | 36 | -0.135203 | 442.313 |
| 4040 | 16 | 20 | 36 | 40 | 0.104954 | 442.313 |
| 4041 | 16 | 20 | 40 | 44 | 0.034664 | 442.313 |
| 4042 | 16 | 20 | 44 | 37 | -0.093459 | 442.313 |
| 4043 | 16 | 20 | 37 | 41 | 0.07281 | 442.313 |
| 4044 | 16 | 20 | 41 | 38 | -0.050765 | 442.313 |
| 4045 | 16 | 20 | 38 | 42 | 0.0573 | 442.313 |
| 4046 | 16 | 21 | 42 | 47 | 0.034278 | 677.834 |
| 4047 | 16 | 21 | 47 | 43 | -0.022893 | 677.834 |
| 4048 | 16 | 21 | 43 | 48 | 0.461965 | 677.834 |
| 4049 | 17 | 18 | 19 | 20 | -0.266442 | 1007.383 |
| 4050 | 17 | 18 | 20 | 21 | -0.12584 | 1007.383 |
| 4051 | 17 | 18 | 21 | 22 | -0.053974 | 1007.383 |
| 4052 | 17 | 18 | 22 | 23 | -0.034412 | 1007.383 |
| 4053 | 17 | 18 | 23 | 24 | -0.022228 | 1007.383 |
| 4054 | 17 | 19 | 25 | 27 | 0.09329 | 326.729 |
| 4055 | 17 | 19 | 29 | 31 | -0.405546 | 326.729 |
| 4056 | 17 | 19 | 31 | 26 | 0.42322 | 326.729 |
| 4057 | 17 | 19 | 26 | 28 | 0.049147 | 326.729 |
| 4058 | 17 | 19 | 28 | 30 | -0.257005 | 326.729 |
| 4059 | 17 | 19 | 30 | 32 | -0.318318 | 326.729 |
| 4060 | 17 | 20 | 34 | 37 | 0.094747 | 616.074 |
| 4061 | 17 | 20 | 37 | 32 | -0.163978 | 616.074 |
| 4062 | 17 | 20 | 32 | 35 | 0.102424 | 616.074 |
| 4063 | 17 | 20 | 35 | 38 | 0.075669 | 616.074 |
| 4064 | 17 | 20 | 38 | 33 | -0.16317 | 616.074 |
| 4065 | 17 | 20 | 33 | 36 | 0.115582 | 616.074 |
| 4066 | 17 | 21 | 36 | 40 | 0.091247 | 881.543 |
| 4067 | 17 | 21 | 40 | 44 | 0.030143 | 881.543 |
| 4068 | 17 | 21 | 44 | 37 | -0.0771 | 881.543 |
| 4069 | 17 | 21 | 37 | 41 | 0.060698 | 881.543 |
| 4070 | 17 | 21 | 45 | 38 | -0.020835 | 881.543 |
| 4071 | 17 | 21 | 38 | 42 | 0.049538 | 881.543 |
| 4072 | 17 | 21 | 42 | 39 | -0.033163 | 881.543 |
| 4073 | 17 | 21 | 39 | 43 | 0.041887 | 881.543 |
| 4074 | 17 | 22 | 43 | 48 | 0.584069 | 47.598 |
| 4075 | 18 | 19 | 20 | 21 | -0.30226 | 1004.556 |
| 4076 | 18 | 19 | 21 | 22 | -0.09641 | 1004.556 |
| 4077 | 18 | 19 | 22 | 23 | -0.051672 | 1004.556 |
| 4078 | 18 | 19 | 23 | 24 | -0.030186 | 1004.556 |
| 4079 | 18 | 19 | 25 | 26 | 0.024956 | 1004.556 |
| 4080 | 18 | 20 | 28 | 30 | -0.394804 | 637.814 |
| 4081 | 18 | 20 | 30 | 32 | -0.129914 | 637.814 |
| 4082 | 18 | 20 | 32 | 27 | 0.606125 | 637.814 |
| 4083 | 18 | 20 | 27 | 29 | -0.258942 | 637.814 |
| 4084 | 18 | 20 | 29 | 31 | -0.338192 | 637.814 |
| 4085 | 18 | 20 | 31 | 33 | 0.024166 | 637.814 |
| 4086 | 18 | 21 | 32 | 35 | 0.149682 | 313.303 |
| 4087 | 18 | 21 | 35 | 38 | 0.064882 | 313.303 |
| 4088 | 18 | 21 | 38 | 33 | -0.158673 | 313.303 |

| Dati Geolettrici_Misura 8 27 Novembre 2025 | | | | | | |
|--|--------|--------|--------|--------|-----------|----------|
| Misura n. | Elec_A | Elec_B | Elec_M | Elec_N | V/I(ohm) | I(mA) |
| 4089 | 18 | 21 | 33 | 36 | 0.1186 | 313.303 |
| 4090 | 18 | 21 | 36 | 39 | 0.051142 | 313.303 |
| 4091 | 18 | 21 | 39 | 34 | -0.107663 | 313.303 |
| 4092 | 18 | 21 | 34 | 37 | 0.085963 | 313.303 |
| 4093 | 18 | 22 | 37 | 41 | 0.048029 | 1003.967 |
| 4094 | 18 | 22 | 45 | 38 | -0.048287 | 1003.967 |
| 4095 | 18 | 22 | 38 | 42 | 0.039992 | 1003.967 |
| 4096 | 18 | 22 | 42 | 46 | 0.022976 | 1003.967 |
| 4097 | 18 | 22 | 46 | 39 | -0.050126 | 1003.967 |
| 4098 | 18 | 22 | 39 | 43 | 0.033609 | 1003.967 |
| 4099 | 18 | 22 | 43 | 40 | -0.021338 | 1003.967 |
| 4100 | 18 | 22 | 40 | 44 | 0.024924 | 1003.967 |
| 4101 | 19 | 20 | 21 | 22 | -0.239471 | 758.538 |
| 4102 | 19 | 20 | 22 | 23 | -0.094887 | 758.538 |
| 4103 | 19 | 20 | 23 | 24 | -0.046624 | 758.538 |
| 4104 | 19 | 20 | 25 | 26 | 0.018014 | 758.538 |
| 4105 | 19 | 21 | 27 | 29 | -0.442185 | 661.745 |
| 4106 | 19 | 21 | 29 | 31 | -0.144904 | 661.745 |
| 4107 | 19 | 21 | 31 | 33 | 0.081774 | 661.745 |
| 4108 | 19 | 21 | 33 | 28 | 0.289401 | 661.745 |
| 4109 | 19 | 21 | 28 | 30 | -0.357109 | 661.745 |
| 4110 | 19 | 21 | 30 | 32 | 0.023933 | 661.745 |
| 4111 | 19 | 21 | 32 | 34 | 0.086221 | 661.745 |
| 4112 | 19 | 22 | 33 | 36 | 0.102751 | 628.968 |
| 4113 | 19 | 22 | 36 | 39 | 0.041499 | 628.968 |
| 4114 | 19 | 22 | 39 | 34 | -0.086197 | 628.968 |
| 4115 | 19 | 22 | 34 | 37 | 0.07101 | 628.968 |
| 4116 | 19 | 22 | 37 | 40 | 0.023381 | 628.968 |
| 4117 | 19 | 22 | 40 | 35 | -0.06884 | 628.968 |
| 4118 | 19 | 22 | 35 | 38 | 0.051856 | 628.968 |
| 4119 | 19 | 23 | 38 | 42 | 0.032816 | 953.139 |
| 4120 | 19 | 23 | 42 | 46 | 0.021216 | 953.139 |
| 4121 | 19 | 23 | 46 | 39 | -0.043894 | 953.139 |
| 4122 | 19 | 23 | 39 | 43 | 0.026947 | 953.139 |
| 4123 | 19 | 23 | 43 | 47 | 0.012201 | 953.139 |
| 4124 | 19 | 23 | 47 | 40 | -0.029621 | 953.139 |
| 4125 | 19 | 23 | 40 | 44 | 0.02155 | 953.139 |
| 4126 | 19 | 23 | 44 | 41 | -0.007321 | 953.139 |
| 4127 | 19 | 23 | 41 | 45 | 0.059016 | 953.139 |
| 4128 | 20 | 21 | 22 | 23 | -0.277644 | 739.918 |
| 4129 | 20 | 21 | 23 | 24 | -0.099082 | 739.918 |
| 4130 | 20 | 21 | 24 | 25 | -0.041668 | 739.918 |
| 4131 | 20 | 21 | 26 | 27 | -0.075229 | 739.918 |
| 4132 | 20 | 21 | 27 | 28 | -0.145426 | 739.918 |
| 4133 | 20 | 22 | 28 | 30 | -0.153076 | 769.921 |
| 4134 | 20 | 22 | 30 | 32 | 0.082301 | 769.921 |
| 4135 | 20 | 22 | 32 | 34 | 0.075776 | 769.921 |
| 4136 | 20 | 22 | 34 | 29 | -0.137641 | 769.921 |
| 4137 | 20 | 22 | 29 | 31 | 0.016166 | 769.921 |
| 4138 | 20 | 22 | 31 | 33 | 0.084523 | 769.921 |
| 4139 | 20 | 22 | 33 | 35 | 0.052327 | 769.921 |
| 4140 | 20 | 23 | 34 | 37 | 0.057288 | 704.381 |
| 4141 | 20 | 23 | 37 | 40 | 0.016873 | 704.381 |
| 4142 | 20 | 23 | 40 | 35 | -0.05398 | 704.381 |
| 4143 | 20 | 23 | 35 | 38 | 0.040819 | 704.381 |
| 4144 | 20 | 23 | 38 | 41 | 0.023962 | 704.381 |

| Dati Geolettrici_Misura 8 27 Novembre 2025 | | | | | | |
|--|--------|--------|--------|--------|-----------|----------|
| Misura n. | Elec_A | Elec_B | Elec_M | Elec_N | V/I(ohm) | I(mA) |
| 4145 | 20 | 23 | 41 | 36 | -0.050593 | 704.381 |
| 4146 | 20 | 23 | 36 | 39 | 0.033497 | 704.381 |
| 4147 | 20 | 24 | 39 | 43 | 0.020817 | 781.29 |
| 4148 | 20 | 24 | 43 | 47 | 0.010566 | 781.29 |
| 4149 | 20 | 24 | 47 | 40 | -0.024044 | 781.29 |
| 4150 | 20 | 24 | 40 | 44 | 0.018007 | 781.29 |
| 4151 | 20 | 24 | 44 | 48 | 0.46723 | 781.29 |
| 4152 | 20 | 24 | 48 | 41 | -0.469583 | 781.29 |
| 4153 | 20 | 24 | 41 | 45 | 0.131053 | 781.29 |
| 4154 | 20 | 24 | 45 | 42 | -0.135418 | 781.29 |
| 4155 | 20 | 24 | 42 | 46 | 0.019295 | 781.29 |
| 4156 | 21 | 22 | 23 | 24 | -0.24085 | 673.761 |
| 4157 | 21 | 22 | 24 | 25 | -0.144148 | 673.761 |
| 4158 | 21 | 22 | 25 | 26 | -0.091493 | 673.761 |
| 4159 | 21 | 22 | 26 | 27 | -0.122487 | 673.761 |
| 4160 | 21 | 22 | 27 | 28 | -0.090351 | 673.761 |
| 4161 | 21 | 22 | 28 | 29 | -0.0237 | 673.761 |
| 4162 | 21 | 23 | 29 | 31 | 0.08738 | 744.229 |
| 4163 | 21 | 23 | 31 | 33 | 0.068502 | 744.229 |
| 4164 | 21 | 23 | 33 | 35 | 0.04065 | 744.229 |
| 4165 | 21 | 23 | 35 | 30 | -0.156983 | 744.229 |
| 4166 | 21 | 23 | 30 | 32 | 0.086836 | 744.229 |
| 4167 | 21 | 23 | 32 | 34 | 0.059559 | 744.229 |
| 4168 | 21 | 23 | 34 | 36 | 0.017992 | 744.229 |
| 4169 | 21 | 24 | 35 | 38 | 0.027807 | 1068.043 |
| 4170 | 21 | 24 | 38 | 41 | 0.02087 | 1068.043 |
| 4171 | 21 | 24 | 41 | 36 | -0.040513 | 1068.043 |
| 4172 | 21 | 24 | 36 | 39 | 0.024132 | 1068.043 |
| 4173 | 21 | 24 | 39 | 42 | 0.011785 | 1068.043 |
| 4174 | 21 | 24 | 42 | 37 | -0.015478 | 1068.043 |
| 4175 | 21 | 24 | 37 | 40 | 0.008041 | 1068.043 |
| 4176 | 21 | 25 | 40 | 44 | 0.009409 | 975.154 |
| 4177 | 21 | 25 | 44 | 48 | 0.553332 | 975.154 |
| 4178 | 21 | 25 | 48 | 41 | -0.555833 | 975.154 |
| 4179 | 21 | 25 | 41 | 45 | 0.378592 | 975.154 |
| 4180 | 21 | 25 | 45 | 42 | -0.381036 | 975.154 |
| 4181 | 21 | 25 | 42 | 46 | 0.261776 | 975.154 |
| 4182 | 21 | 25 | 46 | 43 | -0.258955 | 975.154 |
| 4183 | 22 | 23 | 24 | 25 | -0.499199 | 941.714 |
| 4184 | 22 | 23 | 25 | 26 | -0.160431 | 941.714 |
| 4185 | 22 | 23 | 26 | 27 | -0.093385 | 941.714 |
| 4186 | 22 | 23 | 27 | 28 | -0.015281 | 941.714 |
| 4187 | 22 | 23 | 28 | 29 | 0.01664 | 941.714 |
| 4188 | 22 | 23 | 29 | 30 | 0.02668 | 941.714 |
| 4189 | 22 | 24 | 30 | 32 | 0.076695 | 976.549 |
| 4190 | 22 | 24 | 32 | 34 | 0.051938 | 976.549 |
| 4191 | 22 | 24 | 34 | 36 | 0.011909 | 976.549 |
| 4192 | 22 | 24 | 36 | 31 | -0.096492 | 976.549 |
| 4193 | 22 | 24 | 31 | 33 | 0.056459 | 976.549 |
| 4194 | 22 | 24 | 33 | 35 | 0.035717 | 976.549 |
| 4195 | 22 | 24 | 35 | 37 | 0.01464 | 976.549 |
| 4196 | 22 | 25 | 36 | 39 | 0.006071 | 1009.163 |
| 4197 | 22 | 25 | 39 | 42 | 0.003962 | 1009.163 |
| 4198 | 22 | 25 | 40 | 43 | 0.004272 | 1009.163 |
| 4199 | 22 | 25 | 43 | 38 | -0.007623 | 1009.163 |
| 4200 | 22 | 26 | 44 | 48 | 12.9329 | 25.652 |

| Dati Geolettrici_Misura 8 27 Novembre 2025 | | | | | | |
|--|--------|--------|--------|--------|-----------|----------|
| Misura n. | Elec_A | Elec_B | Elec_M | Elec_N | V/I(ohm) | I(mA) |
| 4201 | 23 | 24 | 25 | 26 | -0.101471 | 943.119 |
| 4202 | 23 | 24 | 26 | 27 | -0.027873 | 943.119 |
| 4203 | 23 | 24 | 27 | 28 | 0.015708 | 943.119 |
| 4204 | 23 | 24 | 28 | 29 | 0.021901 | 943.119 |
| 4205 | 23 | 24 | 29 | 30 | 0.023116 | 943.119 |
| 4206 | 23 | 24 | 30 | 31 | 0.01937 | 943.119 |
| 4207 | 23 | 25 | 31 | 33 | -0.018693 | 880.192 |
| 4208 | 23 | 25 | 33 | 35 | -0.009279 | 880.192 |
| 4209 | 23 | 25 | 34 | 36 | -0.310739 | 880.192 |
| 4210 | 23 | 25 | 36 | 38 | -0.001748 | 880.192 |
| 4211 | 23 | 26 | 40 | 43 | -0.002112 | 967.092 |
| 4212 | 23 | 26 | 43 | 38 | 0.004731 | 967.092 |
| 4213 | 23 | 26 | 38 | 41 | -0.010258 | 967.092 |
| 4214 | 23 | 26 | 44 | 39 | 0.007182 | 967.092 |
| 4215 | 23 | 26 | 39 | 42 | -0.005577 | 967.092 |
| 4216 | 23 | 27 | 42 | 46 | -0.009901 | 968.807 |
| 4217 | 23 | 27 | 47 | 44 | 0.001884 | 968.807 |
| 4218 | 23 | 27 | 44 | 48 | -0.164314 | 968.807 |
| 4219 | 24 | 25 | 26 | 27 | -0.590548 | 589.583 |
| 4220 | 24 | 25 | 27 | 28 | -0.238632 | 589.583 |
| 4221 | 24 | 25 | 28 | 29 | -0.11535 | 589.583 |
| 4222 | 24 | 25 | 29 | 30 | -0.073968 | 589.583 |
| 4223 | 24 | 25 | 30 | 31 | -0.046032 | 589.583 |
| 4224 | 24 | 25 | 31 | 32 | -0.026361 | 589.583 |
| 4225 | 24 | 26 | 32 | 34 | -0.041535 | 1117.965 |
| 4226 | 24 | 26 | 34 | 36 | -0.052044 | 1117.965 |
| 4227 | 24 | 26 | 36 | 38 | -0.014441 | 1117.965 |
| 4228 | 24 | 26 | 38 | 33 | 0.071295 | 1117.965 |
| 4229 | 24 | 26 | 33 | 35 | -0.048848 | 1117.965 |
| 4230 | 24 | 27 | 38 | 41 | -0.024149 | 1120.029 |
| 4231 | 24 | 27 | 44 | 39 | 0.017389 | 1120.029 |
| 4232 | 24 | 27 | 39 | 42 | -0.012813 | 1120.029 |
| 4233 | 24 | 27 | 42 | 45 | -0.143196 | 1120.029 |
| 4234 | 24 | 27 | 45 | 40 | 0.287154 | 1120.029 |
| 4235 | 24 | 28 | 44 | 48 | -0.56056 | 874.046 |
| 4236 | 25 | 26 | 27 | 28 | -0.419282 | 838.061 |
| 4237 | 25 | 26 | 28 | 29 | -0.142269 | 838.061 |
| 4238 | 25 | 26 | 29 | 30 | -0.07995 | 838.061 |
| 4239 | 25 | 26 | 30 | 31 | -0.048924 | 838.061 |
| 4240 | 25 | 26 | 31 | 32 | -0.027023 | 838.061 |
| 4241 | 25 | 26 | 32 | 33 | -0.019631 | 838.061 |
| 4242 | 25 | 27 | 33 | 35 | -0.052047 | 985.02 |
| 4243 | 25 | 27 | 36 | 38 | -0.016951 | 985.02 |
| 4244 | 25 | 28 | 39 | 42 | -0.016671 | 1003.42 |
| 4245 | 25 | 28 | 43 | 46 | -0.449139 | 1003.42 |
| 4246 | 25 | 28 | 46 | 41 | 0.414305 | 1003.42 |
| 4247 | 25 | 29 | 44 | 48 | -0.483959 | 43.766 |
| 4248 | 26 | 27 | 28 | 29 | -0.338437 | 634.575 |
| 4249 | 26 | 27 | 29 | 30 | -0.14763 | 634.575 |
| 4250 | 26 | 27 | 30 | 31 | -0.079032 | 634.575 |
| 4251 | 26 | 27 | 31 | 32 | -0.044351 | 634.575 |
| 4252 | 26 | 27 | 32 | 33 | -0.023856 | 634.575 |
| 4253 | 26 | 27 | 33 | 34 | -0.046743 | 634.575 |
| 4254 | 26 | 28 | 34 | 36 | -0.210293 | 1097.034 |
| 4255 | 26 | 28 | 36 | 38 | -0.019489 | 1097.034 |
| 4256 | 26 | 28 | 38 | 40 | -0.012376 | 1097.034 |

| Dati Geolettrici_Misura 8 27 Novembre 2025 | | | | | | |
|--|--------|--------|--------|--------|-----------|----------|
| Misura n. | Elec_A | Elec_B | Elec_M | Elec_N | V/I(ohm) | I(mA) |
| 4257 | 26 | 28 | 40 | 35 | 0.047688 | 1097.034 |
| 4258 | 26 | 28 | 35 | 37 | -0.382942 | 1097.034 |
| 4259 | 26 | 28 | 39 | 41 | -0.011681 | 1097.034 |
| 4260 | 26 | 29 | 43 | 46 | -0.013174 | 1112.305 |
| 4261 | 26 | 29 | 46 | 41 | 0.020073 | 1112.305 |
| 4262 | 26 | 29 | 41 | 44 | -0.007651 | 1112.305 |
| 4263 | 26 | 29 | 42 | 45 | -0.823111 | 1112.305 |
| 4264 | 27 | 28 | 29 | 30 | -0.332964 | 416.983 |
| 4265 | 27 | 28 | 30 | 31 | -0.146935 | 416.983 |
| 4266 | 27 | 28 | 31 | 32 | -0.070003 | 416.983 |
| 4267 | 27 | 28 | 32 | 33 | -0.03873 | 416.983 |
| 4268 | 27 | 28 | 34 | 35 | -0.241366 | 416.983 |
| 4269 | 27 | 29 | 39 | 41 | -0.014042 | 1102.414 |
| 4270 | 27 | 29 | 41 | 36 | 0.053152 | 1102.414 |
| 4271 | 27 | 29 | 36 | 38 | -0.030803 | 1102.414 |
| 4272 | 27 | 29 | 38 | 40 | -0.176011 | 1102.414 |
| 4273 | 27 | 30 | 41 | 44 | -0.012845 | 1134.378 |
| 4274 | 27 | 30 | 45 | 48 | -0.262717 | 1134.378 |
| 4275 | 28 | 29 | 30 | 31 | -0.338118 | 1075.534 |
| 4276 | 28 | 29 | 31 | 32 | -0.134397 | 1075.534 |
| 4277 | 28 | 29 | 32 | 33 | -0.066389 | 1075.534 |
| 4278 | 28 | 29 | 33 | 34 | -0.235872 | 1075.534 |
| 4279 | 28 | 29 | 35 | 36 | -0.013495 | 1075.534 |
| 4280 | 28 | 30 | 36 | 38 | -0.047752 | 1107.241 |
| 4281 | 28 | 30 | 38 | 40 | -0.019152 | 1107.241 |
| 4282 | 28 | 30 | 40 | 42 | -0.009276 | 1107.241 |
| 4283 | 28 | 30 | 42 | 37 | 0.04169 | 1107.241 |
| 4284 | 28 | 30 | 37 | 39 | -0.021273 | 1107.241 |
| 4285 | 28 | 30 | 39 | 41 | -0.016929 | 1107.241 |
| 4286 | 28 | 30 | 41 | 43 | -0.058661 | 1107.241 |
| 4287 | 28 | 31 | 45 | 48 | -0.452795 | 1118.574 |
| 4288 | 28 | 31 | 48 | 43 | 0.250828 | 1118.574 |
| 4289 | 28 | 31 | 46 | 44 | 0.01219 | 1118.574 |
| 4290 | 28 | 31 | 44 | 47 | -0.193825 | 1118.574 |
| 4291 | 29 | 30 | 31 | 32 | -0.316696 | 696.54 |
| 4292 | 29 | 30 | 32 | 33 | -0.129331 | 696.54 |
| 4293 | 29 | 30 | 33 | 34 | -0.04727 | 696.54 |
| 4294 | 29 | 30 | 34 | 35 | -0.057973 | 696.54 |
| 4295 | 29 | 30 | 35 | 36 | -0.022583 | 696.54 |
| 4296 | 29 | 30 | 36 | 37 | -0.051057 | 696.54 |
| 4297 | 29 | 31 | 37 | 39 | -0.007896 | 899.096 |
| 4298 | 29 | 31 | 39 | 41 | -0.019704 | 899.096 |
| 4299 | 29 | 31 | 41 | 43 | -0.016053 | 899.096 |
| 4300 | 29 | 31 | 43 | 38 | 0.051622 | 899.096 |
| 4301 | 29 | 31 | 38 | 40 | -0.043951 | 899.096 |
| 4302 | 29 | 31 | 40 | 42 | -0.077577 | 899.096 |
| 4303 | 29 | 32 | 43 | 46 | -0.013097 | 1171.305 |
| 4304 | 29 | 32 | 46 | 44 | 0.011328 | 1171.305 |
| 4305 | 29 | 32 | 44 | 47 | -0.075787 | 1171.305 |
| 4306 | 30 | 31 | 32 | 33 | -0.264131 | 1151.171 |
| 4307 | 30 | 31 | 33 | 34 | -0.130333 | 1151.171 |
| 4308 | 30 | 31 | 34 | 35 | -0.040352 | 1151.171 |
| 4309 | 30 | 31 | 35 | 36 | -0.032933 | 1151.171 |
| 4310 | 30 | 31 | 36 | 37 | -0.026845 | 1151.171 |
| 4311 | 30 | 31 | 37 | 38 | -0.010367 | 1151.171 |
| 4312 | 30 | 32 | 38 | 40 | -0.036141 | 1198.423 |

| Dati Geolettrici_Misura 8 27 Novembre 2025 | | | | | | |
|--|--------|--------|--------|--------|-----------|----------|
| Misura n. | Elec_A | Elec_B | Elec_M | Elec_N | V/I(ohm) | I(mA) |
| 4313 | 30 | 32 | 40 | 42 | -0.016577 | 1198.423 |
| 4314 | 30 | 32 | 42 | 44 | -0.010153 | 1198.423 |
| 4315 | 30 | 32 | 44 | 39 | 0.043741 | 1198.423 |
| 4316 | 30 | 32 | 39 | 41 | -0.023147 | 1198.423 |
| 4317 | 30 | 32 | 41 | 43 | -0.017644 | 1198.423 |
| 4318 | 30 | 33 | 44 | 47 | -0.038959 | 577.87 |
| 4319 | 30 | 33 | 47 | 45 | 0.464995 | 577.87 |
| 4320 | 30 | 33 | 45 | 48 | -0.935561 | 577.87 |
| 4321 | 31 | 32 | 33 | 34 | -0.172234 | 1207.943 |
| 4322 | 31 | 32 | 34 | 35 | -0.136093 | 1207.943 |
| 4323 | 31 | 32 | 35 | 36 | -0.047282 | 1207.943 |
| 4324 | 31 | 32 | 36 | 37 | -0.030549 | 1207.943 |
| 4325 | 31 | 32 | 37 | 38 | -0.017163 | 1207.943 |
| 4326 | 31 | 32 | 38 | 39 | -0.010171 | 1207.943 |
| 4327 | 31 | 33 | 41 | 43 | -0.101844 | 1212.6 |
| 4328 | 31 | 33 | 42 | 44 | -0.320119 | 1212.6 |
| 4329 | 31 | 33 | 44 | 46 | -0.00647 | 1212.6 |
| 4330 | 32 | 33 | 34 | 35 | -0.176895 | 1265.364 |
| 4331 | 32 | 33 | 35 | 36 | -0.07749 | 1265.364 |
| 4332 | 32 | 33 | 36 | 37 | -0.049743 | 1265.364 |
| 4333 | 32 | 33 | 38 | 39 | -0.168349 | 1265.364 |
| 4334 | 32 | 33 | 39 | 40 | -0.008781 | 1265.364 |
| 4335 | 32 | 34 | 41 | 43 | -0.041642 | 370.261 |
| 4336 | 32 | 34 | 45 | 47 | -73.98939 | 27.274 |
| 4337 | 33 | 34 | 35 | 36 | -0.184391 | 246.672 |
| 4338 | 33 | 34 | 37 | 38 | -0.450716 | 246.672 |
| 4339 | 33 | 34 | 40 | 41 | -0.237271 | 246.672 |
| 4340 | 33 | 35 | 41 | 43 | -0.560977 | 210.596 |
| 4341 | 34 | 35 | 36 | 37 | -0.456309 | 740.035 |
| 4342 | 34 | 35 | 38 | 39 | -0.021567 | 740.035 |
| 4343 | 34 | 35 | 39 | 40 | -0.141823 | 740.035 |
| 4344 | 34 | 35 | 41 | 42 | -0.870374 | 740.035 |
| 4345 | 34 | 36 | 42 | 44 | -0.071848 | 205.327 |
| 4346 | 34 | 36 | 46 | 48 | -21.78609 | 205.327 |
| 4347 | 34 | 36 | 48 | 43 | 22.05469 | 205.327 |
| 4348 | 34 | 36 | 43 | 45 | -119.2018 | 25.597 |
| 4349 | 35 | 36 | 37 | 38 | -0.214202 | 1088.064 |
| 4350 | 35 | 36 | 38 | 39 | -0.085728 | 1088.064 |
| 4351 | 35 | 37 | 43 | 45 | -0.536329 | 145.492 |
| 4352 | 35 | 37 | 44 | 46 | -1.664972 | 145.492 |
| 4353 | 36 | 37 | 38 | 39 | -0.22541 | 1031.425 |
| 4354 | 36 | 37 | 43 | 44 | -0.014208 | 1031.425 |
| 4355 | 36 | 38 | 46 | 48 | -0.258752 | 336.113 |
| 4356 | 37 | 38 | 39 | 40 | -0.257211 | 1035.072 |
| 4357 | 37 | 38 | 43 | 44 | -0.024081 | 1035.072 |
| 4358 | 38 | 39 | 40 | 41 | -0.293406 | 310.14 |
| 4359 | 38 | 39 | 43 | 44 | -0.064003 | 310.14 |
| 4360 | 38 | 39 | 44 | 45 | -0.921815 | 310.14 |
| 4361 | 39 | 40 | 41 | 42 | -0.174266 | 423.616 |
| 4362 | 39 | 40 | 43 | 44 | -0.130907 | 423.616 |
| 4363 | 40 | 41 | 42 | 43 | -0.841402 | 145.747 |
| 4364 | 40 | 41 | 46 | 47 | -1.892283 | 145.747 |
| 4365 | 41 | 42 | 43 | 44 | -0.187916 | 162.526 |
| 4366 | 41 | 42 | 44 | 45 | -1.019182 | 162.526 |
| 4367 | 41 | 42 | 45 | 46 | -0.716589 | 162.526 |
| 4368 | 41 | 42 | 47 | 48 | -0.529913 | 162.526 |

| Dati Geolettrici_Misura 8 27 Novembre 2025 | | | | | | |
|--|--------|--------|--------|--------|-----------|---------|
| Misura n. | Elec_A | Elec_B | Elec_M | Elec_N | V/I(ohm) | I(mA) |
| 4369 | 42 | 43 | 44 | 45 | -0.460385 | 393.678 |
| 4370 | 42 | 43 | 45 | 46 | -0.101048 | 393.678 |
| 4371 | 43 | 44 | 46 | 47 | -0.087151 | 152.615 |
| 4372 | 43 | 44 | 47 | 48 | -0.17786 | 152.615 |
| 4373 | 45 | 46 | 47 | 48 | -30.64457 | 25.227 |